

Kuratorium für Forschung  
im Küstingenieurwesen  
Hindenburgufer 247  
24106 Kiel

E 04 DEZ. 1997  
17

## ANLAGEN

Nº 32816

~~Nº 32473~~ 6t

P43

Anl. A 3-1: Historische Entwicklung der Arbeiten zur Vorlandbildung an der Nordseeküste  
 (nach: FIEGE ET AL., 1996, S. 214ff/ PROBST, 1996, S. 48ff/ STOCK ET AL., 1996, S. I-22)

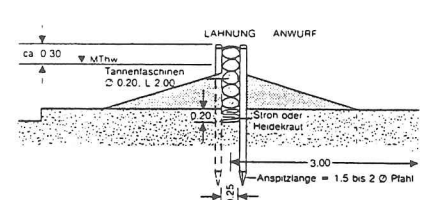
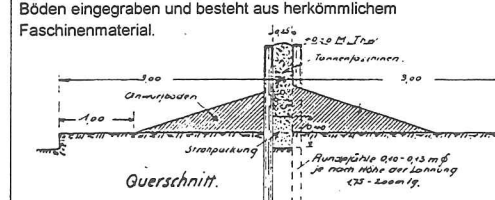
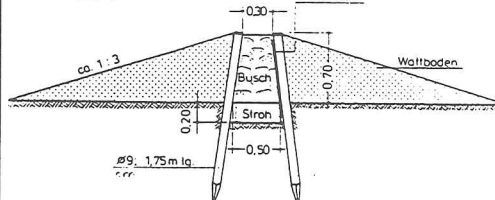
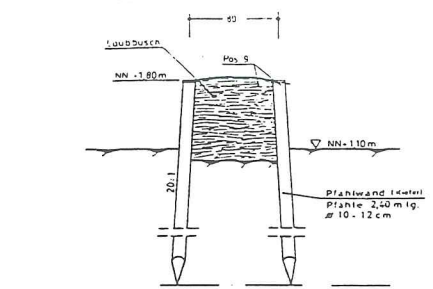
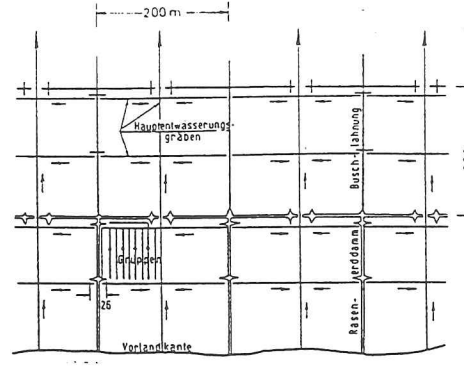
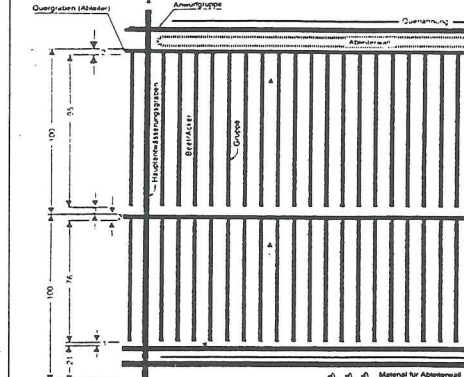
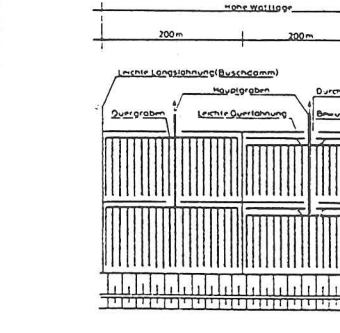
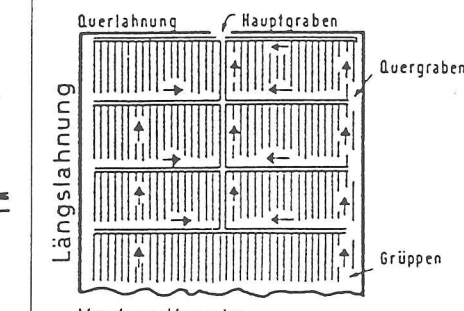
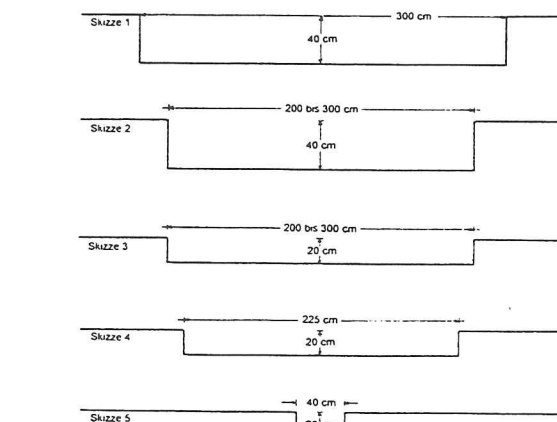
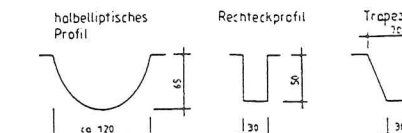
Dänemark	Deutschland		Niederlande
	Schleswig- Holstein	Niedersachsen Ems-Jade Gebiet   Mündungsbereich der Weser	
Beginn des Deichbaus um die Jahrtausendwende			
		12./13. Jh.: erster geschlossener Deichzug	
1362: Marcellusflut galt nicht nur als Höhepunkt im Vordringen des Meeres sondern auch als die Geburtsstunde der Landgewinnung.	Ab 16. Jh.: Nach den schweren Sturmflutkatastrophen und deren Folgen wurden natürlich verlandete Gebiete eingedeicht.		seit dem 14. Jhdrt.: Eindeichungen von Poldern mittels Sommerdeichen stellen erste Sedimentationsfelder dar
ab 1711: Vorschläge zur Landgewinnung, die jedoch an Kosten scheiterten			1788: Erste Berichte über Reste verfallener Buschlahnungen im Watt vor der Kugelbake
Ab 1847 wurde von Seiten der dänischen Regierung damit begonnen, durch Begrüppungen den "Schlickfall" zu fördern. Erweitert wurde diese Methode durch senkrecht zum Deich verlaufenden Erddämme mit Sodenbelag (sog. Bauern-Methode)	Um 1850 setzte die künstliche Vorlandgewinnung ein. Zu dieser Zeit wurde bereits die Bedeutung der Entwässerung erkannt. Gruppensysteme wurden angelegt sowie <ul style="list-style-type: none"> <li>• Buschlahnungen</li> <li>• schwere Lahnungen</li> <li>• leichte Lahnungen mit Flechtzäunen</li> </ul>		

Dänemark	Deutschland			Niederlande
	Schleswig- Holstein	Niedersachsen Ems-Jade Gebiet	Mündungsbereich der Weser	
Bis zum ersten Weltkrieg waren Deiche und Vorländer in privater Hand. Nach 1914 werden aus Kostengründen Deiche und Vorländer und deren Pflege verstaatlicht.	<p>1845-1950: Natürlich entstandene Vorländer werden eingedeicht.</p> <p>Etwa 1857 werden die Wirkungen der Insel und Halligen erkannt, die dem Festland Schutz bieten und den "Schlickfall" begünstigen (z.B. Bau des Dammes zur Hamburger Hallig als "Verbindungslehnung").</p> <p>ab 1866: Fortsetzung der Landgewinnungsarbeiten durch die preußische Regierung</p> <p>um 1900: Übernahme der Landgewinnungsmaßnahmen durch den Staat</p> <p>1914-1923: Unterbrechung der Arbeiten durch Kriegs- und Inflationsjahre</p>		<p>Ab 1870: Einbau von 10 Buschlahnungen am Küstenstrich von der Tettenshörne bis zur Volkshörne</p>	<p>1878: erste Berichte über Methoden der künstlichen Förderung der Auflandung</p> <p>In Friesland wurden in niedrig gelegenen Watten Flechtzäune errichtet. Nach der Verfestigung des Watts wurden Gruppen eingezogen. Ebenso wurden geböschte, mit Stroh bestickte Erddämme errichtet.</p> <p>Landgewinnungsarbeiten im Dollart: Bau von Dämmen, die Felder fassen.</p> <p>1930: Übernahme der Landgewinnungsarbeiten durch die niederländische Regierung</p>

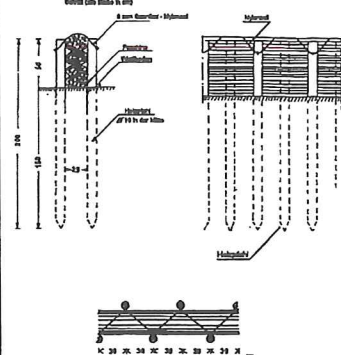
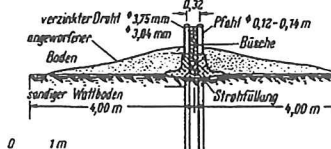
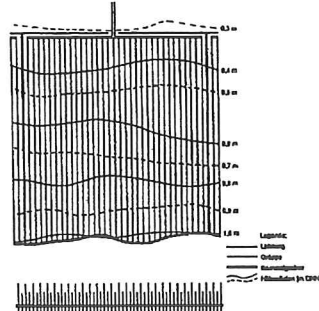
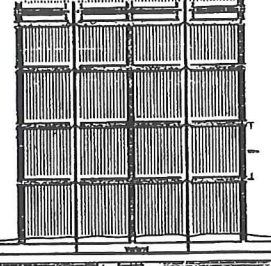
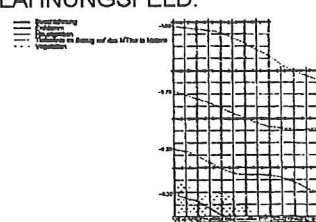
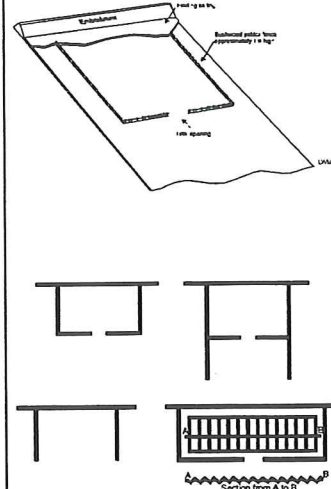
Dänemark	Deutschland			Niederlande
	Schleswig- Holstein	Niedersachsen Ems-Jade Gebiet	Mündungsbereich der Weser	
	<p>1933: 10-Jahresplan zur Landerhaltung und -gewinnung durch das nationalsozialistische Regime: Arbeiten werden durch Erwerbslose und den Reichsarbeitsdienst sichergestellt</p> <p>ab 1939: Küstenschutzarbeiten kommen zum Erliegen</p> <p>nach 1945 bis etwa 1948: Instandsetzungsarbeiten</p> <p>nach 1949: Aufnahme der Vorlandarbeiten in größerem Umfang; aus finanziellen Erwägungen wurde die Anlage von Lahnungen vereinfacht und das Begruppen mechanisiert.</p> <p>Bis 1955 wurde Neulandgewinnung mit dem Ziel der landwirtschaftlichen Nutzung betrieben (Wandel in der Landwirtschaftspolitik). Die letzte Neulandgewinnung für die Agrarnutzung war die am 23.10.1954 vollzogene Eindeichung des Friedrich-Wilhelm-Lübke-Koogs.</p>	<p>1950: Die Niedersächsische Wasserwirtschaftsverwaltung übernimmt die Aufgaben der Landgewinnung (Ziel: Aktiver Küstenschutz). Im tiefen Watt werden schwere Lahnungen mit künstlichen Baustoffen eingesetzt:</p> <ul style="list-style-type: none"> <li>• Buschdamm</li> <li>• Steindamm</li> </ul>	<p>nach 1945: Wiederaufnahme der Anlage von Buschlahnungen</p>	<p>Bis 1935: Förderung des "Schlickfalls" vor den Vorländern durch Begrüppungen (sog. Bauern-Methode)</p> <p>1936: Übernahme der sog. Schleswig-Methode</p>

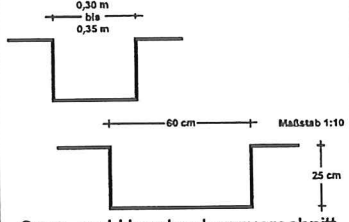
Dänemark	Deutschland			Niederlande
	Schleswig- Holstein	Niedersachsen Ems-Jade Gebiet	Mündungsbereich der Weser	
	<p>1962: Entscheidung des Landtages aufgrund der vorangegangenen Sturmflut, Vorländer, die weiter als 400 m vor dem Deich liegen, aufzugeben</p>	<p>1961: Durch die Anwendung künstlicher Materialien, wie Kunststofffolie (1961) und Kunststoffgewebe (1970) sollen Instandsetzungsarbeiten minimiert werden.</p> <p>1963: Parallel zum Deichbau fanden Vorlandaufspülungen statt. Feinsandanteile, die für den Deichbau unbrauchbar waren, wurden in Lahnnungsfelder gespült, so daß die deichschützende Wirkung des Vorlandes sofort in Kraft treten kann</p> <p>1967: Versuch des Einsatzes einer Schlauchlahnung in Hilgenriedersiel, Einführung gepflasterter Oberflächen Einbau eines Lahnungskerns aus Verhüttungsrückständen</p> <p>1968: Einsatz von Betonfertigteillahnnungen</p> <p>1970: endgültiges Scheitern der Schlauchlahnung, traditionelle Buschlahnung wird der Kunststofflahnung vorgezogen</p>	<p>1956-1959: Es werden nur Lahnnungen in schwerer Ausführung (Schüttsteindamm) errichtet.</p>	

Dänemark	Deutschland		Niederlande
	Schleswig- Holstein	Niedersachsen Ems-Jade Gebiet   Mündungsbereich der Weser	
Seit 1980 wird aus Gründen des Naturschutzes Landgewinnung nur noch auf auf einem 250 m bis 350 m breiten Streifen betrieben; der passive Küstenschutz dominiert gegenüber dem aktiven.	<p>70er Jahre: Ausgleich der durch Küstenschutzmaßnahmen verlorengegangenen Vorlandflächen mittels intensiver Vorlandarbeiten</p> <p>Erkenntnis des ökologisch hohen Potentials des Wattenmeeres und insbesondere des Vorlandes</p> <p>80er Jahre: Wandlung der Naturschutzziele: Vom Menschen unbeeinflußte Entwicklung der natürlichen Potentiale</p> <p>Errichtung der Nationalparks</p> <p>Wirtschaftliche Nutzungen und Vorlandarbeiten werden als "Eingriffe" deklariert</p> <p>Aktuelles Leitbild von Küstenschutz und Naturschutz im Nationalpark Schleswig-Holstein: "Es ist gemeinsames Ziel von Küstenschutz und Naturschutz, vorhandenes Vorland zu erhalten und vor Schardeichen zu entwickeln (STOCK ET AL., 1996, S. I-22).</p>	<p>1988: Vier alte Lahnungen werden grunderneuert bzw. durch Steindämme ersetzt.</p>	<p>Heute: Anwendung der sog. modifizierten Schleswig-Holstein Methode</p>

Deutschland				
	Schleswig-Holstein	Nordfriesland	Ostfriesland	Niedersachsen
<b>Aufbau der Lahnungen</b>	<p>Dithmarschen</p> <p>Pfahldurchmesser: 10 m bis 15 cm Pfahlänge: 1,75 m bis 3,00 m Pfahlabstand in Längsrichtung: 40 cm Lichte Weite der Nadelholzpfahlreihen: 25 cm Auf den relativ tief liegenden Wattgebieten (in Senken) werden sog. verstärkte Buschlahnungen gebaut. Nach Verlandung der Buschlahnungen werden Erdämmme aufgeworfen. Grundsätzlich sind die Buschlahnungen durchlässig; ihre Faschinennfüllung besteht aus Nadelholz.</p> <p>Die untere Lage der Faschinennfüllung besteht aus einer 10 cm starken in den Wattboden eingegrabenen Heidekrautschicht. Unter dem Anwurf wird ein Deckwerk aus Nadelbuschmatten zur Lagesicherung angeordnet.</p> 	<p>Nordfriesland</p> <p>Kronenhöhe i.d.R. 0,30 m, max. 0,5 m ü. MThw bzw. 1,00 m bis 1,50 m über Wattboden optimale Kronenhöhe über Wattboden = 0,80 m Die rd. 20 cm tiefe in den Wattboden einbindende untere Schicht der Faschinennfüllung wird i.d.R. in den Boden eingetrieben, in festere Böden eingegraben und besteht aus herkömmlichem Faschinennmaterial.</p> 	<p>Ostfriesland</p> <p>Neben Buschlahnungen werden auch Betonfertigteillahnungen eingesetzt.</p> 	<p>Budjadingen</p> 
<b>Abmessungen u. Anordnung der Lahnungsfelder mit zugehörigen Entwässerungssystemen</b>	<p>Auf sandigen Wattflächen beträgt die Feldgröße i.d.R. 200 m x 200 m; in sehr sandigen Bereichen auch 100 m x 100 m.</p> 	<p>In Gebieten mit sehr günstigen Anlandungsbedingungen beträgt die Feldgröße 400 m x 400 m.</p> 	<p>I.d.R. werden buhnenfeldähnliche Lahnungsfelder (250 m parallel und 250 bis 300 m senkrecht zur Küste) angelegt. Gegen drohende Salzwiesenverluste werden Parallelwerke angeordnet. Buschlahnungen werden nur an geschützten Stellen eingesetzt.</p> 	<p>Es werden Lahnungsfelder aus Buschlahnungen der Größe 200 m senkrecht, 400 m parallel zur Küste angelegt. Am nördlichen Küstenabschnitt wurden bevorzugt Lahnungsfelder aus schweren Lahnungen der Größe 400 m x 300 m, am mittleren vorwiegend leichte angelegt. Am südlichen, von der Weser beeinflussten Küstenabschnitt befinden sich keine Lahnungsfelder, sondern Buhnen.</p> 
<b>Gruppenquerschnitte</b>	 <p>Skizze 1: Hauptwasserungsgraben 3,00 m x 0,40 m Skizze 2: Quergraben 2,00 m oder 3,00 m x 0,40 m Skizze 3: Anwurfguppe 2,00 m oder 3,00 m x 0,20 m Skizze 4: Flächengruppe 2,25 m x 0,20 m Skizze 5: Bedarfswasserungsgraben 0,40 m x 0,20 m</p>	<p>Es werden Trapez-, Rechteck- oder halbelliptische Profile ausgeführt.</p> 	<p>Die Querschnitte entsprechen, mit Ausnahme im tiefen Watt (Trapezprofile), denen in Ostfriesland.</p>	<p>Es werden Rechteckprofile ausgeführt.</p>
<b>Bodenverhältnisse</b>	häufig sandig	häufig schlüssig	Mischwatt	Mischwatt
<b>Form / Lage der Küste</b>	Die Küste verläuft überwiegend in Nord-Süd Richtung.		<p>Die Küste verläuft in Ost-West-Richtung.</p> <ul style="list-style-type: none"> <li>- Küste mit vorgelagerten Barriereinseln</li> <li>- Meeresbuchten</li> </ul>	<p>Die Küste verläuft in Ost-West-Richtung.</p> <ul style="list-style-type: none"> <li>- Küste ohne Barriereinseln</li> <li>- Küste wurde bis zum Bau der Weserkorrektionswerke vom Budjadinger Weserarm erodiert; heute sind Verlandungstendenzen vorherrschend</li> </ul>

Anl. A 3-2a: Ausführung von Lahnungsarbeiten an der deutschen Nordseeküste  
(FIEGE ET AL., 1996, S. 339)

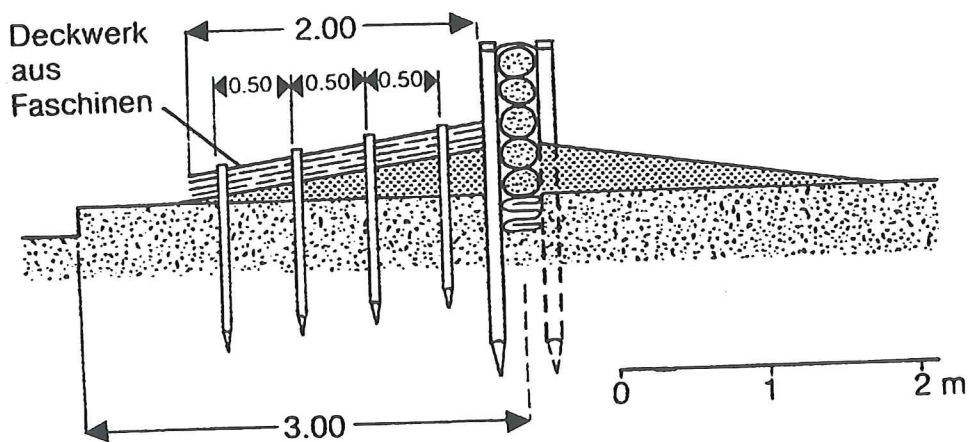
	DÄNEMARK	NIEDERLANDE	GROßBRITANNIEN
Lahnungskonstruktion	 <p>Die Kronenhöhe der verstärkten Buschlahnung liegt i.d.R. 0,30 m über MThw.</p>  <p>Die Ausführung entspricht der „Schleswig-Holstein-Methode“. Die Kronenhöhe liegt i.a. 1,00 m über dem Wattboden.</p>		
Abmessung und Anordnung der Lahnungsfelder mit zugehörigen Entwässerungssystemen	<p>Der Hauptlahnungsabstand beträgt i.D.R. 200 m, der Querlahnungsabstand variiert von 50 m bis 200 m. Die Standard-abmessungen am Rømødamm betragen 200 m x 200 m. I.d.R. wird nur ein Feld angelegt, selten zwei hintereinanderliegende Felder.</p>  <p>GRÜPPMUSTER:</p>  <p>LAHNUNGSFELD:</p>  <p>Die seeseitigen Öffnungen sind 20 m bis 25 m breit Typisch ist die seeseitige Erweiterung der Längslahnung mit sog. Streckdämmen in Abständen von ca. 1200 m bis 1600 m voneinander und bis ca. 500 m vor der äußersten Querlahnung.</p>	<p>Der Abstand der Lahnungen ist lokal sehr unterschiedlich; in Essex wurden beispielsweise Abstände von 50 m bis 400 m realisiert.</p> 	

	DÄNEMARK	NIEDERLANDE	GROßBRITANNIEN
Gruppenquerschnitte	<p>Standardabmessungen: Tiefe: 0,25 m Breite: 0,30 m bis 0,35 m Gruppenabstand: 6,00 m Beetbreite: 5,65 m bis 5,70 m Die maximale Gruppenlänge beträgt 200 m. Es existiert kein durchgehender Hauptgraben.</p>  <p>Maßstab 1:10</p>	<p>Die Gruppenquerschnitte entsprechen den ostfriesischen Querschnitten.</p>	<p>Ähnlich wie in den Niederlanden erfolgt eine Orientierung an der „Schleswig-Holstein-Methode“. Auf die Herstellung von Entwässerungssystemen wird i.d.R. verzichtet.</p>
Bodenverhältnisse	häufig sandig	vielerorts sandig	
Form und Lage der Küste	 <p>Die Küste verläuft i.w. in Nord-Süd-Richtung.</p>	<p>Die Küste verläuft in den Bereichen mit Lahnungsbauwerken – ähnlich wie in Ostfriesland – vorwiegend von West nach Ost.</p>	<p>Ostküste Englands</p>

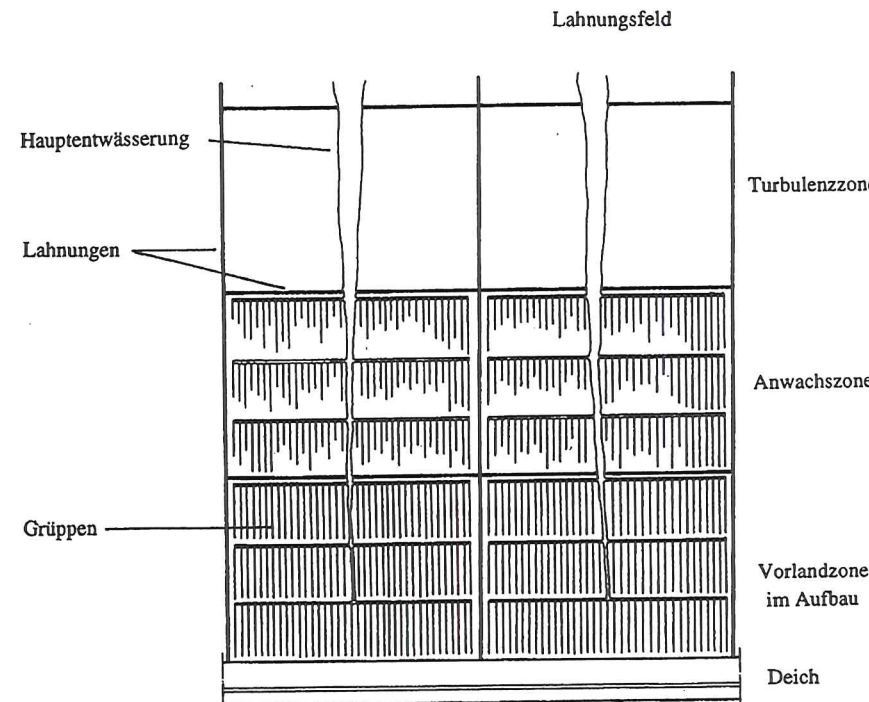
Anl. A 3-2b: Ausführung von Lahnungsarbeiten an der dänischen, niederländischen und britischen Nordseeküste



Anl. A 3-3a: Mit Faschinendeckwerk verstärkte Buschlahnung;  
Aufnahme im Baubezirk des ALW HEIDE, 1994



Anl. A 3-3b: Schematische Darstellung einer  
mit Faschinendeckwerk verstärkten Buschlahnung  
(STADELmann, 1981, S. 57)



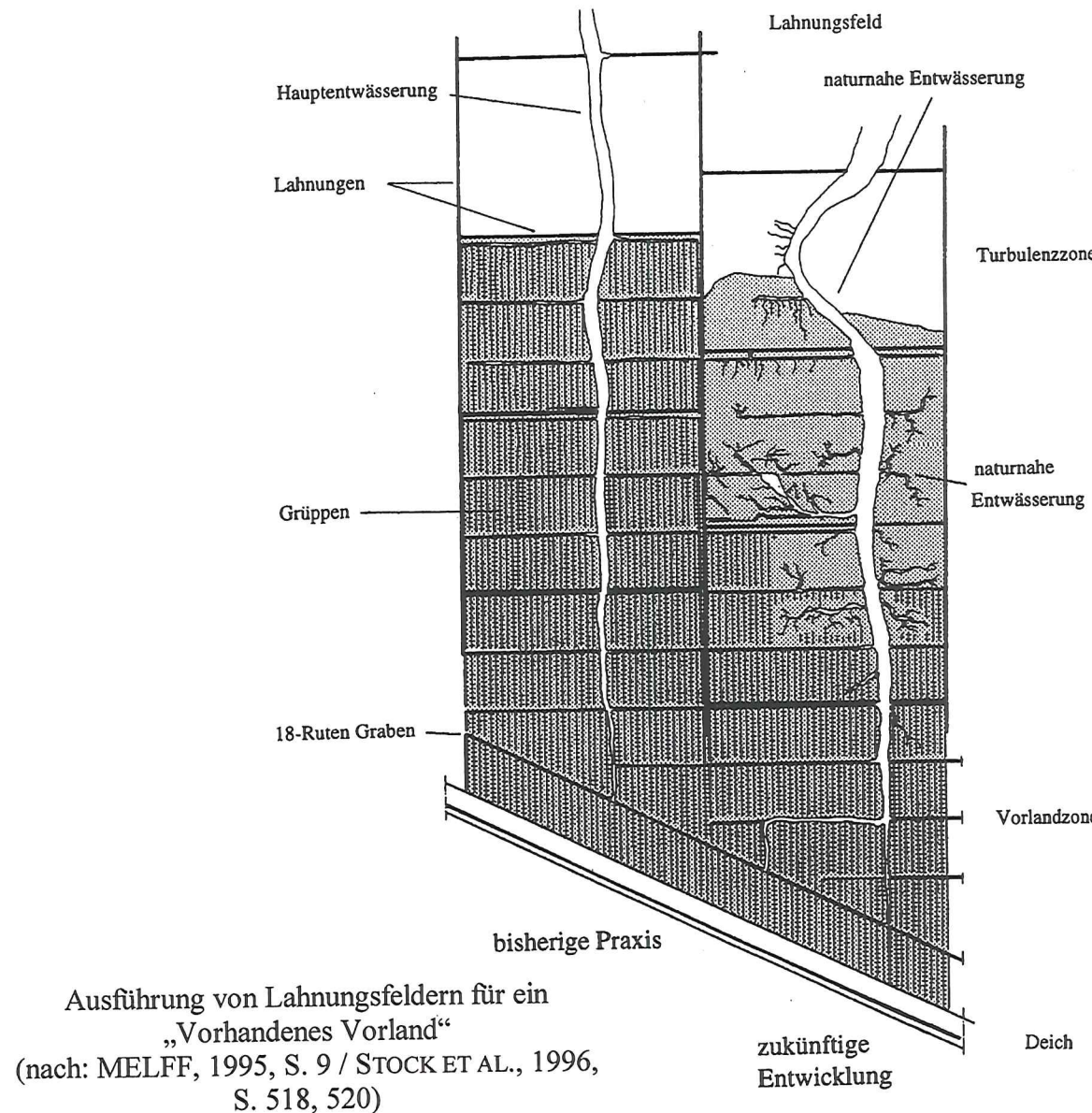
Ausführung von Lahnungsfeldern für ein „Vorland im Aufbau“  
(nach: MELFF, 1995, S. 4, 9 / STOCK ET AL., 1996, S. 518f)

PHASE	BEREICH	BEZEICHNUNG	ZWECK	ARBEITEN IM LAHNUNGSFELD	VORLANDARBEITEN ENTWÄSSERUNG		BEWEIDUNG
					TRANSPORT-DÄMME <sup>1</sup>		
1. Phase	1. Lahnungsfeld	Turbulenzzone	Wellendämpfung Strömungsberuhigung	Unterhaltung Anwurf	Hauptentwässerung	—	—
2. Phase	1. Lahnungsfeld	Anwachszone	Aufbau und Erhaltung von Watt- und Anwachsfächlen	Unterhaltung Anwurf Begrüppung	Hauptentwässerung Begrüppung	(X)	
	2. Lahnungsfeld	Turbulenzzone	Wellendämpfung Strömungsberuhigung	Unterhaltung Anwurf	Hauptentwässerung	—	—
3. Phase	1. Lahnungsfeld	Vorlandzone im Aufbau	Förderung einer geschlossenen Vegetationsdecke	Unterhaltung (Anwurf) Begrüppung *	Deichfußentwässerung Hauptentwässerung	X	(X)
	2. Lahnungsfeld	Anwachszone	Aufbau und Erhaltung von Watt- und Anwachsfächlen	Unterhaltung Anwurf Begrüppung *	Hauptentwässerung Begrüppung *	—	—
	3. Lahnungsfeld	Turbulenzzone	Wellendämpfung Strömungsberuhigung	Unterhaltung Anwurf	Hauptentwässerung	—	—

\* Einzelfallentscheidung im Rahmen der Jahrespläne

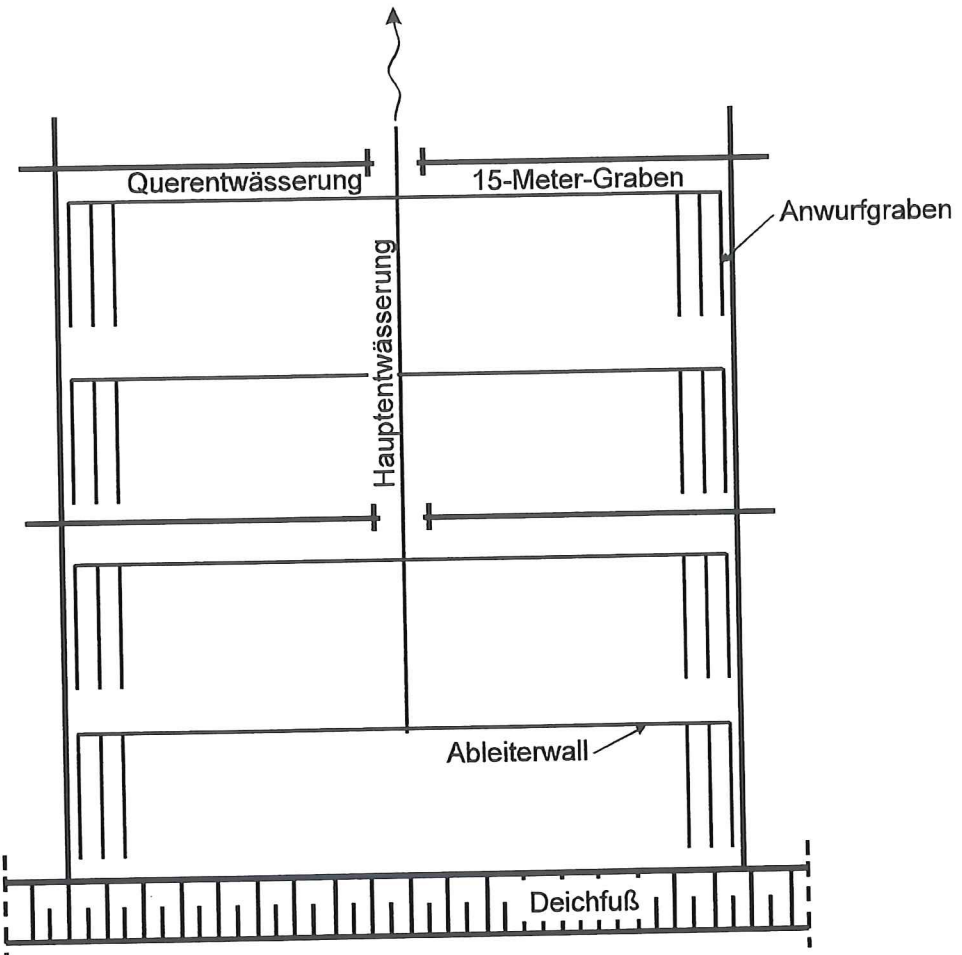
<sup>1</sup> „Transportdämme schaffen Zugangsmöglichkeiten in das Vorland und an die Vorlandkante zu Zwecken von z.B. Unterhaltungsarbeiten odes des Katastropheneinsatzes“  
 (MELFF, 1995, S. 4).

Anl. A 3-4a: Ausführung von Lahnungsfeldern für ein „Vorland im Aufbau“  
 (nach: MELFF, 1995, S. 4, 9 / STOCK ET AL., 1996, S. 518f)

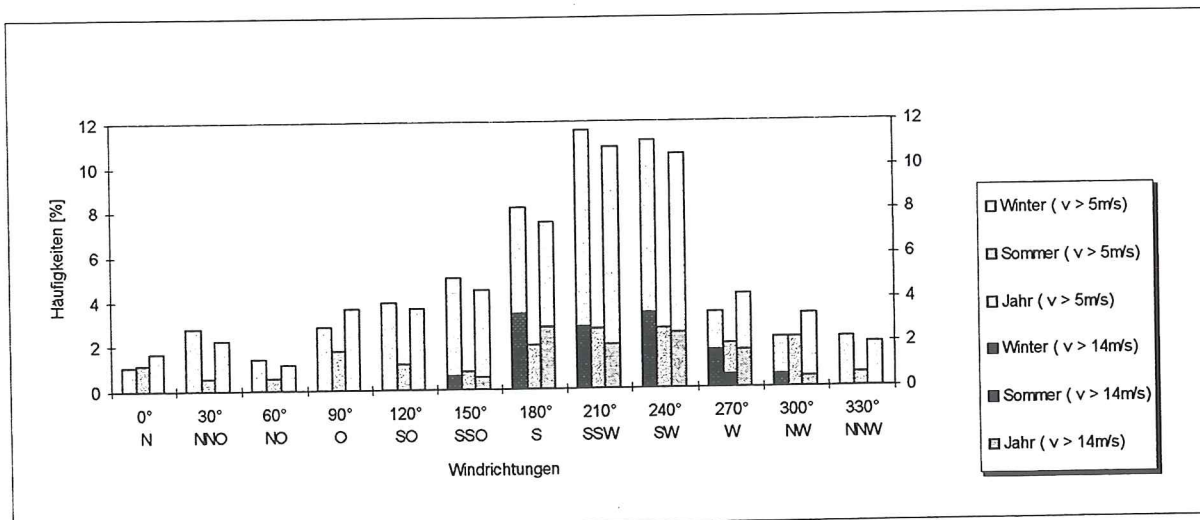


BEREICH	BEZEICHNUNG	ZWECK	ARBEITEN IM LAHNUNGSFELD	VORLANDARBEITEN ENTWÄSSERUNG	TRANSPORT-DÄMME	BEWEIDUNG
18-Ruten-Streifen	deichnahes Vorland	Erhaltung Deichfußentwässerung	—	Deichfußentwässerung	X	X
außerhalb 18-Ruten-Streifen	Nationalpark Vorland	Erhaltung	Schutzlahnung/-feld zur Sicherung der Vorlandkante	Hauptentwässerung	—	Sodenfläche

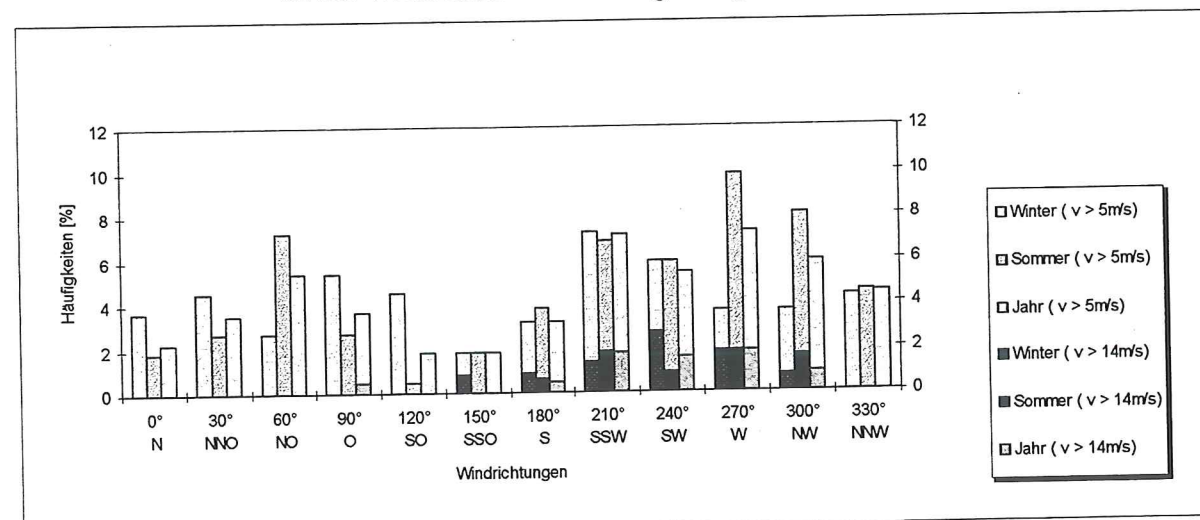
Anl. A 3-4b: Ausführung von Lahnungsfeldern für ein „Vorhandenes Vorland“  
(nach: MELFF, 1995, S. 9 / STOCK ET AL., 1996, S. 518, 520)



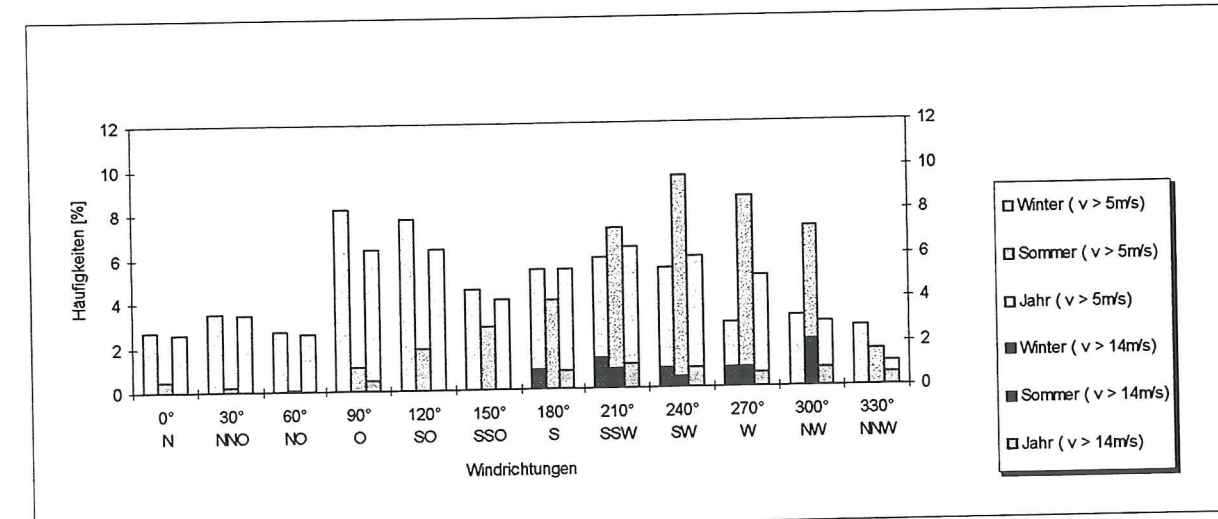
Anl. A 6-1: Entwässerungssystem im Testgebiet „Ockholm“, Frühjahr 1995“  
(AMT FÜR LAND- UND WASSERWIRTSCHAFT HUSUM, 1997)



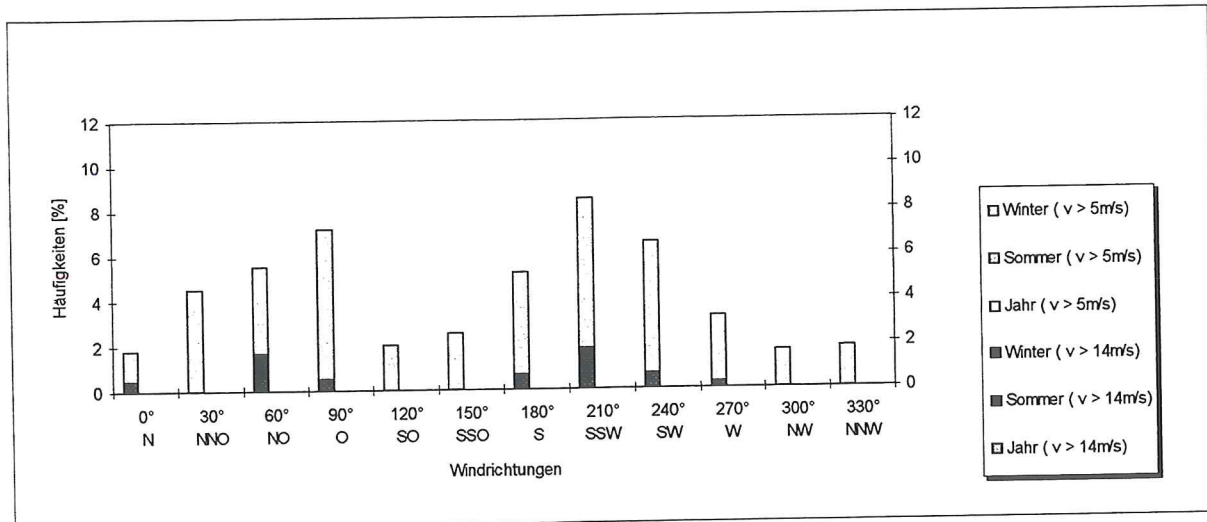
Anl. A 6-2a: Häufigkeiten der Windrichtungen für Windstärken  $> 5\text{ m/s}$  und  $> 14\text{ m/s}$   
an der Windmeßstation "Hallig Hooge" im Jahr 1983



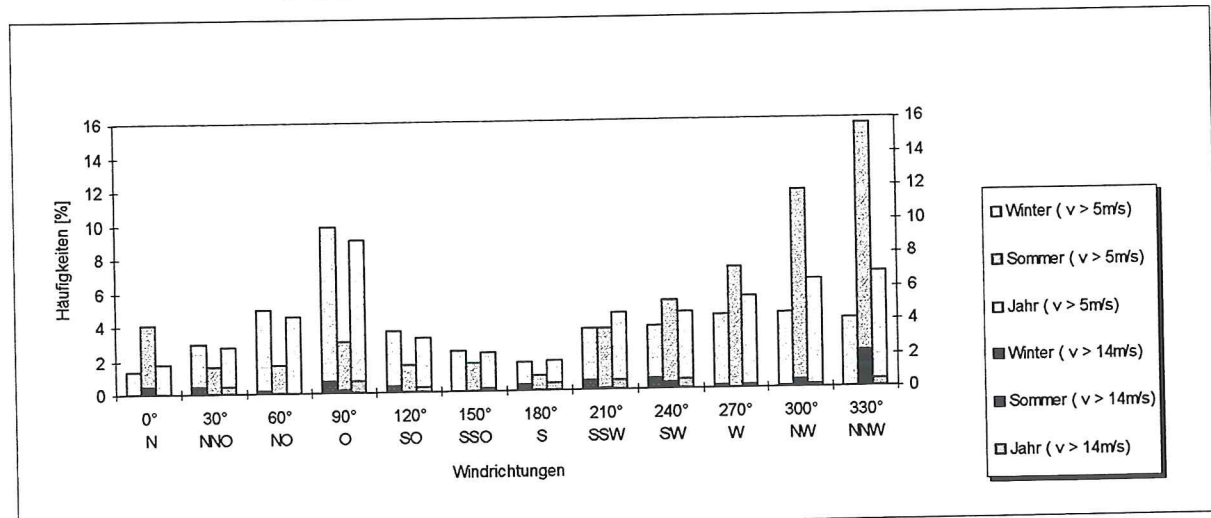
Anl. A 6-2b: Häufigkeiten der Windrichtungen für Windstärken  $> 5\text{ m/s}$  und  $> 14\text{ m/s}$   
an der Windmeßstation "Hallig Hooge" im Jahr 1984



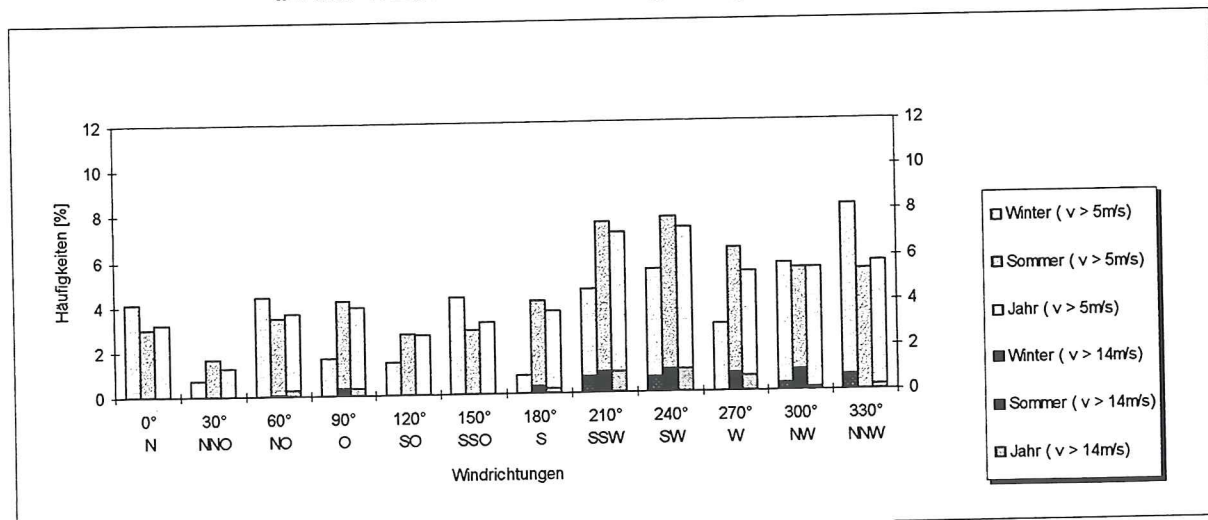
Anl. A 6-2c: Häufigkeiten der Windrichtungen für Windstärken  $> 5\text{ m/s}$  und  $> 14\text{ m/s}$   
an der Windmeßstation "Hallig Hooge" im Jahr 1985  
(Quelle: AMT FÜR LAND- UND WASSERWIRTSCHAFT HUSUM, 1995)



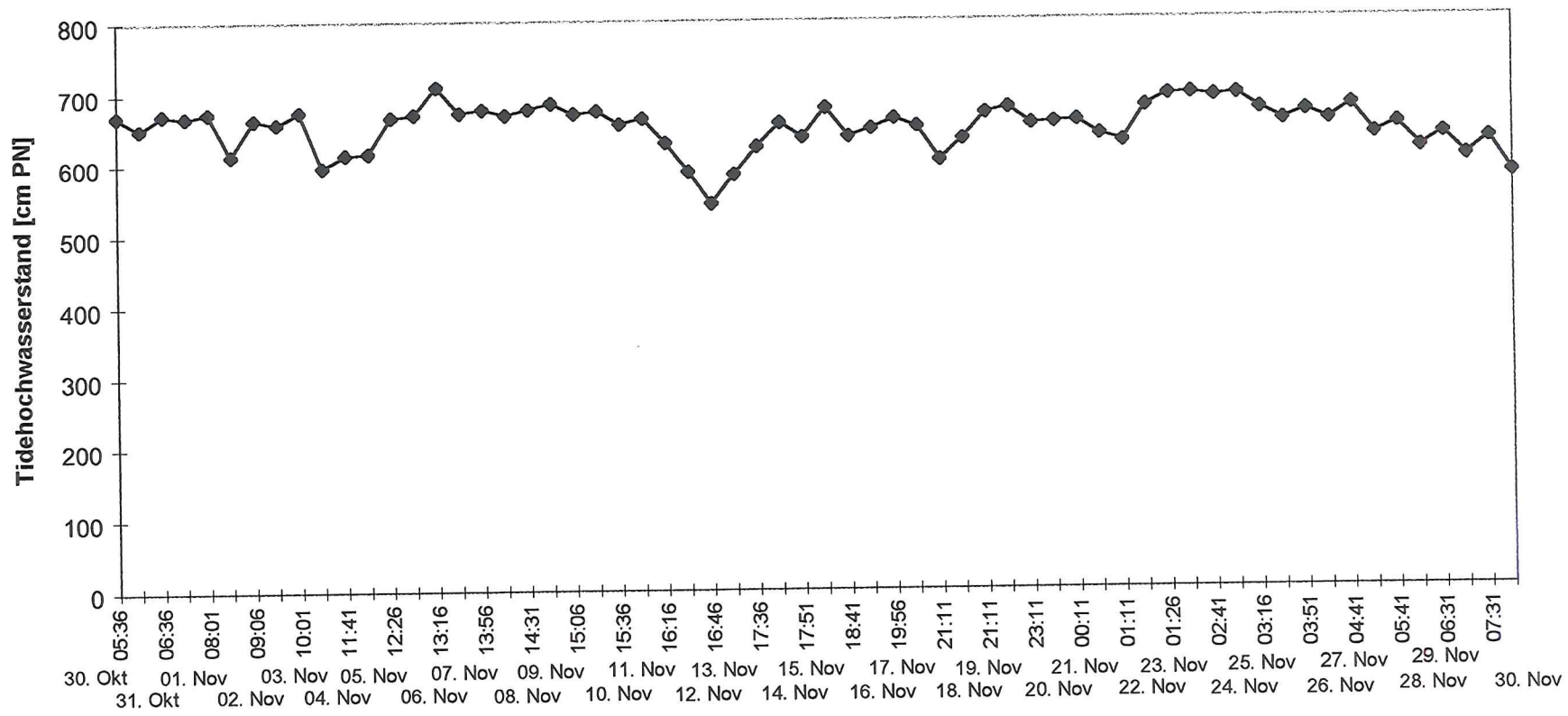
Anl. A 6-2d: Häufigkeiten der Windrichtungen für Windstärken  $> 5 \text{ m/s}$  und  $> 14 \text{ m/s}$   
 an der Windmeßstation "Hallig Hooge" im Jahr 1986



Anl. A 6-2e: Häufigkeiten der Windrichtungen für Windstärken  $> 5 \text{ m/s}$  und  $> 14 \text{ m/s}$   
 an der Windmeßstation "Hallig Hooge" im Jahr 1987



Anl. A 6-2f: Häufigkeiten der Windrichtungen für Windstärken  $> 5 \text{ m/s}$  und  $> 14 \text{ m/s}$   
 an der Windmeßstation "Hallig Hooge" im Jahr 1988  
 (Quelle: AMT FÜR LAND- UND WASSERWIRTSCHAFT HUSUM, 1995)



Anl. A 6-4: Darstellung der Tidehochwasserstände am Pegel „Schlüttspiel“ im November 1995  
(Quelle: AMT FÜR LAND- UND WASSERWIRTSCHAFT HUSUM, 1995/96)

AUSSCHNITT DER TIDEN LFD. NR.	DATUM	BEGINN [UHRZEIT]	DAUER [h, min]	WASSERSPIEGEL BZGL. +/- MTHW	H <sub>max</sub> [m]	T <sub>Hmax</sub> [s]	H <sub>s</sub> 1 [m]	T <sub>Hs</sub> [s]	u [m/s]	RICHTUNG [°]	BEMERKUNGEN
											2
01-XII-94	14.12.94	09:41	2 h 45	- 0,35 + 0,05	0,06	3,8	(0,02)	2,8	9,3	50	mittl. Tide, s. ger. Seeg., W. ablandig
02-XII-94	14.12.94	22:31	1 h 45	- 0,49 - 0,23	0,05	3,2	(0,02)	2,7			niedr. Tide, s. ger. Seeg.
03-XII-94	18.12.94	23:57	4 h 15	- 0,13 + 0,53	0,26	3,6	0,13	3,4			erh. Tide, ger. Seeg.
04-XII-94	19.12.94	12:32	4 h 15	- 0,25 + 0,47	0,37	3,7	0,14	3,5			erh. Tide, ger. Seeg.
05-XII-94	25.12.94	04:26	3 h 15	- 0,30 + 0,17	0,22	3,1	0,10	3,0			erh. Tide, ger. Seeg.
06-XII-94	25.12.94	17:43	2 h 15	- 0,17 + 0,07	0,31	2,9	0,17	2,5			mittl. Tide, ger. Seeg.
07-XII-94	29.12.94	08:11	3 h 45	- 0,06 + 0,33	0,42	3,2	0,20	2,7	3,1	145	erh. Tide, ausg. Seeg., W. kst.-parall.
08-XII-94	29.12.94	20:37	3 h 15	0 + 0,41	0,33	3,5	0,13	2,9			erh. Tide, ger. Seeg.
09-XII-94	31.12.94	23:26	3 h 15	+ 0,02 + 0,52	0,23	3,4	0,11	3,2	10,2	300	erh. Tide, ger. Seeg., W. kst.-parall.
01-I-95	01.01.95	10:52	5 h 45	- 0,12 + 1,51	0,66	76,6	0,26	4,0	14,0	248	Sturmflut, ausg. Seeg.
02-I-95	01.01.95	23:19	5 h 45	- 0,09 + 1,23	0,32	91,4	0,06	3,8	9,1	344	st. erh. Tide, s. ger. Seeg.
03-I-95	10.01.95	04:58	7 h 30	- 0,50 + 1,85	0,76	86,8	0,29	4,0	19,2	309	Sturmflut, ausg. Seeg., W. kst.-parallel
04-I-95	10.01.95	16:45	5 h 15	- 0,11 + 0,83	0,35	59,6	0,13	3,9	11,3	304	st. erh. Tide, ger. Seeg., W. kst.-parallel
05-I-95	11.01.95	19:47	3 h 15	- 0,20 + 0,23	0,13	42,1	0,06	3,9	9,5	320	erh. Tide, s. ger. Seeg., W. kst.-parallel
06-I-95	13.01.95	22:10	3 h 15	- 0,43 + 0,17	0,16	92,6	0,05	3,8	8,2	218	erh. Tide, s. ger. Seeg., W. senkr.
07-I-95	14.01.95	10:49	3 h 15	- 0,36 + 0,06	0,09	85,2	0,04	4,2	8,9	228	mittl. Tide, s. ger. Seeg., W. senkr.
08-I-95	14.01.95	22:42	3 h 15	- 0,25 + 0,34	0,17	81,3	0,06	4,6	8,7	235	erh. Tide, s. ger. Seeg., W. senkr.
09-I-95	16.01.95	00:04	2 h 45	- 0,35 + 0,03	0,12	89,3	0,05	4,1	7,9	210	mittl. Tide, s. ger. Seeg., W. senkr.
10-I-95	16.01.95	12:54	1 h 45	- 0,33 - 0,13	0,12	77,8	0,05	3,8	10,7	190	niedr. Tide, s. ger. Seeg.
11-I-95	17.01.95	00:47	2 h 45	- 0,28 + 0,09	0,19	16,5	0,09	3,4	11,3	183	mittl. Tide, ger. Seeg.
12-I-95	17.01.95	13:46	1 h 45	- 0,06 0	0,15	48,9	0,07	2,8	10,5	157	mittl. Tide, ger. Seeg.
13-I-95	18.01.95	01:21	2 h 15	- 0,17 + 0,09	0,20	3,2	0,10	2,8	12,5	160	mittl. Tide, ger. Seeg.
14-I-95	19.01.95	01:58	2 h 45	- 0,06 + 0,28	0,13	47,8	0,05	3,8	6,0	168	erh. Tide, s. ger. Seeg.
15-I-95	19.01.95	13:50	3 h 45	- 0,10 + 0,36	0,13	49,7	0,05	3,4	6,8	174	erh. Tide, s. ger. Seeg.
16-I-95	21.01.95	02:52	2 h 45	- 0,14 + 0,16	0,15	77,3	0,07	2,9	8,4	185	erh. Tide, ger. Seeg.
17-I-95	21.01.95	15:31	2 h 15	- 0,15 + 0,09	0,14	18,1	0,07	2,8	9,2	167	mittl. Tide, ger. Seeg.
18-I-95	22.01.95	16:48	1 h 15	+ 0,18 + 0,20	0,19	3,6	0,09	2,8	7,3	200	erh. Tide, ger. Seeg., W. senkr.
19-I-95	23.01.95	04:26	3 h 45	+ 0,22 + 0,73	0,39	6,1	0,13	3,5	10,2	252	mittl. Tide, ger. Seeg.
20-I-95	23.01.95	14:59	6 h 15	+ 0,07 + 1,43	0,62	3,7	0,30	3,4	14,8	240	st. erh. Tide, ausg. Seeg., W. senkr.
21-I-95	24.01.95	03:33	5 h 15	+ 0,06 + 0,93	0,49	4,2	0,18	3,6	12,6	270	erh. Tide, ausg. Seeg.

1 Die hier mit H<sub>s</sub> und T<sub>Hs</sub> bezeichneten Größen stellen jeweils Mittelwerte über den Ausschnitt der entsprechenden Tide dar.

2 Windrichtungen von 200° bis 240° wurden als senkrecht auf die Küste treffend bewertet bzw. von 20° bis 60° als ablandiger Wind bezeichnet.  
 Windrichtungen von 110° bis 150° bzw. 290° bis 330° wurden als küsten-paralleler Wind bezeichnet.

22-I-95	24.01.95	16:28	4 h 45	- 0,06	+ 0,71	0,32	14,9	0,13	3,7	10,5	262	erh. Tide, ger. Seeg.			
23-I-95	25.01.95	05:40	2 h 15	- 0,04	+ 0,24	0,19	11,5	0,09	2,8	7,0	258	erh. Tide, ger. Seeg.			
24-I-95	27.01.95	07:02	4 h 45	- 0,01	+ 0,83	0,18	93,6	0,09	4,2	8,3	302	erh. Tide, ger. Seeg.			
25-I-95	27.01.95	21:08	2 h 15	- 0,12	+ 0,12	0,22	27,3	0,09	2,9	8,6	223	erh. Tide, ger. Seeg., W. senkr.			
26-I-95	28.01.95	21:38	3 h 15	+ 0,03	+ 0,49	0,25	3,6	0,11	2,9	8,1	244	erh. Tide, ger. Seeg., W. senkr.			
27-I-95	29.01.95	10:49	2 h 45	+ 0,08	+ 0,31	0,29	10,2	0,08	3,2	7,7	228	erh. Tide, ger. Seeg., W. senkr.			
01-II-95	01.02.95	01:05	3 h 15	- 0,07	+ 0,34	0,28	63,8	0,15	3,6	15,5	216	erh. Tide, ger. Seeg., W. senkr.			
02-II-95	01.02.95	13:11	3 h 45	- 0,02	+ 0,51	0,09	74,7	0,04	3,5	8,7	238	erh. Tide, s. ger. Seeg.			
03-II-95	02.02.95	00:51	5 h 15	+ 0,14	+ 1,08	0,08	84,3	0,04	3,6	8,0	276	st. erh. Tide, s. ger. Seeg.			
04-II-95	02.02.95	14:00	3 h 35	- 0,15	+ 1,09	0,08	50,7	0,03	3,2	6,4	320	st. erh. Tide, s. ger. Seeg., W. kst.-parallel			
05-II-95	03.02.95	02:30	3 h 15	- 0,19	+ 0,29	0,07	79,2	0,03	3,1	7,1	203	erh. Tide, s. ger. Seeg.			
06-II-95	03.02.95	15:31	2 h 15	- 0,21	+ 0,07	0,11	87,6	0,05	3,4	13,2	213	mittl. Tide, s. ger. Seeg.			
07-II-95	04.02.95	02:46	4 h 15	- 0,07	+ 0,62	0,13	64,4	0,06	4,1	9,8	237	erh. Tide, s. ger. Seeg., W. senkr.			
08-II-95	04.02.95	15:01	4 h 15	- 0,05	+ 0,61	0,11	93,1	0,05	4,4	9,4	288	erh. Tide, s. ger. Seeg.			
09-II-95	05.02.95	03:14	4 h 15	- 0,10	+ 0,68	0,15	59,5	0,06	3,9	8,5	290	erh. Tide, s. ger. Seeg., W. kst.-parallel			
10-II-95	06.02.95	04:19	3 h 15	- 0,05	+ 0,40	0,18	62,3	0,06	3,9	9,3	243	erh. Tide, s. ger. Seeg., W. senkr.			
11-II-95	06.02.95	16:28	4 h 15	0	+ 0,56	0,27	22,1	0,11	4,0	12,4	252	erh. Tide, ger. Seeg.			
12-II-95	07.02.95	03:55	4 h 45	+ 0,03	+ 0,89	0,44	77,9	0,18	3,8	12,2	270	st. erh. Tide, ausg. Seeg.			
13-II-95	07.02.95	16:53	3 h 15	+ 0,03	+ 0,51	0,25	3,5	0,12	3,3	9,6	292	erh. Tide, ger. Seeg., W. kst.-parallel			
14-II-95	08.02.95	05:32	3 h 15	+ 0,03	+ 0,40	0,26	16,4	0,12	3,1	10,6	303	mittl. Tide, s. ger. Seeg., W. kst.-parallel			
15-II-95	08.02.95	19:04	0 h 45	+ 0,06	+ 0,08	0,12	2,7	0,05	2,1	8,0	325	mittl. Tide, s. ger. Seeg., W. kst.-parallel			
16-II-95	09.02.95	07:38	0 h 45	+ 0,03	+ 0,05	0,12	2,9	0,07	2,1	6,8	315	erh. Tide, ger. Seeg., W. kst.-parallel			
17-II-95	09.02.95	20:10	0 h 45	- 0,05	- 0,04	0,13	2,9	0,06	2,1	7,0	305	niedr. Tide, s. ger. Seeg., W. kst.-parallel			
18-II-95	12.02.95	09:10	5 h 15	+ 0,18	+ 0,59	0,55	3,3	0,23	3,0	13,6	249	erh. Tide, ausg. Seeg.			
19-II-95	12.02.95	22:13	4 h 15	+ 0,07	+ 0,50	0,25	3,8	0,11	3,3	10,7	222	erh. Tide, ger. Seeg., W. senkr.			
20-II-95	13.02.95	12:25	0 h 15	- 0,08	- 0,07	0,10	1,8	0,05	1,7	7,2	190	niedr. Tide, s. ger. Seeg.			
21-II-95	13.02.95	23:43	2 h 45	- 0,06	+ 0,30	0,08	59,3	0,05	3,4	7,7	175	erh. Tide, s. ger. Seeg.			
22-II-95	14.02.95	12:16	3 h 15	0	+ 0,28	0,24	31,8	0,10	3,1	9,3	240	erh. Tide, ger. Seeg., W. senkr.			
23-II-95	15.02.95	00:13	3 h 15	- 0,04	+ 0,37	0,25	17,2	0,13	3,0	12,6	183	erh. Tide, ger. Seeg.			
24-II-95	16.02.95	00:46	4 h 45	+ 0,16	+ 0,60	0,35	3,3	0,17	3,0	13,4	232	erh. Tide, ger. Seeg., W. senkr.			
25-II-95	16.02.95	12:32	6 h 15	+ 0,05	+ 0,70	0,31	3,9	0,14	3,1	10,9	239	erh. Tide, ger. Seeg., W. senkr.			
26-II-95	17.02.95	01:05	4 h 15	+ 0,19	+ 0,77	0,48	3,4	0,24	3,1	14,8	202	erh. Tide, ausg. Seeg.			
27-II-95	17.02.95	12:59	4 h 45	- 0,01	+ 0,65	0,32	5,2	0,17	2,9	12,2	262	erh. Tide, ger. Seeg.			
28-II-95	18.02.95	01:36	3 h 45	+ 0,14	+ 0,67	0,18	60,7	0,08	4,3	7,5	270	erh. Tide, ger. Seeg.			
29-II-95	18.02.95	14:30	3 h 15	- 0,04	+ 0,42	0,19	4,5	0,09	3,5	7,5	270	erh. Tide, ger. Seeg.			
30-II-95	19.02.95	02:45	3 h 15	+ 0,05	+ 0,50	0,34	3,0	0,15	2,8	12,0	208	erh. Tide, ger. Seeg.			
31-II-95	19.02.95	15:34	2 h 15	+ 0,08	+ 0,21	0,23	2,5	0,10	2,1	8,4	240	erh. Tide, ger. Seeg., W. senkr.			
32-II-95	20.02.95	03:09	4 h 45	+ 0,16	+ 0,66	0,47	47,5	0,14	2,7	11,1	231	erh. Tide, ger. Seeg., W. senkr.			
33-II-95	20.02.95	13:50	5 h 15	- 0,14	+ 0,72	0,35	67,6	0,14	3,1	9,3	247	erh. Tide, ger. Seeg.			
34-II-95	21.02.95	04:01	3 h 15	+ 0,01	+ 0,28	0,24	2,6	0,08	2,1	9,4	180	erh. Tide, ger. Seeg.			
35-II-95	21.02.95	16:21	3 h 45	- 0,24	+ 0,51	0,31	2,9	0,13	2,8	11,1	268	erh. Tide, ger. Seeg.			

															st. erh. Tide, ausg. Seeg.
36-II-95	22.02.95	03:35	5 h 45	+ 0,12	+ 1,08	0,55	5,7	0,23	3,3	14,2	243			erh. Tide, ausg. Seeg.	
37-II-95	22.02.95	16:02	4 h 45	- 0,07	+ 0,53	0,42	3,9	0,18	2,8	13,8	213			erh. Tide, ausg. Seeg.	
38-II-95	23.02.95	04:58	4 h 45	+ 0,13	+ 0,69	0,56	13,6	0,24	3,3	14,1	222			erh. Tide, ausg. Seeg., W. senkr.	
39-II-95	23.02.95	16:42	5 h 15	- 0,02	+ 0,85	0,43	13,8	0,19	3,0	11,6	243			erh. Tide, ausg. Seeg., W. senkr.	
40-II-95	24.02.95	06:07	3 h 15	- 0,14	+ 0,37	0,23	3,6	0,11	2,9	8,7	233			erh. Tide, ger. Seeg., W. senkr.	
41-II-95	25.02.95	20:50	2 h 15	+ 0,02	+ 0,28	0,13	73,7	0,04	2,3	3,4	280			erh. Tide, s. ger. Seeg.	
42-II-95	26.02.95	10:26	1 h 15	+ 0,06	+ 0,09	0,13	14,4	0,07	2,5	4,5	145			mittl. Tide, ger. Seeg., W. kst.-parallel	
43-II-95	26.02.95	22:10	2 h 15	- 0,17	+ 0,18	0,09	48,2	0,04	3,2	5,3	353			erh. Tide, s. ger. Seeg.	
44-II-95	27.02.95	11:11	2 h 15	- 0,26	+ 0,06	0,20	10,1	0,08	2,4	9,5	230			mittl. Tide, ger. Seeg., W. senkr.	
45-II-95	27.02.95	22:02	4 h 45	- 0,15	+ 0,69	0,50	3,3	0,23	3,2	14,3	243			erh. Tide, ausg. Seeg., W. senkr.	
46-II-95	28.02.95	10:58	4 h 45	- 0,33	+ 0,74	0,40	6,1	0,18	3,1	11,1	245			erh. Tide, ausg. Seeg., W. senkr.	
1-III-95	01.03.95	00:03	4 h 30	+ 0,16	+ 1,31	0,74	7,1	0,33	3,5	16,2	232			erh. Tide, ausg. Seeg., W. senkr.	
2-III-95	01.03.95	11:54	4 h 15	- 0,16	+ 0,58	0,43	3,4	0,21	2,9	14,1	216			erh. Tide, ausg. Seeg., W. senkr.	
3-III-95	01.03.95	23:08	5 h 15	- 0,07	+ 1,38	0,88	43,3	0,28	4,4	12,7	250			erh. Tide, ausg. Seeg.	
4-III-95	02.03.95	12:01	5 h 15	- 0,06	+ 1,01	0,78	4,1	0,32	3,6	15,6	245			erh. Tide, ausg. Seeg.	
5-III-95	03.03.95	01:32	2 h 30	+ 0,07	+ 0,43	0,18	52,7	0,07	3,6	7,8	157			erh. Tide, s. ger. Seeg.	
6-III-95	03.03.95	13:43	4 h 15	+ 0,11	+ 0,70	0,60	4,1	0,31	3,2	19,4	186			erh. Tide, ausg. Seeg.	
7-III-95	04.03.95	01:23	4 h 15	- 0,08	+ 0,72	0,32	4,1	0,13	3,2	9,7	281			erh. Tide, ger. Seeg.	
8-III-95	04.03.95	14:36	2 h 15	- 0,11	+ 0,30	0,22	8,8	0,11	3,1	8,3	276			erh. Tide, ger. Seeg.	
9-III-95	05.03.95	02:52	2 h 45	- 0,08	+ 0,39	0,25	12,2	0,12	3,1	10,7	196			erh. Tide, ger. Seeg.	
10-III-95	06.03.95	03:19	2 h 45	+ 0,05	+ 0,39	0,17	10,1	0,09	3,0	9,0	183			erh. Tide, ger. Seeg.	
11-III-95	06.03.95	15:10	3 h 45	- 0,03	+ 0,54	0,35	70,9	0,11	3,0	8,8	261			erh. Tide, ger. Seeg.	
12-III-95	07.03.95	03:22	3 h 15	- 0,02	+ 0,45	0,25	24,9	0,09	3,5	7,6	247			erh. Tide, ger. Seeg.	
13-III-95	07.03.95	16:35	1 h 45	- 0,11	+ 0,12	0,14	21,2	0,07	2,7	8,1	183			erh. Tide, ger. Seeg.	
14-III-95	09.03.95	05:34	1 h 45	- 0,17	+ 0,08	0,21	3,2	0,08	2,5	8,5	191			mittl. Tide, ger. Seeg.	
15-III-95	15.03.95	12:42	0 h 45	0,03	+ 0,04	0,12	4,4	0,07	2,4	9,1	160			mittl. Tide, ger. Seeg.	
16-III-95	15.03.95	23:45	2 h 45	- 0,03	+ 0,33	0,13	69,8	0,06	3,8	5,4	219			erh. Tide, ger. Seeg., W. senkr.	
17-III-95	16.03.95	12:13	2 h 45	- 0,01	+ 0,38	0,33	7,8	0,14	3,1	10,6	226			erh. Tide, ger. Seeg., W. senkr.	
18-III-95	17.03.95	00:56	2 h 15	+ 0,05	+ 0,35	0,29	2,9	0,16	2,7	12,4	196			erh. Tide, ger. Seeg.	
1-VIII-95	01.08.95	04:11	1 h 45	- 0,56	- 0,22	0,06	5,4	0,03	3,3	7,5	100			niedr. Tide, s. ger. Seeg.	
2-VIII-95	01.08.95	16:36	1 h 30	- 0,39	- 0,05	0,19	13,8	0,05	3,4	8,7	90			mittl. Tide, s. ger. Seeg.	
3-VIII-95	02.08.95	04:43	1 h 45	- 0,55	- 0,21	0,07	67,3	0,03	4,6	3,4	55			niedr. Tide, s. ger. Seeg., W. ablandig	
4-VIII-95	02.08.95	16:33	2 h 45	- 0,65	+ 0,01	0,13	48,8	0,08	4,1	7,8	340			mittl. Tide, ger. Seeg.	
5-VIII-95	03.08.95	05:23	1 h 45	- 0,53	- 0,19	0,12	4,3	0,06	2,8	6,8	330			niedr. Tide, s. ger. Seeg.	
6-VIII-95	03.08.95	17:10	2 h 45	- 0,54	+ 0,05	0,21	4,5	0,11	2,5	10,1	325			mittl. Tide, ger. Seeg., W. kst.-parallel	
7-VIII-95	04.08.95	06:33	1 h 15	- 0,45	- 0,15	0,12	56,0	0,05	2,6	7,4	340			niedr. Tide, s. ger. Seeg.	
8-VIII-95	04.08.95	18:05	1 h 30	- 0,19	+ 0,03	0,21	3,6	0,09	1,8	7,3	330			mittl. Tide, ger. Seeg.	
9-VIII-95	07.08.95	22:46	1 h 00	- 0,53	- 0,24	0,13	10,3	0,07	2,3	8,8	355			niedr. Tide, ger. Seeg.	
10-VIII-95	08.08.95	10:51	1 h 15	- 0,36	- 0,17	0,16	2,9	0,07	1,8	3,4	333			niedr. Tide, ger. Seeg.	
11-VIII-95	08.08.95	22:52	1 h 45	- 0,47	- 0,25	0,07	78,5	0,03	4,0	4,8	30			niedr. Tide, s. ger. Seeg., W. ablandig	
12-VIII-95	09.08.95	11:01	2 h 15	- 0,44	+ 0,05	0,15	99,8	0,07	3,1	5,6	330			mittl. Tide, ger. Seeg.	

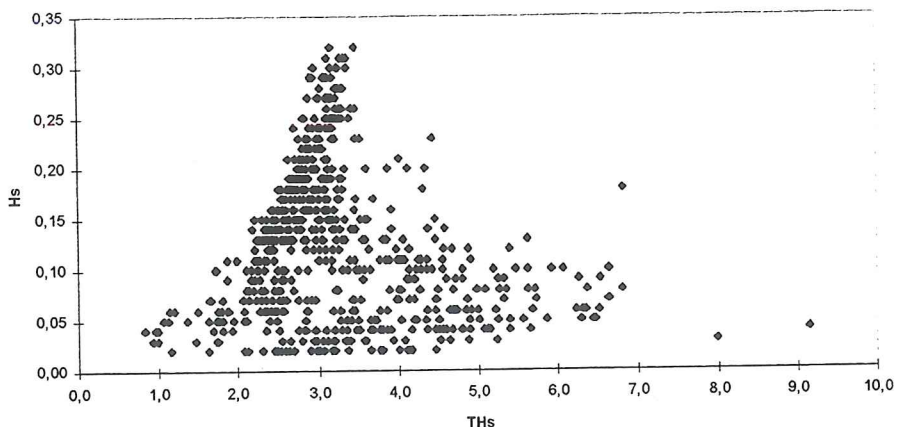
## Anlagen

13-VIII-95	09.08.95	23:48	2 h 15	- 0,41	- 0,10	0,09	62,3	0,04	3,8	4,1	357	niedr. Tide, ger. Seeg.
14-VIII-95	10.08.95	11:48	2 h 30	- 0,39	+ 0,14	0,16	37,0	0,07	3,2	6,0	330	erh. Tide, ger. Seeg.
15-VIII-95	11.08.95	00:49	2 h 15	- 0,48	- 0,16	0,06	28,8	0,03	3,8	5,4	30	niedr. Tide, ger. Seeg., W. ablandig
16-VIII-95	11.08.95	12:45	2 h 45	- 0,41	+ 0,11	0,19	68,5	0,09	3,6	2,9	310	erh. Tide, ger. Seeg., W. kst.-parallel
17-VIII-95	12.08.95	01:44	2 h 15	- 0,45	- 0,12	0,16	67,8	0,10	4,4	4,2	120	niedr. Tide, ger. Seeg., W. kst.-parallel
18-VIII-95	12.08.95	13:31	2 h 45	- 0,33	+ 0,22	0,24	35,5	0,07	3,5	4,1	177	erh. Tide, ger. Seeg.
19-VIII-95	13.08.95	02:08	2 h 45	- 0,31	+ 0,13	0,19	27,3	0,09	3,2	5,9	267	erh. Tide, ger. Seeg.
20-VIII-95	13.08.95	14:03	3 h 45	- 0,39	+ 0,41	0,26	10,8	0,10	3,8	7,2	310	erh. Tide, ger. Seeg., W. kst.-parallel
21-VIII-95	14.08.95	02:52	2 h 30	- 0,33	+ 0,08	0,19	64,3	0,08	5,1	6,9	353	mittl. Tide, ger. Seeg.
22-VIII-95	14.08.95	14:47	2 h 30	- 0,38	+ 0,26	0,22	4,0	0,11	3,2	7,1	320	erh. Tide, ger. Seeg., W. kst.-parallel
23-VIII-95	15.08.95	04:40	1 h 30	- 0,37	- 0,02	0,14	41,0	0,06	4,3	7,1	320	mittl. Tide, s. ger. Seeg., W. kst.-parallel
24-VIII-95	15.08.95	15:22	3 h 15	- 0,39	+ 0,27	0,18	33,3	0,09	3,4	8,1	325	erh. Tide, ger. Seeg., W. kst.-parallel
25-VIII-95	16.08.95	04:11	2 h 15	- 0,41	- 0,02	0,15	18,8	0,08	3,1	5,0	348	mittl. Tide, ger. Seeg.
26-VIII-95	16.08.95	16:06	3 h 15	- 0,39	+ 0,17	0,19	17,8	0,10	2,9	6,8	336	erh. Tide, ger. Seeg.
27-VIII-95	17.08.95	04:50	2 h 15	- 0,40	- 0,09	0,19	59,3	0,08	3,2	1,2	300	niedr. Tide, ger. Seeg., W. kst.-parallel
28-VIII-95	17.08.95	16:56	2 h 45	- 0,39	- 0,04	0,21	37,8	0,08	3,9	2,5	287	mittl. Tide, ger. Seeg.
29-VIII-95	18.08.95	05:53	1 h 15	- 0,35	- 0,22	0,18	33,8	0,05	4,5	1,8	45	niedr. Tide, s. ger. Seeg., W. ablandig
30-VIII-95	23.08.95	10:48	2 h 15	- 0,26	+ 0,54	0,18	4,5	0,08	3,5	4,4	170	erh. Tide, ger. Seeg.
31-VIII-95	23.08.95	23:25	2 h 15	- 0,36	+ 0,01	0,16	20,5	0,06	3,9	7,8	330	mittl. Tide, s. ger. Seeg.
32-VIII-95	24.08.95	12:52	1 h 15	- 0,22	+ 0,04	0,21	3,5	0,10	2,7	6,6	290	mittl. Tide, ger. Seeg., W. kst.-parallel
33-VIII-95	24.08.95	23:49	2 h 45	- 0,29	+ 0,16	0,38	3,5	0,16	2,9	10,0	250	erh. Tide, ger. Seeg.
34-VIII-95	25.08.95	11:44	3 h 45	- 0,15	+ 0,53	0,49	11,0	0,23	3,1	10,0	240	erh. Tide, ausg. Seeg., W. senkr.
35-VIII-95	26.08.95	00:04	3 h 45	- 0,20	+ 0,45	0,31	16,8	0,14	3,4	10,8	306	erh. Tide, ger. Seeg., W. kst.-parallel
36-VIII-95	26.08.95	12:17	3 h 45	- 0,31	+ 0,42	0,34	6,5	0,14	2,7	12,1	320	erh. Tide ger. Seeg., W. kst.-parallel
37-VIII-95	27.08.95	01:09	2 h 45	- 0,28	+ 0,12	0,18	5,0	0,09	3,6	7,6	310	erh. Tide, ger. Seeg., W. kst.-parallel
38-VIII-95	27.08.95	13:03	3 h 00	- 0,22	+ 0,50	0,31	58,3	0,11	3,4	8,5	278	erh. Tide, ger. Seeg.
39-VIII-95	28.08.95	01:47	2 h 45	- 0,15	+ 0,25	0,17	63,8	0,07	4,0	5,4	23	niedr. Tide, ger. Seeg., W. ablandig
40-VIII-95	28.08.95	14:49	1 h 15	- 0,26	+ 0,35	0,30	2,5	0,13	2,1	11,5	328	erh. Tide, ger. Seeg.
41-VIII-95	29.08.95	02:25	2 h 30	- 0,31	+ 0,06	0,18	47,5	0,07	4,0	12,7	340	erh. Tide, ger. Seeg.
42-VIII-95	29.08.95	14:31	2 h 30	- 0,23	+ 0,19	0,24	56,8	0,08	3,8	10,8	340	erh. Tide, ger. Seeg.
43-VIII-95	30.08.95	03:02	2 h 45	- 0,39	+ 0,09	0,15	84,8	0,05	3,9	5,3	347	erh. Tide, s. ger. Seeg.
44-VIII-95	30.08.95	15:00	2 h 30	- 0,31	+ 0,23	0,37	58,5	0,12	4,3	7,4	323	erh. Tide, ger. Seeg., W. kst.-parallel
45-VIII-95	31.08.95	03:41	2 h 15	- 0,39	- 0,01	0,10	25,0	0,05	4,0	5,8	17	mittl. Tide, s. ger. Seeg.
46-VIII-95	31.08.95	15:56	2 h 30	- 0,35	+ 0,03	0,18	60,0	0,06	3,6	9,6	350	mittl. Tide, s. ger. Seeg.
1-IX-95	01.09.95	18:03	0 h 45	- 0,28	+ 0,07	0,12	22,3	0,07	3,6	6,5	15	mittl. Tide, ger. Seeg.
2-IX-95	02.09.95	18:14	1 h 30	- 0,39	+ 0,09	0,19	2,5	0,08	1,9	3,6	350	mittl. Tide, ger. Seeg.
3-IX-95	04.09.95	07:13	2 h 15	- 0,02	+ 0,20	0,38	3,5	0,20	2,6	13,5	280	erh. Tide, ausg. Seeg.
4-IX-95	04.09.95	20:32	1 h 15	- 0,09	+ 0,05	0,21	7,8	0,09	1,8	5,2	305	mittl. Tide, ger. Seeg., W. kst.-parallel
5-IX-95	05.09.95	08:17	3 h 15	- 0,13	+ 0,39	0,43	3,5	0,22	2,7	12,7	258	erh. Tide, ausg. Seeg.
6-IX-95	07.09.95	12:25	0 h 30	- 0,23	- 0,11	0,24	8,8	0,11	2,5	9,7	120	niedr. Tide, ger. Seeg., W. kst.-parallel
7-IX-95	09.09.95	01:26	0 h 45	- 0,14	- 0,05	0,16	3,3	0,06	2,1	8,9	90	mittl. Tide, s. ger. Seeg.

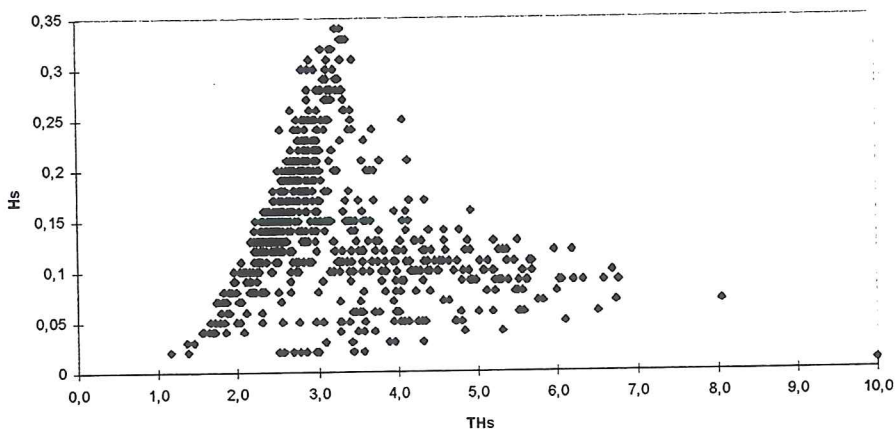
															erh. Tide, ger. Seeg.
8-IX-95	09.09.95	12:43	2 h 45	- 0,08	+ 0,39	0,33	3,2	0,17	2,9	10,1	180			erh. Tide, ausg. Seeg., W. senkr.	
9-IX-95	10.09.95	00:35	3 h 45	- 0,22	+ 0,40	0,39	3,1	0,19	2,9	12,3	234			erh. Tide, ger. Seeg., W. senkr.	
10-IX-95	10.09.95	12:50	3 h 45	- 0,29	+ 0,41	0,27	14,0	0,13	3,2	8,6	220			erh. Tide, ger. Seeg., W. kst.-parallel	
11-IX-95	11.09.95	02:17	2 h 00	- 0,33	+ 0,05	0,26	8,5	0,09	3,6	6,9	140			erh. Tide, ger. Seeg., W. kst.-parallel	
12-IX-95	11.09.95	14:46	0 h 30	+ 0,22	+ 0,28	0,21	4,3	0,09	1,6	6,9	150			erh. Tide, ger. Seeg., W. kst.-parallel	
13-IX-95	12.09.95	02:52	1 h 45	+ 0,07	+ 0,27	0,31	2,8	0,15	2,3	10,0	260			erh. Tide, ger. Seeg.	
14-IX-95	13.09.95	03:31	1 h 30	- 0,24	- 0,14	0,15	2,5	0,05	2,2	4,3	110			niedr. Tide, s. ger. Seeg., W. kst.-parallel	
15-IX-95	21.09.95	10:37	2 h 00	- 0,41	- 0,13	0,14	2,7	0,07	2,2	7,3	340			niedr. Tide, ger. Seeg.	
16-IX-95	21.09.95	23:23	1 h 45	- 0,34	- 0,18	0,05	89,8	0,03	3,6	2,7	325			niedr. Tide, s. ger. Seeg., W. kst.-parallel	
17-IX-95	22.09.95	12:13	1 h 30	- 0,31	+ 0,07	0,12	7,3	0,07	3,3	4,3	270			mittl. Tide, ger. Seeg.	
18-IX-95	22.09.95	23:25	3 h 15	- 0,51	+ 0,11	0,23	3,7	0,10	3,0	8,0	293			erh. Tide, ger. Seeg.	
19-IX-95	23.09.95	12:05	2 h 30	- 0,31	+ 0,17	0,23	10,8	0,10	2,8	4,2	290			erh. Tide, ger. Seeg., W. kst.-parallel	
20-IX-95	24.09.95	00:14	2 h 15	- 0,25	+ 0,11	0,24	3,0	0,13	2,7	10,0	220			erh. Tide, ger. Seeg., W. senkr.	
21-IX-95	24.09.95	13:28	2 h 15	+ 0,07	+ 0,21	0,31	2,8	0,18	2,7	11,9	210			erh. Tide, ausg. Seeg., W. senkr.	
22-IX-95	25.09.95	00:36	2 h 45	- 0,21	+ 0,28	0,14	99,5	0,06	5,3	10,1	10			erh. Tide, s. ger. Seeg.	
23-IX-95	25.09.95	12:37	3 h 45	- 0,29	+ 0,36	0,32	4,8	0,13	3,1	8,9	260			erh. Tide, ger. Seeg.	
24-IX-95	26.09.95	00:30	4 h 30	- 0,24	+ 0,59	0,49	3,5	0,26	3,1	13,4	243			erh. Tide, ausg. Seeg., W. senkr.	
25-IX-95	26.09.95	12:45	4 h 15	- 0,09	+ 0,58	0,29	3,7	0,15	3,6	9,8	280			erh. Tide, ger. Seeg.	
26-IX-95	27.09.95	01:05	4 h 15	- 0,30	+ 0,55	0,19	14,0	0,10	3,8	7,6	272			erh. Tide, ger. Seeg.	
27-IX-95	27.09.95	13:30	4 h 45	- 0,25	+ 0,73	0,57	15,3	0,22	3,2	13,4	278			erh. Tide, ausg. Seeg.	
28-IX-95	28.09.95	00:58	6 h 45	- 0,58	+ 1,48	0,76	36,0	0,38	3,7	19,4	298			st. erh. Tide, ausg. Seeg., W. kst.-parallel	
29-IX-95	28.09.95	13:13	5 h 45	- 0,40	+ 1,12	0,62	64,3	0,28	3,3	16,4	300			st. erh. Tide, ausg. Seeg., W. kst.-parallel	
30-IX-95	29.09.95	02:35	3 h 45	- 0,30	+ 0,52	0,34	4,0	0,15	3,1	12,0	302			erh. Tide, ger. Seeg., W. kst.-parallel	
31-IX-95	29.09.95	14:43	4 h 15	- 0,34	+ 0,65	0,42	3,2	0,16	3,1	12,4	310			erh. Tide, ger. Seeg., W. kst.-parallel	
32-IX-95	30.09.95	03:29	3 h 15	- 0,15	+ 0,45	0,32	13,0	0,12	3,2	11,1	315			erh. Tide, ger. Seeg., W. kst.-parallel	
33-IX-95	30.09.95	15:57	2 h 45	- 0,33	+ 0,05	0,17	35,8	0,09	4,0	8,0	340			mittl. Tide, ger. Seeg.	

Anlage A 6-5: Zusammenstellung der ausgewählten Ausschnitte der Tiden mit Kenngrößen  
 der im Testgebiet „Ockholm“ im Zeitraum von Dezember 1994 bis März 1995 sowie August und September 1995  
 registrierten und ausgewerteten Seegangsdaten der Position N1

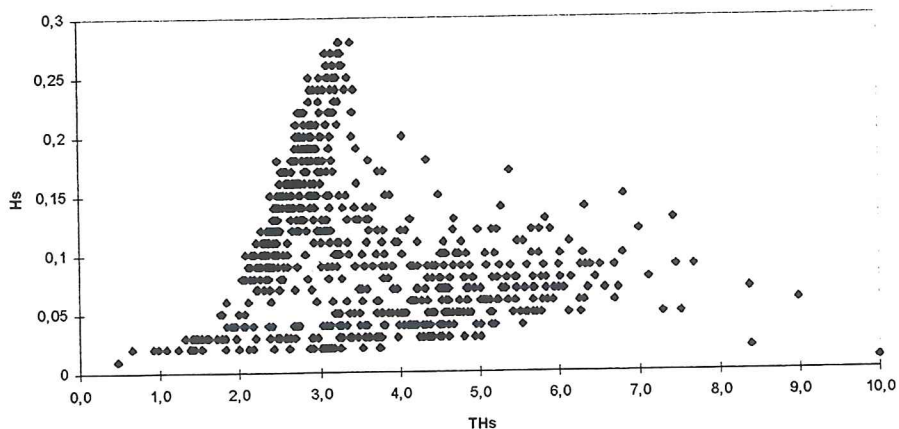
N1



N2

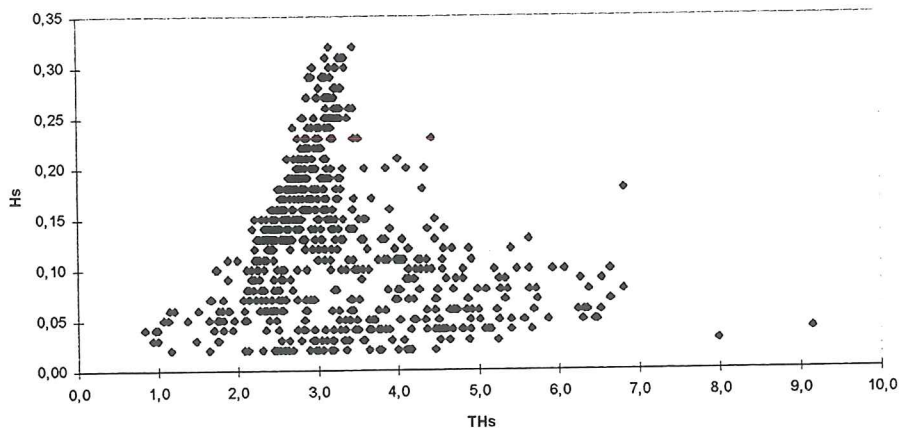


N3

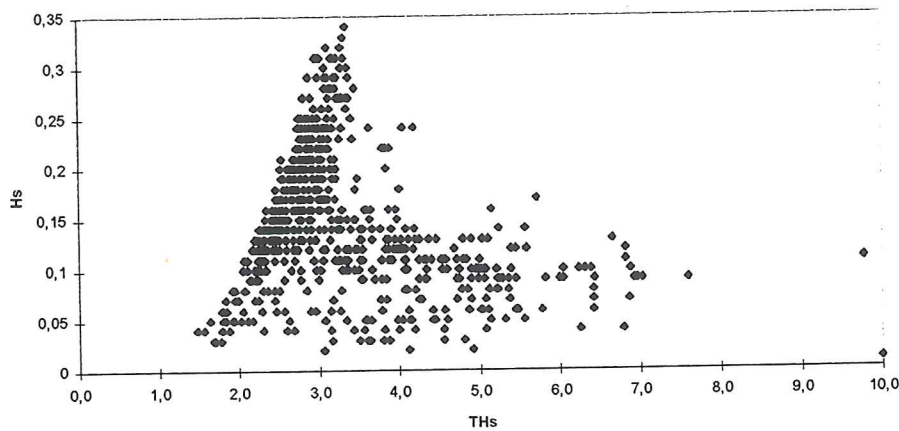


Anl. A 6-6a: Gemeinsame Häufigkeit der Zeitbereichsparameter  $H_s$  ( $H_{1/3}$ ) und  $T_{Hs}$  ( $T_{H1/3}$ )  
für die Positionen N1 bis N3 im Testgebiet Ockholm, Februar 1995  
(Quelle: NLÖ-FORSCHUNGSSTELLE KÜSTE, 1996)

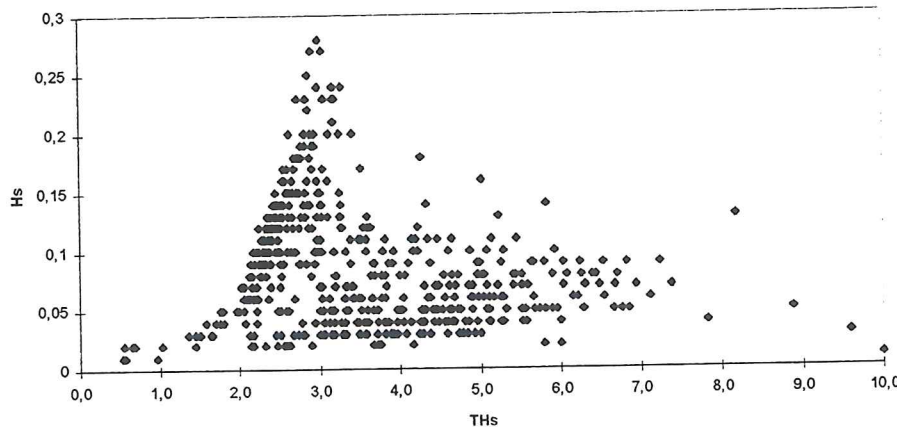
N1



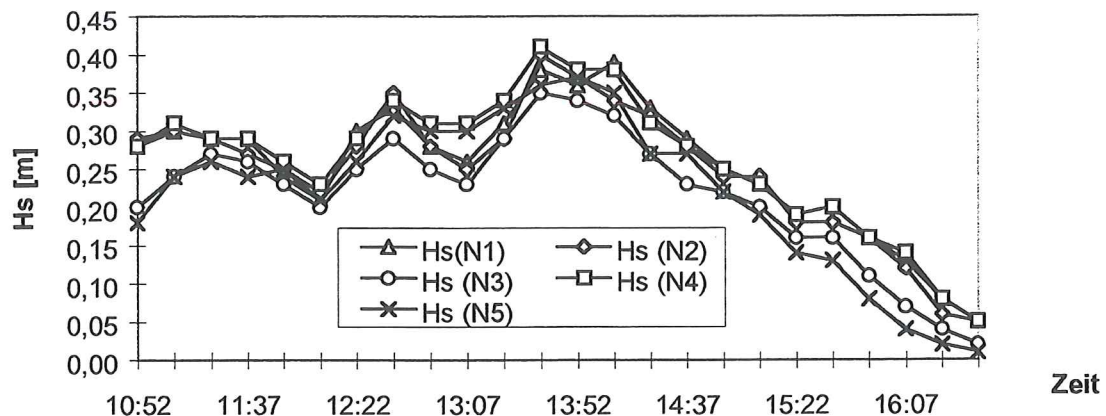
N4



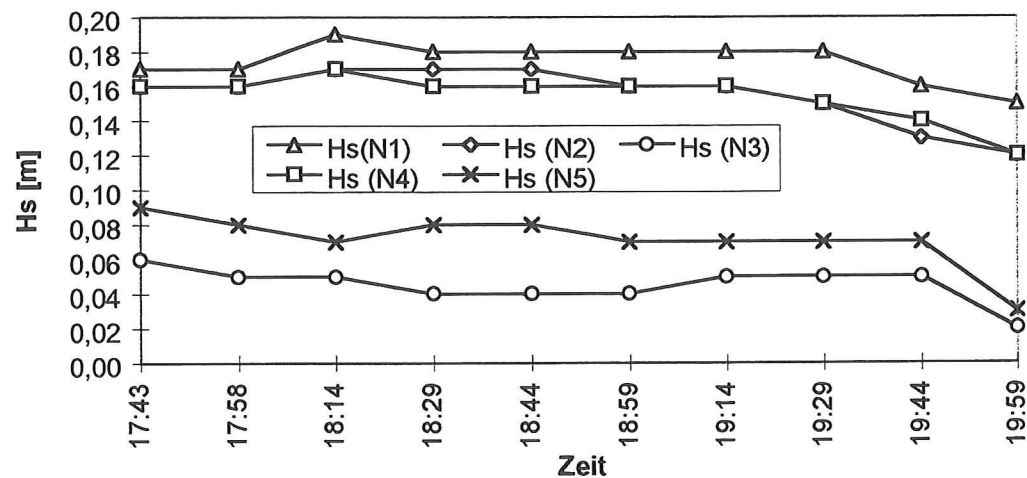
N5



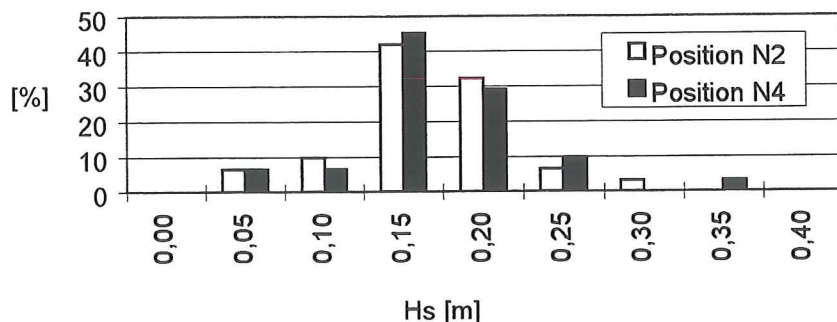
Anl. A 6-6b: Gemeinsame Häufigkeit der Zeitbereichsparameter  $H_s$  ( $H_{1/3}$ ) und  $T_{Hs}$  ( $T_{H1/3}$ )  
für die Positionen N1, N4 und N5 im Testgebiet Ockholm, Februar 1995  
(Quelle: NLÖ-FORSCHUNGSSTELLE KÜSTE, 1996)



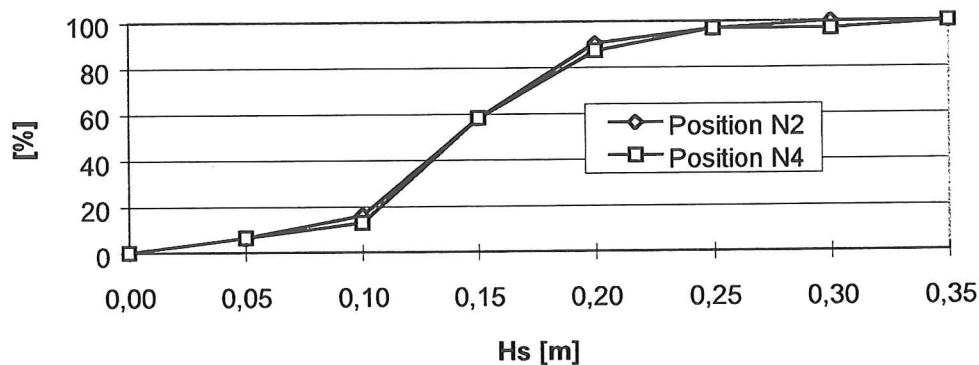
Anl. A 6-8: Vergleich der Wellenhöhen  $H_{1/3}$  für die Positionen N1 bis N5 im Testgebiet "Ockholm" für die Tidephase am 01.01.1995 in der Zeit von 10.52 Uhr bis 16.37 Uhr; Sturmflut  
 (Quelle: NLÖ-FORSCHUNGSSTELLE KÜSTE, 1995)



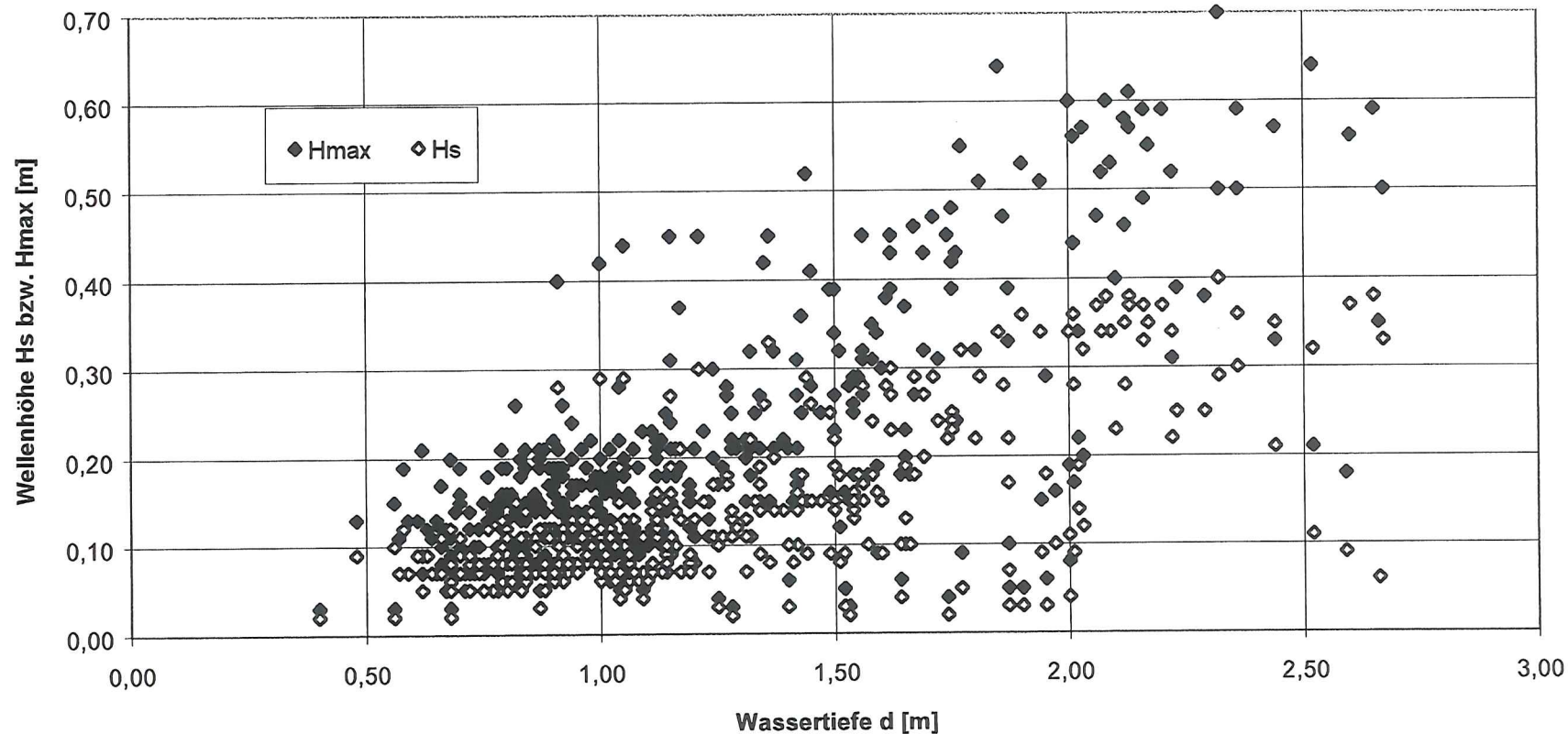
Anl. A 6-9: Vergleich der Wellenhöhen  $H_s$  für die Positionen N1 bis N5 im Testgebiet "Ockholm" für die Tidephase am 25.12.1994 in der Zeit von 17.43 Uhr bis 19.59 Uhr;  
 Beispiel für eine Tide mit mittlerem Tidehochwasser und geringem Seegang  
 (Quelle: NLÖ-FORSCHUNGSSTELLE KÜSTE, 1995)



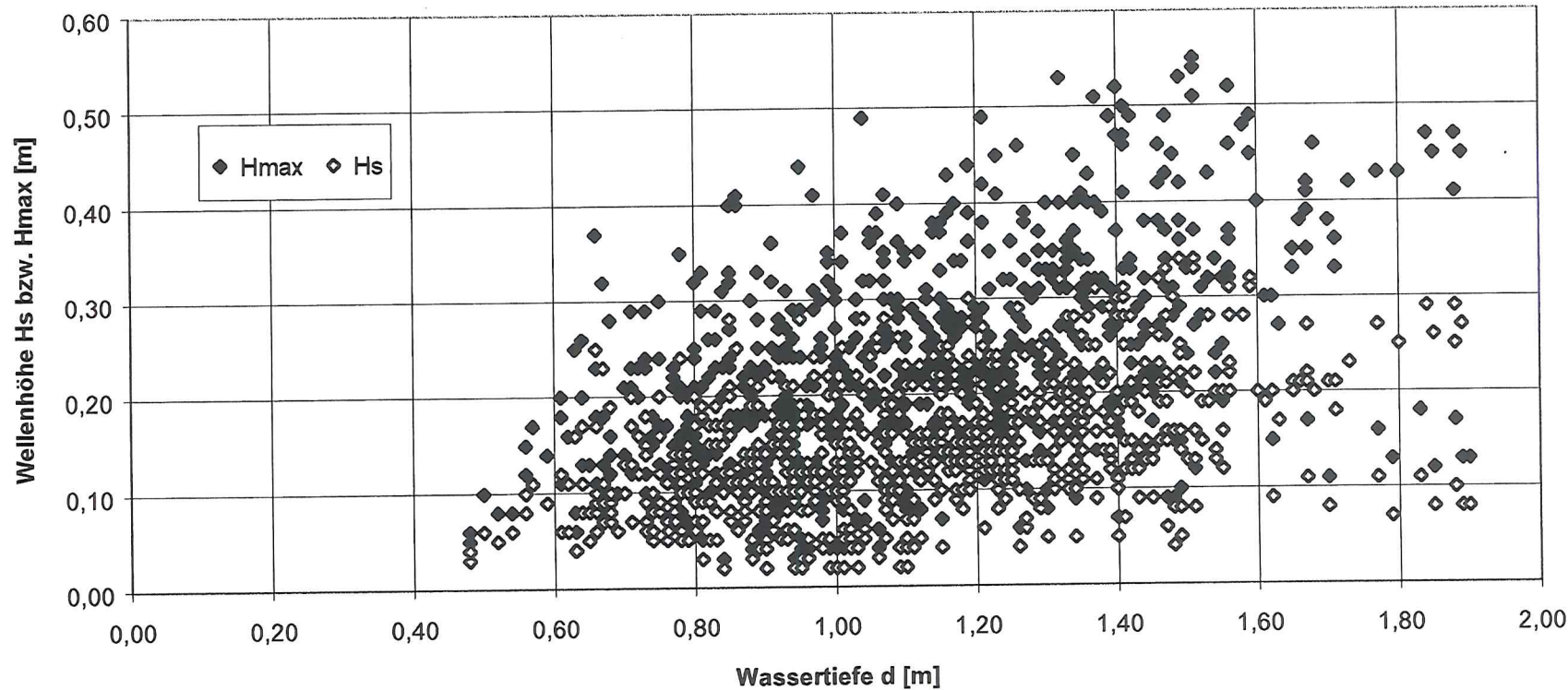
Anl. A 6-10a: Histogramm der Häufigkeit der Wellenhöhen  $H_s$  für die Positionen N2 und N4  
im Testgebiet "Ockholm" für eine Wasserspiegellage um NN + 1,88 m  
(entspricht einer mittleren Wassertiefe von rd. 1,15 m an den Positionen N2 und N4)  
im Zeitraum vom 14.12.1994 bis 01.01.1995  
(Quelle: NLÖ-FORSCHUNGSSTELLE KÜSTE, 1995)



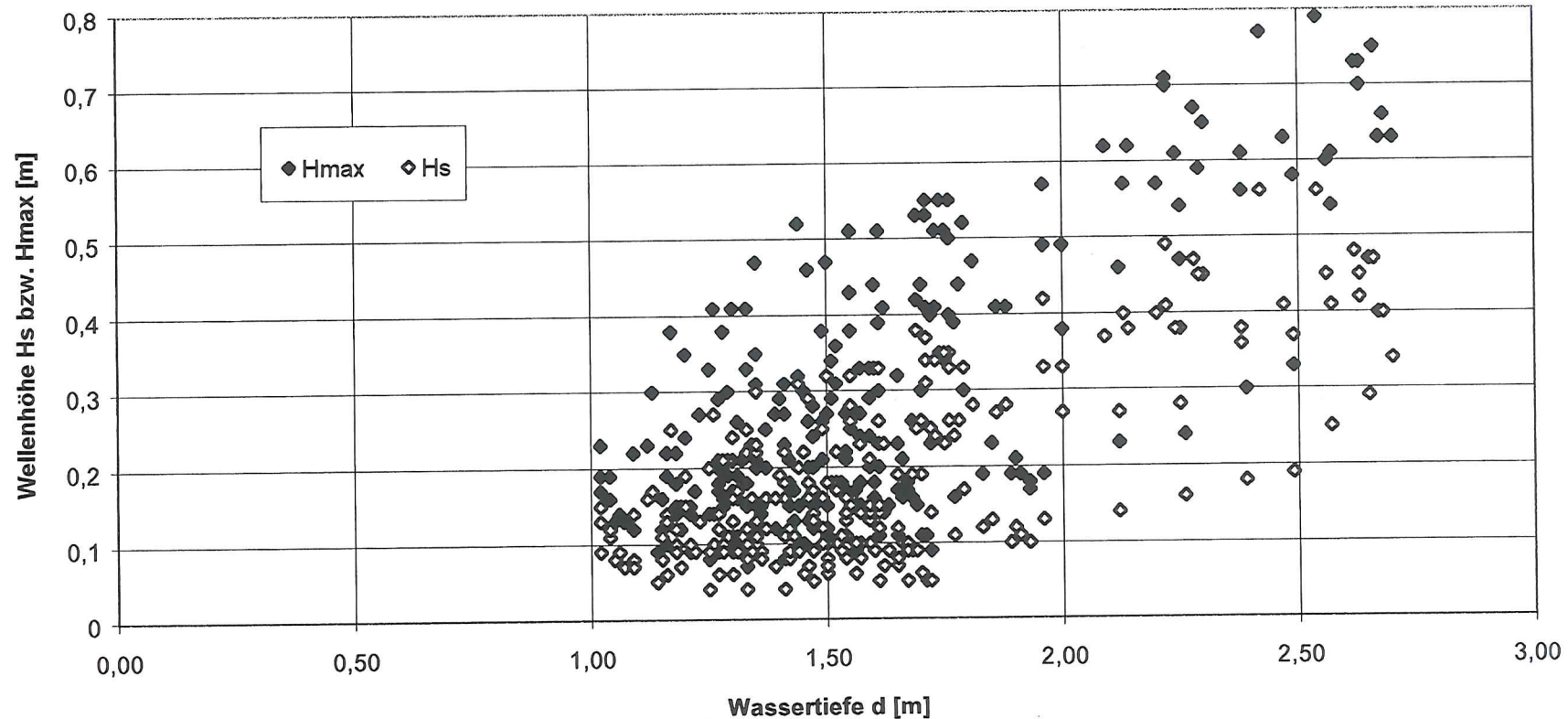
Anl. A 6-10b: Summenlinie der Wellenhöhen  $H_s$  für die Positionen N2 und N4  
im Testgebiet "Ockholm" für eine Wasserspiegellage um NN + 1,88 m  
(entspricht einer mittleren Wassertiefe von rd. 1,15 m an den Positionen N2 und N4)  
im Zeitraum vom 14.12.1994 bis 01.01.1995  
(Quelle: NLÖ-FORSCHUNGSSTELLE KÜSTE, 1995)



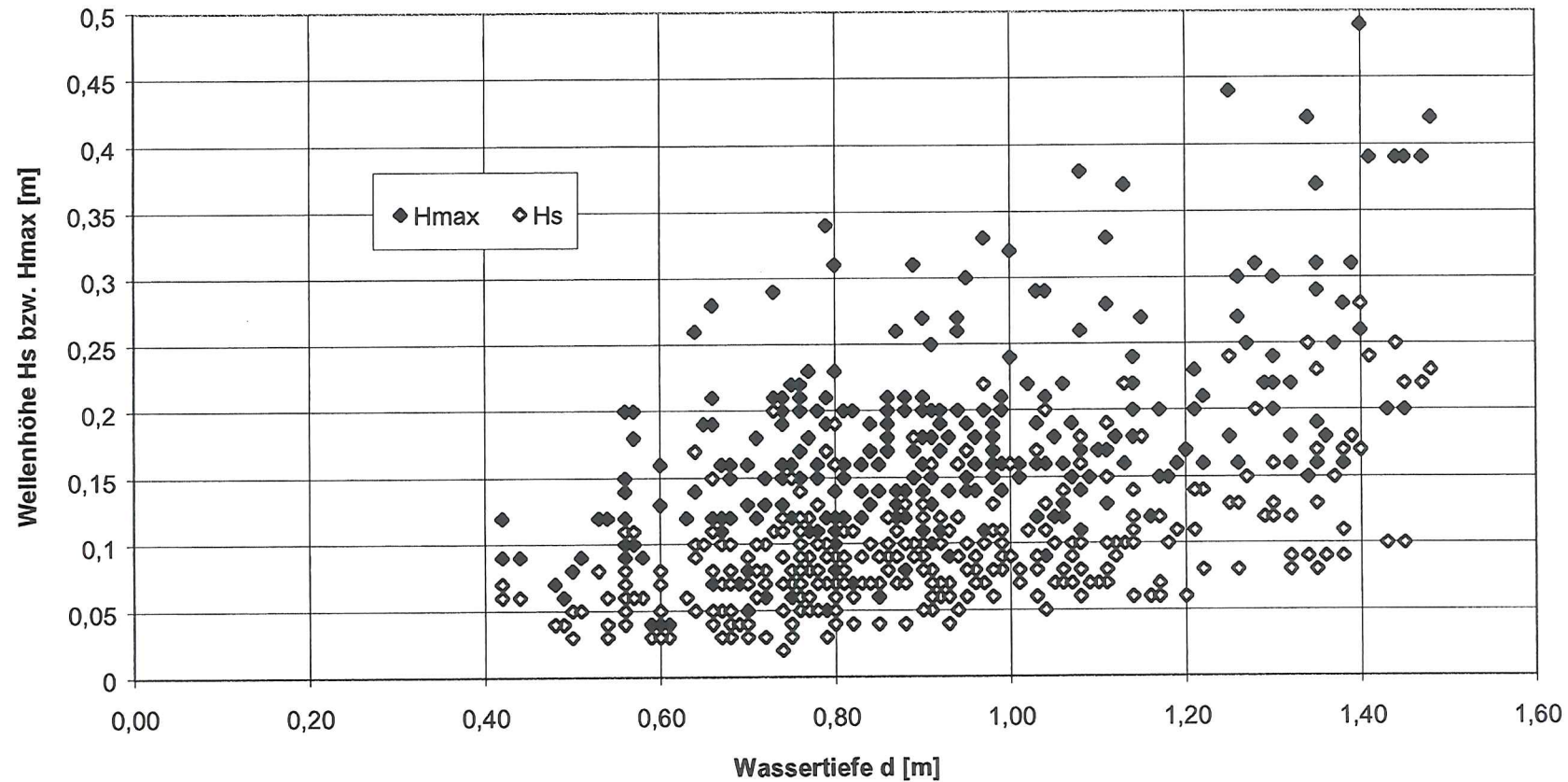
Anl. A 6-11a: Verhältnis der signifikanten Wellenhöhe  $H_s$  und der maximalen Wellenhöhe  $H_{max}$  zur  
Wassertiefe an Position N2 im Monat Januar 1995 im Testgebiet "Ockholm"  
(Quelle: NLÖ-FORSCHUNGSSTELLE KÜSTE, 1996)



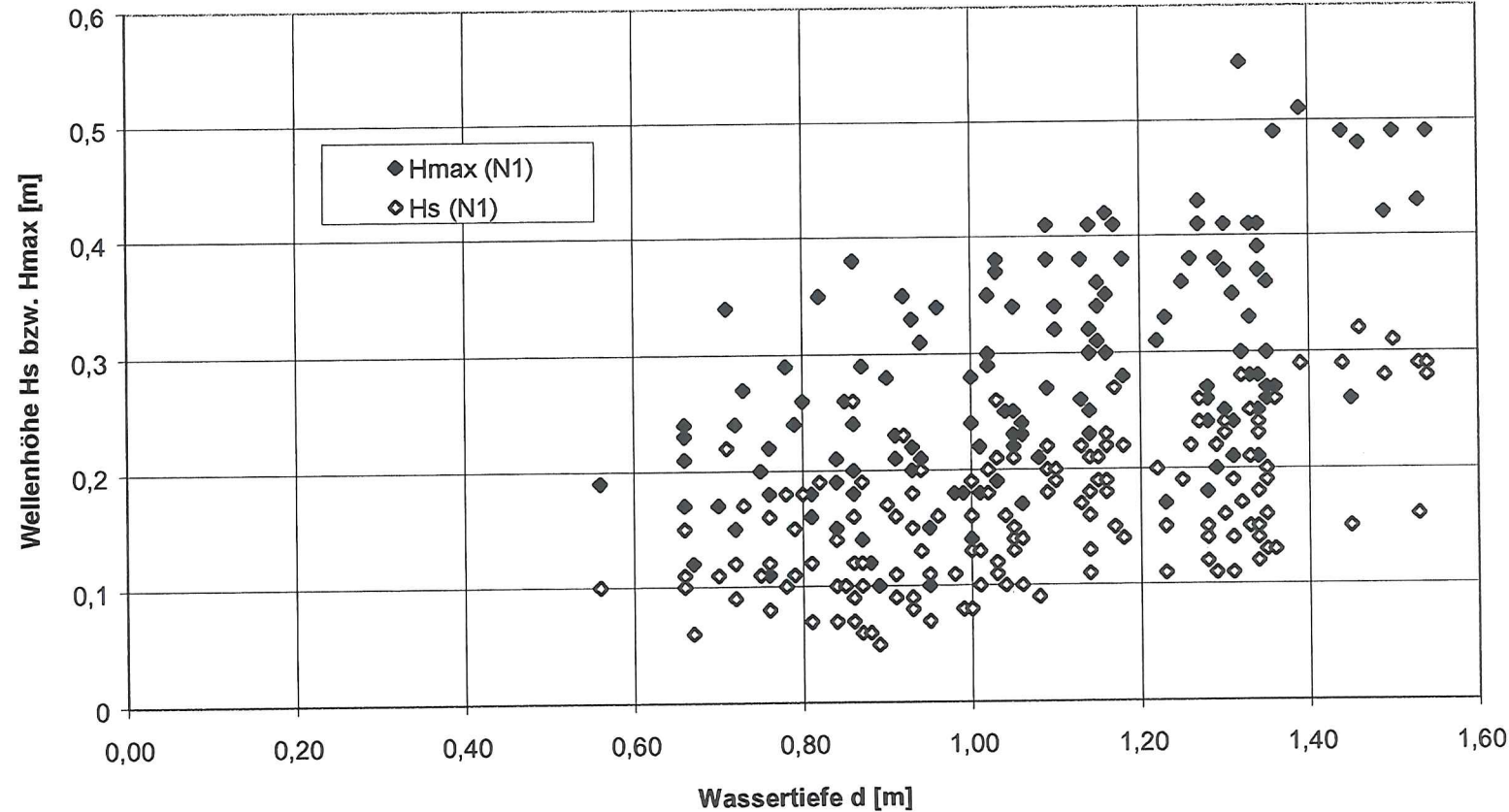
Anl. A 6-11b: Verhältnis der signifikanten Wellenhöhe  $H_s$  und der maximalen Wellenhöhe  $H_{\max}$  zur  
Wassertiefe an Position N2 im Monat Februar 1995 im Testgebiet "Ockholm"  
(Quelle: NLÖ-FORSCHUNGSSTELLE KÜSTE, 1996)



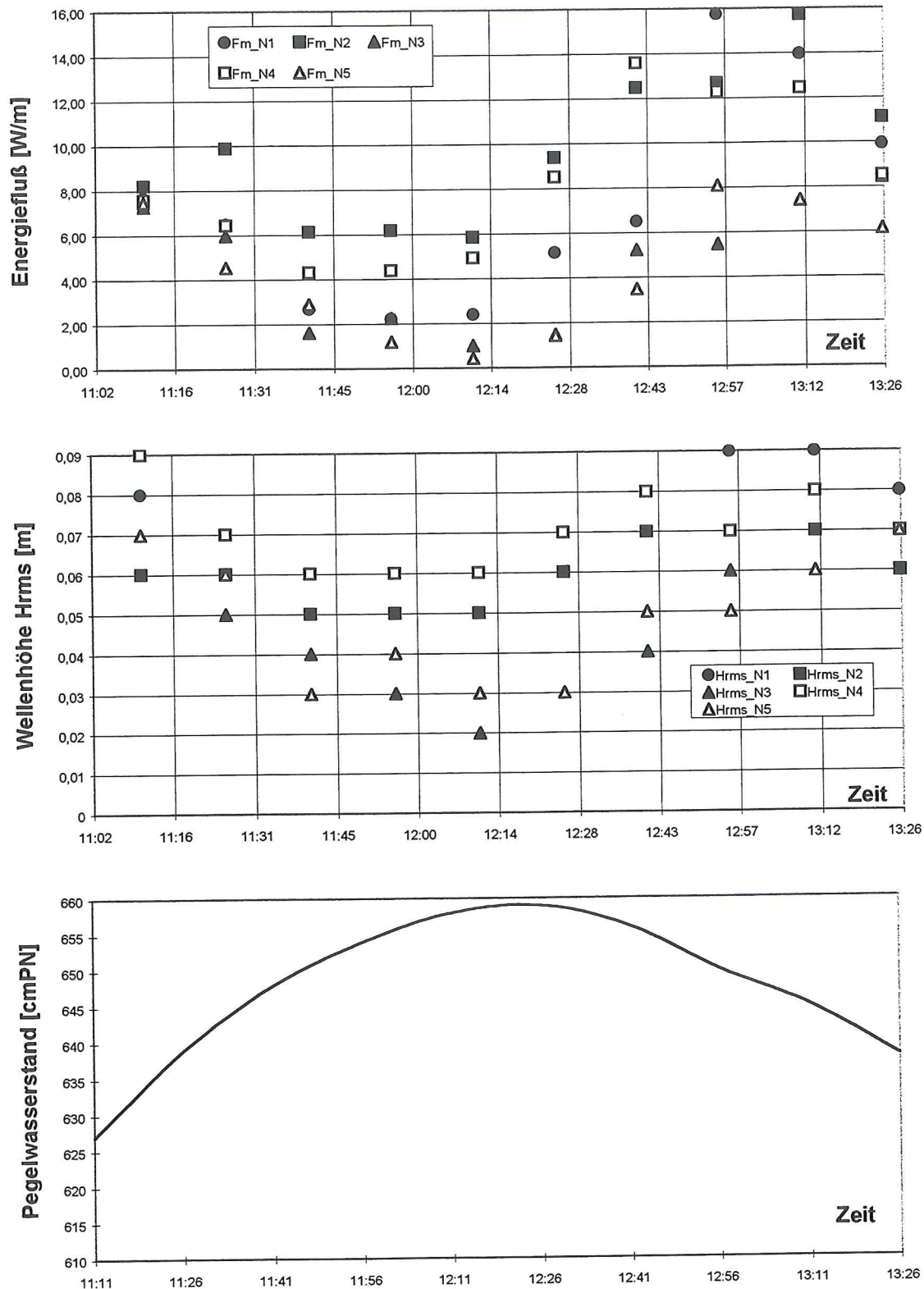
Anl. A 6-11c: Verhältnis der signifikanten Wellenhöhe  $H_s$  und der maximalen Wellenhöhe  $H_{\max}$  zur  
Wassertiefe an Position N2 im Monat März 1995 im Testgebiet "Ockholm"  
(Quelle: NLÖ-FORSCHUNGSSTELLE KÜSTE, 1996)



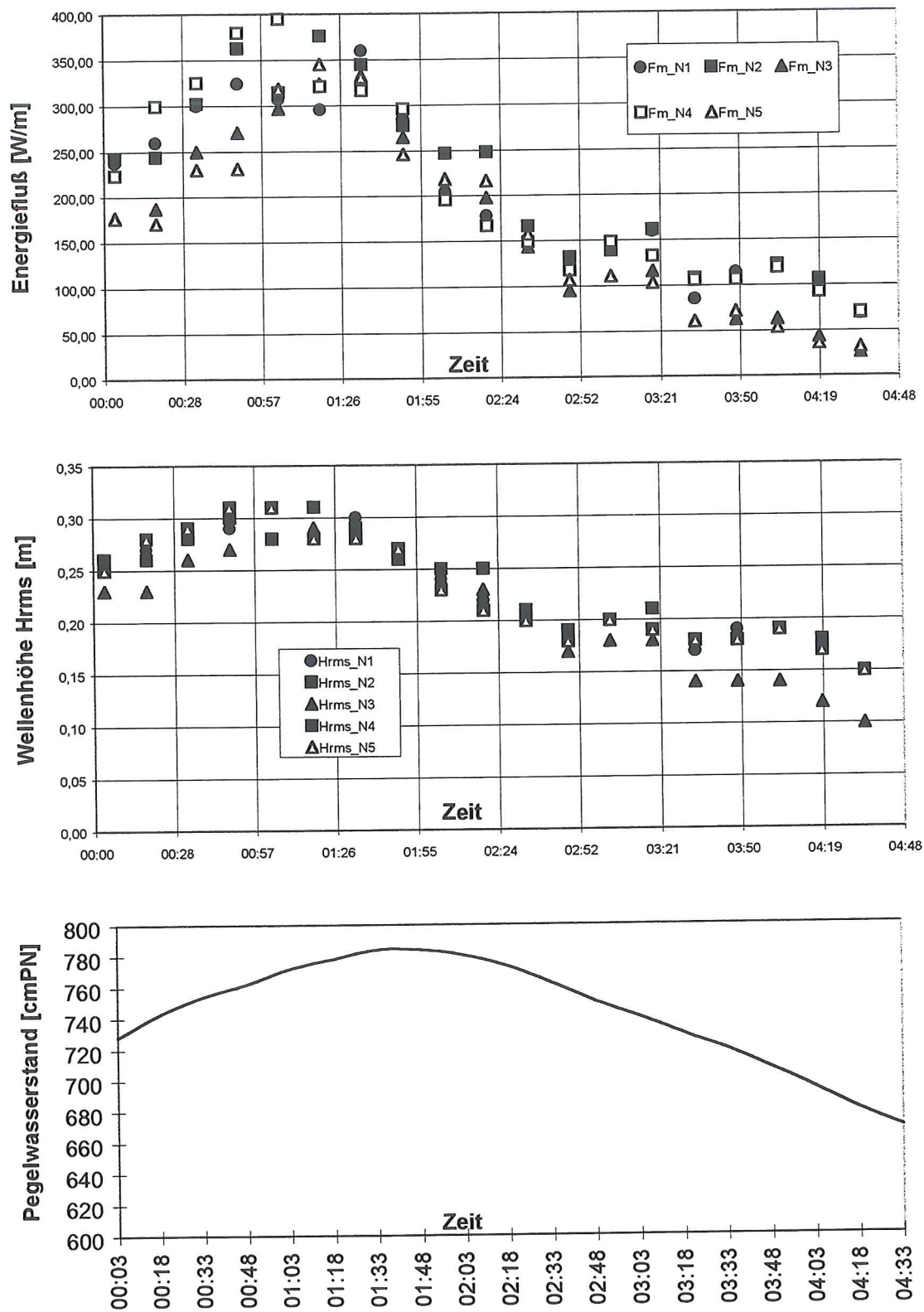
Anl. A 6-11d: Verhältnis der signifikanten Wellenhöhe  $H_s$  und der maximalen Wellenhöhe  $H_{max}$  zur  
Wassertiefe an Position N1 im Monat August 1995 im Testgebiet "Ockholm"  
(Quelle: NLÖ-FORSCHUNGSSTELLE KÜSTE, 1997)



Anl. A 6-11e: Verhältnis der signifikanten Wellenhöhe  $H_s$  und der maximalen Wellenhöhe  $H_{max}$  zur Wassertiefe an Position N1 im Monat September 1995 im Testgebiet "Ockholm"  
(Quelle: NLÖ-FORSCHUNGSSTELLE KÜSTE, 1997)

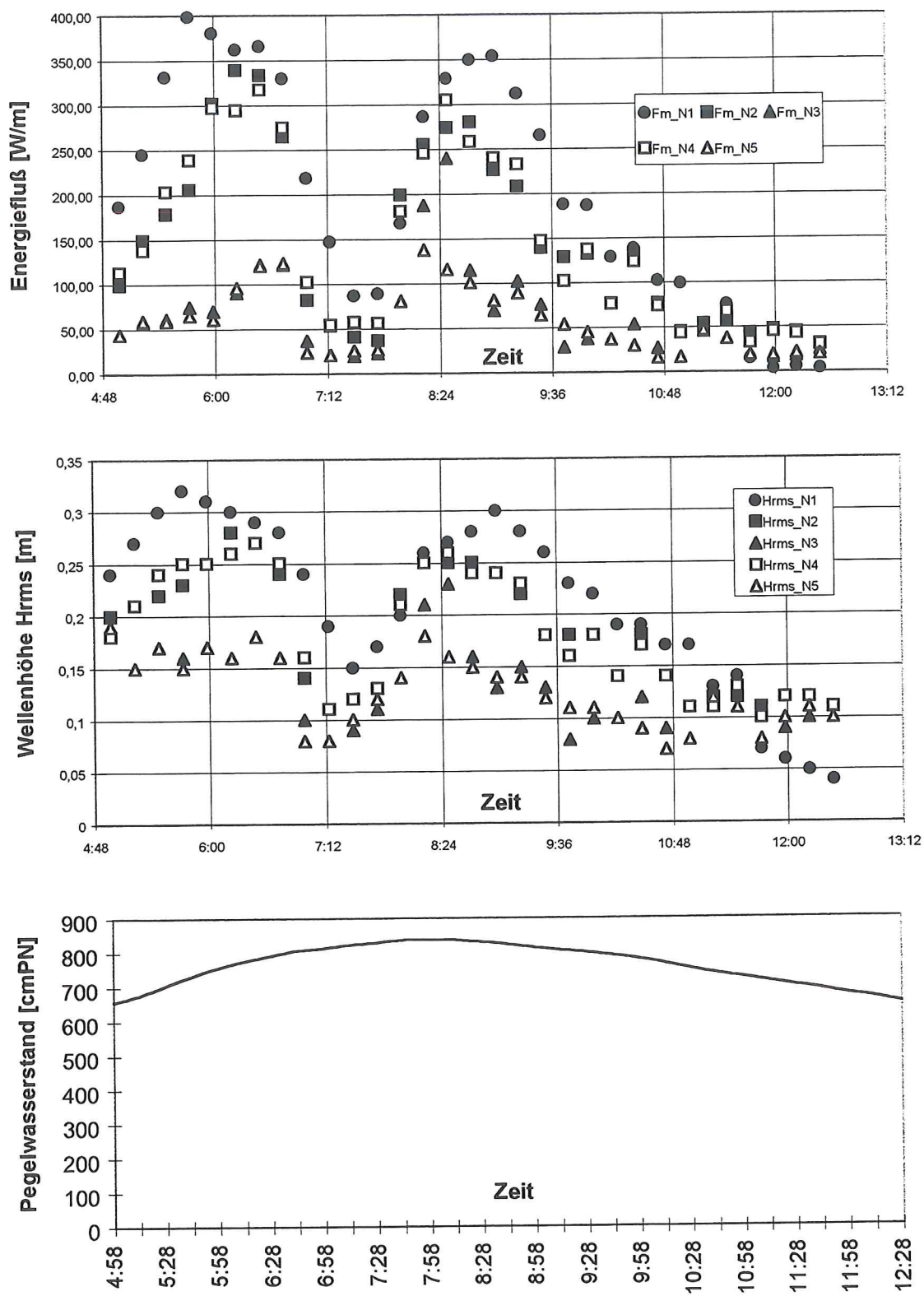


Anl. A 6-12a: Zeitlicher Verlauf des Energieflusses und der Wellenhöhe H<sub>rms</sub> an den Meßpositionen N1 bis N5 (Testgebiet „Ockholm“) sowie der Pegelwasserstände „Schlüttziel“ für die Tidephase am 27.02.1995 in der Zeit von 11.11 Uhr bis 13.26 Uhr;  
 Beispiel für eine mittlere Tide bei geringem Seegang  
 und senkrecht auf die Testfelder gerichtetem Wind  
 (Quelle: AMT FÜR LAND- UND WASSERWIRTSCHAFT, 1996 / NLÖ-FSK, 1996)



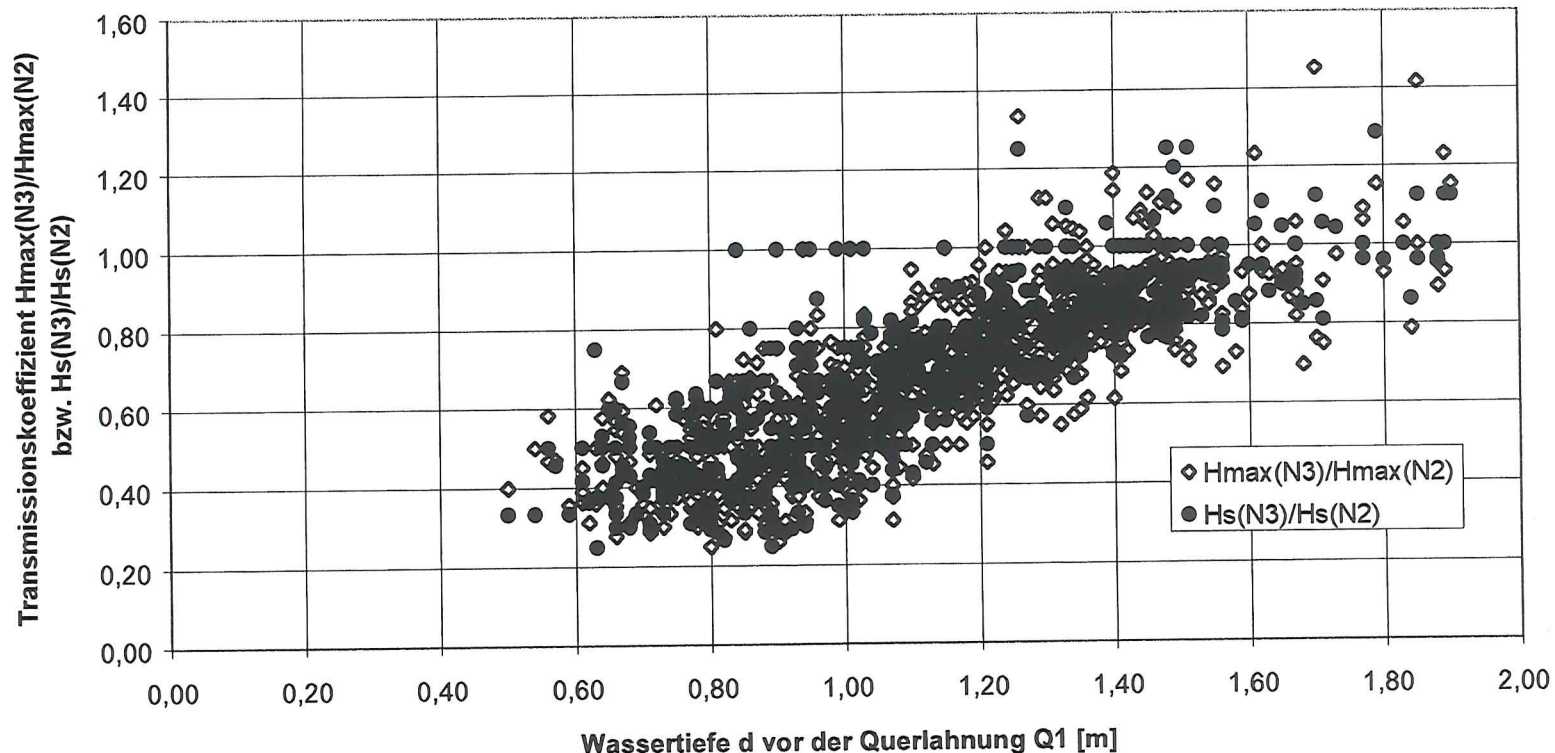
Anl. A 6-12b: Zeitlicher Verlauf des Energieflusses und der Wellenhöhe  $H_{rms}$  an den Meßpositionen N1 bis N5 (Testgebiet „Ockholm“) sowie der Pegelwasserstände „Schlüttziel“ für die Tidephase am 01.03.1995 in der Zeit von 00:03 Uhr bis 04:33 Uhr; Beispiel für eine erhöhte Tide bei ausgereiftem Seegang und senkrecht auf die Testfelder gerichtetem Wind

(Quelle: AMT FÜR LAND- UND WASSERWIRTSCHAFT, 1996 / NLÖ-FSK, 1996)

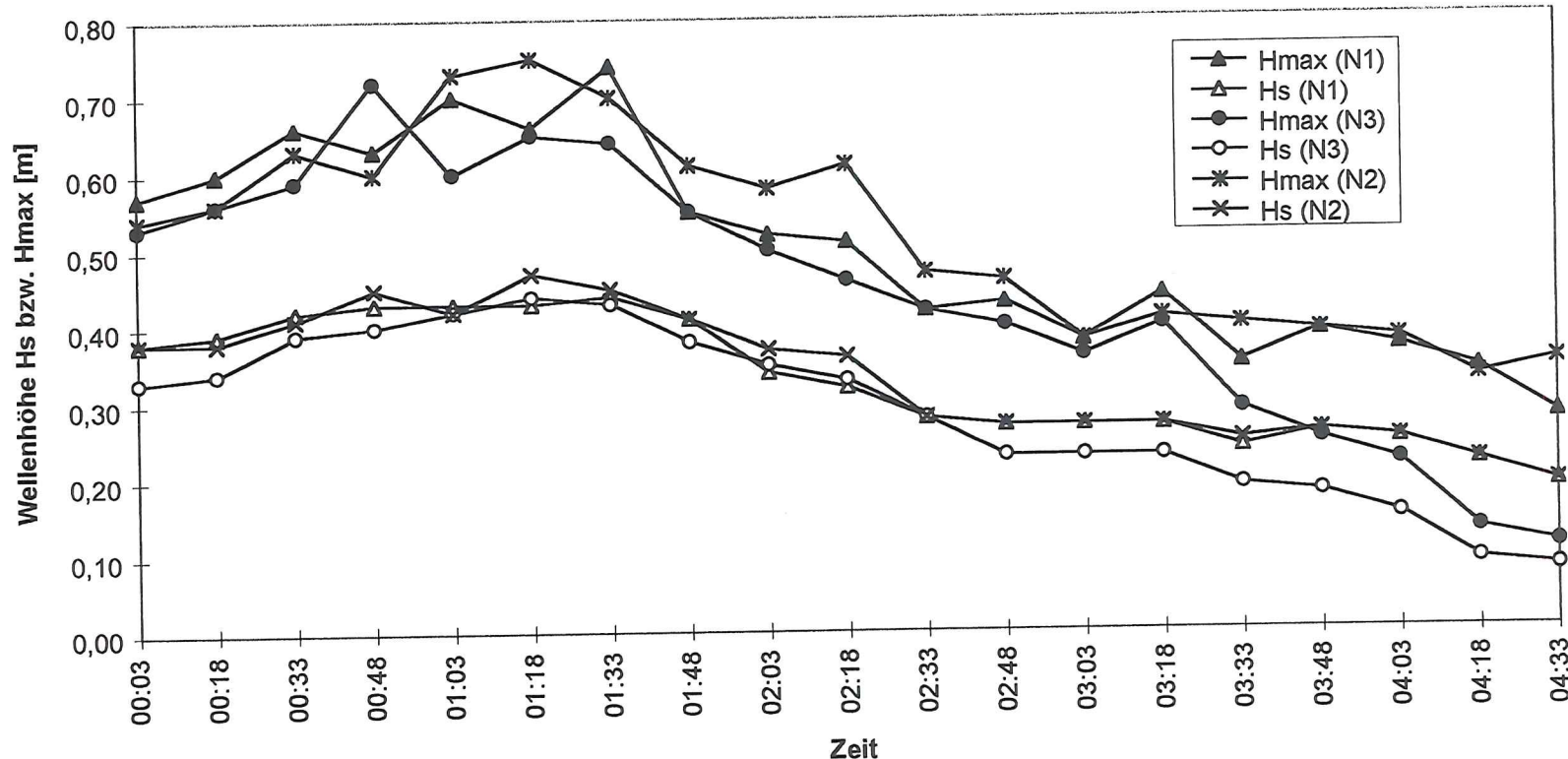


Anl. A 6-12c: Zeitlicher Verlauf des Energieflusses und der Wellenhöhe H<sub>rms</sub> an den Meßpositionen N1 bis N5 (Testgebiet „Ockholm“) sowie der Pegelwasserstände „Schlüttziel“ für die Tidephase am 10.01.1995 in der Zeit von 04:58 Uhr bis 12:28 Uhr; Beispiel für eine Sturmflut bei küstenparallelem Wind

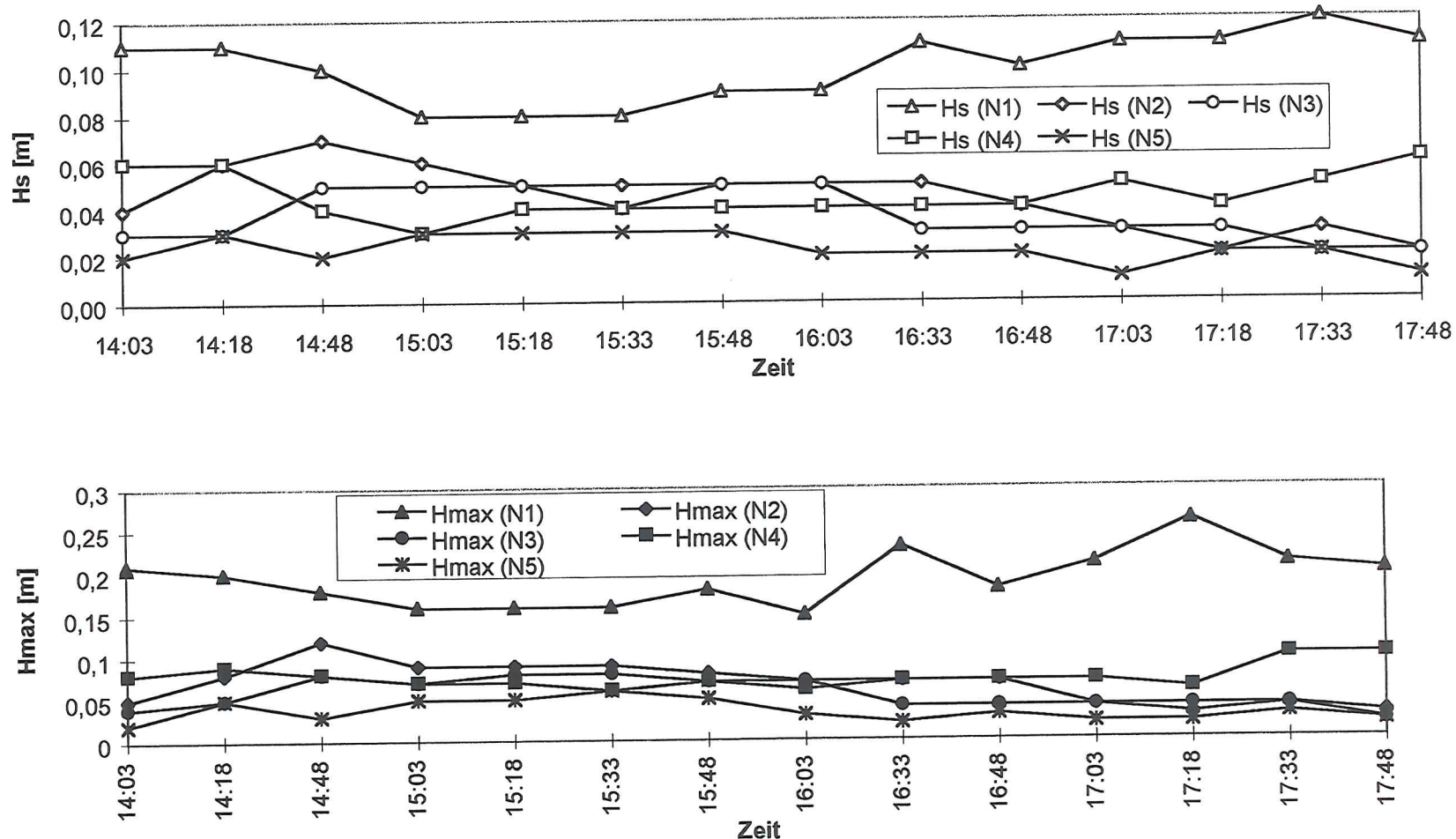
(Quelle: AMT FÜR LAND- UND WASSERWIRTSCHAFT, 1996 / NLÖ-FSK, 1996)



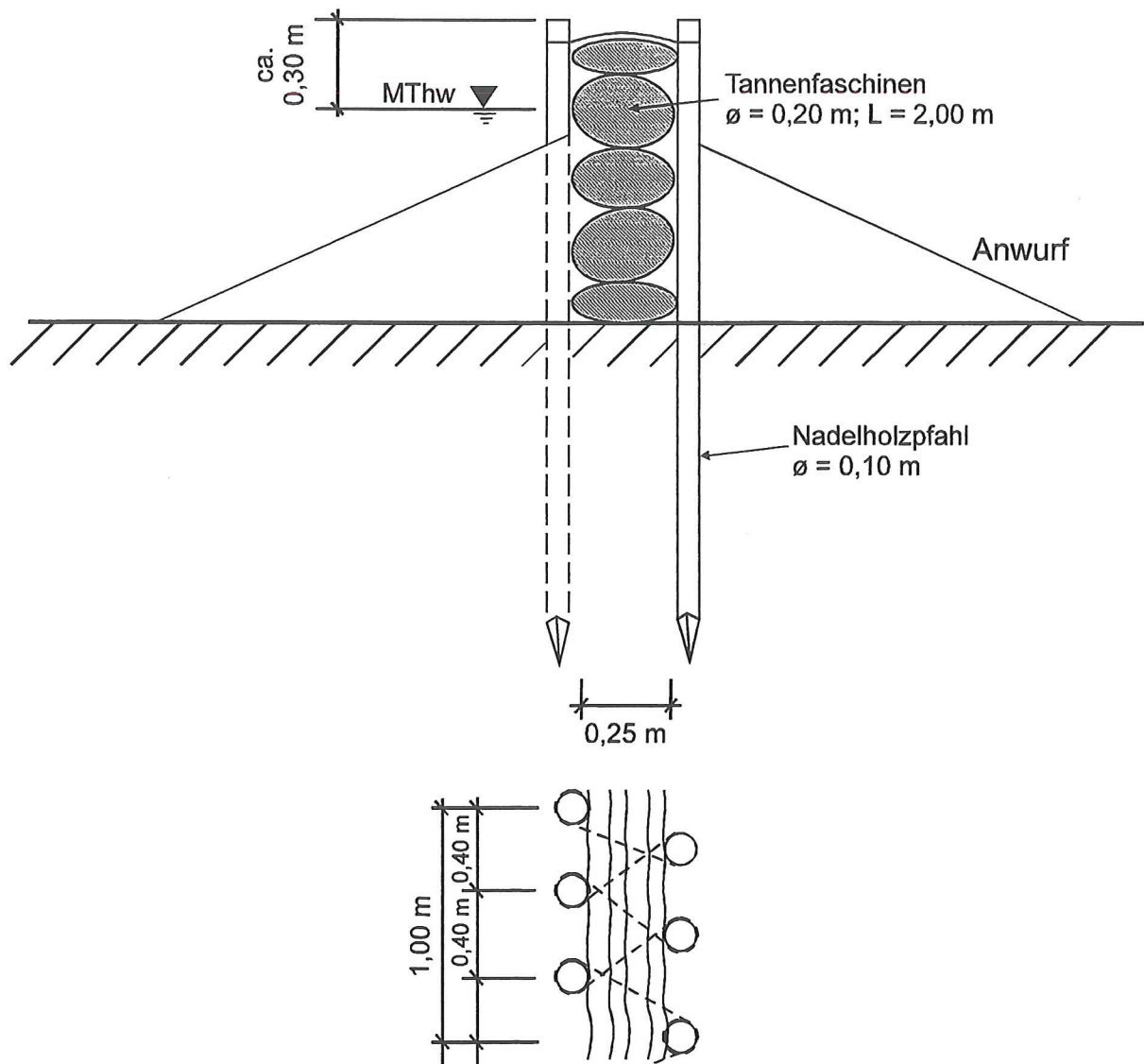
Anl. A 6-13: Zusammenhang zwischen dem Dämpfungsgrad der Wellenhöhen  $H_s$  und  $H_{\max}$  (Transmissionskoeffizient der Positionen N3 zu N2) und der örtlichen Wassertiefe an der Querlahnung Q1 (Testgebiet "Ockholm") in der Zeit vom 01.02.1995 bis 28.02.1995  
(Quelle: AMT FÜR LAND- UND WASERWIRTSCHAFT, 1996 / NLÖ-FORSCHUNGSSTELLE KÜSTE, 1996)



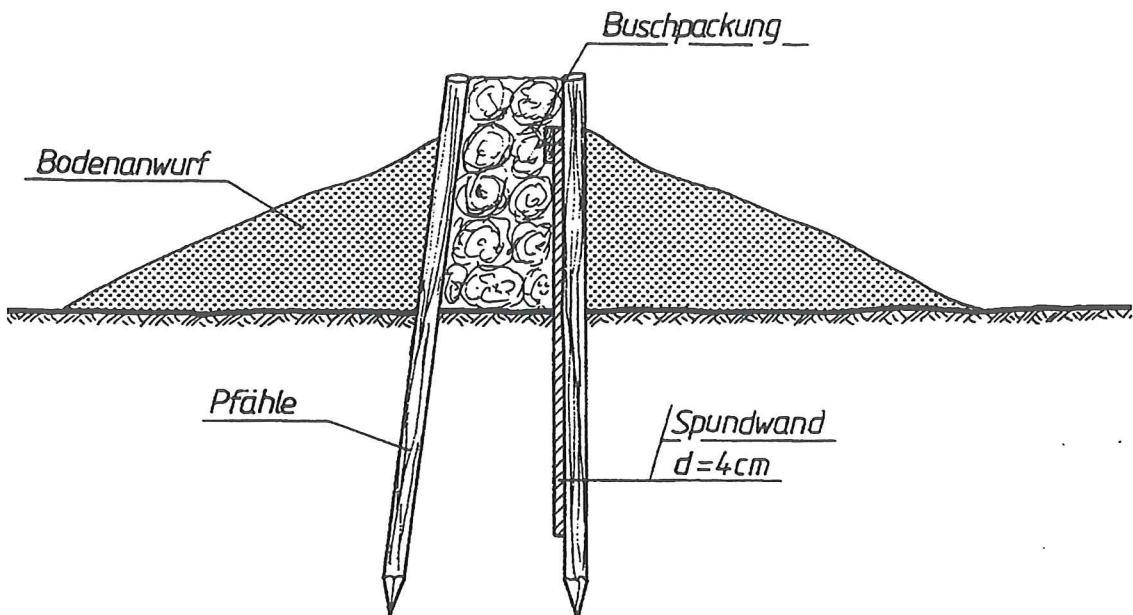
Anl. A 6-14a: Zeitlicher Verlauf der Wellenhöhen  $H_s$  und  $H_{\max}$  an den Meßpositionen N1 bis N3 (Testgebiet „Ockholm“)  
für die Tidephase am 01.03.1995 in der Zeit von 00:03 Uhr bis 04:33 Uhr;  
Beispiel für eine erhöhte Tide bei ausgereiftem Seegang und senkrecht auf die Testfelder gerichtetem Wind  
(Quelle: AMT FÜR LAND- UND WASERWIRTSCHAFT, 1996 / NLÖ-FORSCHUNGSSTELLE KÜSTE, 1996)



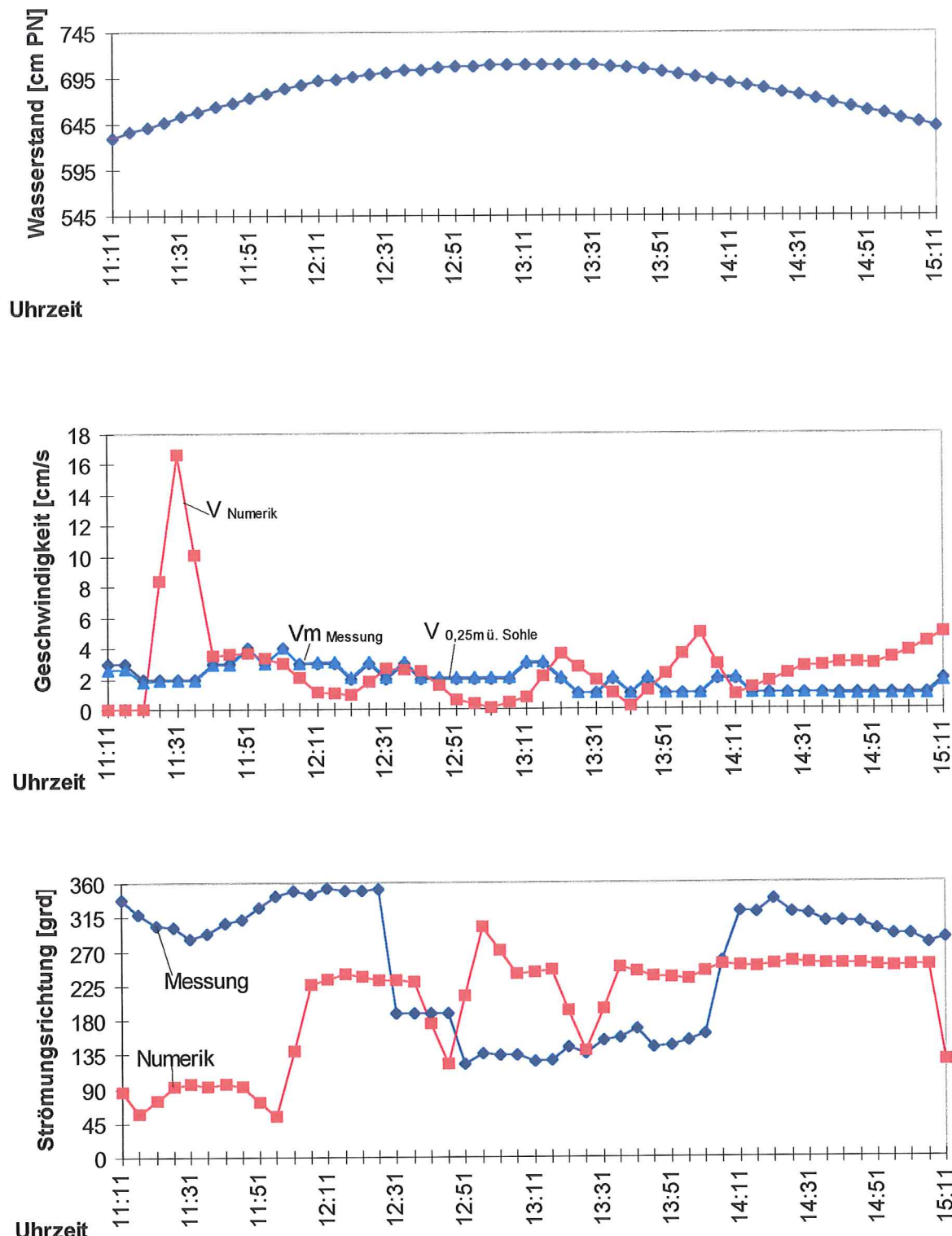
Anl. A 6-14b: Zeitlicher Verlauf der Wellenhöhen  $H_s$  und  $H_{max}$  an den Meßpositionen N1 bis N5 (Testgebiet „Ockholm“)  
 für die Tidephase am 25.08.1995 in der Zeit von 11.44 Uhr bis 15.34 Uhr;  
 Beispiel für eine erhöhte Tide bei ausgereiftem Seegang und senkrecht auf die Testfelder gerichtetem Wind  
 (Quelle: AMT FÜR LAND- UND WASERWIRTSCHAFT, 1997 / NLÖ-FORSCHUNGSSTELLE KÜSTE, 1997)



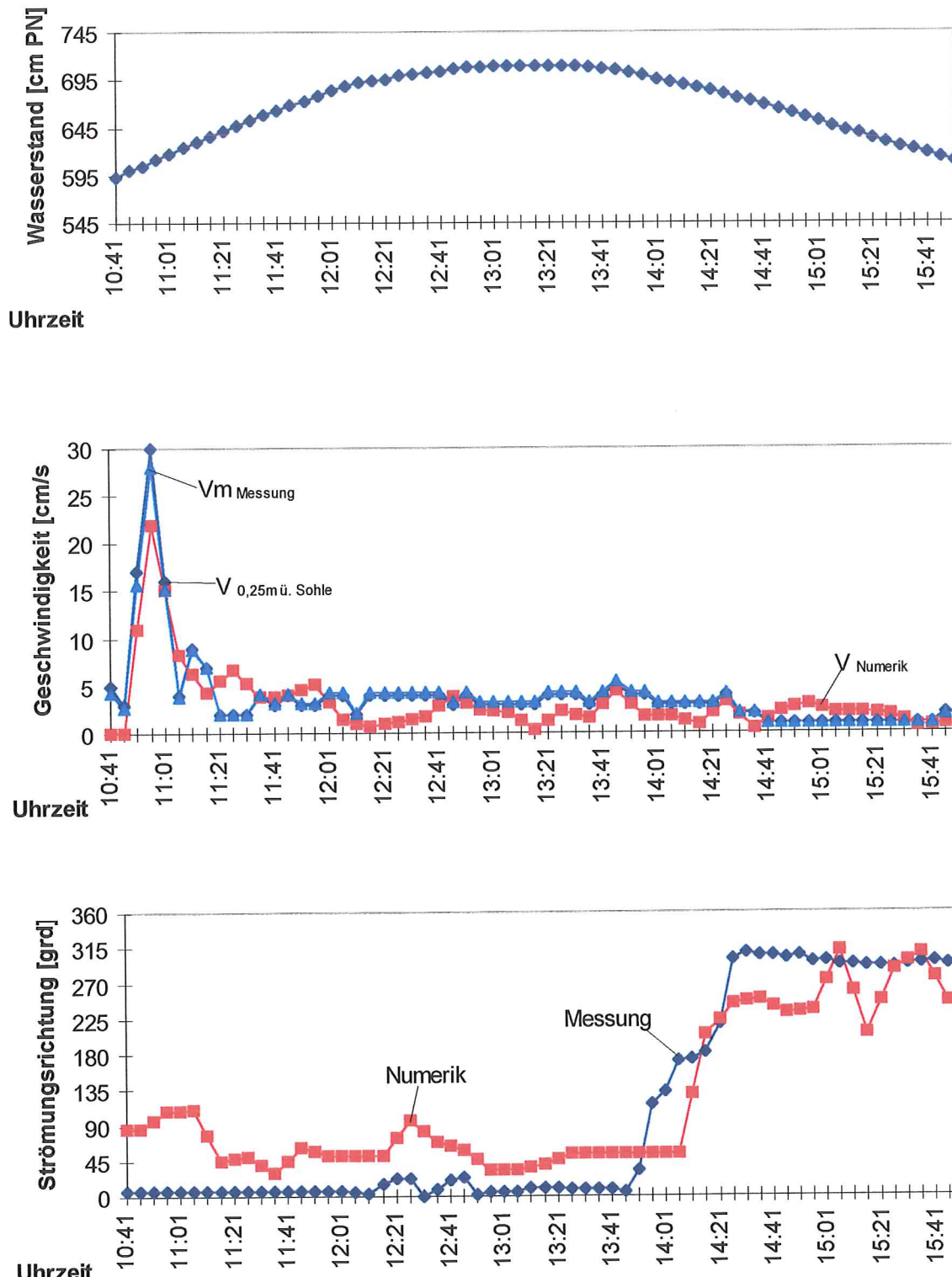
Anl. A 7-1: Typischer Aufbau einer Buschlahmung im Amtsbezirk des ALW HUSUM



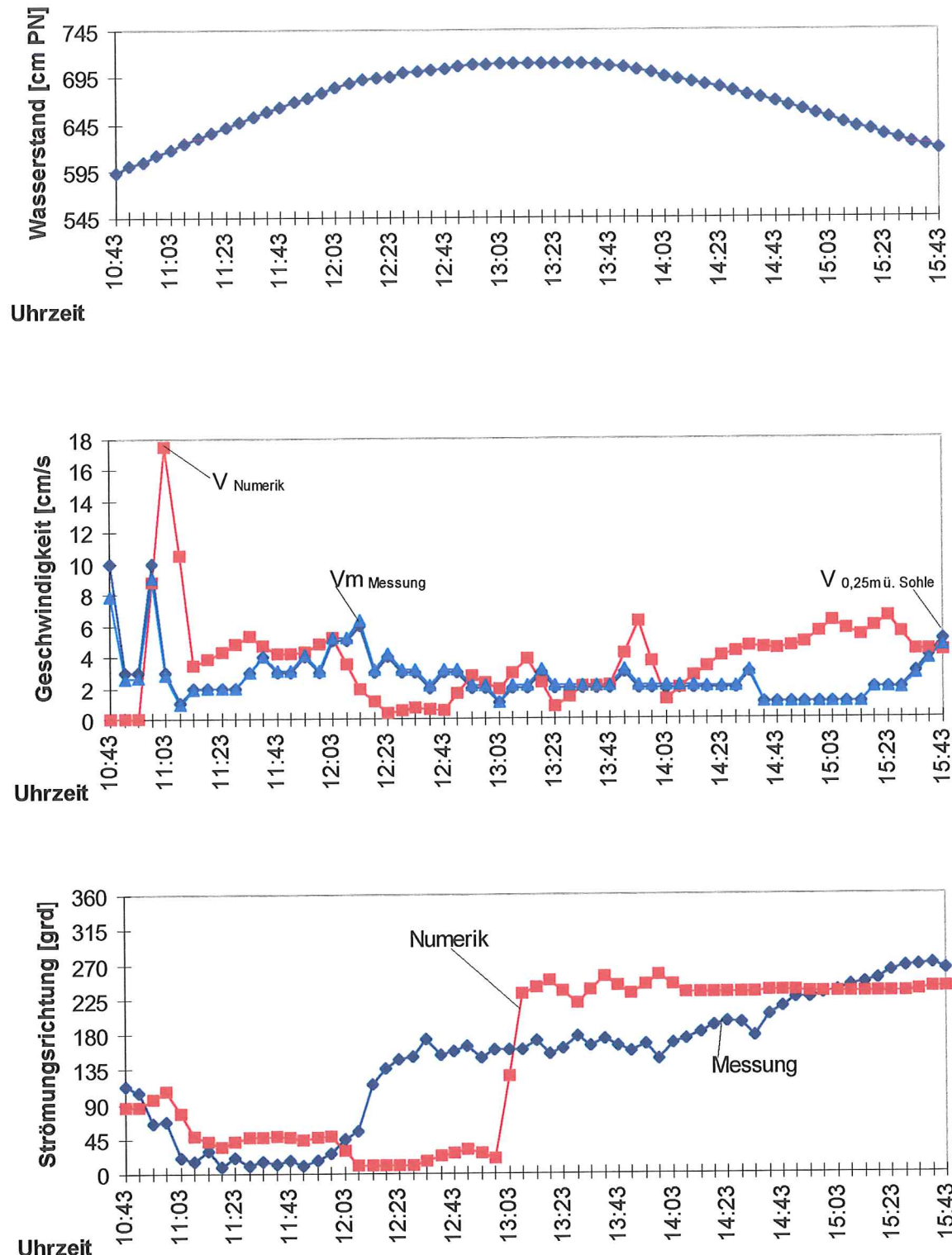
Anl. A 7-2: Typischer Aufbau einer Buschlähmung im Amtsbezirk des STAIK NORDEN  
(STAIK NORDEN, 1993)



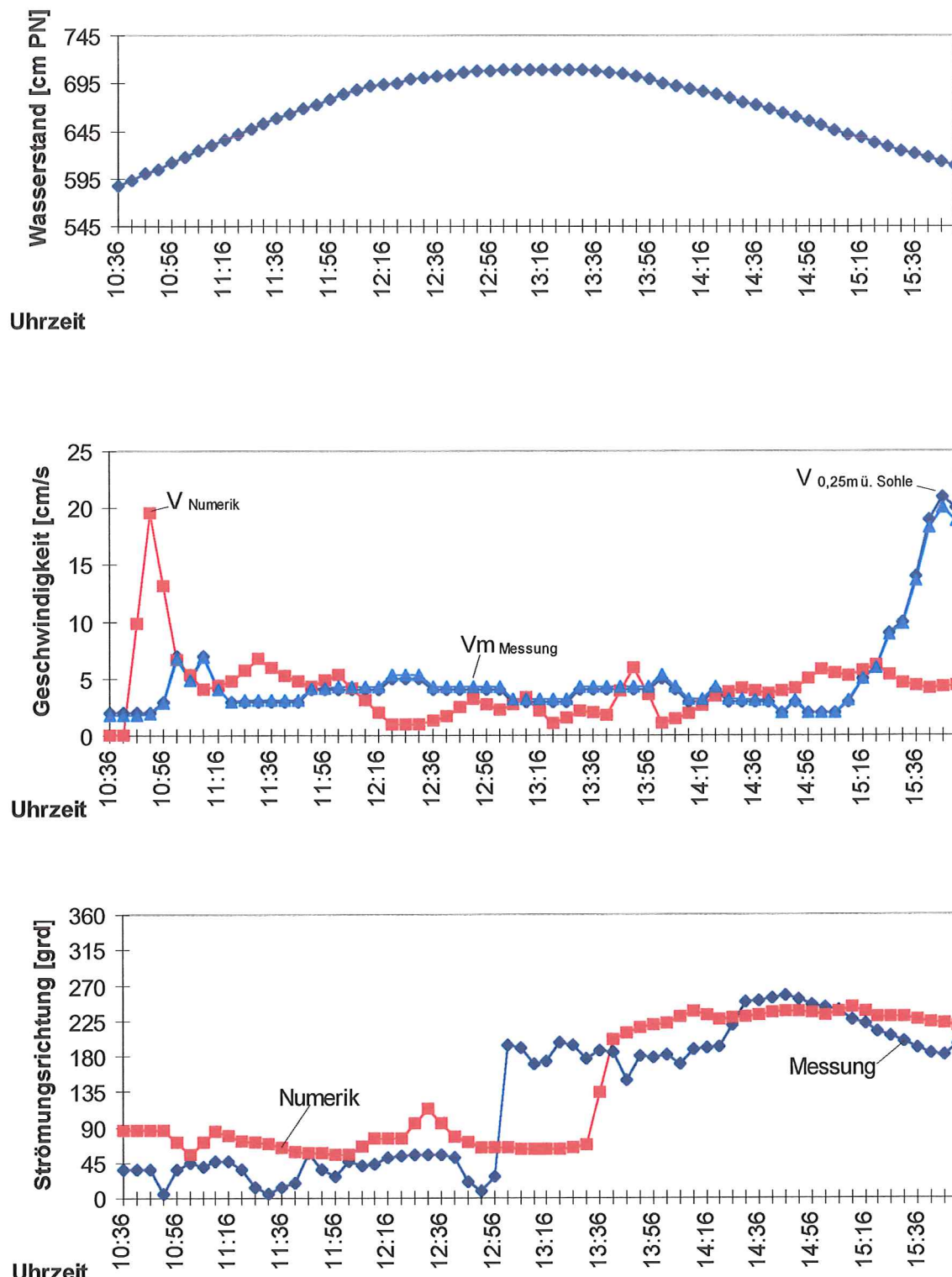
Anlage 8-1: Ergebnisse der Kalibrierung an der Meßstation 2  
(Tidekurve am Pegel Schlütsiel vom 06.11.1995)



Anlage 8-2: Ergebnisse der Kalibrierung an der Meßstation 3  
(Tidekurve am Pegel Schlütsiel vom 06.11.1995)

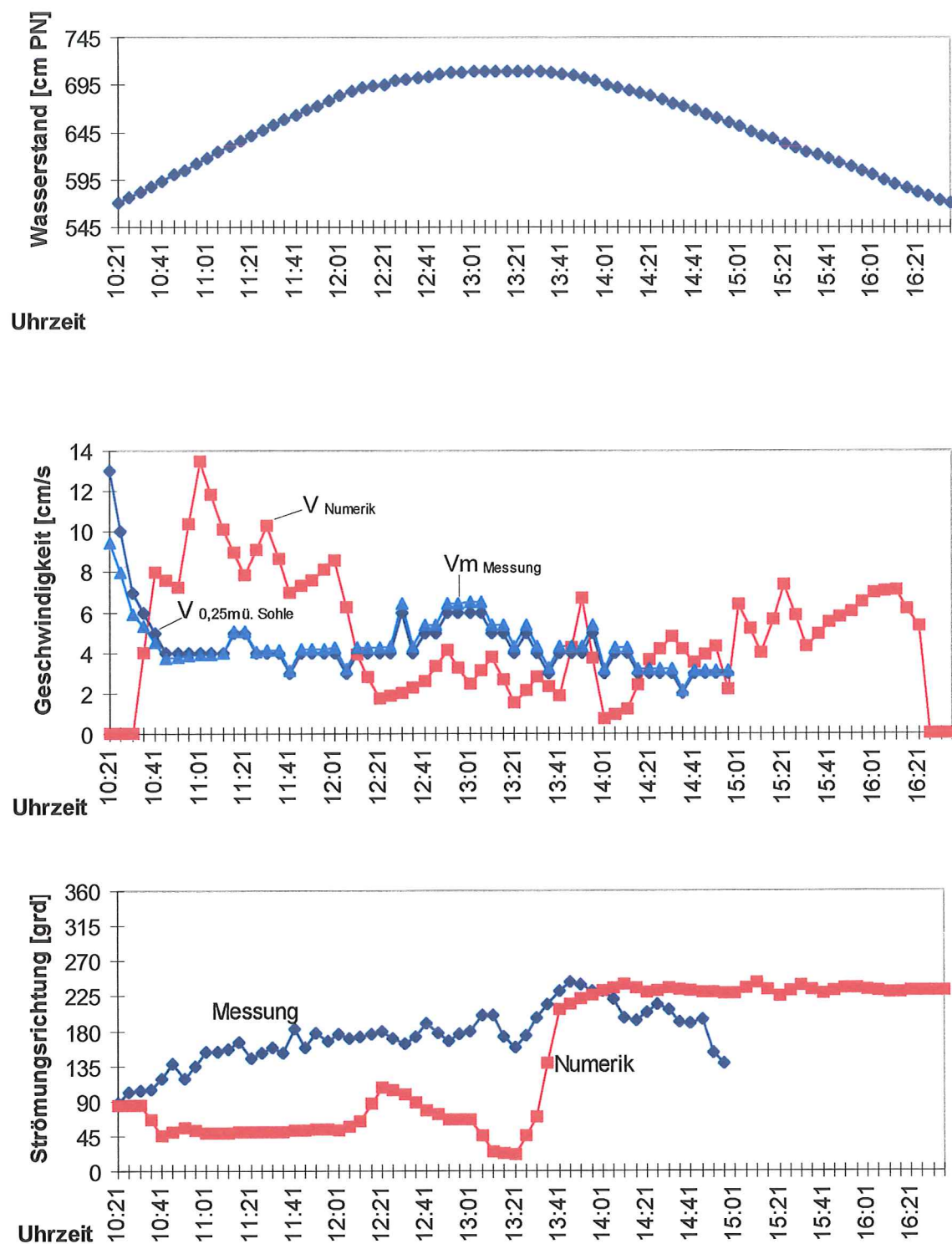


Anlage 8-3: Ergebnisse der Kalibrierung an der Meßstation 5  
 (Tidekurve am Pegel Schlüttiel vom 06.11.1995)

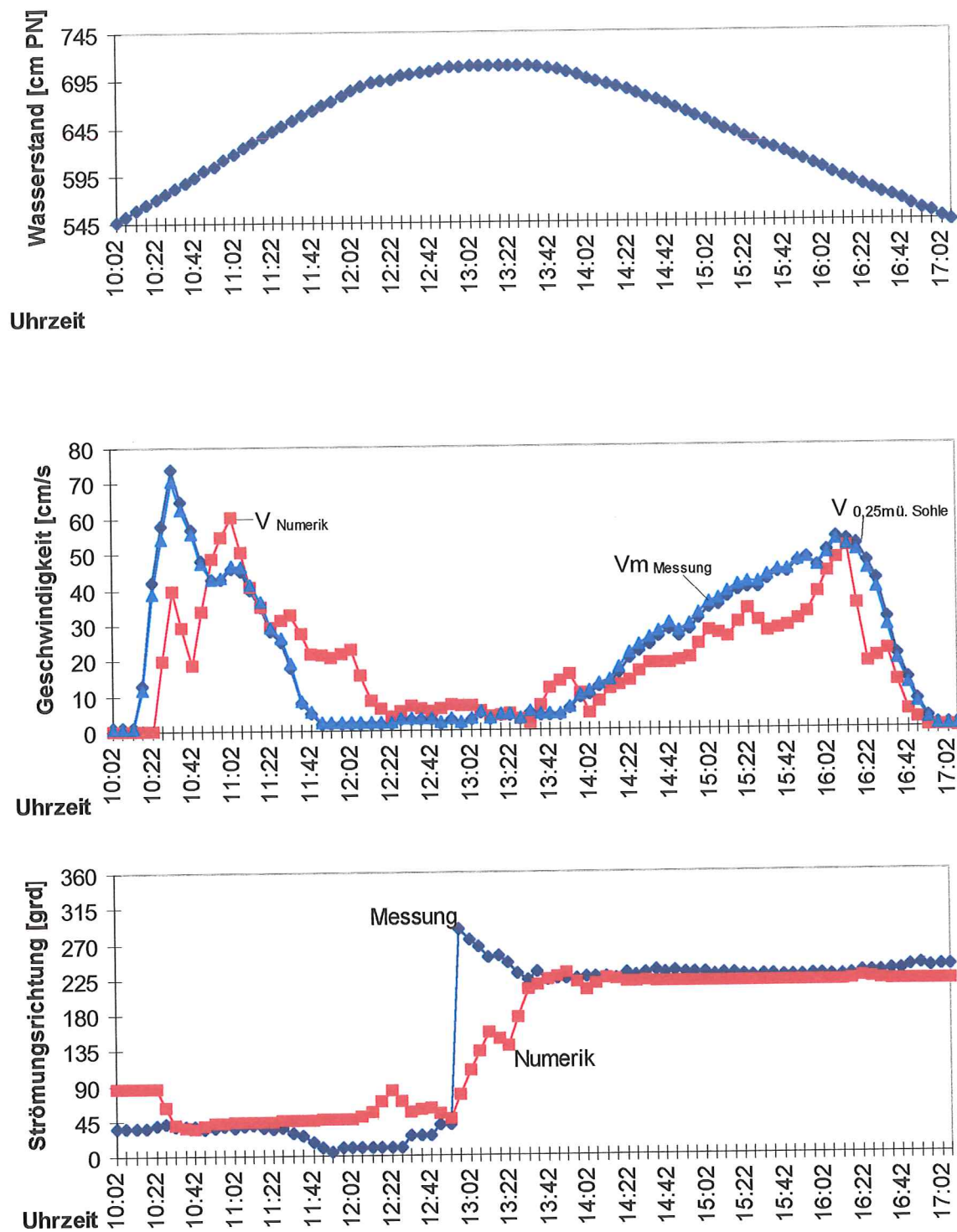


Anlage 8-4: Ergebnisse der Kalibrierung an der Meßstation 6

(Tidekurve am Pegel Schlüttiel vom 06.11.1995)

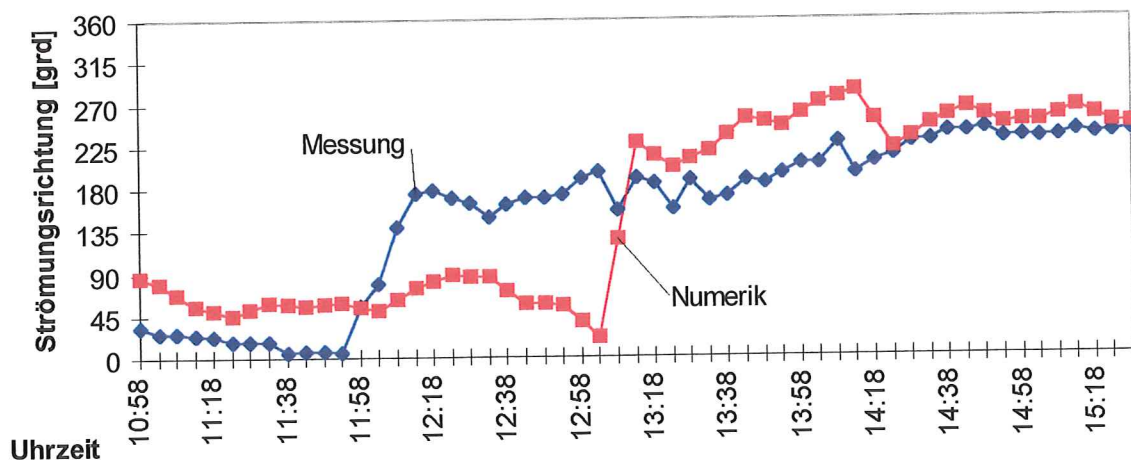
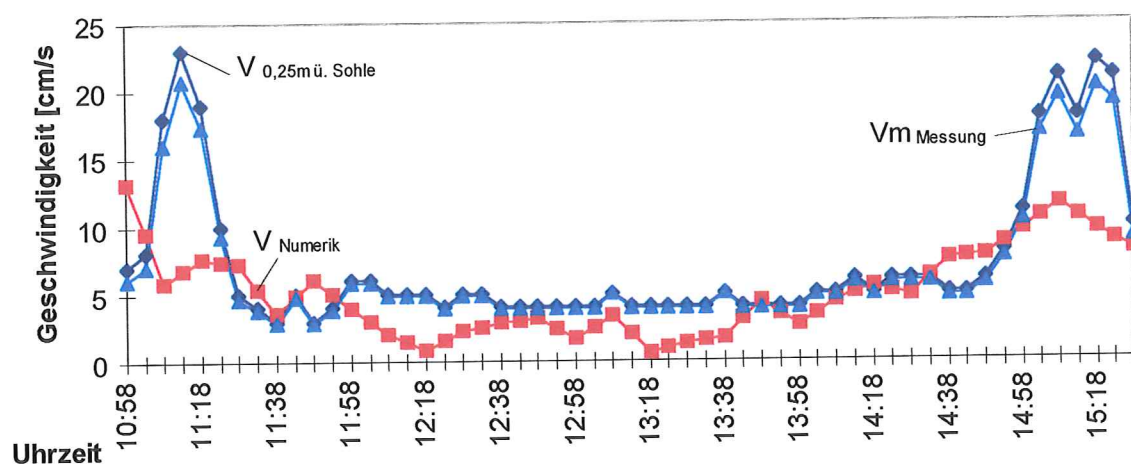
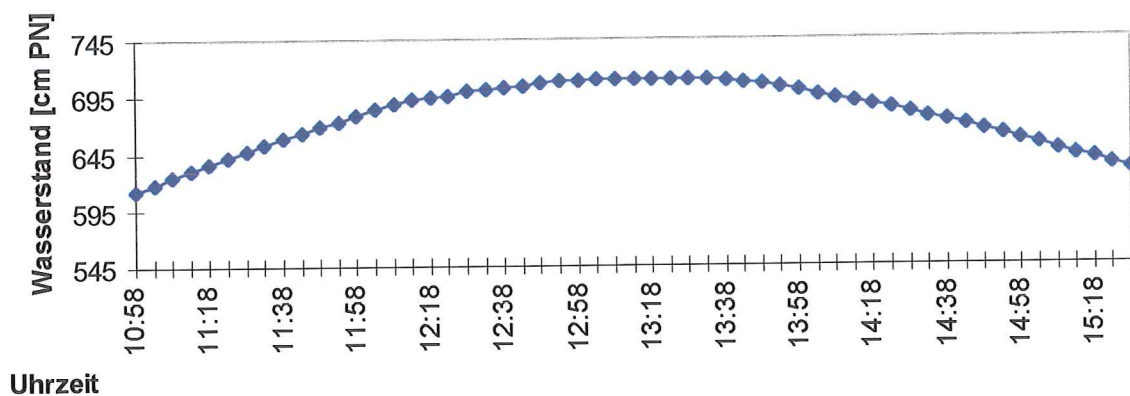


Anlage 8-5: Ergebnisse der Kalibrierung an der Meßstation 7  
 (Tidekurve am Pegel Schlüttiel vom 06.11.1995)

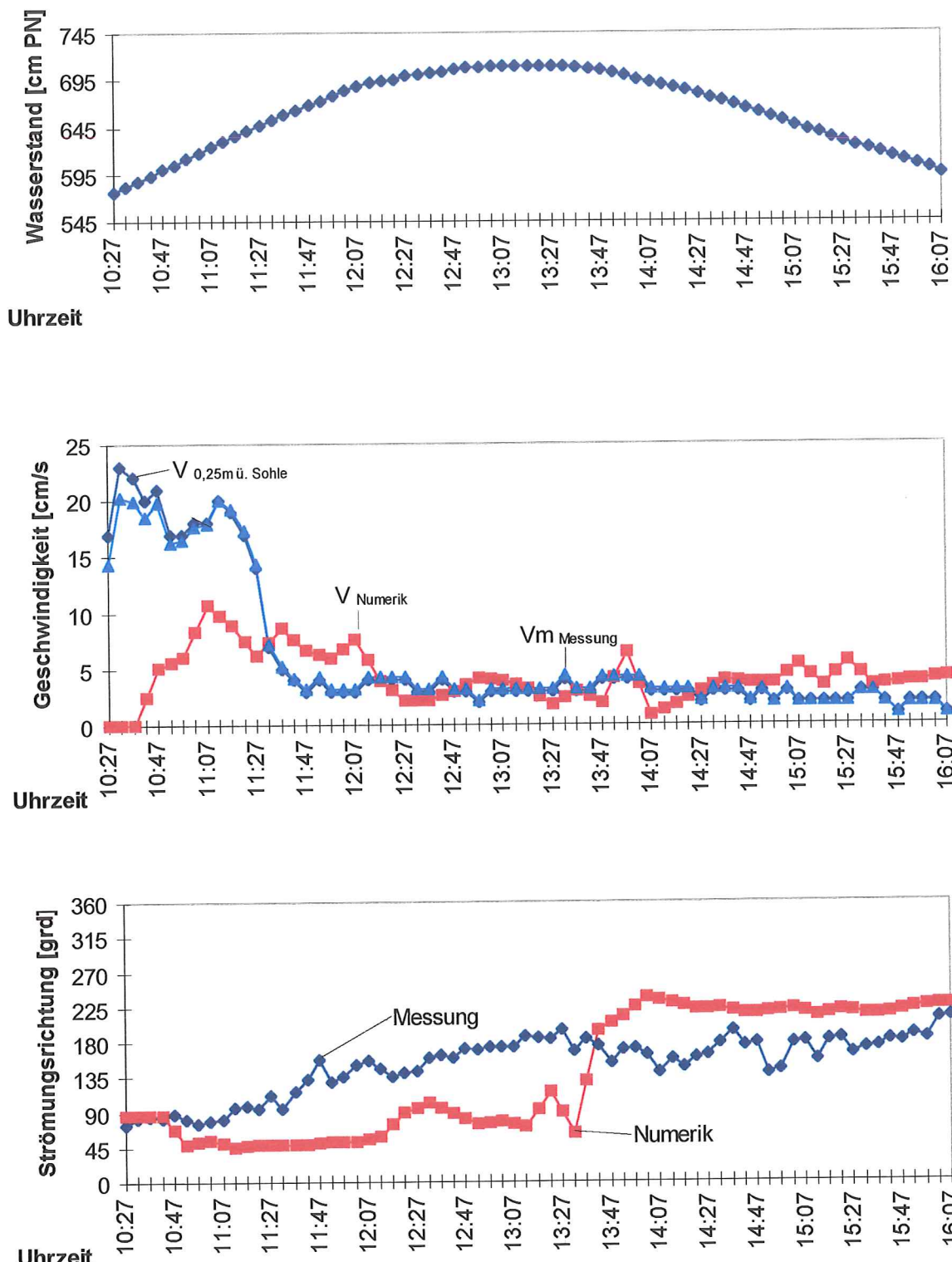


Anlage 8-6: Ergebnisse der Kalibrierung an der Meßstation 8

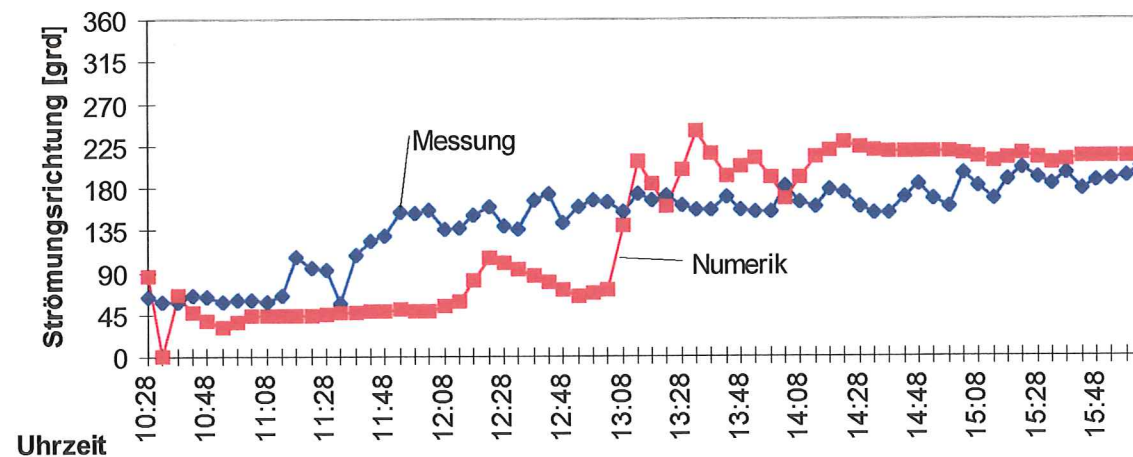
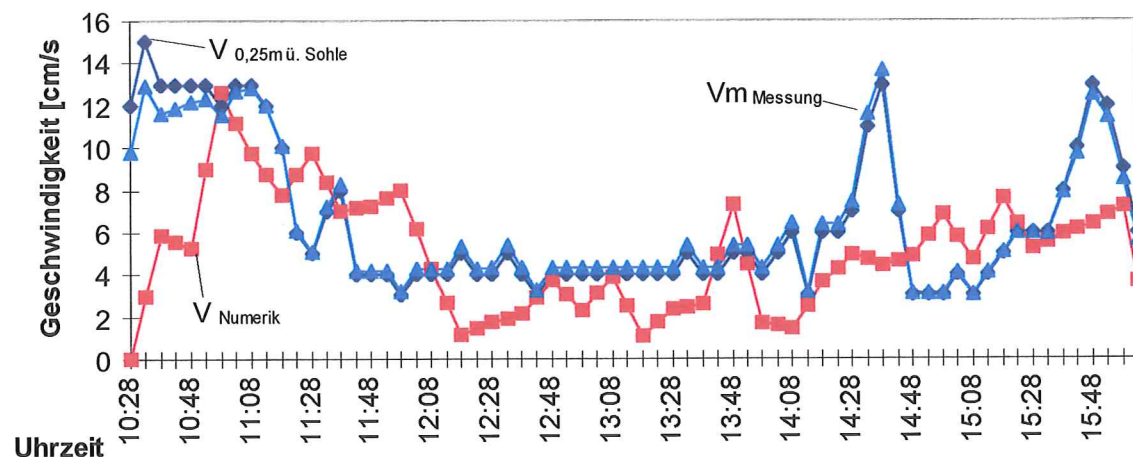
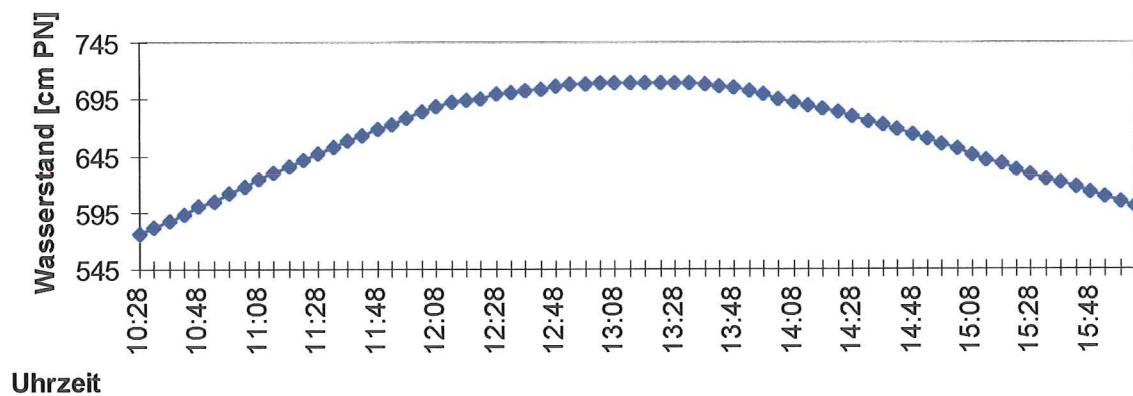
(Tidekurve am Pegel Schlütsiel vom 06.11.1995)



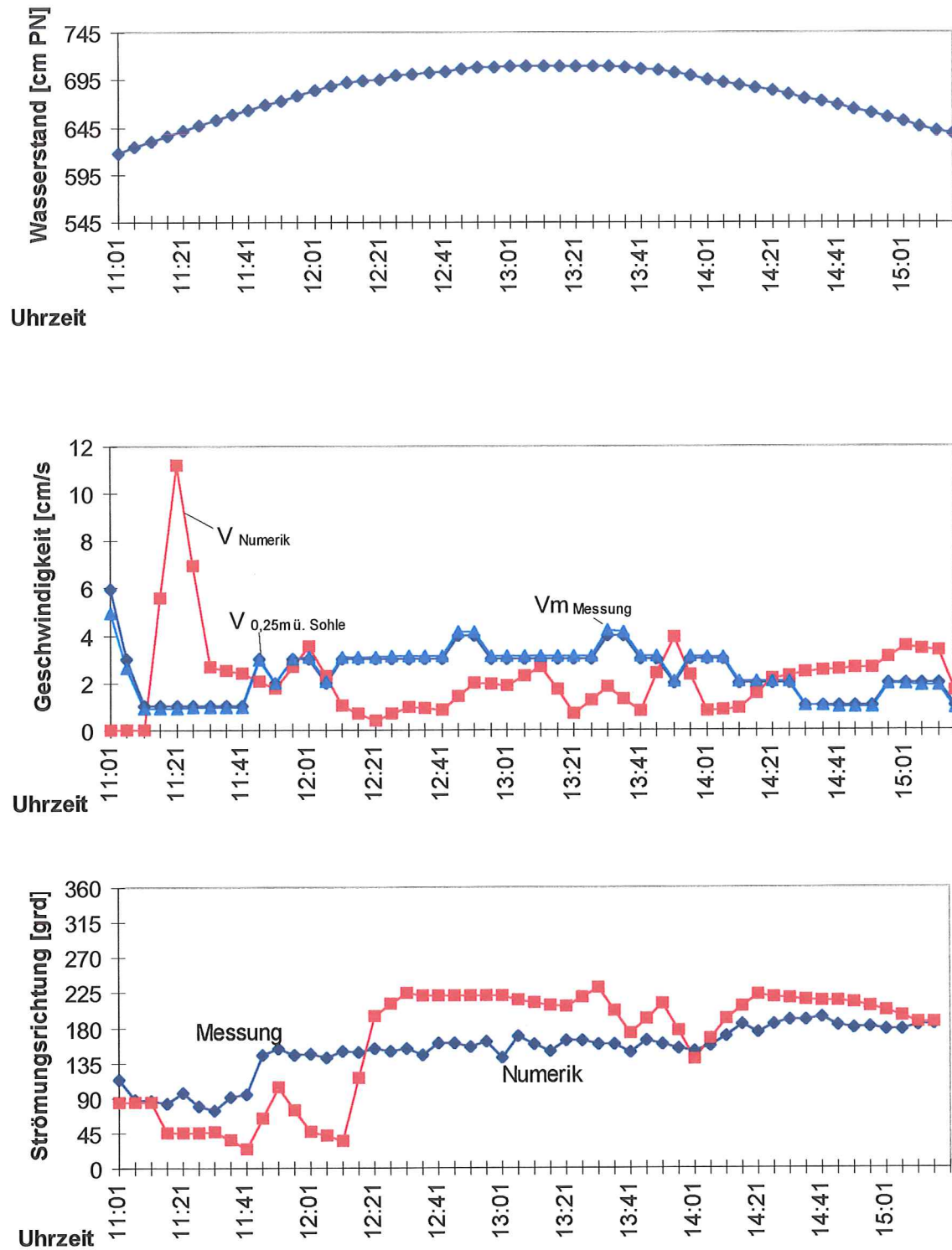
Anlage 8-7: Ergebnisse der Kalibrierung an der Meßstation 9b  
 (Tidekurve am Pegel Schlüttiel vom 06.11.1995)



Anlage 8-8: Ergebnisse der Kalibrierung an der Meßstation 10  
(Tidekurve am Pegel Schlütsiel vom 06.11.1995)

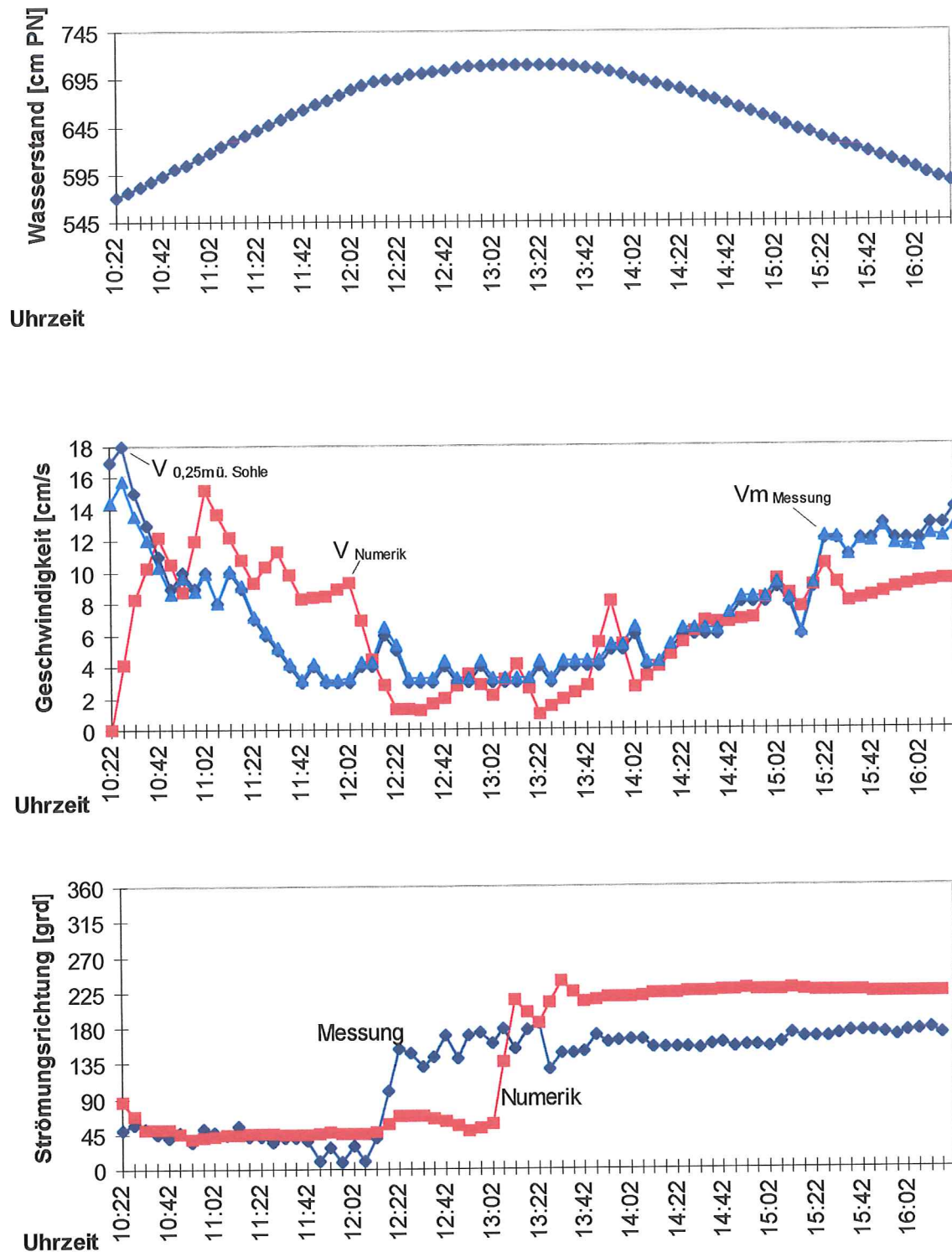


Anlage 8-9: Ergebnisse der Kalibrierung an der Meßstation 11  
(Tidekurve am Pegel Schlütsiel vom 06.11.1995)



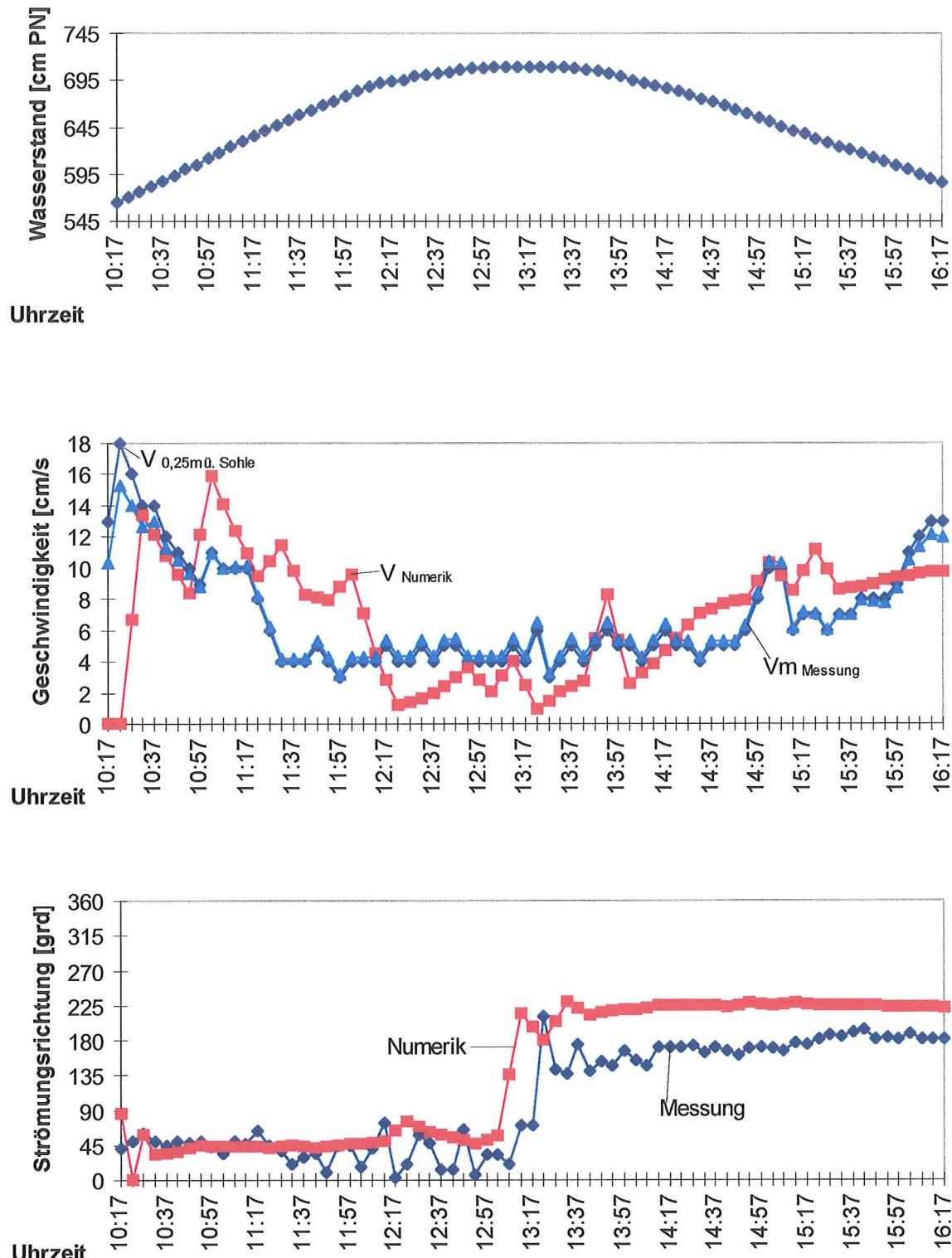
Anlage 8-10: Ergebnisse der Kalibrierung an der Meßstation 12

(Tidekurve am Pegel Schlüttspiel vom 06.11.1995)



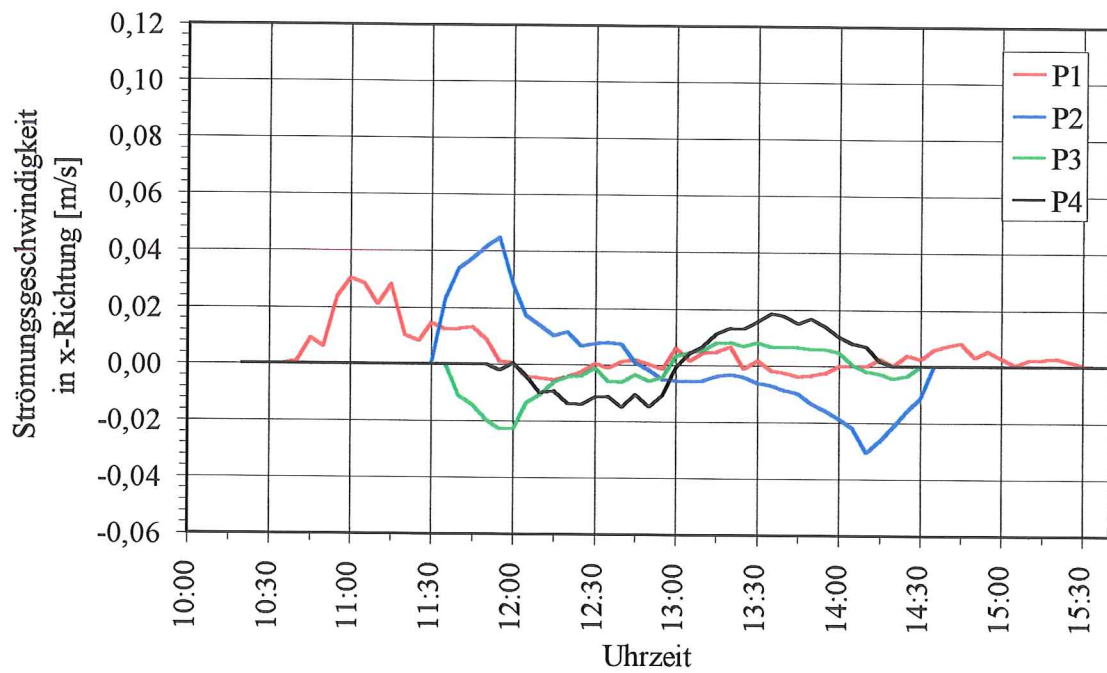
Anlage 8-11: Ergebnisse der Kalibrierung an der Meßstation 13

(Tidekurve am Pegel Schlütsiel vom 06.11.1995)

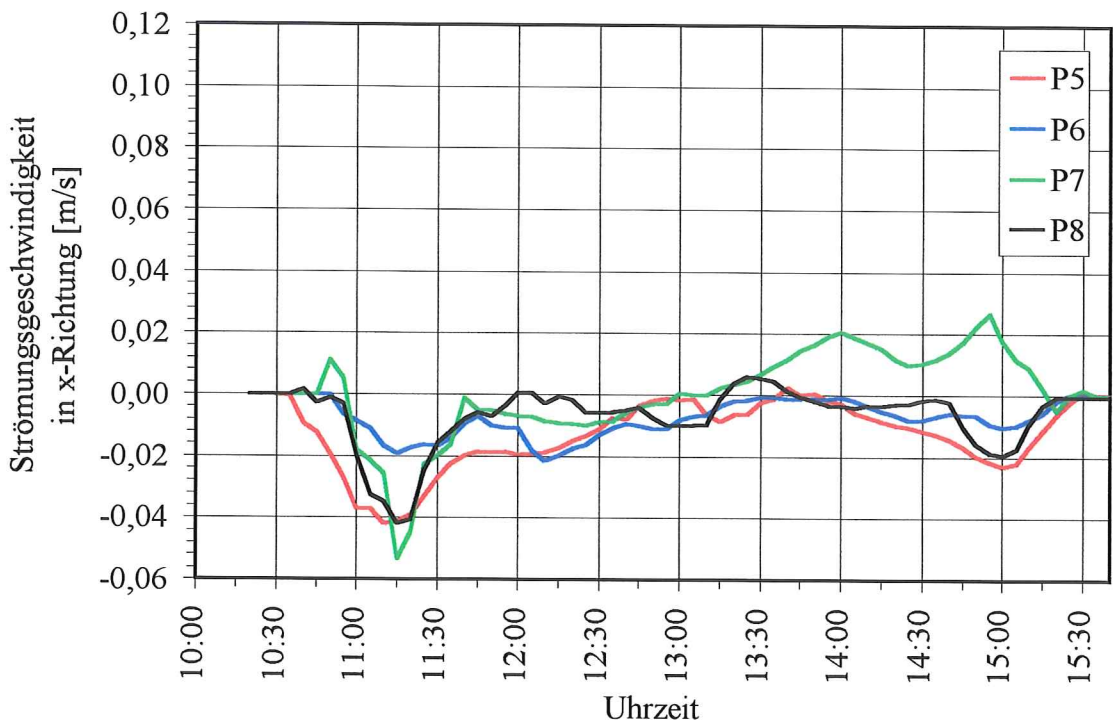


Anlage 8-12: Ergebnisse der Kalibrierung an der Meßstation 14

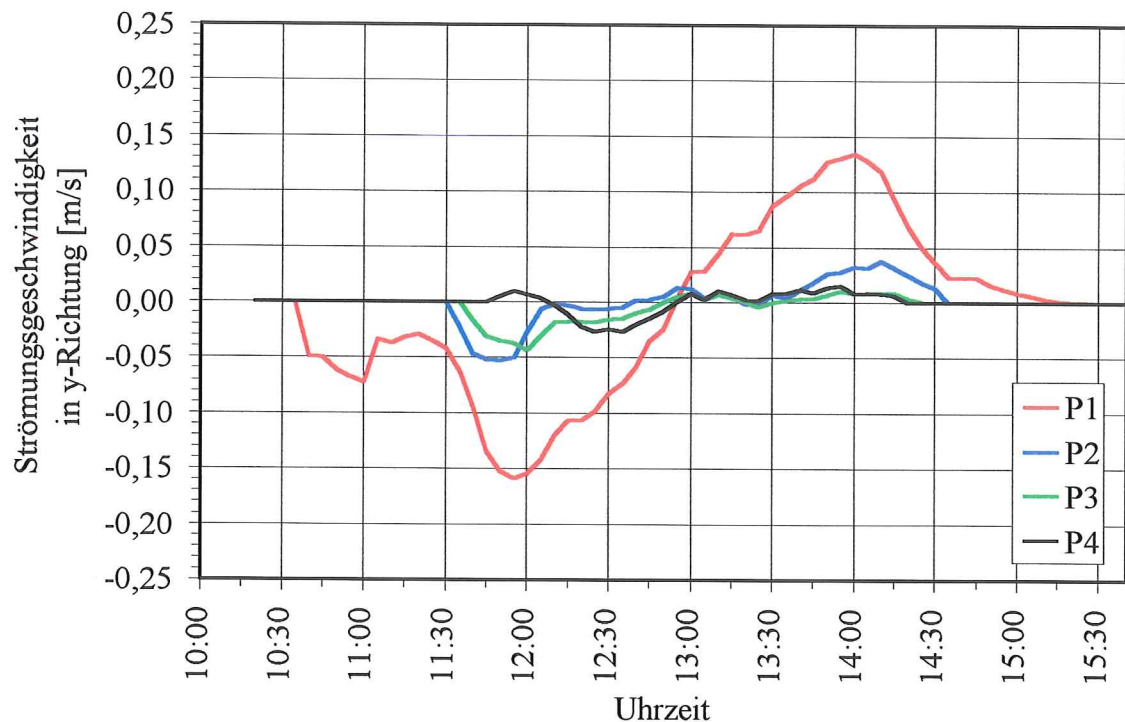
(Tidekurve am Pegel Schlüttspiel vom 06.11.1995)



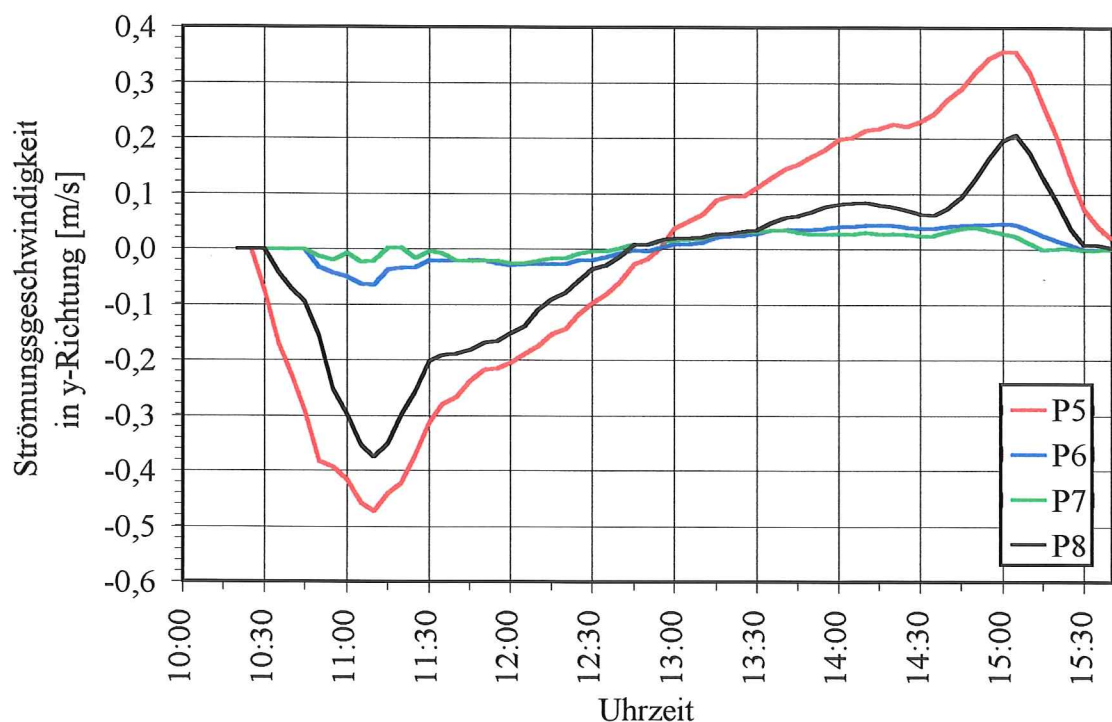
Anlage 8-13: Strömungsgeschwindigkeiten in x-Richtung [m/s]  
an den Referenzpunkten P1 bis P4



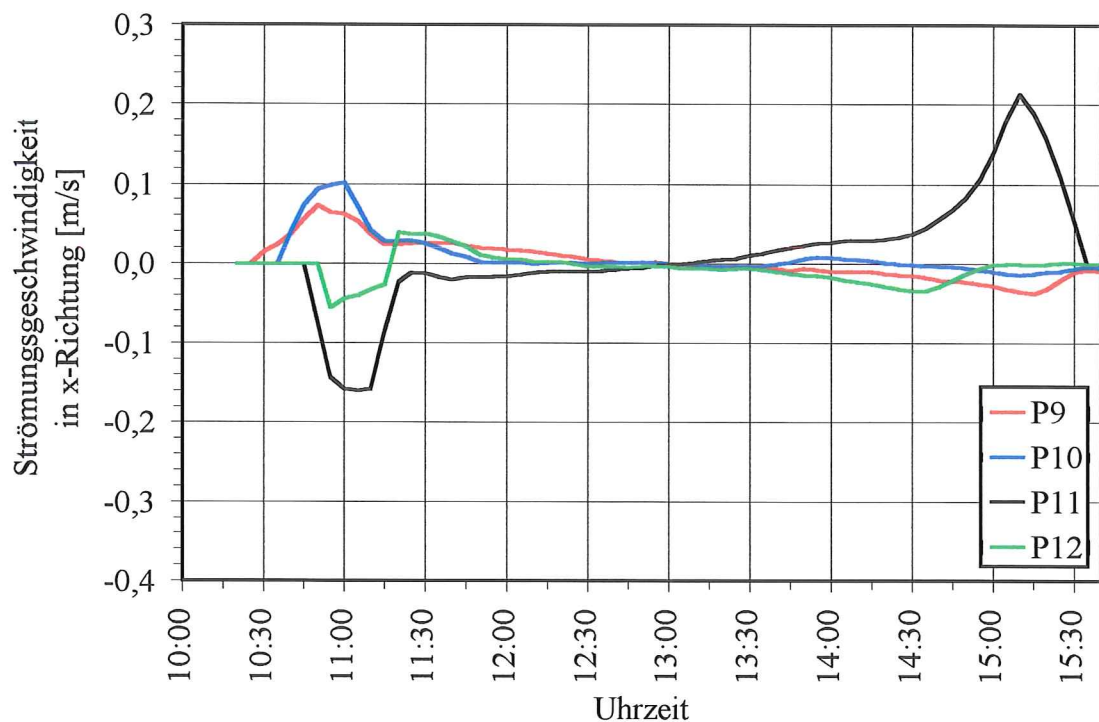
Anlage 8-14: Strömungsgeschwindigkeiten in x-Richtung [m/s]  
an den Referenzpunkten P5 bis P8



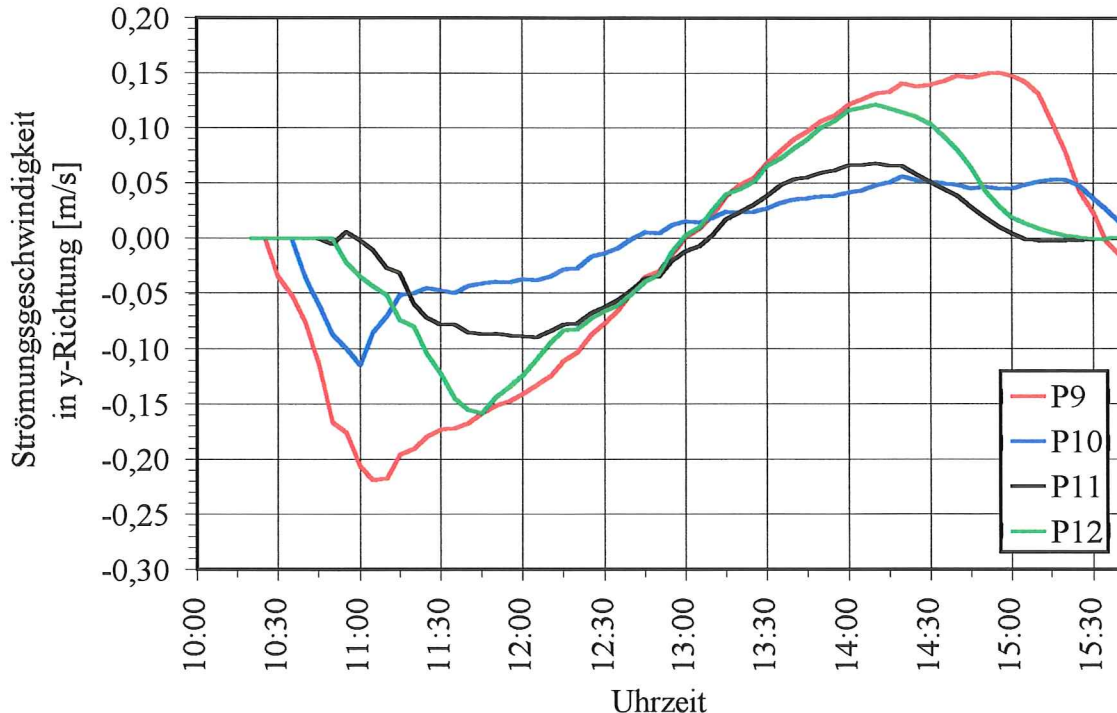
Anlage 8-15: Strömungsgeschwindigkeiten in y-Richtung [m/s]  
an den Referenzpunkten P1 bis P4



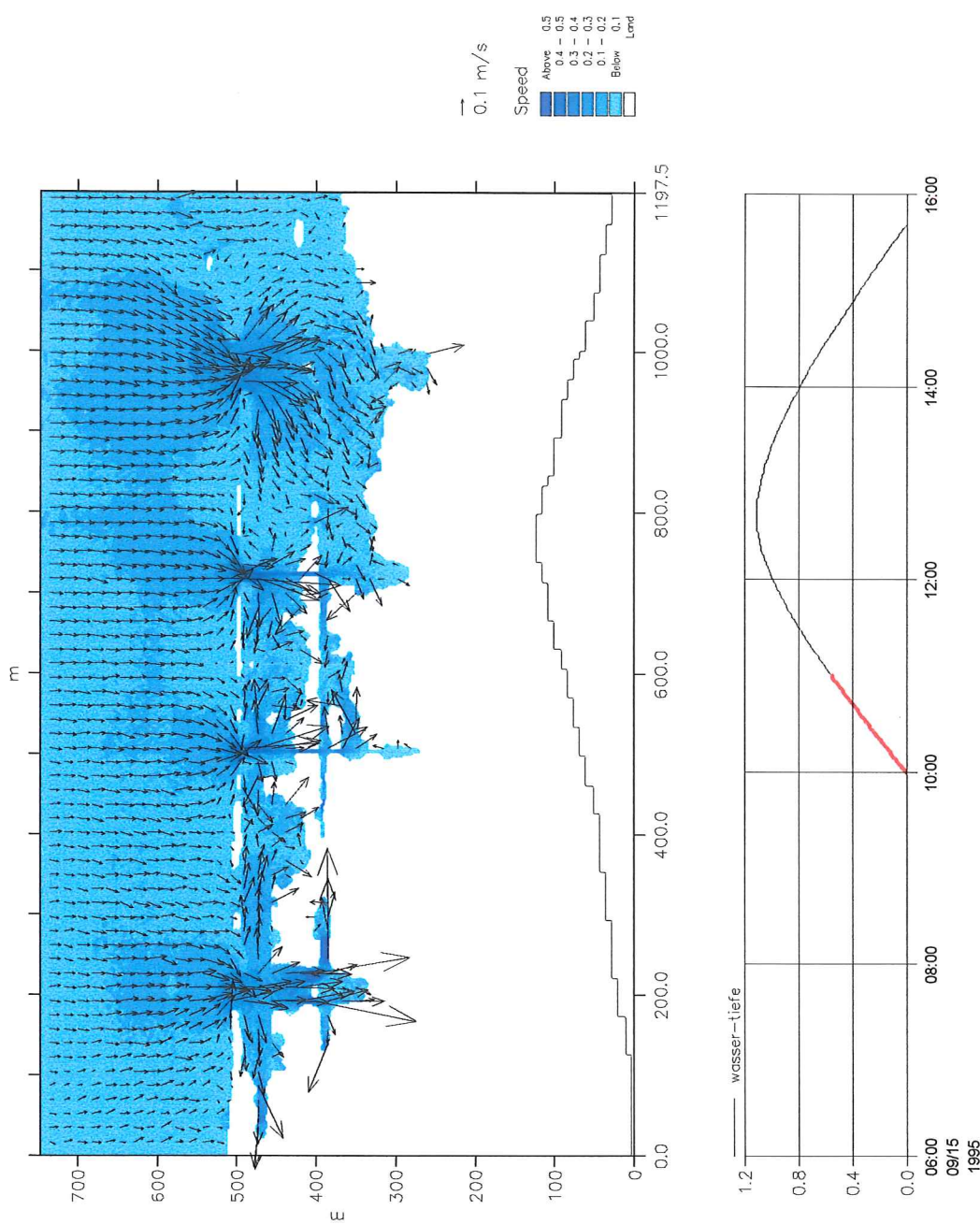
Anlage 8-16: Strömungsgeschwindigkeiten in y-Richtung [m/s]  
an den Referenzpunkten P5 bis P8



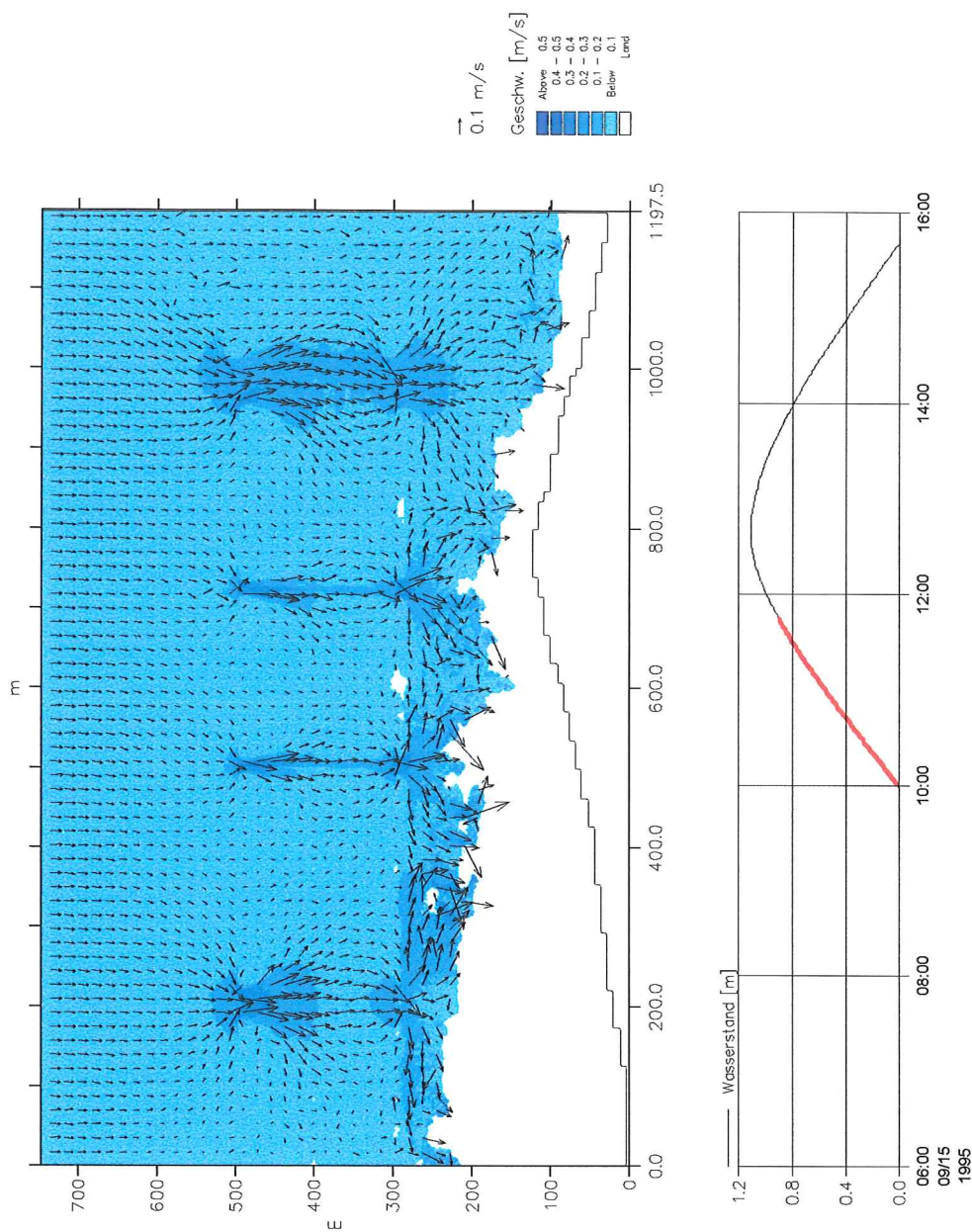
Anlage 8-17: Strömungsgeschwindigkeiten in x-Richtung [m/s]  
an den Referenzpunkten P9 bis P12



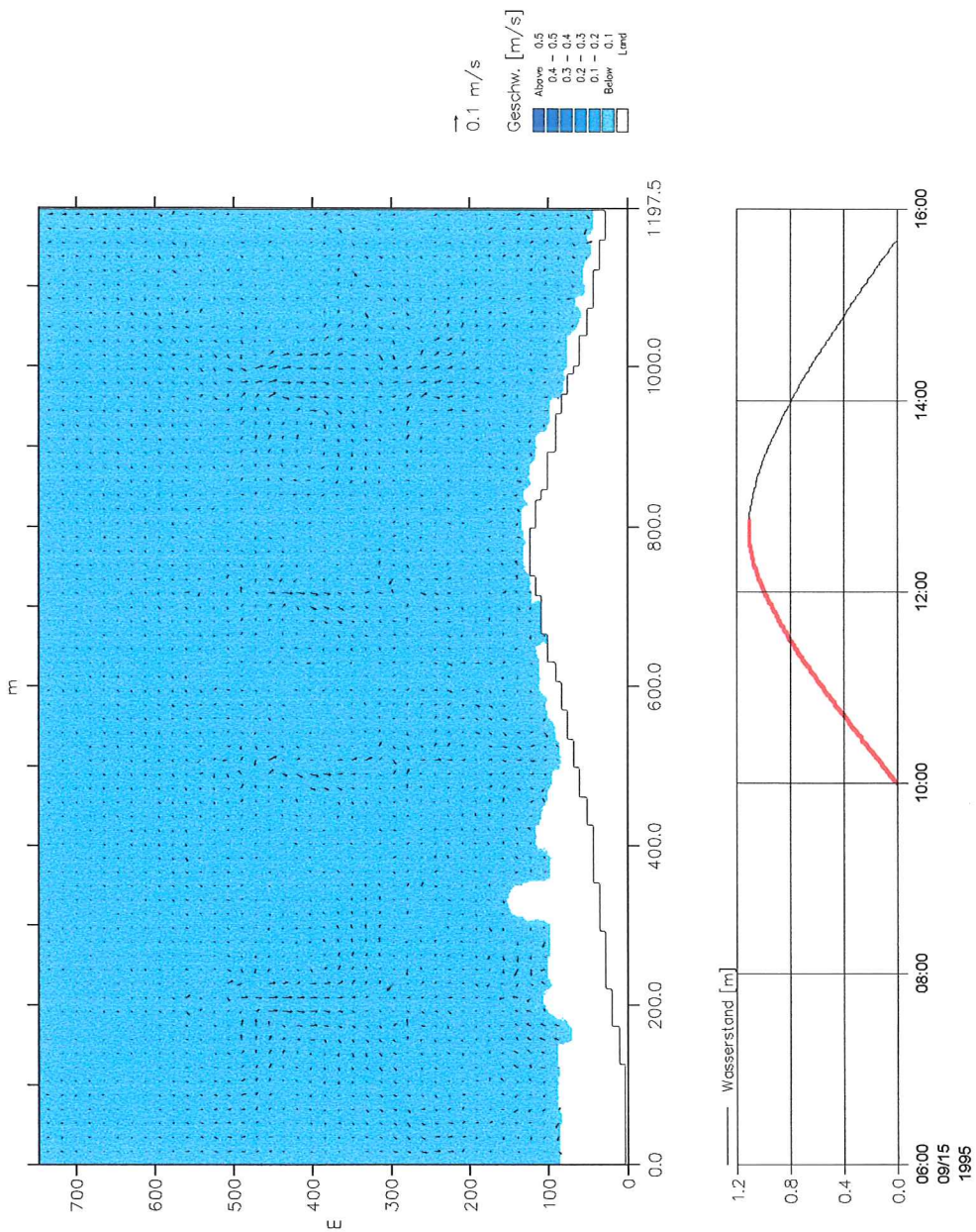
Anlage 8-18: Strömungsgeschwindigkeiten in y-Richtung [m/s]  
an den Referenzpunkten P9 bis P12



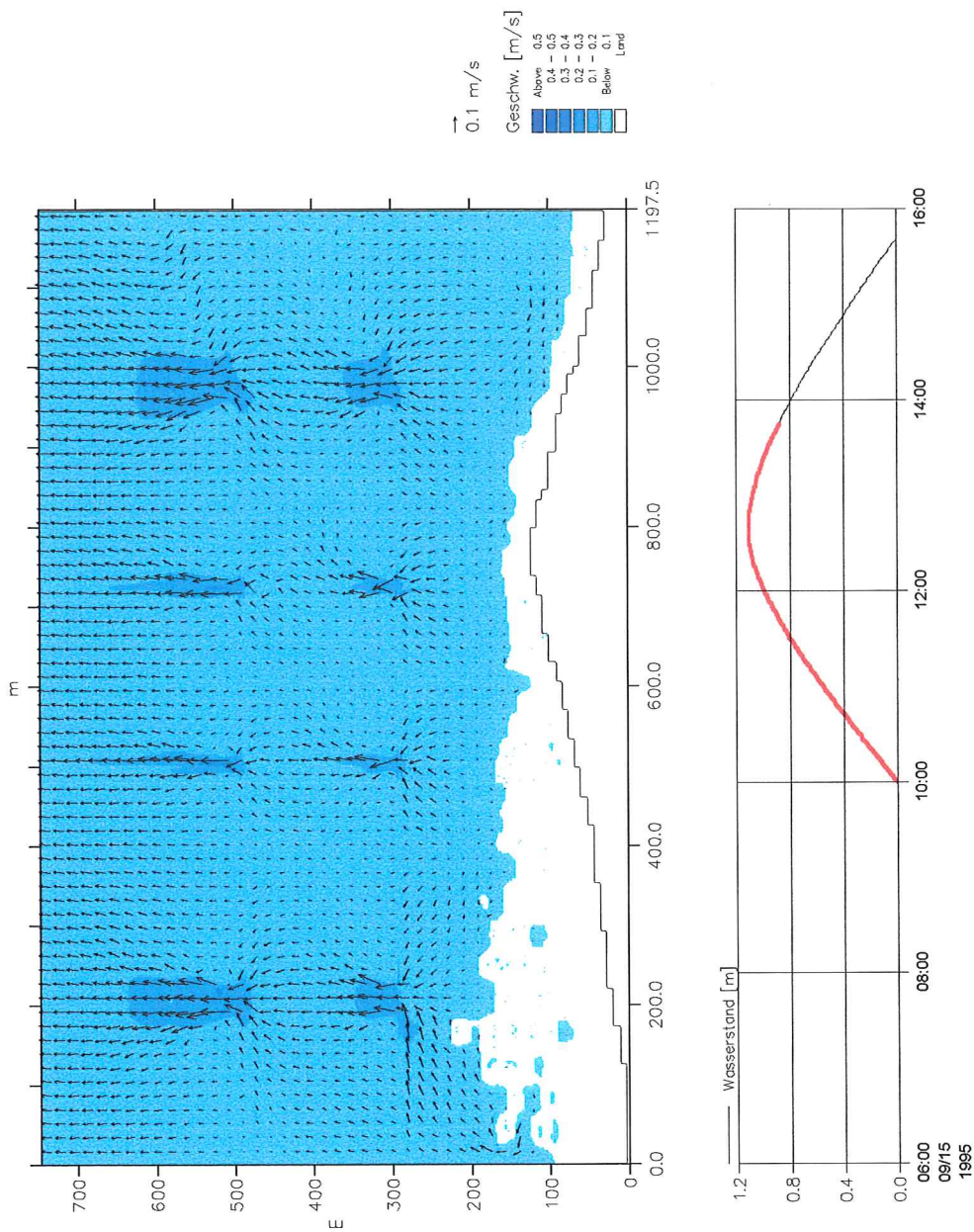
Anlage 8-19: Strömungsgeschwindigkeiten im Testgebiet „Ockholm“  
bei mittleren Tideverhältnissen zum Zeitpunkt 11.00 Uhr  
(Bezugshorizont der Simulationstide: 0 m BH = 545 cm PN Pegel Schlüttsiel)



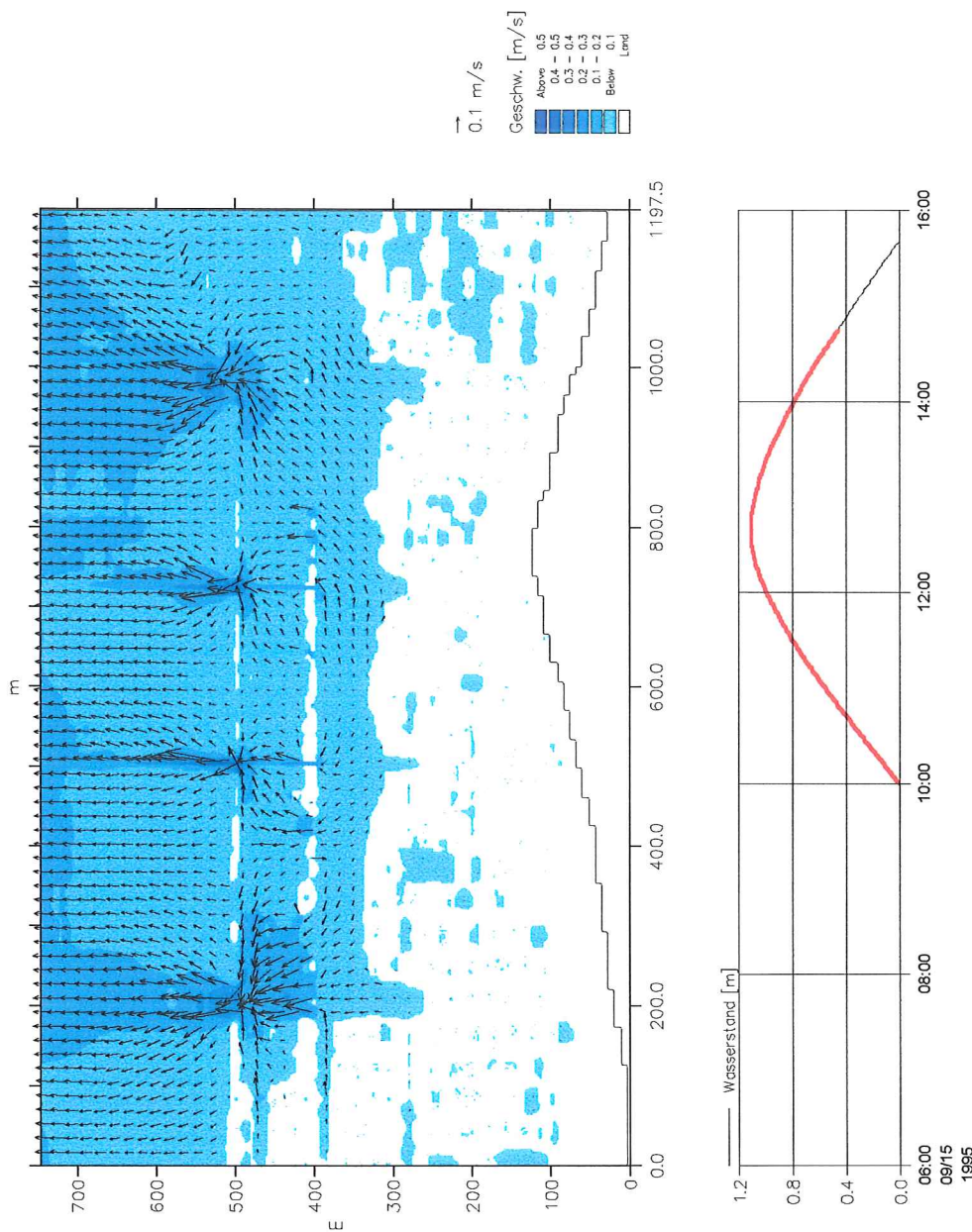
Anlage 8-20: Strömungsgeschwindigkeiten im Testgebiet „Ockholm“  
bei mittleren Tideverhältnissen zum Zeitpunkt 11.45 Uhr  
(Bezugshorizont der Simulationstide: 0 m BH = 545 cm PN Pegel Schlütsiel)



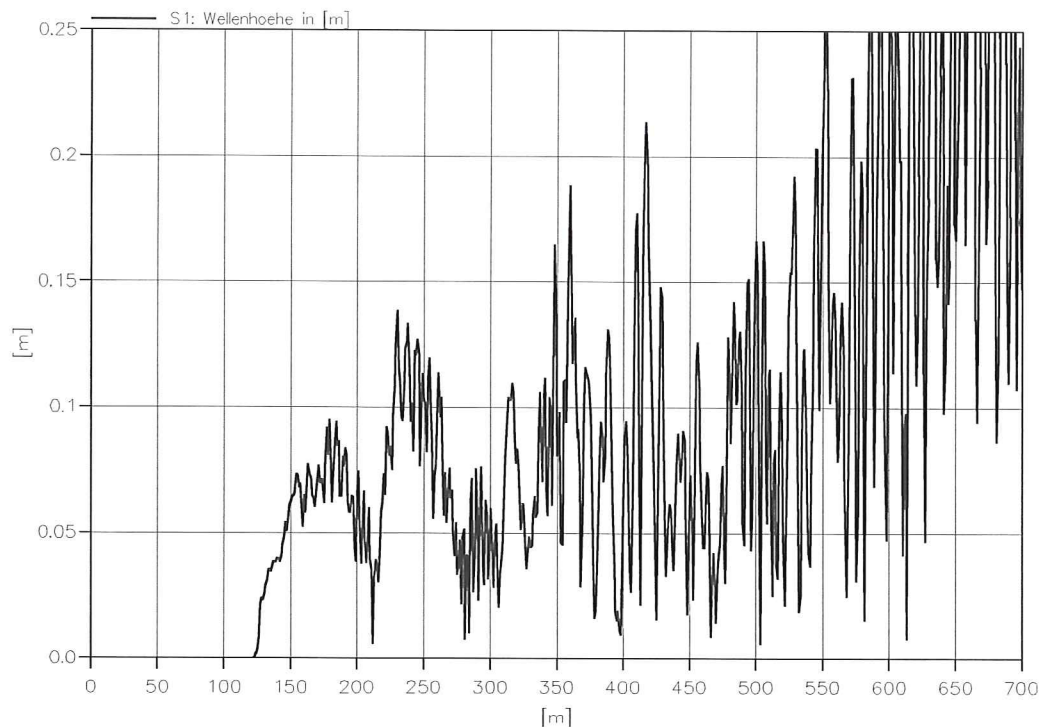
Anlage 8-21: Strömungsgeschwindigkeiten im Testgebiet „Ockholm“  
bei mittleren Tideverhältnissen zum Zeitpunkt 12.45 Uhr)  
(Bezugshorizont der Simulationstide: 0 m BH = 545 cm PN Pegel Schlüttsiel)



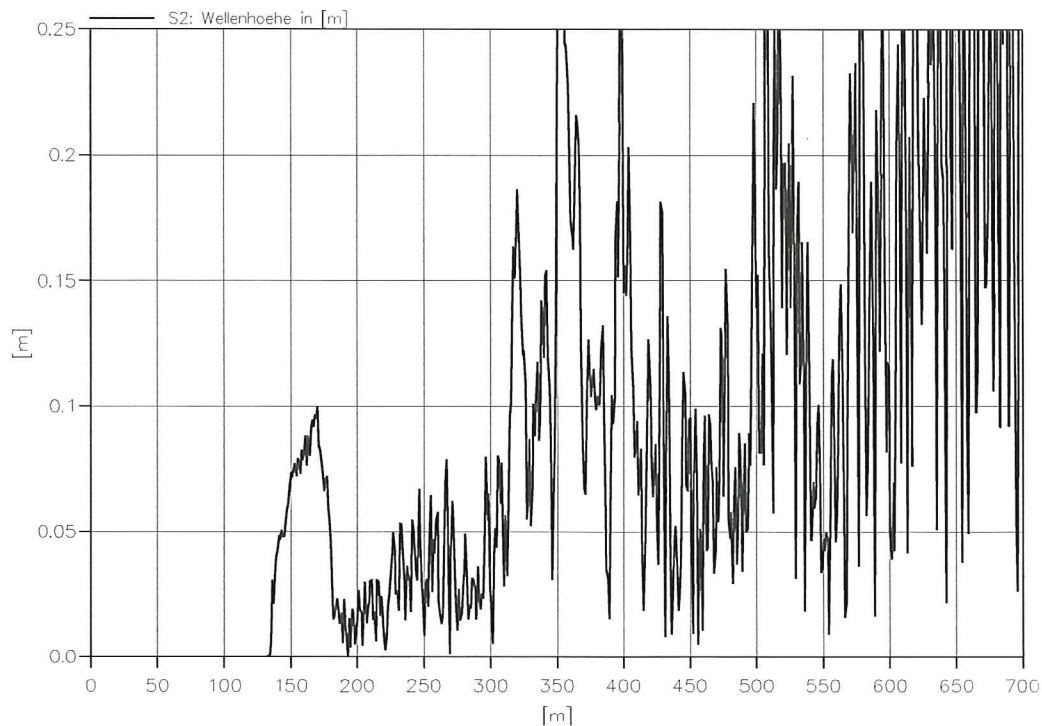
Anlage 8-22: Strömungsgeschwindigkeiten im Testgebiet „Ockholm“  
bei mittleren Tideverhältnissen zum Zeitpunkt 13.45 Uhr  
(Bezugshorizont der Simulationstide: 0 m BH = 545 cm PN Pegel Schlüttspiel)



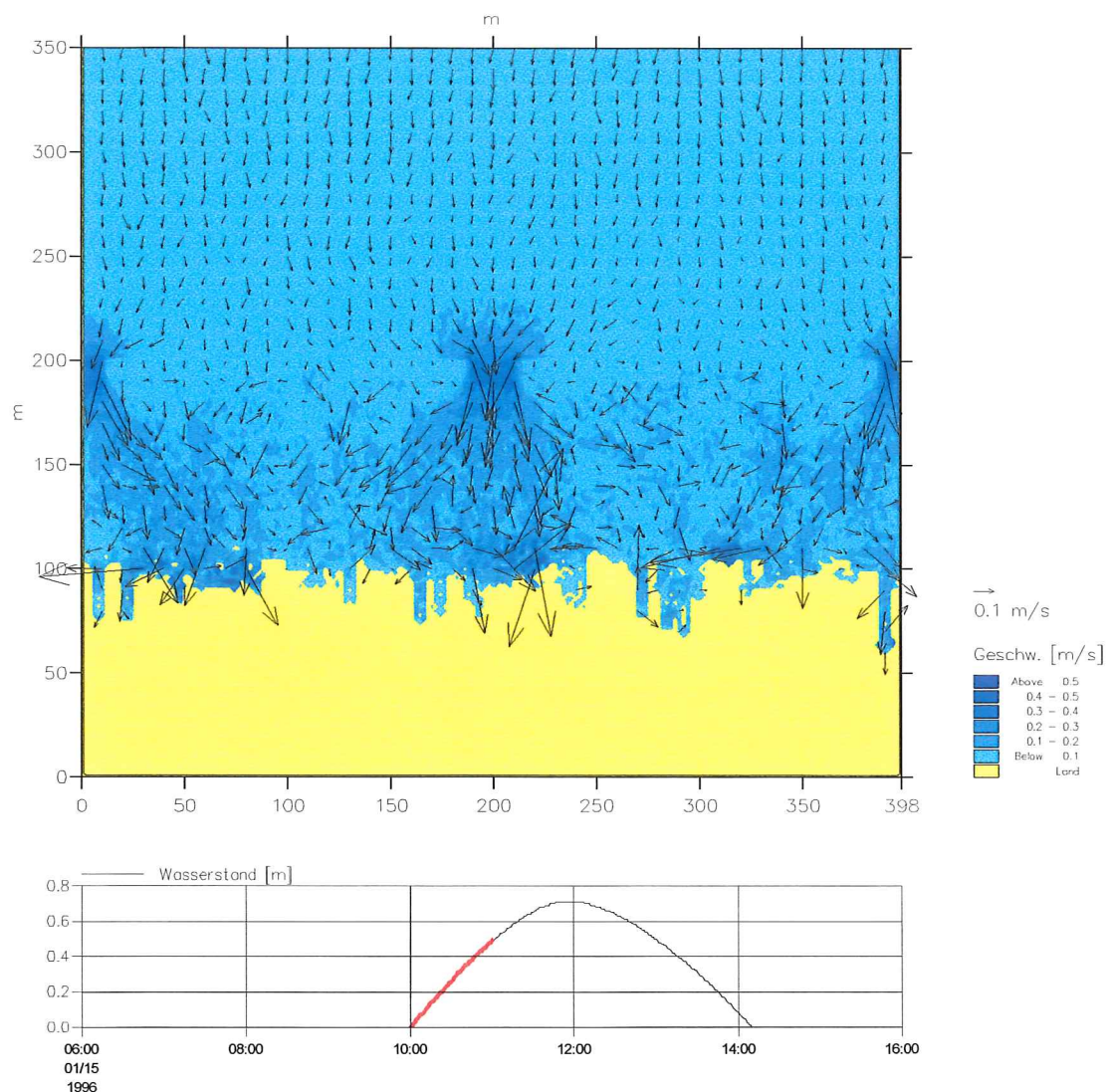
Anlage 8-23: Strömungsgeschwindigkeiten im Testgebiet „Ockholm“  
bei mittleren Tideverhältnissen zum Zeitpunkt 14.45 Uhr  
(Bezugshorizont der Simulationstide: 0 m BH = 545 cm PN Pegel Schlütsiel)



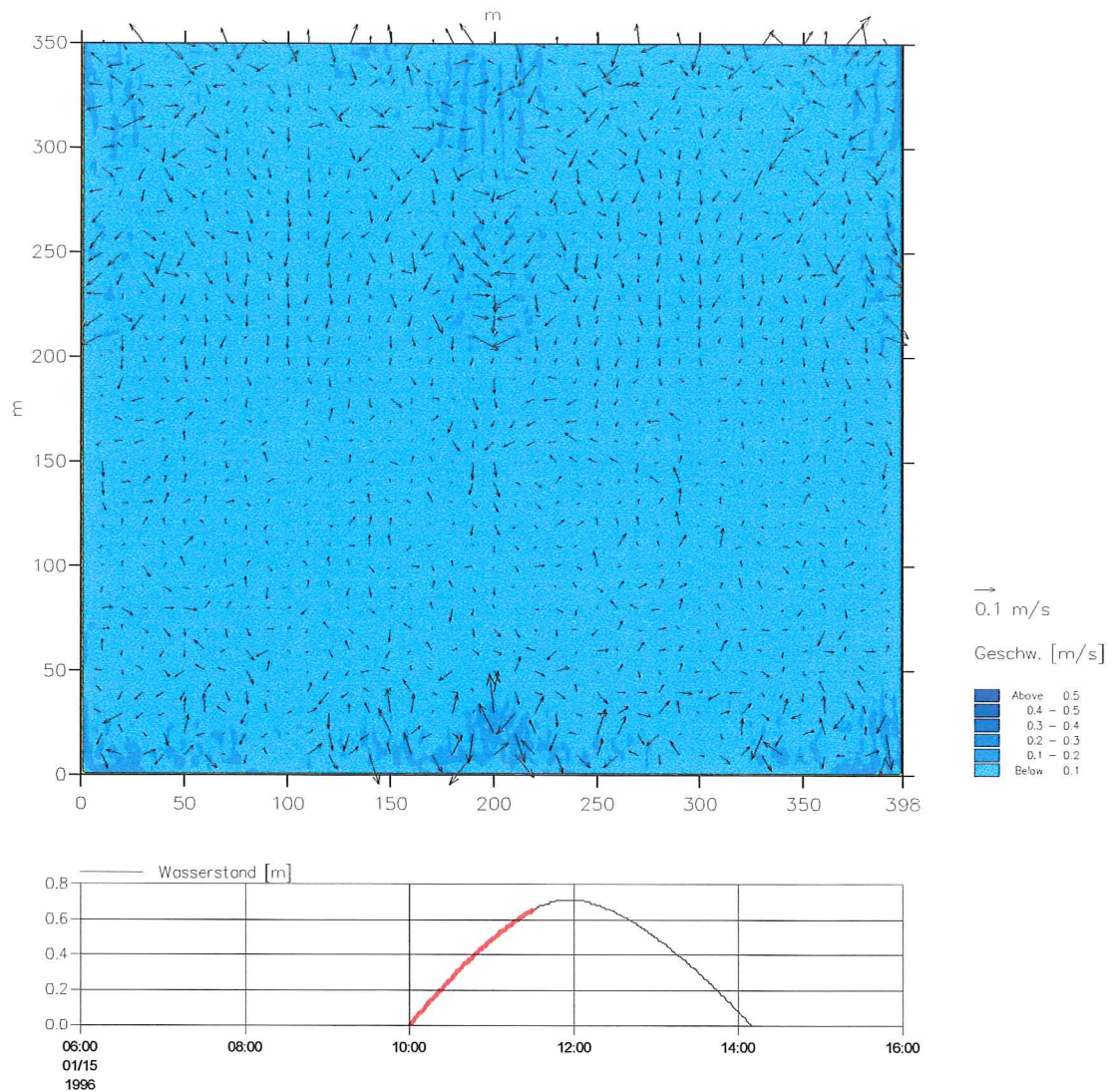
Anlage 8-24: Wellenhöhen im Testgebiet „Ockholm“ (Schnitt S1)  
für eine Wellenhöhe  $H = 10 \text{ cm}$  und eine Wellenperiode  $T = 3 \text{ s}$   
bei einer Wassertiefe von 50 cm im Bereich der  
Lahnungsöffnung des Feldes 1 (Wellenhöhen in [m])



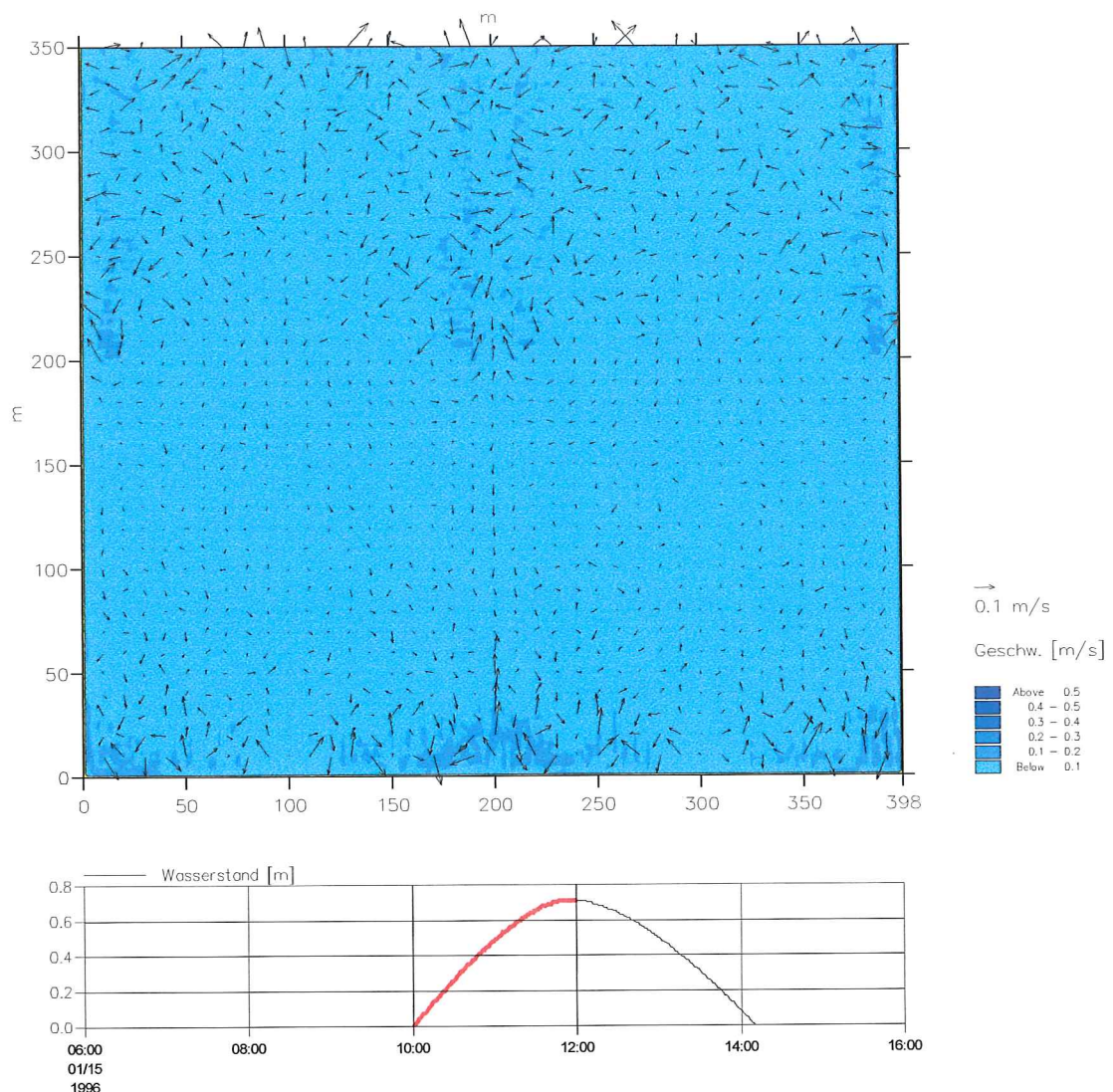
Anlage 8-25: Wellenhöhen im Testgebiet „Ockholm“ (Schnitt S2)  
für eine Wellenhöhe  $H = 10 \text{ cm}$  und eine Wellenperiode  $T = 3 \text{ s}$   
bei einer Wassertiefe von 50 cm im Bereich der  
Lahnungsöffnung des Feldes 1 (Wellenhöhen in [m])



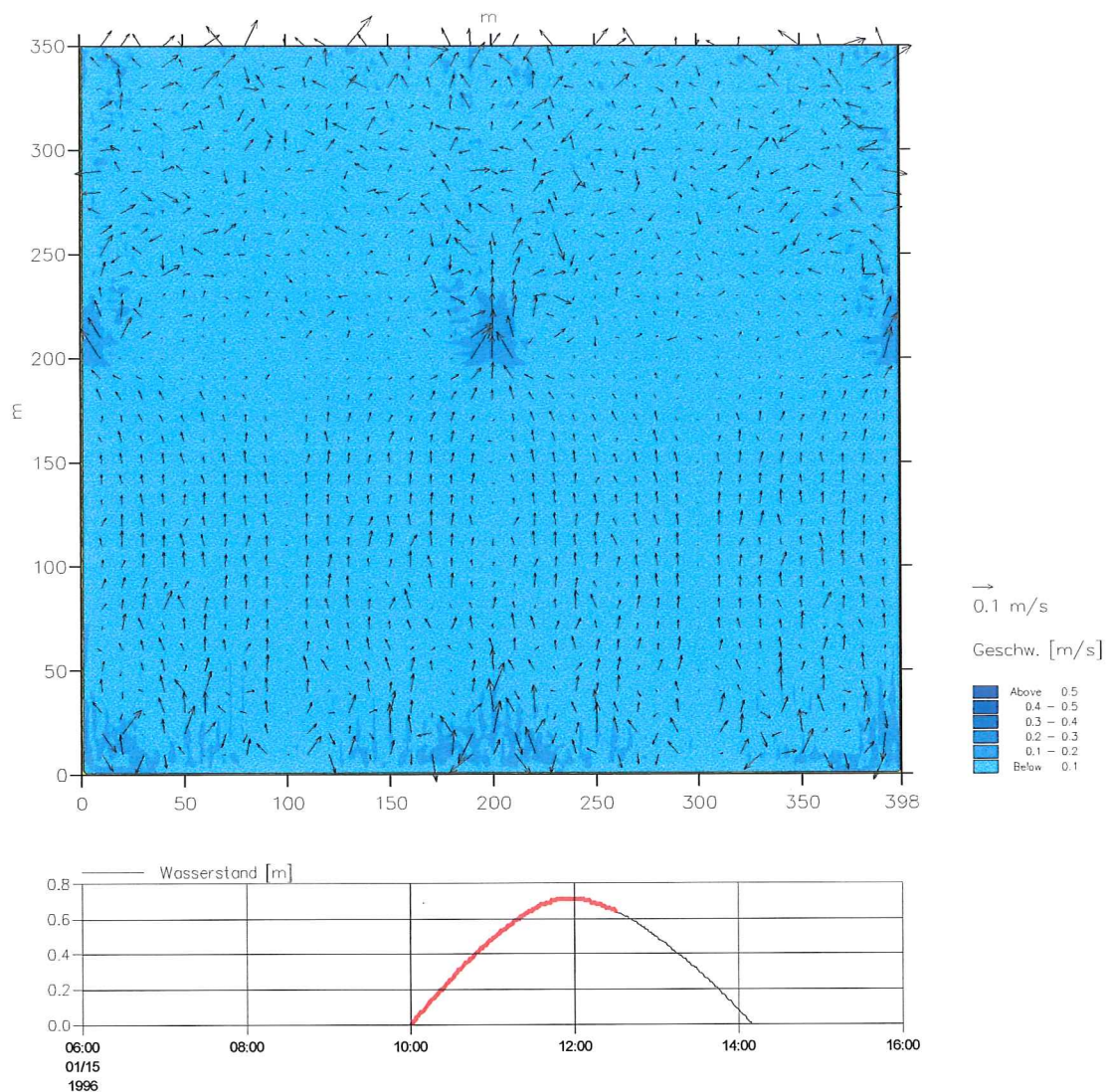
Anlage 8-26: Strömungsgeschwindigkeiten [m/s] für die Variante m\_01  
(mittlere Tidekurve am Pegel Schlättsiel, Zeitpunkt: 11.00 Uhr)



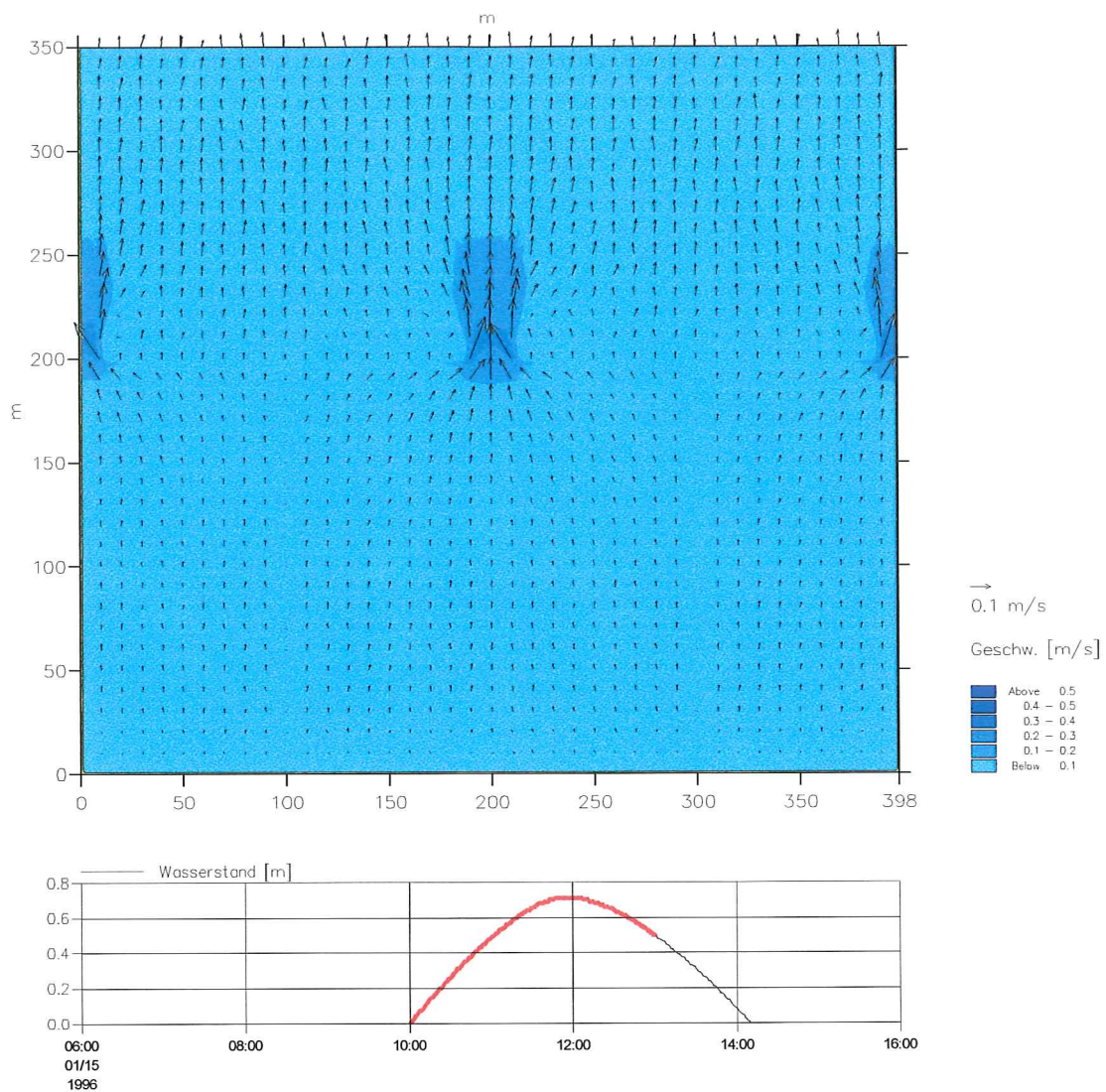
Anlage 8-27: Strömungsgeschwindigkeiten [m/s] für die Variante m\_01  
(mittlere Tidekurve am Pegel Schlütsiel, Zeitpunkt: 11.30 Uhr)



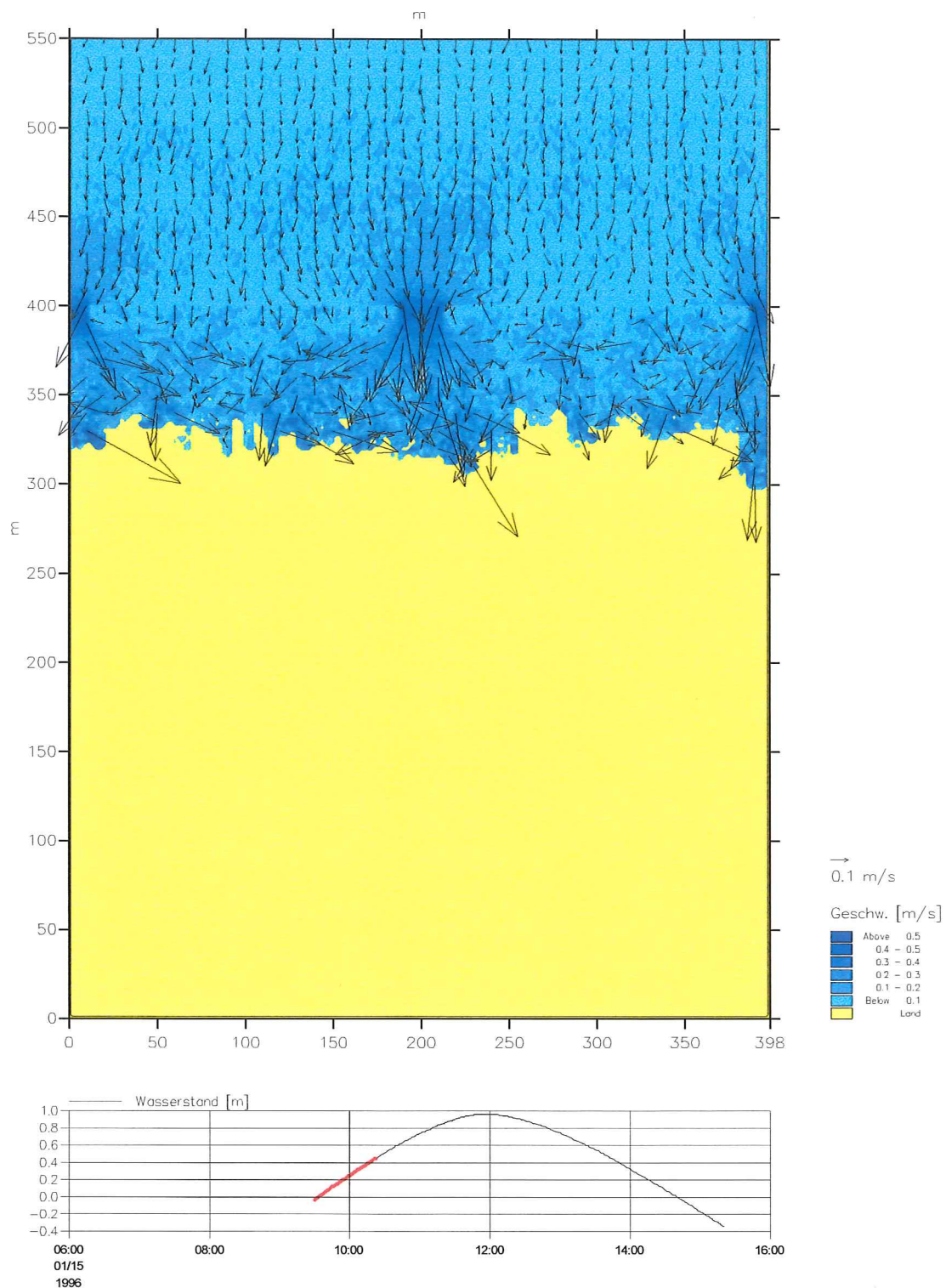
Anlage 8-28: Strömungsgeschwindigkeiten [m/s] für die Variante m\_01  
(mittlere Tidekurve am Pegel Schlütsiel, Zeitpunkt: 12.00 Uhr)



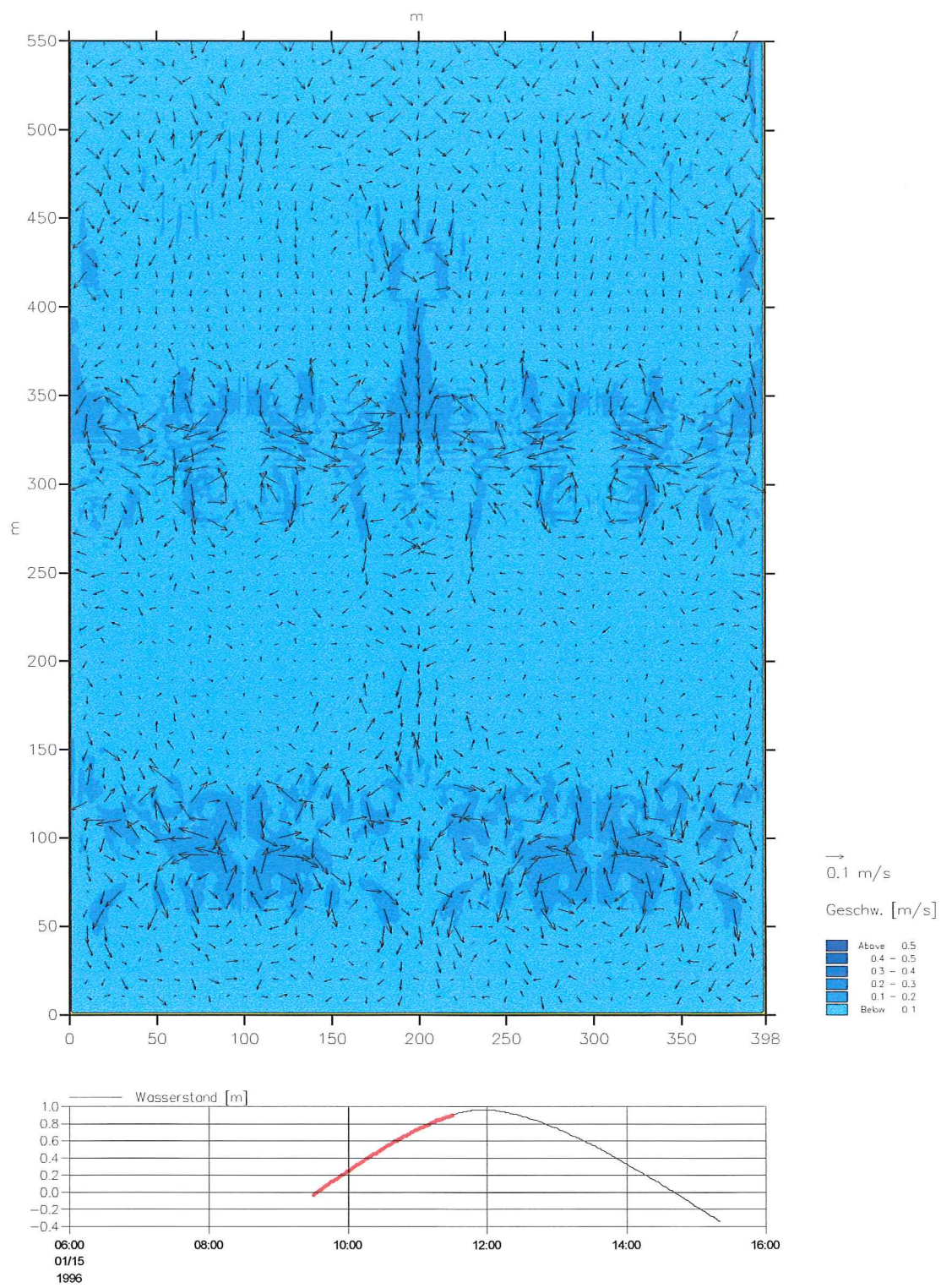
Anlage 8-29: Strömungsgeschwindigkeiten [m/s] für die Variante m\_01  
(mittlere Tidekurve am Pegel Schlüttspiel, Zeitpunkt: 12.30 Uhr)



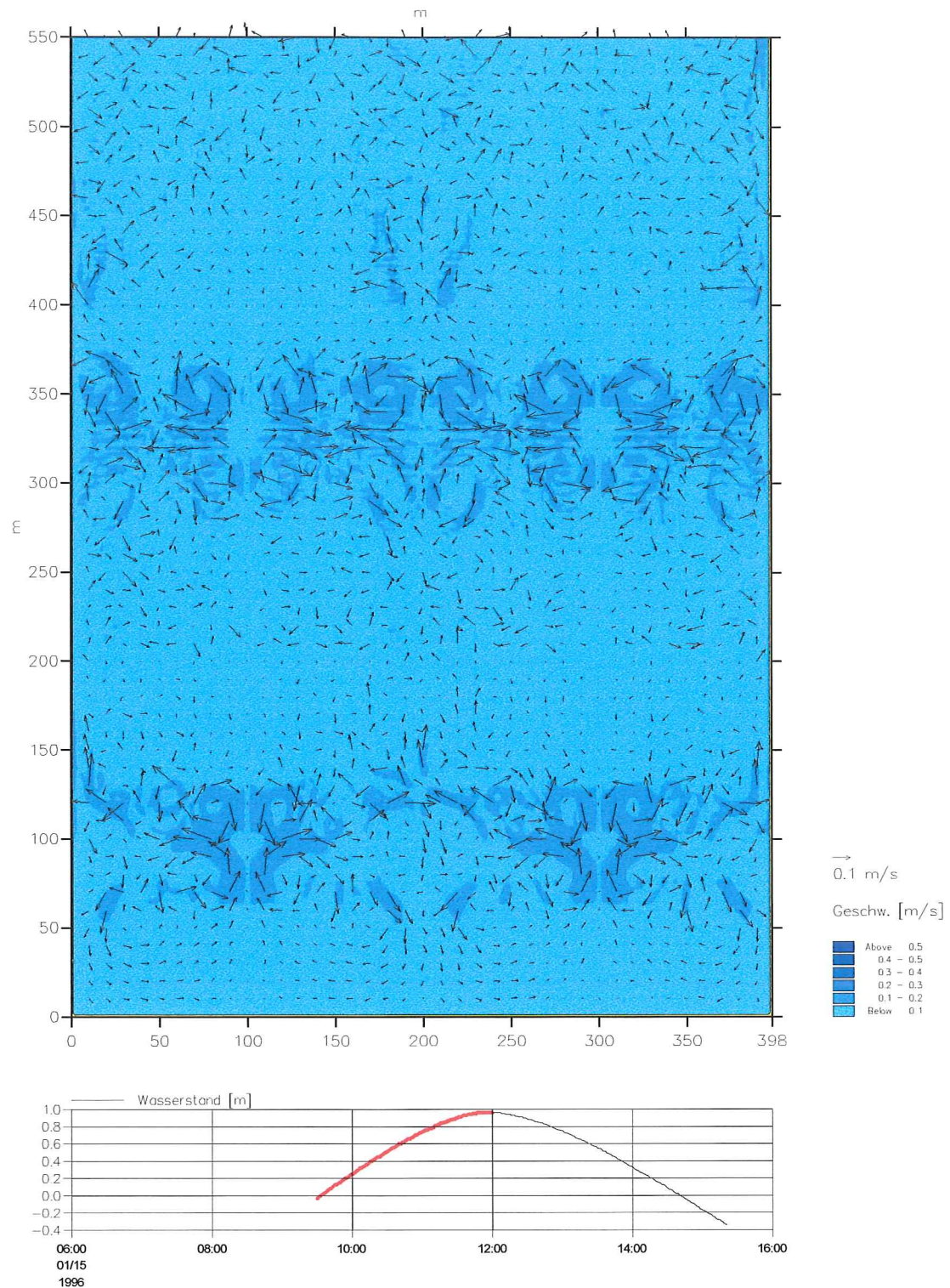
Anlage 8-30: Strömungsgeschwindigkeiten [m/s] für die Variante m\_01  
(mittlere Tidekurve am Pegel Schlüttspiel, Zeitpunkt: 13.00 Uhr)



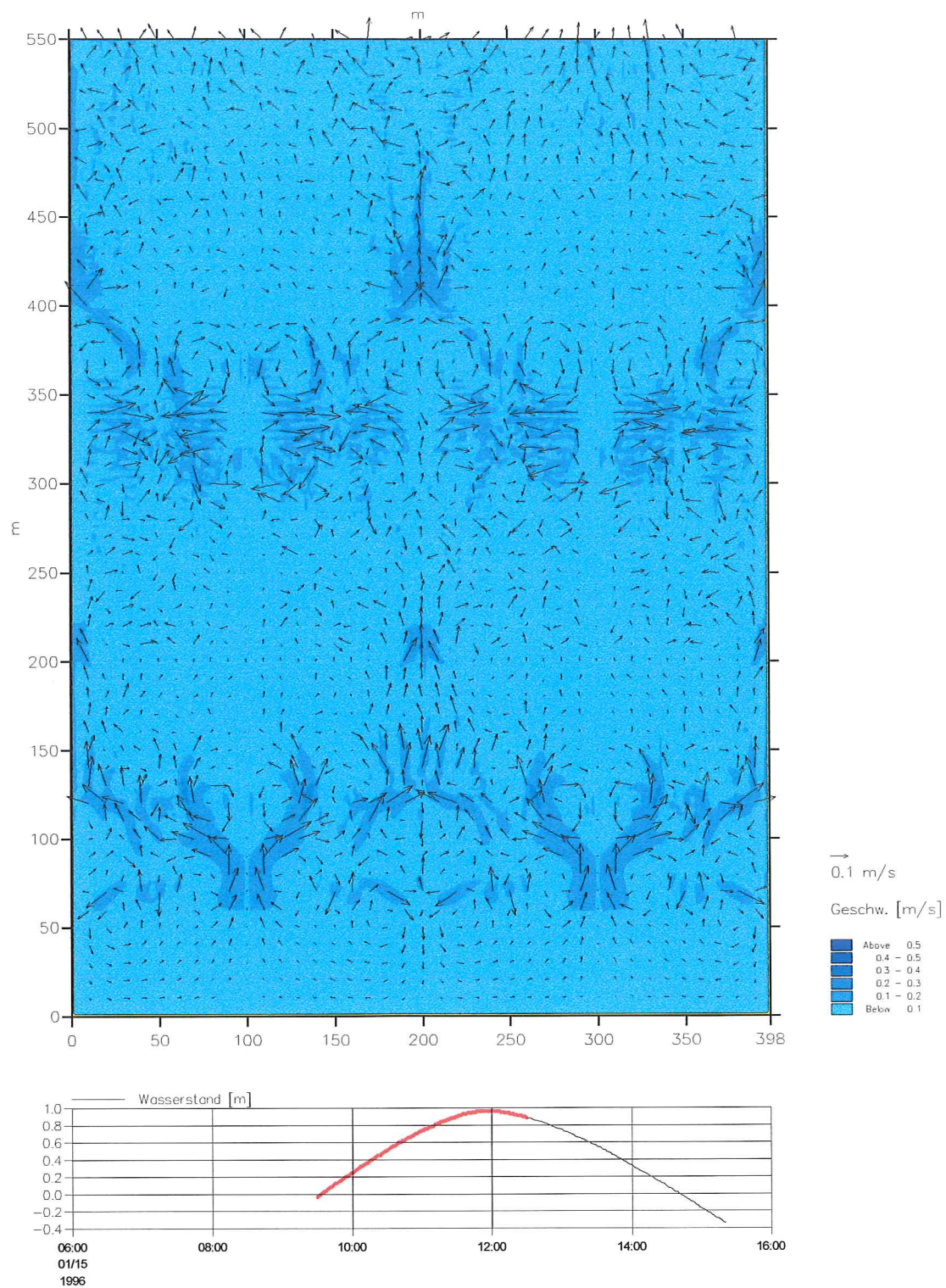
Anlage 8-31: Strömungsgeschwindigkeiten [m/s] für die Variante m\_07  
(mittlere Tidekurve am Pegel Schlütsiel, Zeitpunkt: 11.00 Uhr)



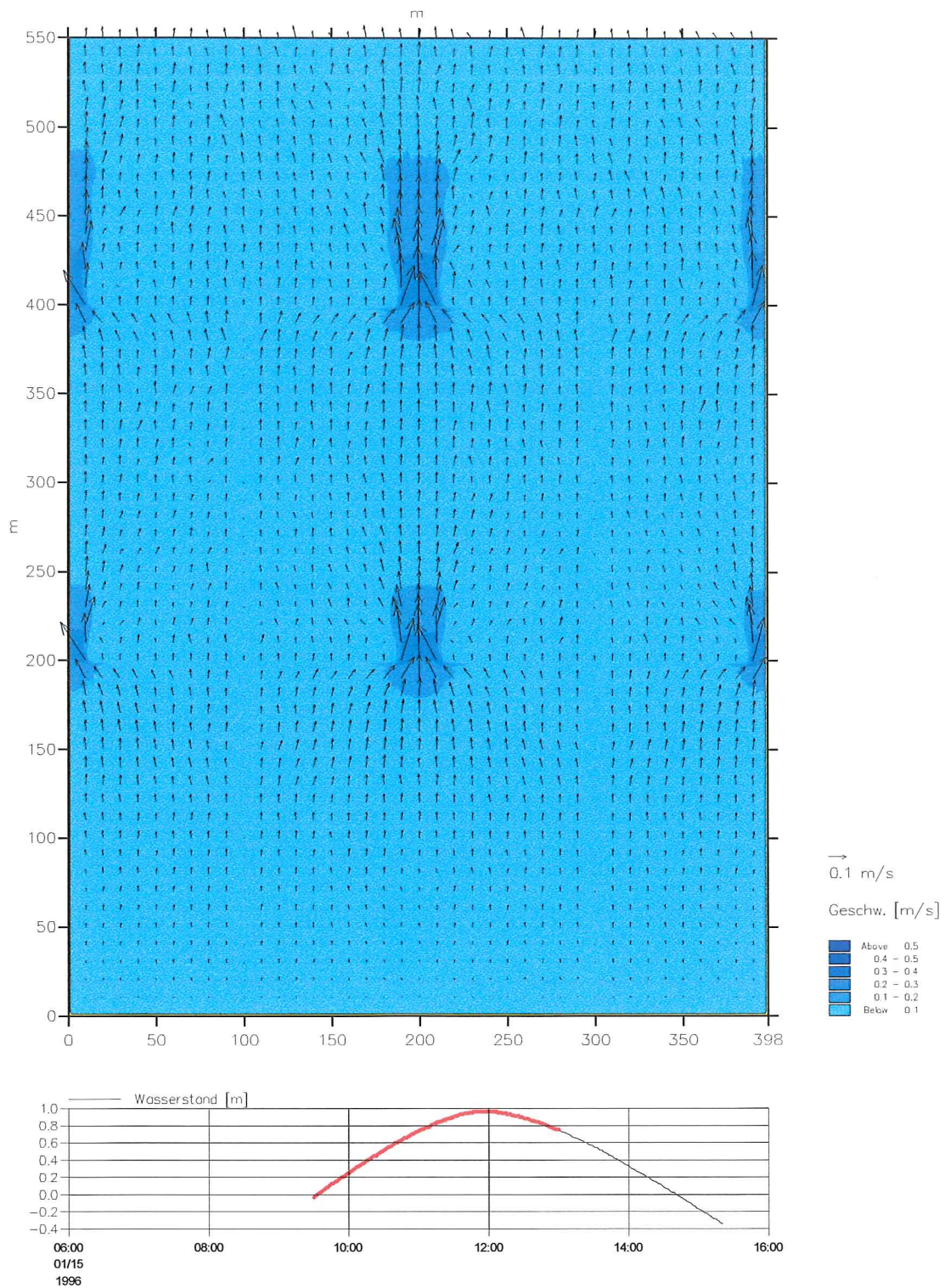
Anlage 8-32: Strömungsgeschwindigkeiten [m/s] für die Variante m\_07  
(mittlere Tidekurve am Pegel Schlütsiel, Zeitpunkt: 11.30 Uhr)



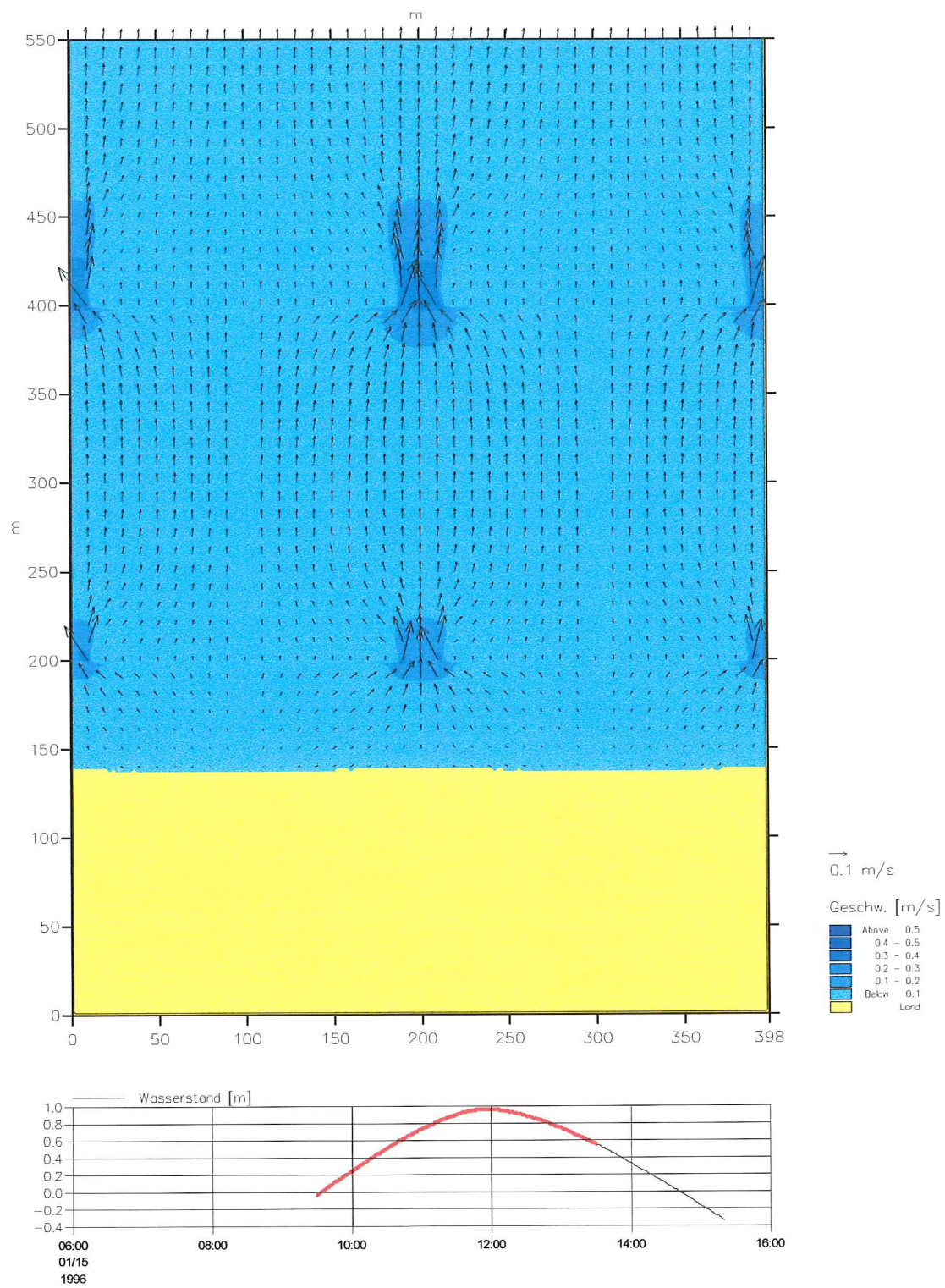
Anlage 8-33: Strömungsgeschwindigkeiten [m/s] für die Variante m\_07  
(mittlere Tidekurve am Pegel Schlütsiel, Zeitpunkt: 12.00 Uhr)



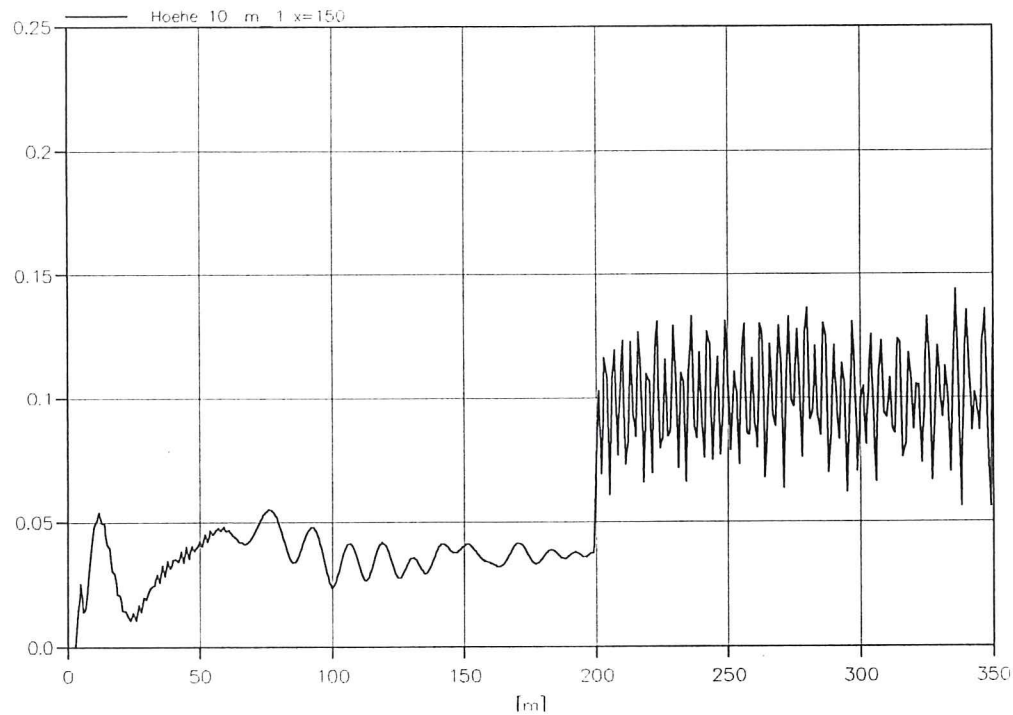
Anlage 8-34: Strömungsgeschwindigkeiten [m/s] für die Variante m\_07  
(mittlere Tidekurve am Pegel Schlütsiel, Zeitpunkt: 12.30 Uhr)



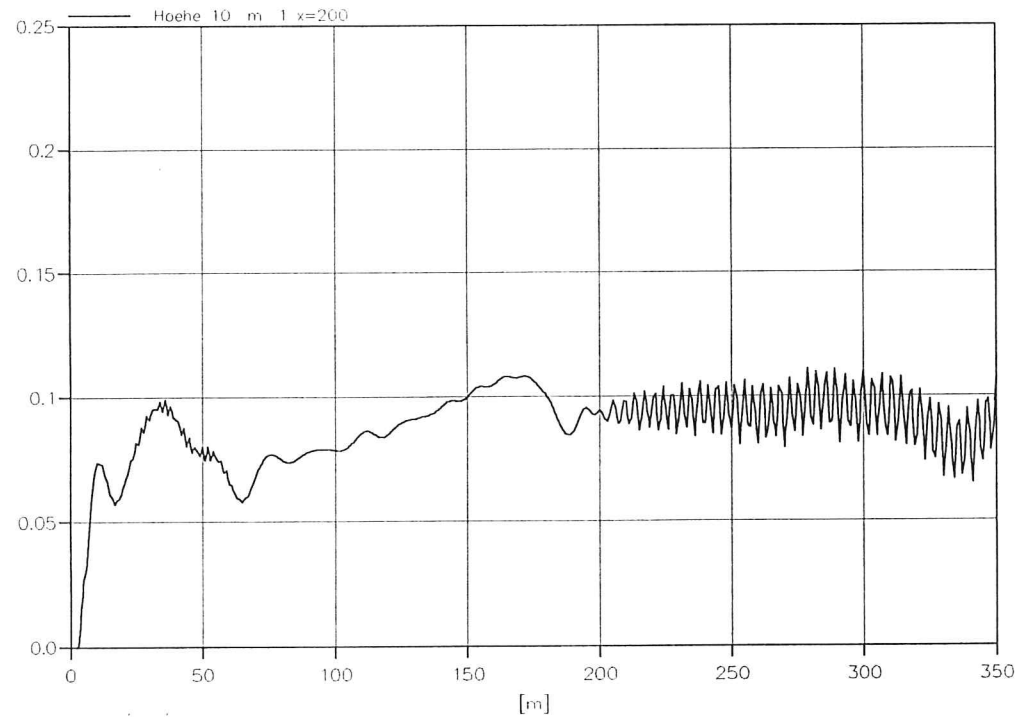
Anlage 8-35: Strömungsgeschwindigkeiten [m/s] für die Variante m\_07  
(mittlere Tidekurve am Pegel Schlüttiel, Zeitpunkt: 13.00 Uhr)



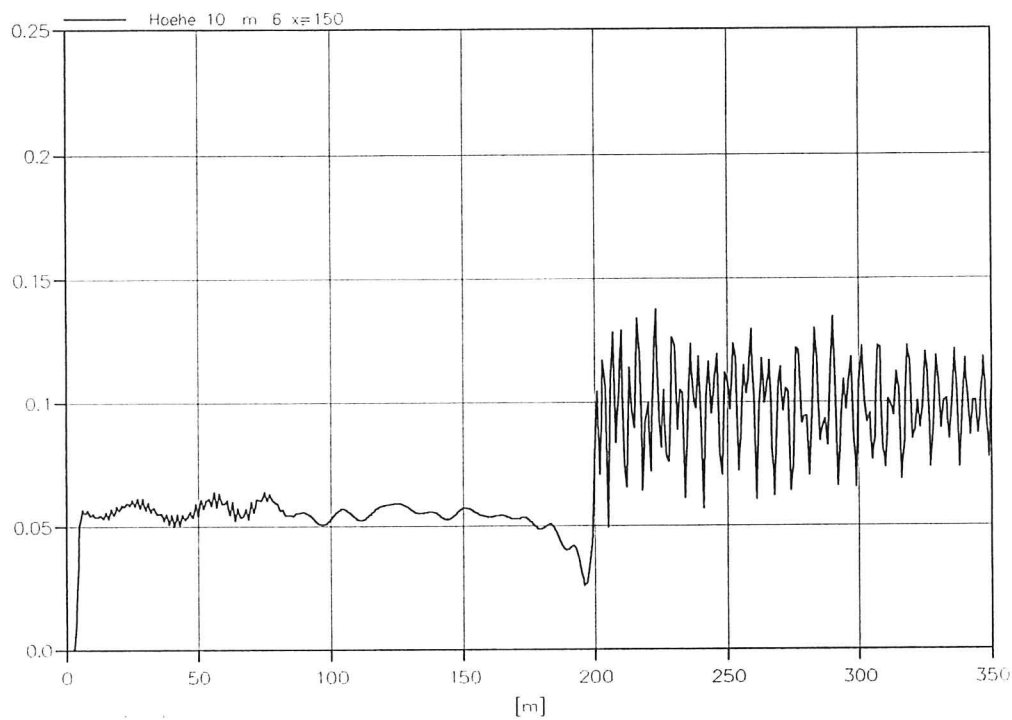
Anlage 8-36: Strömungsgeschwindigkeiten [m/s] für die Variante m\_07  
(mittlere Tidekurve am Pegel Schlütsiel, Zeitpunkt: 13.30 Uhr)



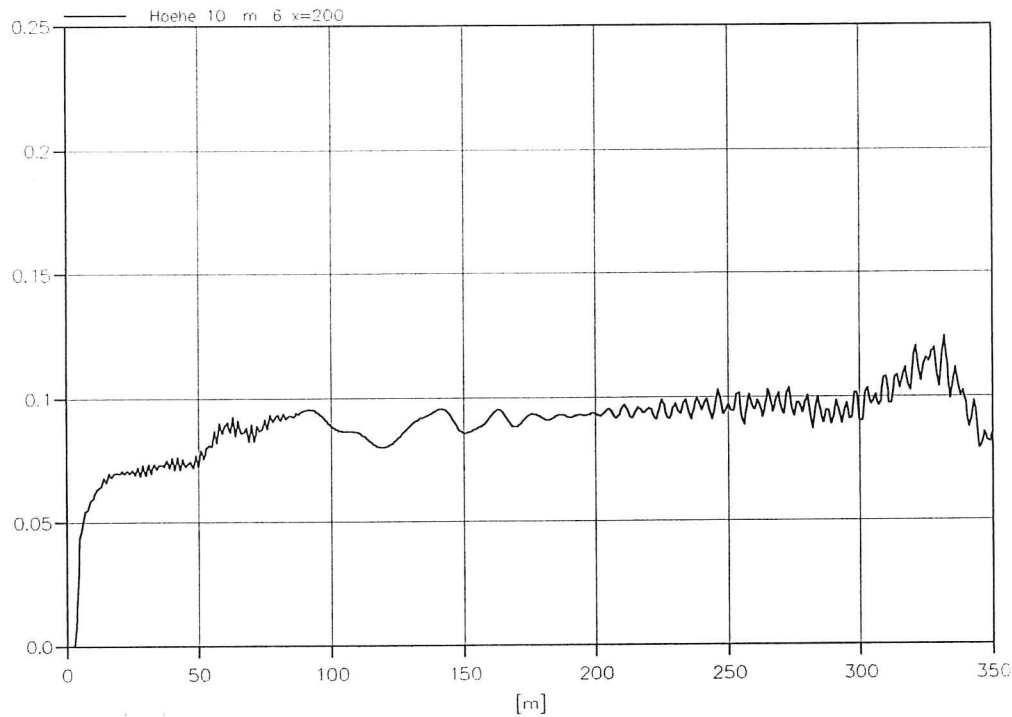
Anlage 8-37: Wellenhöhen [m] für die Variante m\_01 im Schnitt S1  
( $H = 10 \text{ cm}$ ,  $T = 3\text{s}$ )



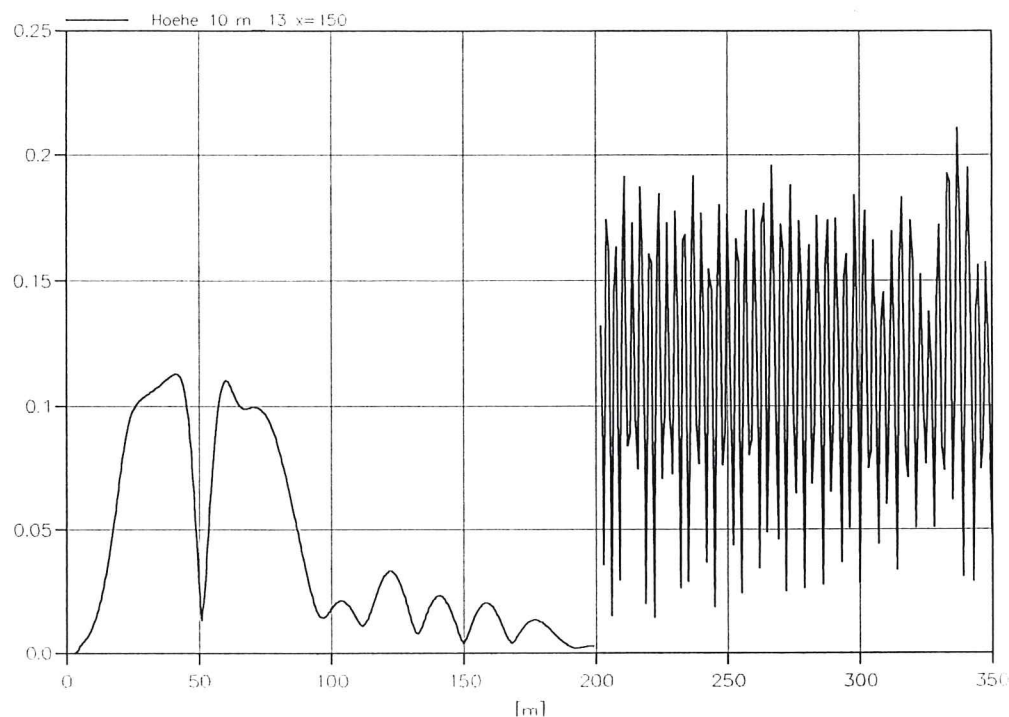
Anlage 8-38: Wellenhöhen [m] für die Variante m\_01 im Schnitt S2  
( $H = 10 \text{ cm}$ ,  $T = 3\text{s}$ )



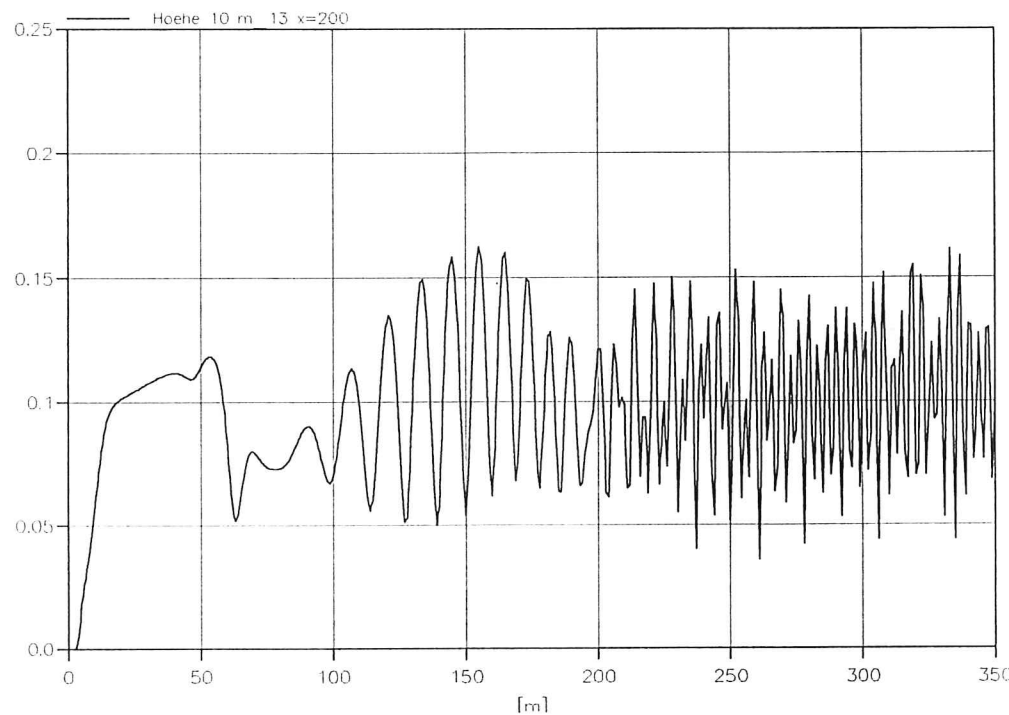
Anlage 8-39: Wellenhöhen [m] für die Variante m\_06 im Schnitt S1  
( $H = 10 \text{ cm}$ ,  $T = 3\text{s}$ )



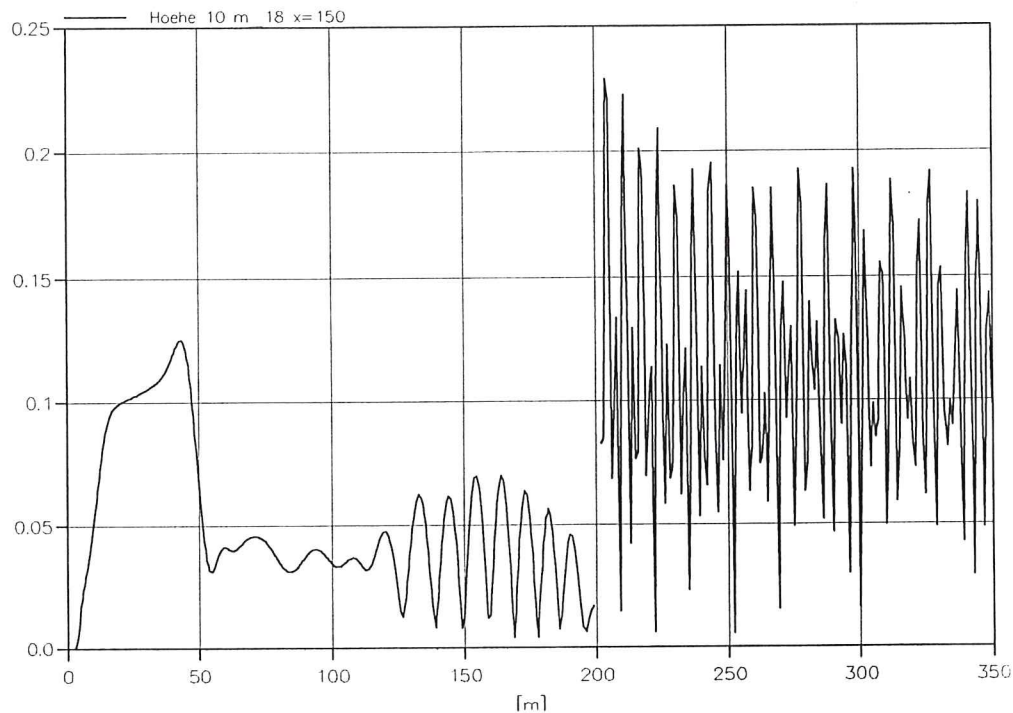
Anlage 8-40: Wellenhöhen [m] für die Variante m\_06 im Schnitt S2  
( $H = 10 \text{ cm}$ ,  $T = 3\text{s}$ )



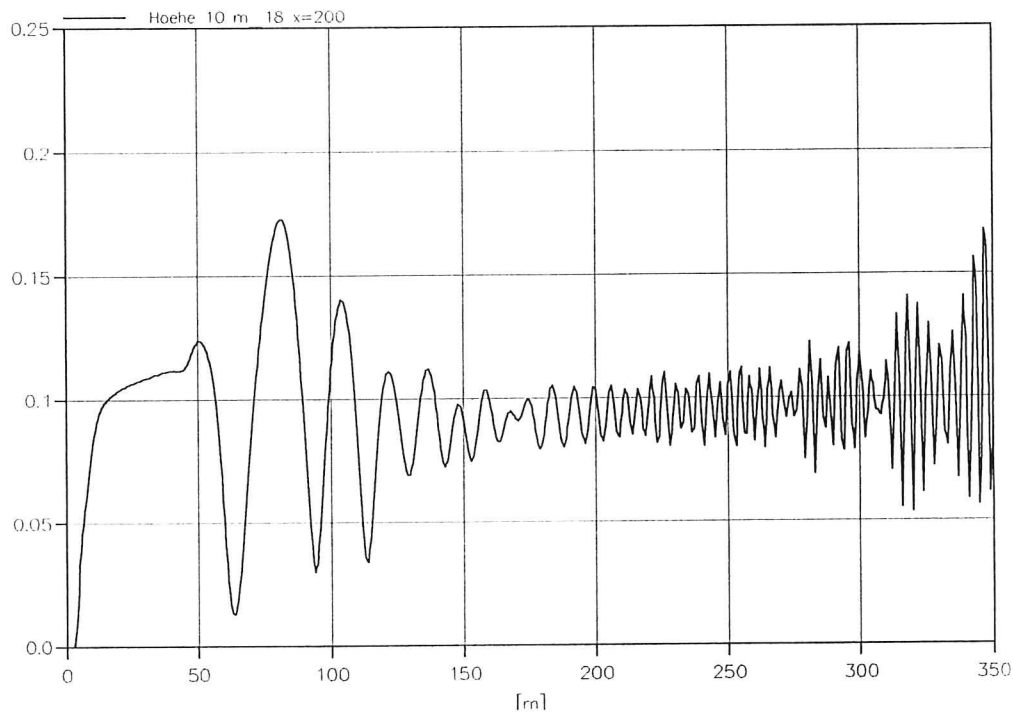
Anlage 8-41: Wellenhöhen [m] für die Variante m\_13 im Schnitt S1  
( $H = 10 \text{ cm}$ ,  $T = 3\text{s}$ )



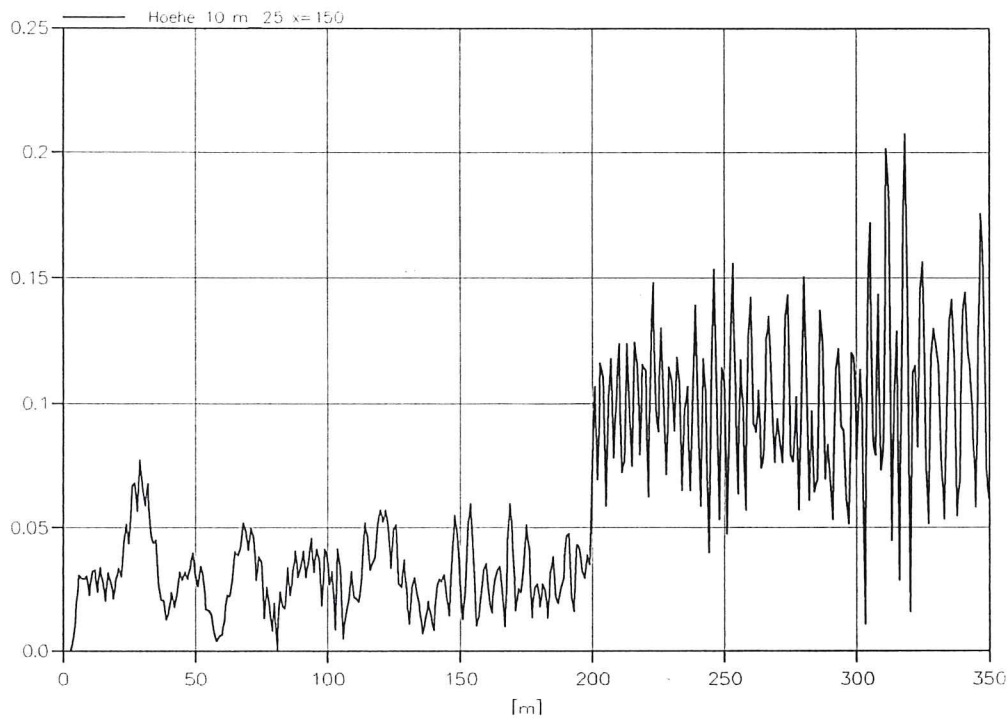
Anlage 8-42: Wellenhöhen [m] für die Variante m\_13 im Schnitt S2  
( $H = 10 \text{ cm}$ ,  $T = 3\text{s}$ )



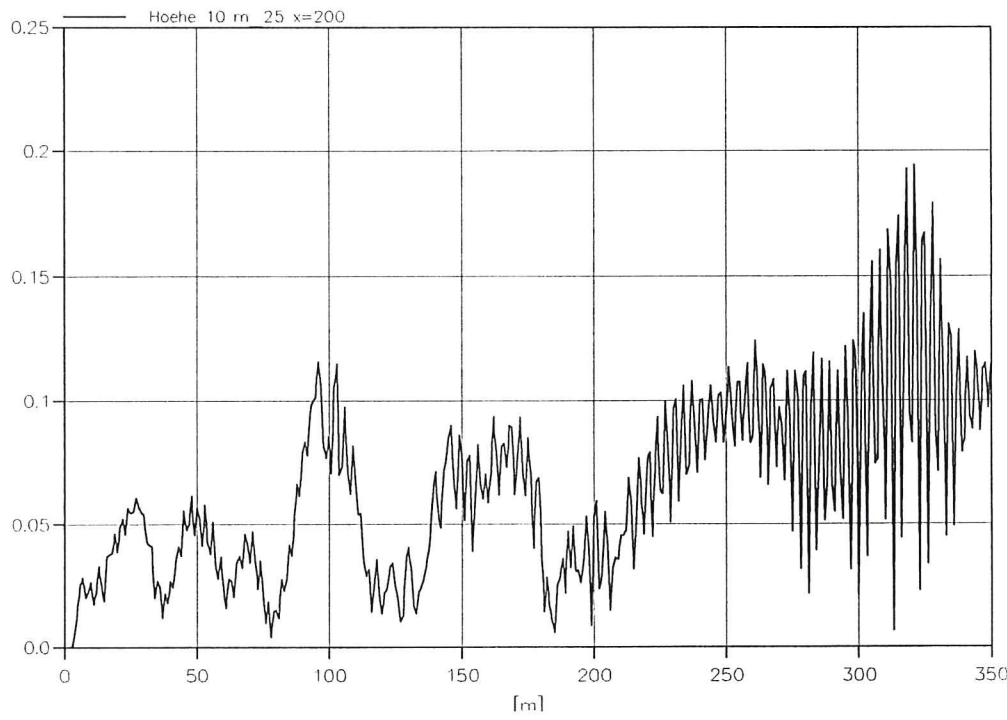
Anlage 8-43: Wellenhöhen [m] für die Variante m\_18 im Schnitt S1  
( $H = 10 \text{ cm}$ ,  $T = 3\text{s}$ )



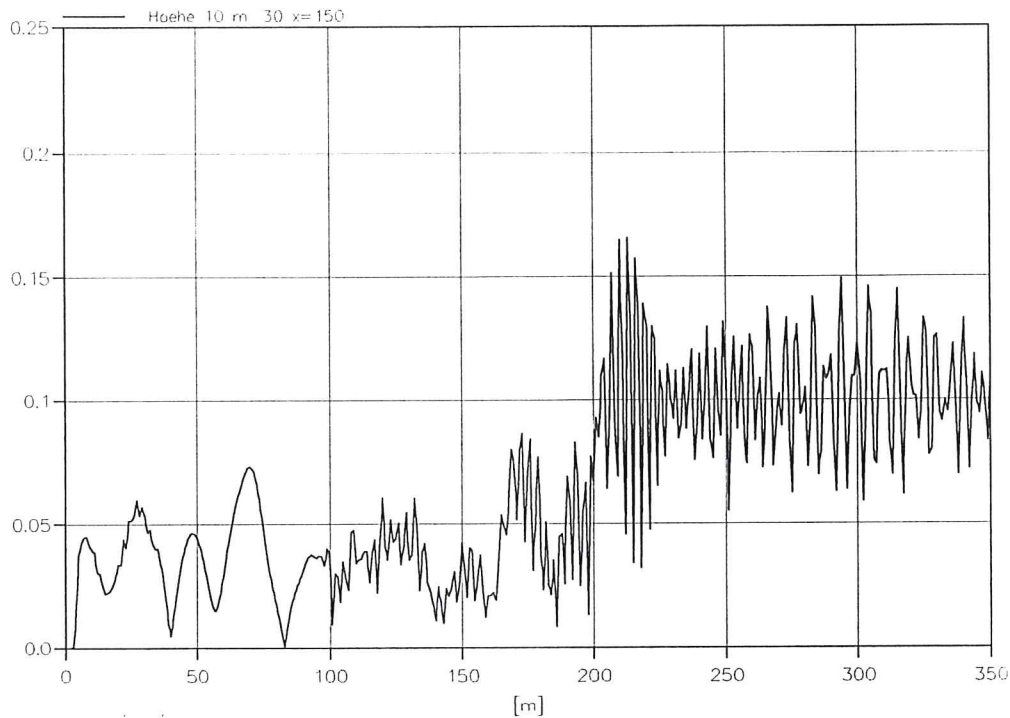
Anlage 8-44: Wellenhöhen [m] für die Variante m\_18 im Schnitt S2  
( $H = 10 \text{ cm}$ ,  $T = 3\text{s}$ )



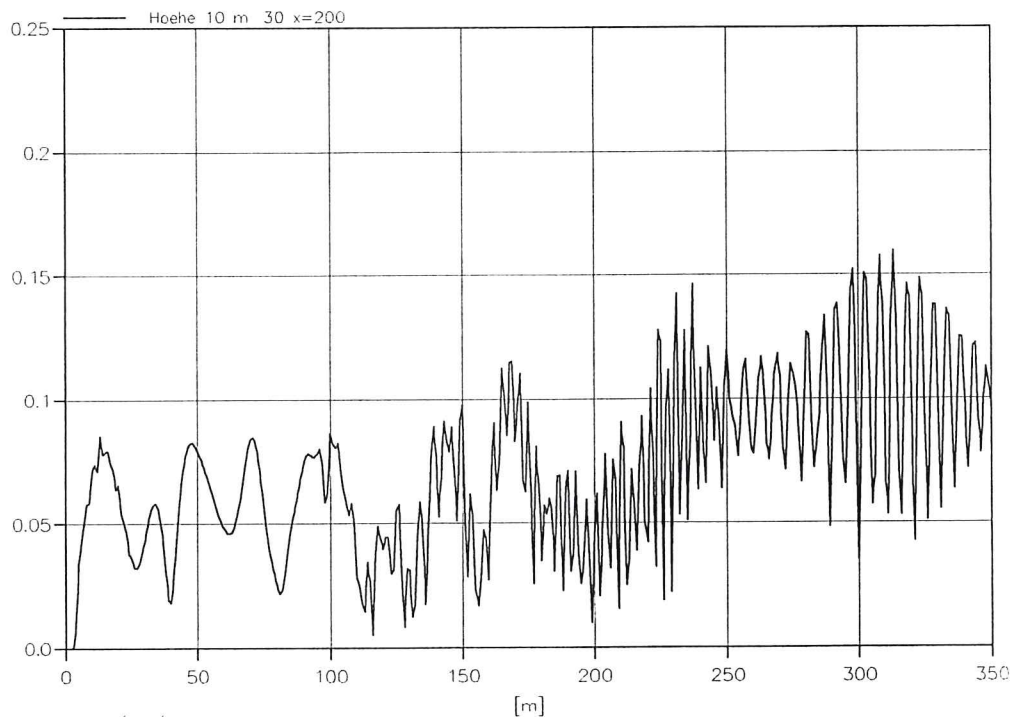
Anlage 8-45: Wellenhöhen [m] für die Variante m\_25 im Schnitt S1  
( $H = 10 \text{ cm}$ ,  $T = 3\text{s}$ )



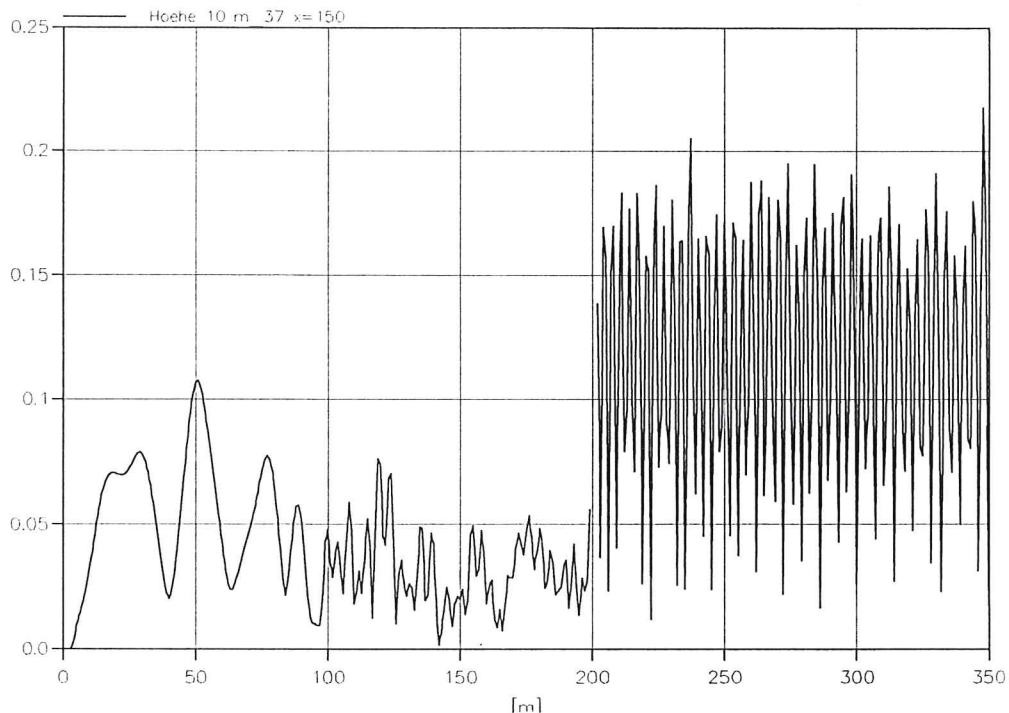
Anlage 8-46: Wellenhöhen [m] für die Variante m\_25 im Schnitt S2  
( $H = 10 \text{ cm}$ ,  $T = 3\text{s}$ )



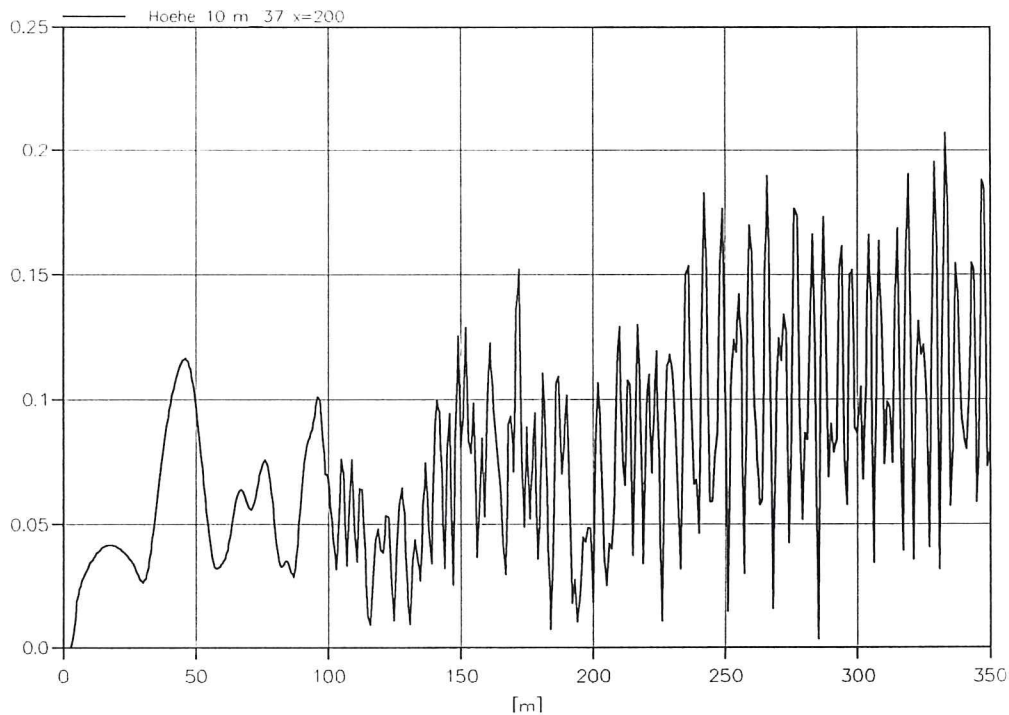
Anlage 8-47: Wellenhöhen [m] für die Variante m\_30 im Schnitt S1  
( $H = 10 \text{ cm}$ ,  $T = 3\text{s}$ )



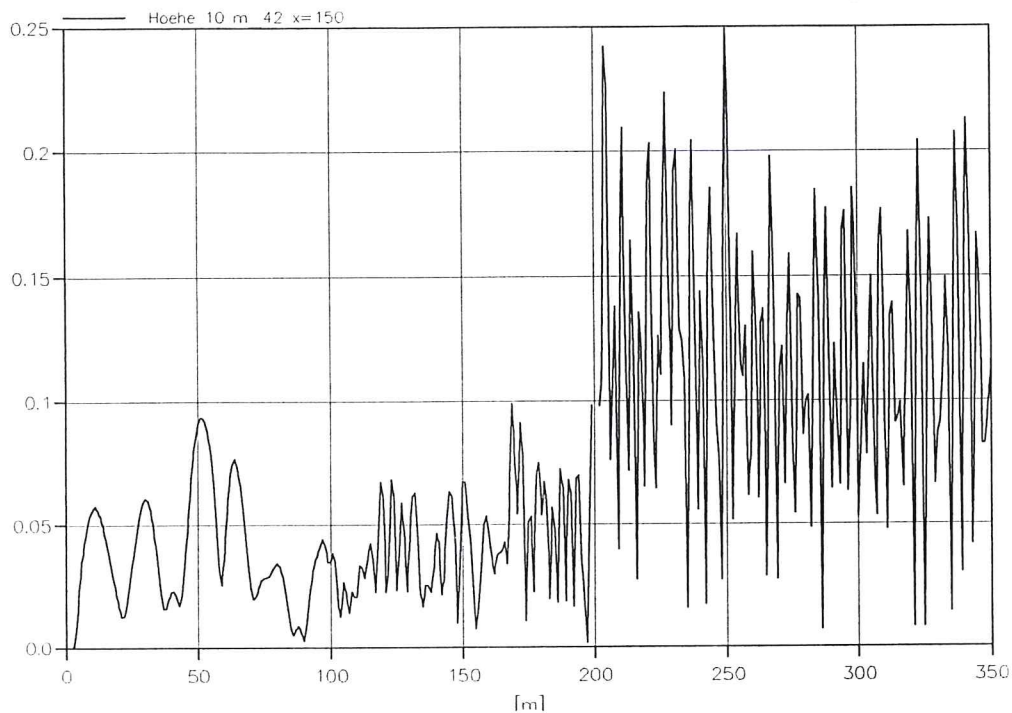
Anlage 8-48: Wellenhöhen [m] für die Variante m\_30 im Schnitt S2  
( $H = 10 \text{ cm}$ ,  $T = 3\text{s}$ )



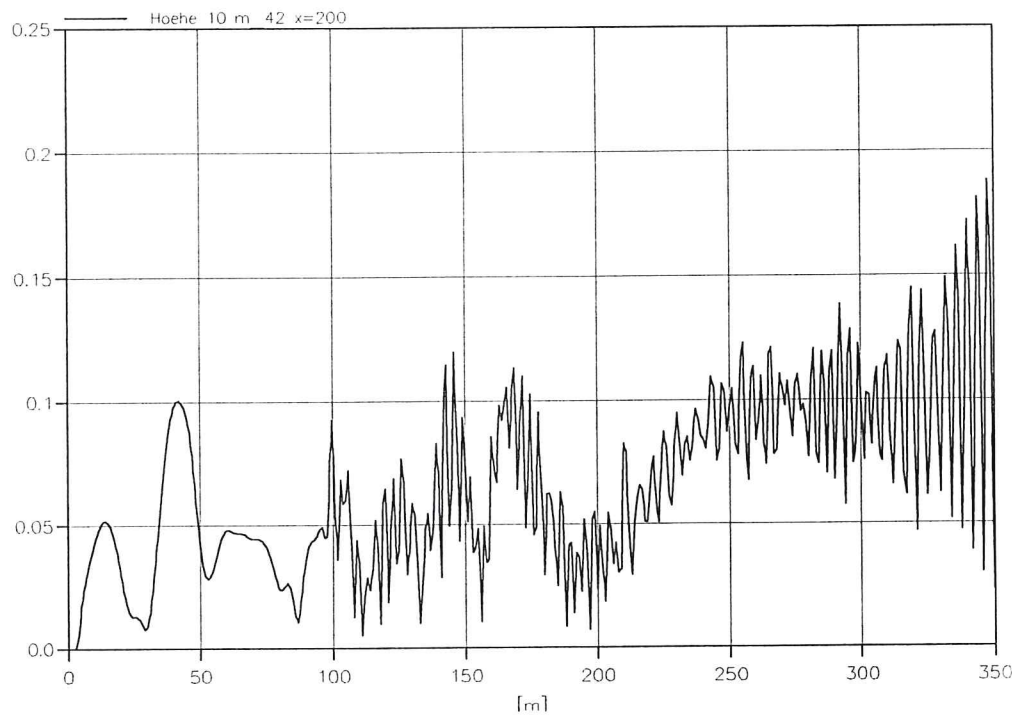
Anlage 8-49: Wellenhöhen [m] für die Variante m\_37 im Schnitt S1  
( $H = 10 \text{ cm}$ ,  $T = 3\text{s}$ )



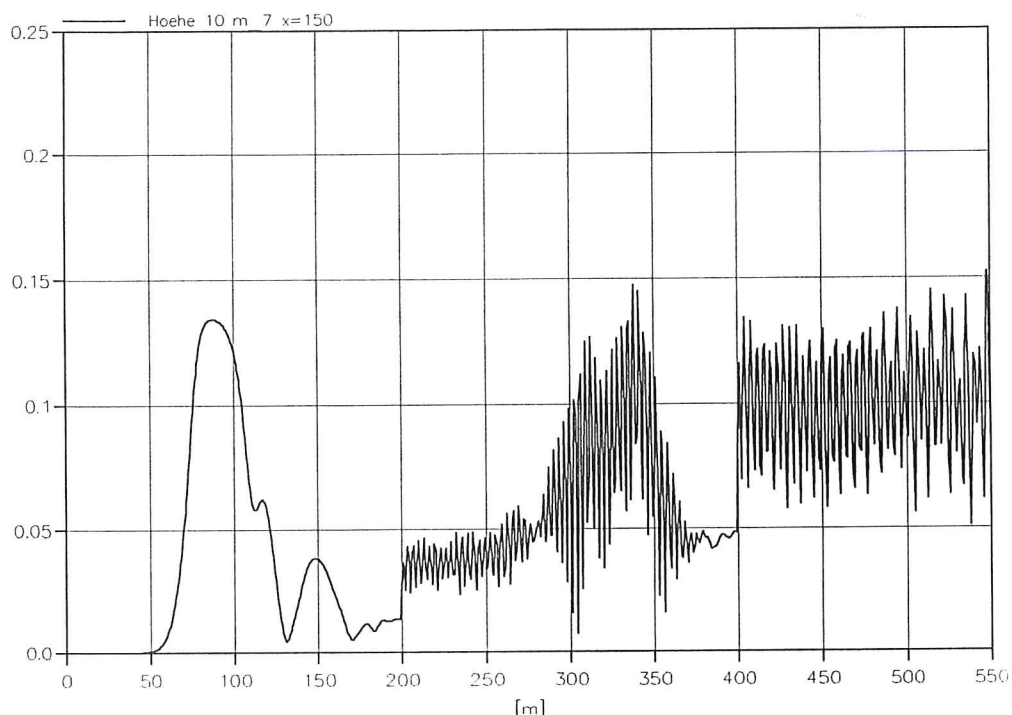
Anlage 8-50: Wellenhöhen [m] für die Variante m\_37 im Schnitt S2  
( $H = 10 \text{ cm}$ ,  $T = 3\text{s}$ )



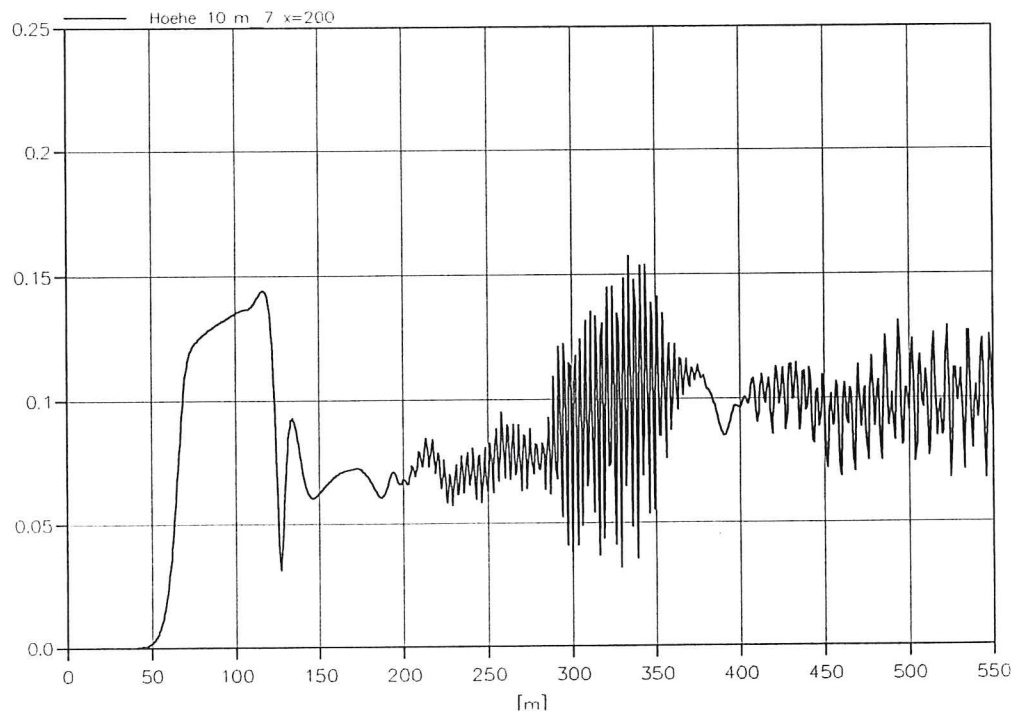
Anlage 8-51: Wellenhöhen [m] für die Variante m\_42 im Schnitt S1  
( $H = 10 \text{ cm}$ ,  $T = 3\text{s}$ )



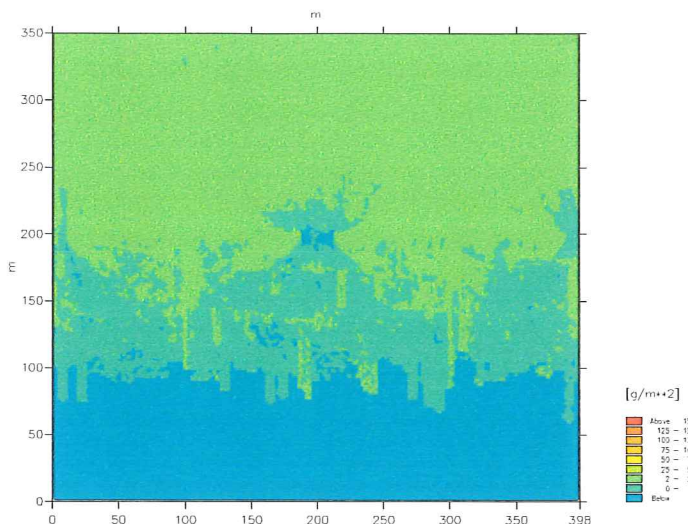
Anlage 8-52: Wellenhöhen [m] für die Variante m\_42 im Schnitt S2  
( $H = 10 \text{ cm}$ ,  $T = 3\text{s}$ )



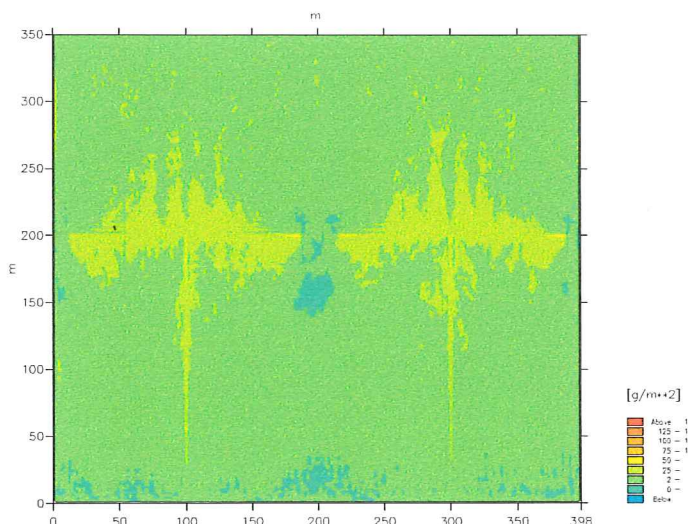
Anlage 8-53: Wellenhöhen [m] für die Variante m\_07 im Schnitt S1  
( $H = 10 \text{ cm}$ ,  $T = 3\text{s}$ )



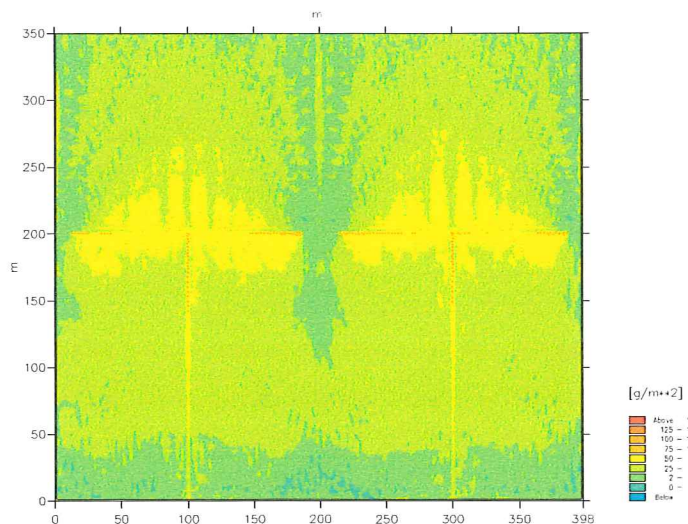
Anlage 8-54: Wellenhöhen [m] für die Variante m\_07 im Schnitt S2  
( $H = 10 \text{ cm}$ ,  $T = 3\text{s}$ )



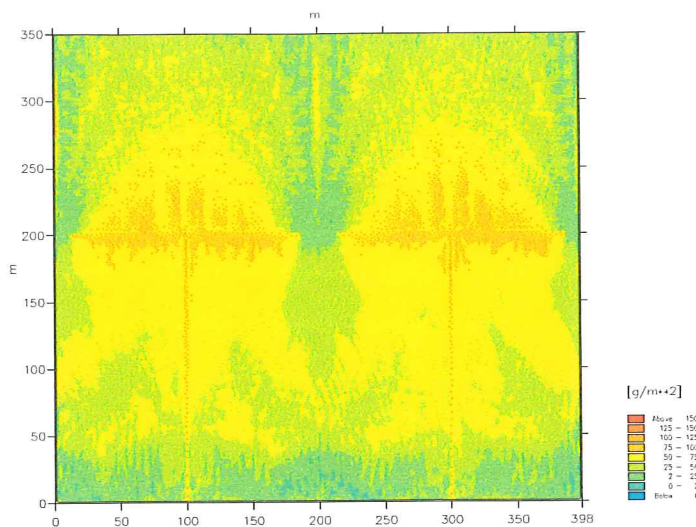
Anlage 8-55: Sedimentation / Erosion [g/m<sup>2</sup>] für die Variante m\_01  
(mittlere Tidekurve am Pegel Schlütsiel, Zeitpunkt: 11.00 Uhr)



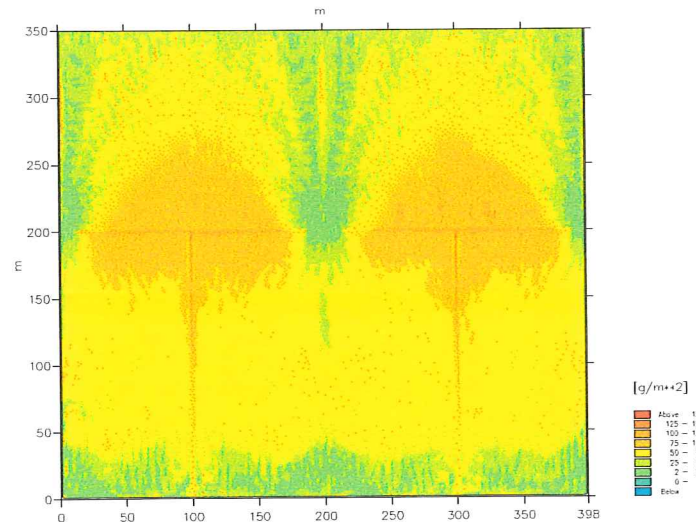
Anlage 8-56: Sedimentation / Erosion [g/m<sup>2</sup>] für die Variante m\_01  
(mittlere Tidekurve am Pegel Schlütsiel, Zeitpunkt: 11.30 Uhr)



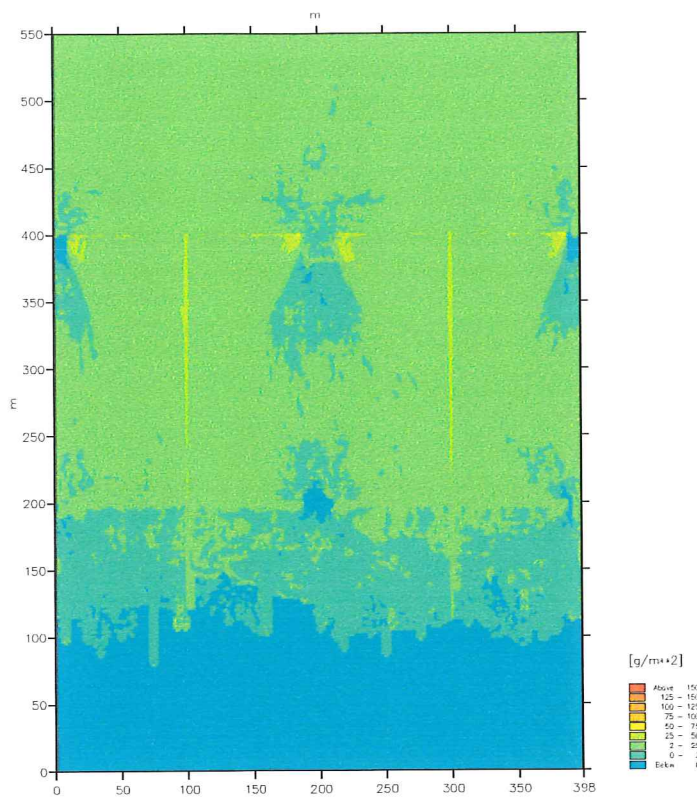
Anlage 8-57: Sedimentation / Erosion [g/m<sup>2</sup>] für die Variante m\_01  
(mittlere Tidekurve am Pegel Schlütsiel, Zeitpunkt: 12.00 Uhr)



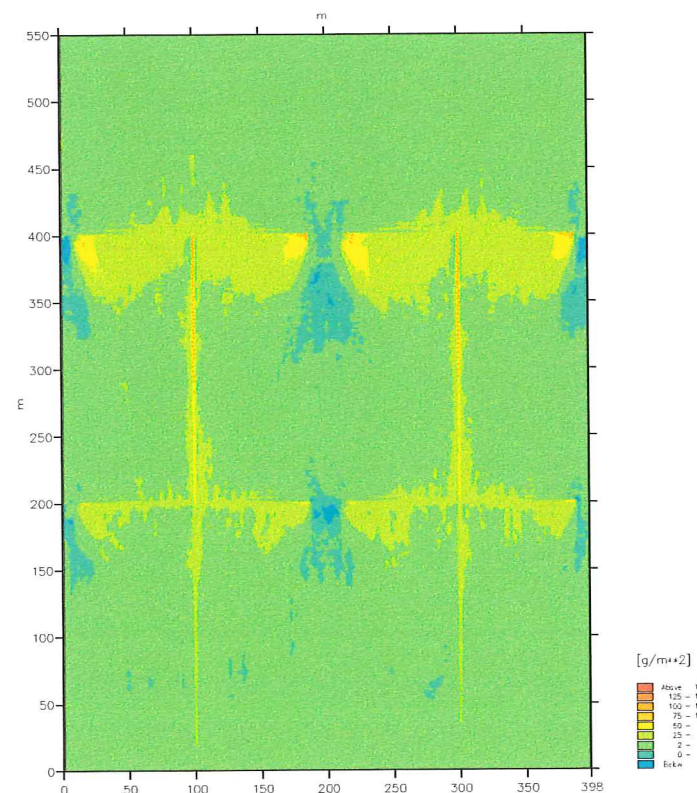
Anlage 8-58: Sedimentation / Erosion [g/m<sup>2</sup>] für die Variante m\_01  
(mittlere Tidekurve am Pegel Schlüttiel, Zeitpunkt: 12.30 Uhr)



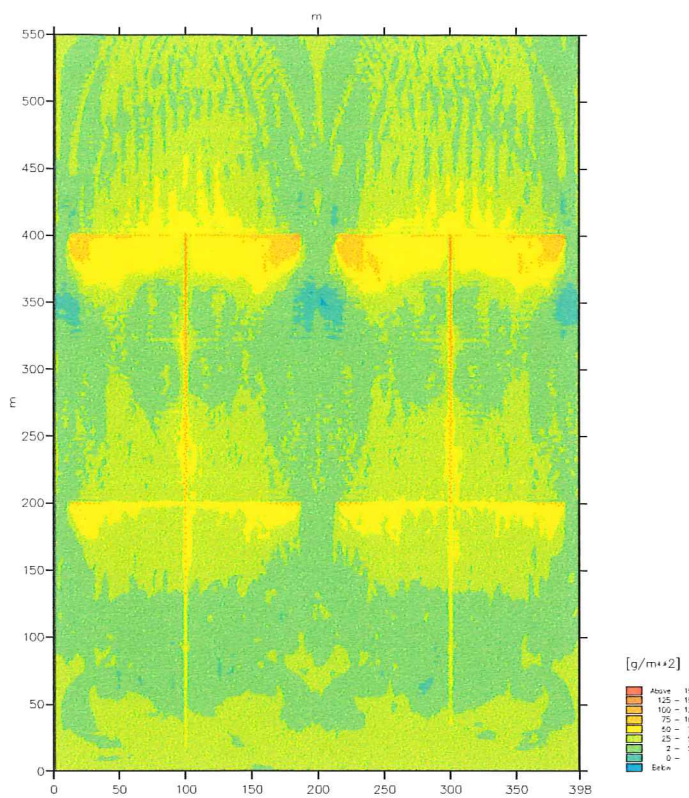
Anlage 8-59: Sedimentation / Erosion [g/m<sup>2</sup>] für die Variante m\_01  
(mittlere Tidekurve am Pegel Schlüttiel, Zeitpunkt: 13.00 Uhr)



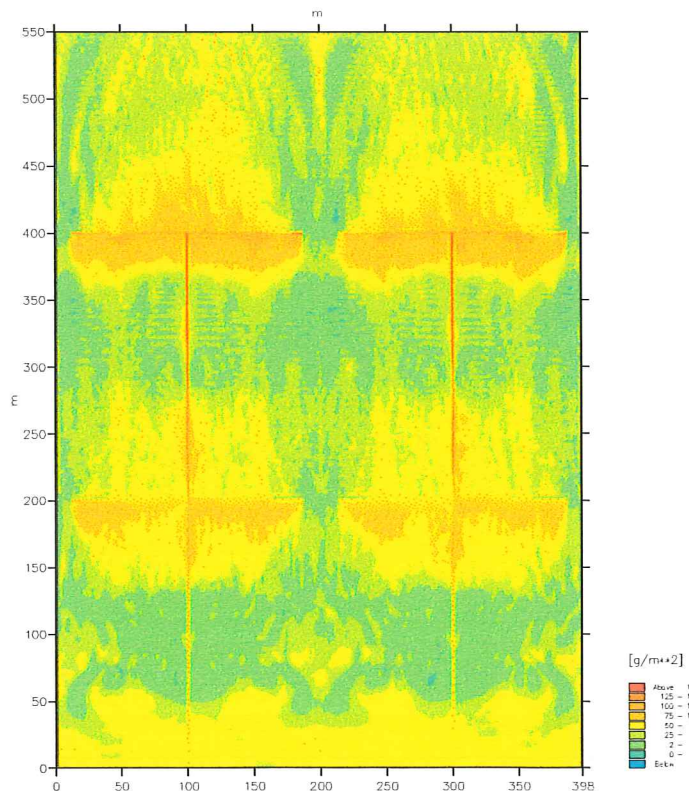
Anlage 8-60: Sedimentation / Erosion [g/m<sup>2</sup>] für die Variante m\_07  
(mittlere Tidekurve am Pegel Schlüttsiel, Zeitpunkt: 11.00 Uhr)



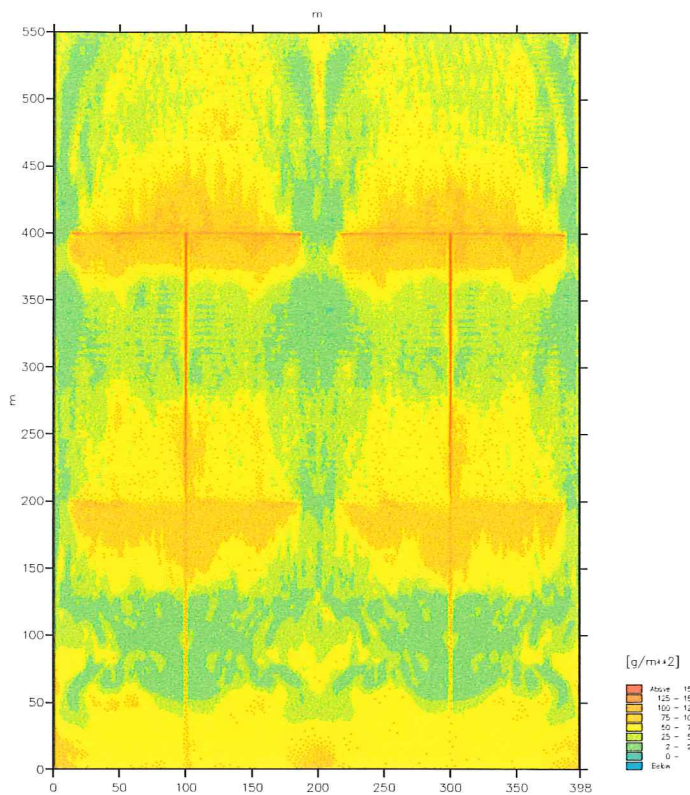
Anlage 8-61: Sedimentation / Erosion [g/m<sup>2</sup>] für die Variante m\_07  
(mittlere Tidekurve am Pegel Schlüttsiel, Zeitpunkt: 11.30 Uhr)



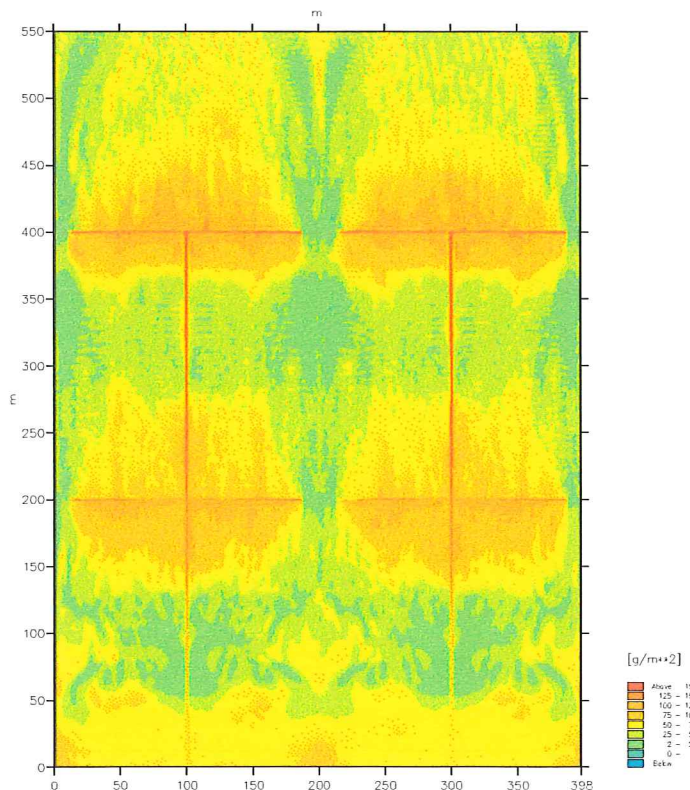
Anlage 8-62: Sedimentation / Erosion [g/m<sup>2</sup>] für die Variante m\_07  
(mittlere Tidekurve am Pegel Schlüttiel, Zeitpunkt: 12.00 Uhr)



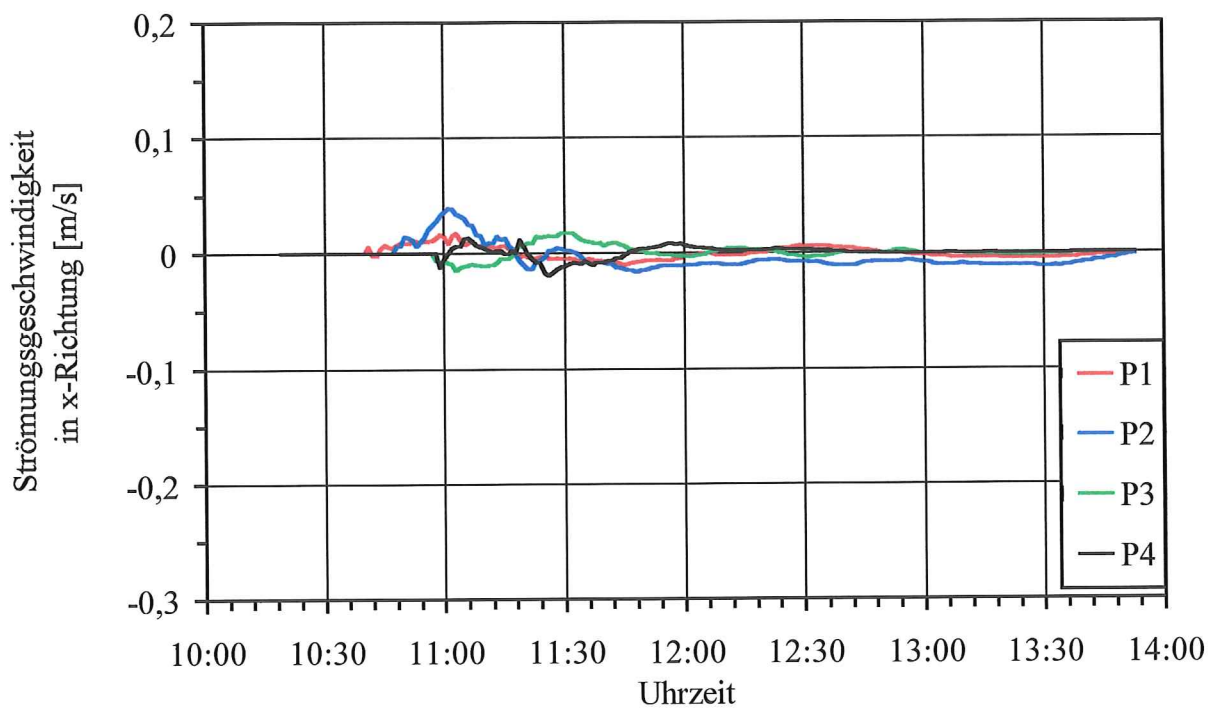
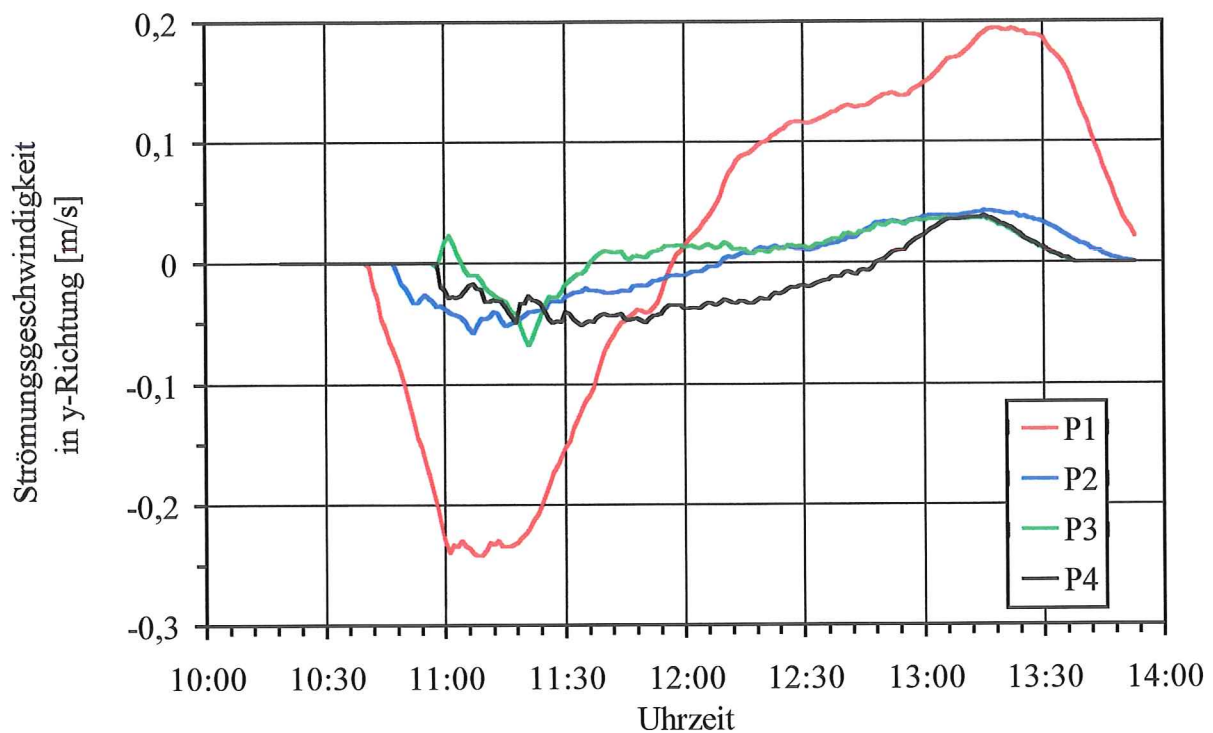
Anlage 8-63: Sedimentation / Erosion [g/m<sup>2</sup>] für die Variante m\_07  
(mittlere Tidekurve am Pegel Schlüttiel, Zeitpunkt: 12.30 Uhr)



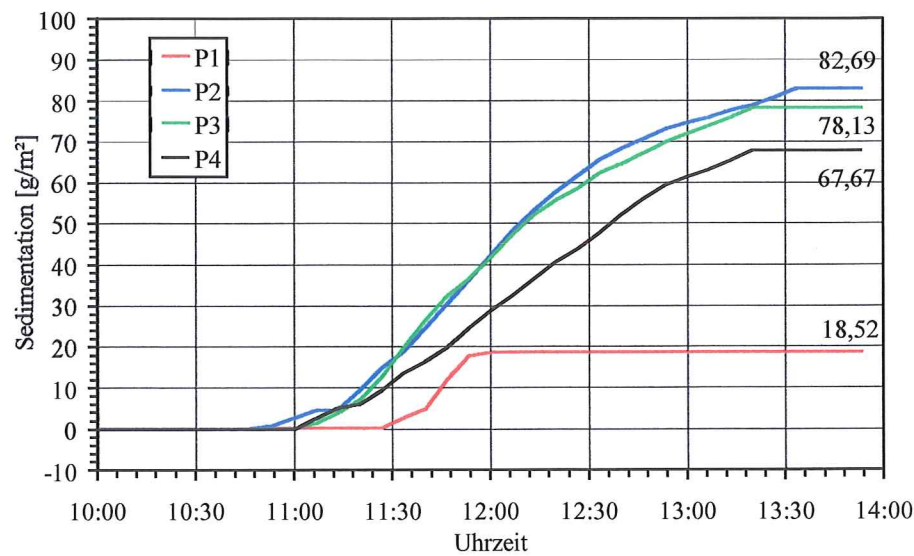
Anlage 8-64: Sedimentation / Erosion [g/m<sup>2</sup>] für die Variante m\_07  
(mittlere Tidekurve am Pegel Schlütsiel, Zeitpunkt: 13.00 Uhr)



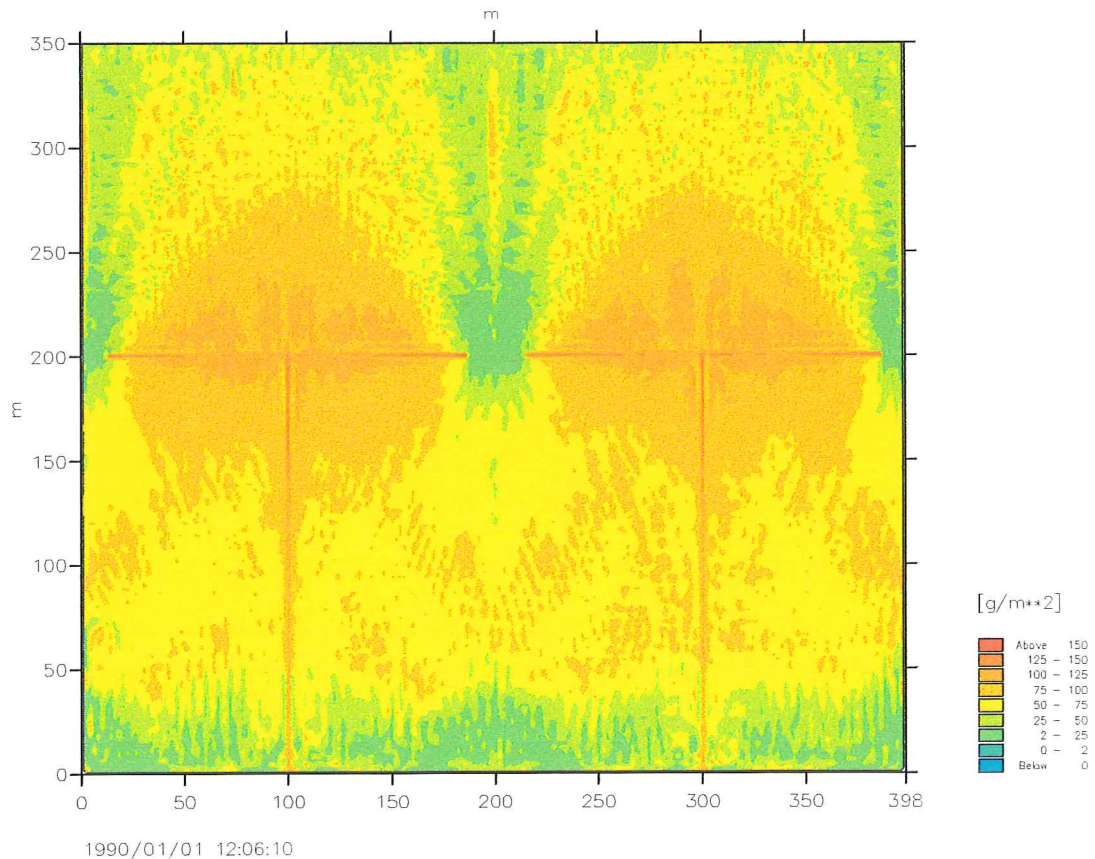
Anlage 8-65: Sedimentation / Erosion [g/m<sup>2</sup>] für die Variante m\_07  
(mittlere Tidekurve am Pegel Schlütsiel, Zeitpunkt: 13.30 Uhr)



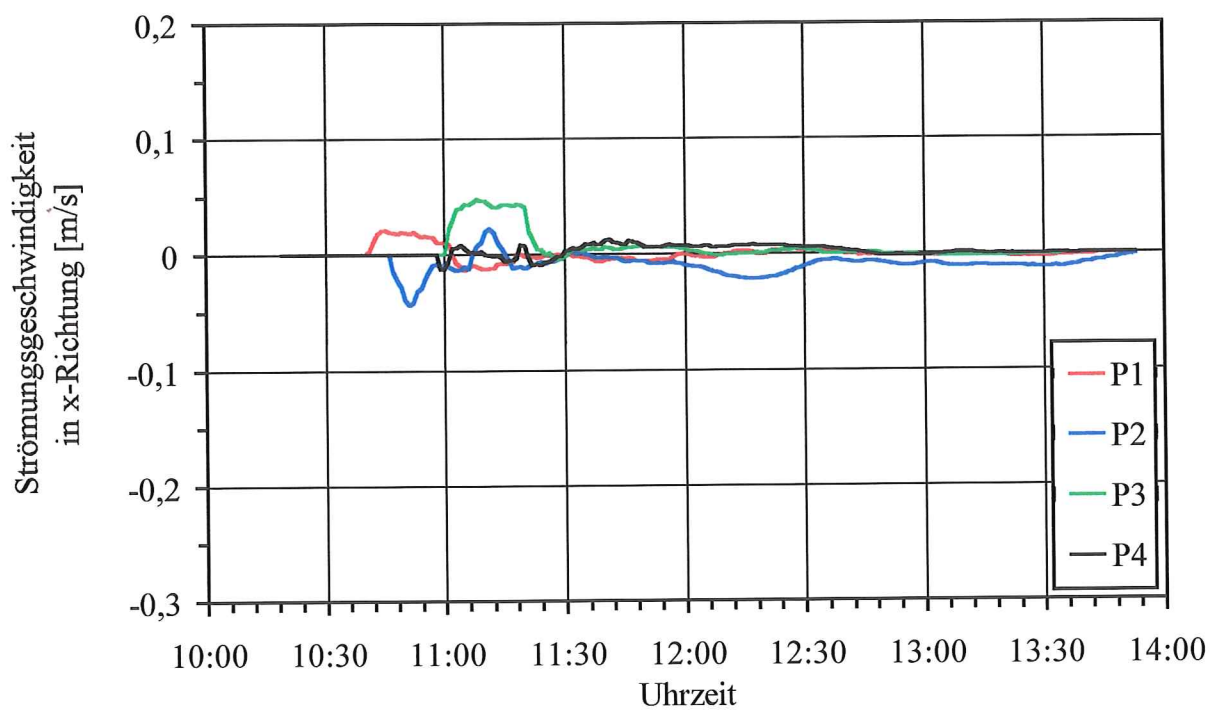
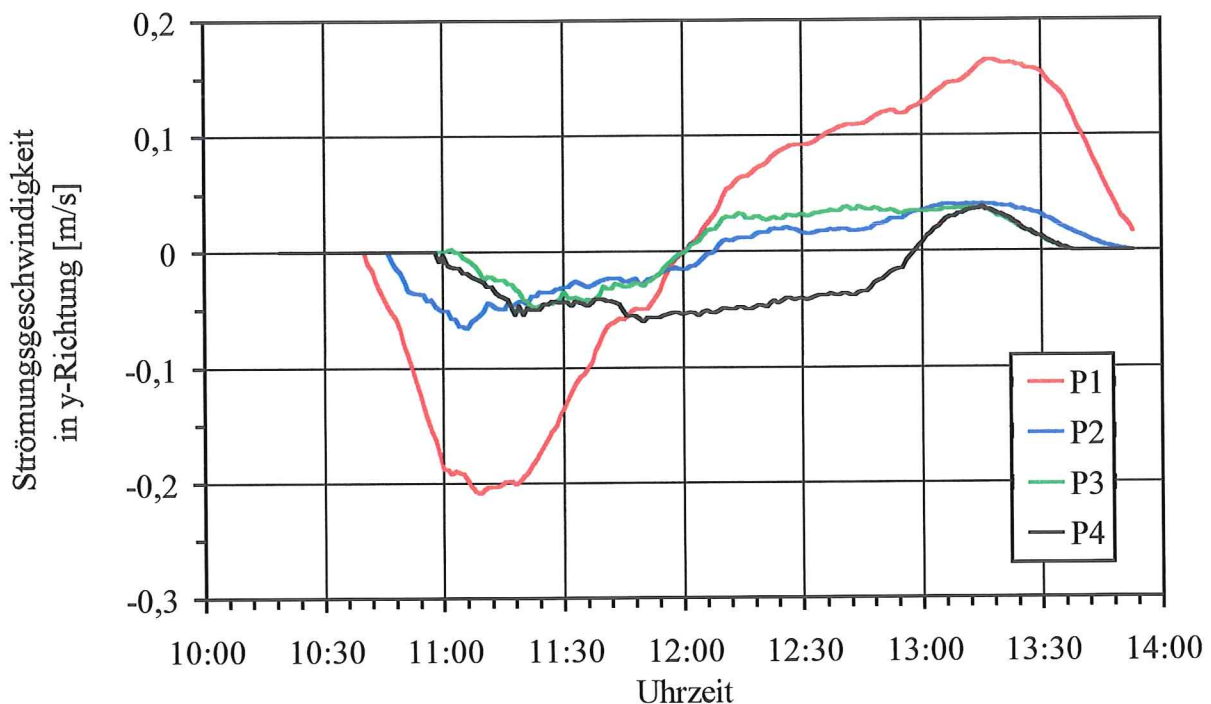
Anlage 8-66a: Strömungsgeschwindigkeiten in y- und x-Richtung  
an den Referenzpunkten P1 bis P4 in der Variante m\_01 (vgl. Taf. 8.6)



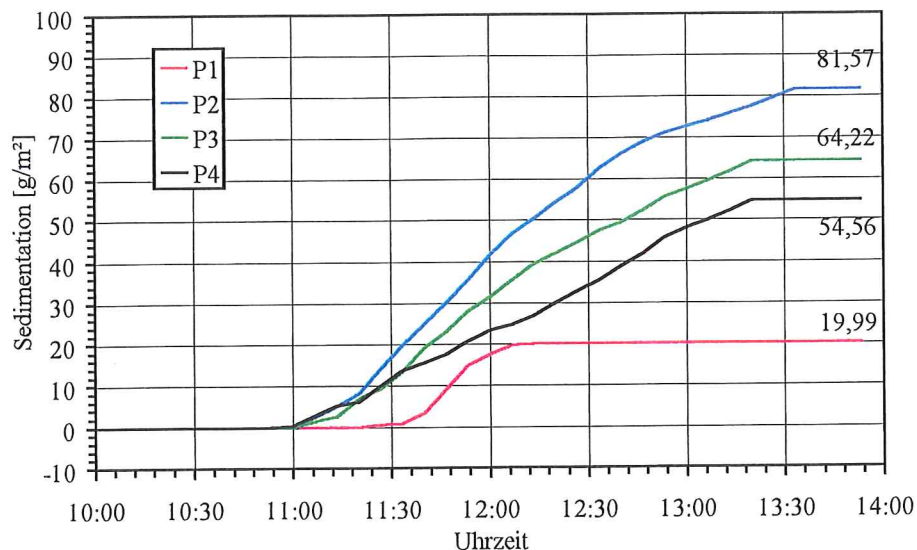
Anlage 8-66b: Sedimentation und Erosion im Verlaufe einer Tide  
an den Referenzpunkten P1 bis P4 in der Variante m\_01 (vgl. Taf. 8.6)



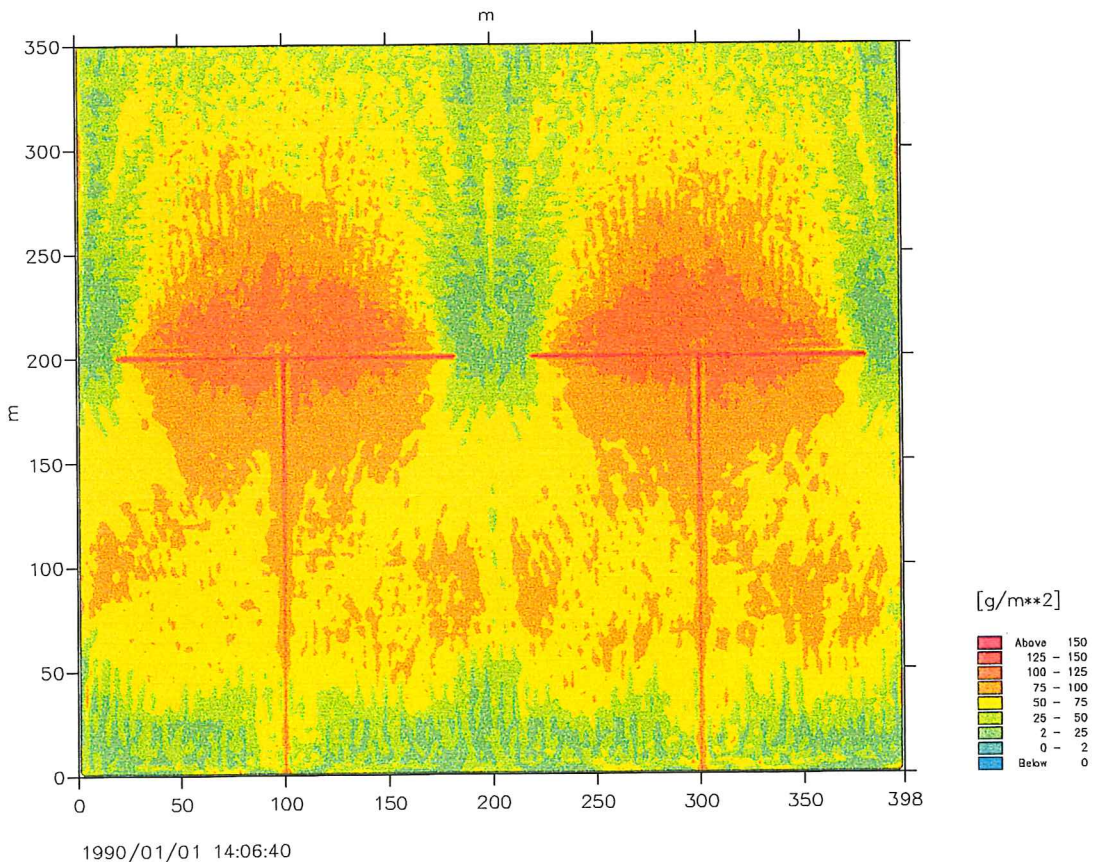
Anlage 8-66c: Sedimentation und Erosion nach Ablauf einer Tide  
im gesamten Simulationsbereich in der Variante m\_01 (vgl. Taf. 8.6)



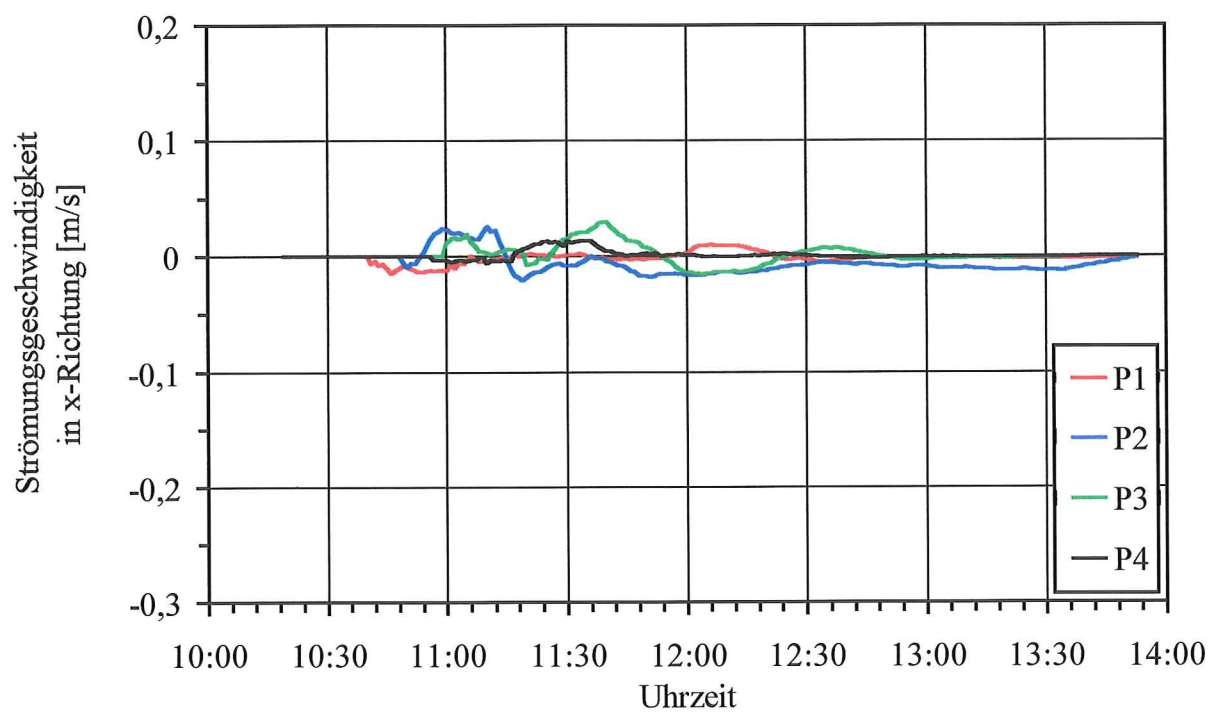
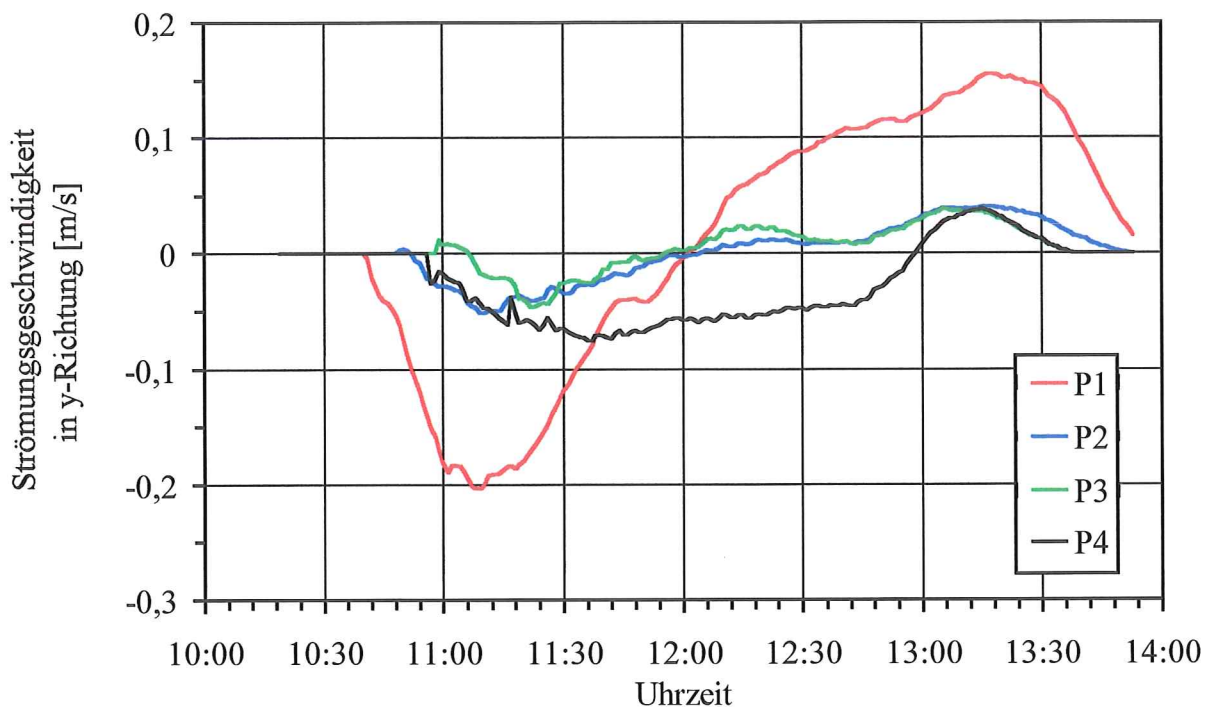
Anlage 8-67a: Strömungsgeschwindigkeiten in y- und x-Richtung an den Referenzpunkten P1 bis P4 in der Variante m\_02 (vgl. Taf. 8.6)



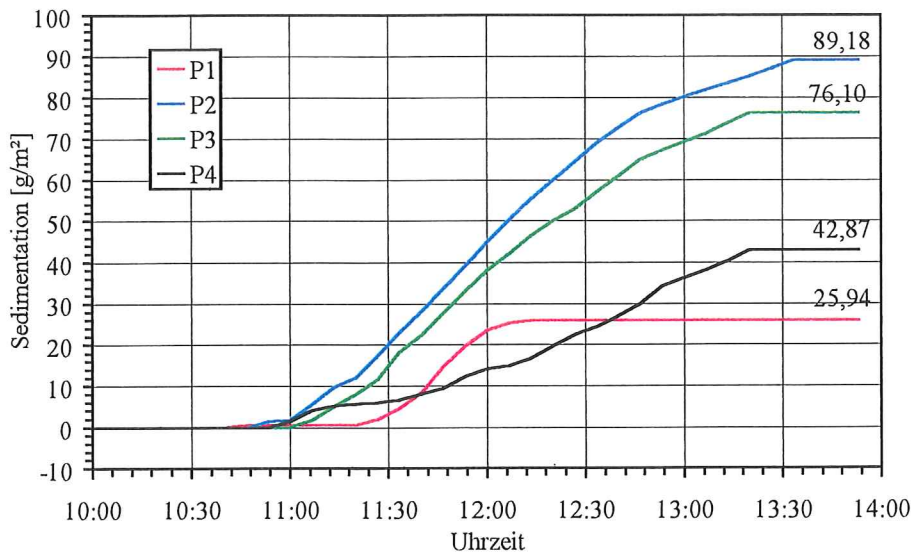
Anlage 8-67b: Sedimentation und Erosion im Verlaufe einer Tide  
an den Referenzpunkten P1 bis P4 in der Variante m\_02 (vgl. Taf. 8.6)



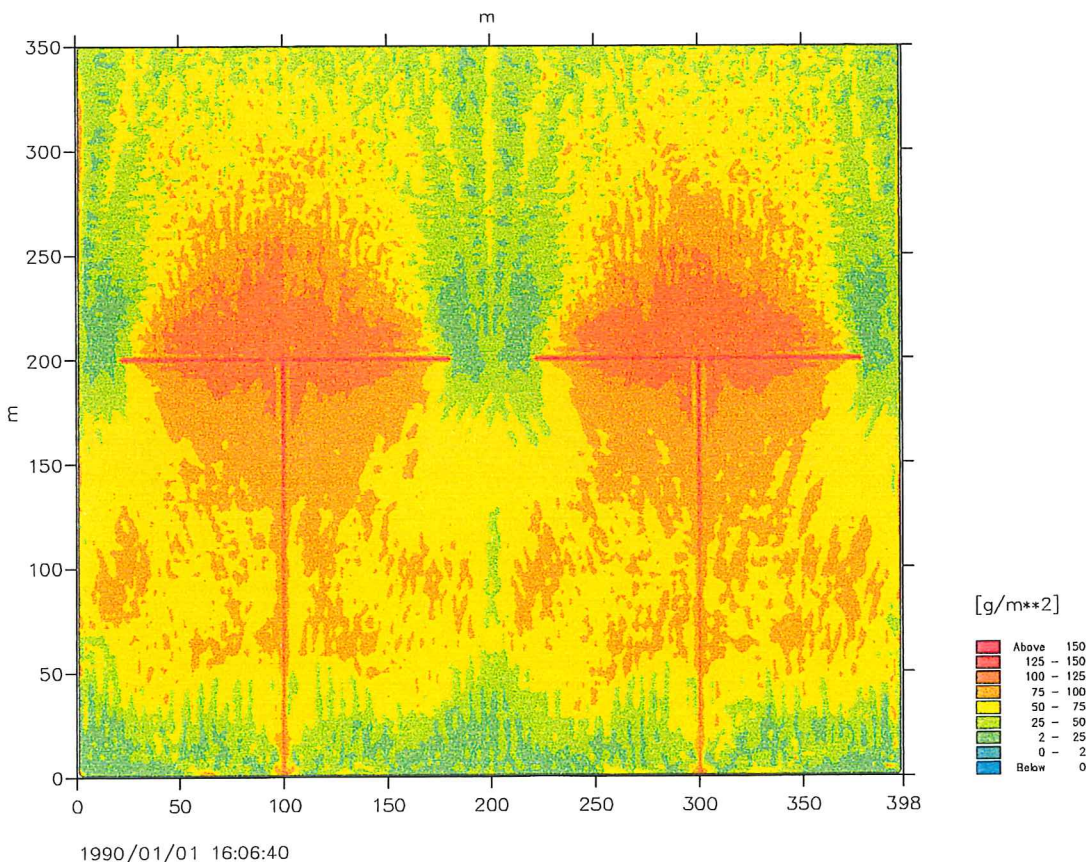
Anlage 8-67c: Sedimentation und Erosion nach Ablauf einer Tide  
im gesamten Simulationsbereich in der Variante m\_02 (vgl. Taf. 8.6)



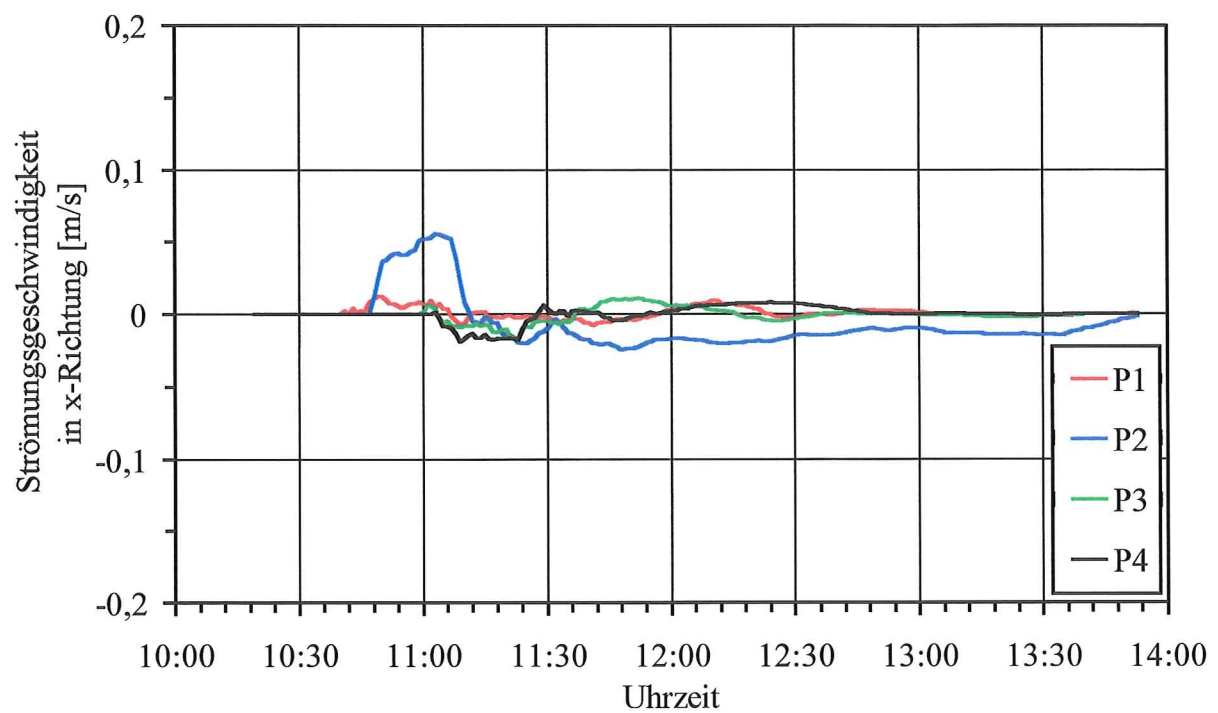
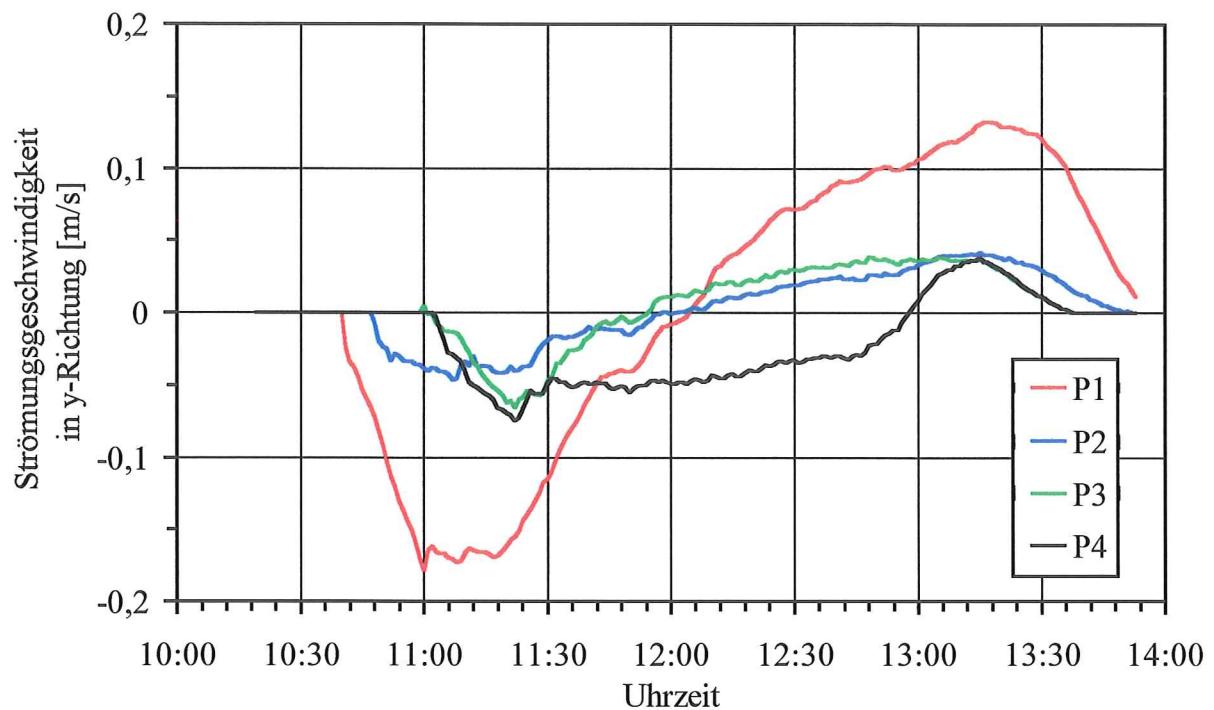
Anlage 8-68a: Strömungsgeschwindigkeiten in y- und x-Richtung  
an den Referenzpunkten P1 bis P4 in der Variante m\_03 (vgl. Taf. 8.6)



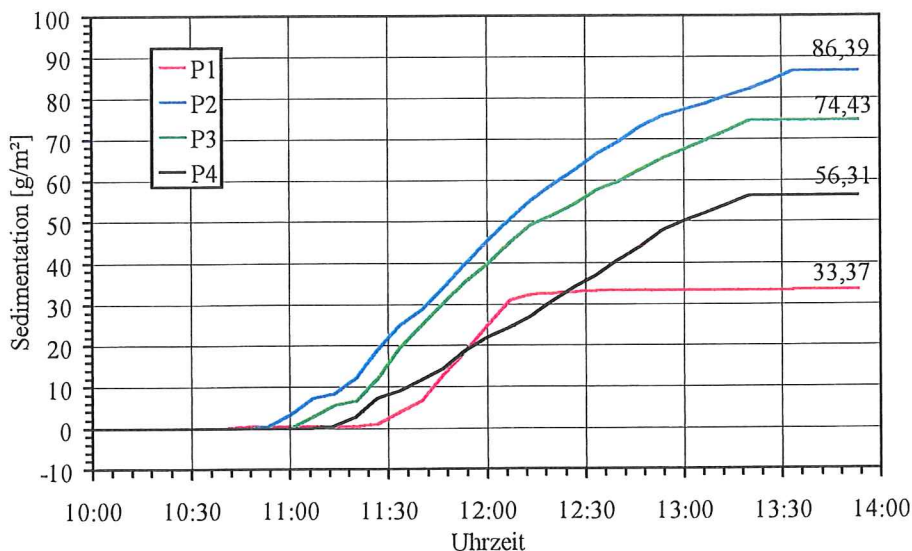
Anlage 8-68b: Sedimentation und Erosion im Verlaufe einer Tide an den Referenzpunkten P1 bis P4 in der Variante m\_03 (vgl. Taf. 8.6)



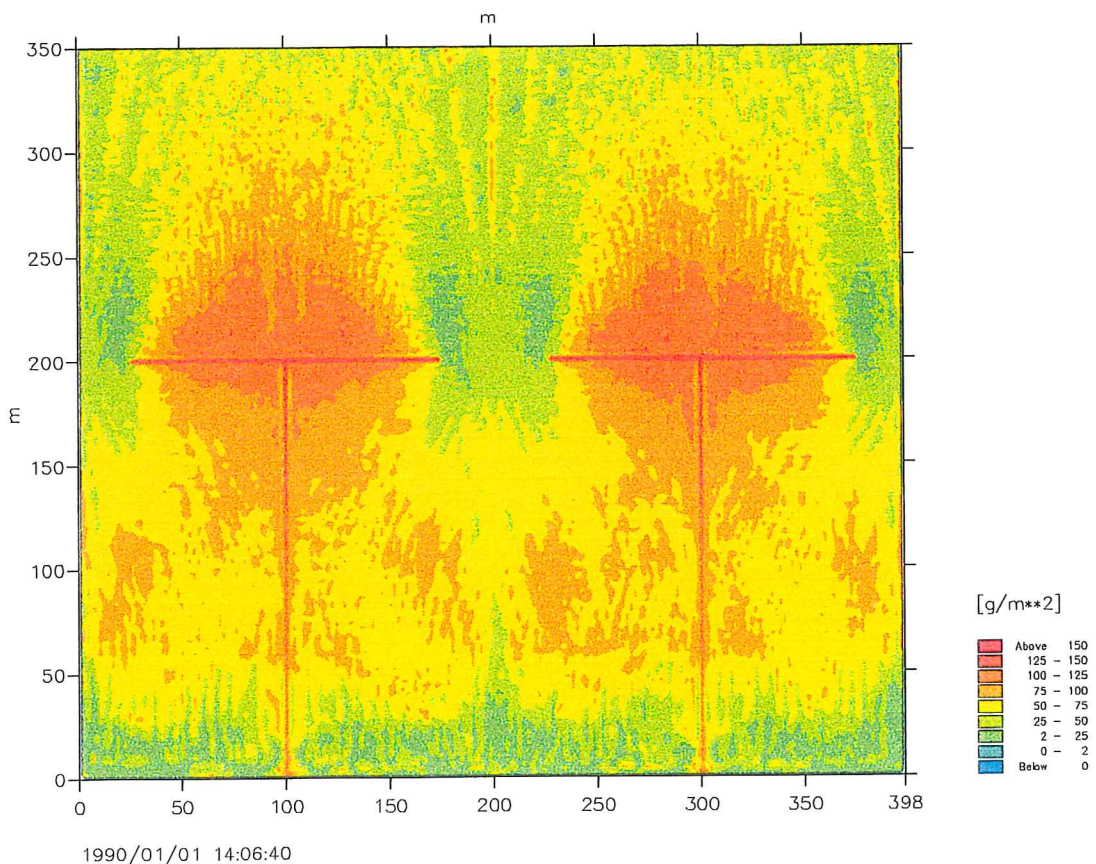
Anlage 8-68c: Sedimentation und Erosion nach Ablauf einer Tide im gesamten Simulationsbereich in der Variante m\_03 (vgl. Taf. 8.6)



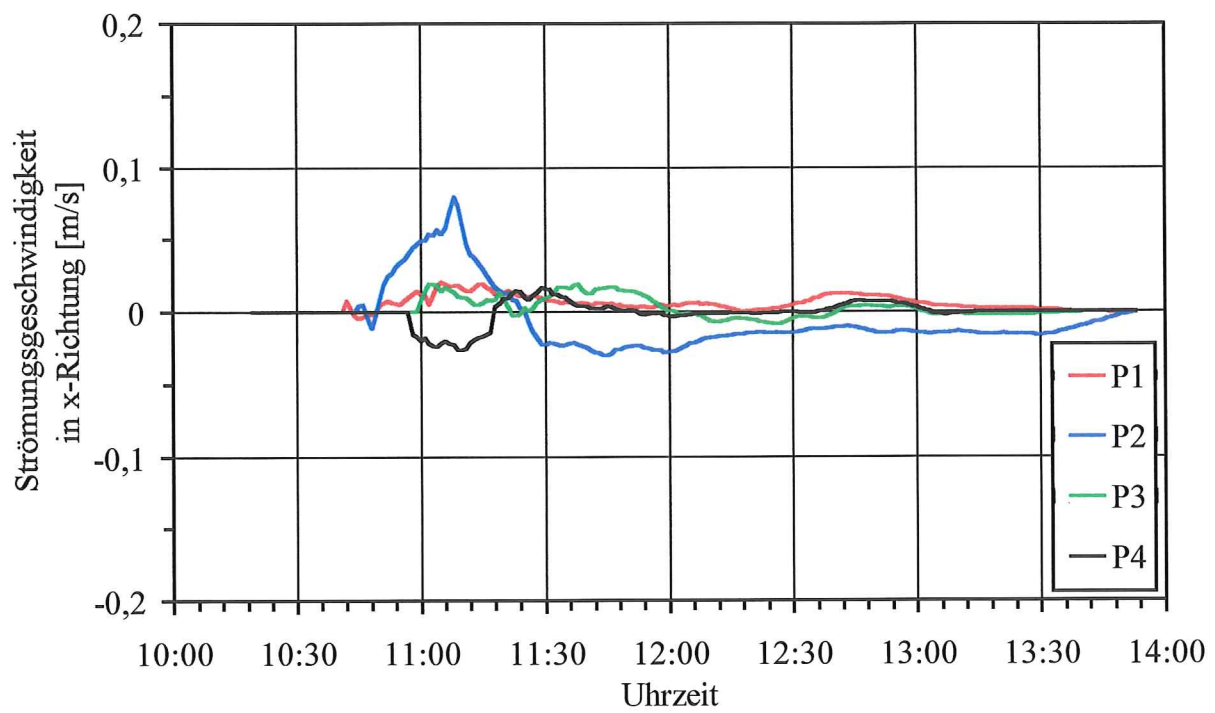
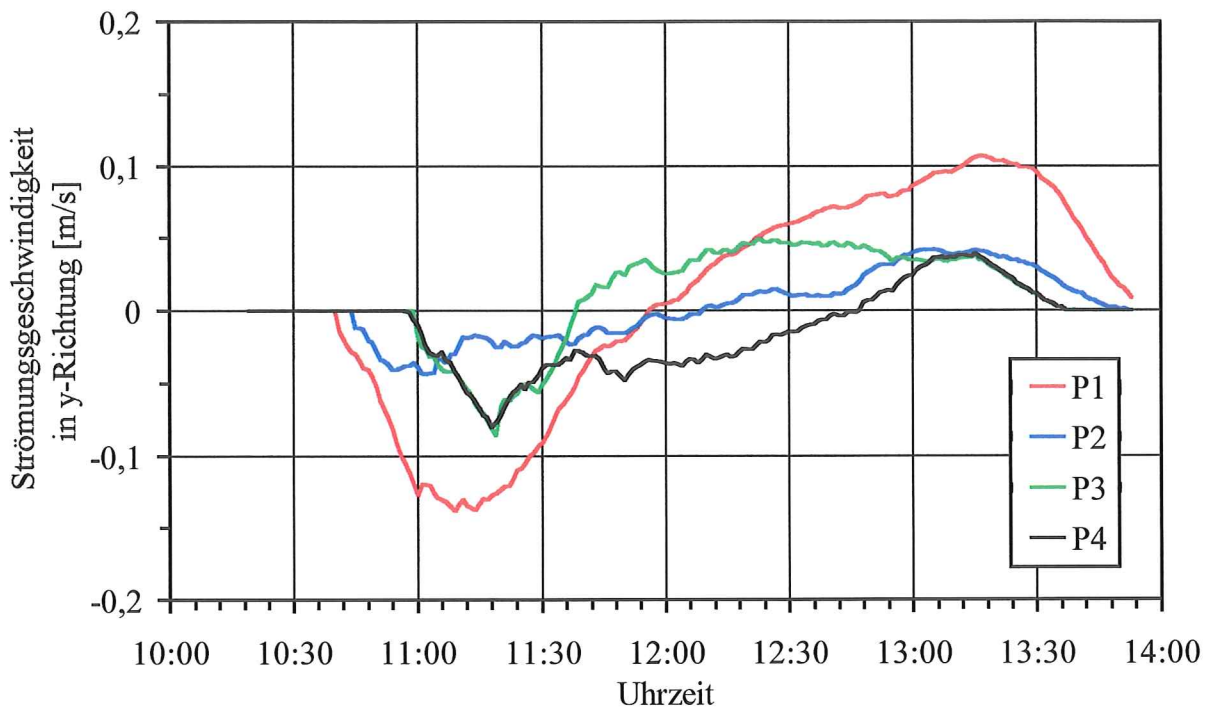
Anlage 8-69a: Strömungsgeschwindigkeiten in y- und x-Richtung  
an den Referenzpunkten P1 bis P4 in der Variante m\_04 (vgl. Taf. 8.6)



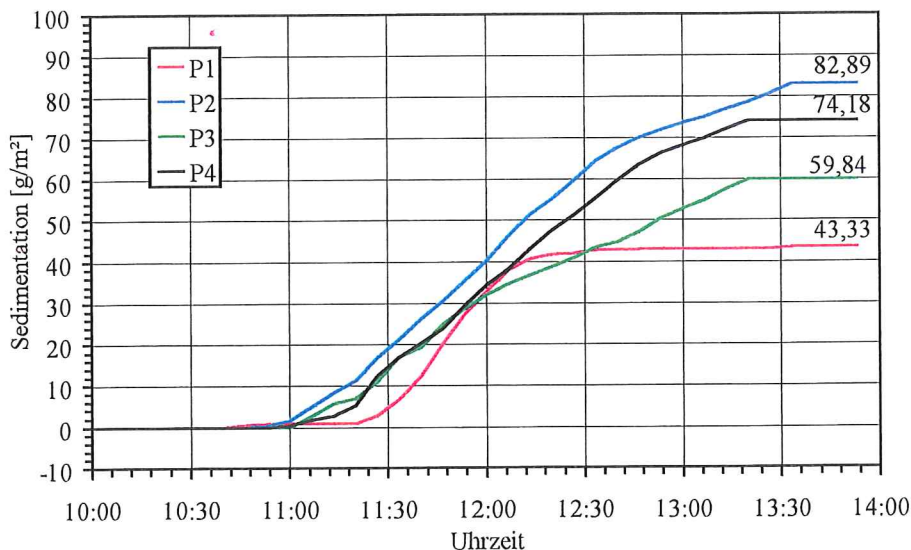
Anlage 8-69b: Sedimentation und Erosion im Verlaufe einer Tide an den Referenzpunkten P1 bis P4 in der Variante m\_04 (vgl. Taf. 8.6)



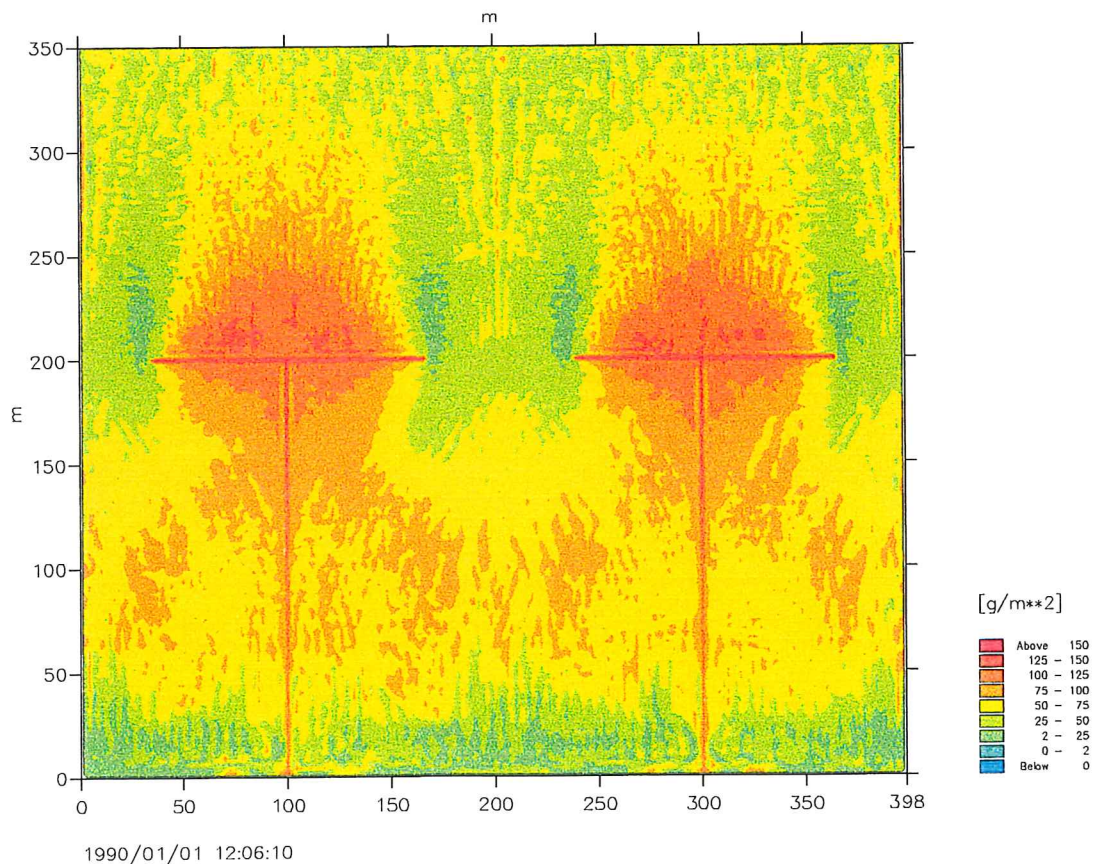
Anlage 8-69c: Sedimentation und Erosion nach Ablauf einer Tide im gesamten Simulationsbereich in der Variante m\_04 (vgl. Taf. 8.6)



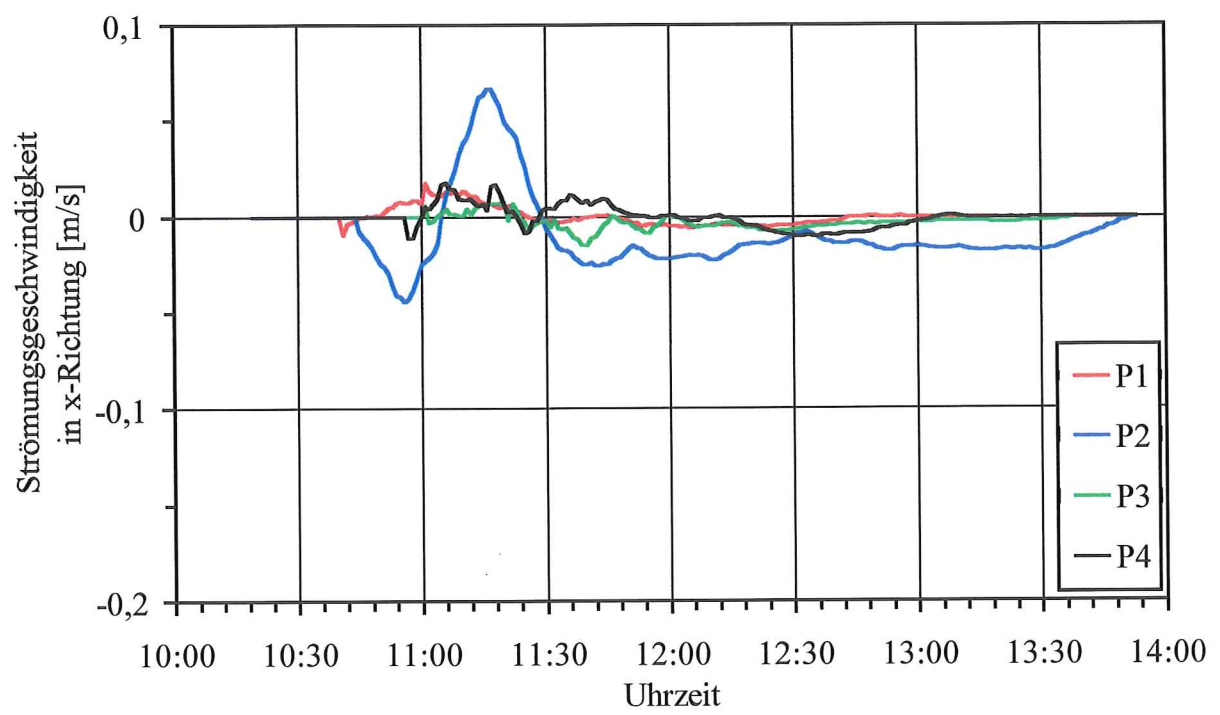
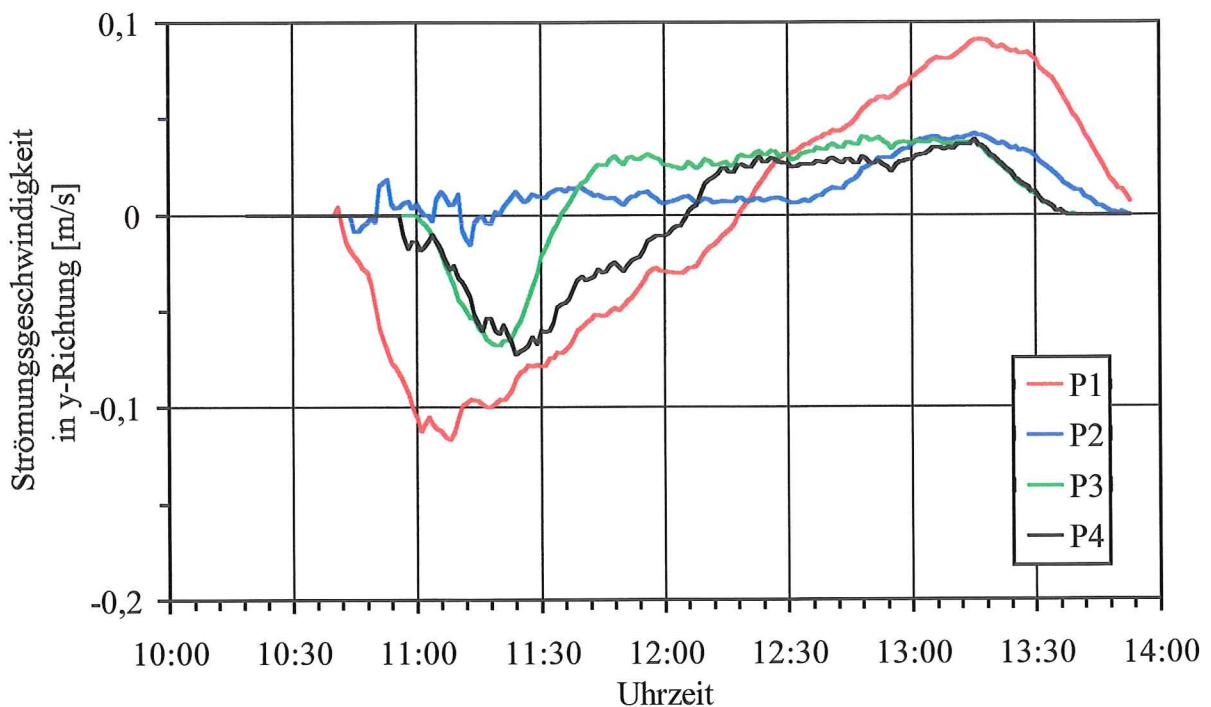
Anlage 8-70a: Strömungsgeschwindigkeiten in y- und x-Richtung  
an den Referenzpunkten P1 bis P4 in der Variante m\_05 (vgl. Taf. 8.6)



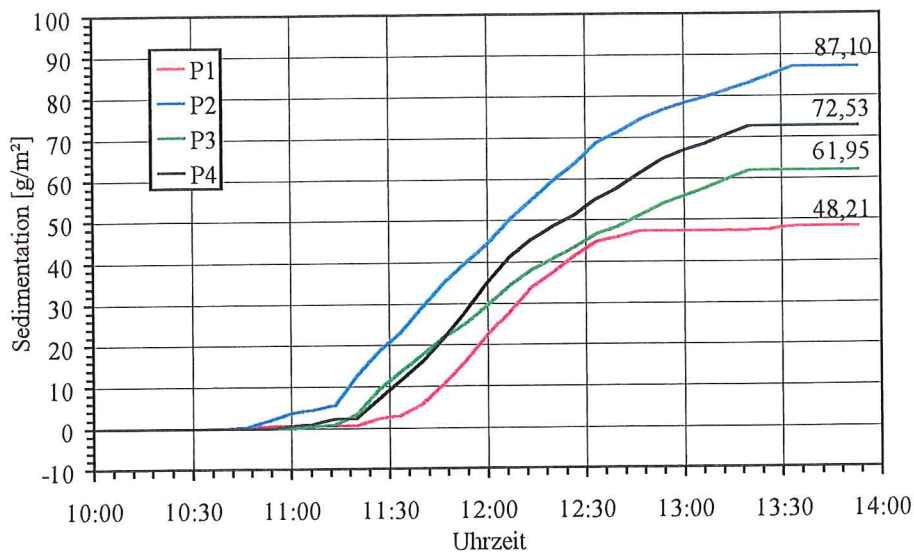
Anlage 8-70b: Sedimentation und Erosion im Verlaufe einer Tide  
an den Referenzpunkten P1 bis P4 in der Variante m\_05 (vgl. Taf. 8.6)



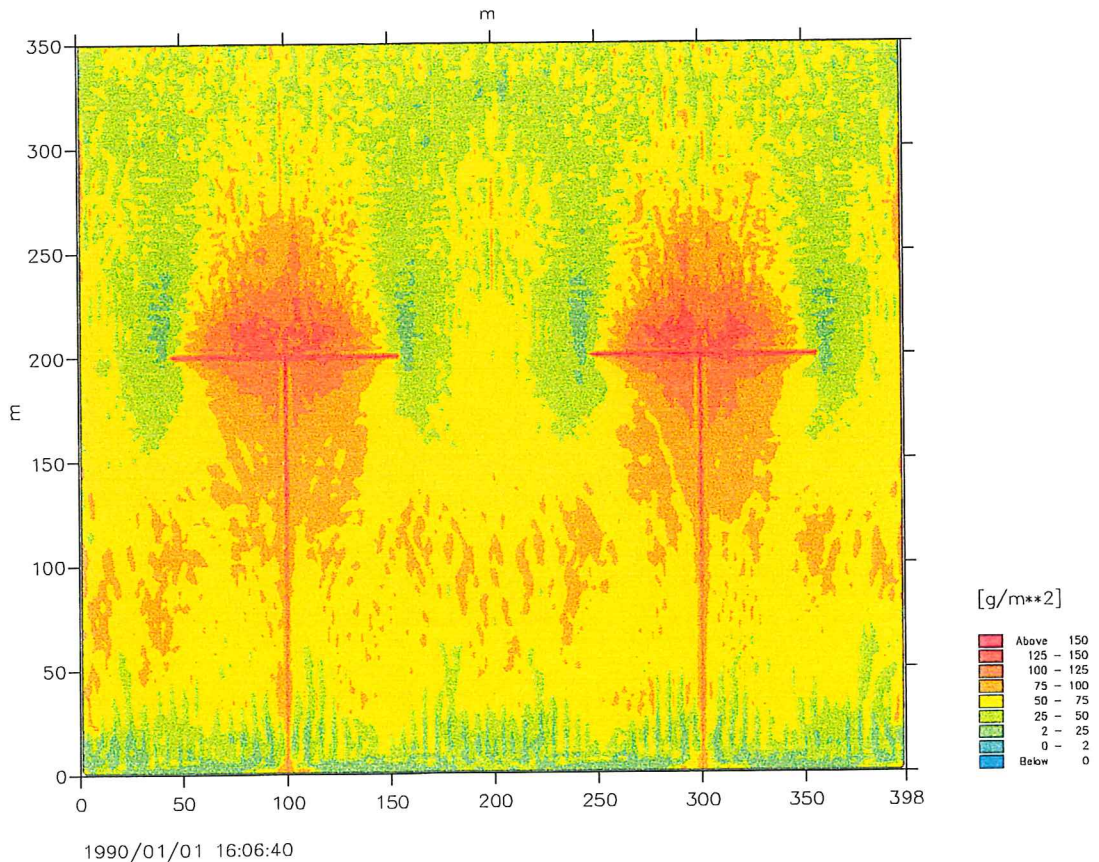
Anlage 8-70c: Sedimentation und Erosion nach Ablauf einer Tide  
im gesamten Simulationsbereich in der Variante m\_05 (vgl. Taf. 8.6)



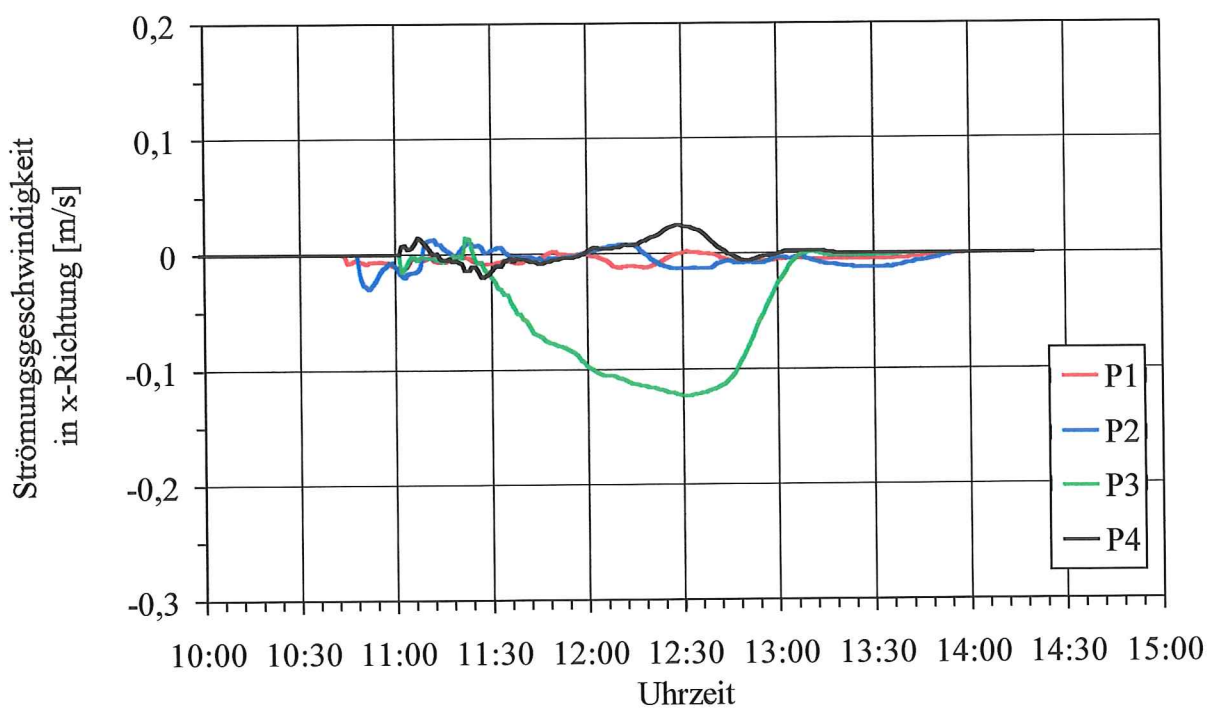
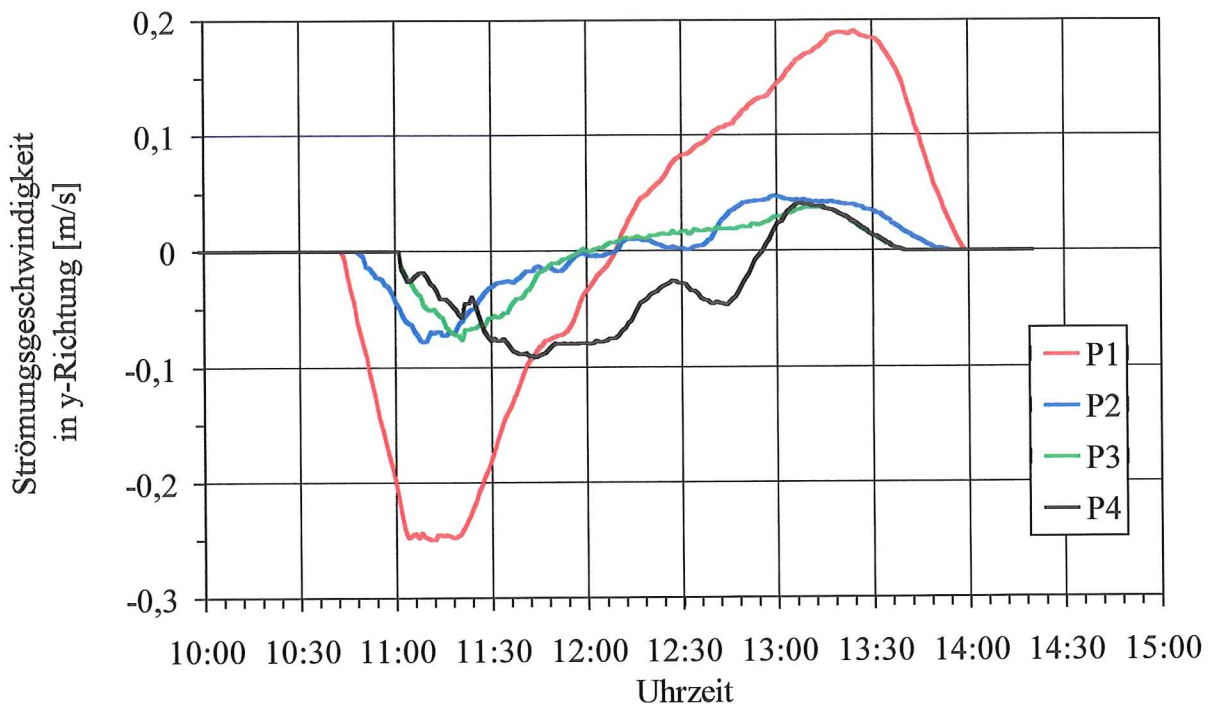
Anlage 8-71a: Strömungsgeschwindigkeiten in y- und x-Richtung  
an den Referenzpunkten P1 bis P4 in der Variante m\_06 (vgl. Taf. 8.6)



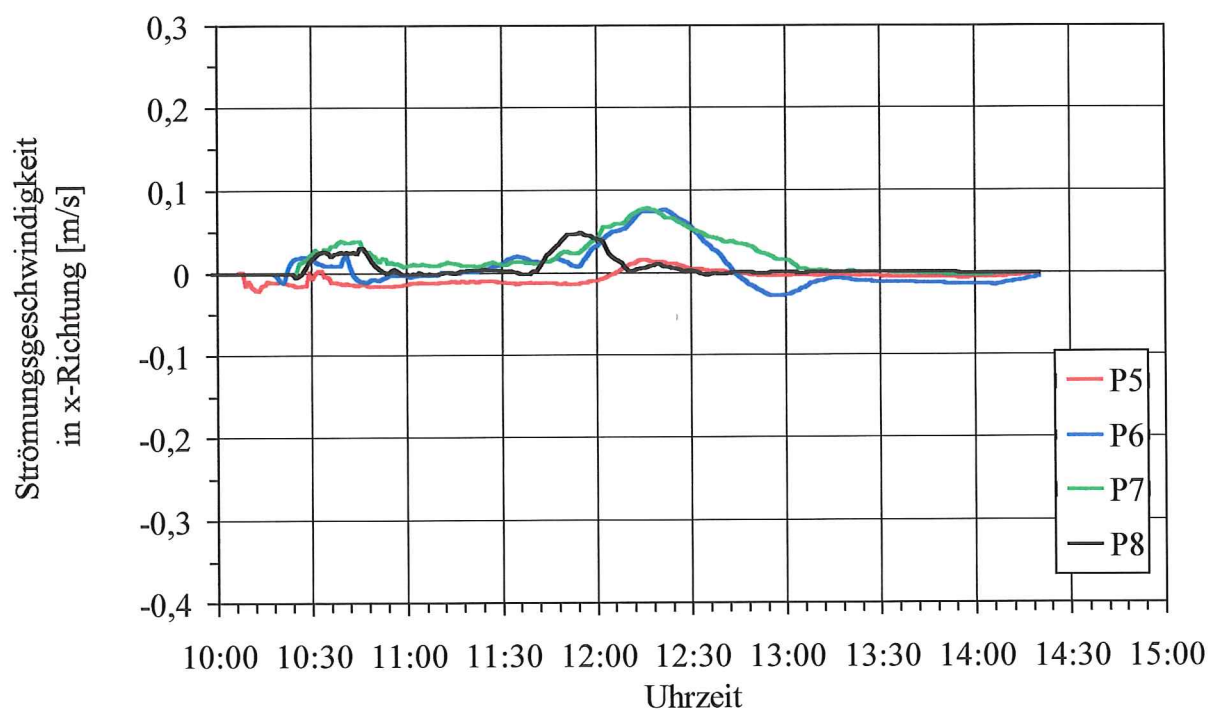
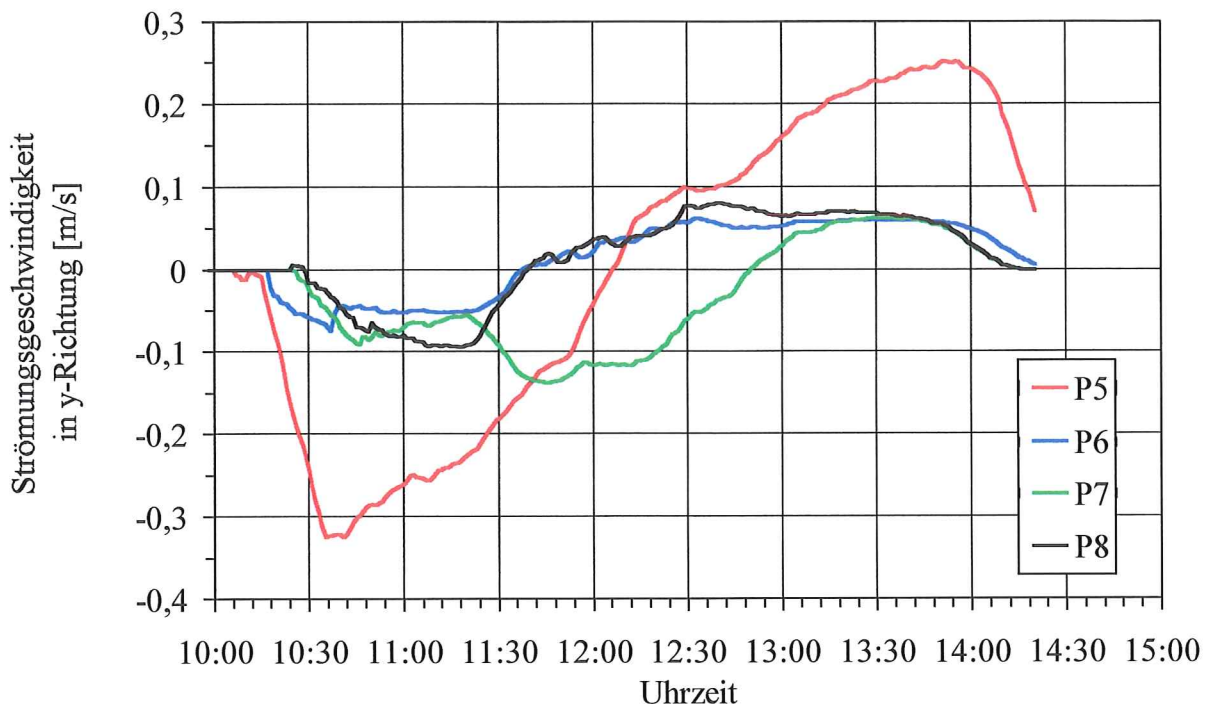
Anlage 8-71b: Sedimentation und Erosion im Verlaufe einer Tide  
an den Referenzpunkten P1 bis P4 in der Variante m\_06 (vgl. Taf. 8.6)



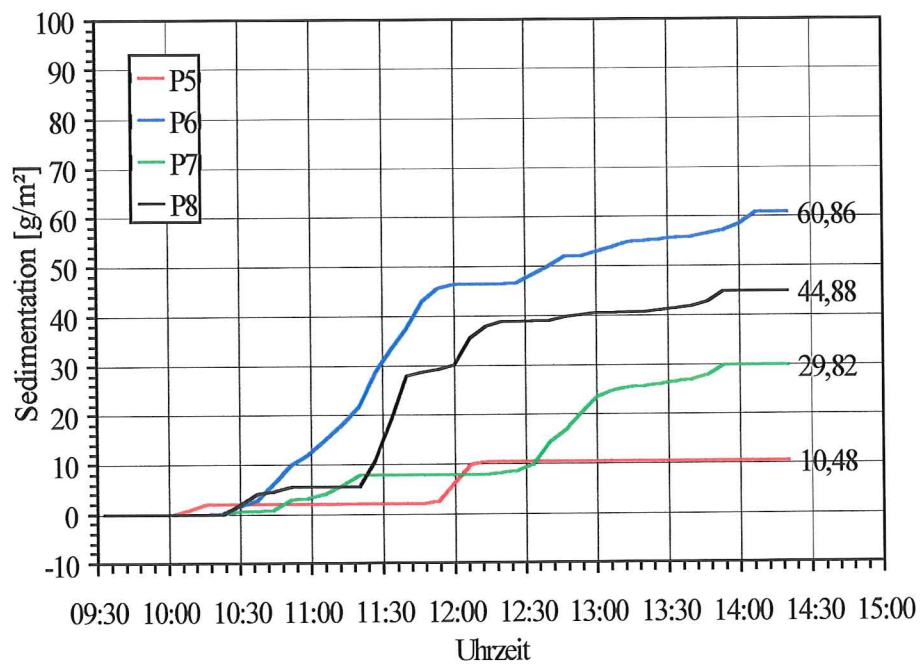
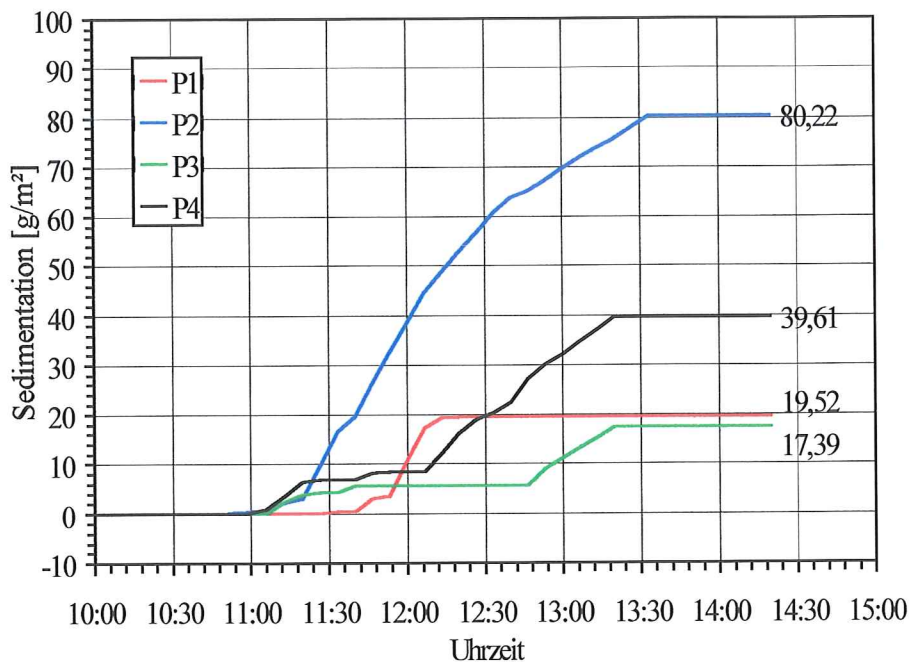
Anlage 8-71c: Sedimentation und Erosion nach Ablauf einer Tide  
im gesamten Simulationsbereich in der Variante m\_06 (vgl. Taf. 8.6)



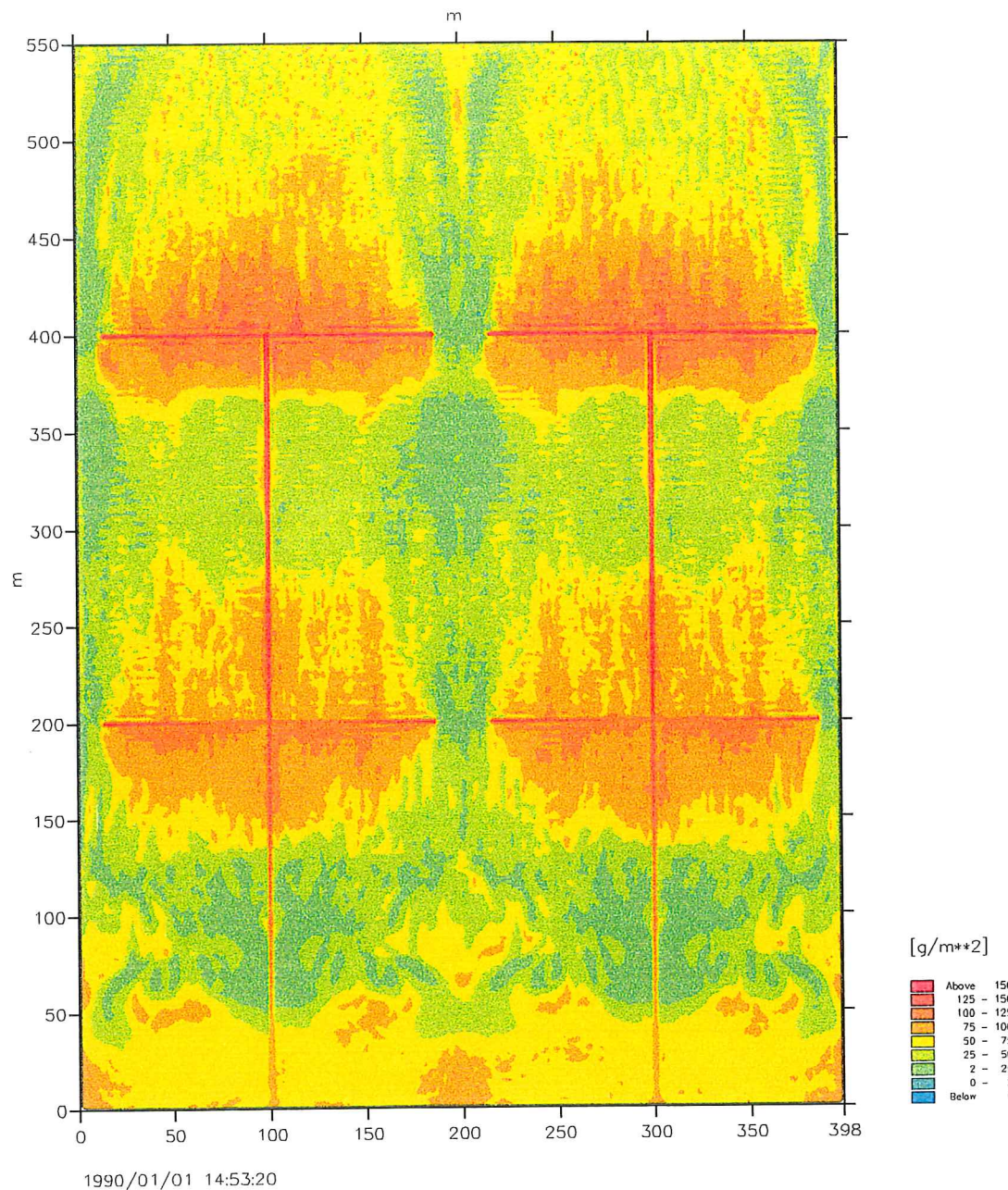
Anlage 8-72a1: Strömungsgeschwindigkeiten in y- und x-Richtung  
an den Referenzpunkten P1 bis P4 in der Variante m\_07 (vgl. Taf. 8.6)



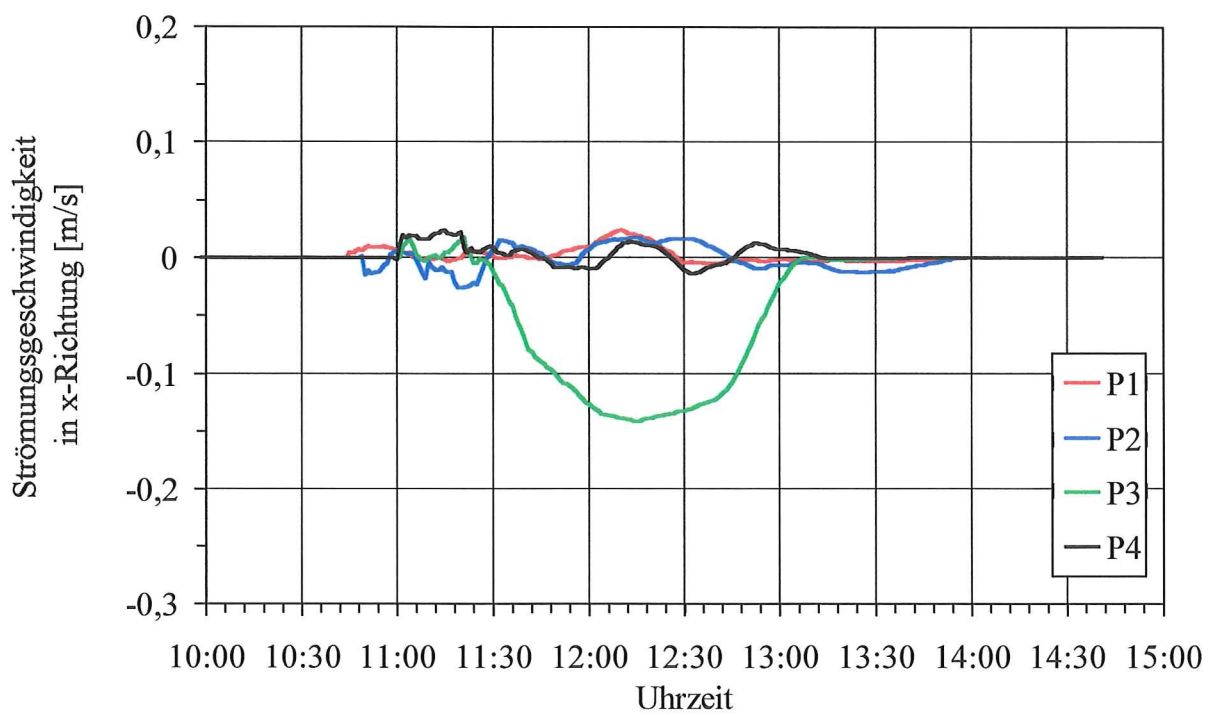
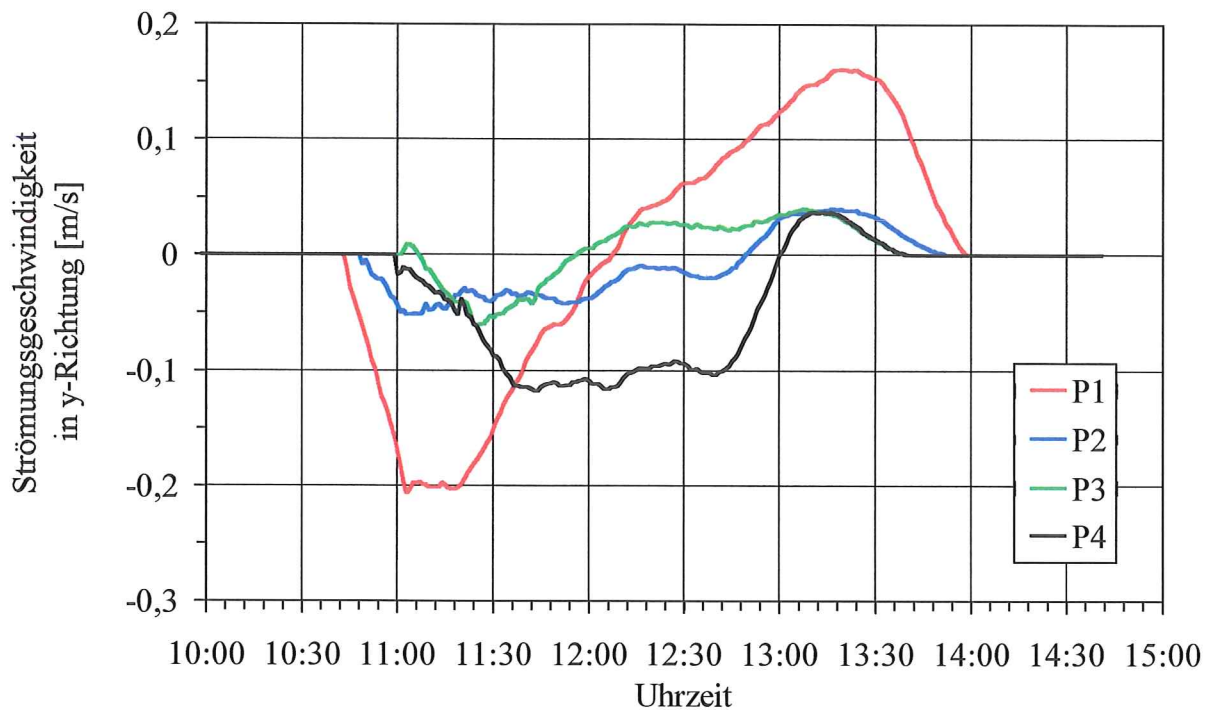
Anlage 8-72a2: Strömungsgeschwindigkeiten in y- und x-Richtung  
an den Referenzpunkten P5 bis P8 in der Variante m\_07 (vgl. Taf. 8.6)



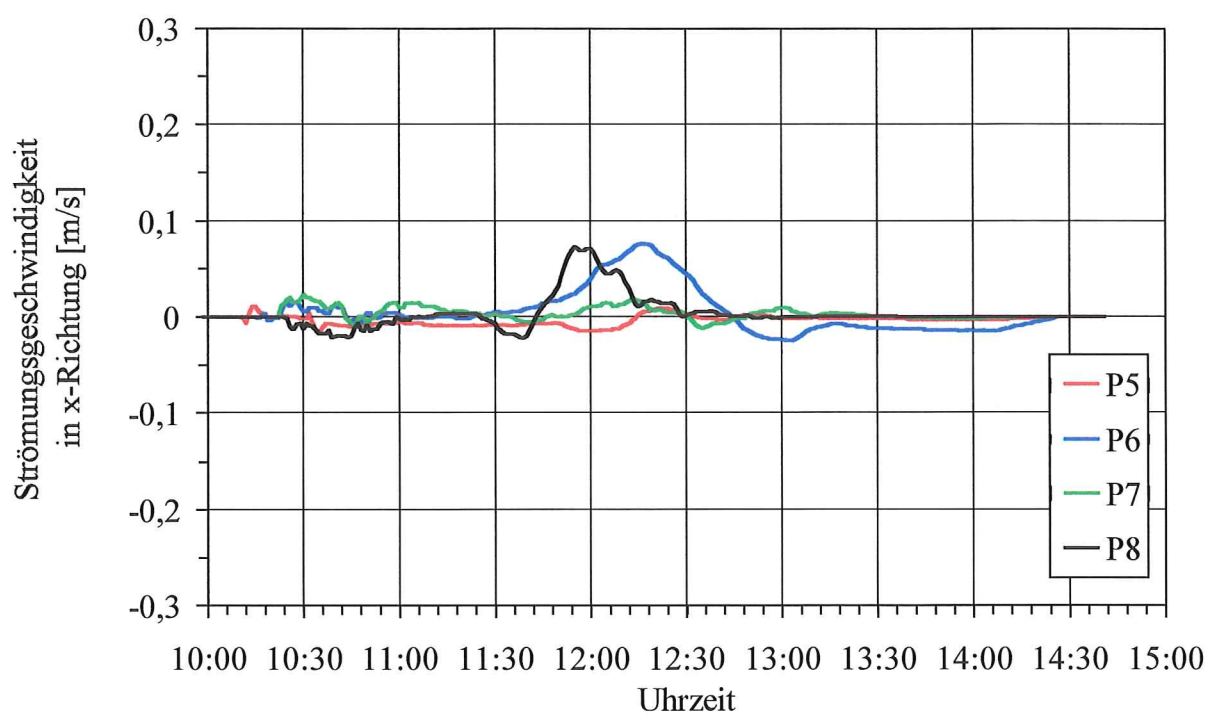
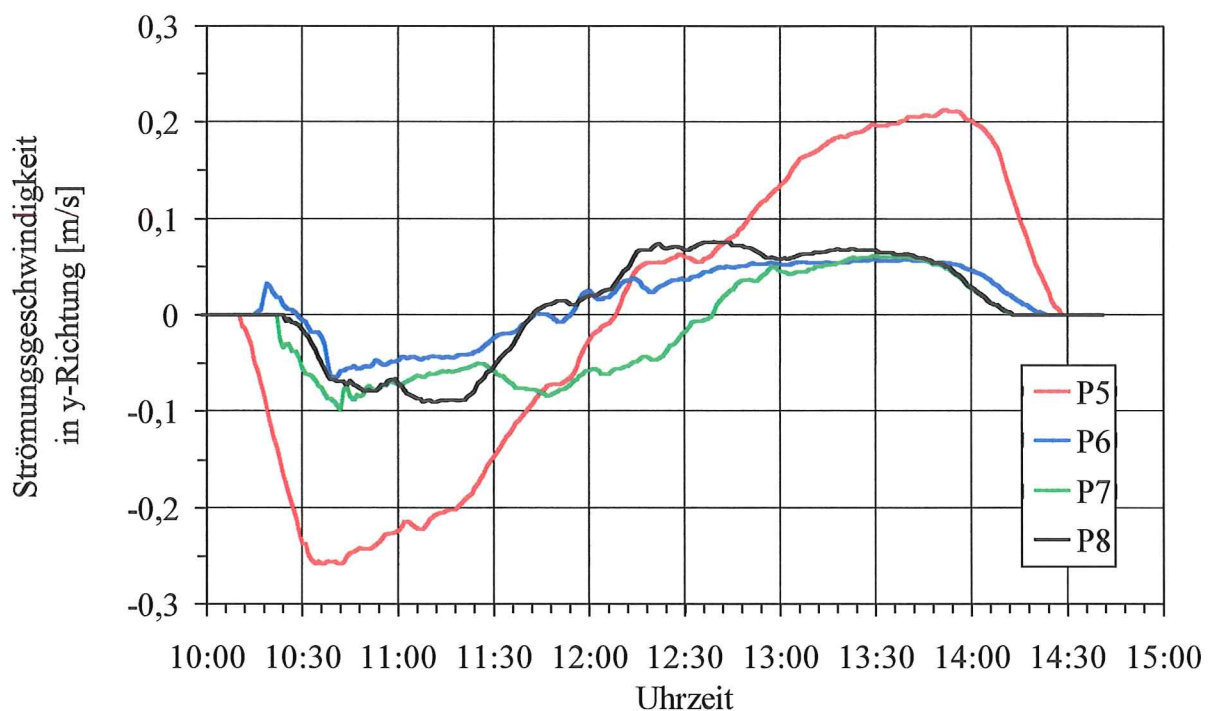
Anlage 8-72b: Sedimentationen und Erosionen im Verlaufe einer Tide  
an den Referenzpunkten P1 bis P4 und P5 bis P8  
in der Variante m\_07 (vgl. Taf. 8.6)



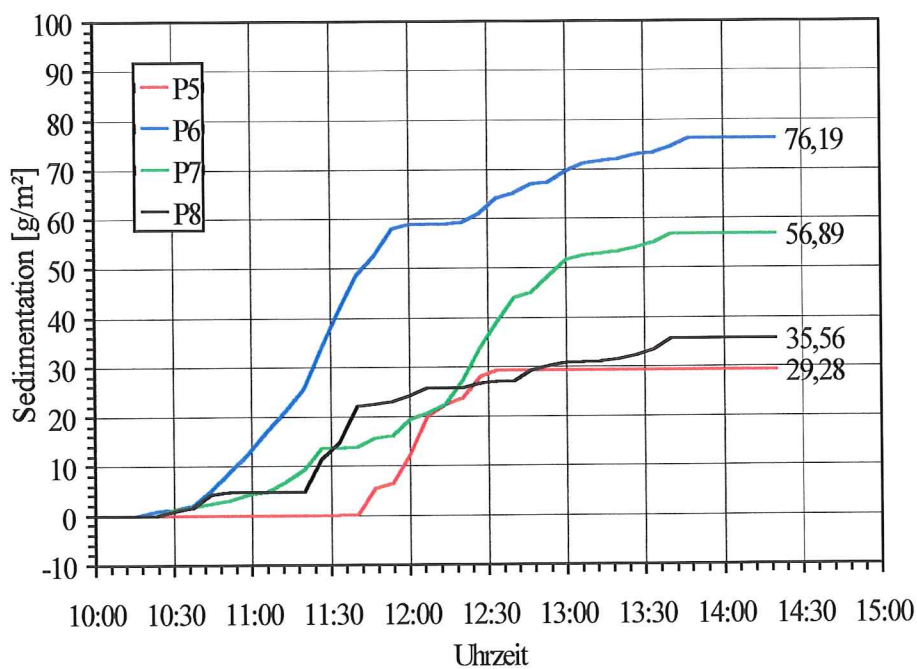
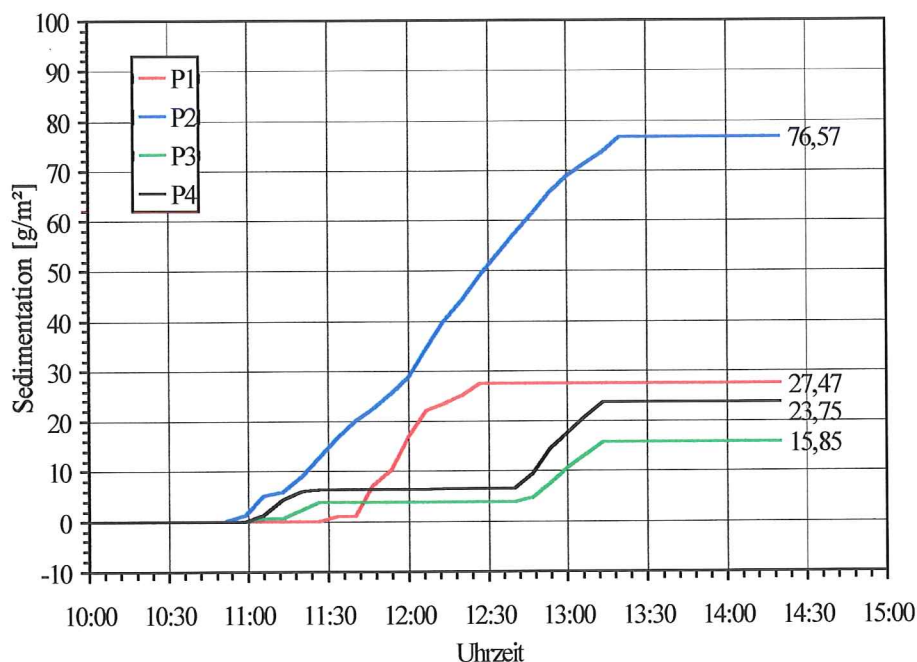
Anlage 8-72c: Sedimentation und Erosion nach Ablauf einer Tide  
im gesamten Simulationsbereich in der Variante m\_07 (vgl. Taf. 8.6)



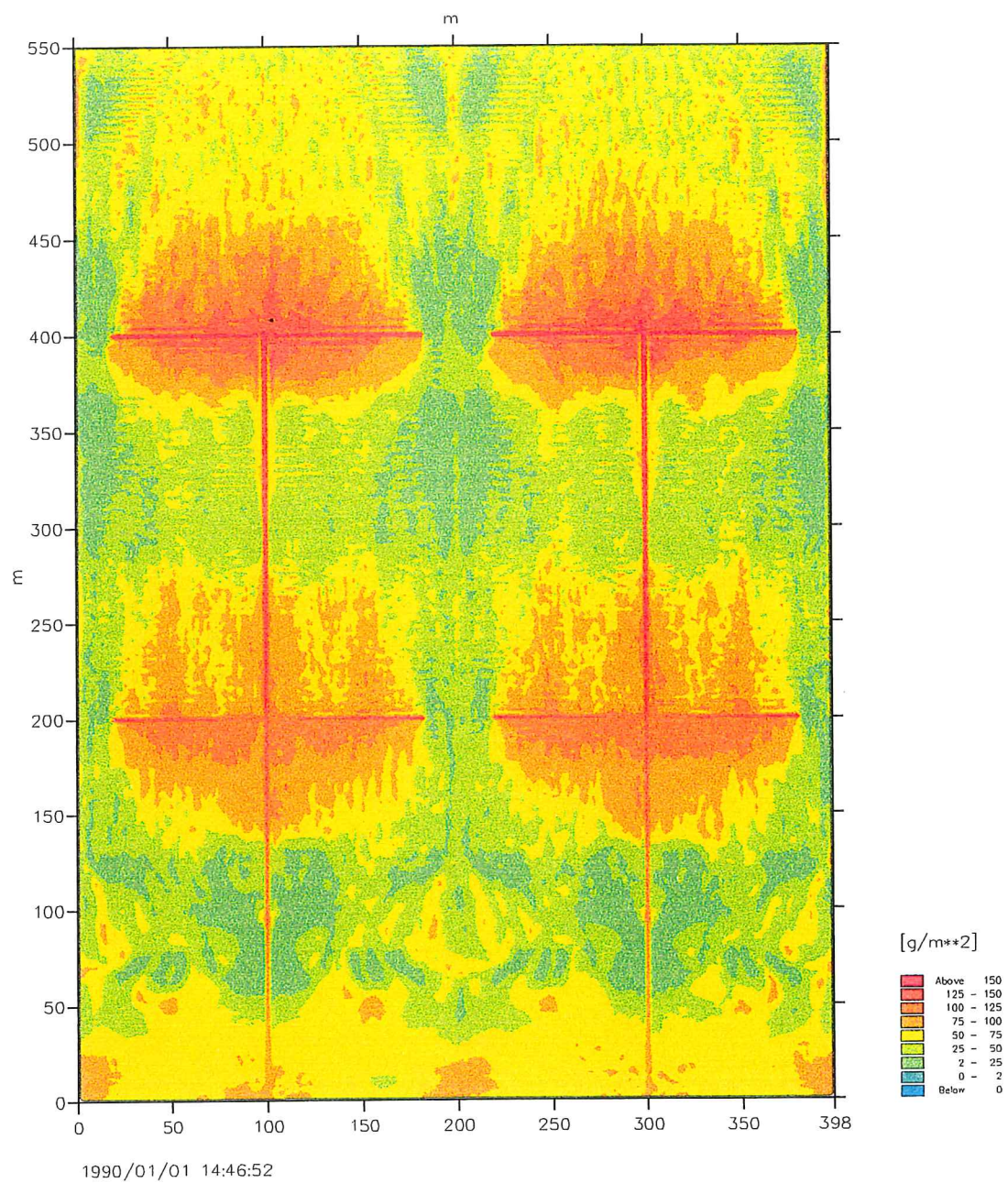
Anlage 8-73a1: Strömungsgeschwindigkeiten in y- und x-Richtung  
an den Referenzpunkten P1 bis P4 in der Variante m\_08 (vgl. Taf. 8.6)



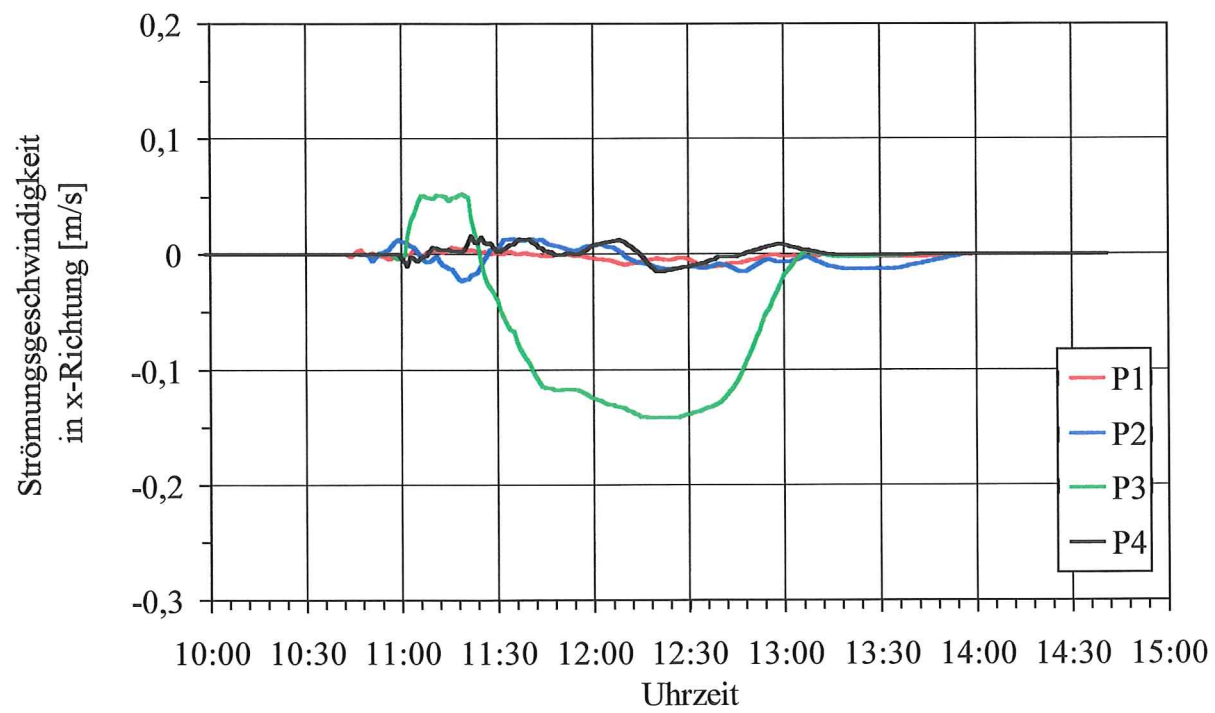
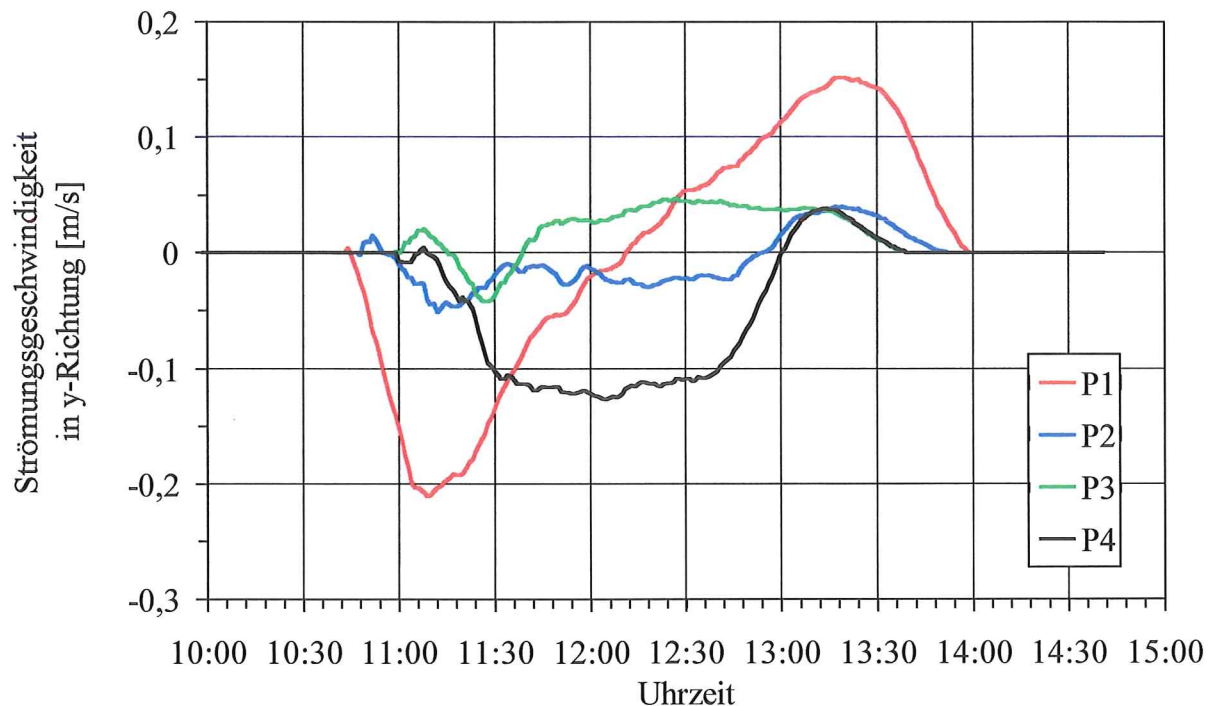
Anlage 8-73a2: Strömungsgeschwindigkeiten in y- und x-Richtung an den Referenzpunkten P5 bis P8 in der Variante m\_08 (vgl. Taf. 8.6)



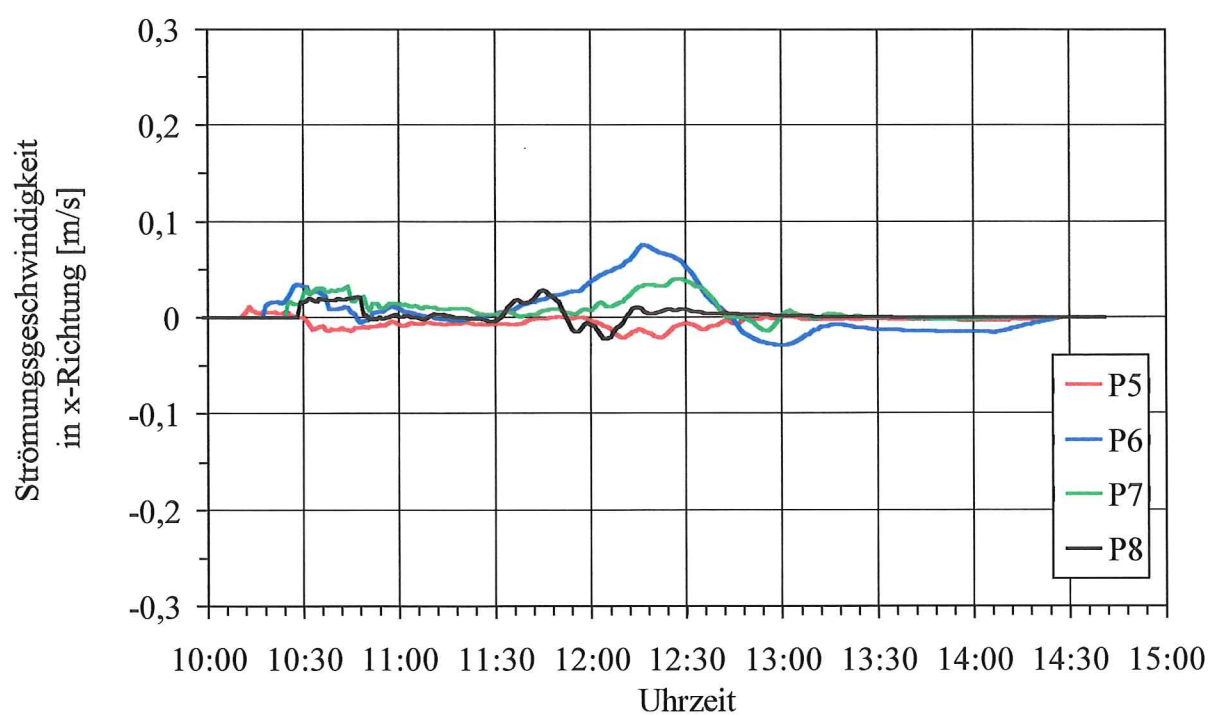
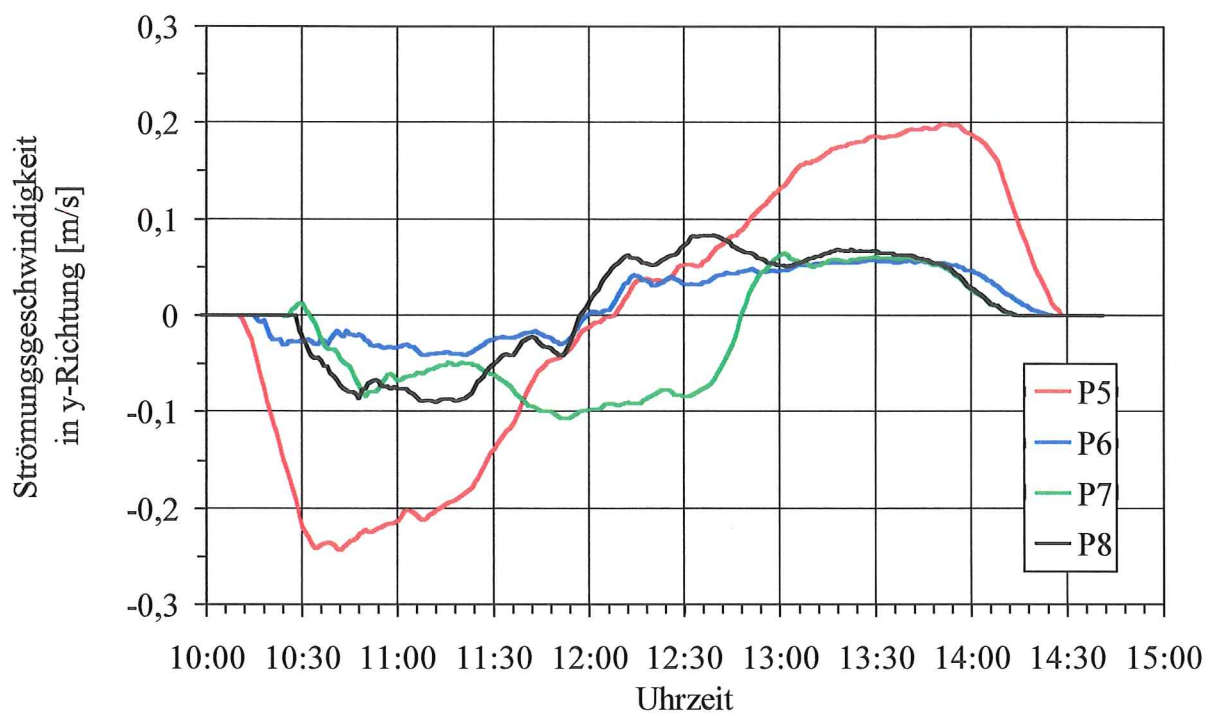
Anlage 8-73b: Sedimentationen und Erosionen im Verlaufe einer Tide  
an den Referenzpunkten P1 bis P4 und P5 bis P8  
in der Variante m\_08 (vgl. Taf. 8.6)



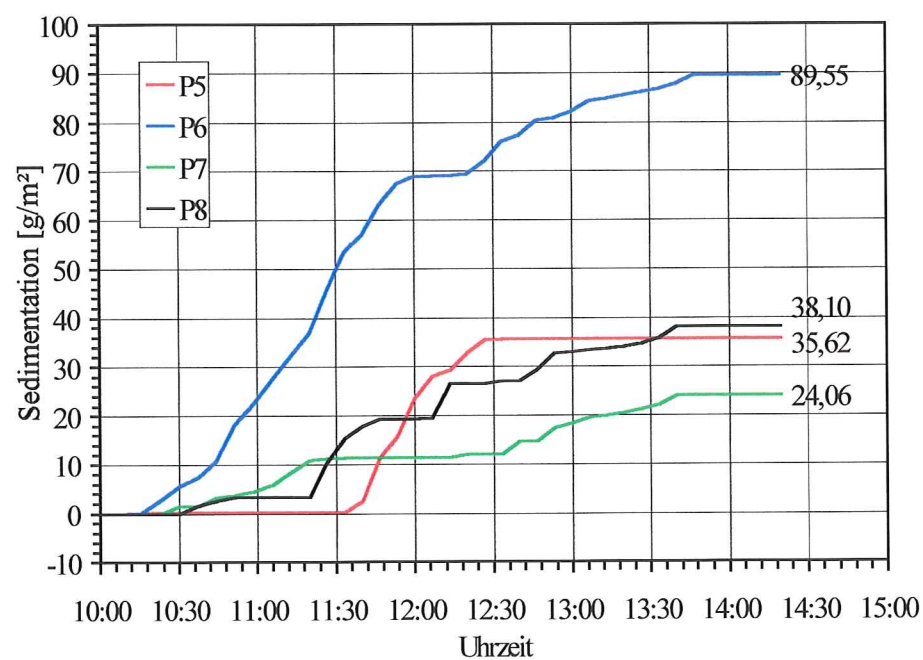
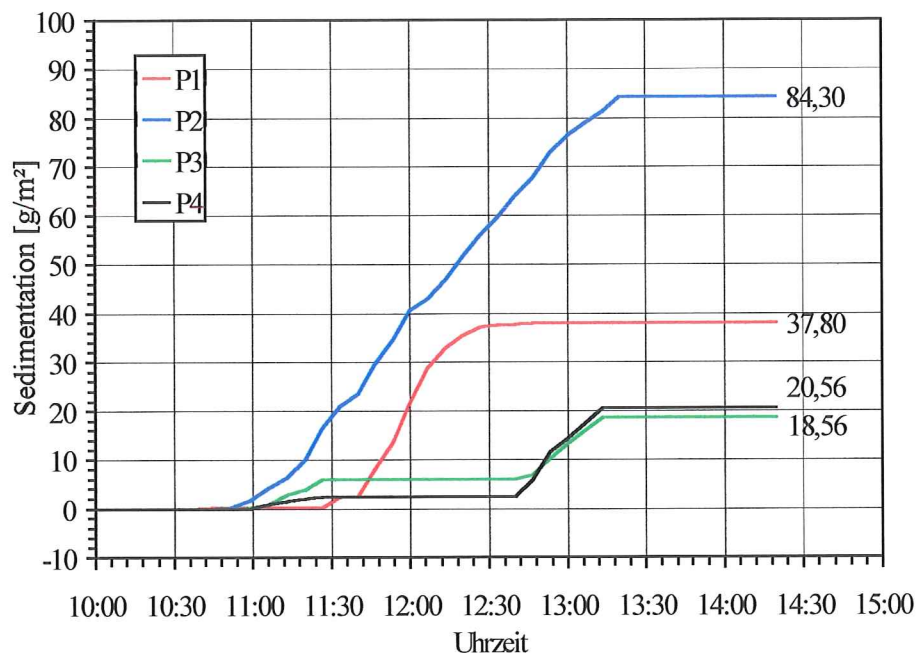
Anlage 8-73c: Sedimentation und Erosion nach Ablauf einer Tide  
im gesamten Simulationsbereich in der Variante m\_08 (vgl. Taf. 8.6)



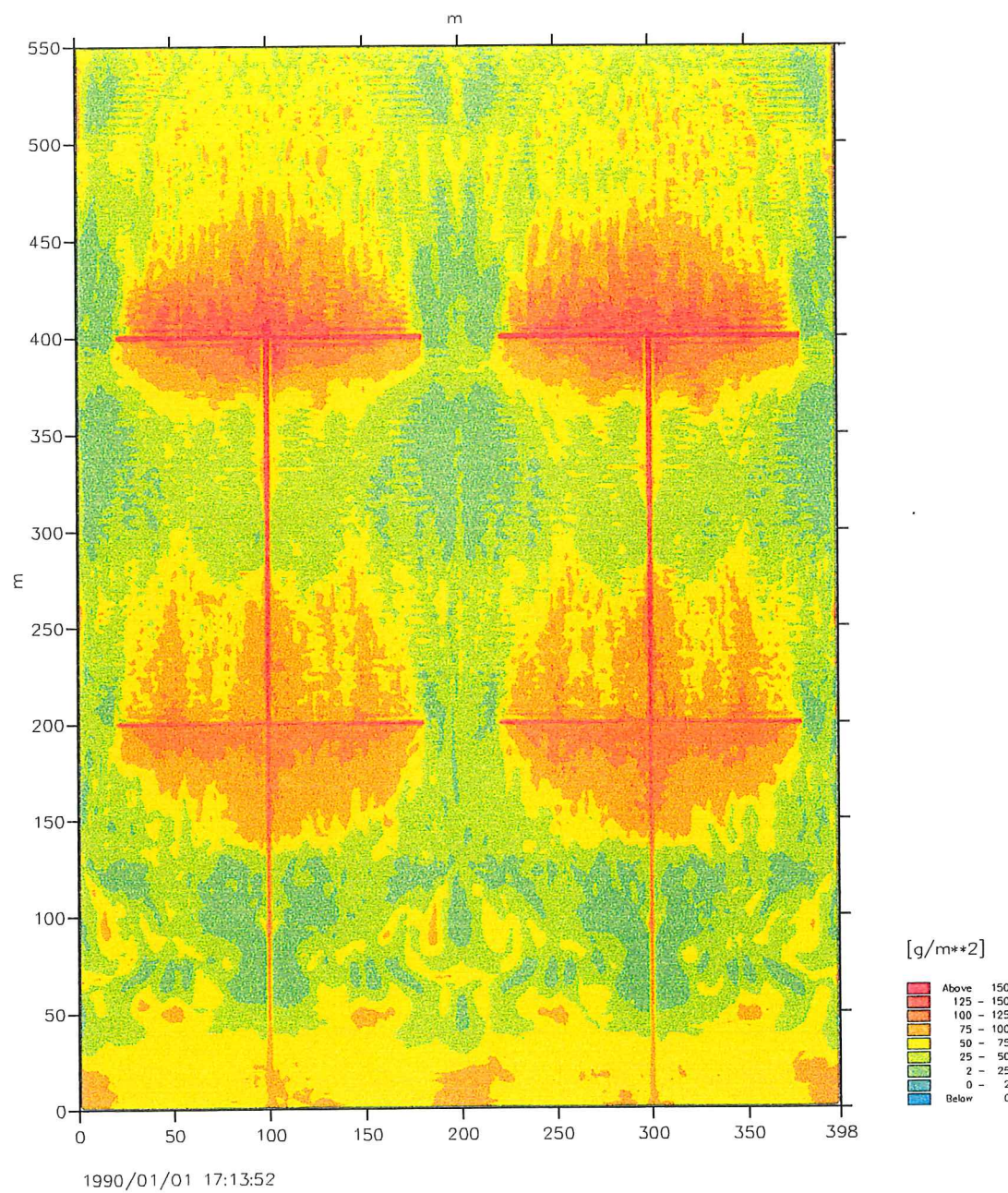
Anlage 8-74a1: Strömungsgeschwindigkeiten in y- und x-Richtung  
an den Referenzpunkten P1 bis P4 in der Variante m\_09 (vgl. Taf. 8.6)



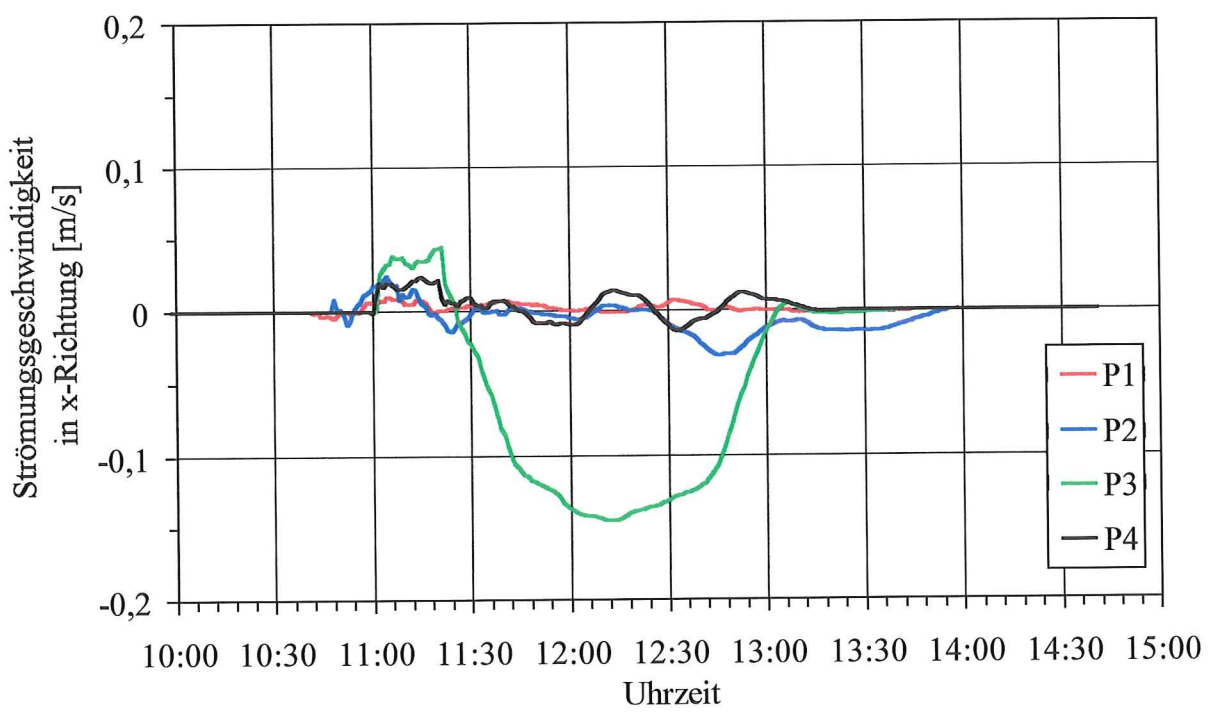
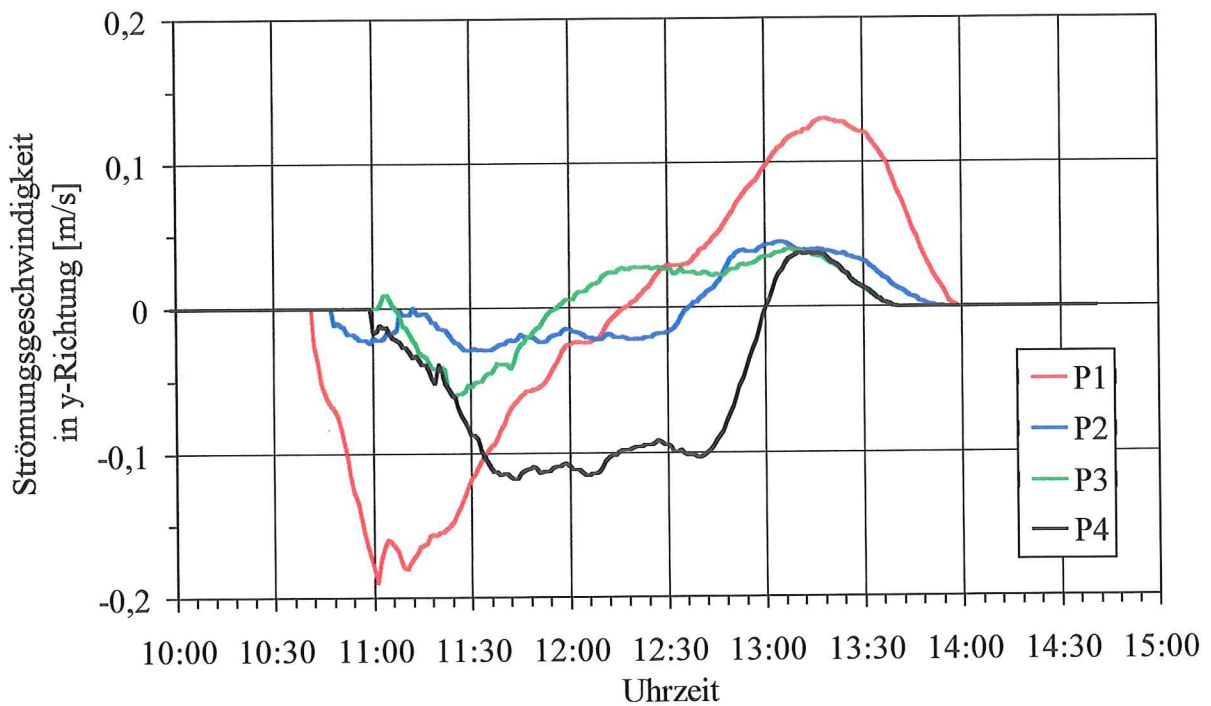
Anlage 8-74a2: Strömungsgeschwindigkeiten in y- und x-Richtung  
an den Referenzpunkten P5 bis P8 in der Variante m\_09 (vgl. Taf. 8.6)



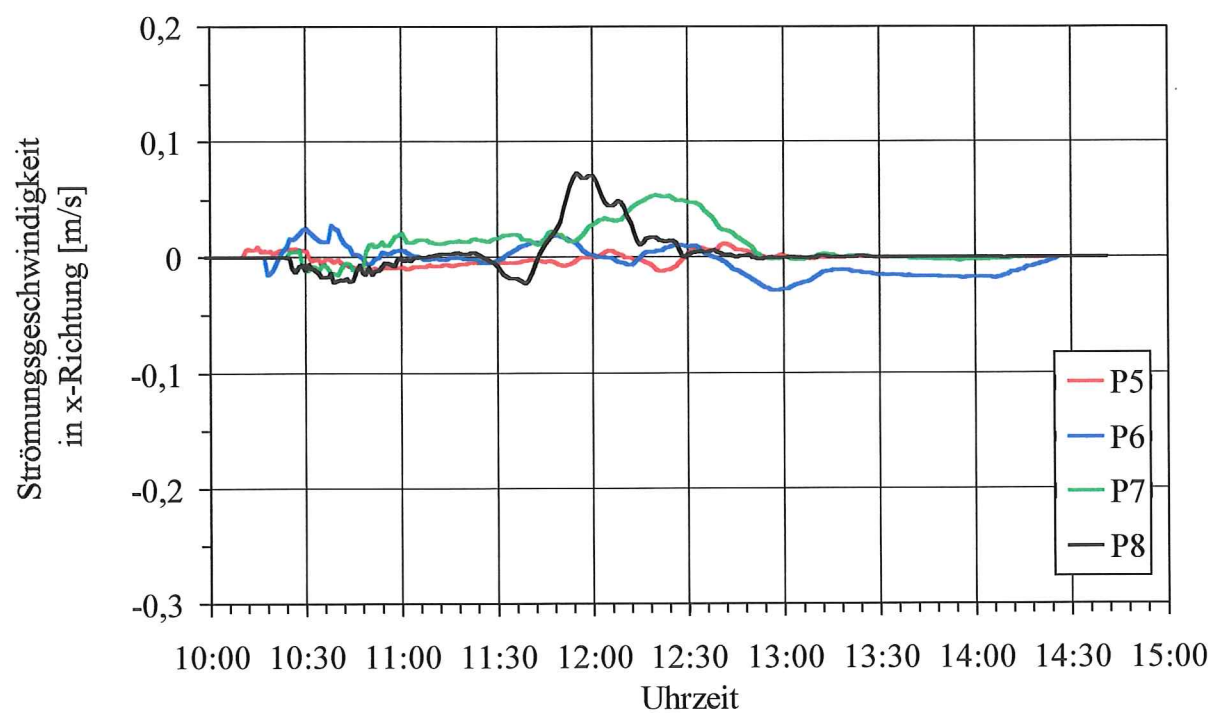
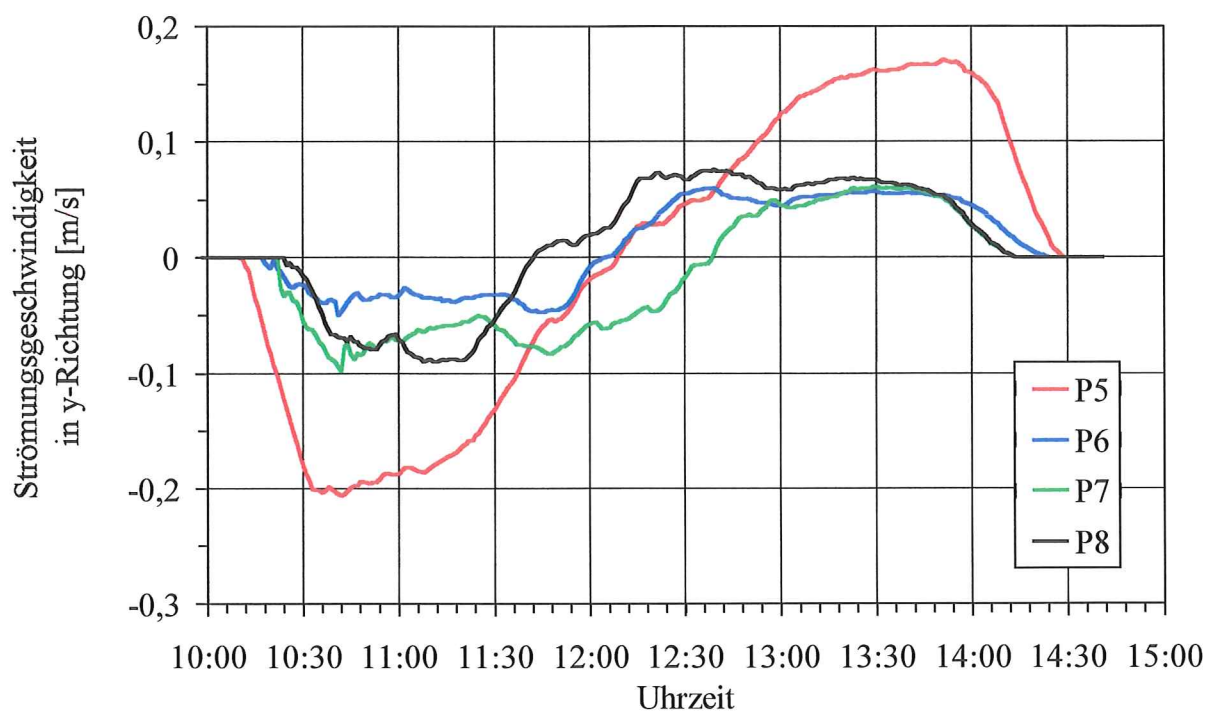
Anlage 8-74b: Sedimentationen und Erosionen im Verlaufe einer Tide  
an den Referenzpunkten P1 bis P4 und P5 bis P8  
in der Variante m\_09 (vgl. Taf. 8.6)



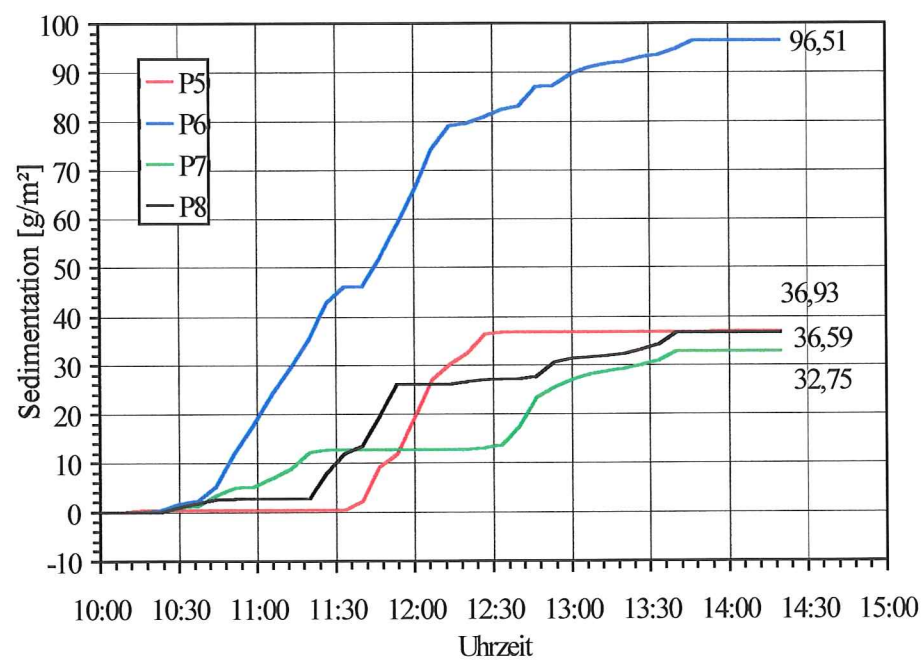
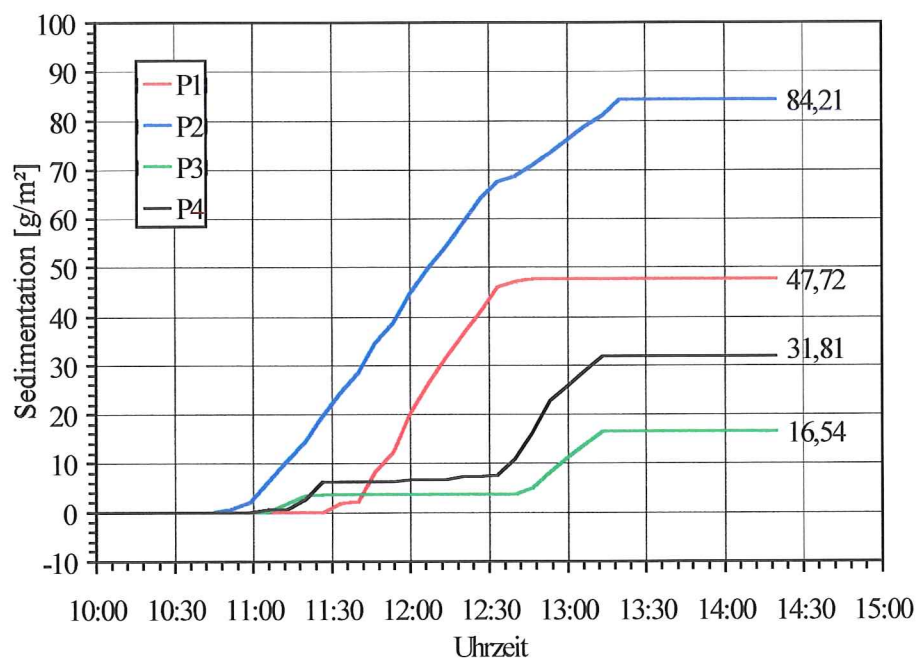
Anlage 8-74c: Sedimentation und Erosion nach Ablauf einer Tide  
im gesamten Simulationsbereich in der Variante m\_09 (vgl. Taf. 8.6)



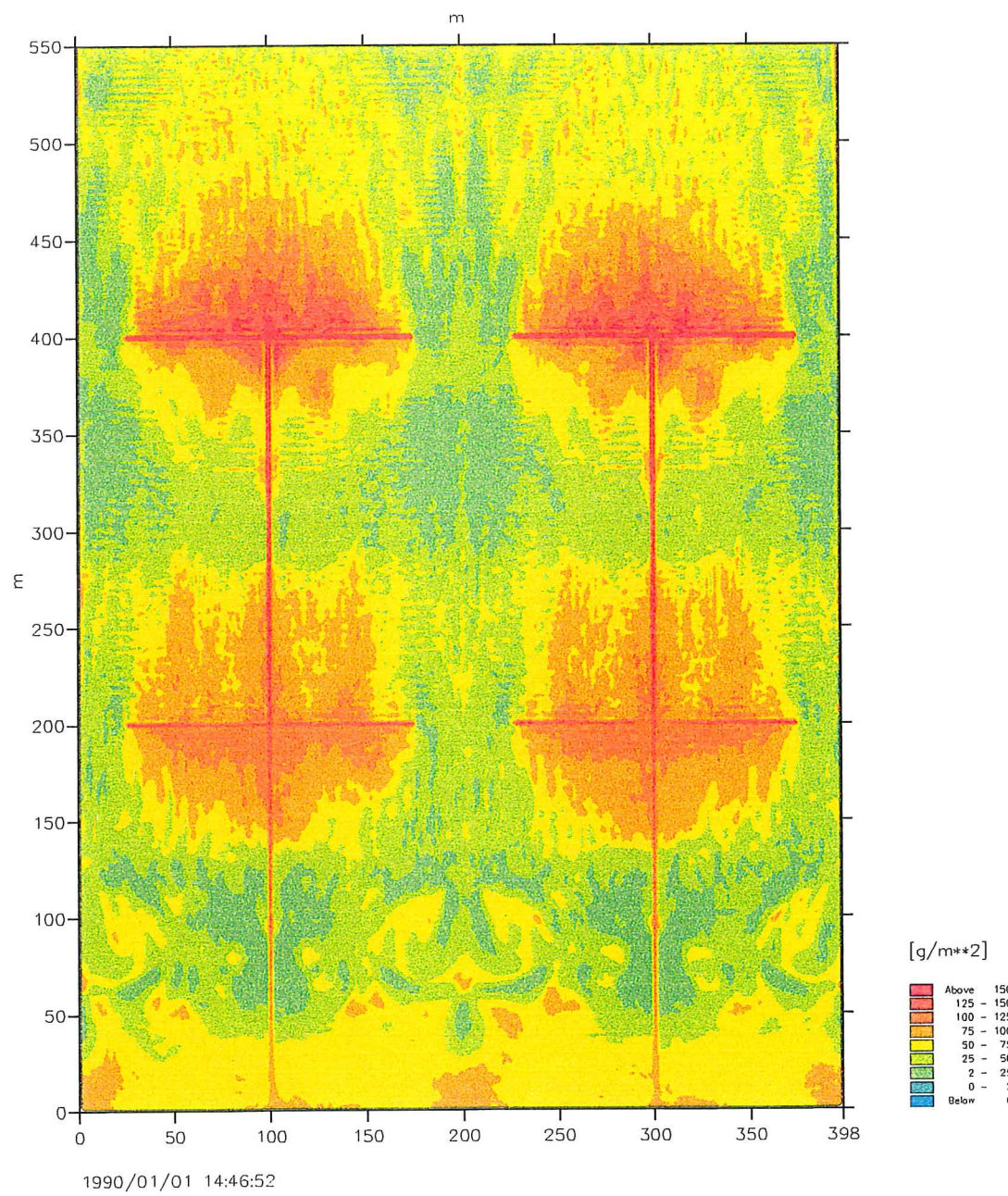
Anlage 8-75a1: Strömungsgeschwindigkeiten in y- und x-Richtung  
an den Referenzpunkten P1 bis P4 in der Variante m\_10 (vgl. Taf. 8.6)



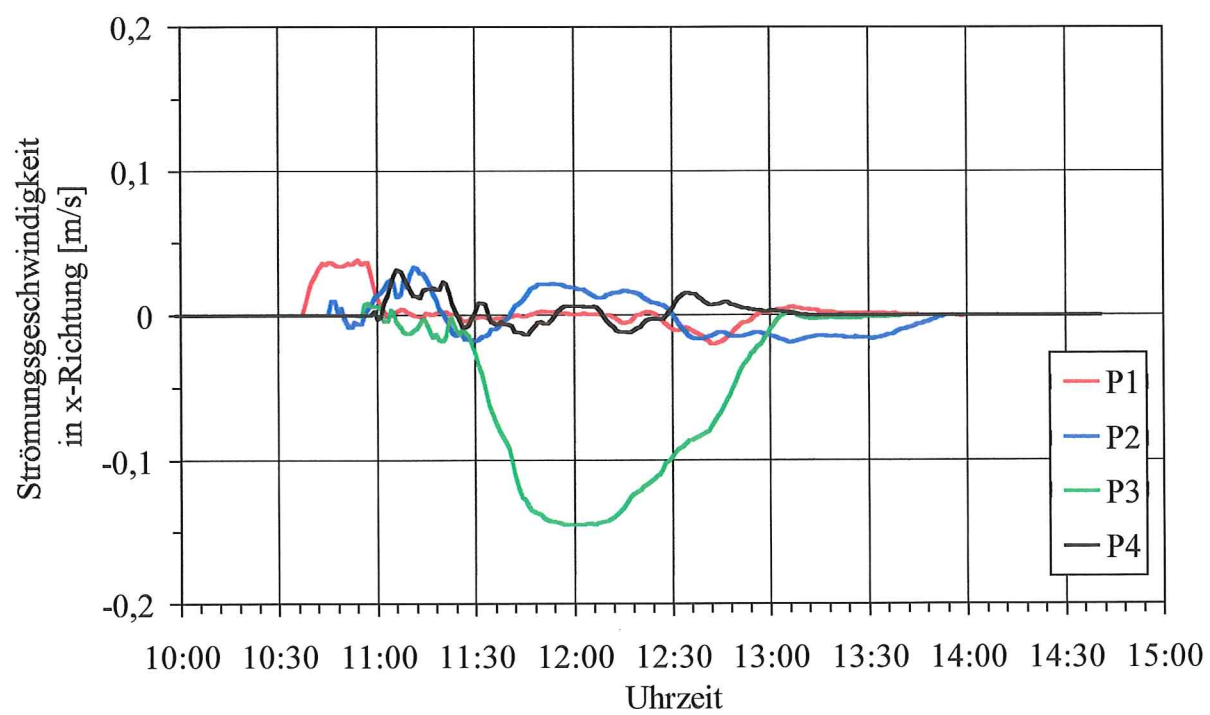
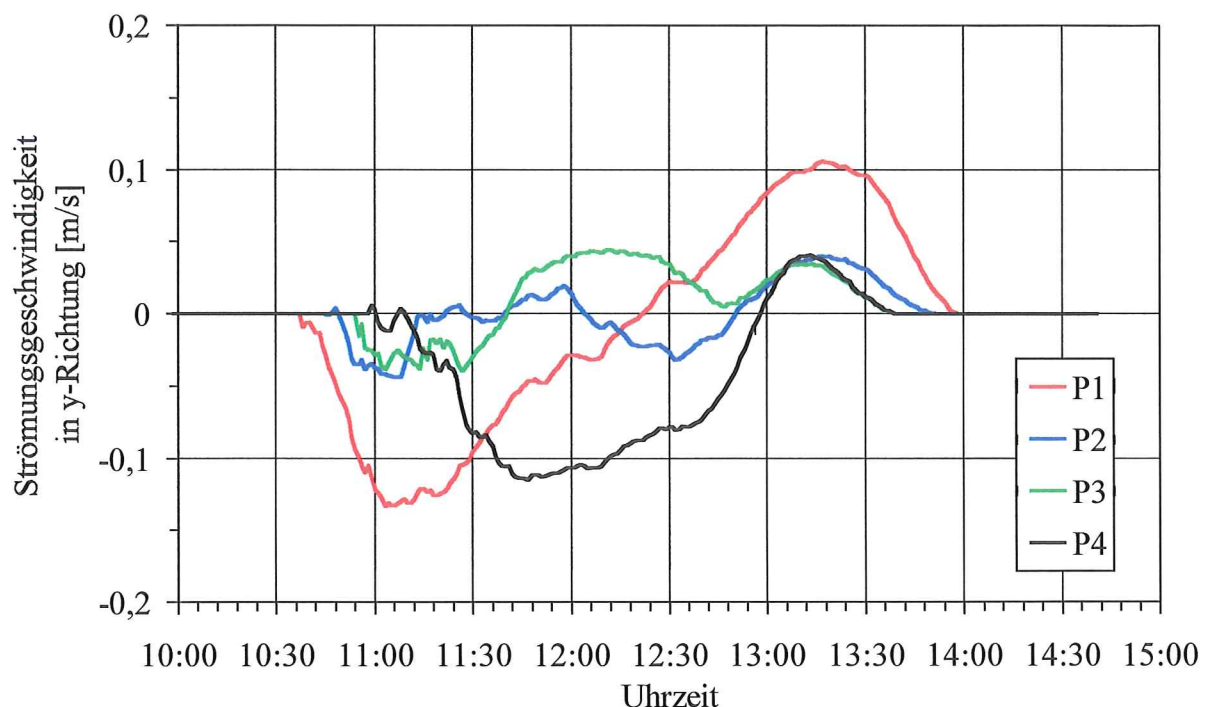
Anlage 8-75a2: Strömungsgeschwindigkeiten in y- und x-Richtung  
an den Referenzpunkten P5 bis P8 in der Variante m\_10 (vgl. Taf. 8.6)



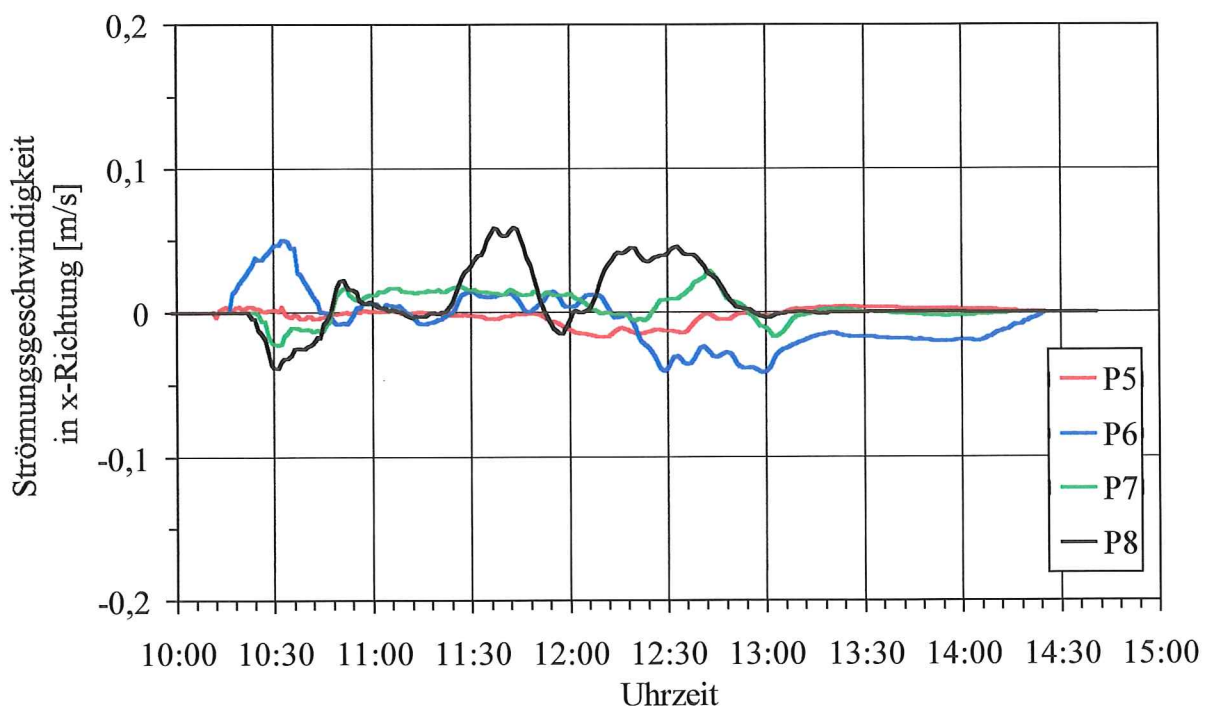
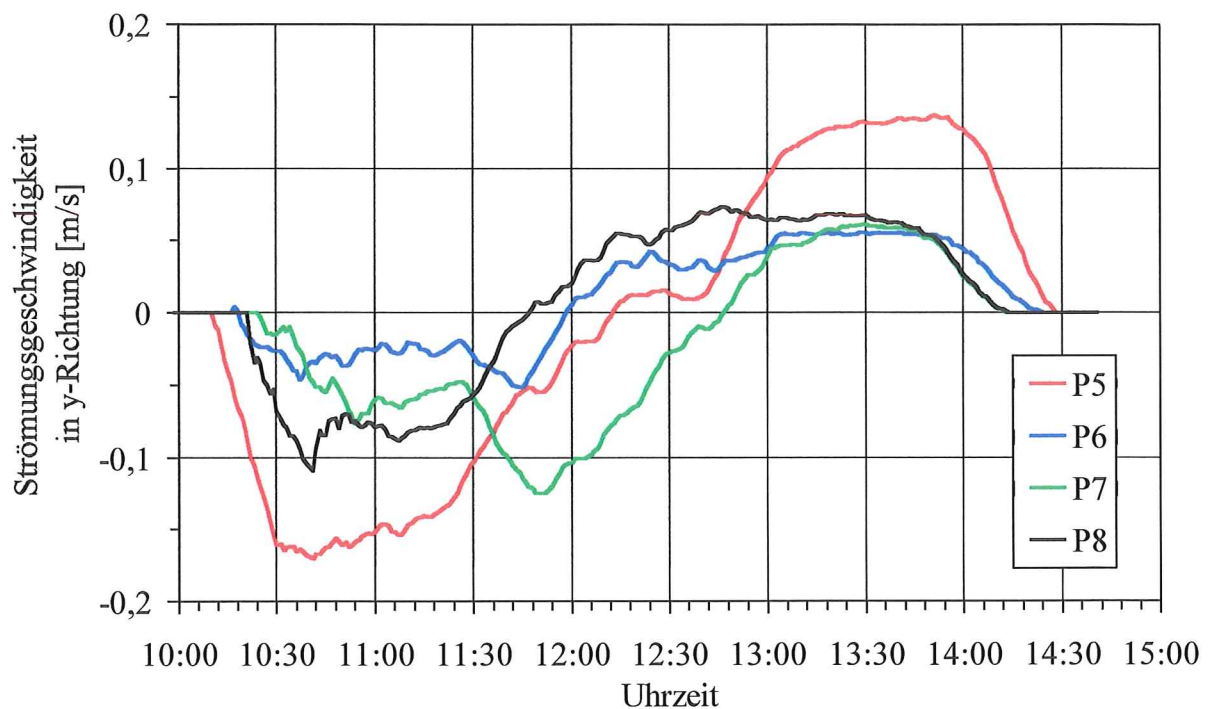
Anlage 8-75b: Sedimentationen und Erosionen im Verlaufe einer Tide  
an den Referenzpunkten P1 bis P4 und P5 bis P8  
in der Variante m\_10 (vgl. Taf. 8.6)



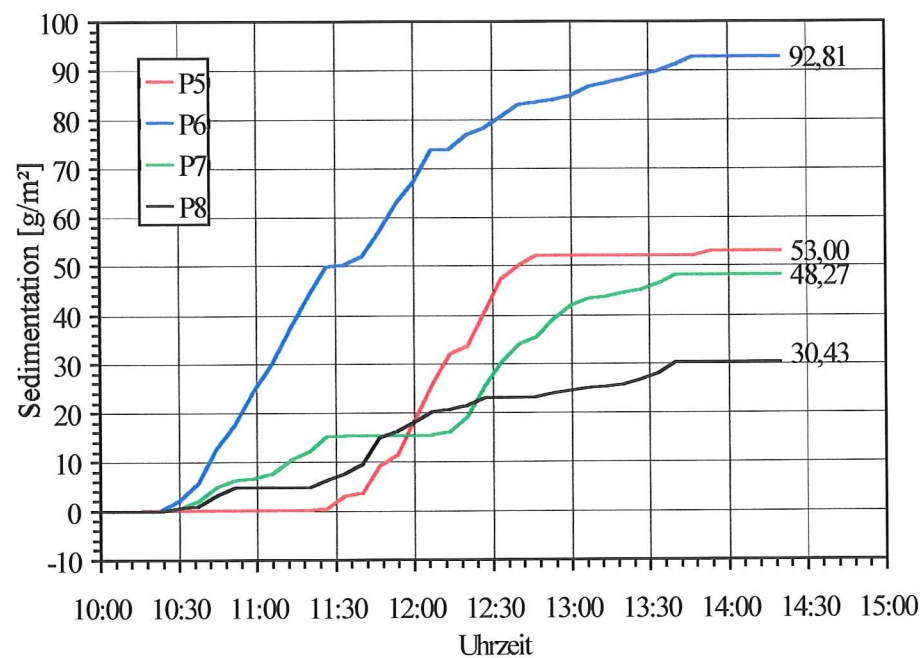
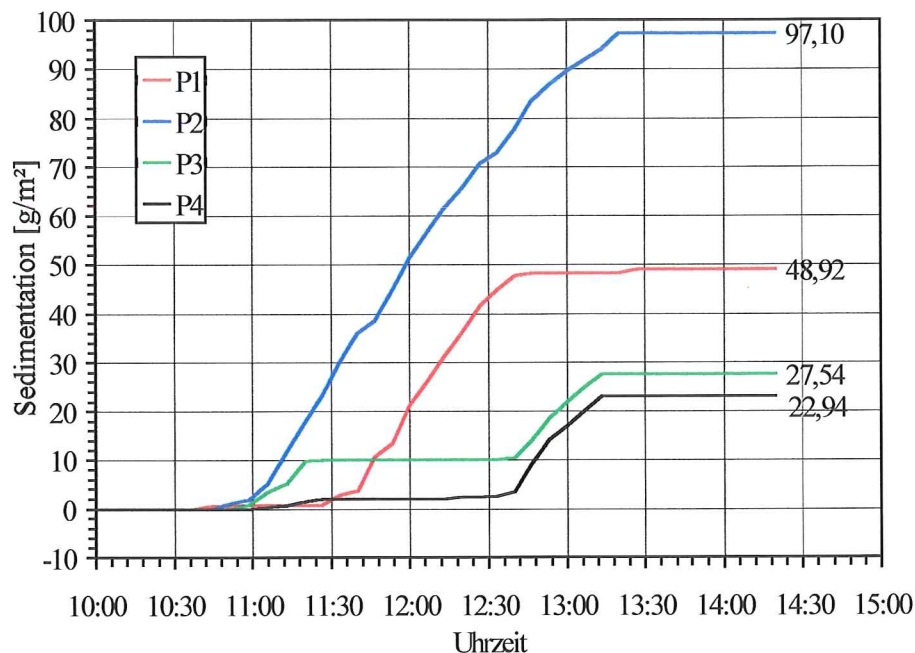
Anlage 8-75c: Sedimentation und Erosion nach Ablauf einer Tide  
im gesamten Simulationsbereich in der Variante m\_10 (vgl. Taf. 8.6)



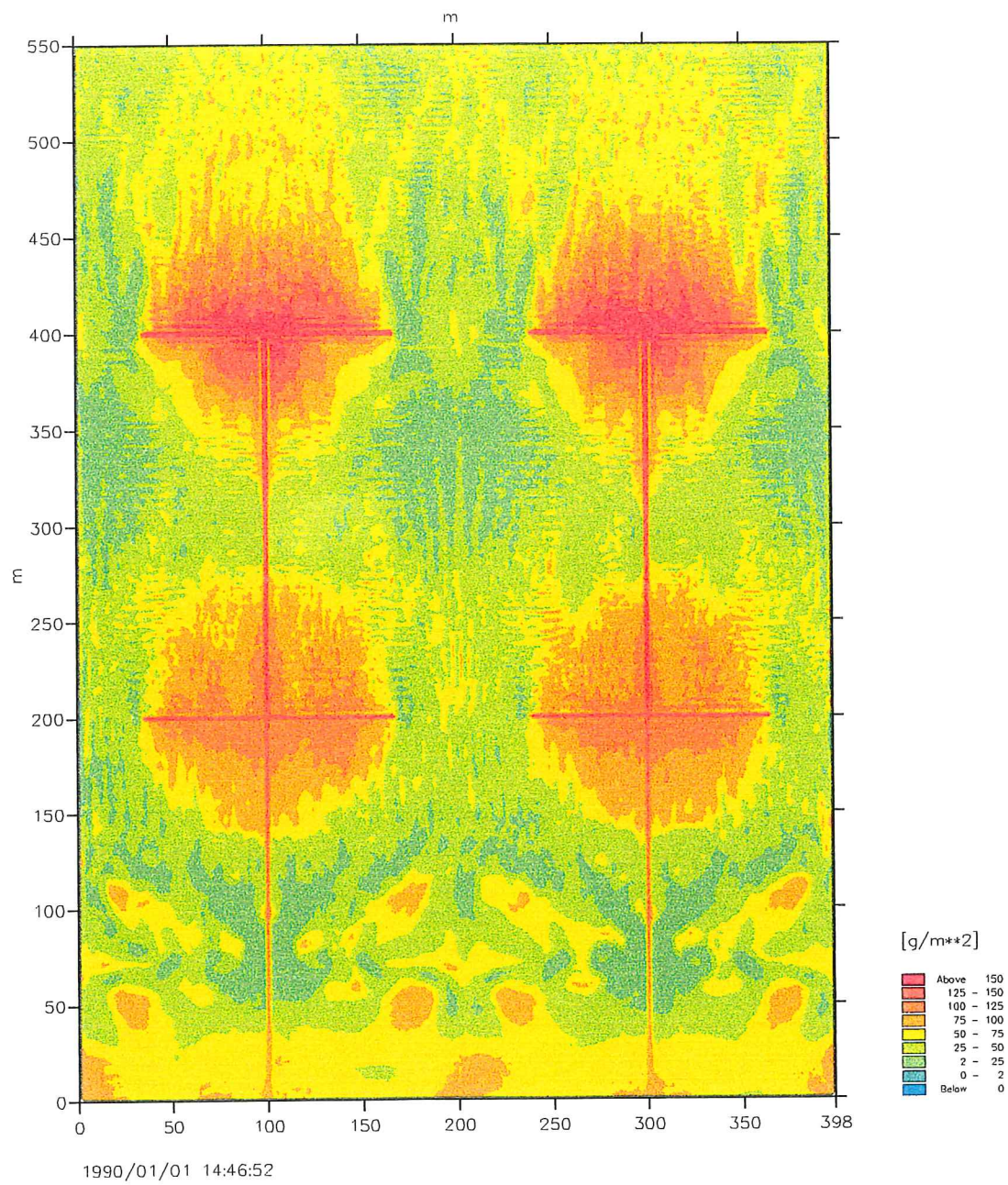
Anlage 8-76a1: Strömungsgeschwindigkeiten in y- und x-Richtung  
an den Referenzpunkten P1 bis P4 in der Variante m\_11 (vgl. Taf. 8.6)



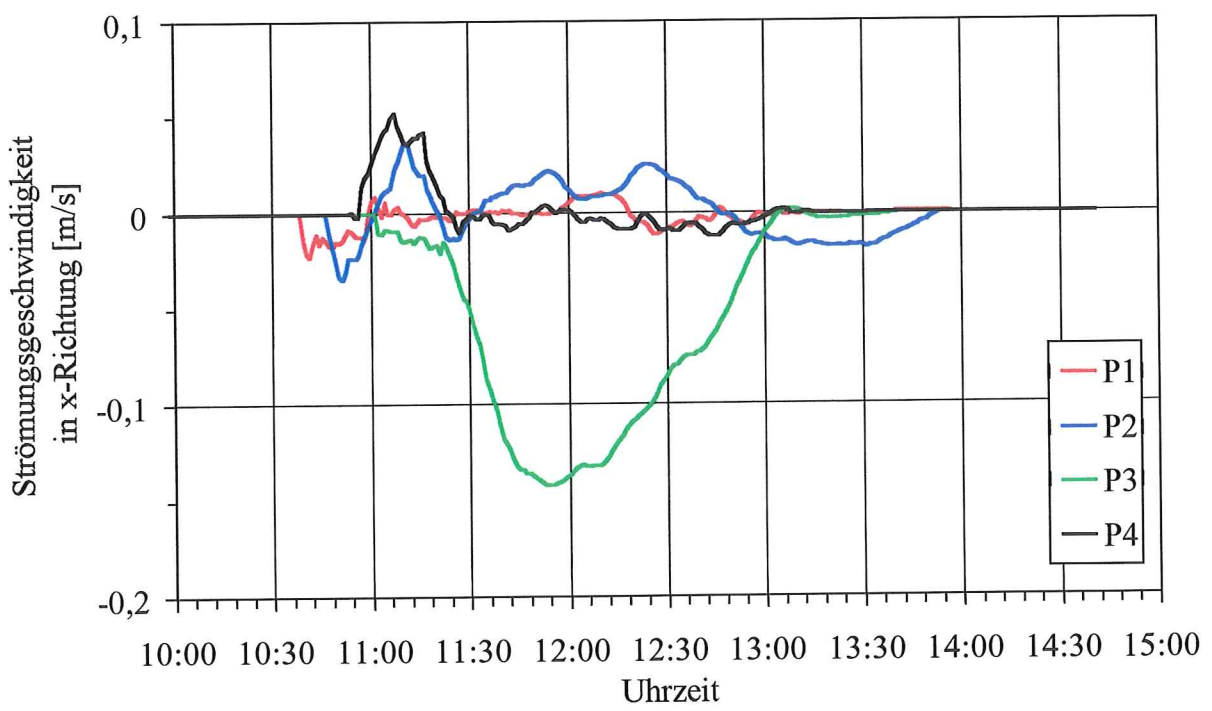
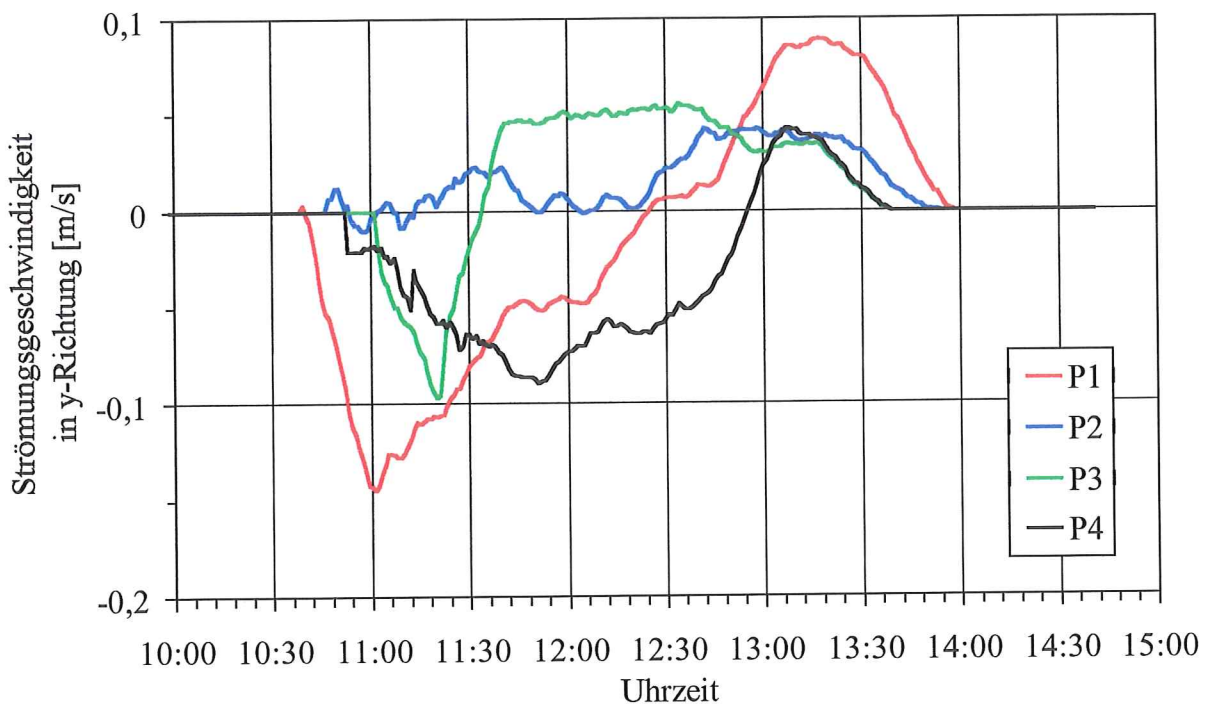
Anlage 8-76a2: Strömungsgeschwindigkeiten in y- und x-Richtung  
an den Referenzpunkten P5 bis P8 in der Variante m\_11 (vgl. Taf. 8.6)



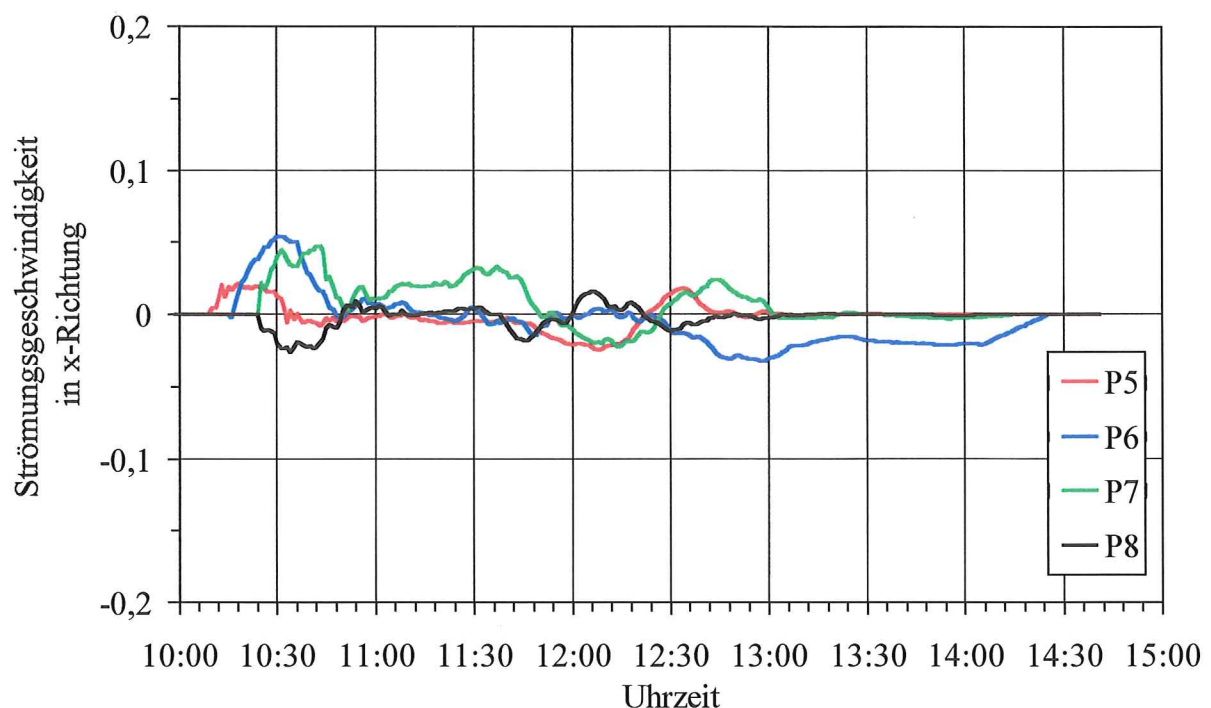
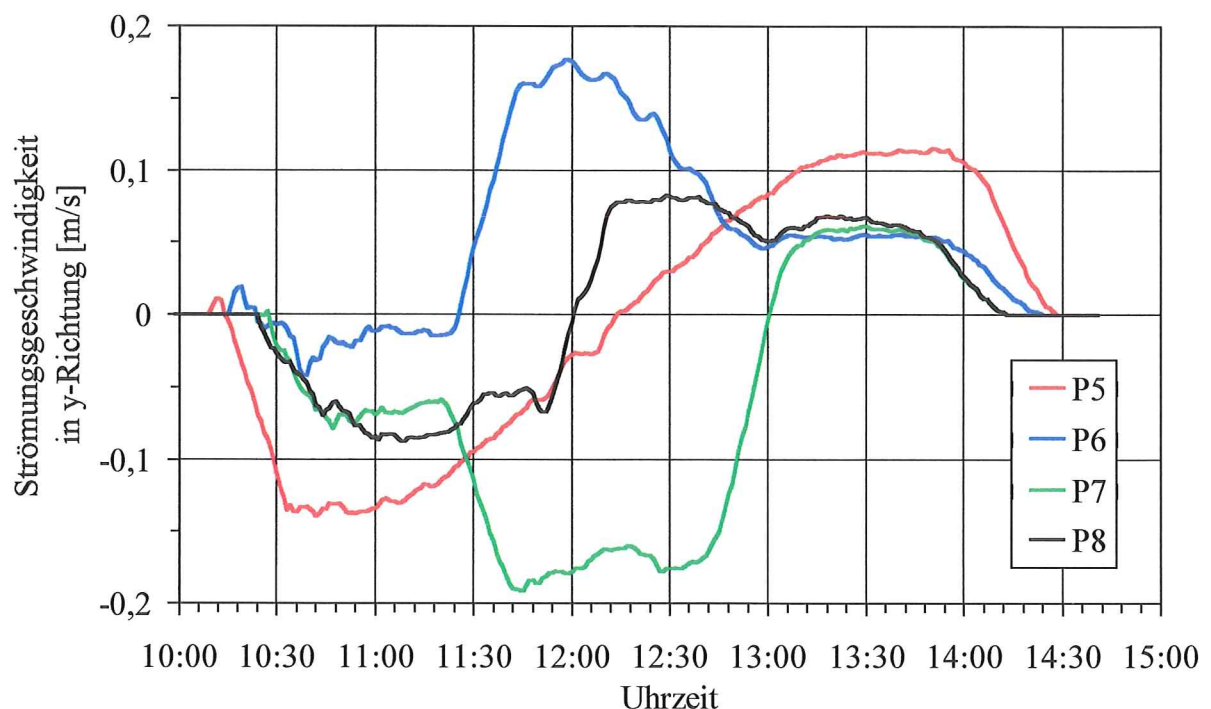
Anlage 8-76b: Sedimentationen und Erosionen im Verlaufe einer Tide  
an den Referenzpunkten P1 bis P4 und P5 bis P8  
in der Variante m\_11 (vgl. Taf. 8.6)



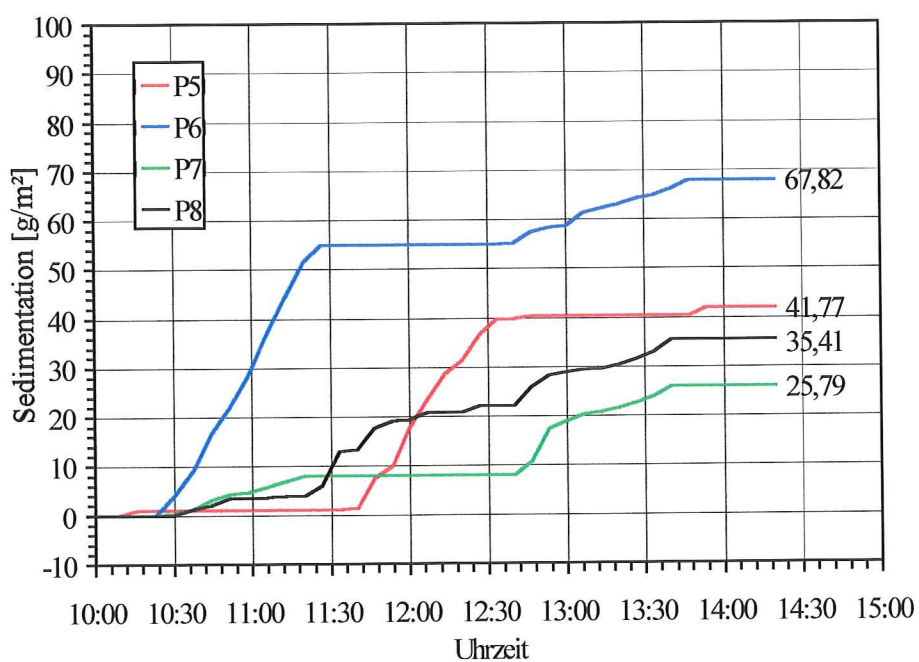
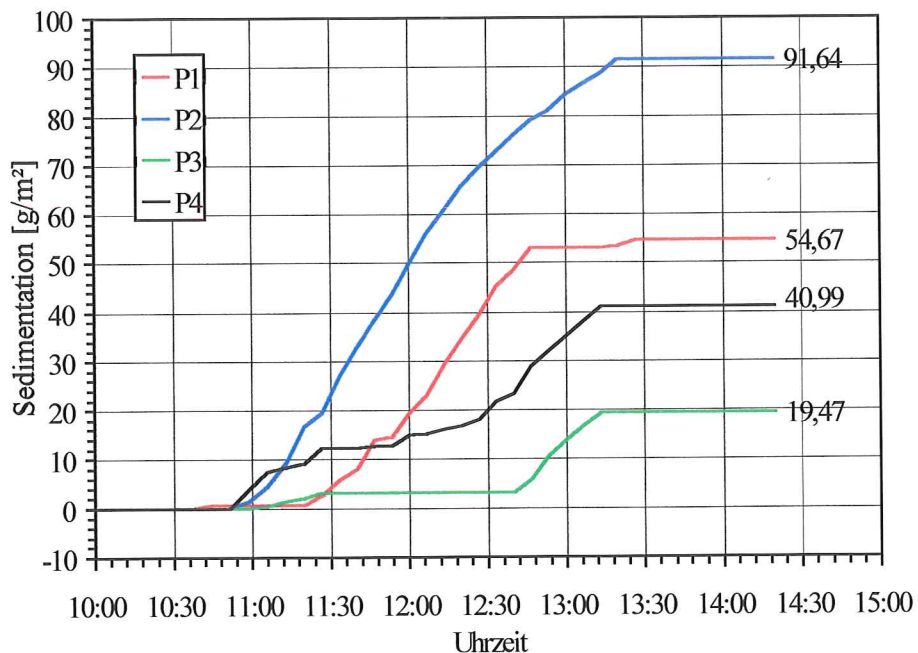
Anlage 8-76c: Sedimentation und Erosion nach Ablauf einer Tide  
im gesamten Simulationsbereich in der Variante m\_11 (vgl. Taf. 8.6)



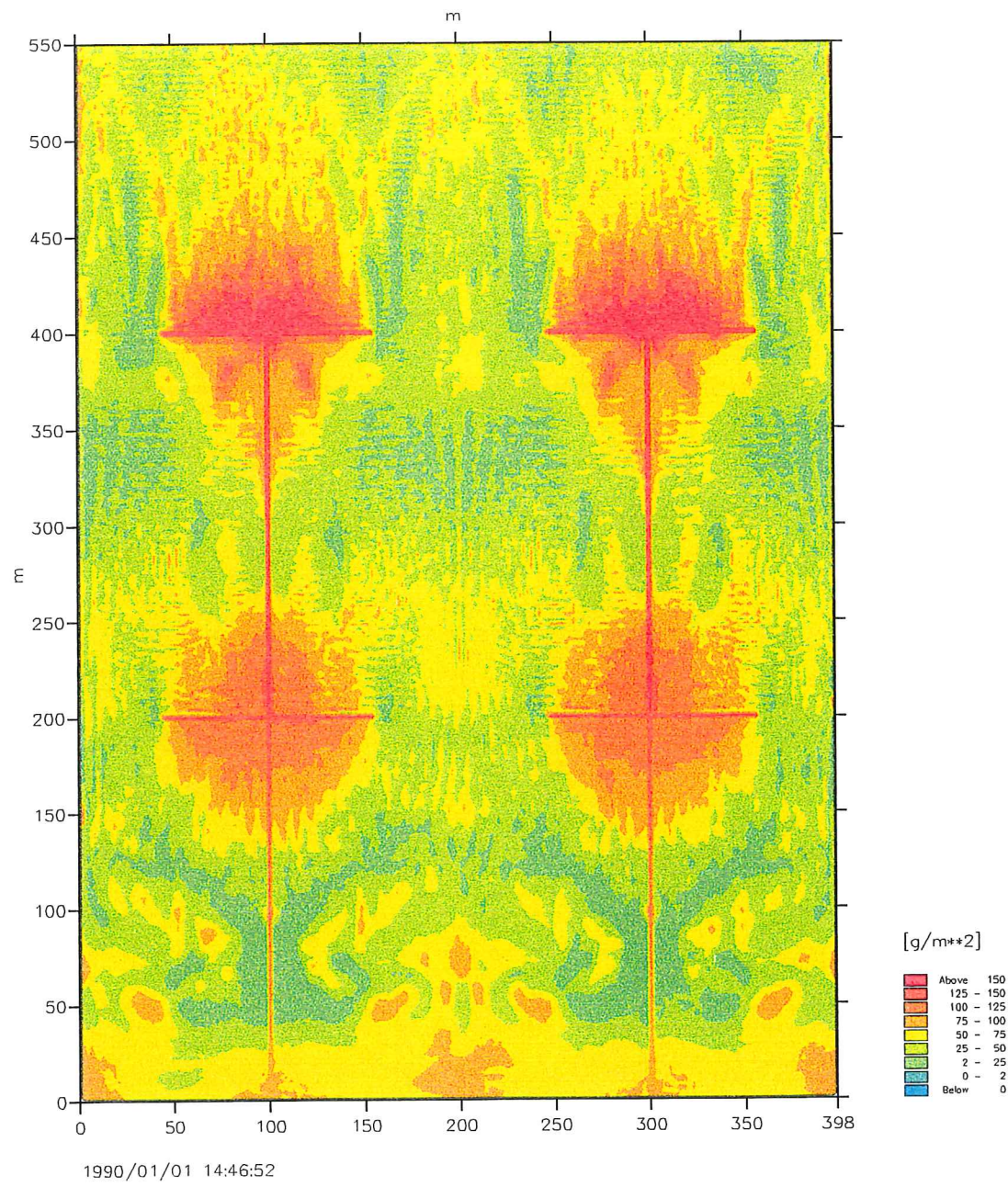
Anlage 8-77a1: Strömungsgeschwindigkeiten in y- und x-Richtung  
an den Referenzpunkten P1 bis P4 in der Variante m\_12 (vgl. Taf. 8.6)



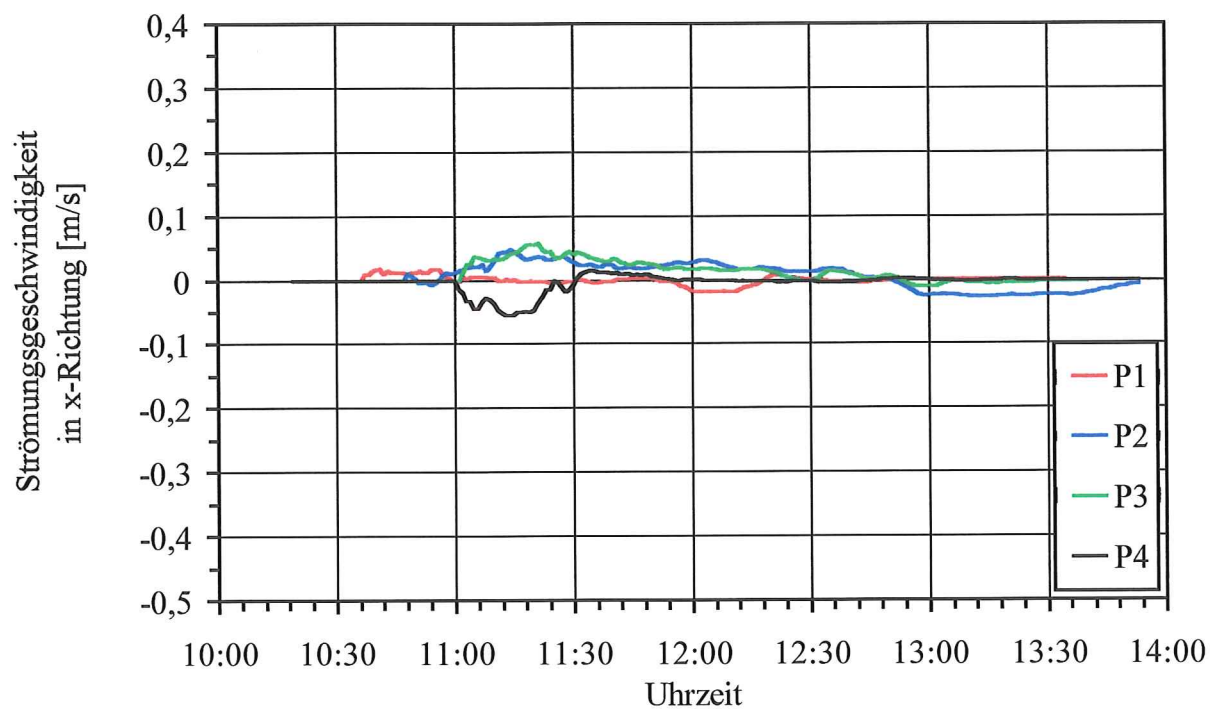
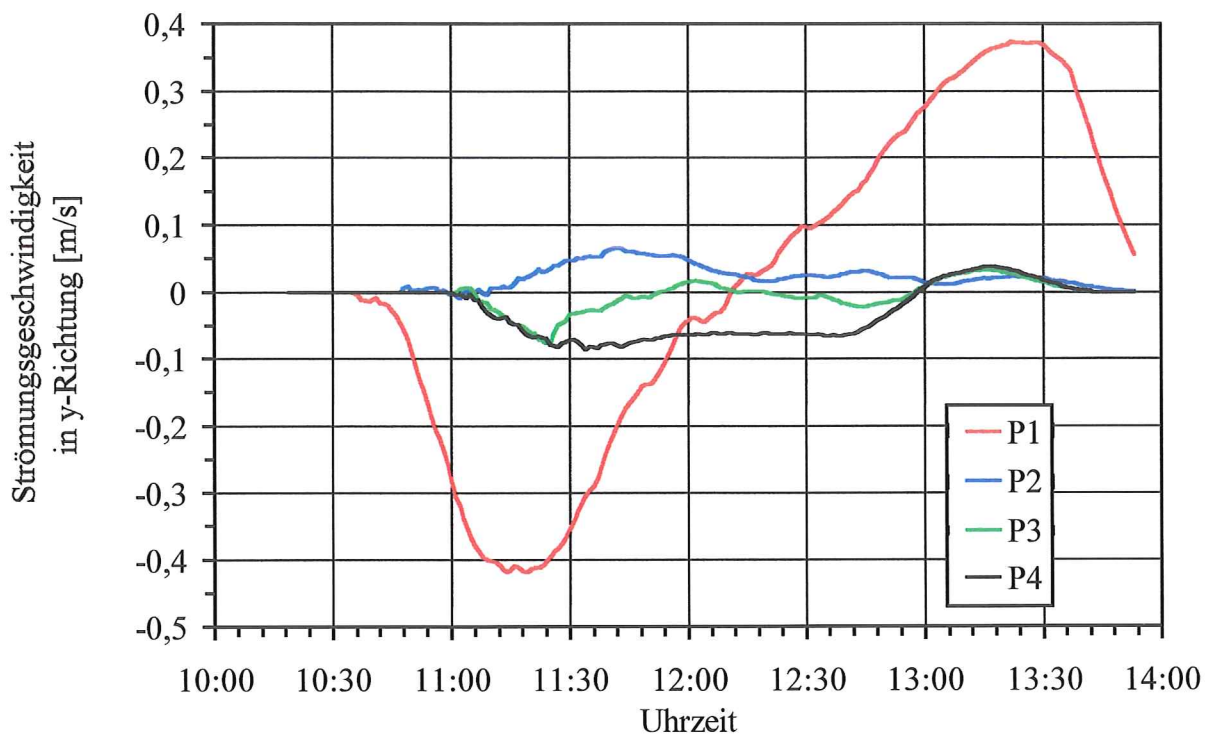
Anlage 8-77a2: Strömungsgeschwindigkeiten in y- und x-Richtung  
an den Referenzpunkten P5 bis P8 in der Variante m\_12 (vgl. Taf. 8.6)



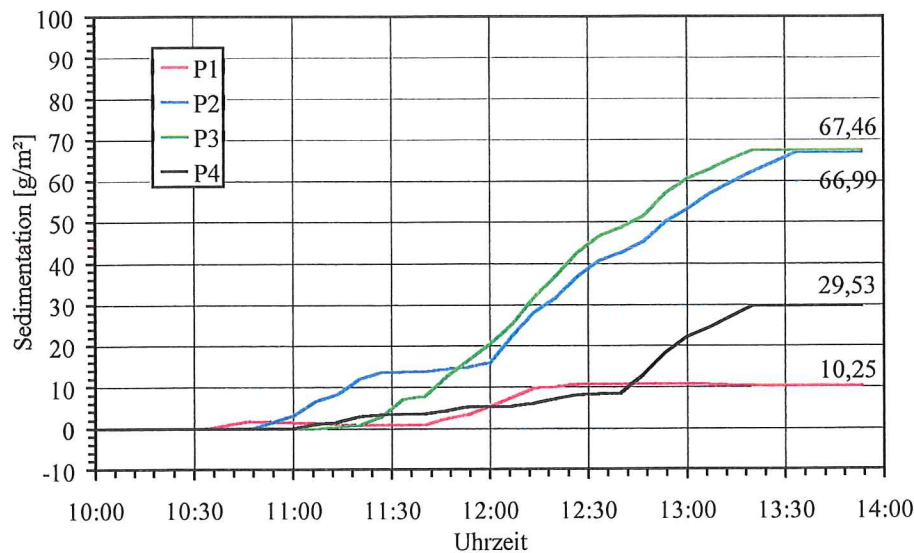
Anlage 8-77b: Sedimentationen und Erosionen im Verlaufe einer Tide  
an den Referenzpunkten P1 bis P4 und P5 bis P8  
in der Variante m\_12 (vgl. Taf. 8.6)



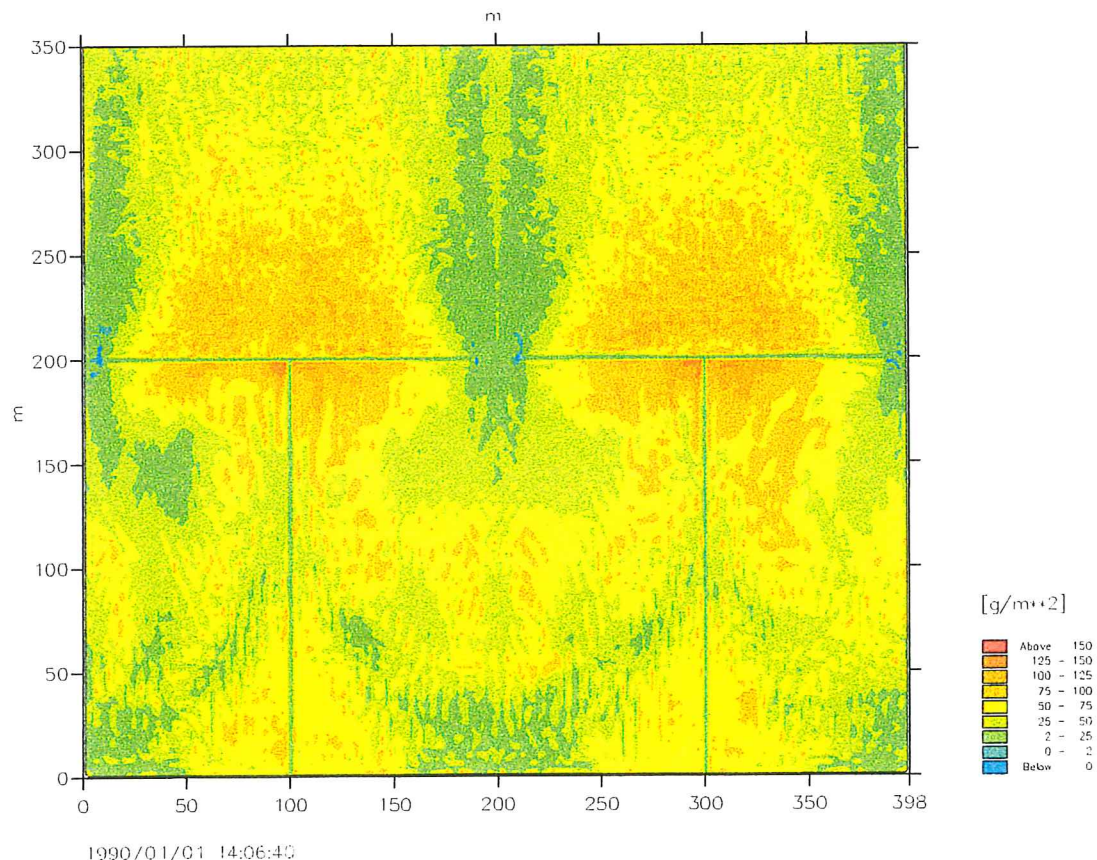
Anlage 8-77c: Sedimentation und Erosion nach Ablauf einer Tide  
im gesamten Simulationsbereich in der Variante m\_12 (vgl. Taf. 8.6)



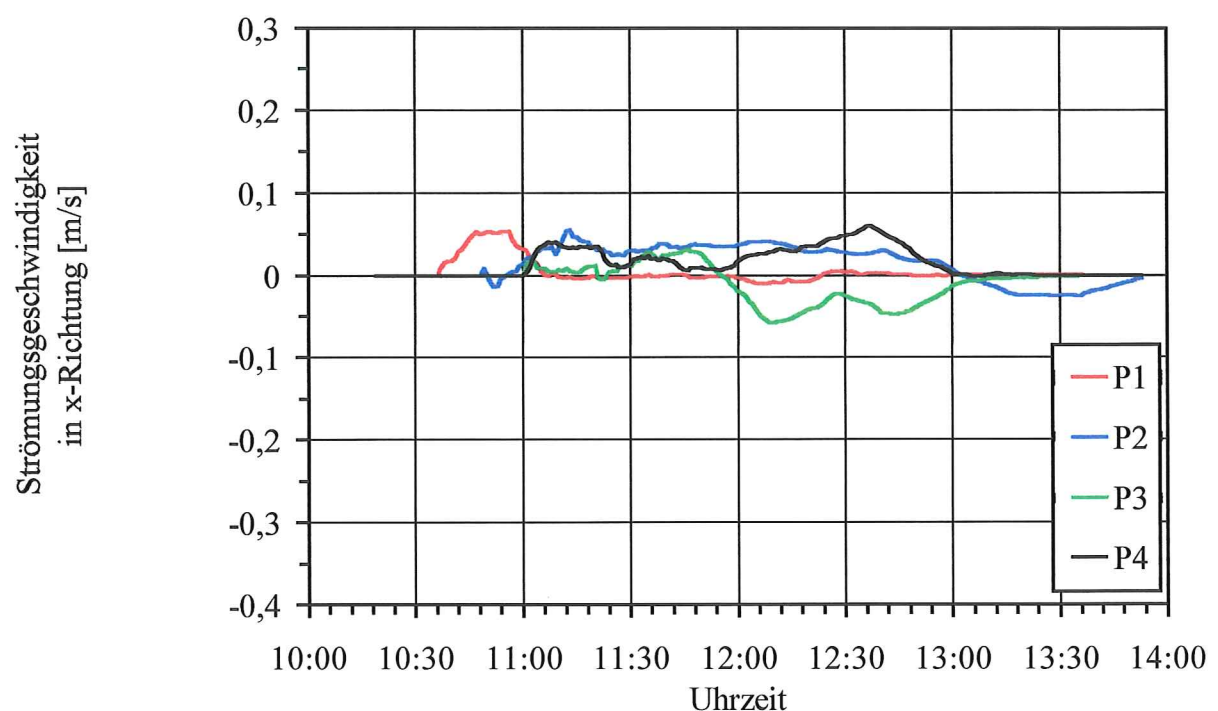
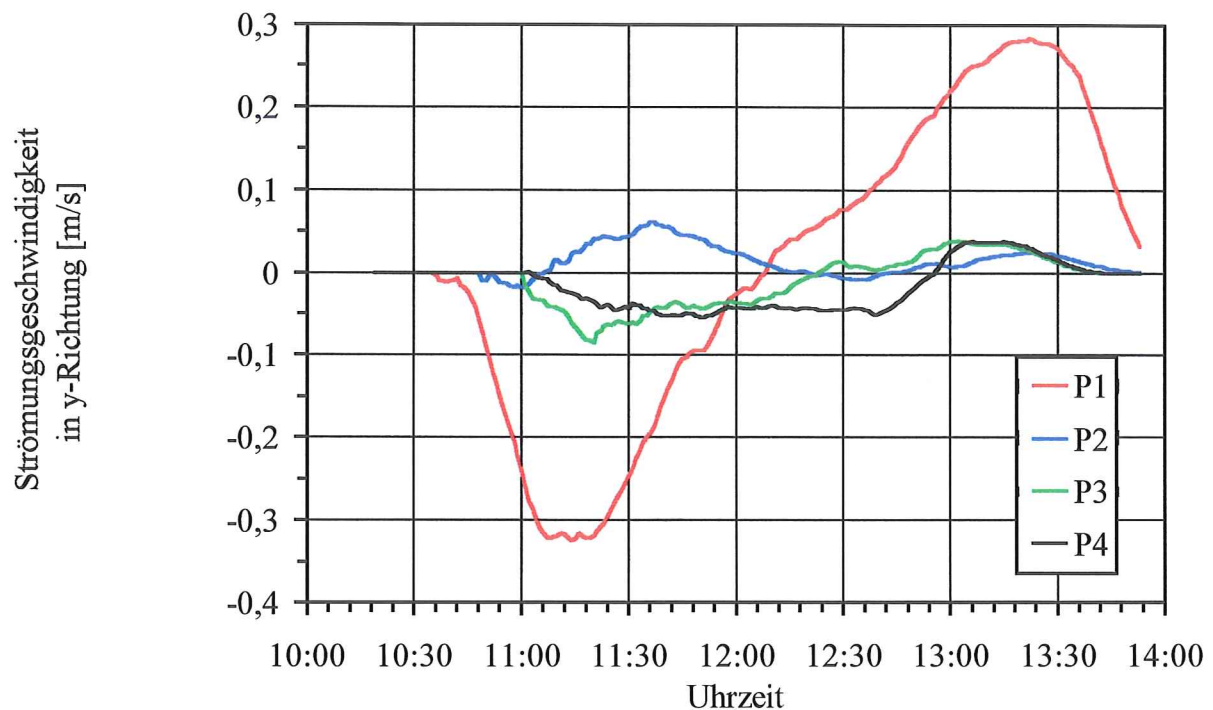
Anlage 8-78a: Strömungsgeschwindigkeiten in y- und x- Richtung  
an den Referenzpunkten P1 bis P4 in der Variante m\_13 (vgl. Taf. 8.6)



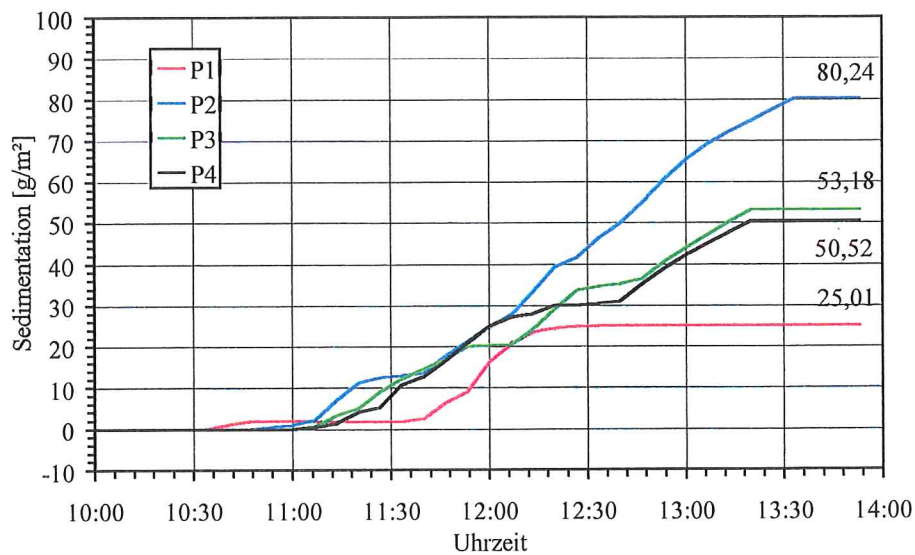
Anlage 8-78b: Sedimentationen und Erosionen im Verlaufe einer Tide an den Referenzpunkten P1 bis P4 in der Variante m\_13 (vgl. Taf. 8.6)



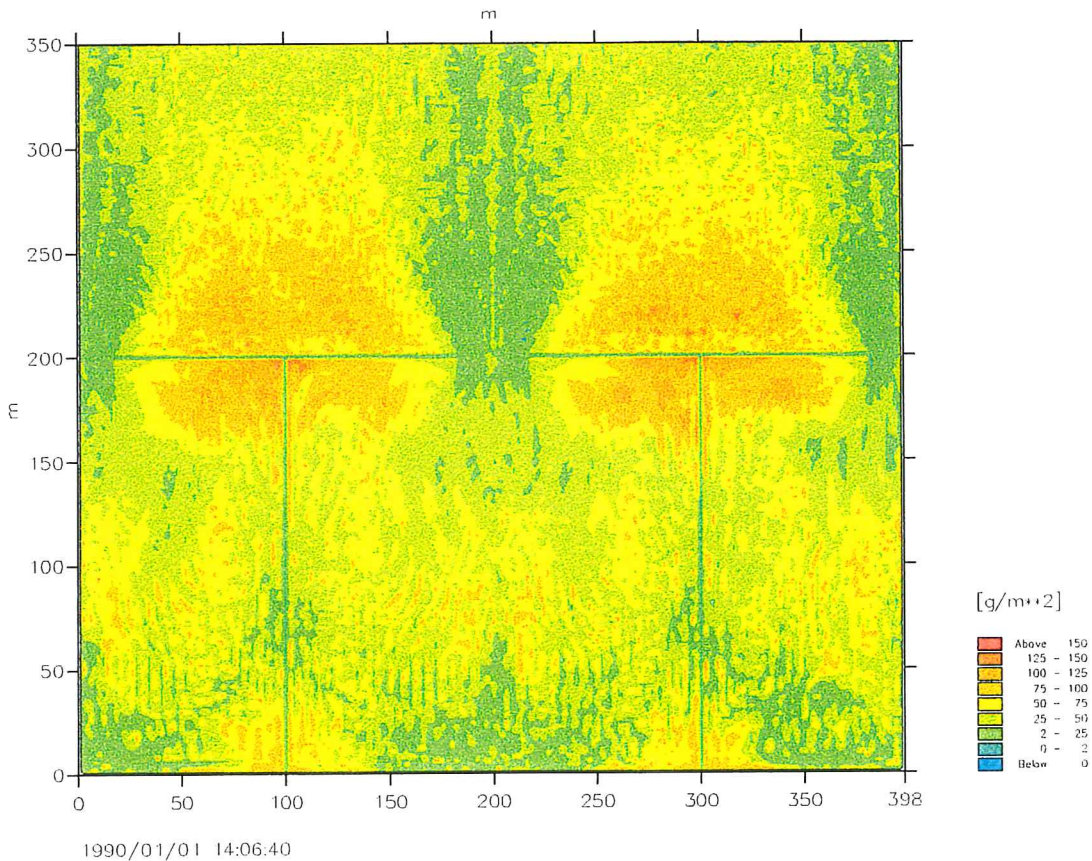
Anlage 8-78c: Sedimentation und Erosion nach Ablauf einer Tide im gesamten Simulationsbereich in der Variante m\_13 (vgl. Taf. 8.6)



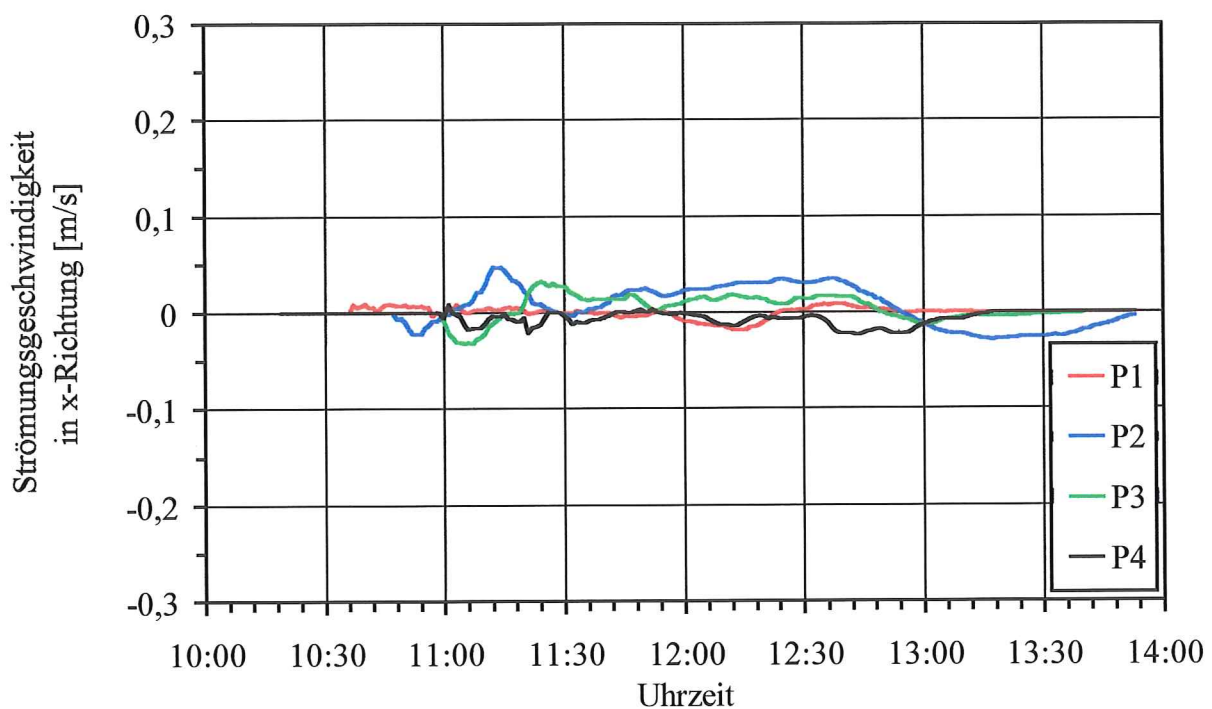
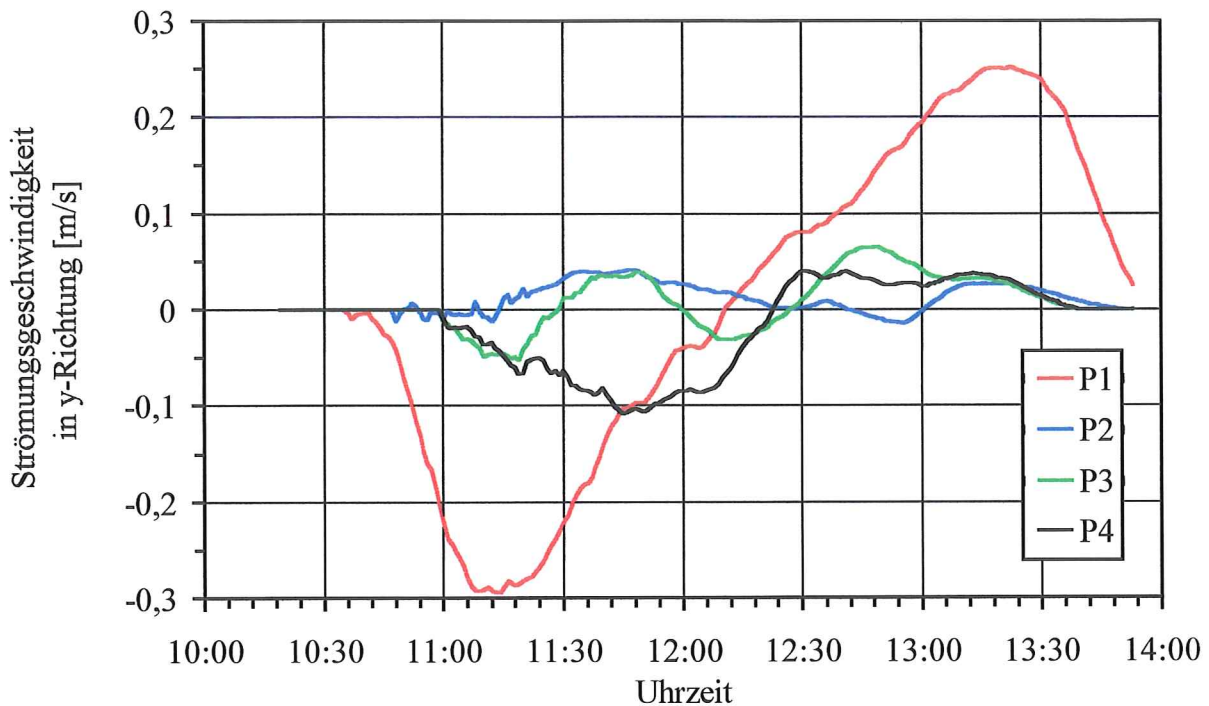
Anlage 8-79a: Strömungsgeschwindigkeiten in y- und x- Richtung  
an den Referenzpunkten P1 bis P4 in der Variante m\_14 (vgl. Taf. 8.6)



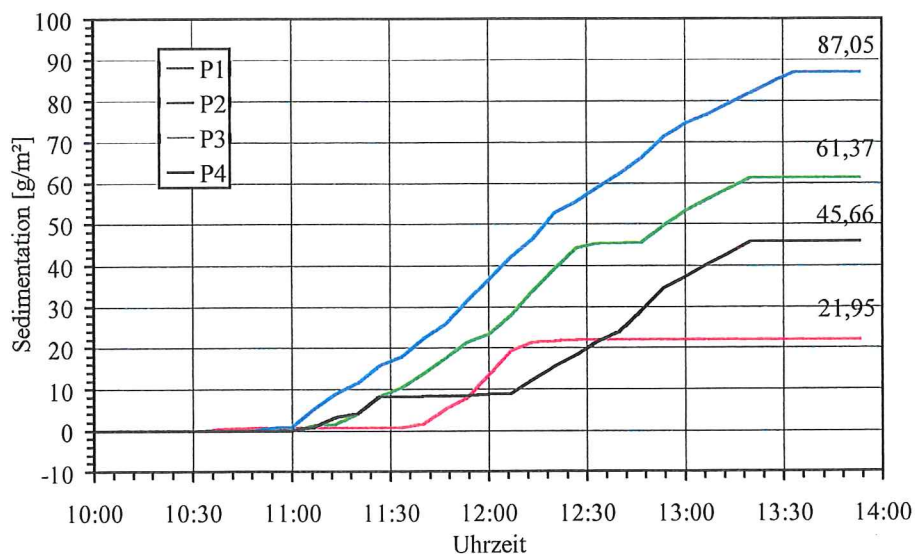
Anlage 8-79b: Sedimentationen und Erosionen im Verlaufe einer Tide an den Referenzpunkten P1 bis P4 in der Variante m\_14 (vgl. Taf. 8.6)



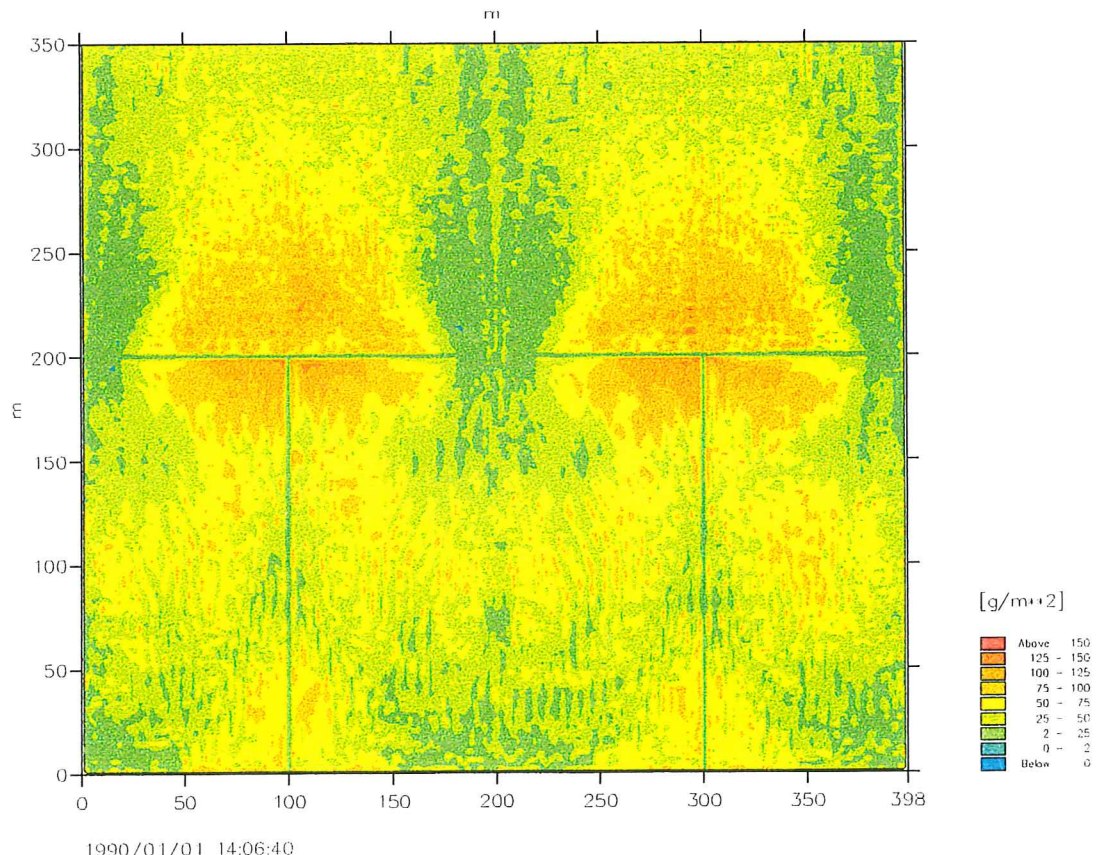
Anlage 8-79c: Sedimentation und Erosion nach Ablauf einer Tide im gesamten Simulationsbereich in der Variante m\_14 (vgl. Taf. 8.6)



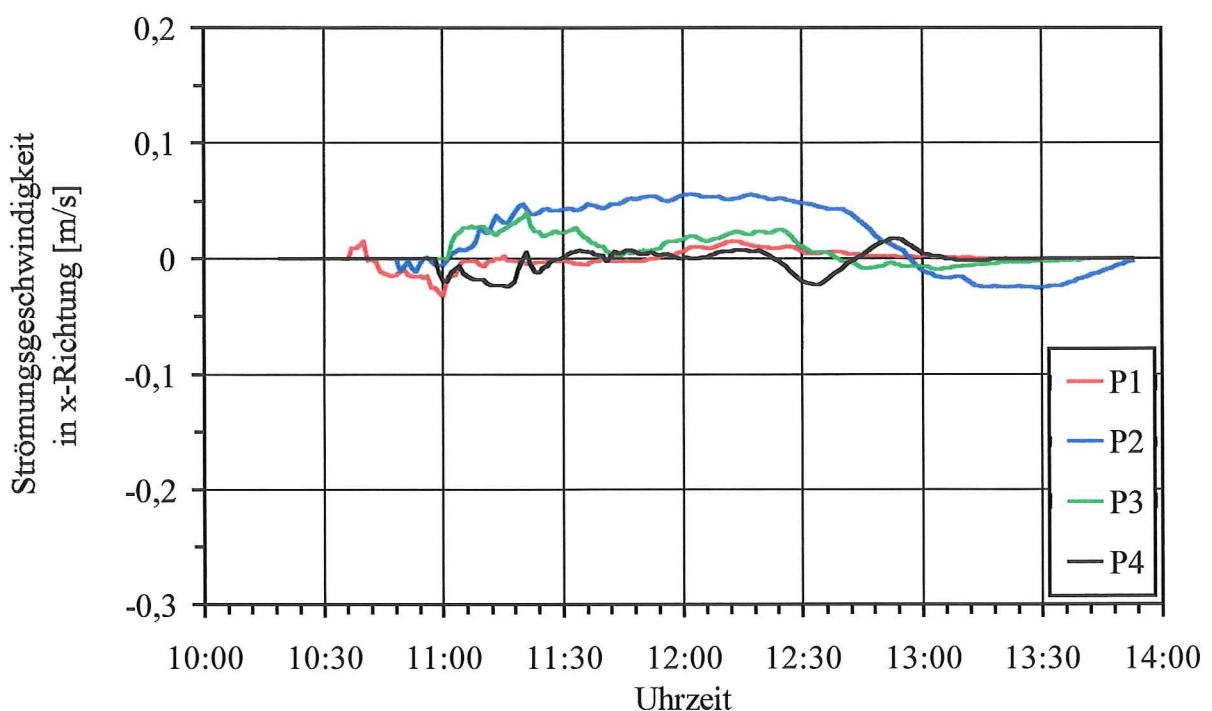
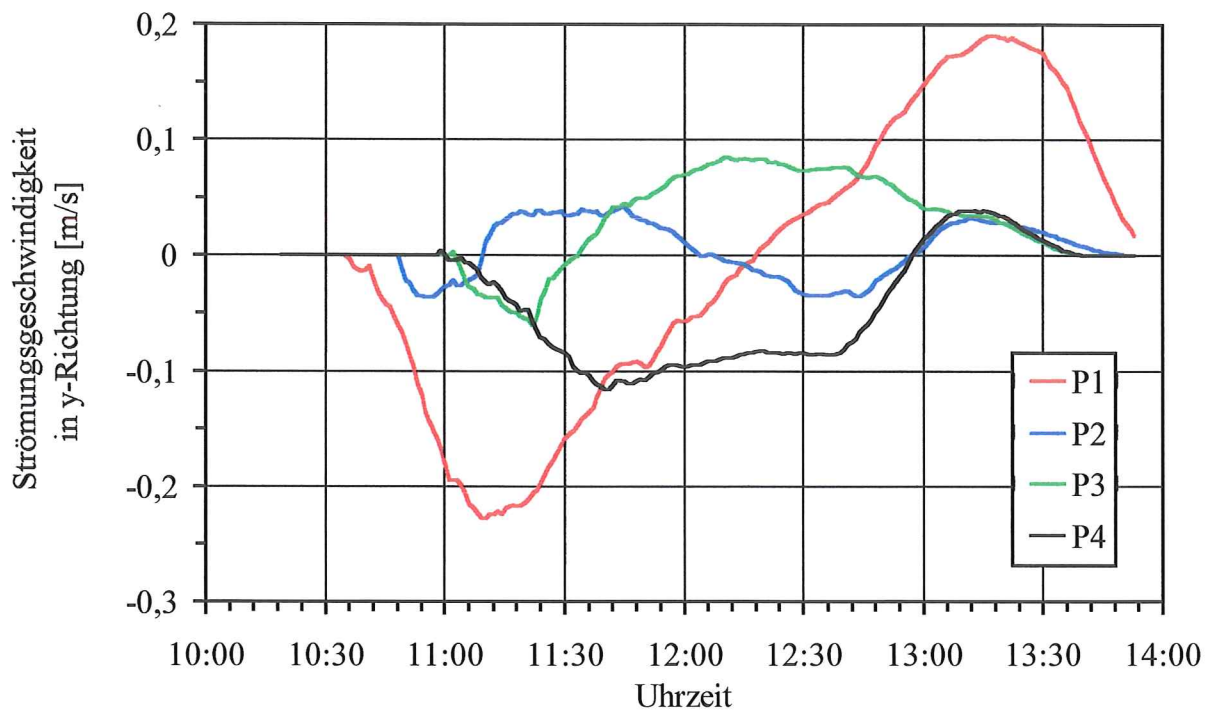
Anlage 8-80a: Strömungsgeschwindigkeiten in y- und x- Richtung  
an den Referenzpunkten P1 bis P4 in der Variante m\_15 (vgl. Taf. 8.6)



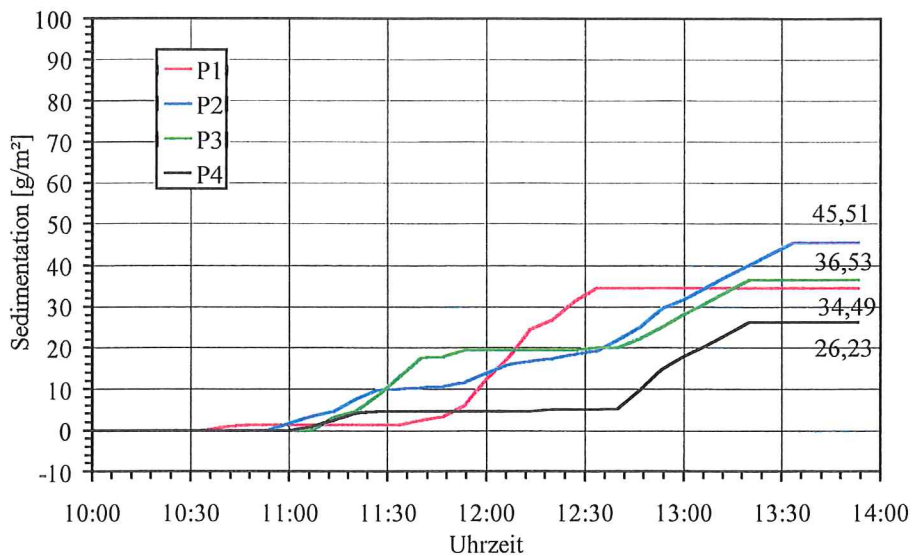
Anlage 8-80b: Sedimentationen und Erosionen im Verlaufe einer Tide an den Referenzpunkten P1 bis P4 in der Variante m\_15 (vgl. Taf. 8.6)



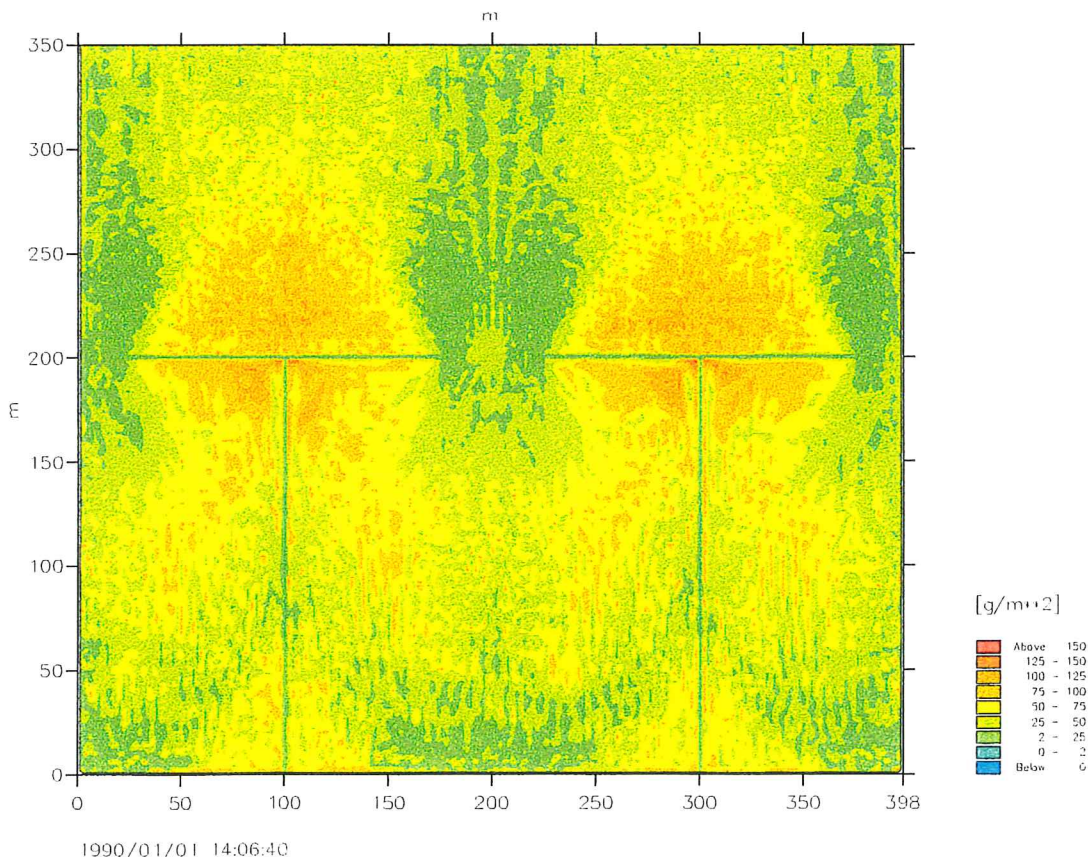
Anlage 8-80c: Sedimentation und Erosion nach Ablauf einer Tide im gesamten Simulationsbereich in der Variante m\_15 (vgl. Taf. 8.6)



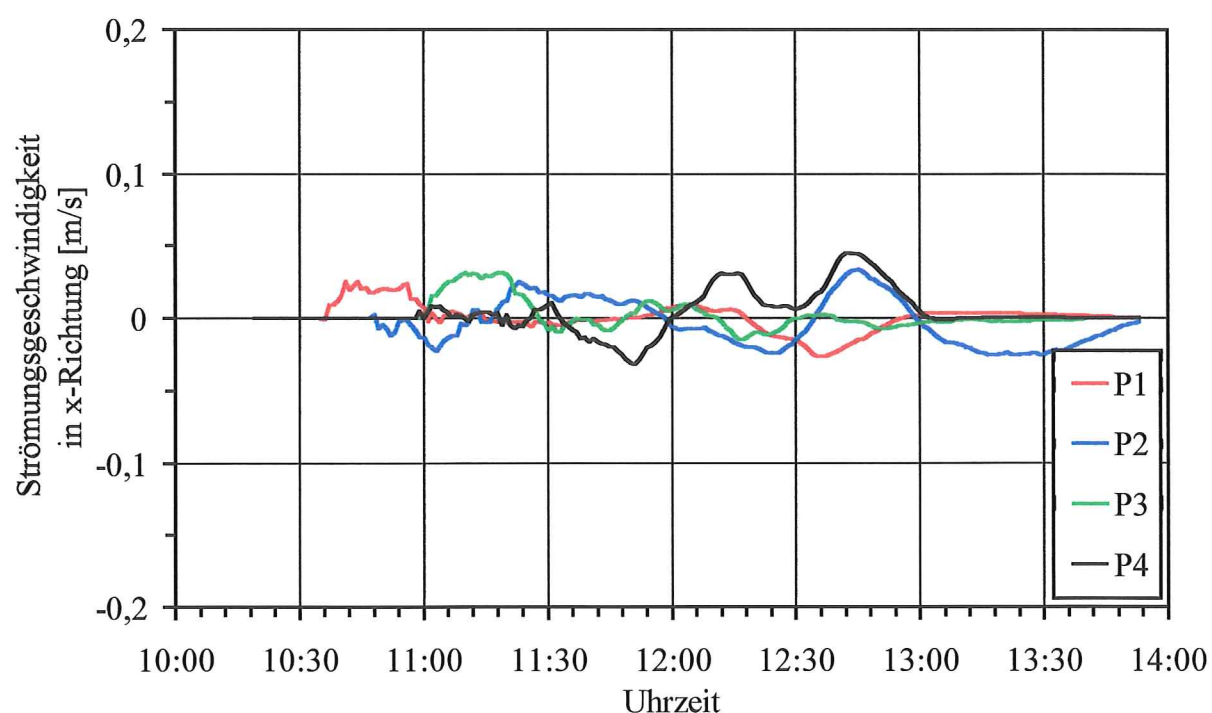
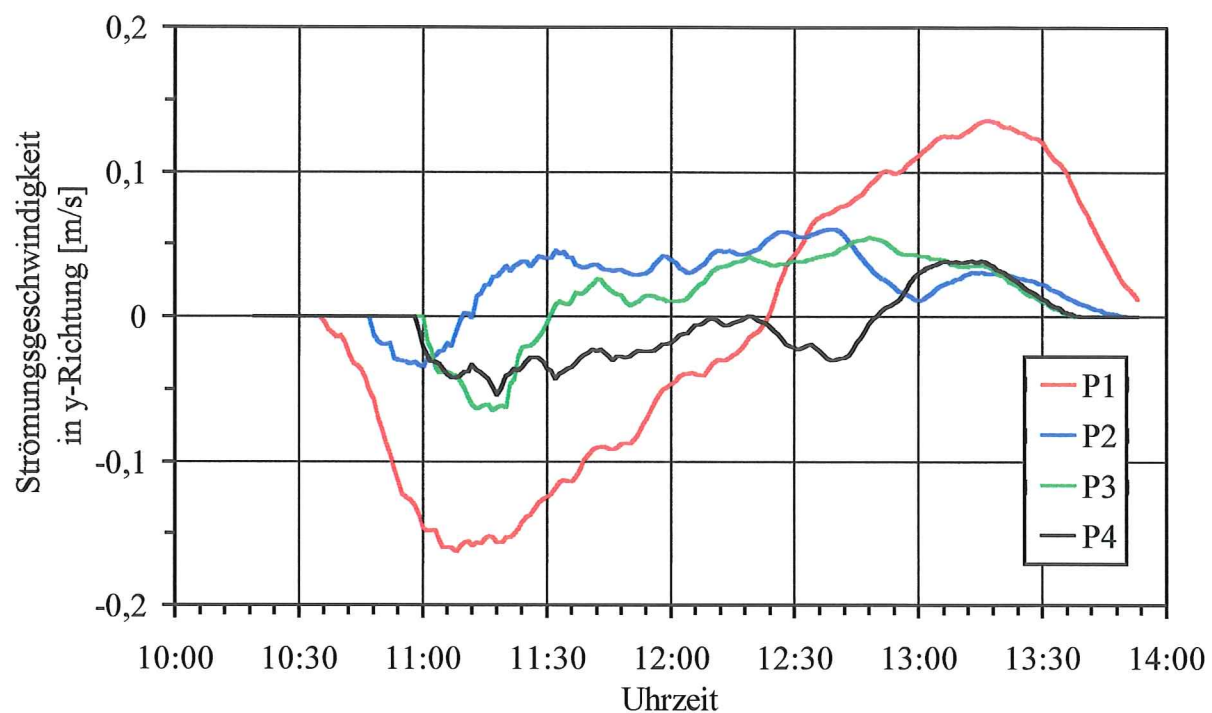
Anlage 8-81a: Strömungsgeschwindigkeiten in y- und x- Richtung  
an den Referenzpunkten P1 bis P4 in der Variante m\_16 (vgl. Taf. 8.6)



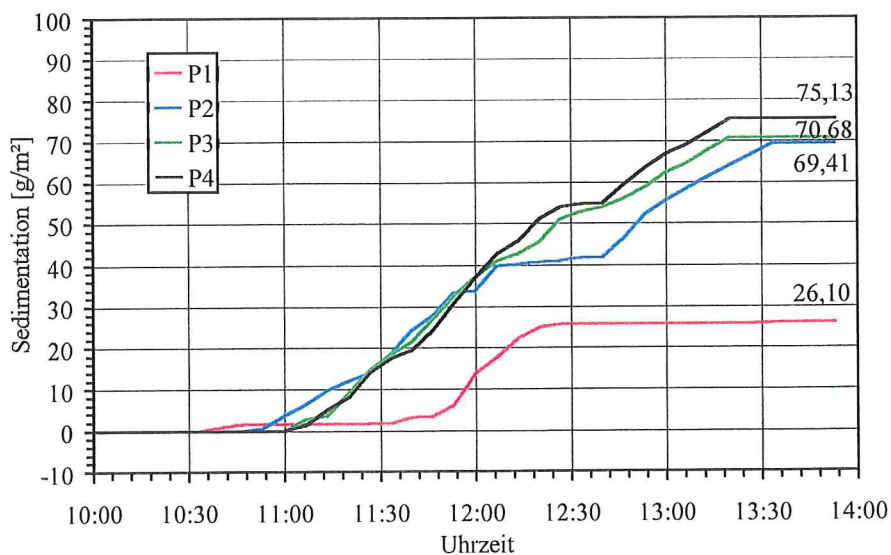
Anlage 8-81b: Sedimentationen und Erosionen im Verlaufe einer Tide an den Referenzpunkten P1 bis P4 in der Variante m\_16 (vgl. Taf. 8.6)



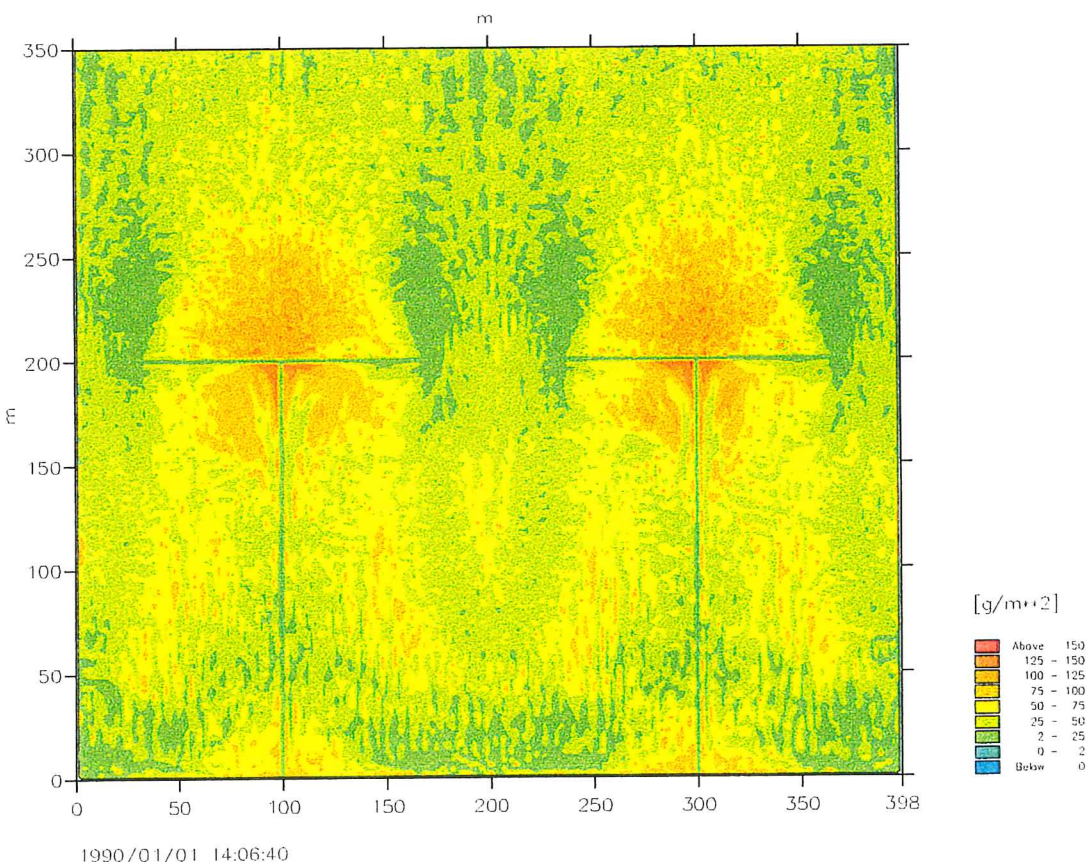
Anlage 8-81c: Sedimentation und Erosion nach Ablauf einer Tide im gesamten Simulationsbereich in der Variante m\_16 (vgl. Taf. 8.6)



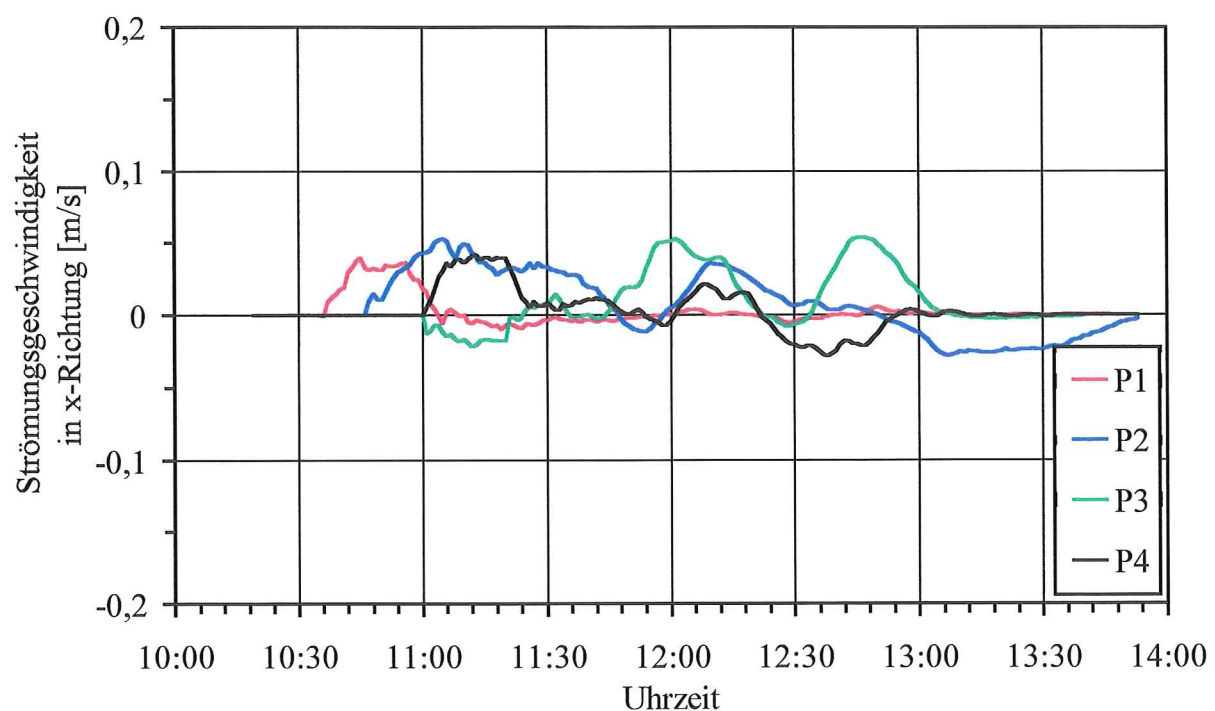
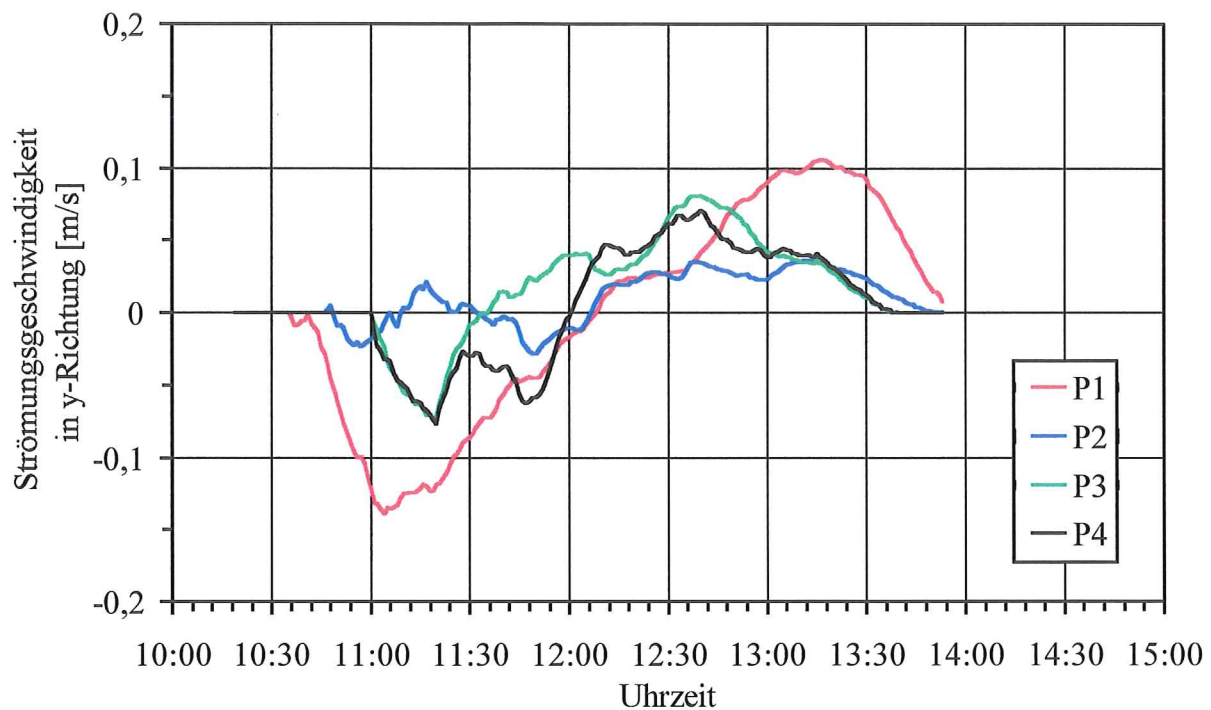
Anlage 8-82a: Strömungsgeschwindigkeiten in y- und x- Richtung  
an den Referenzpunkten P1 bis P4 in der Variante m\_17 (vgl. Taf. 8.6)



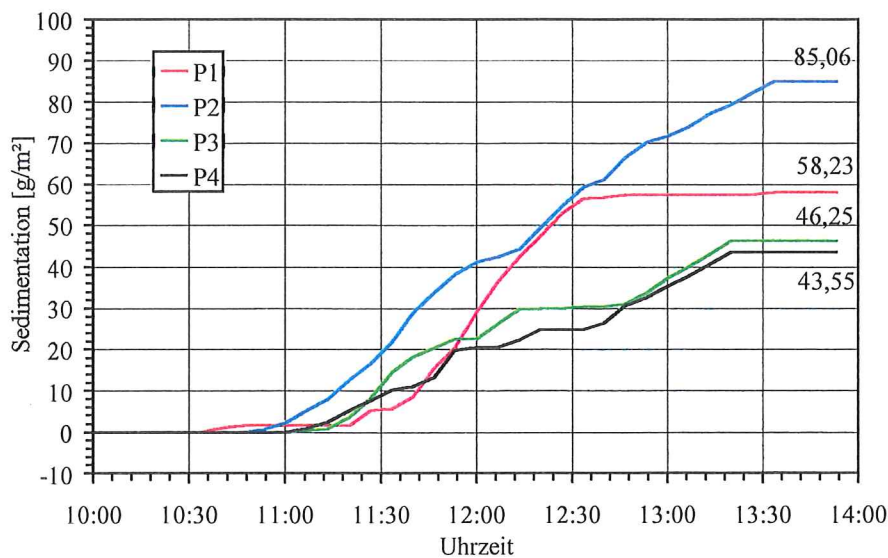
Anlage 8-82b: Sedimentationen und Erosionen im Verlaufe einer Tide an den Referenzpunkten P1 bis P4 in der Variante m\_17 (vgl. Taf. 8.6)



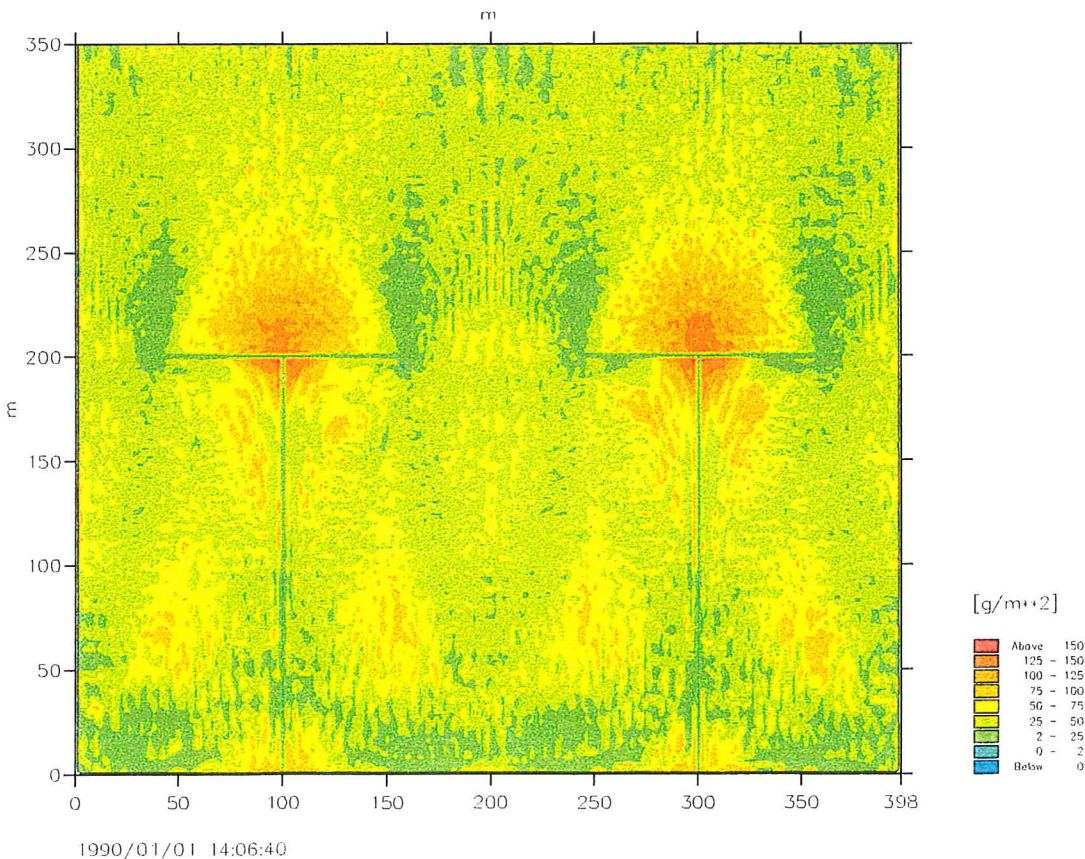
Anlage 8-82c: Sedimentation und Erosion nach Ablauf einer Tide im gesamten Simulationsbereich in der Variante m\_17 (vgl. Taf. 8.6)



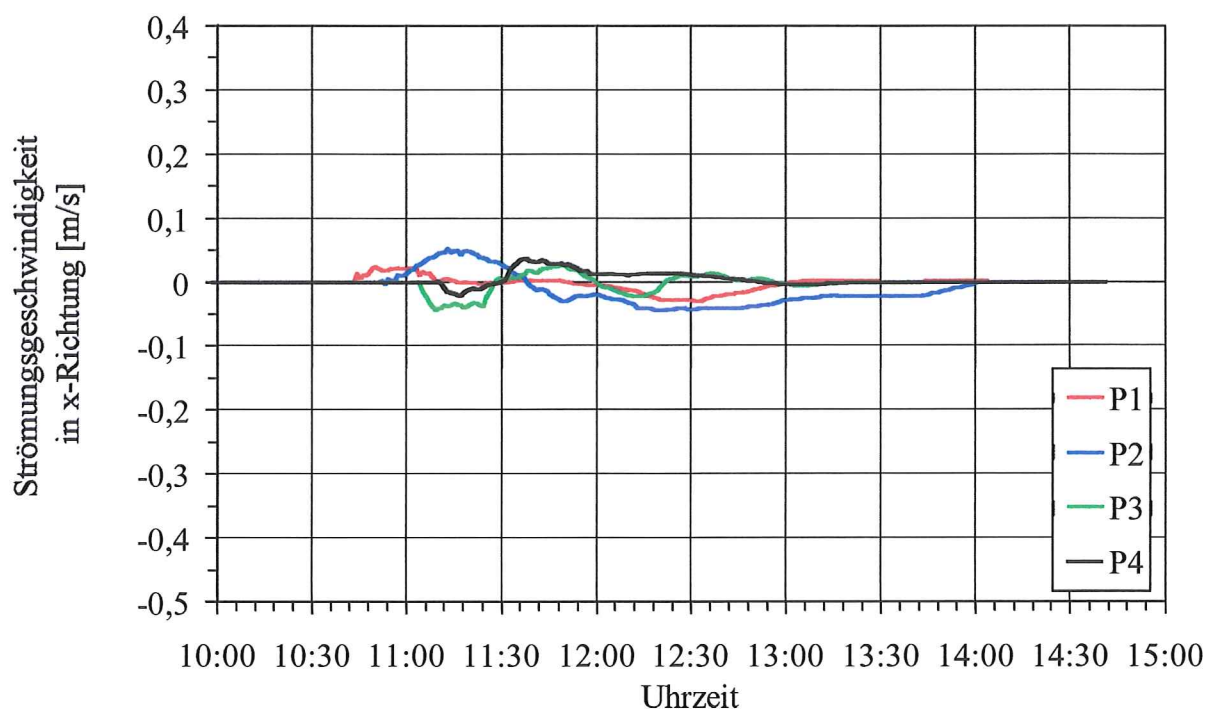
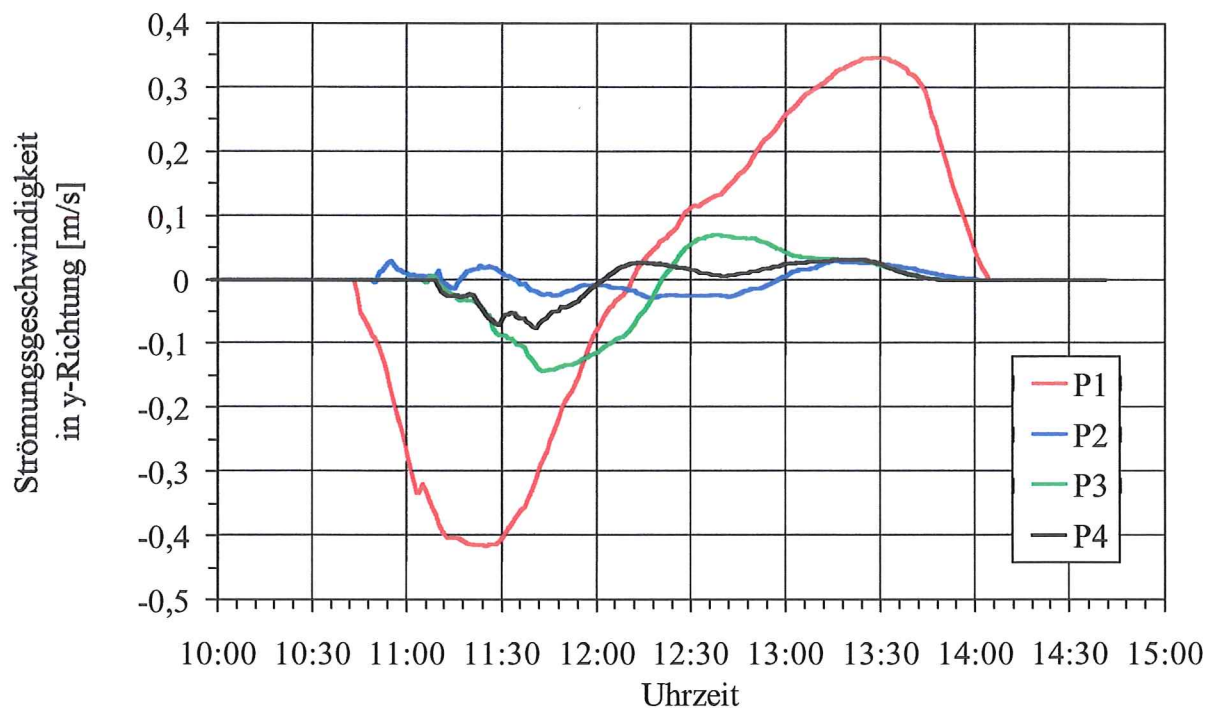
Anlage 8-83a: Strömungsgeschwindigkeiten in y- und x- Richtung  
an den Referenzpunkten P1 bis P4 in der Variante m\_18 (vgl. Taf. 8.6)



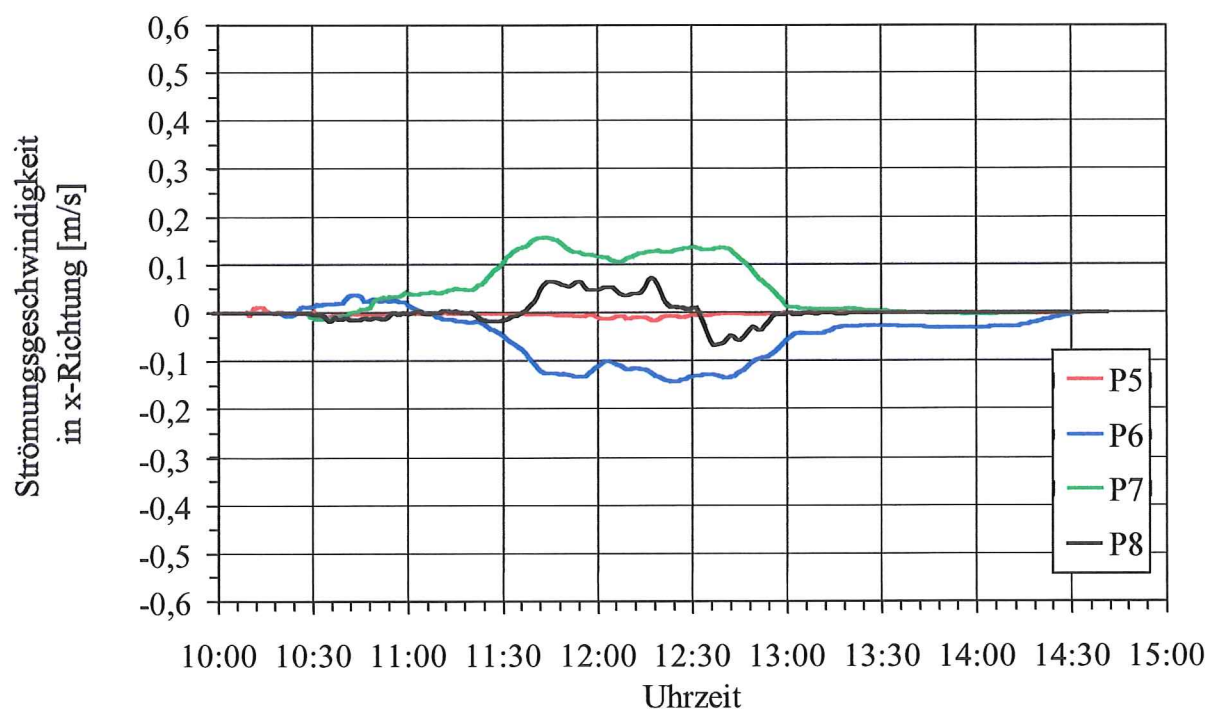
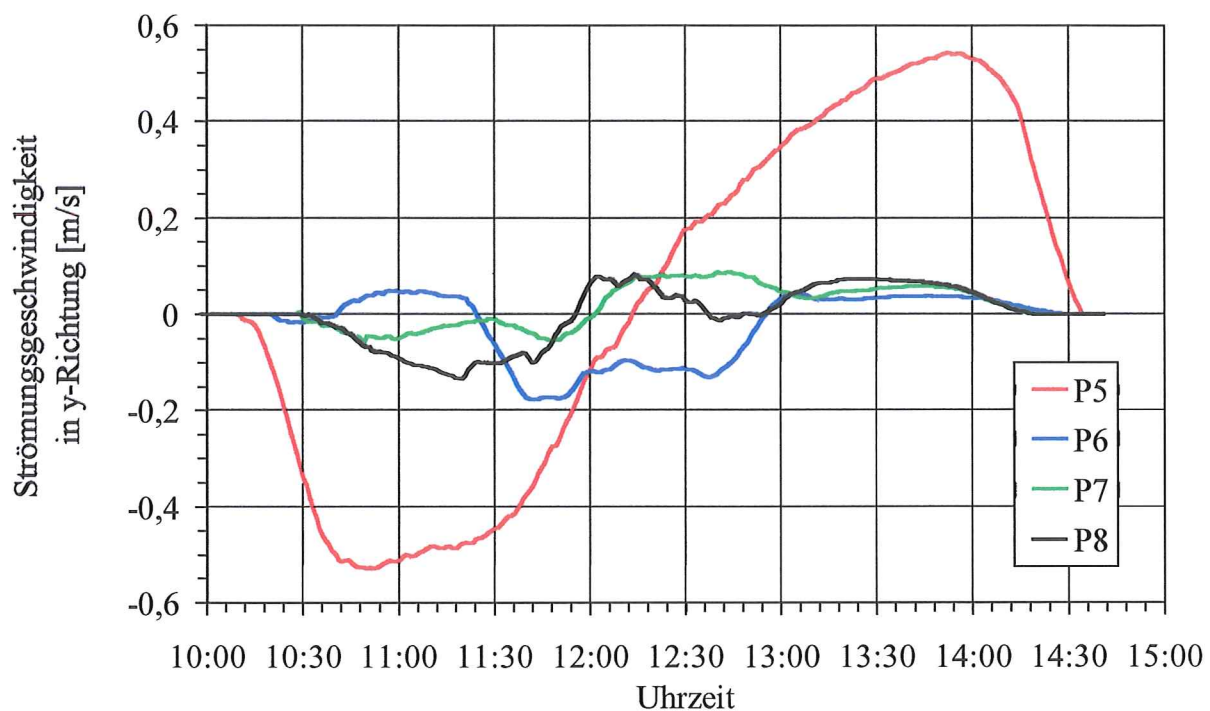
Anlage 8-83b: Sedimentationen und Erosionen im Verlaufe einer Tide an den Referenzpunkten P1 bis P4 in der Variante m\_18 (vgl. Taf. 8.6)



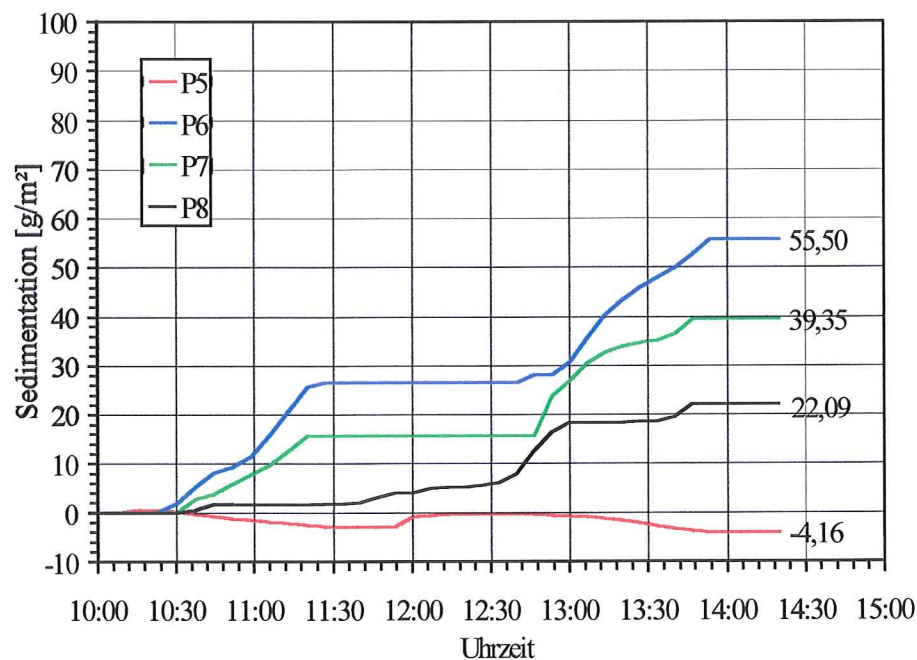
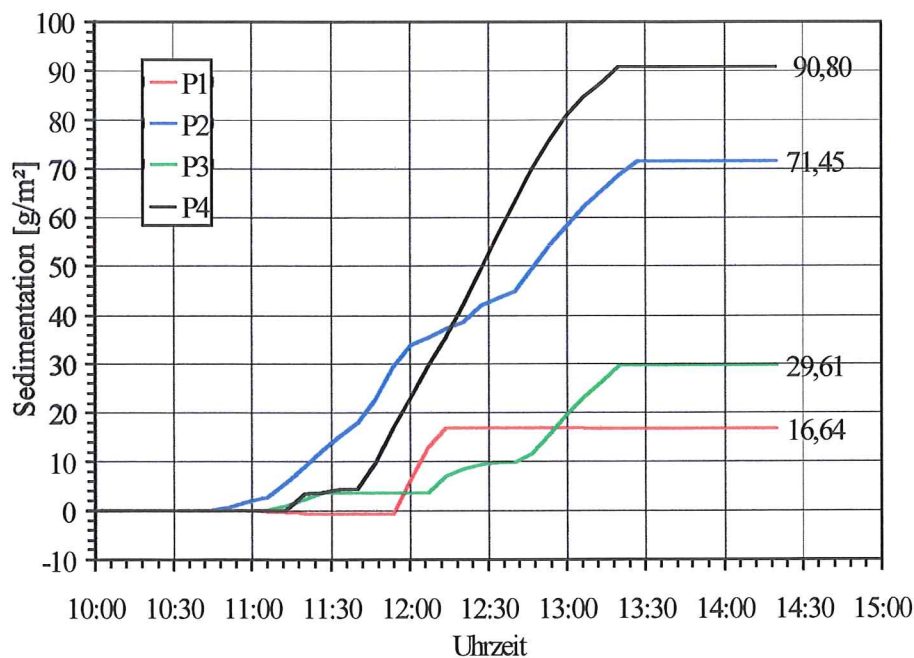
Anlage 8-83c: Sedimentation und Erosion nach Ablauf einer Tide im gesamten Simulationsbereich in der Variante m\_18 (vgl. Taf. 8.6)



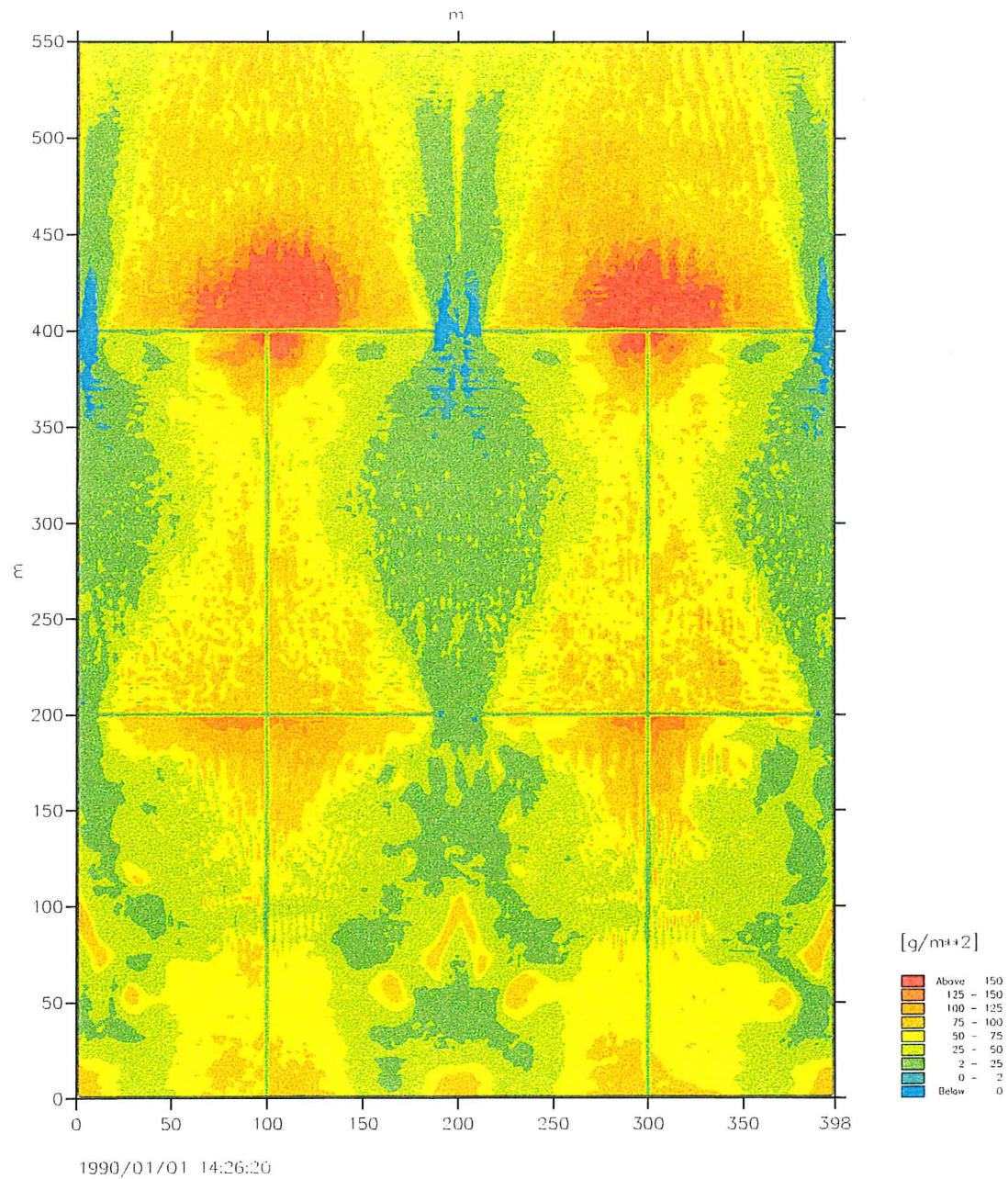
Anlage 8-84a1: Strömungsgeschwindigkeiten in y- und x- Richtung an den Referenzpunkten P1 bis P4 in der Variante m\_19(vgl. Taf. 8.6)



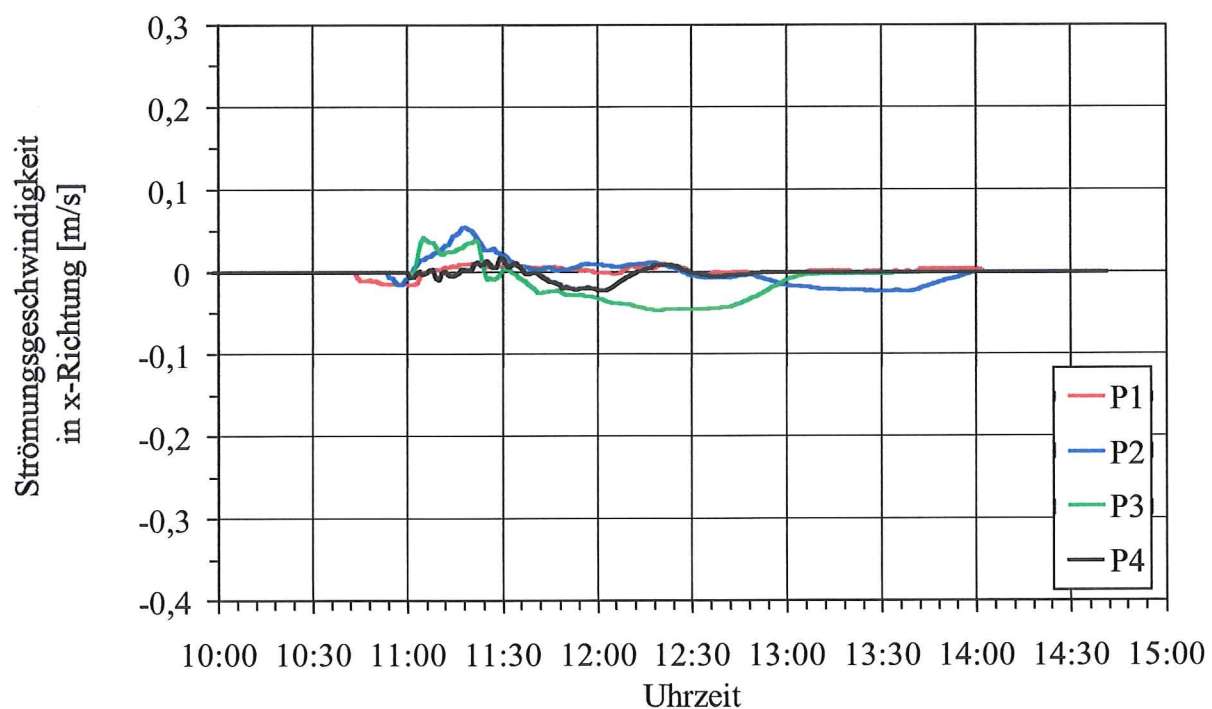
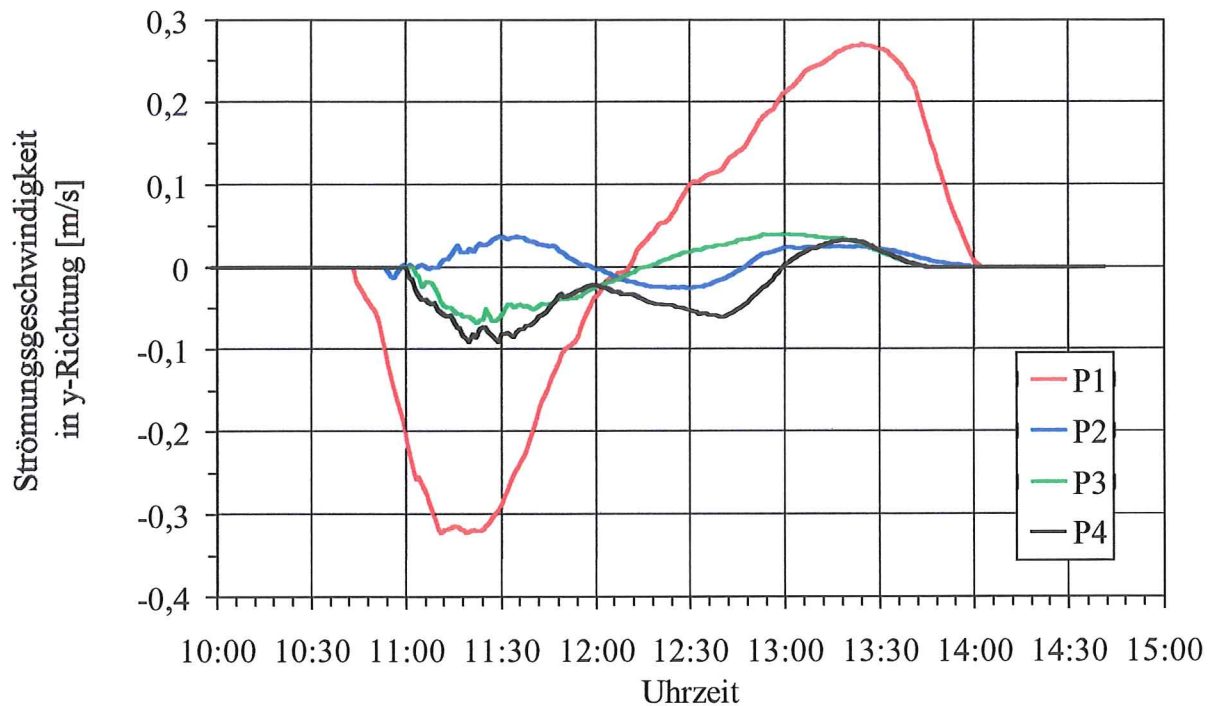
Anlage 8-84a2: Strömungsgeschwindigkeiten in y- und x- Richtung  
an den Referenzpunkten P5 bis P8 in der Variante m\_19(vgl. Taf. 8.6)



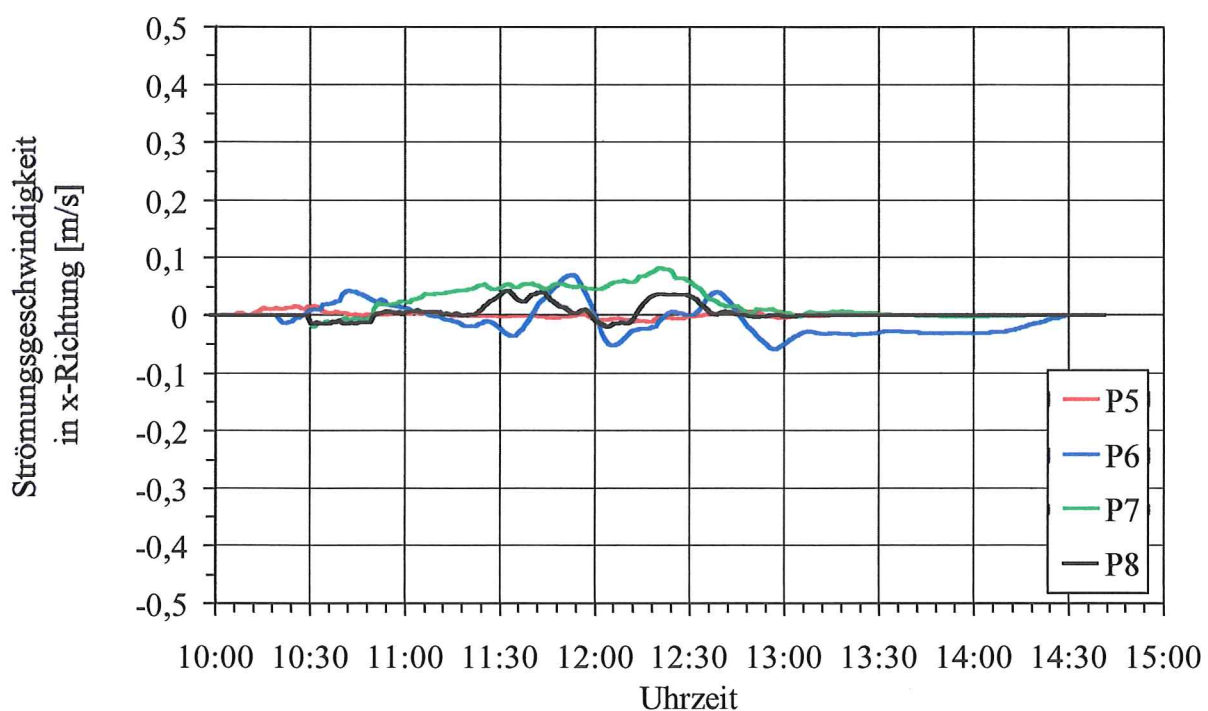
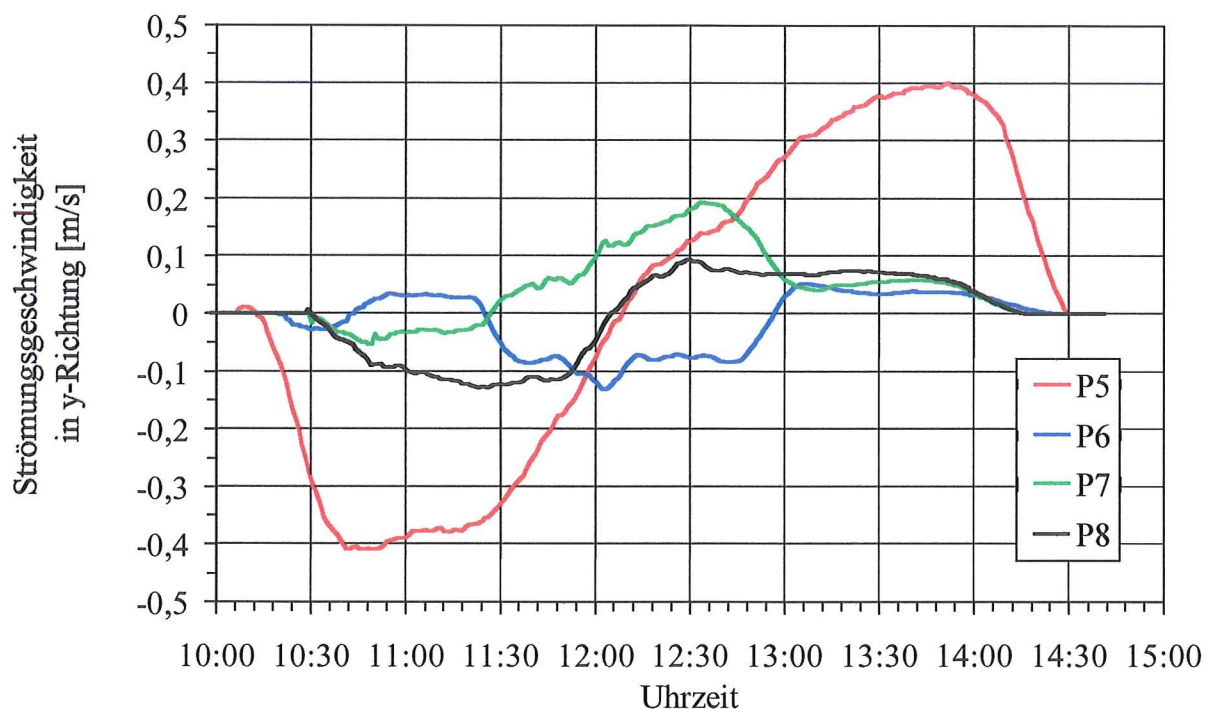
Anlage 8-84b: Sedimentationen und Erosionen im Verlaufe einer Tide  
an den Referenzpunkten P1 bis P4 und P5 bis P8 in der Variante m\_19 (vgl. Taf. 8.6)



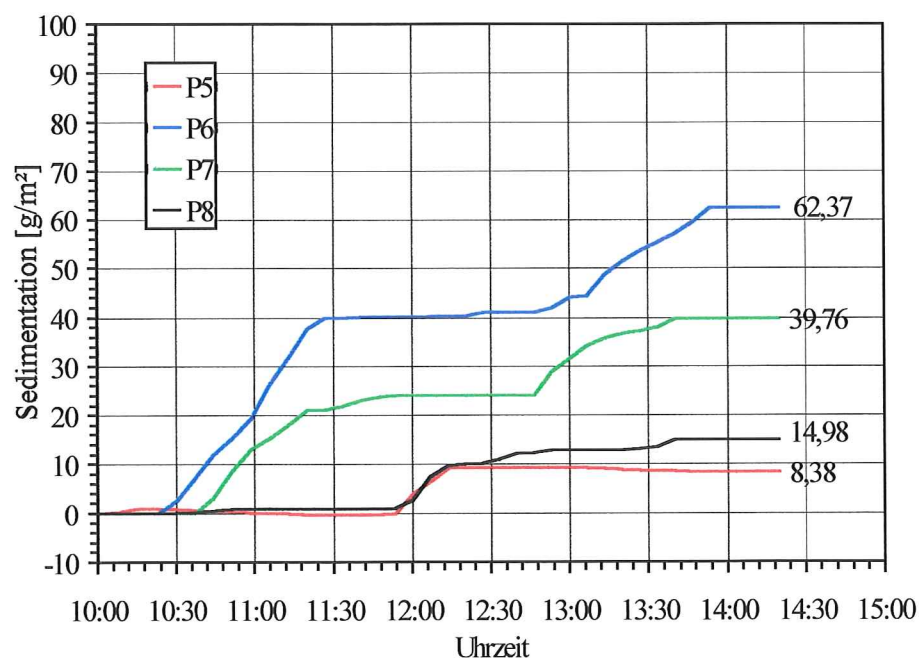
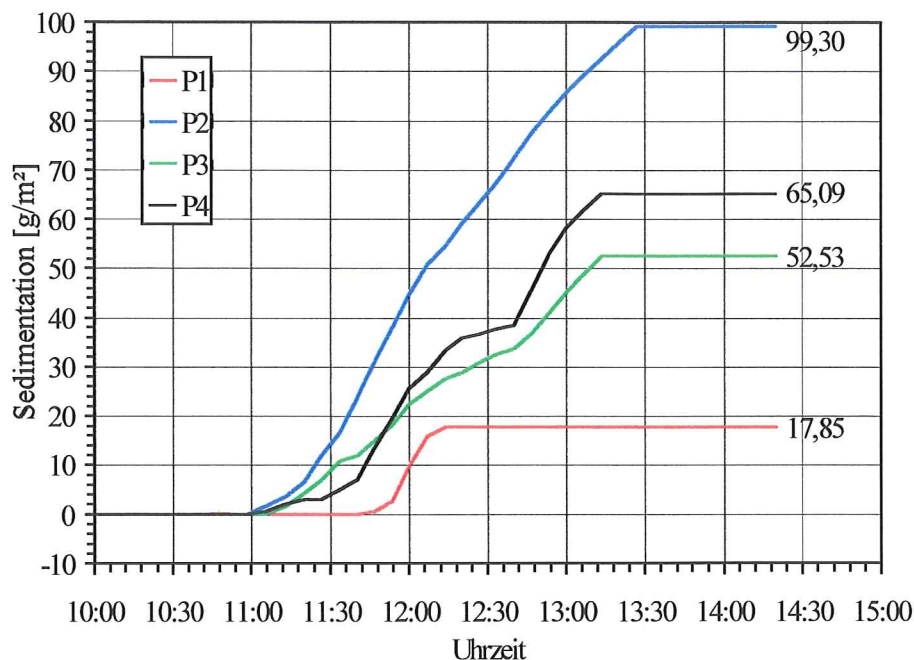
Anlage 8-84c: Sedimentation und Erosion nach Ablauf einer Tide  
im gesamten Simulationsbereich in der Variante m\_19 (vgl. Taf. 8.6)



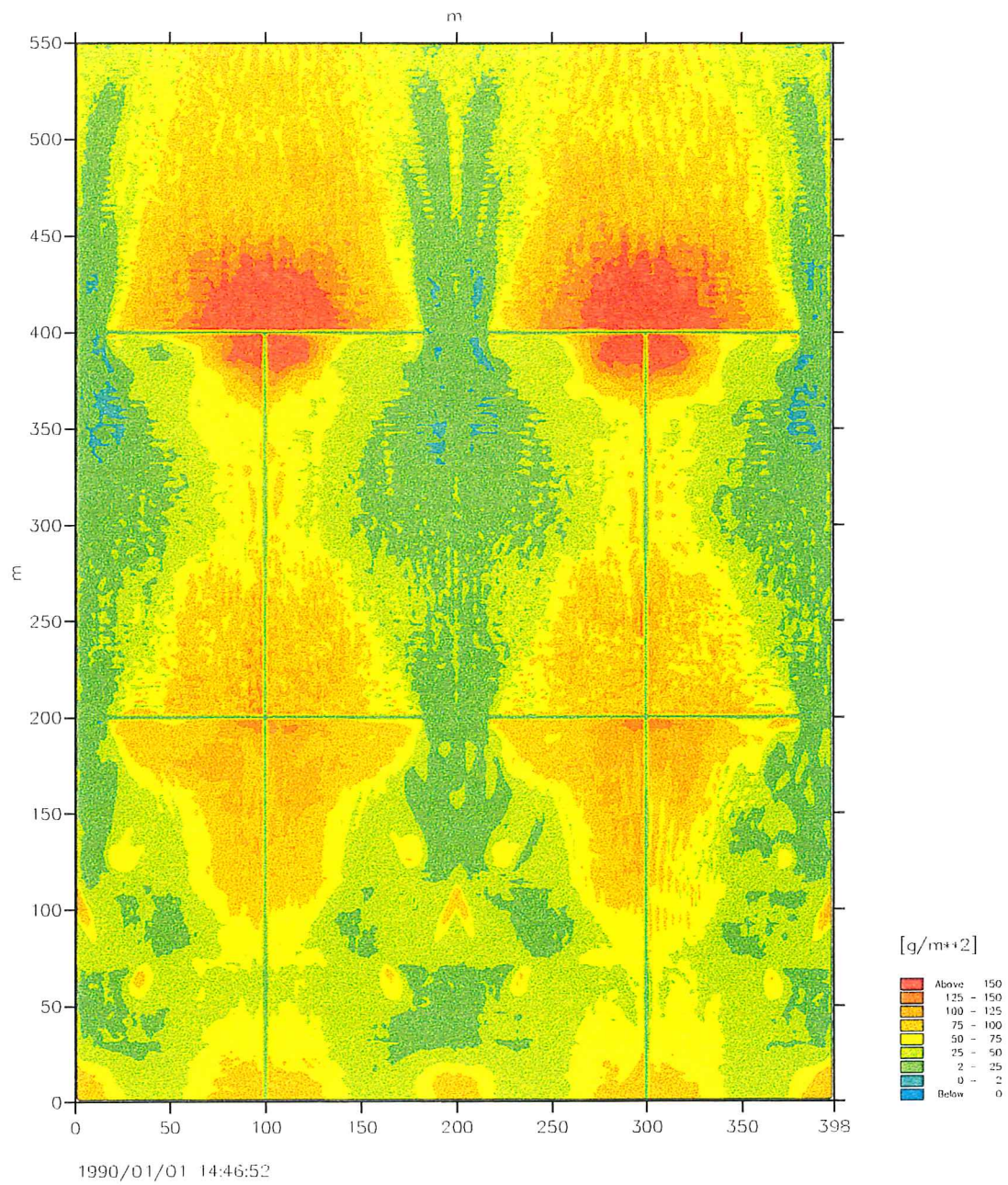
Anlage 8-85a1: Strömungsgeschwindigkeiten in y- und x- Richtung  
an den Referenzpunkten P1 bis P4 in der Variante m\_20 (vgl. Taf. 8.6)



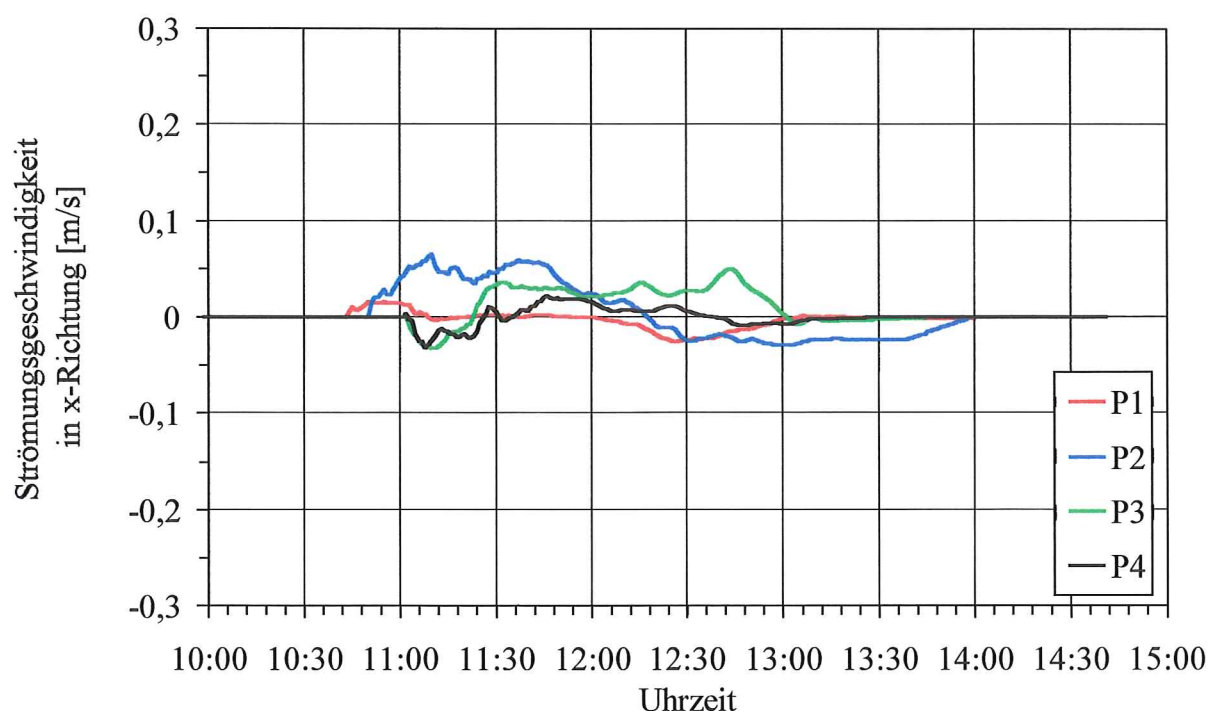
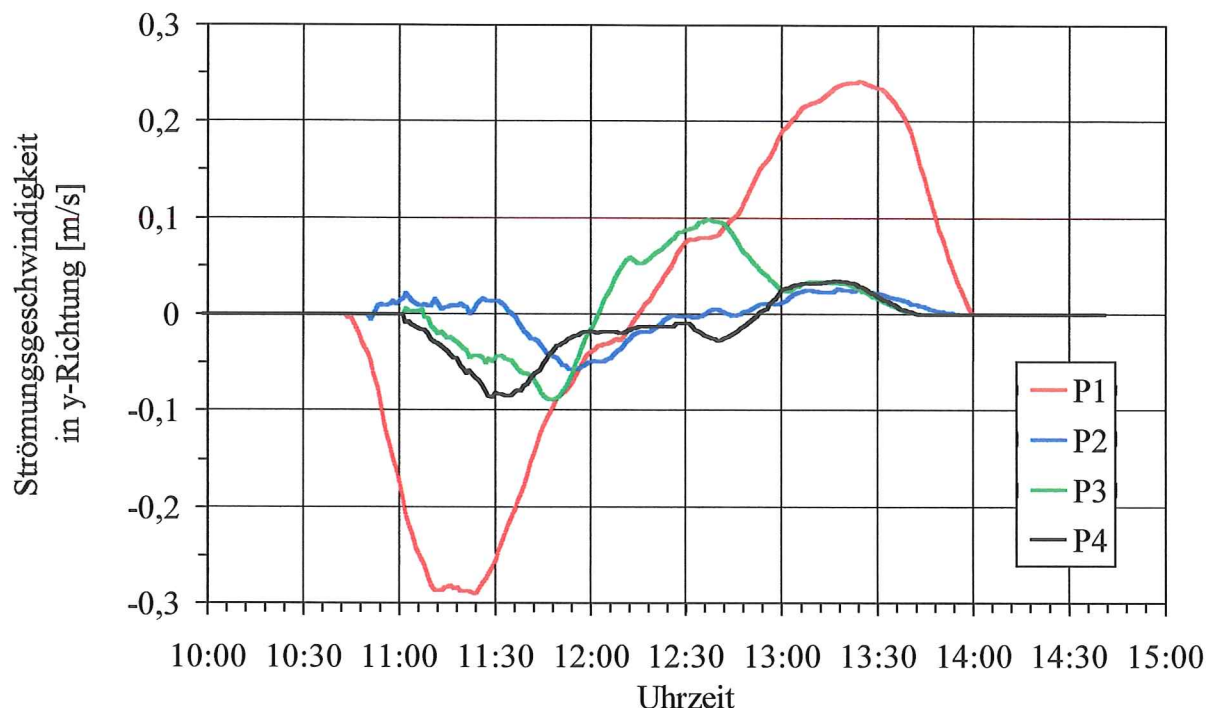
Anlage 8-85a2: Strömungsgeschwindigkeiten in y- und x- Richtung  
an den Referenzpunkten P5 bis P8 in der Variante m\_20 (vgl. Taf. 8.6)



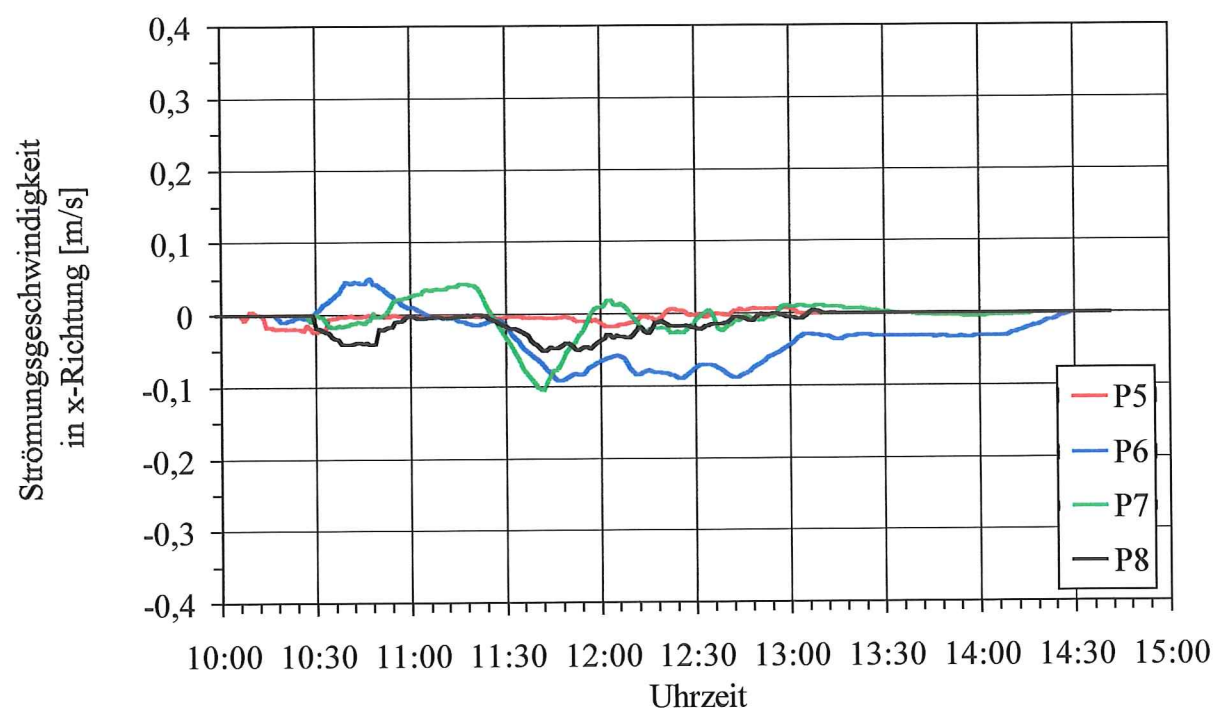
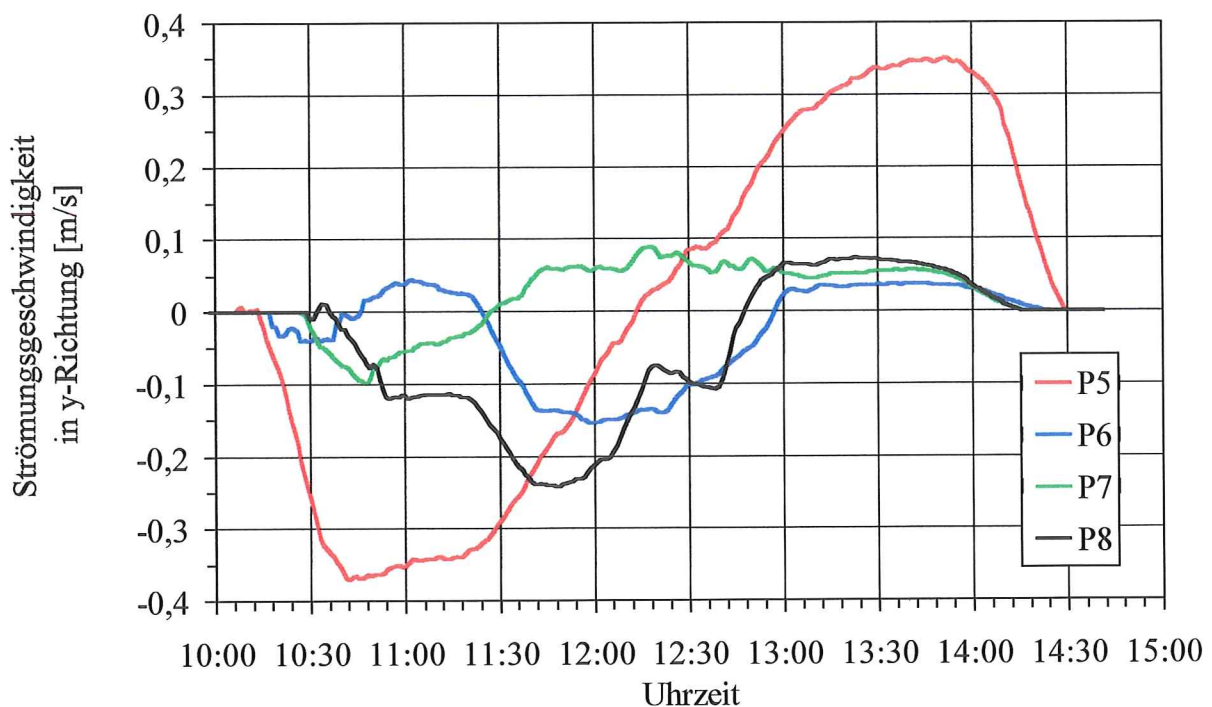
Anlage 8-85b: Sedimentationen und Erosionen im Verlaufe einer Tide  
an den Referenzpunkten P1 bis P4 und P5 bis P8 in der Variante m\_20 (vgl. Taf. 8.6)



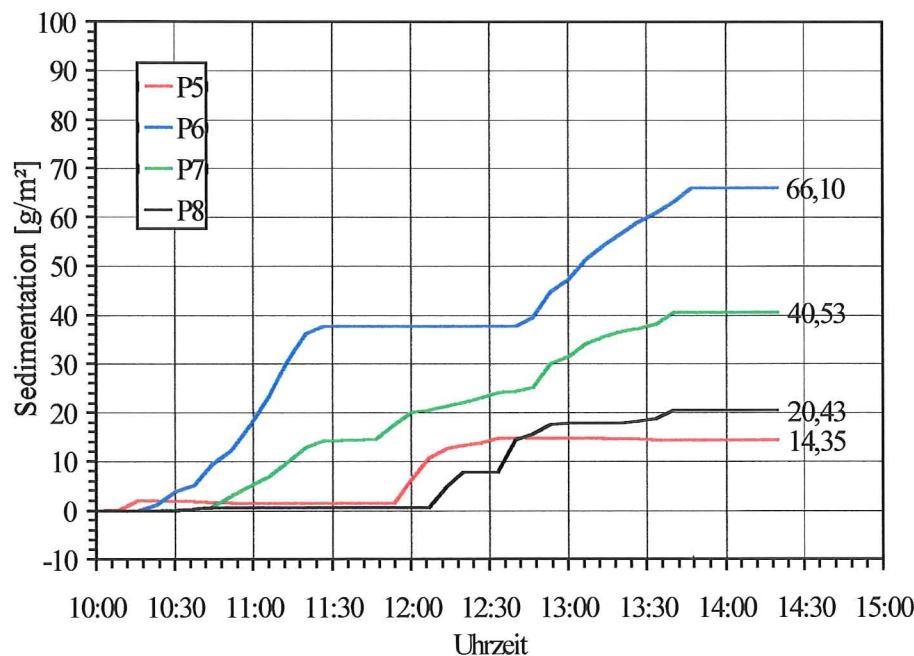
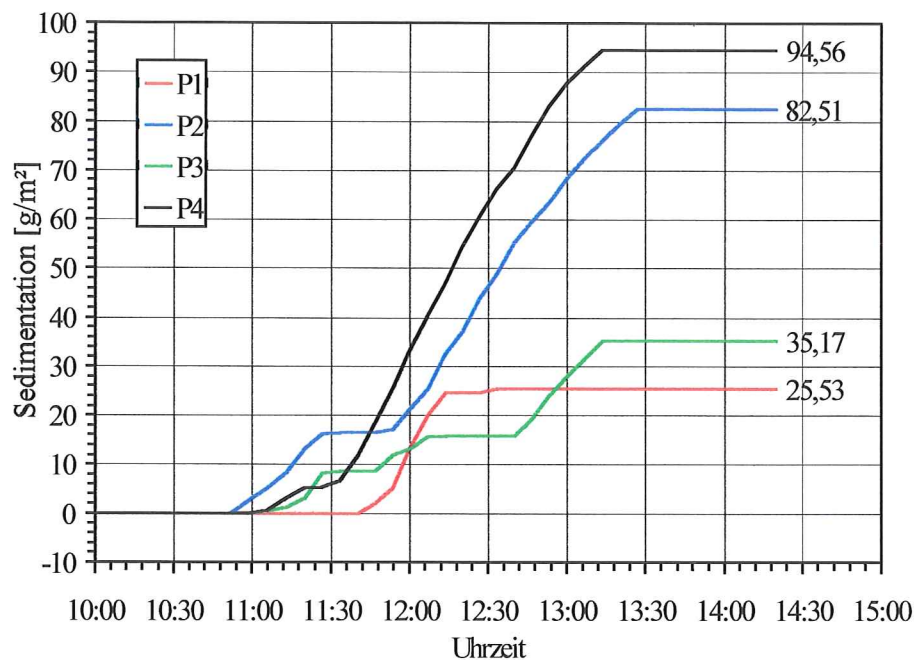
Anlage 8-85c: Sedimentation und Erosion nach Ablauf einer Tide  
im gesamten Simulationsbereich in der Variante m\_20 (vgl. Taf. 8.6)



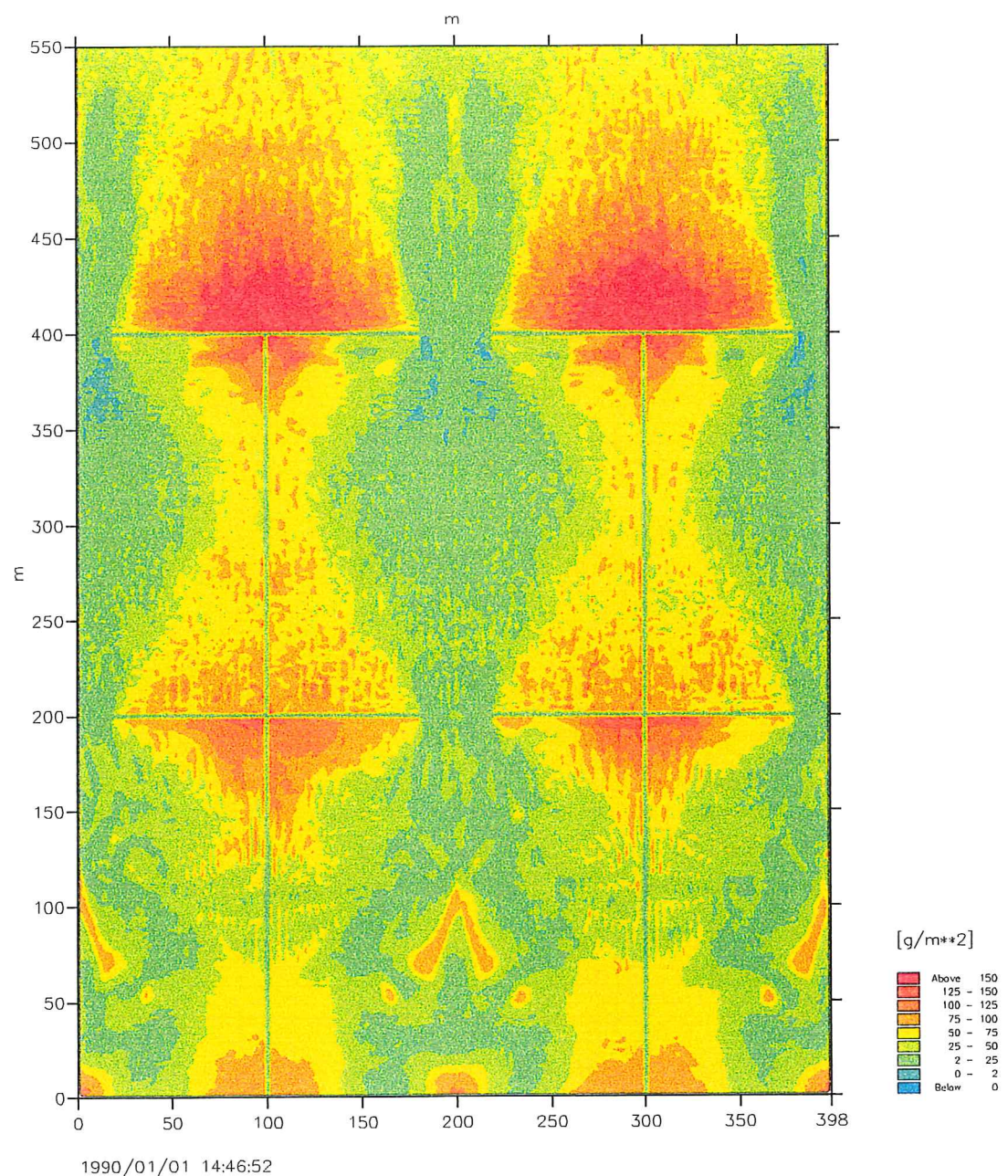
Anlage 8-86a1: Strömungsgeschwindigkeiten in y- und x- Richtung  
an den Referenzpunkten P1 bis P4 in der Variante m\_21 (vgl. Taf. 8.6)



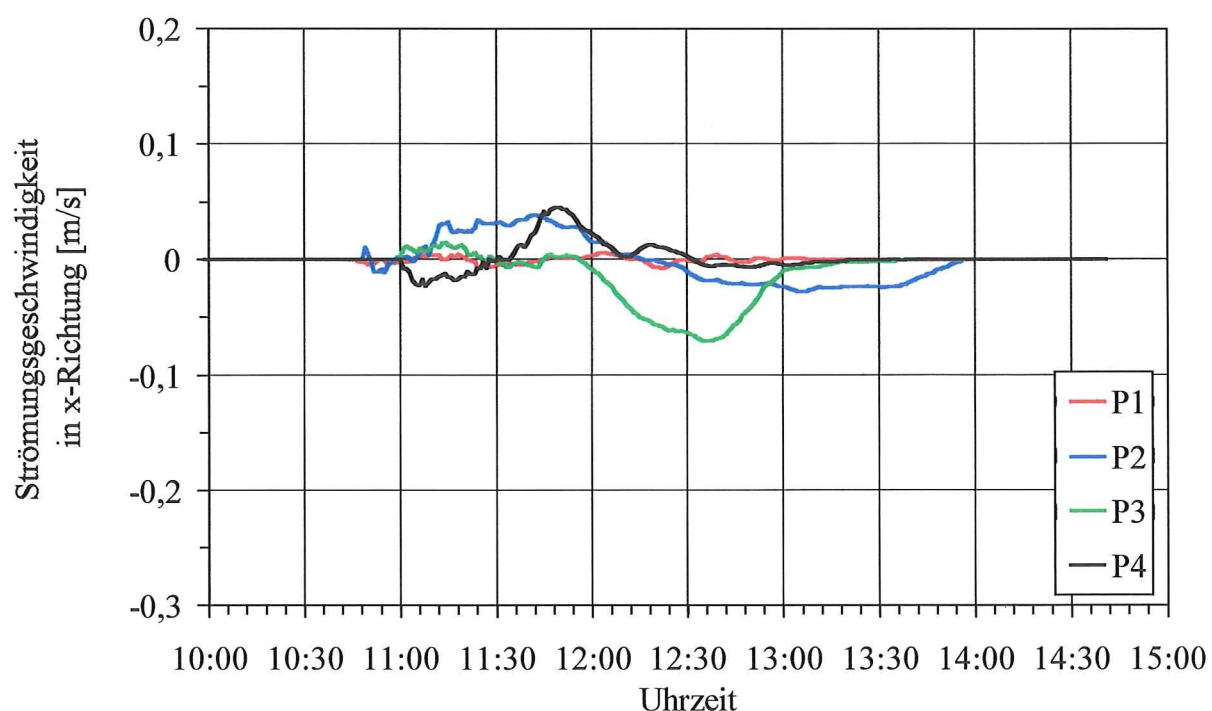
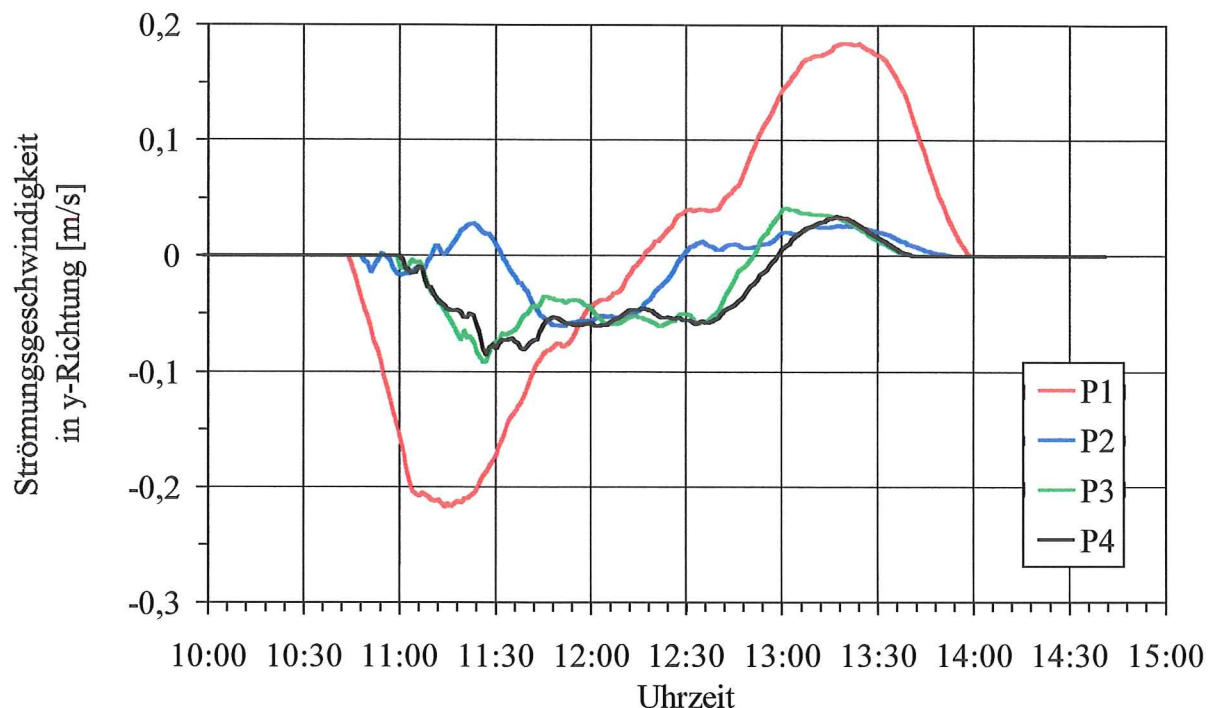
Anlage 8-86a2: Strömungsgeschwindigkeiten in y- und x- Richtung  
an den Referenzpunkten P5 bis P8 in der Variante m\_21 (vgl. Taf. 8.6)



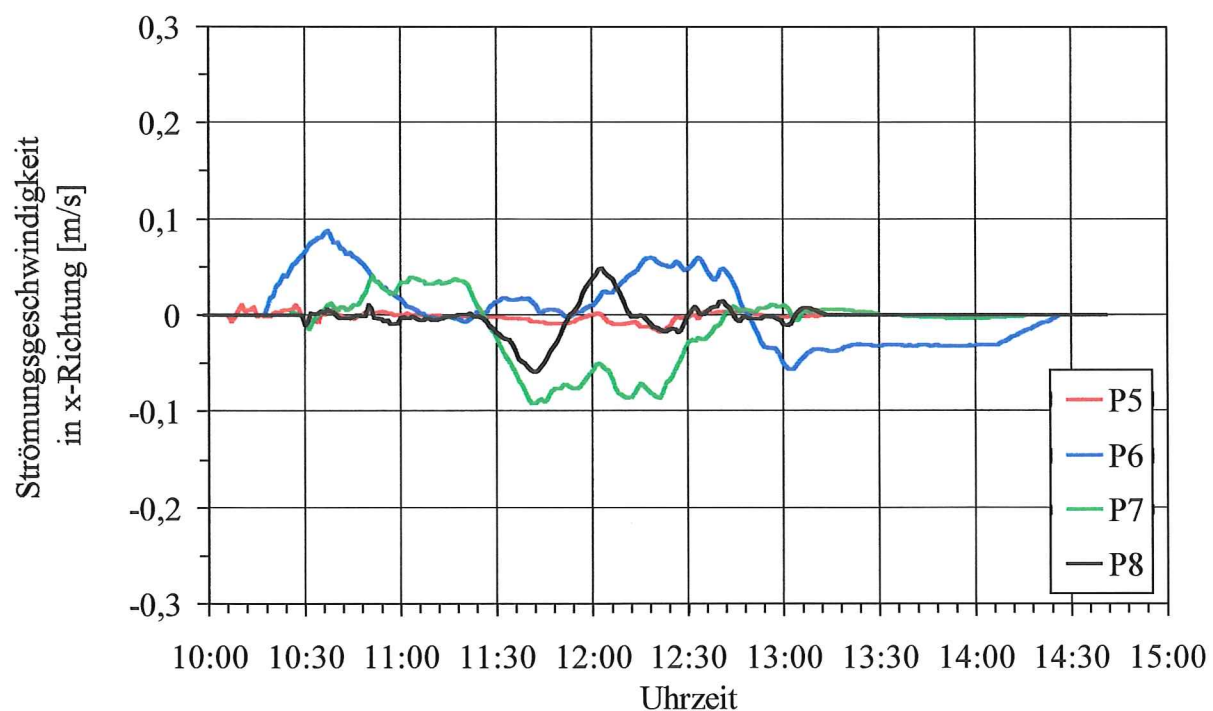
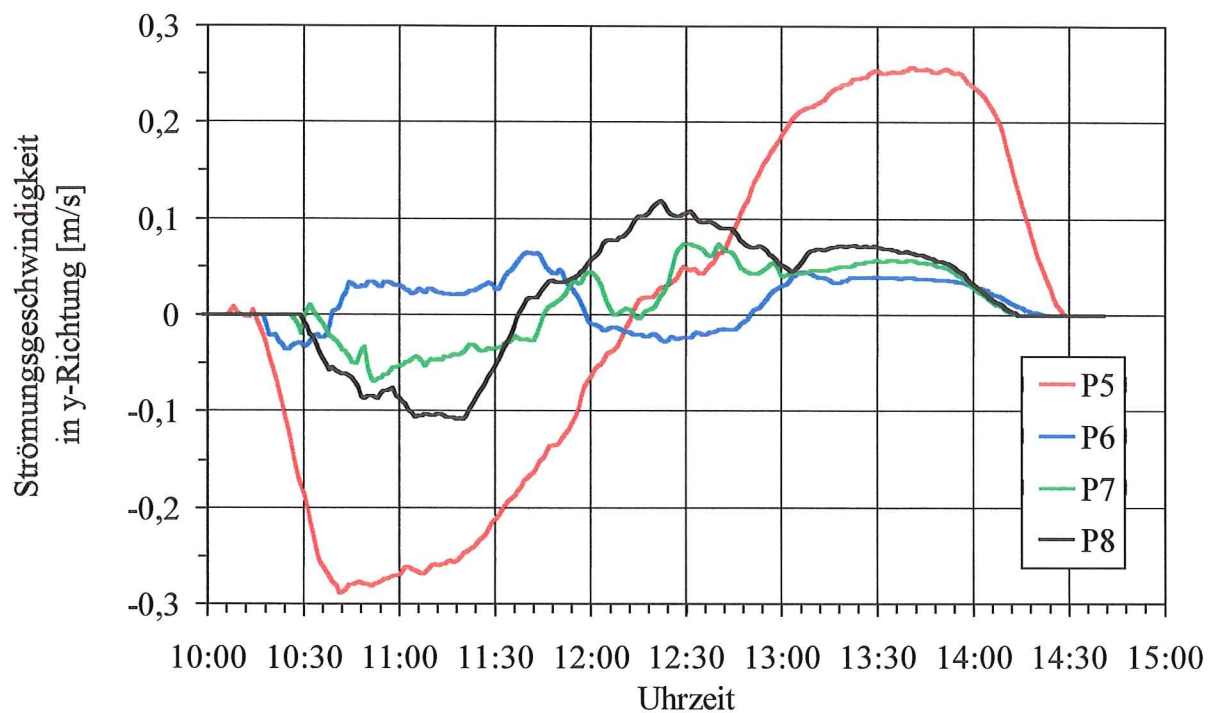
Anlage 8-86b: Sedimentationen und Erosionen im Verlaufe einer Tide  
an den Referenzpunkten P1 bis P4 und P5 bis P8 in der Variante m\_21 (vgl. Taf. 8.6)



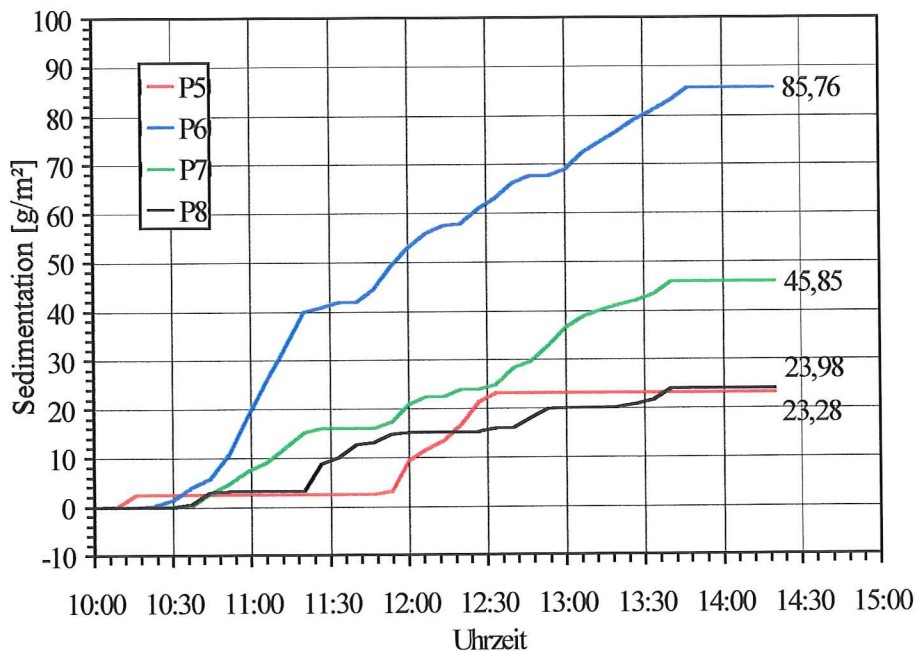
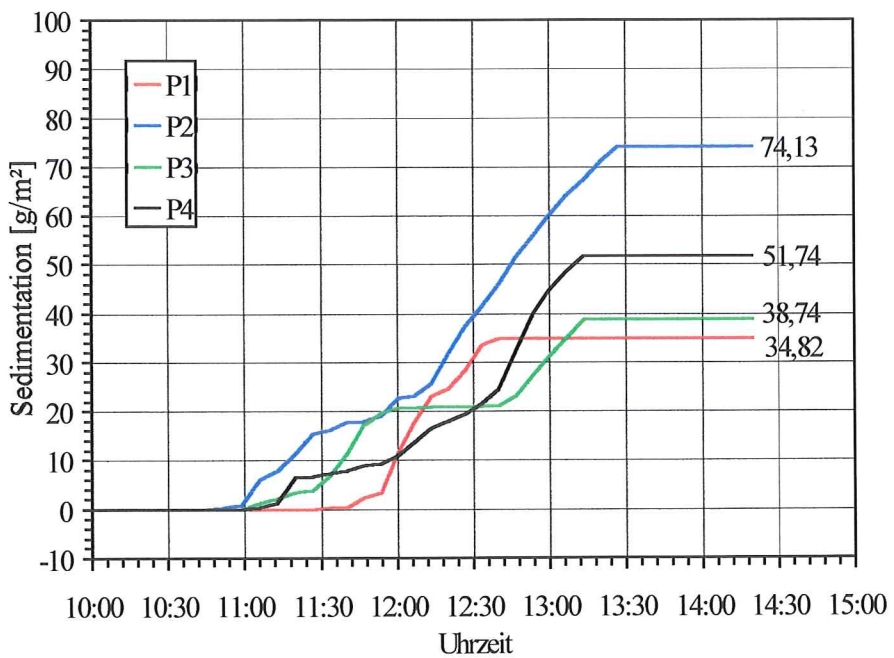
Anlage 8-86c: Sedimentation und Erosion nach Ablauf einer Tide  
im gesamten Simulationsbereich in der Variante m\_21 (vgl. Taf. 8.6)



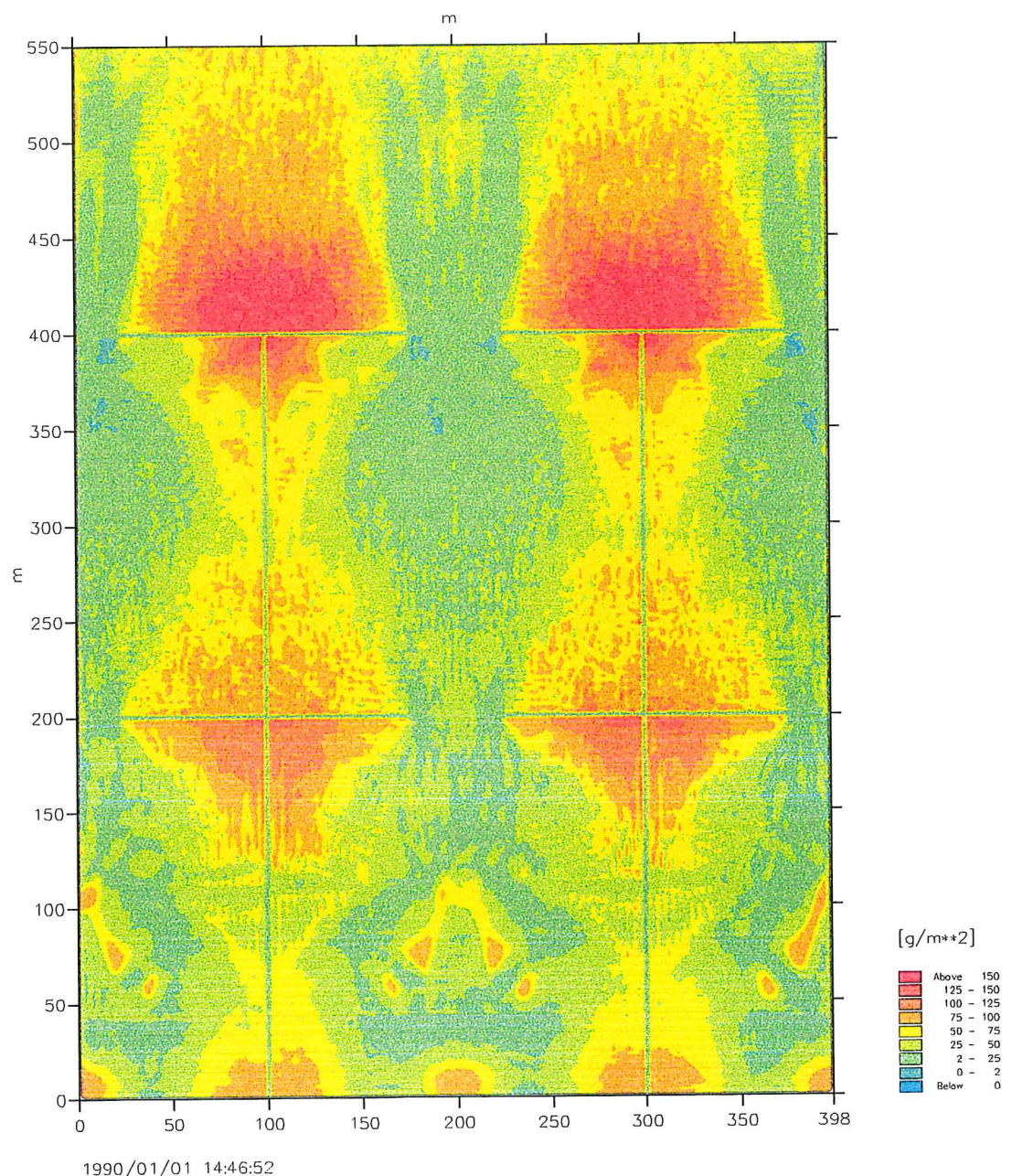
Anlage 8-87a1: Strömungsgeschwindigkeiten in y- und x- Richtung  
an den Referenzpunkten P1 bis P4 in der Variante m\_22 (vgl. Taf. 8.6)



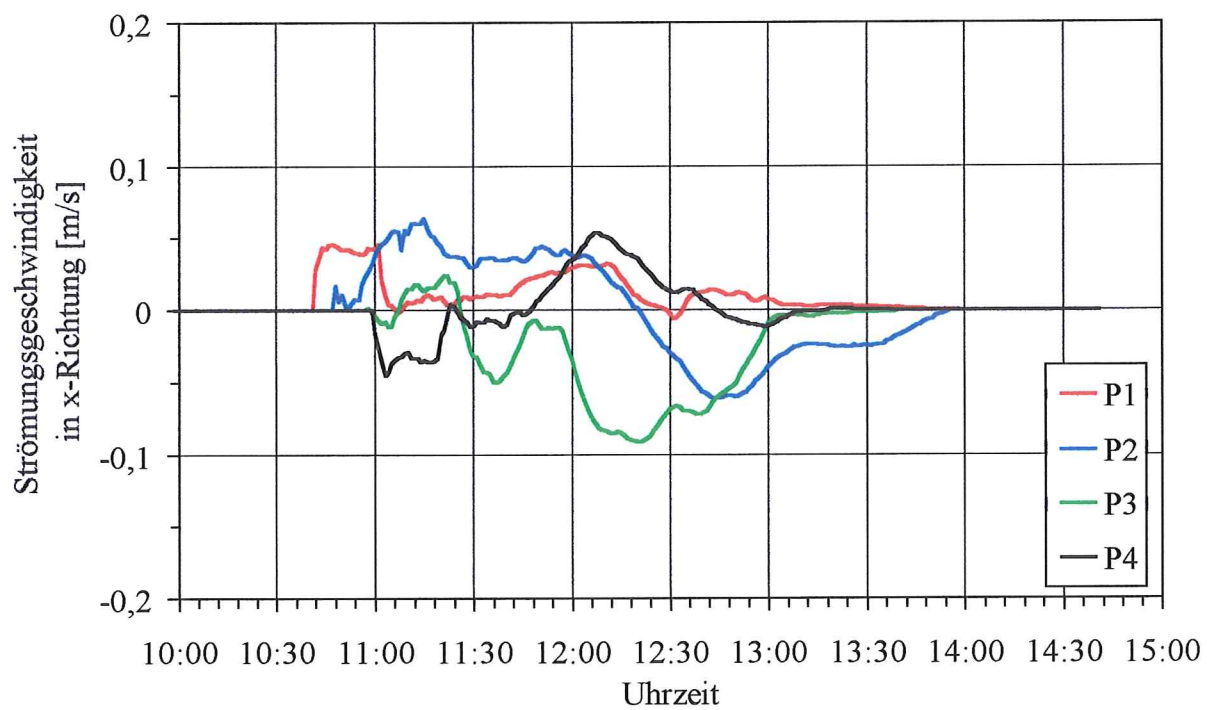
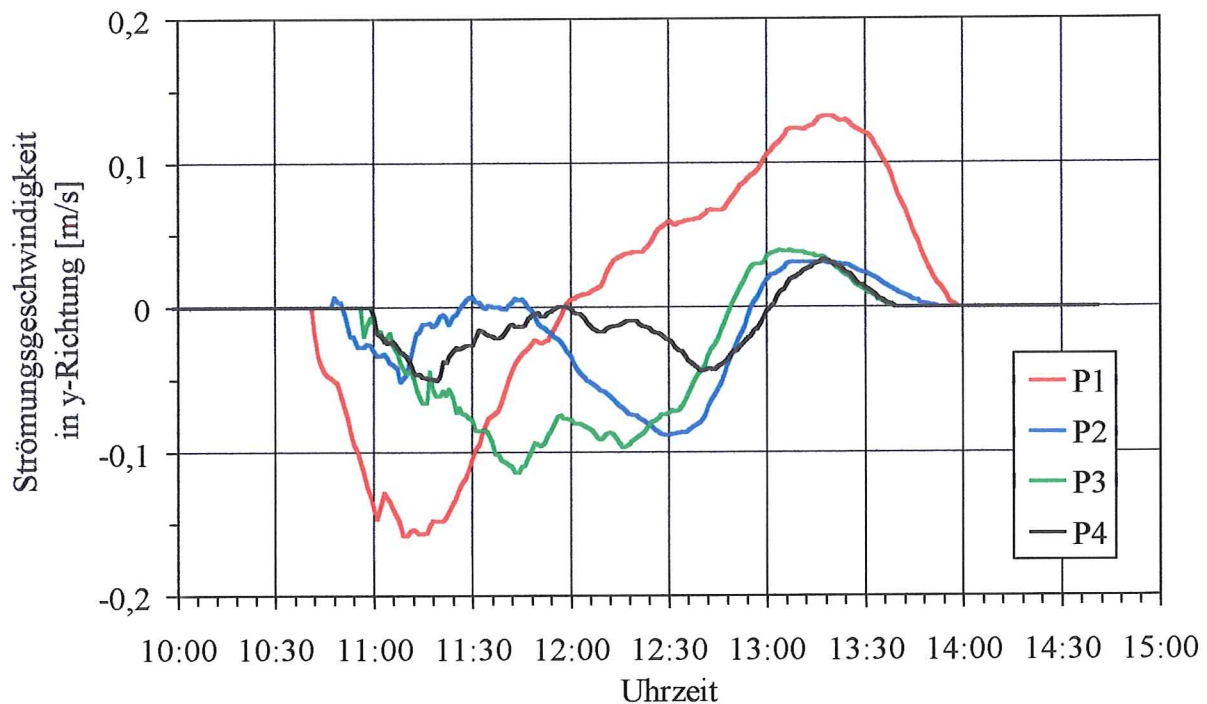
Anlage 8-87a2: Strömungsgeschwindigkeiten in y- und x- Richtung  
an den Referenzpunkten P5 bis P8 in der Variante m\_22 (vgl. Taf. 8.6)



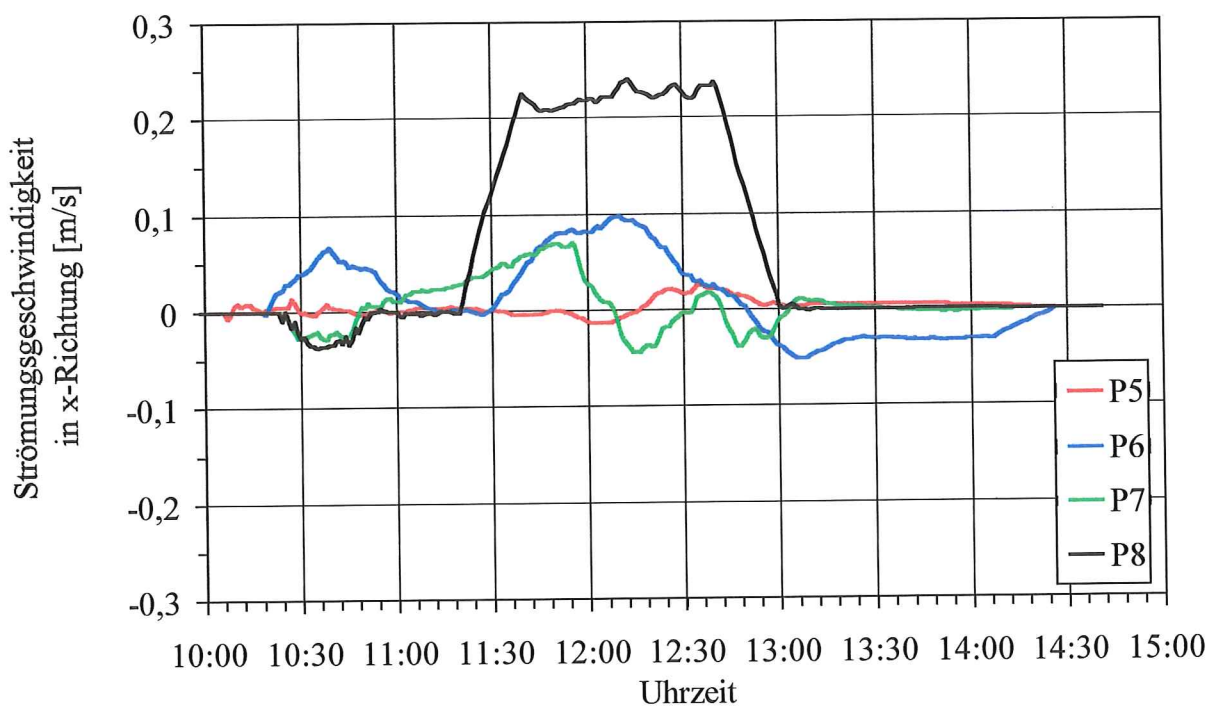
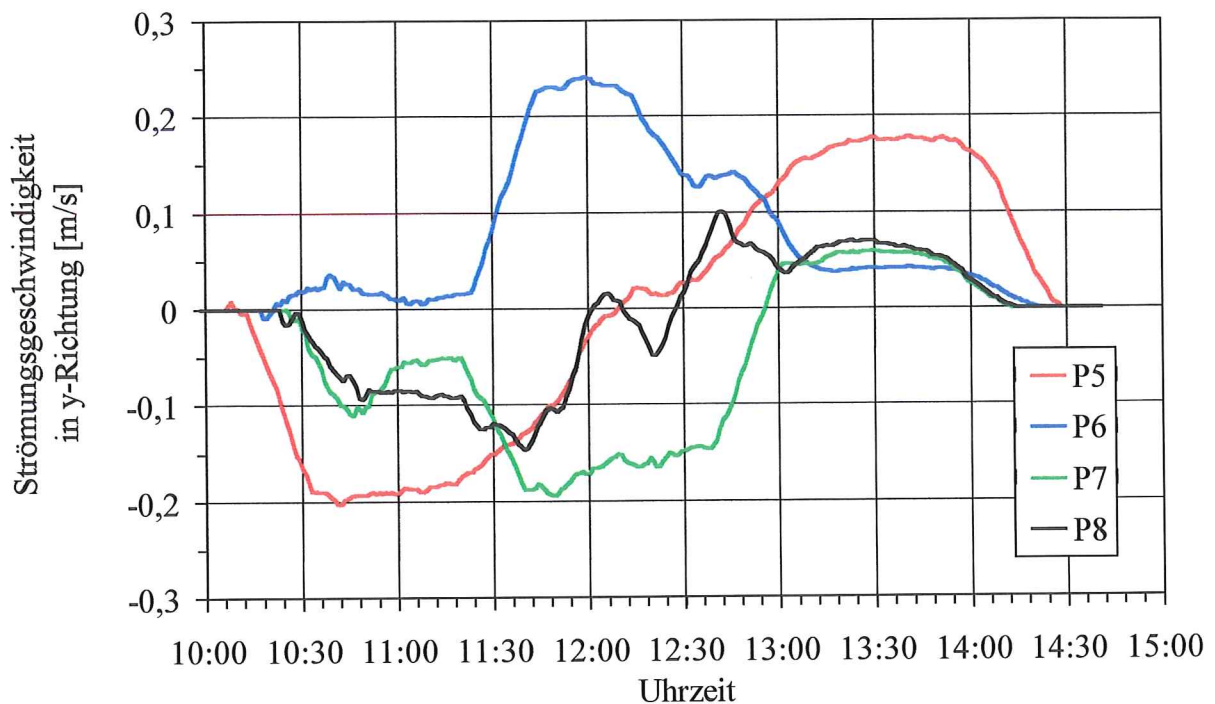
Anlage 8-87b: Sedimentationen und Erosionen im Verlaufe einer Tide  
an den Referenzpunkten P1 bis P4 und P5 bis P8 in der Variante m\_22 (vgl. Taf. 8.6)



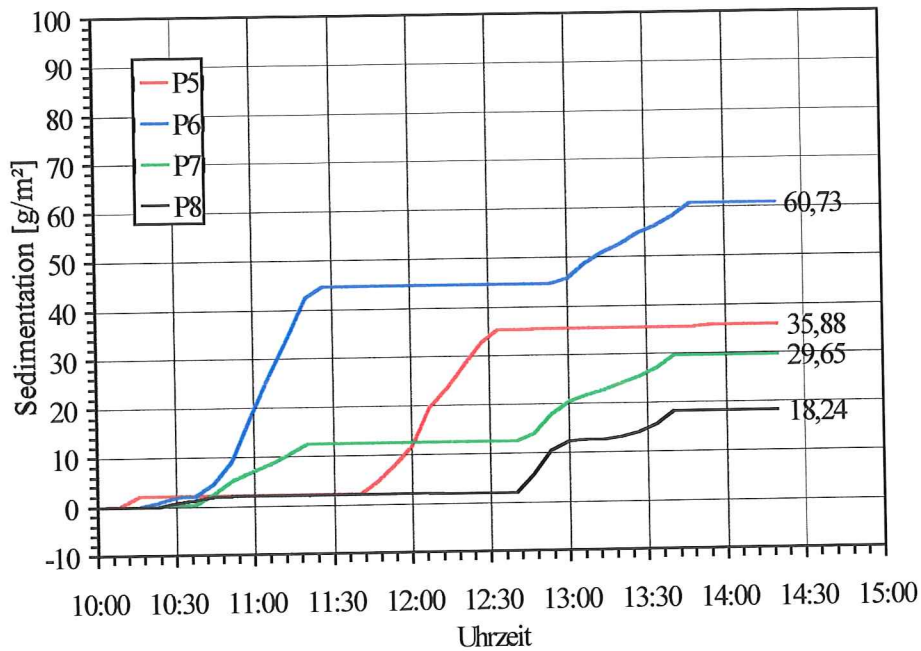
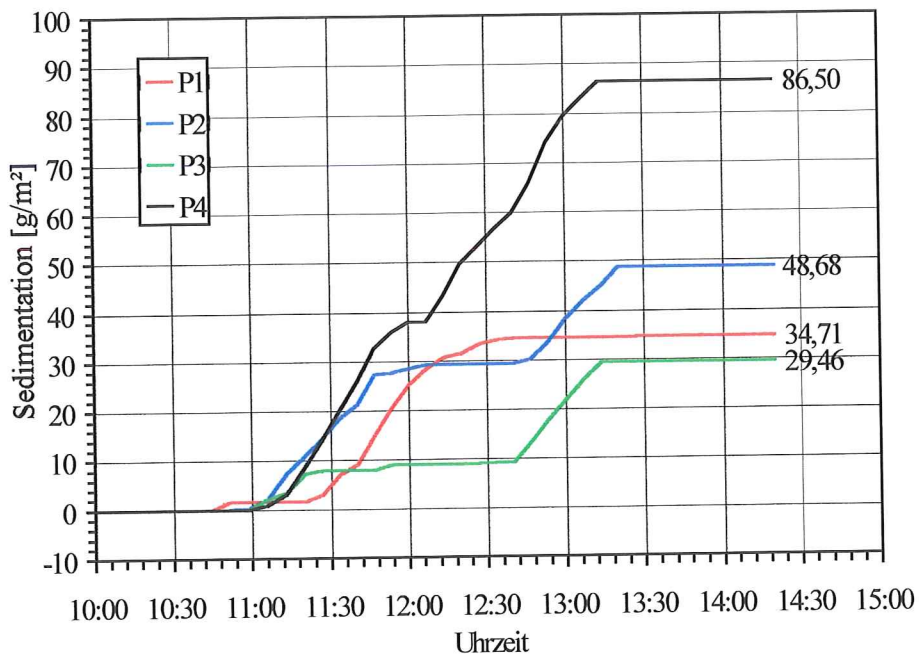
Anlage 8-87c: Sedimentation und Erosion nach Ablauf einer Tide  
im gesamten Simulationsbereich in der Variante m\_22 (vgl. Taf. 8.6)



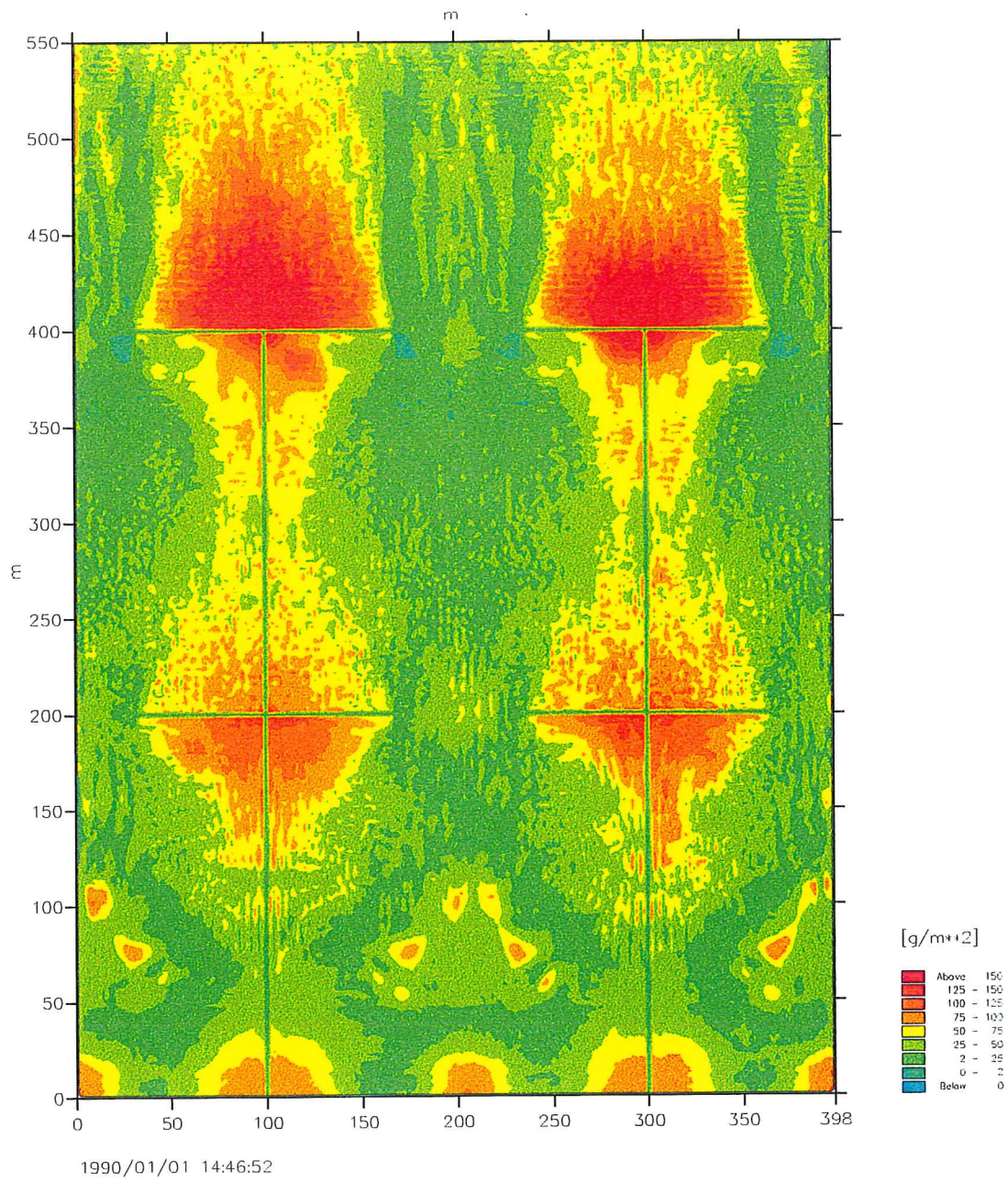
Anlage 8-88a1: Strömungsgeschwindigkeiten in y- und x- Richtung  
an den Referenzpunkten P1 bis P4 in der Variante m\_23 (vgl. Taf. 8.6)



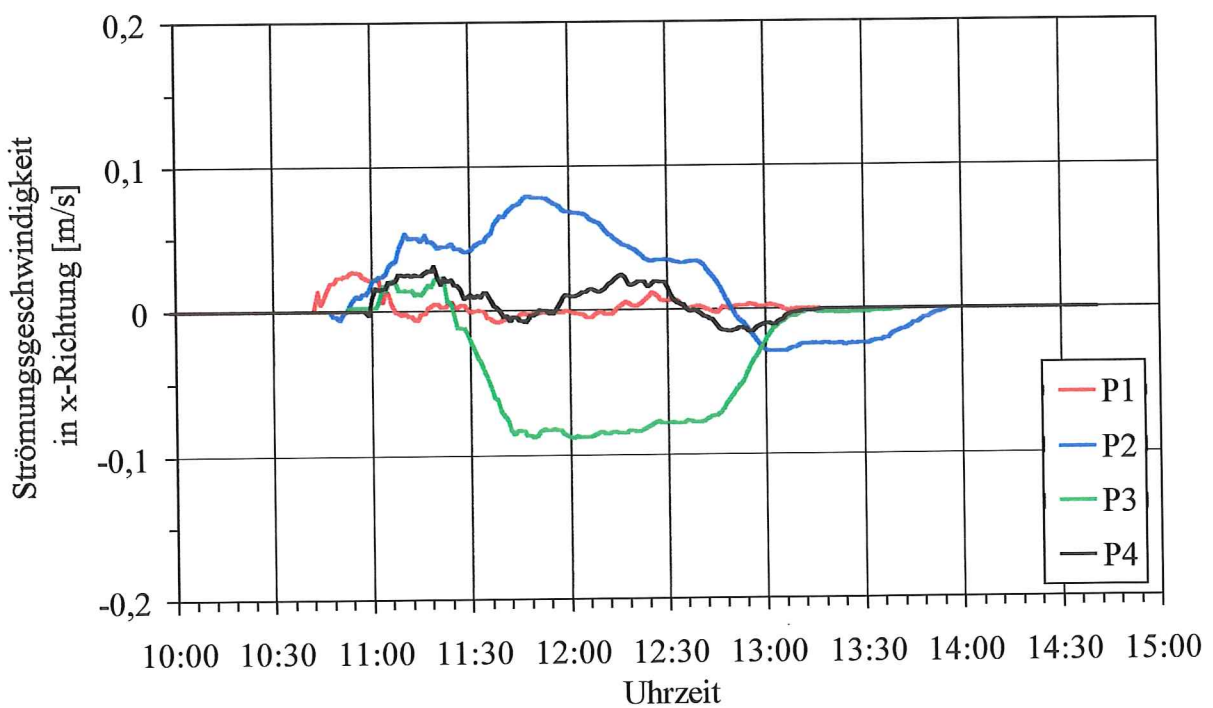
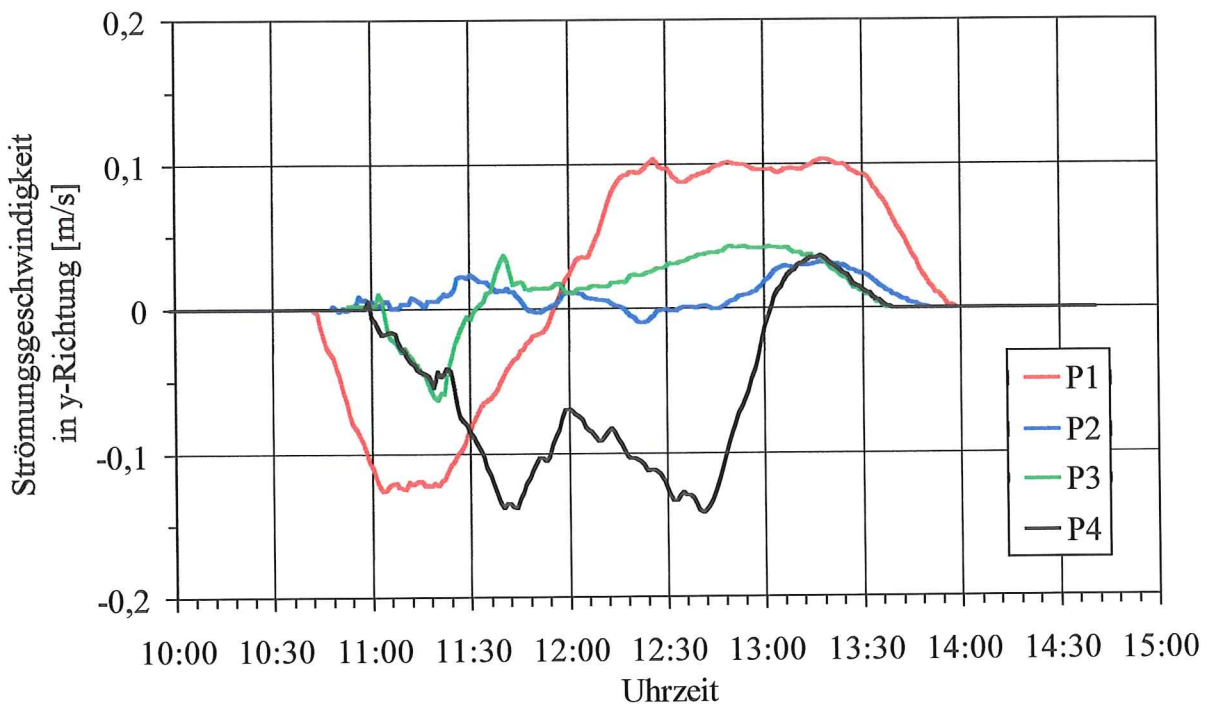
Anlage 8-88a2: Strömungsgeschwindigkeiten in y- und x- Richtung  
an den Referenzpunkten P5 bis P8 in der Variante m\_23 (vgl. Taf. 8.6)



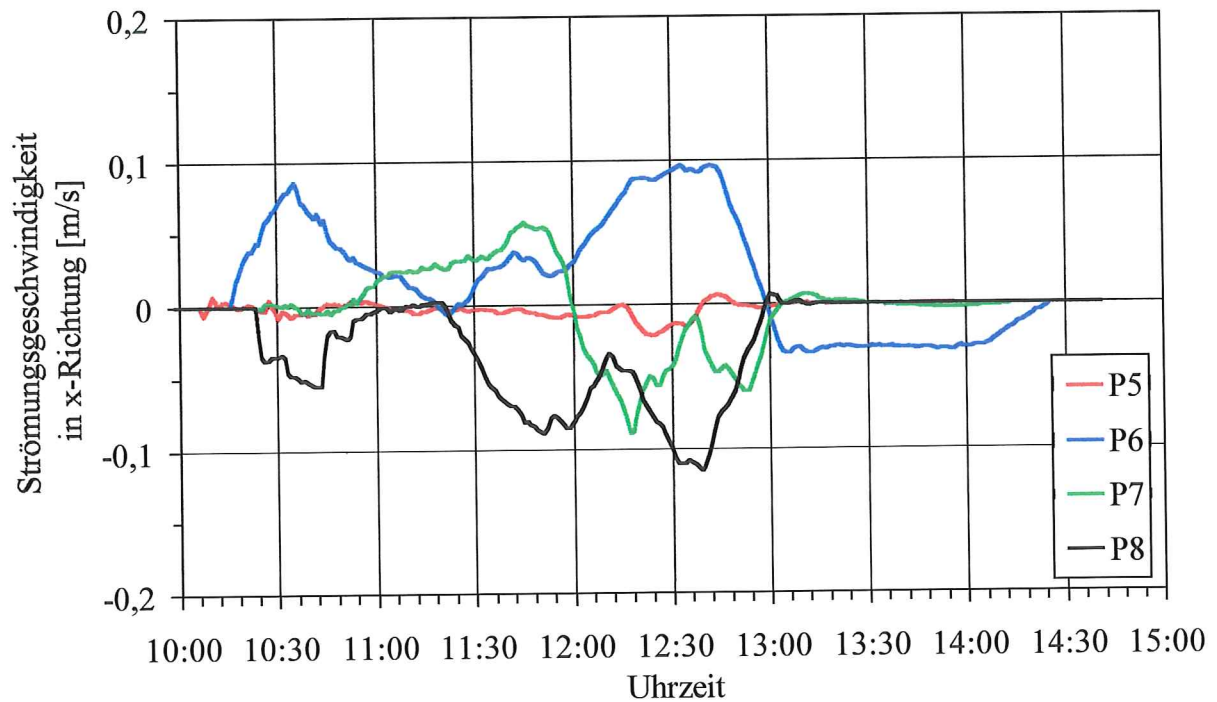
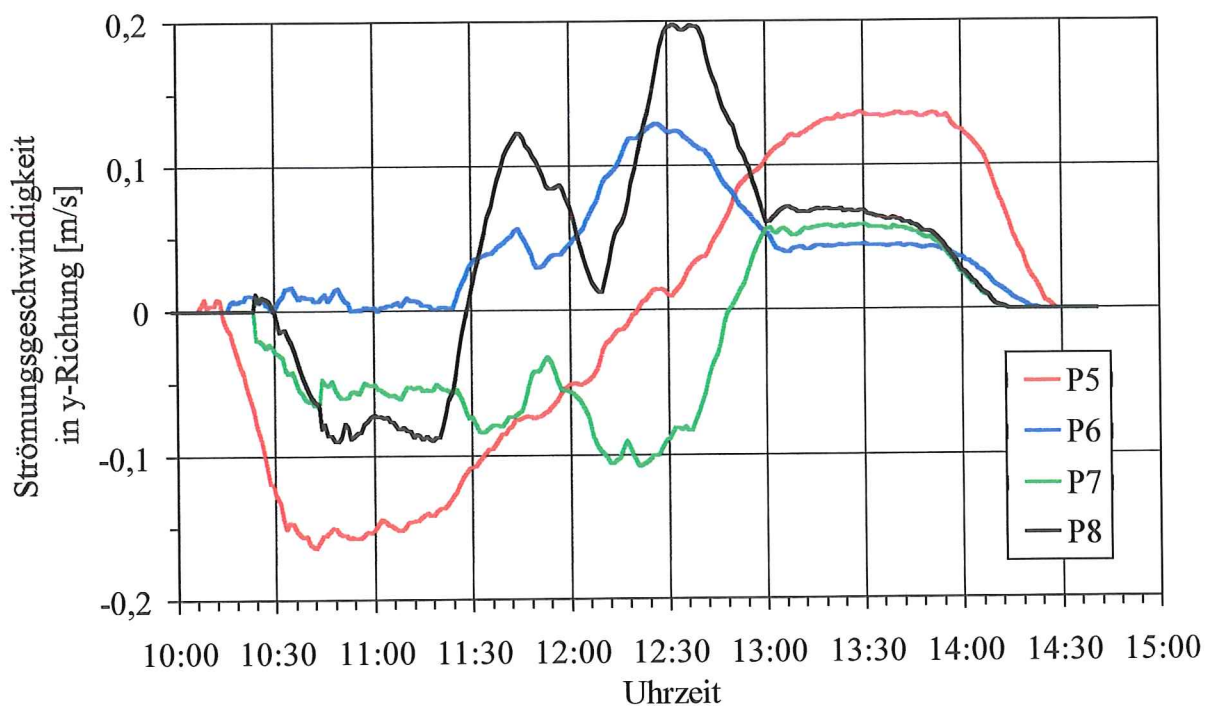
Anlage 8-88b: Sedimentationen und Erosionen im Verlaufe einer Tide  
an den Referenzpunkten P1 bis P4 und P5 bis P8 in der Variante m\_23 (vgl. Taf. 8.6)



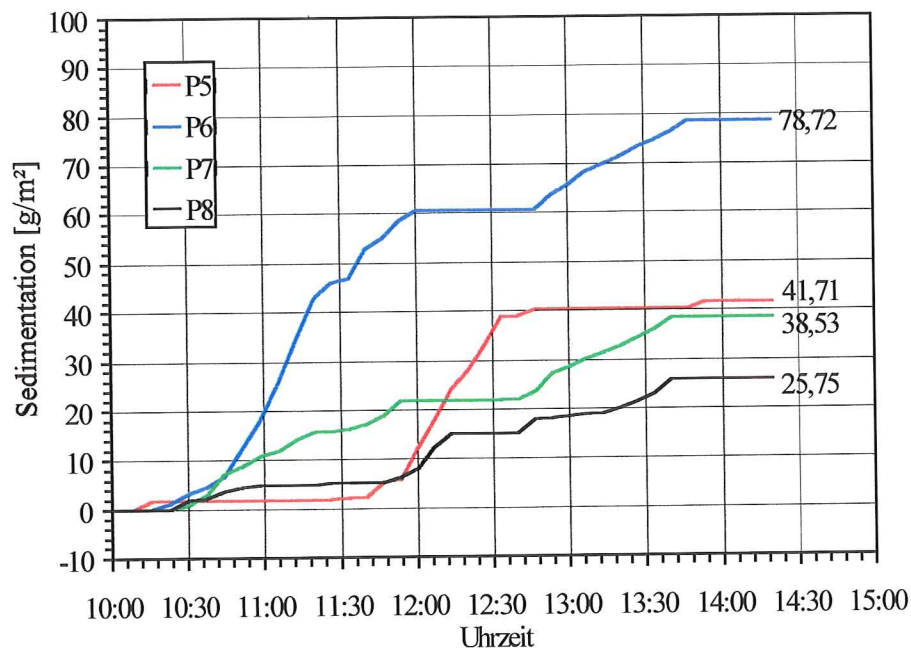
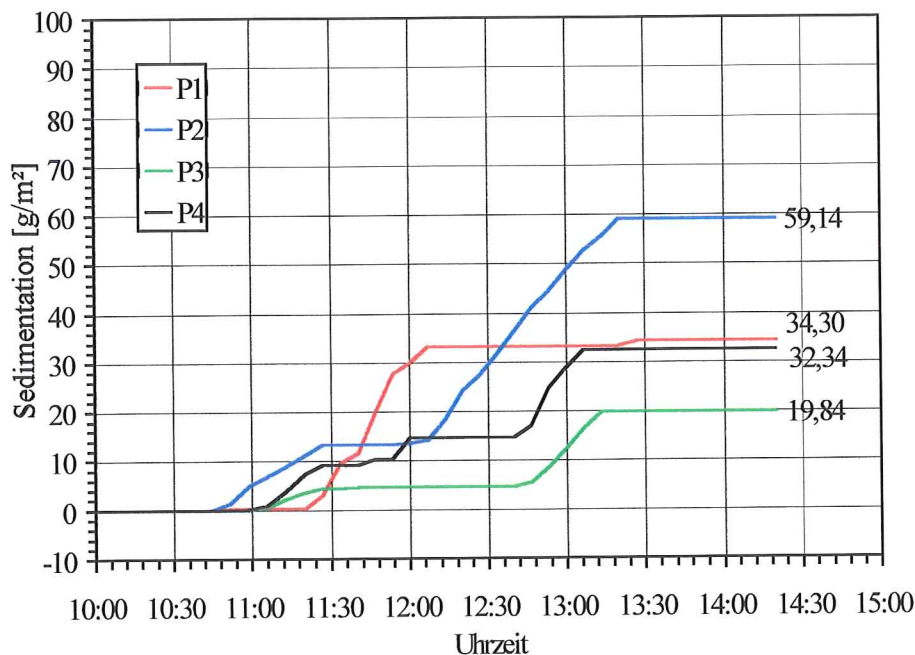
Anlage 8-88c: Sedimentation und Erosion nach Ablauf einer Tide  
im gesamten Simulationsbereich in der Variante m\_23 (vgl. Taf. 8.6)



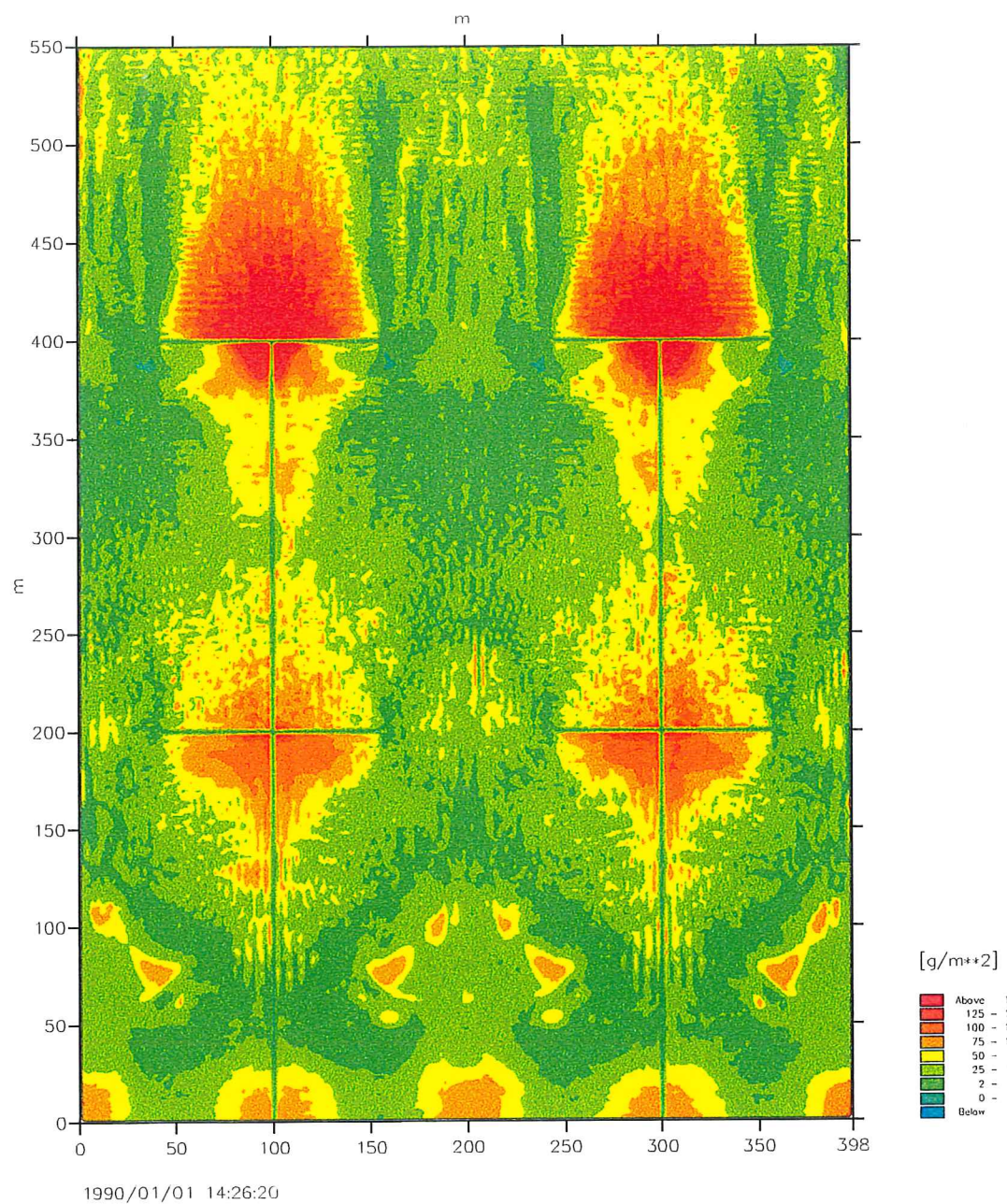
Anlage 8-89a1: Strömungsgeschwindigkeiten in y- und x- Richtung  
an den Referenzpunkten P1 bis P4 in der Variante m\_24 (vgl. Taf. 8.6)



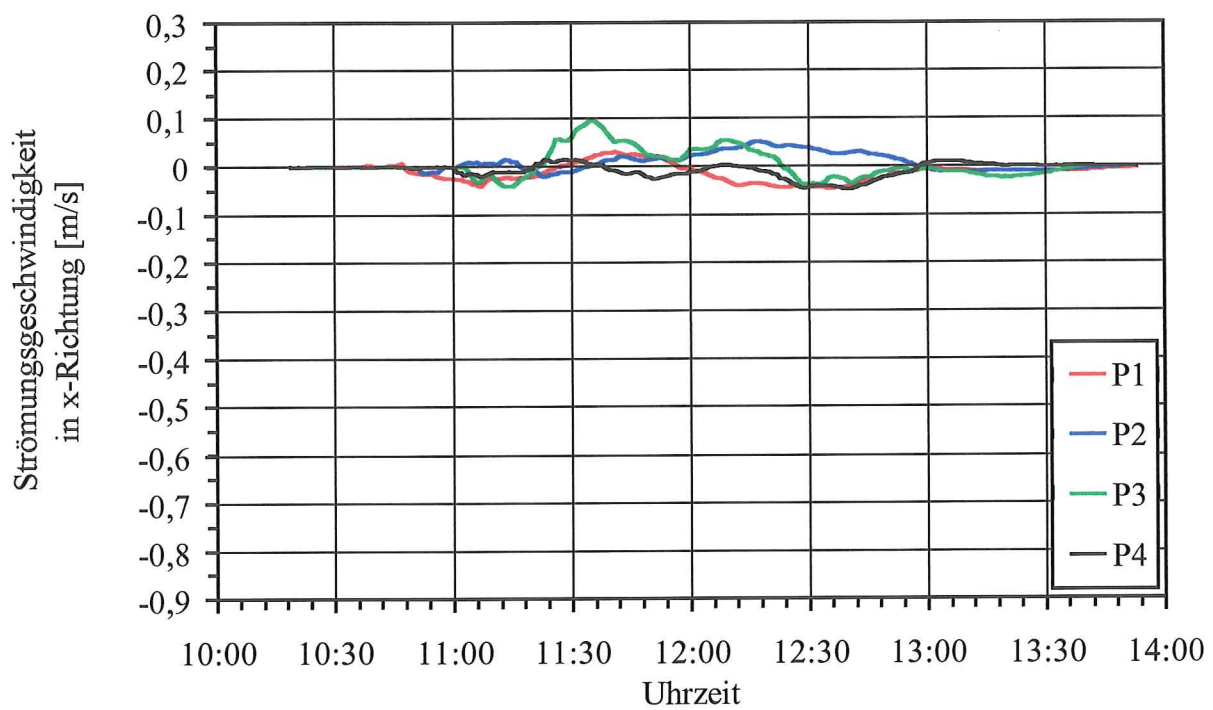
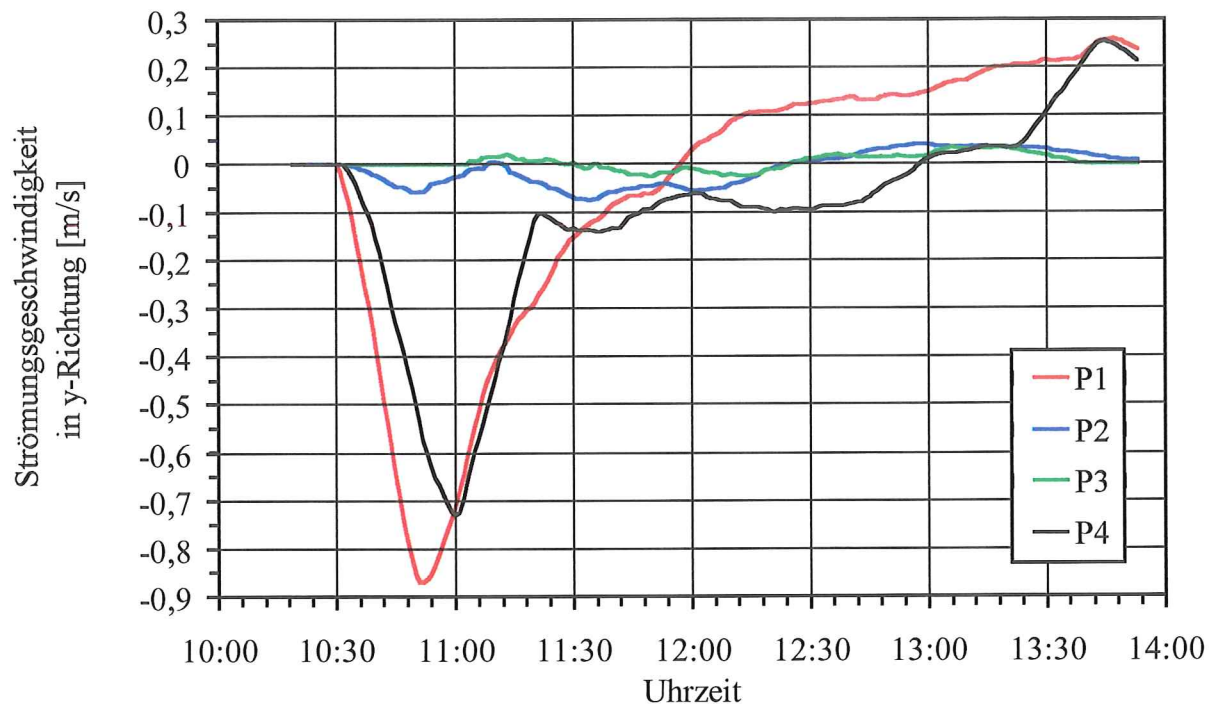
Anlage 8-89a2: Strömungsgeschwindigkeiten in y- und x- Richtung  
an den Referenzpunkten P5 bis P8 in der Variante m\_24 (vgl. Taf. 8.6)



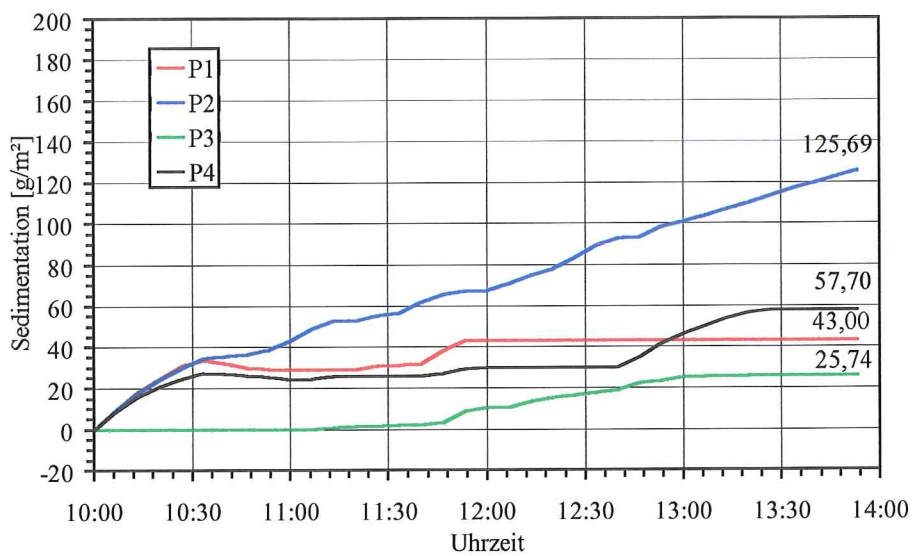
Anlage 8-89b: Sedimentationen und Erosionen im Verlaufe einer Tide  
an den Referenzpunkten P1 bis P4 und P5 bis P8 in der Variante m\_24 (vgl. Taf. 8.6)



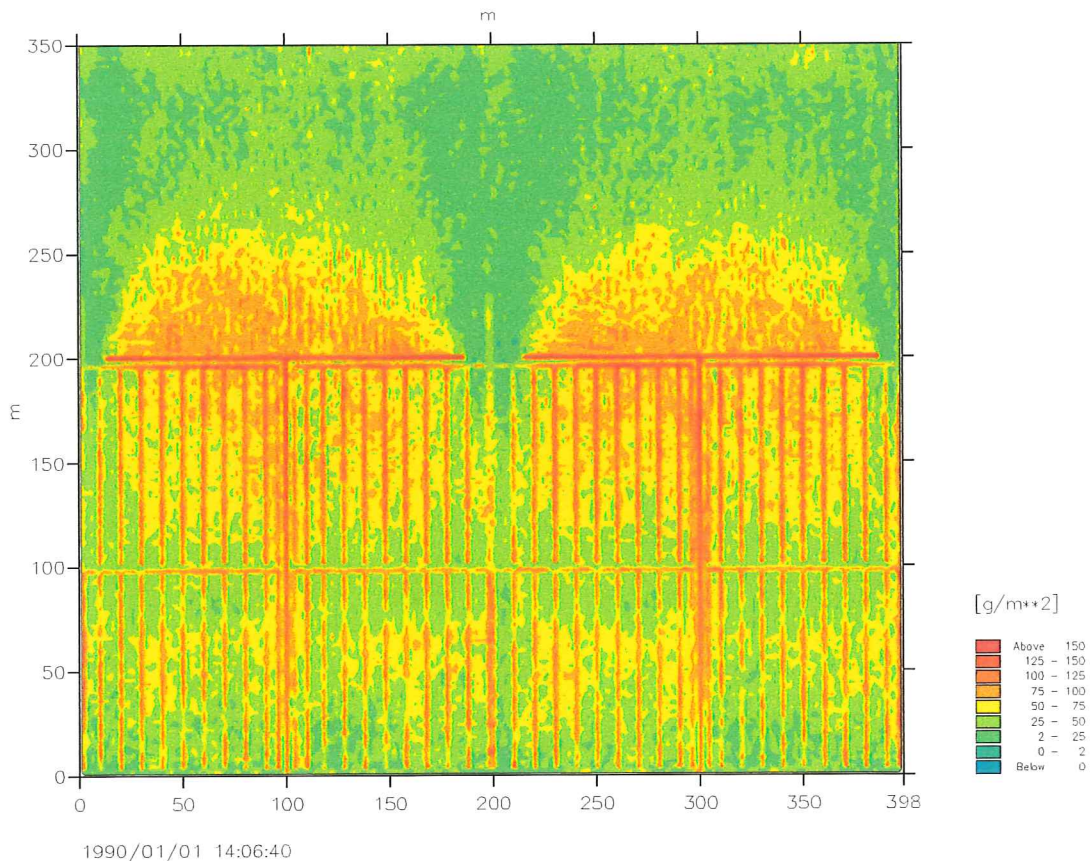
Anlage 8-89c: Sedimentation und Erosion nach Ablauf einer Tide  
im gesamten Simulationsbereich in der Variante m\_24 (vgl. Taf. 8.6)



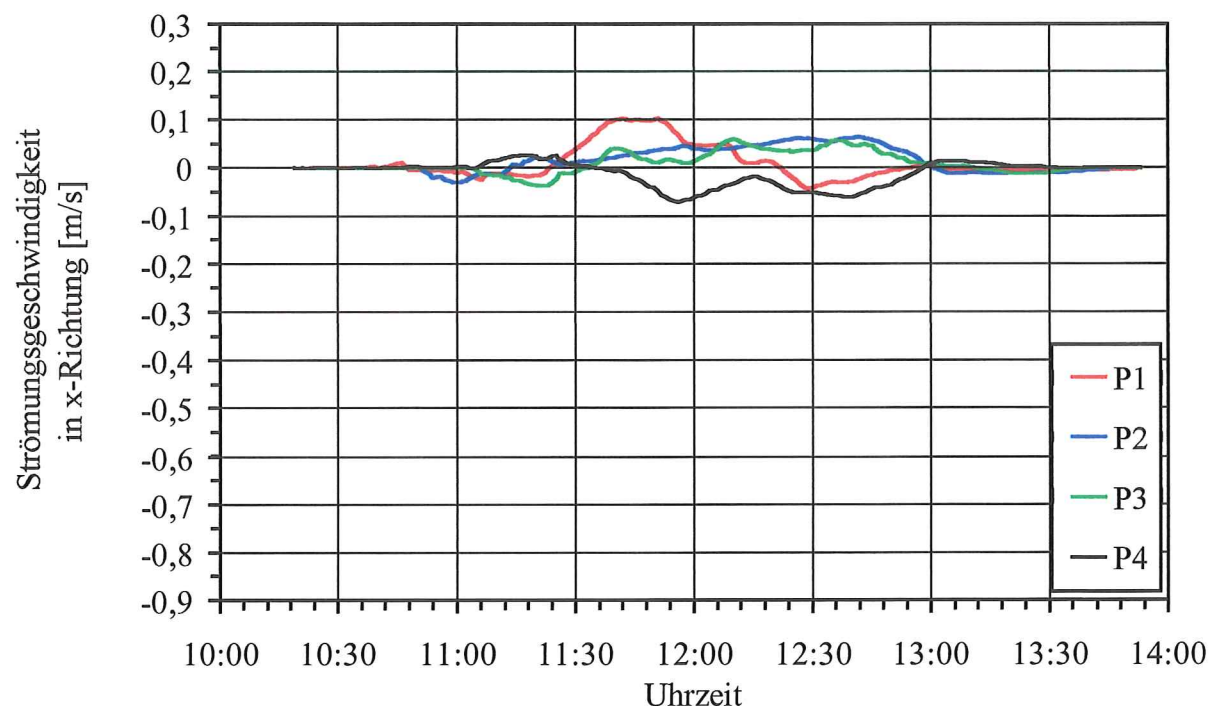
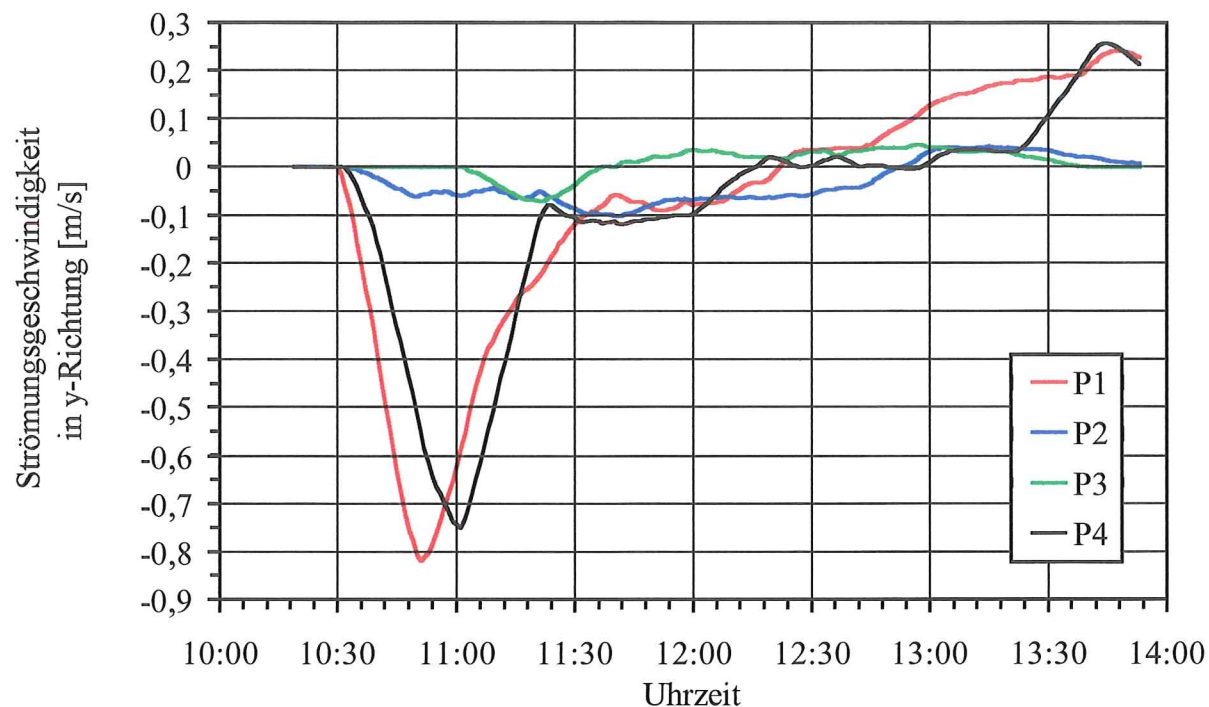
Anlage 8-90a: Strömungsgeschwindigkeiten in y- und x-Richtung  
an den Referenzpunkten P1 bis P4 in der Variante m\_25 (vgl. Taf. 8.6)



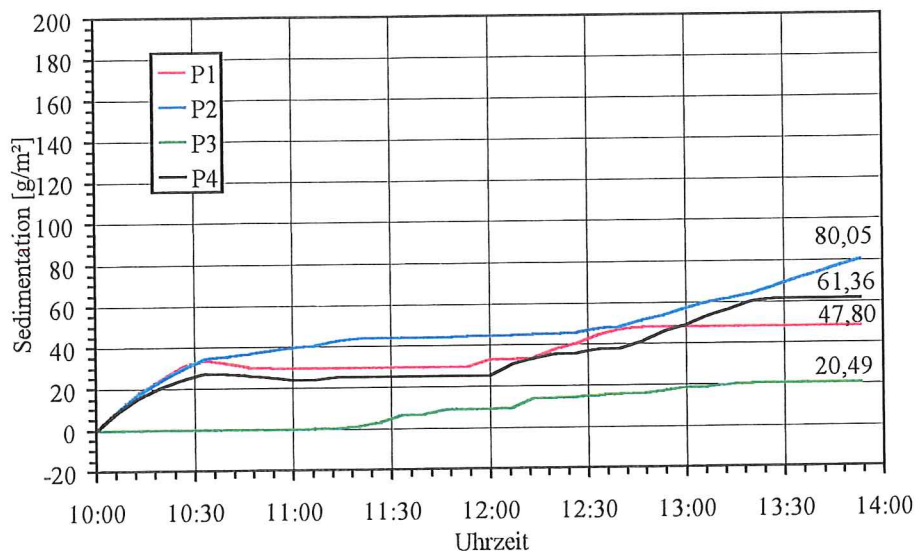
Anlage 8-90b: Sedimentationen und Erosionen im Verlaufe einer Tide an den Referenzpunkten P1 bis P4 in der Variante m\_25 (vgl. Taf. 8.6)



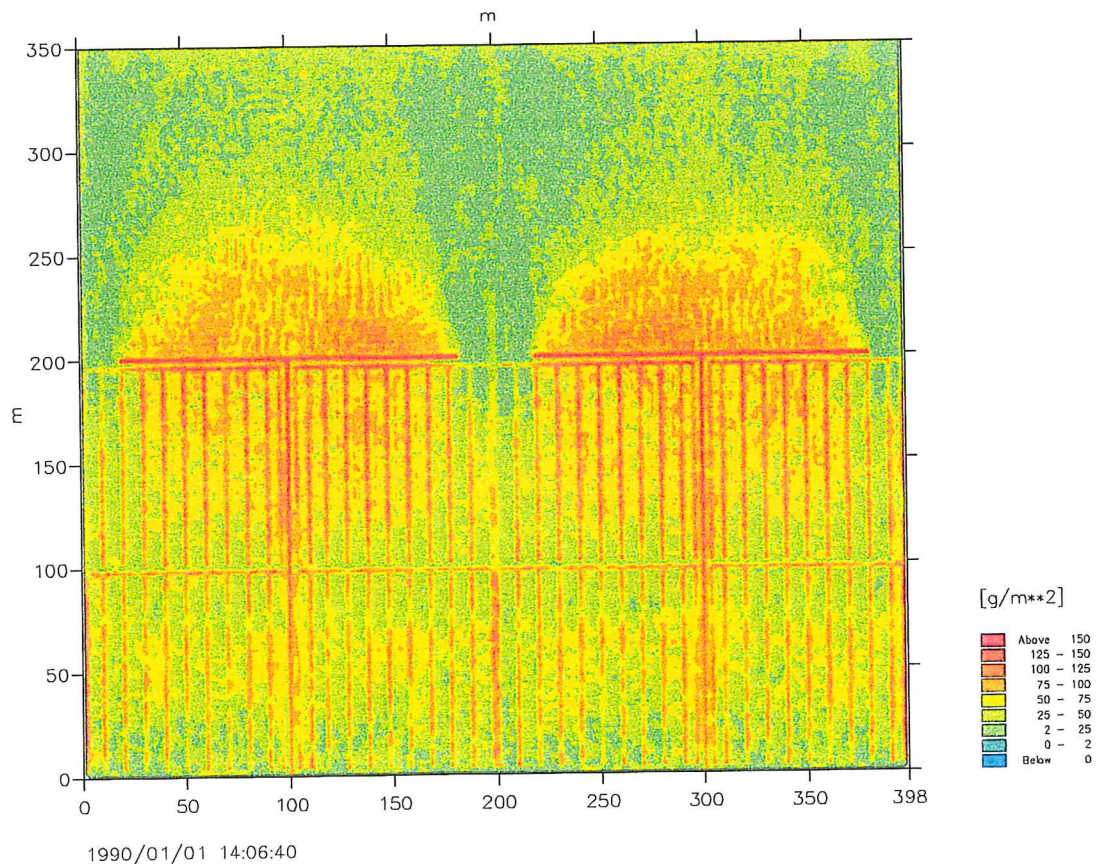
Anlage 8-90c: Sedimentation und Erosion nach Ablauf einer Tide im gesamten Simulationsbereich in der Variante m\_25 (vgl. Taf. 8.6)



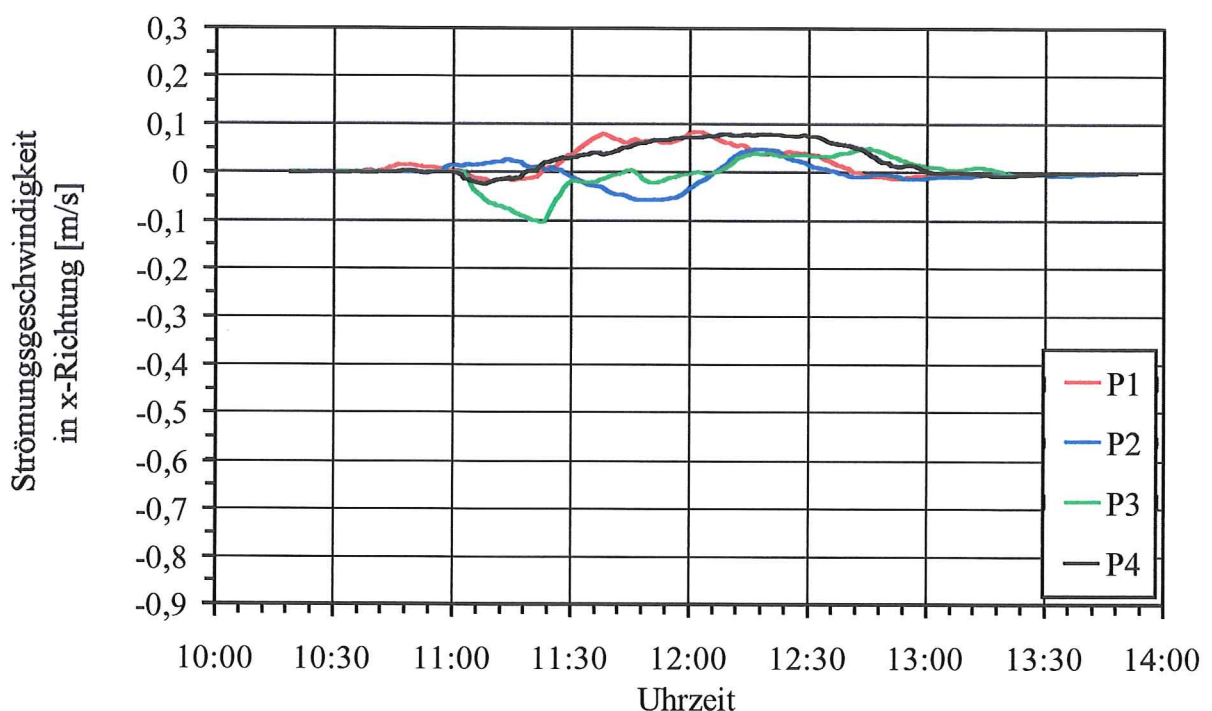
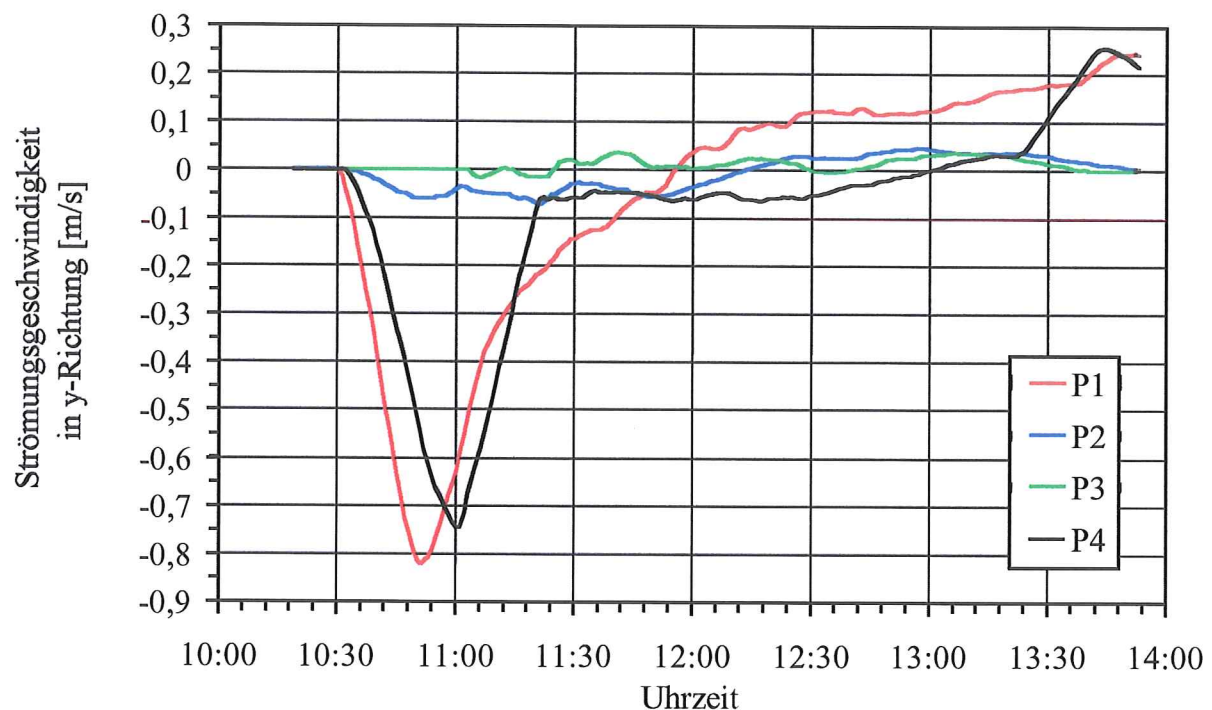
Anlage 8-91a: Strömungsgeschwindigkeiten in y- und x-Richtung  
an den Referenzpunkten P1 bis P4 in der Variante m\_26 (vgl. Taf. 8.6)



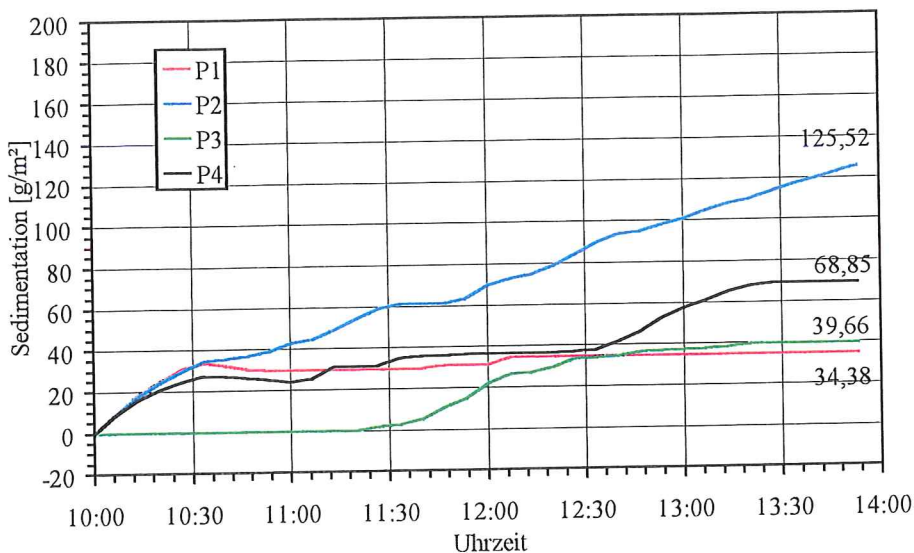
Anlage 8-91b: Sedimentationen und Erosionen im Verlaufe einer Tide an den Referenzpunkten P1 bis P4 in der Variante m\_26 (vgl. Taf. 8.6)



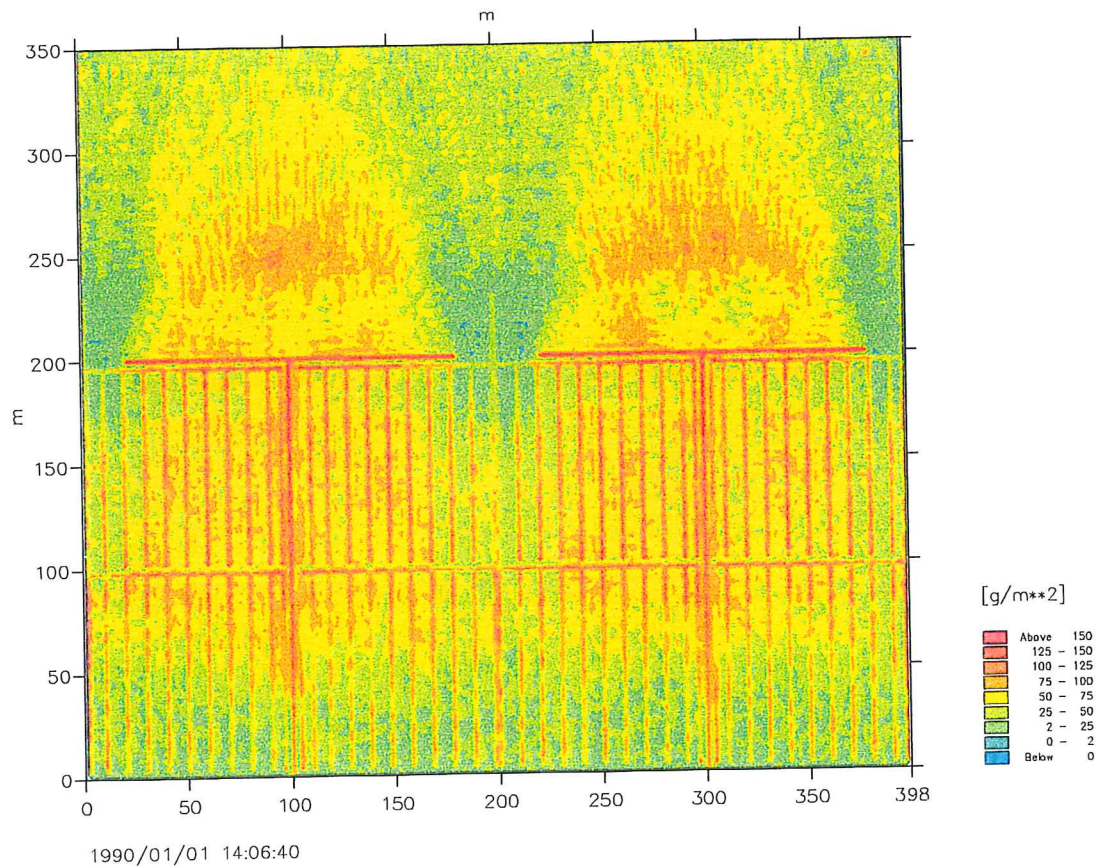
Anlage 8-91c: Sedimentation und Erosion nach Ablauf einer Tide im gesamten Simulationsbereich in der Variante m\_26 (vgl. Taf. 8.6)



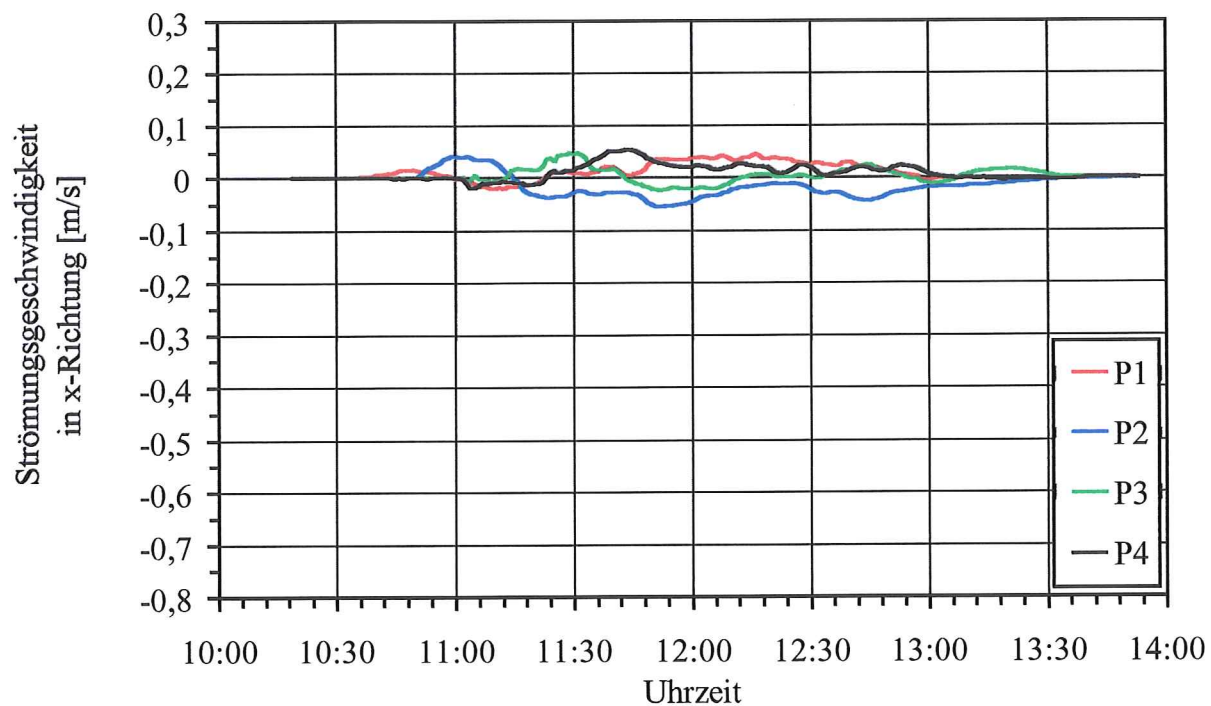
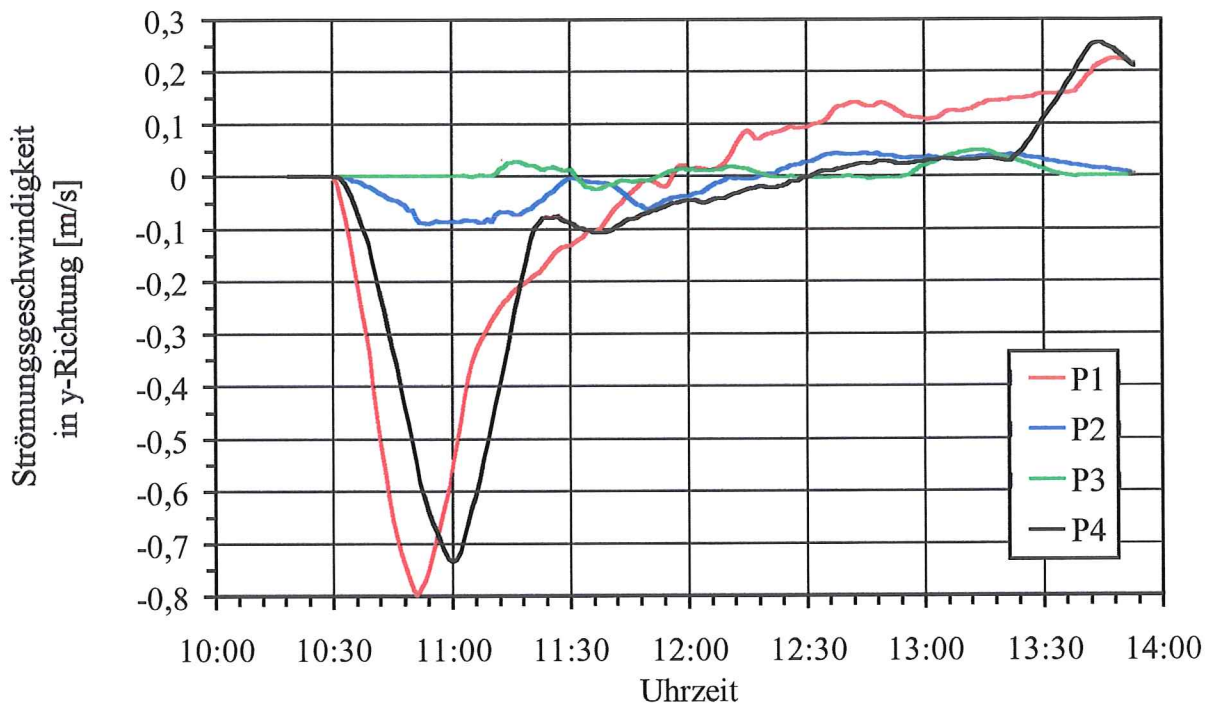
Anlage 8-92a: Strömungsgeschwindigkeiten in y- und x-Richtung  
an den Referenzpunkten P1 bis P4 in der Variante m\_27 (vgl. Taf. 8.6)



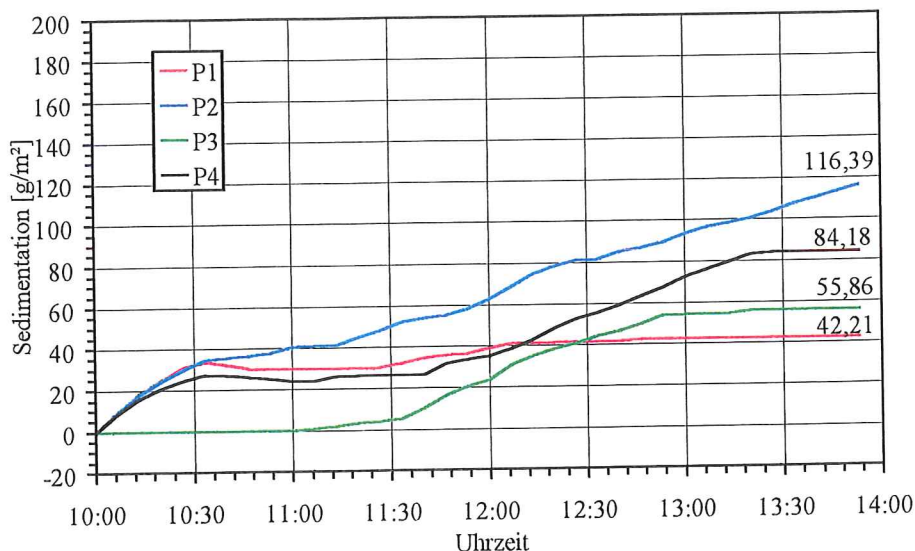
Anlage 8-92b: Sedimentationen und Erosionen im Verlaufe einer Tide an den Referenzpunkten P1 bis P4 in der Variante m\_27 (vgl. Taf. 8.6)



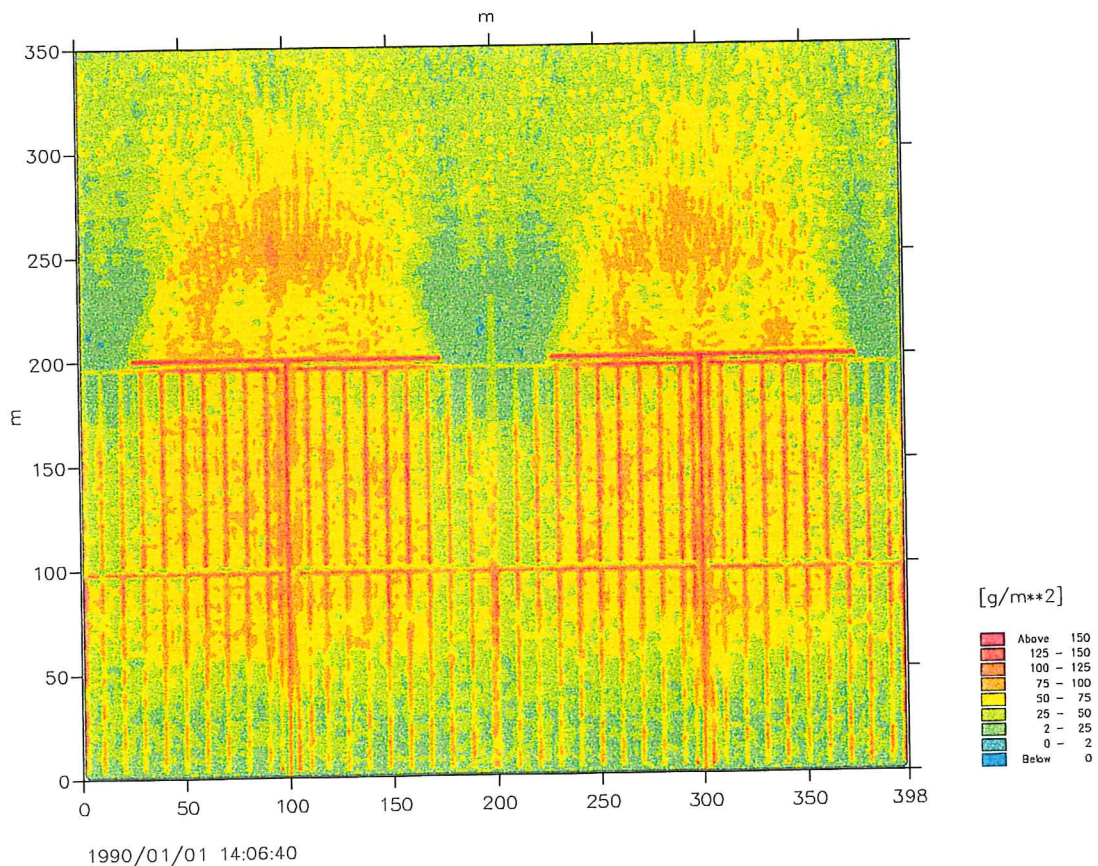
Anlage 8-92c: Sedimentation und Erosion nach Ablauf einer Tide im gesamten Simulationsbereich in der Variante m\_27 (vgl. Taf. 8.6)



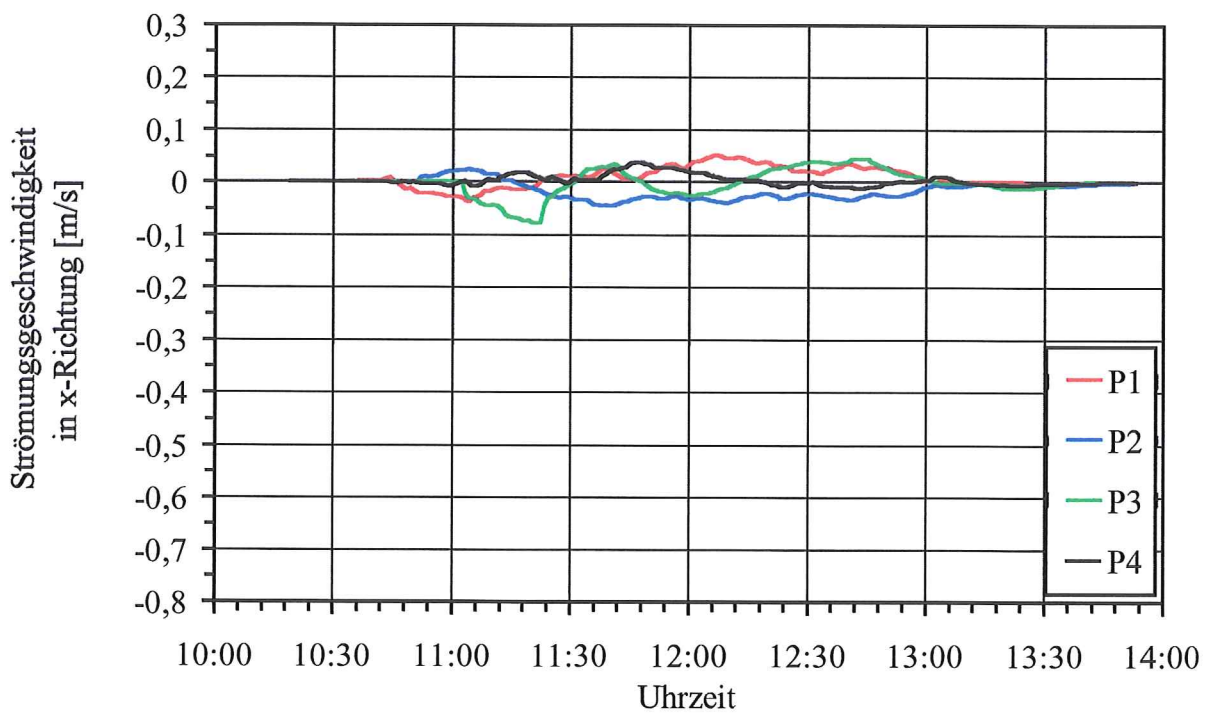
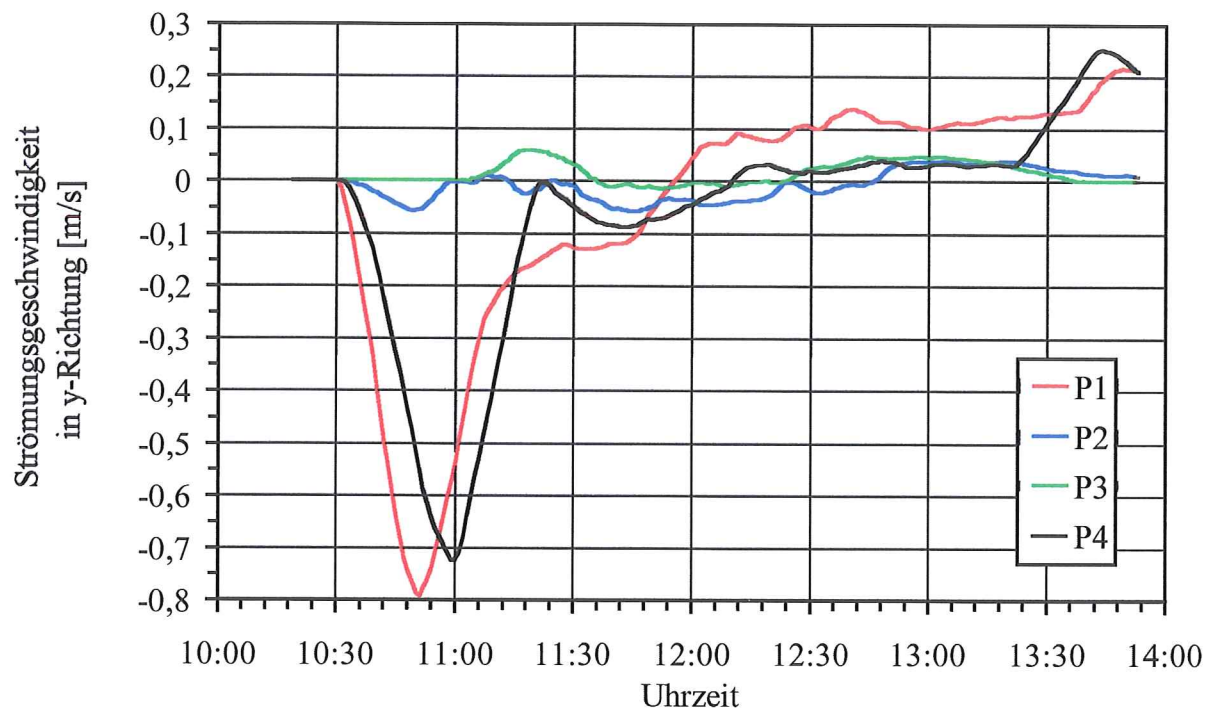
Anlage 8-93a: Strömungsgeschwindigkeiten in y- und x-Richtung  
an den Referenzpunkten P1 bis P4 in der Variante m\_28 (vgl. Taf. 8.6)



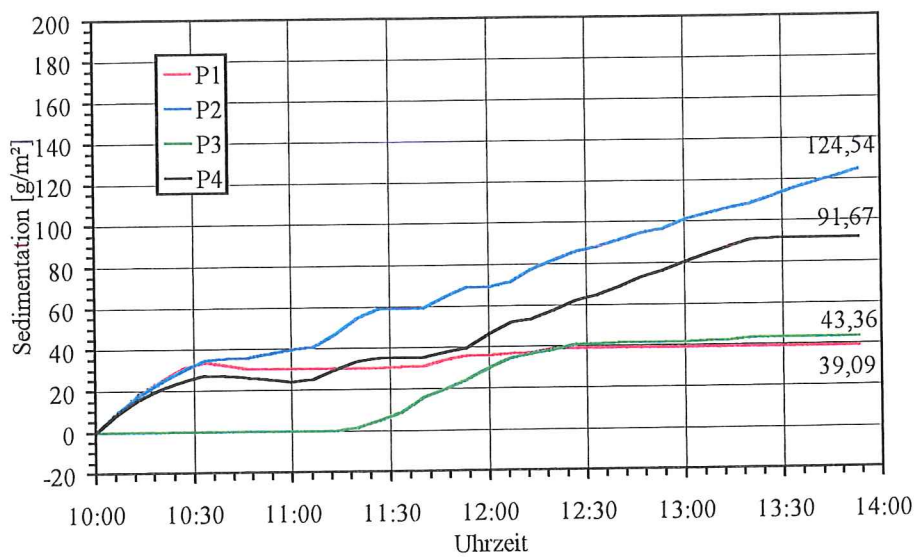
Anlage 8-93b: Sedimentationen und Erosionen im Verlaufe einer Tide an den Referenzpunkten P1 bis P4 in der Variante m\_28 (vgl. Taf. 8.6)



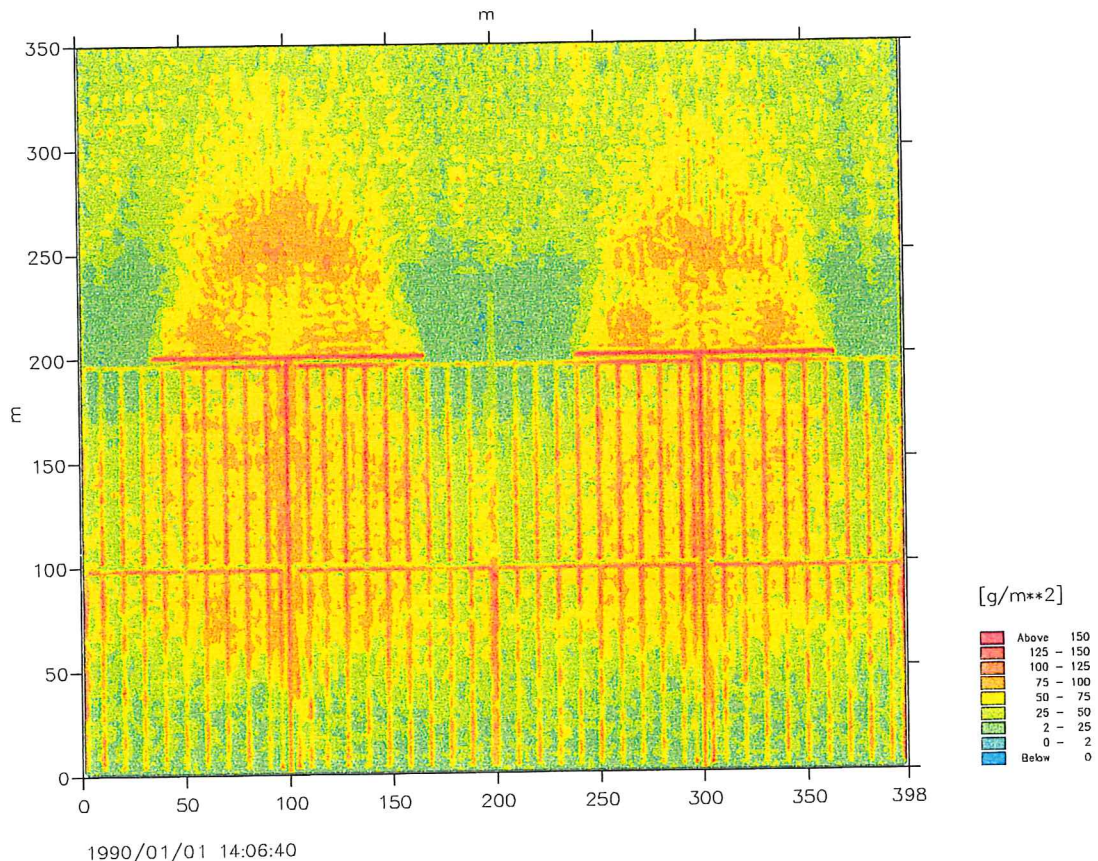
Anlage 8-93c: Sedimentation und Erosion nach Ablauf einer Tide im gesamten Simulationsbereich in der Variante m\_28 (vgl. Taf. 8.6)



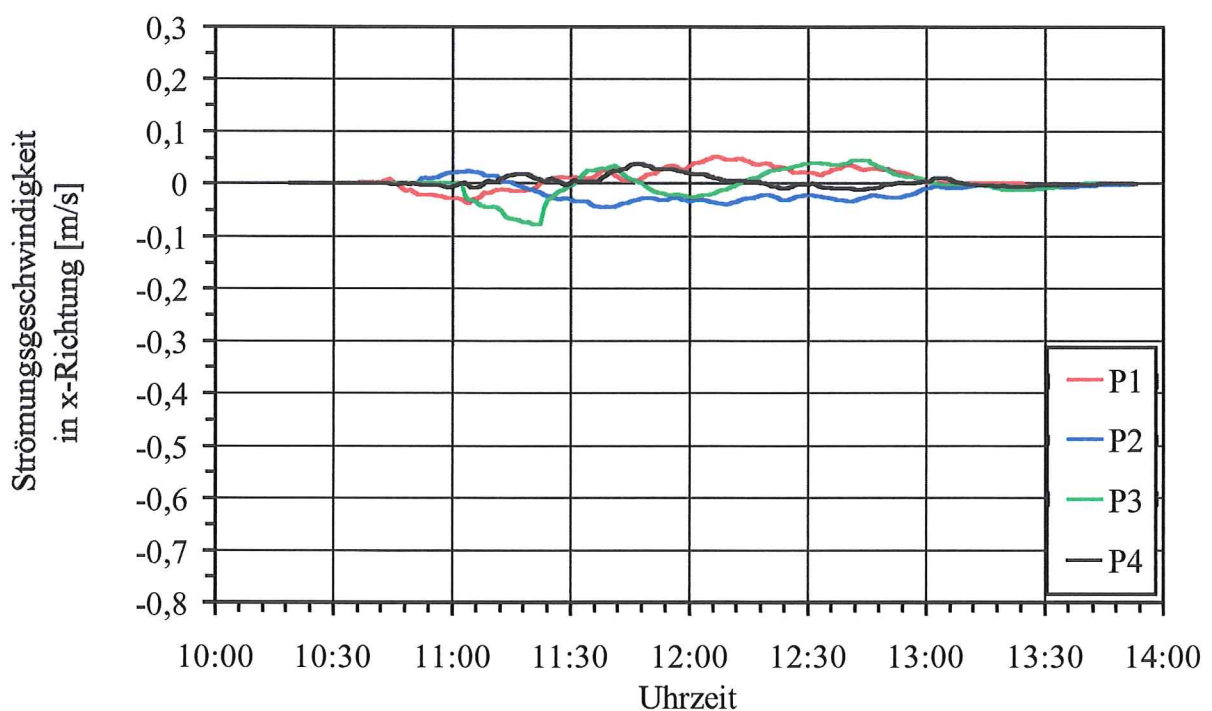
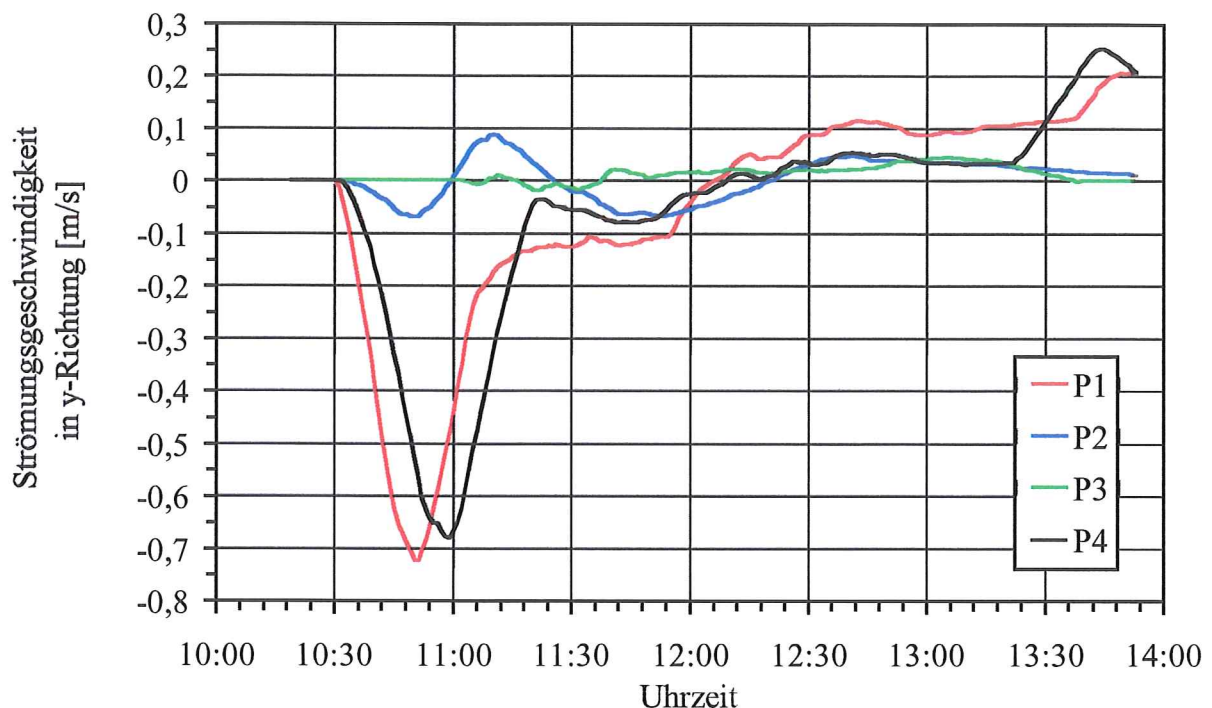
Anlage 8-94a: Strömungsgeschwindigkeiten in y- und x-Richtung  
an den Referenzpunkten P1 bis P4 in der Variante m\_29 (vgl. Taf. 8.6)



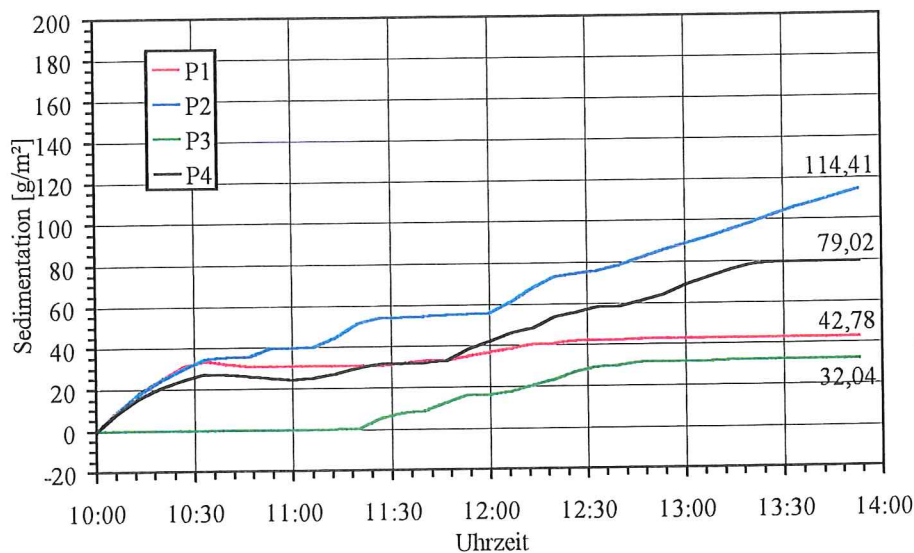
Anlage 8-94b: Sedimentationen und Erosionen im Verlaufe einer Tide an den Referenzpunkten P1 bis P4 in der Variante m\_29 (vgl. Taf. 8.6)



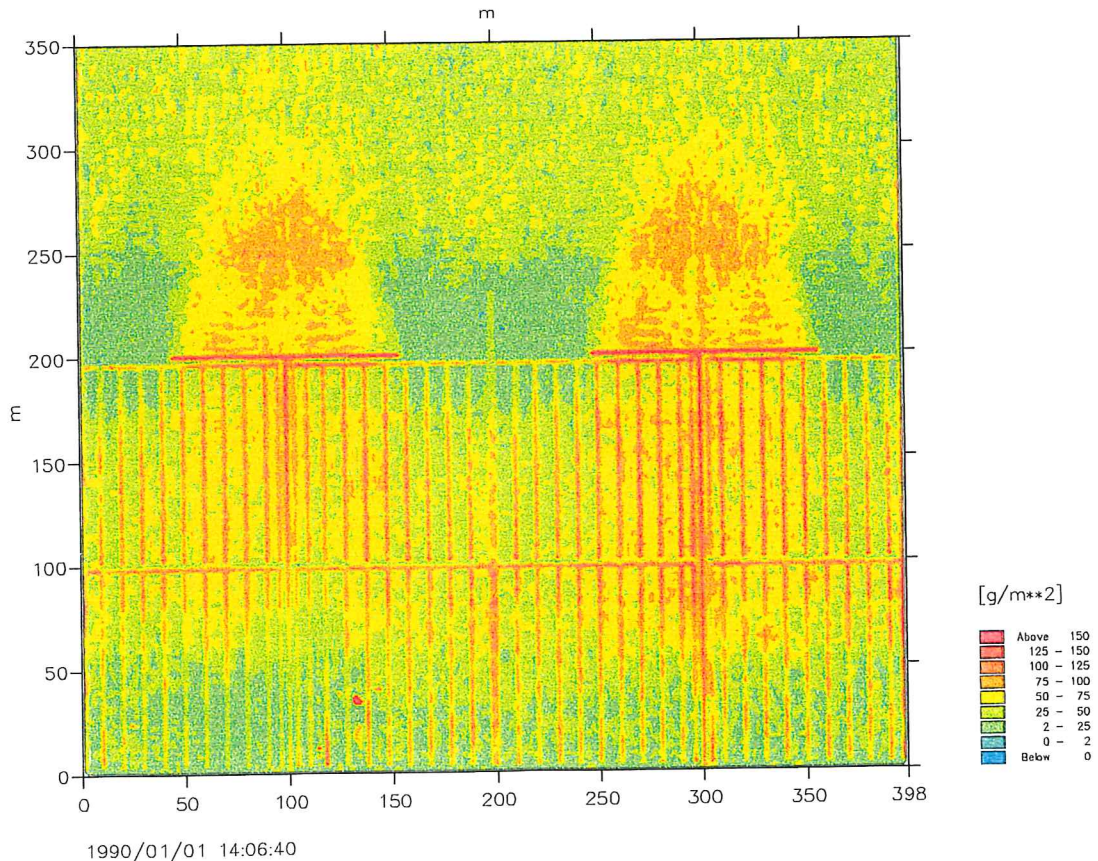
Anlage 8-94c: Sedimentation und Erosion nach Ablauf einer Tide im gesamten Simulationsbereich in der Variante m\_29 (vgl. Taf. 8.6)



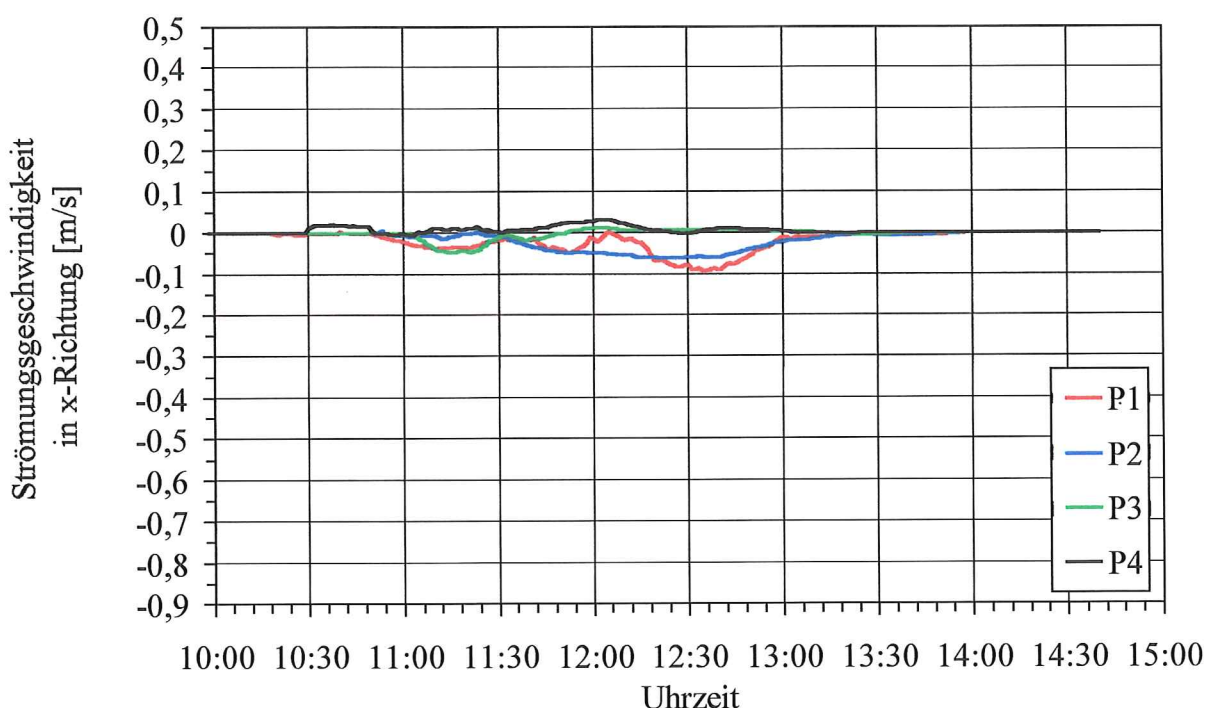
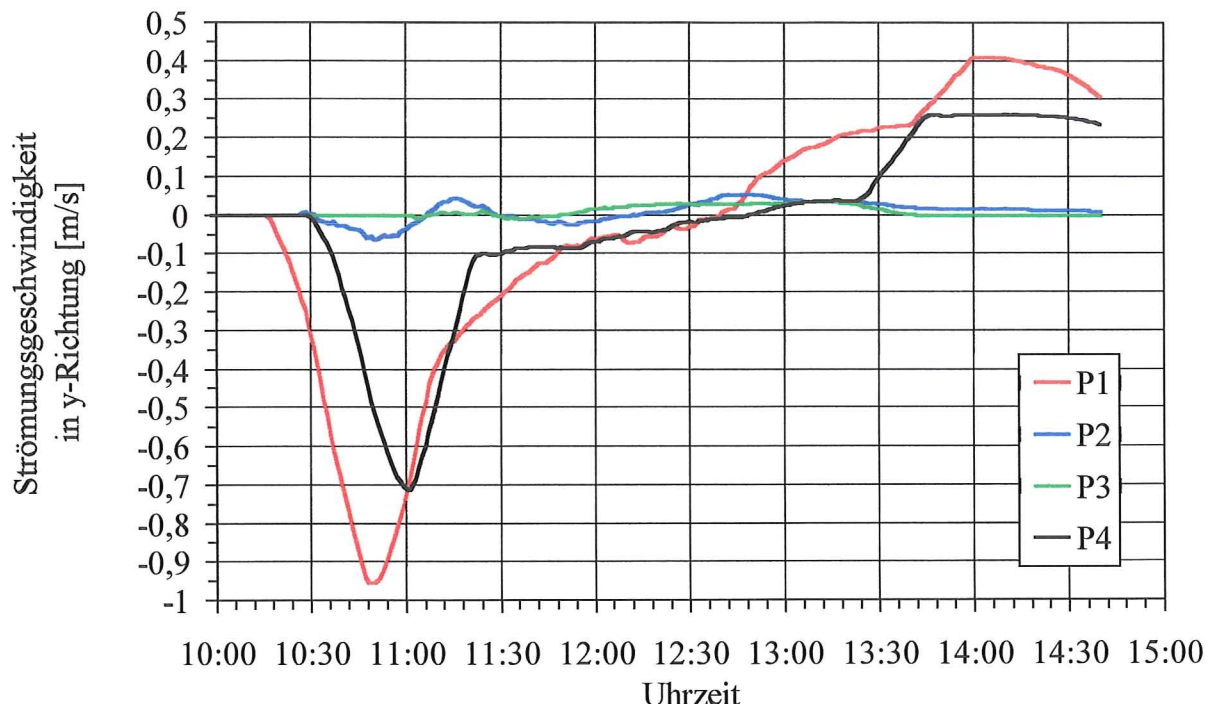
Anlage 8-95a: Strömungsgeschwindigkeiten in y- und x-Richtung  
an den Referenzpunkten P1 bis P4 in der Variante m\_30 (vgl. Taf. 8.6)



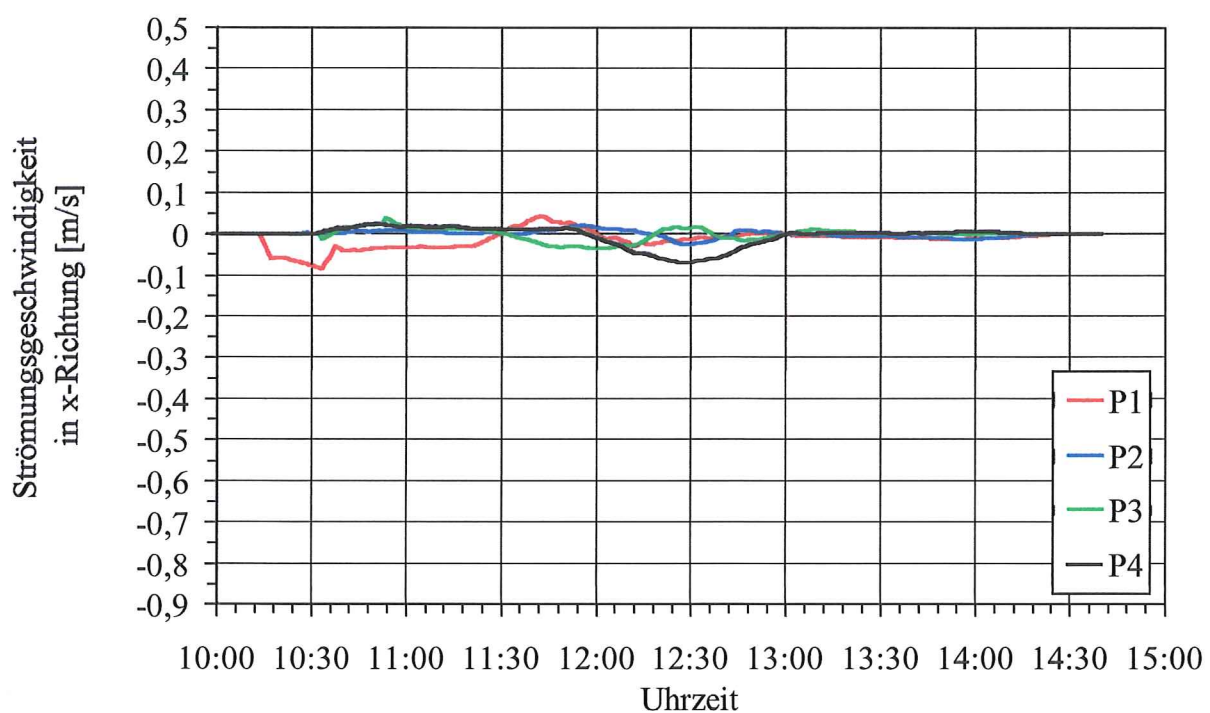
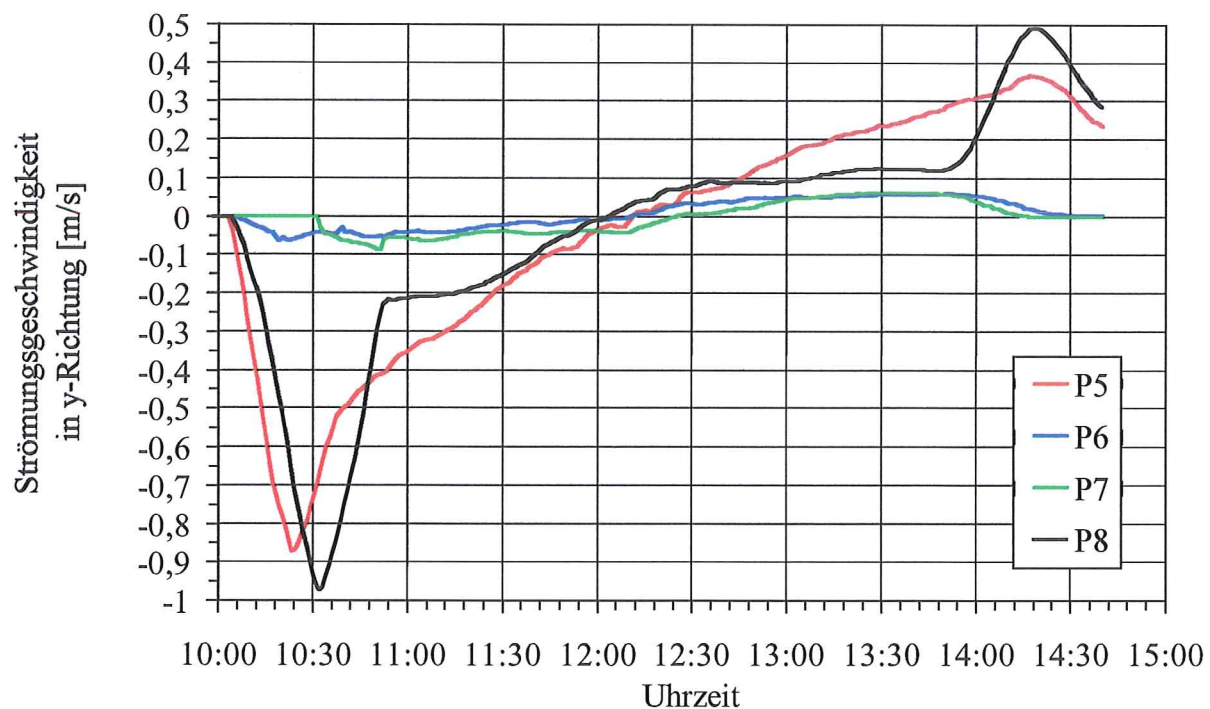
Anlage 8-95b: Sedimentationen und Erosionen im Verlaufe einer Tide an den Referenzpunkten P1 bis P4 in der Variante m\_30 (vgl. Taf. 8.6)



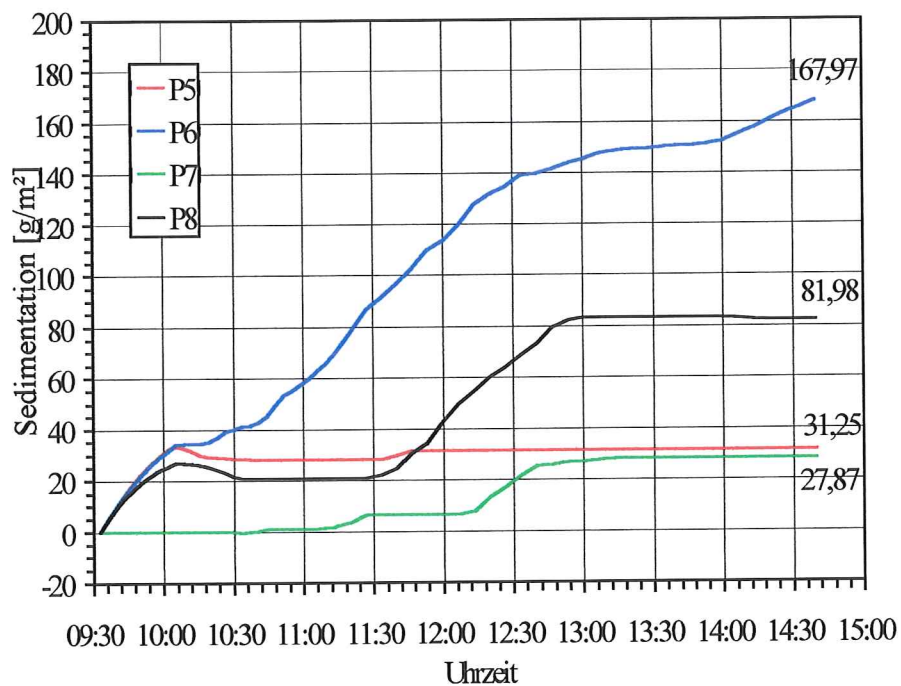
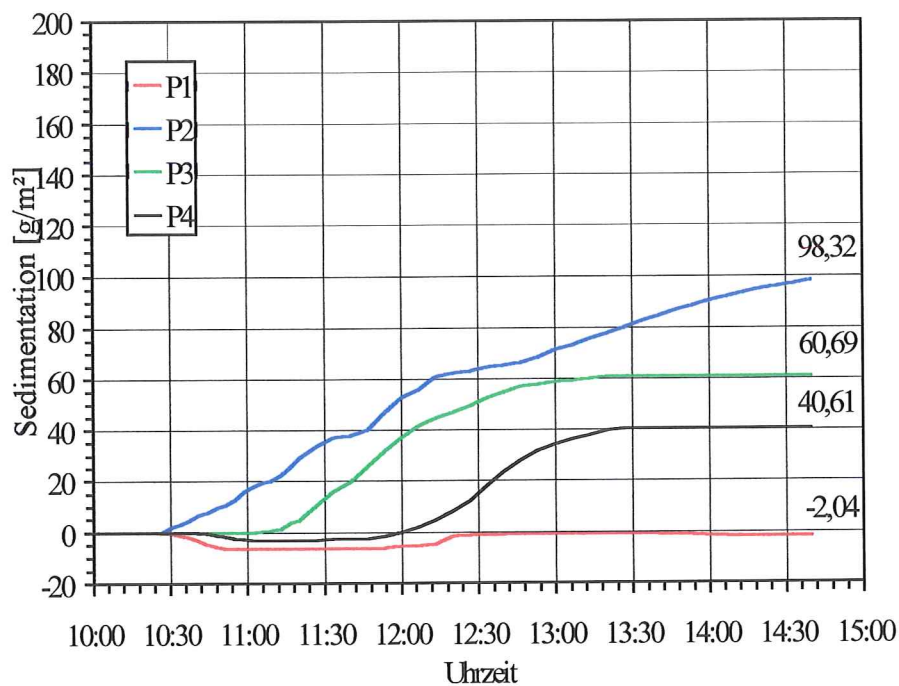
Anlage 8-95c: Sedimentation und Erosion nach Ablauf einer Tide im gesamten Simulationsbereich in der Variante m\_30 (vgl. Taf. 8.6)



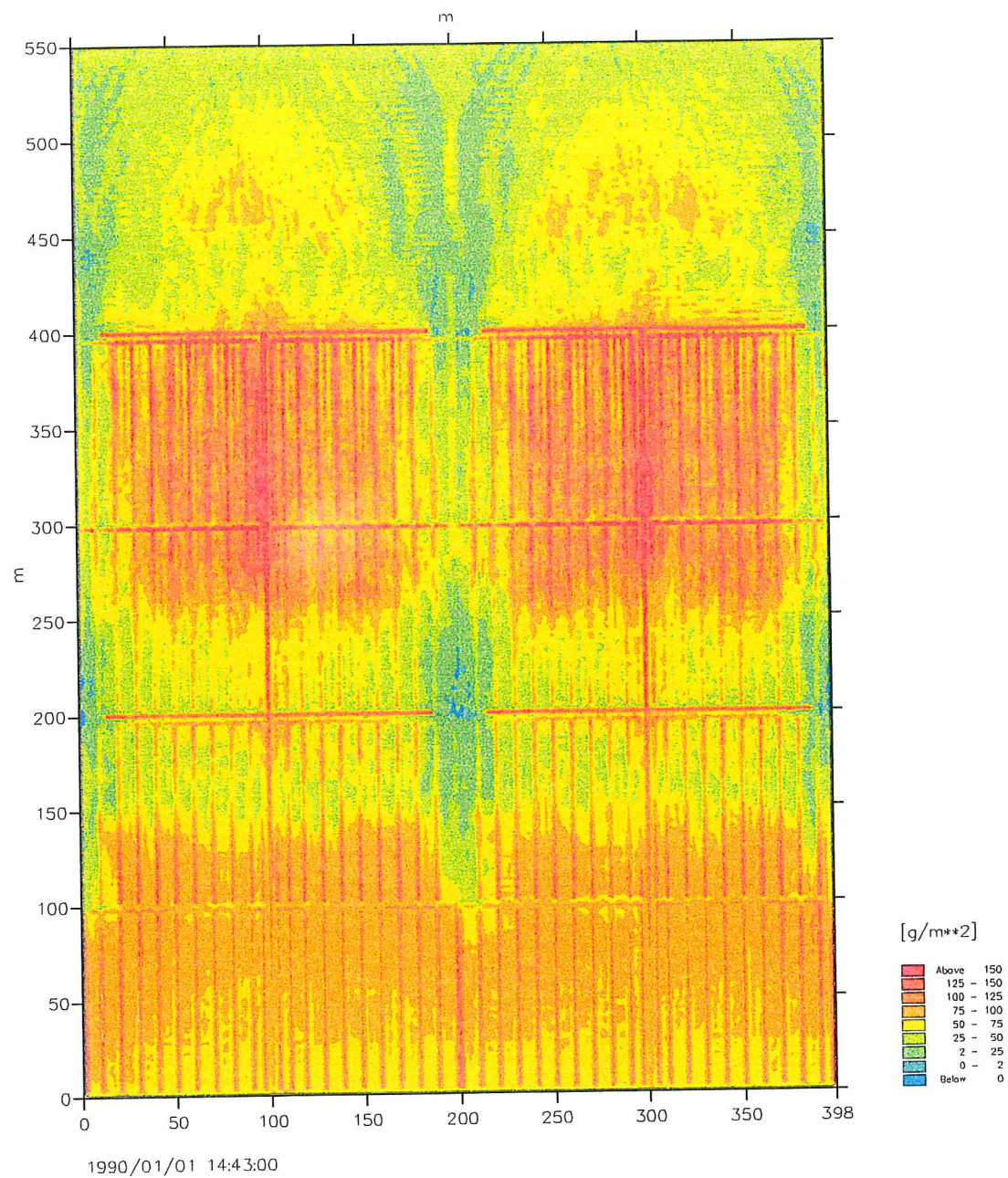
Anlage 8-96a1: Strömungsgeschwindigkeiten in y- und x-Richtung  
an den Referenzpunkten P1 bis P4 in der Variante m\_31 (vgl. Taf. 8.6)



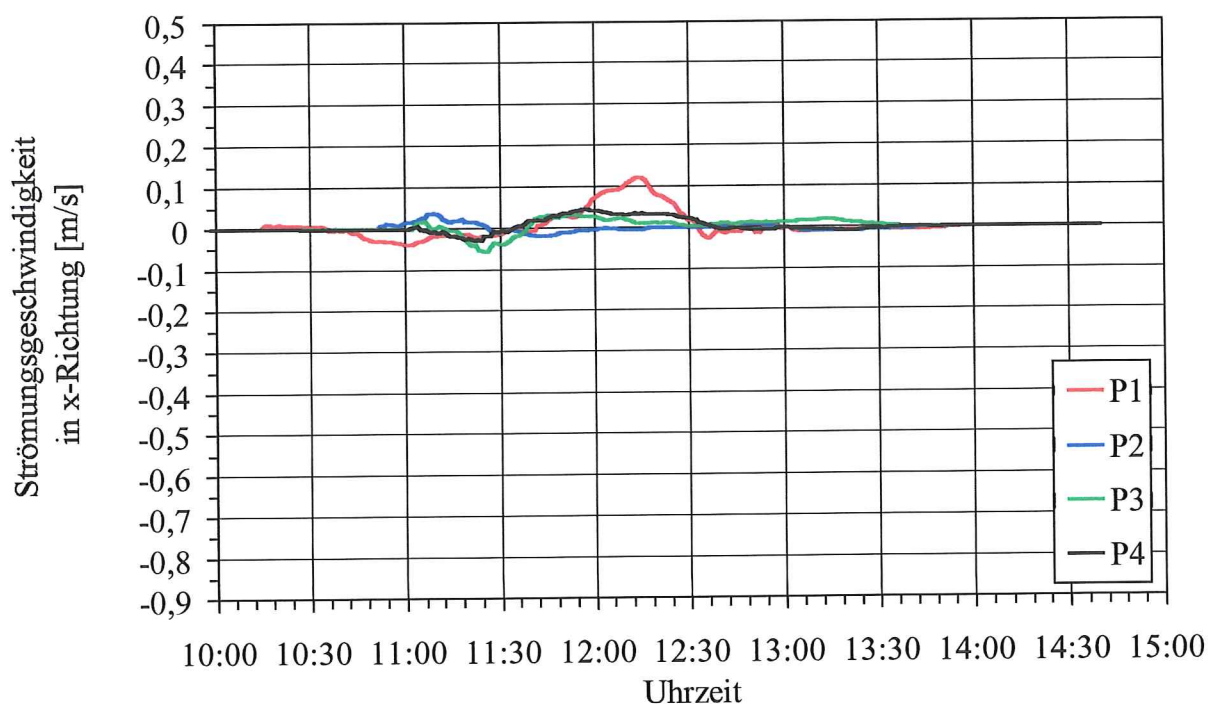
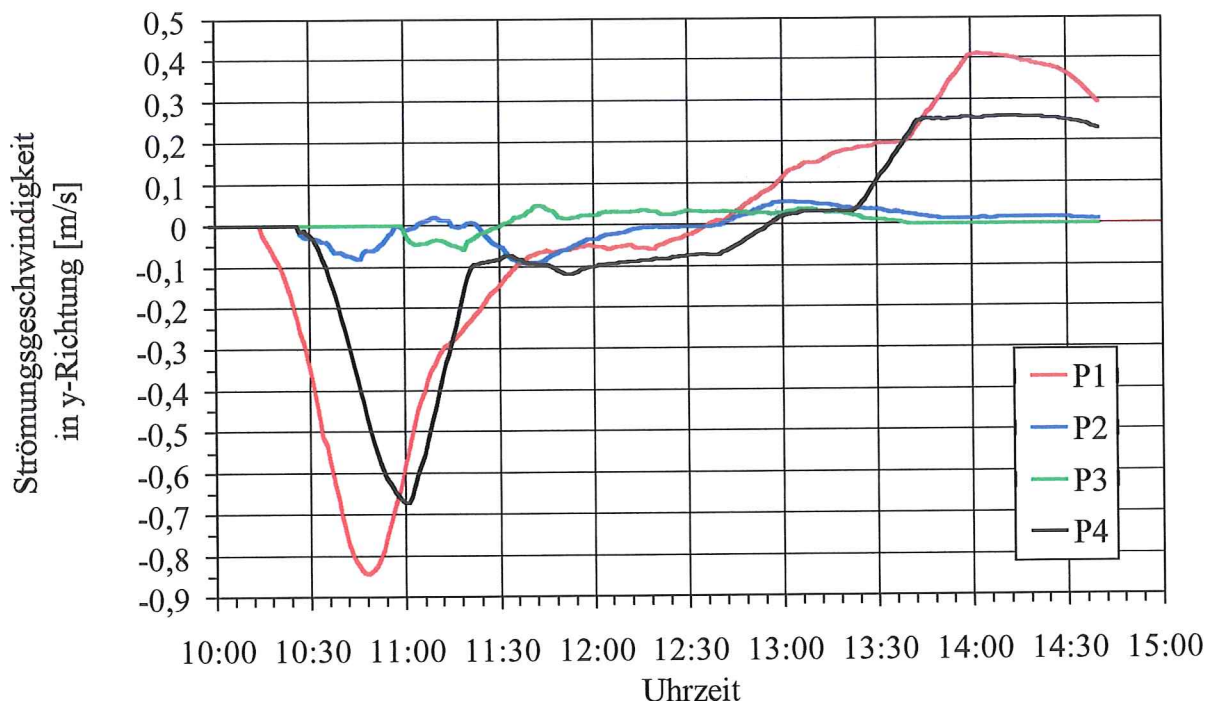
Anlage 8-96a2: Strömungsgeschwindigkeiten in y- und x-Richtung  
an den Referenzpunkten P5 bis P8 in der Variante m\_31 (vgl. Taf. 8.6)



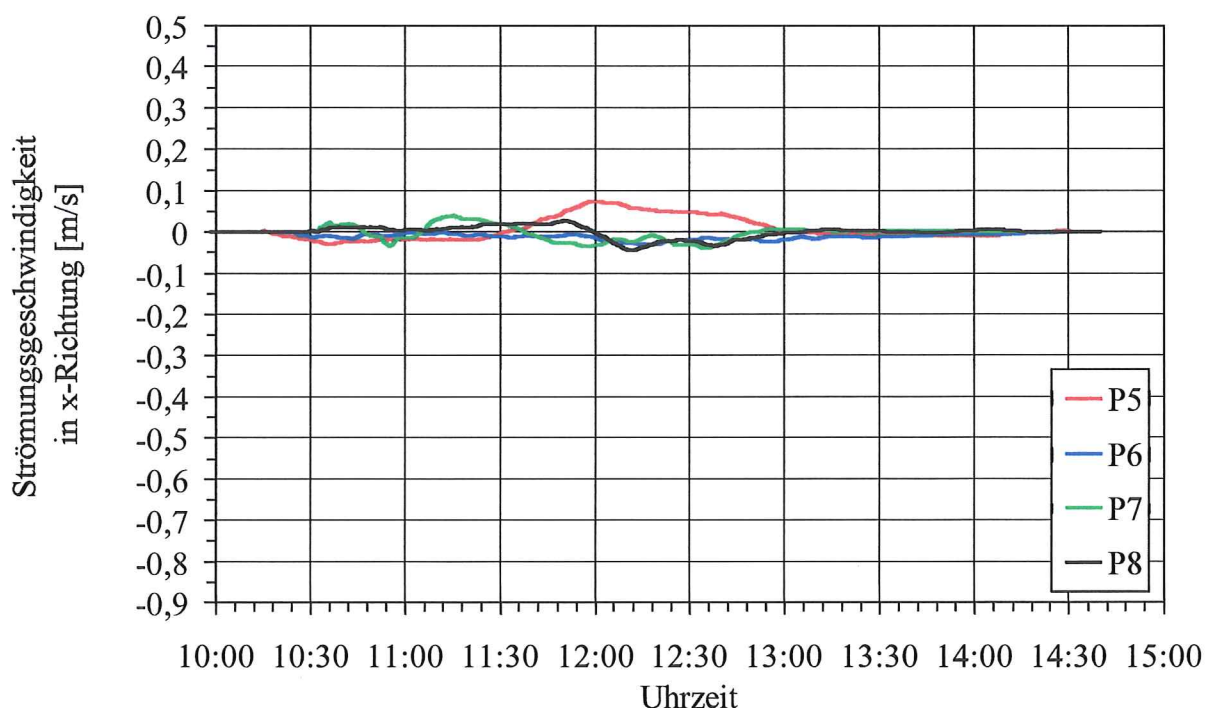
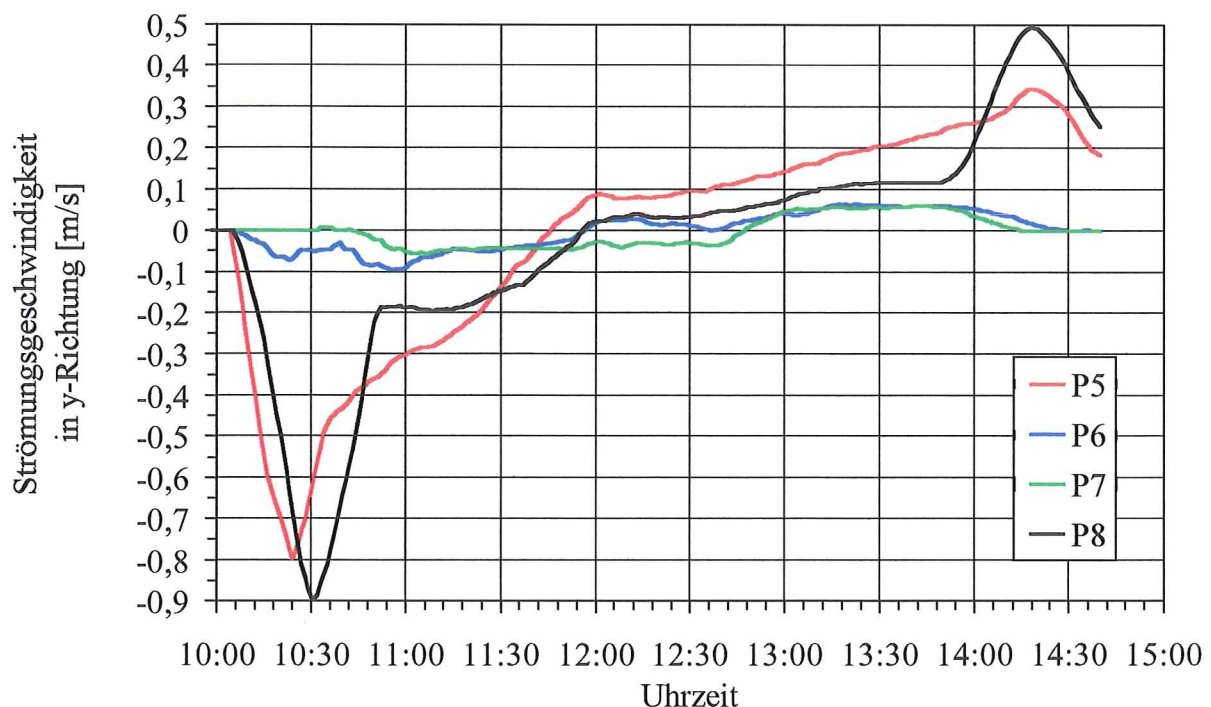
Anlage 8-96b: Sedimentationen und Erosionen im Verlaufe einer Tide  
an den Referenzpunkten P1 bis P4 und P5 bis P8 in der Variante m\_31 (vgl. Taf. 8.6)



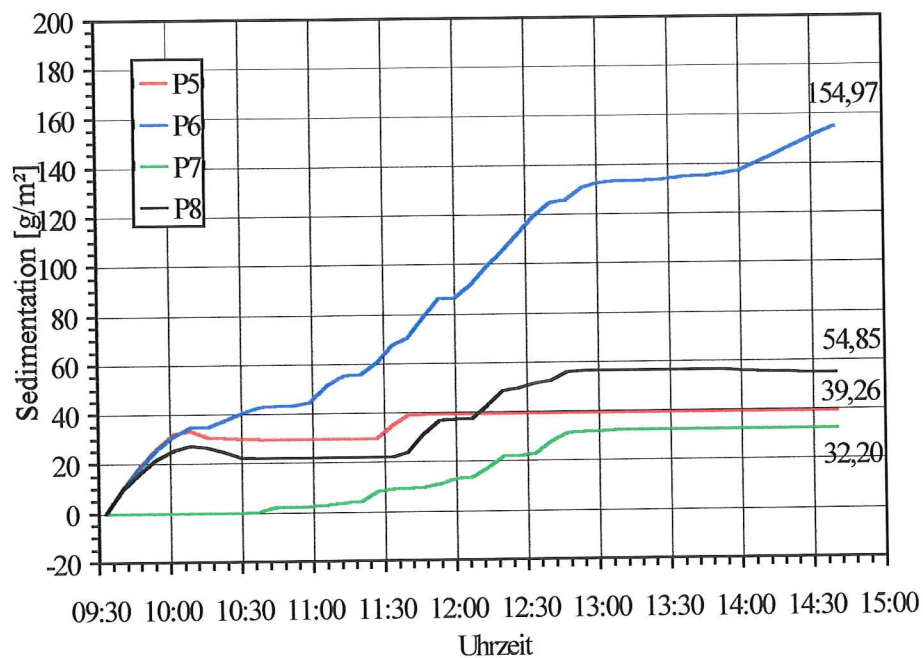
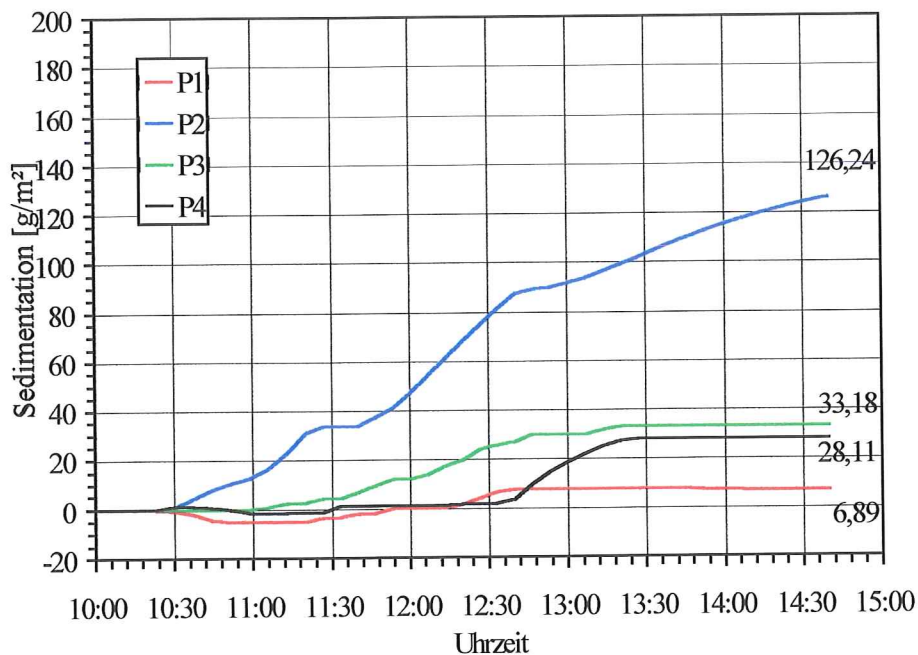
Anlage 8-96c: Sedimentation und Erosion nach Ablauf einer Tide  
im gesamten Simulationsbereich in der Variante m\_31 (vgl. Taf. 8.6)



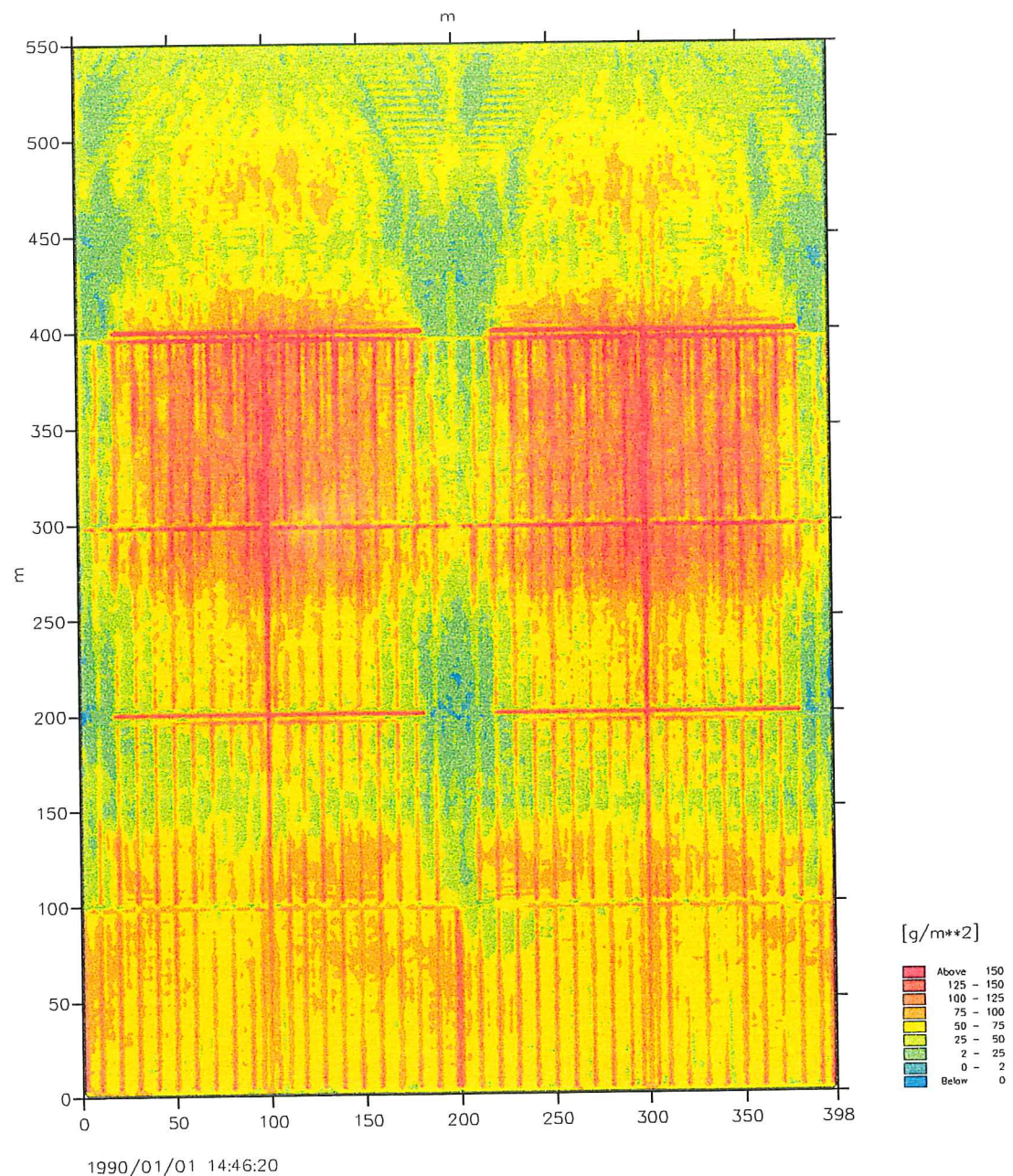
Anlage 8-97a1: Strömungsgeschwindigkeiten in y- und x-Richtung  
an den Referenzpunkten P1 bis P4 in der Variante m\_32 (vgl. Taf. 8.6)



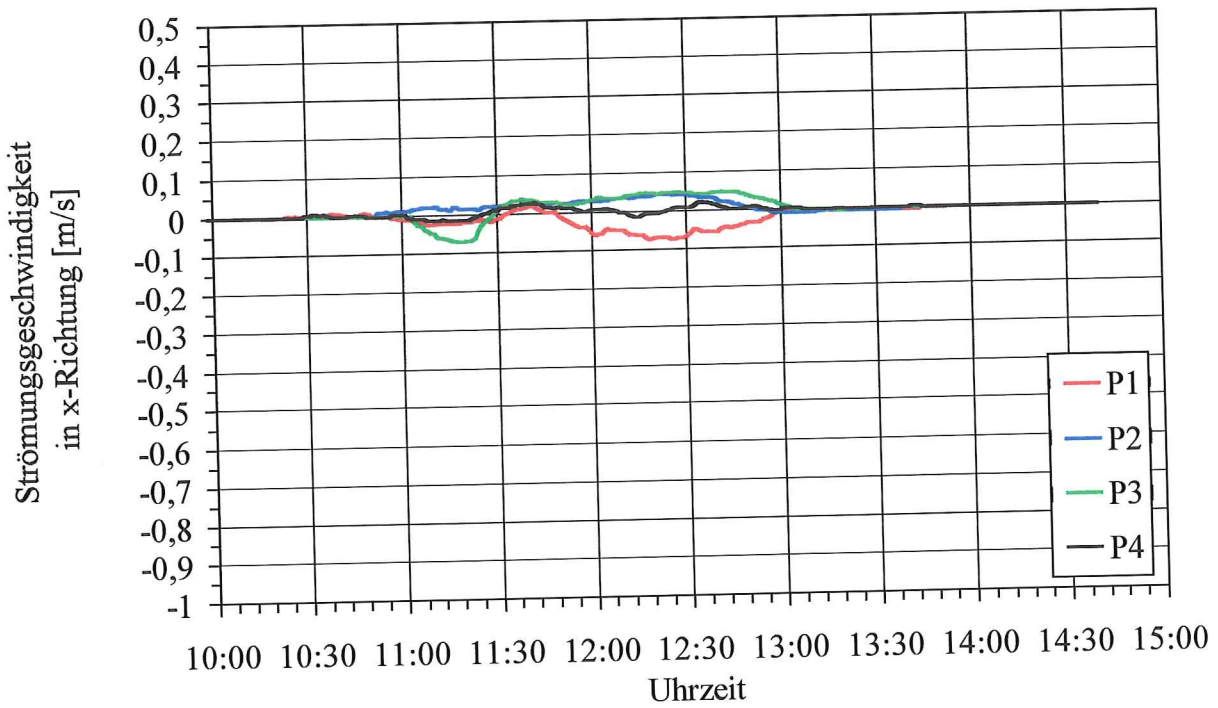
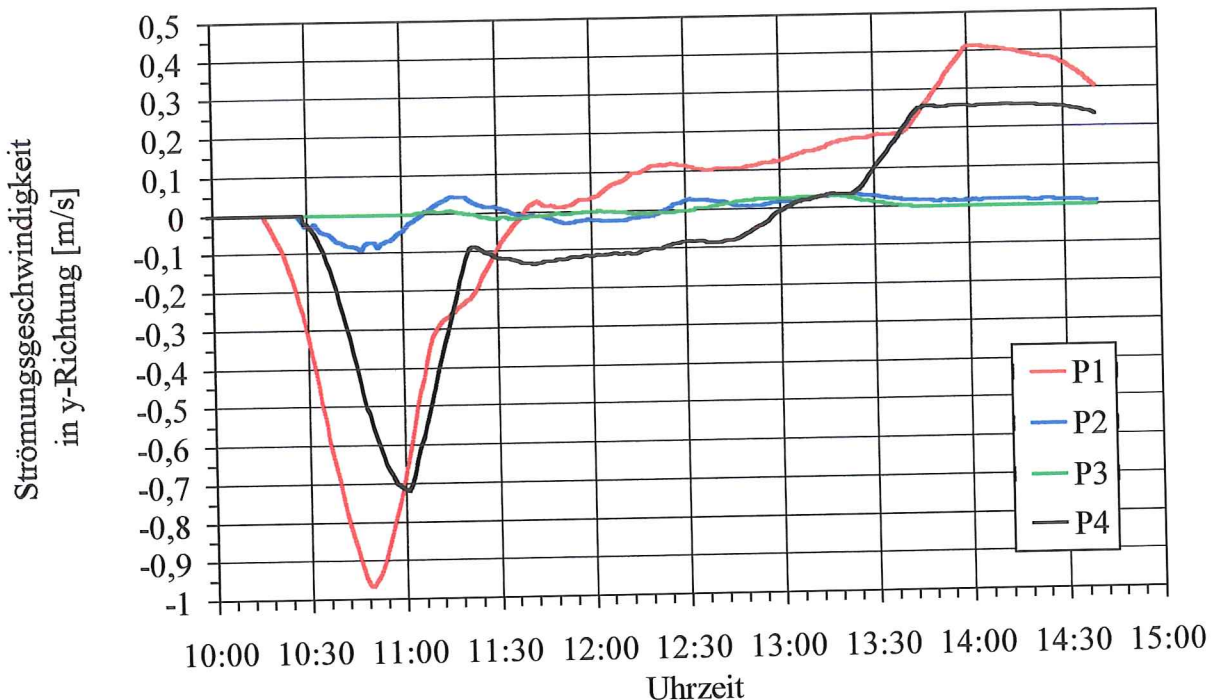
Anlage 8-97a2: Strömungsgeschwindigkeiten in y- und x-Richtung  
an den Referenzpunkten P5 bis P8 in der Variante m\_32 (vgl. Taf. 8.6)



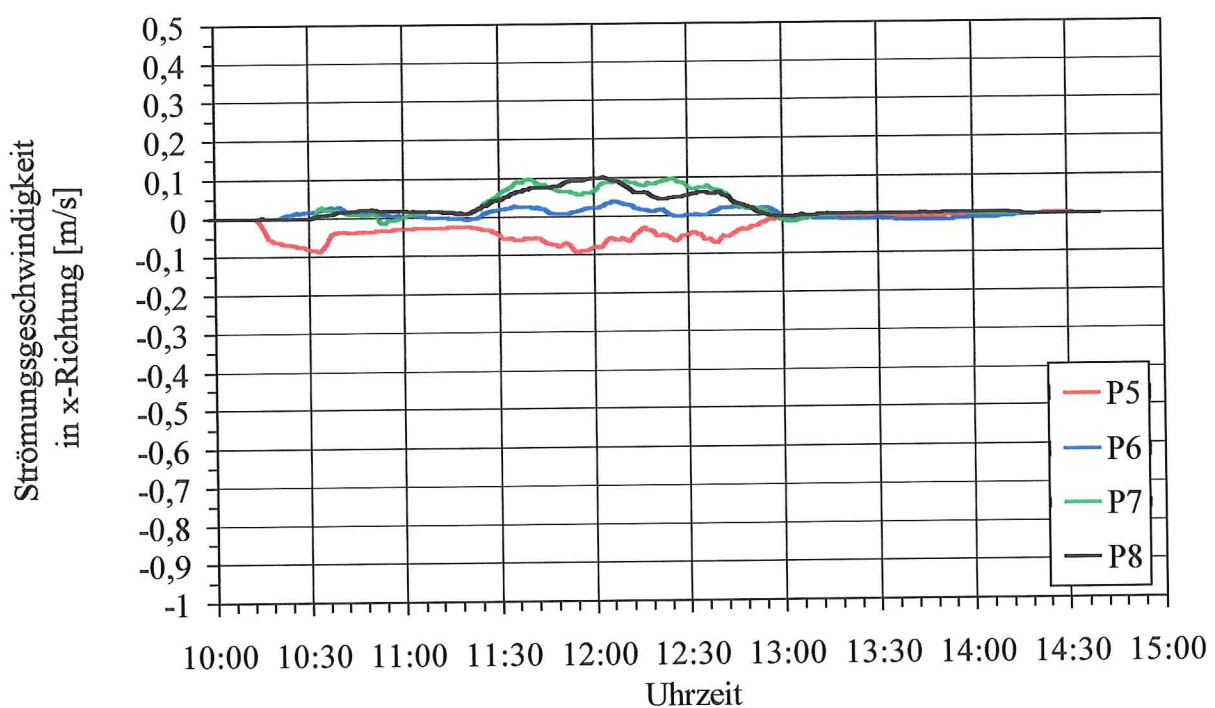
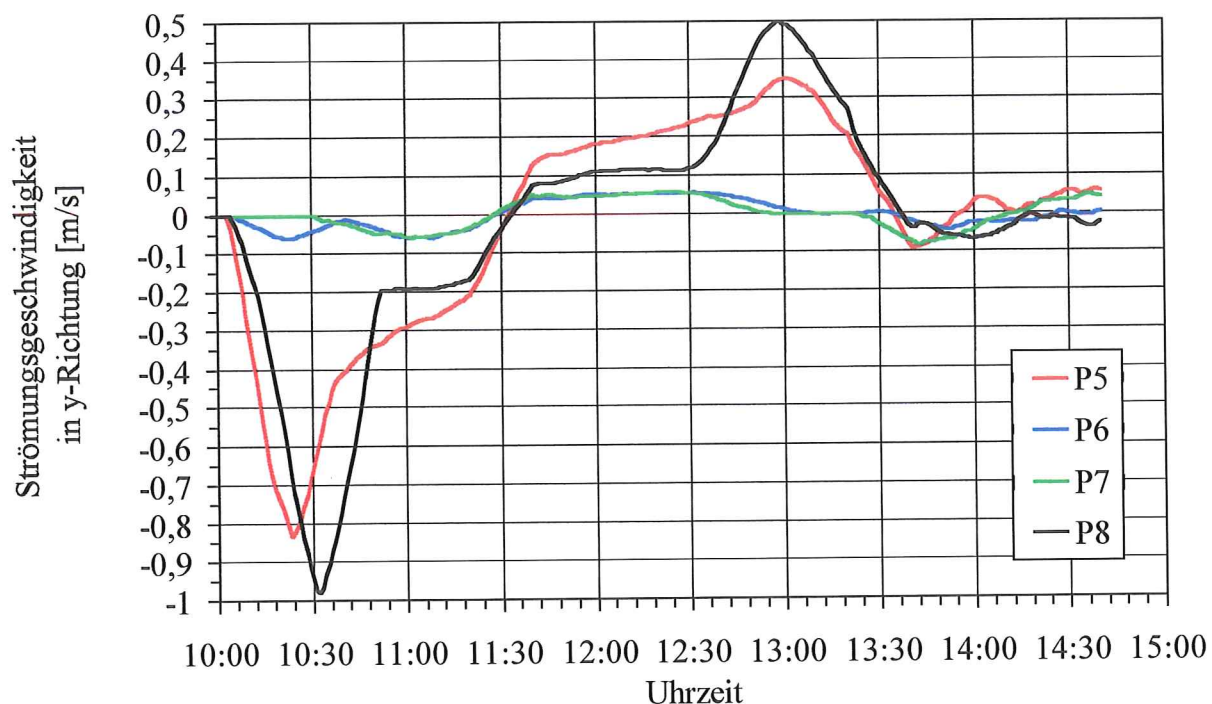
Anlage 8-97b: Sedimentationen und Erosionen im Verlaufe einer Tide  
an den Referenzpunkten P1 bis P4 und P5 bis P8 in der Variante m\_32 (vgl. Taf. 8.6)



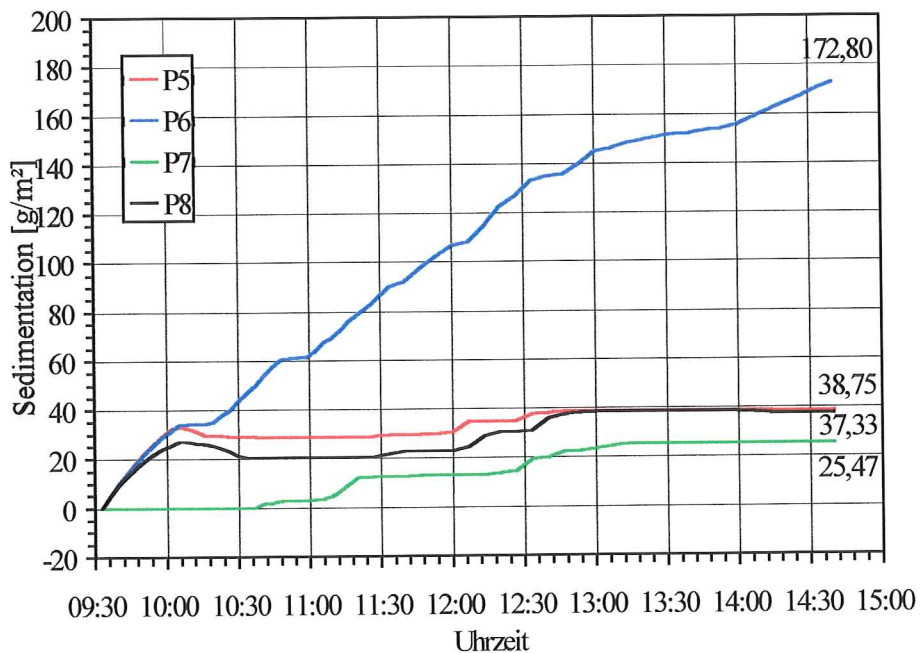
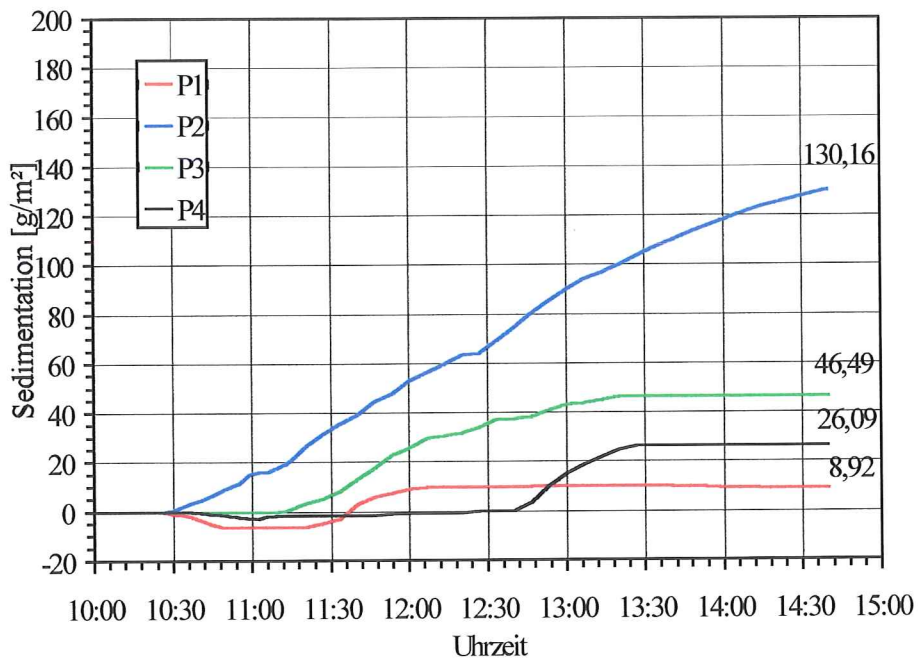
Anlage 8-97c: Sedimentation und Erosion nach Ablauf einer Tide  
im gesamten Simulationsbereich in der Variante m\_32 (vgl. Taf. 8.6)



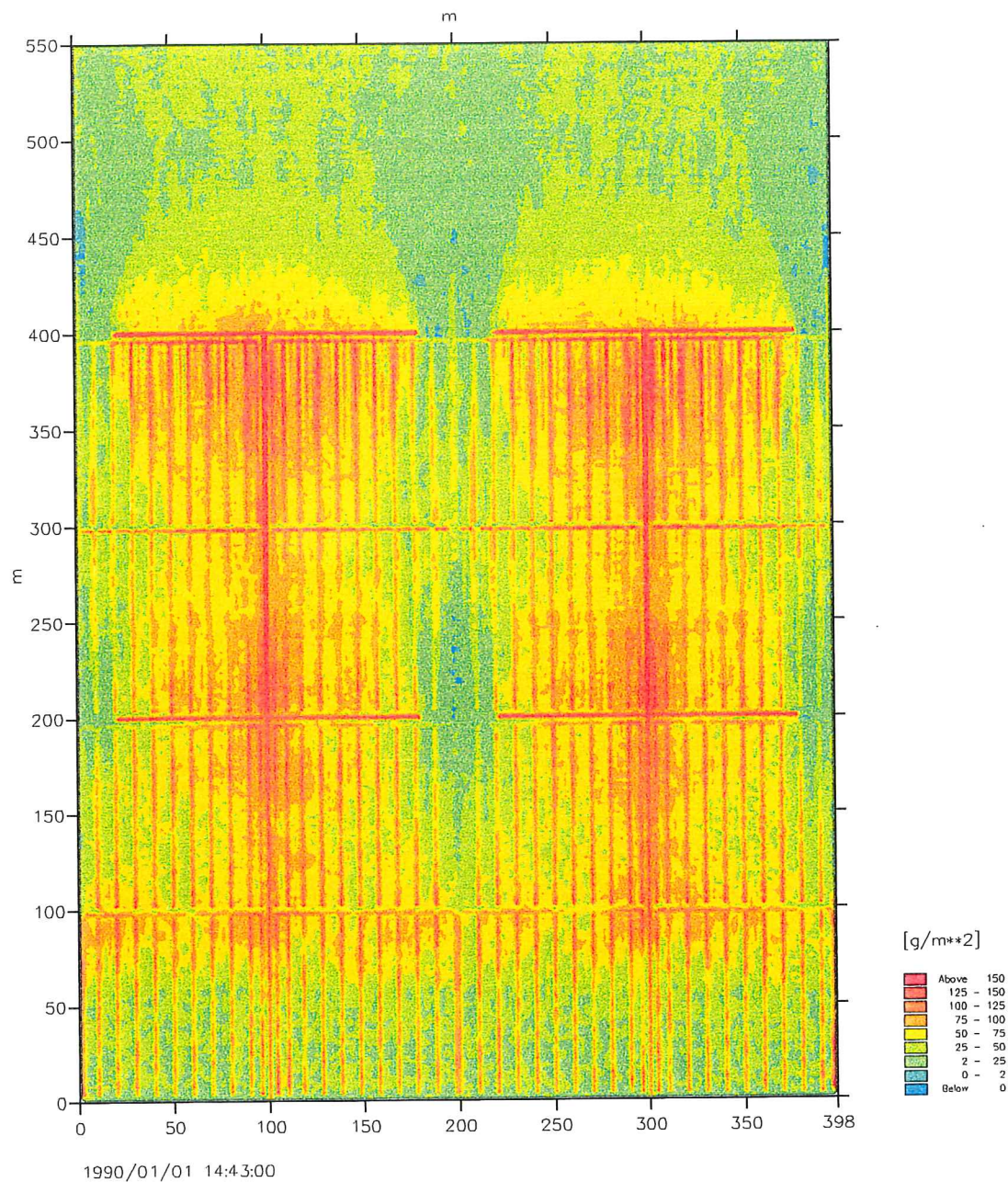
Anlage 8-98a1: Strömungsgeschwindigkeiten in y- und x-Richtung  
an den Referenzpunkten P1 bis P4 in der Variante m\_33 (vgl. Taf. 8.6)



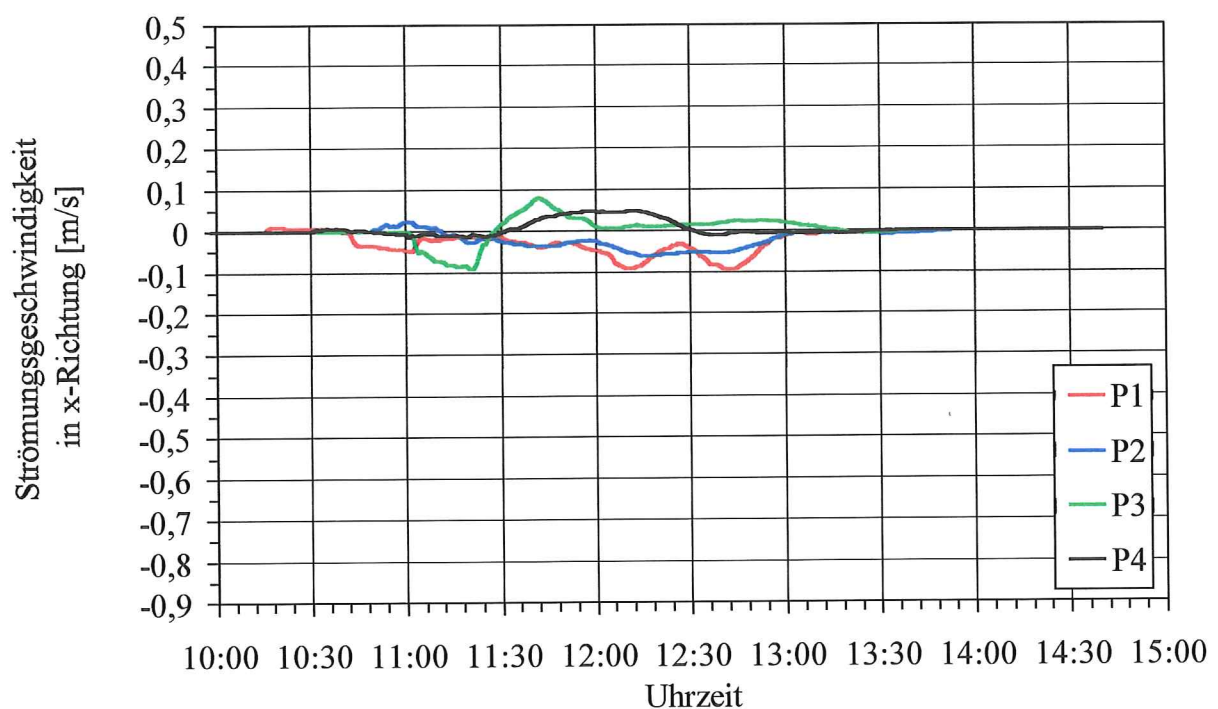
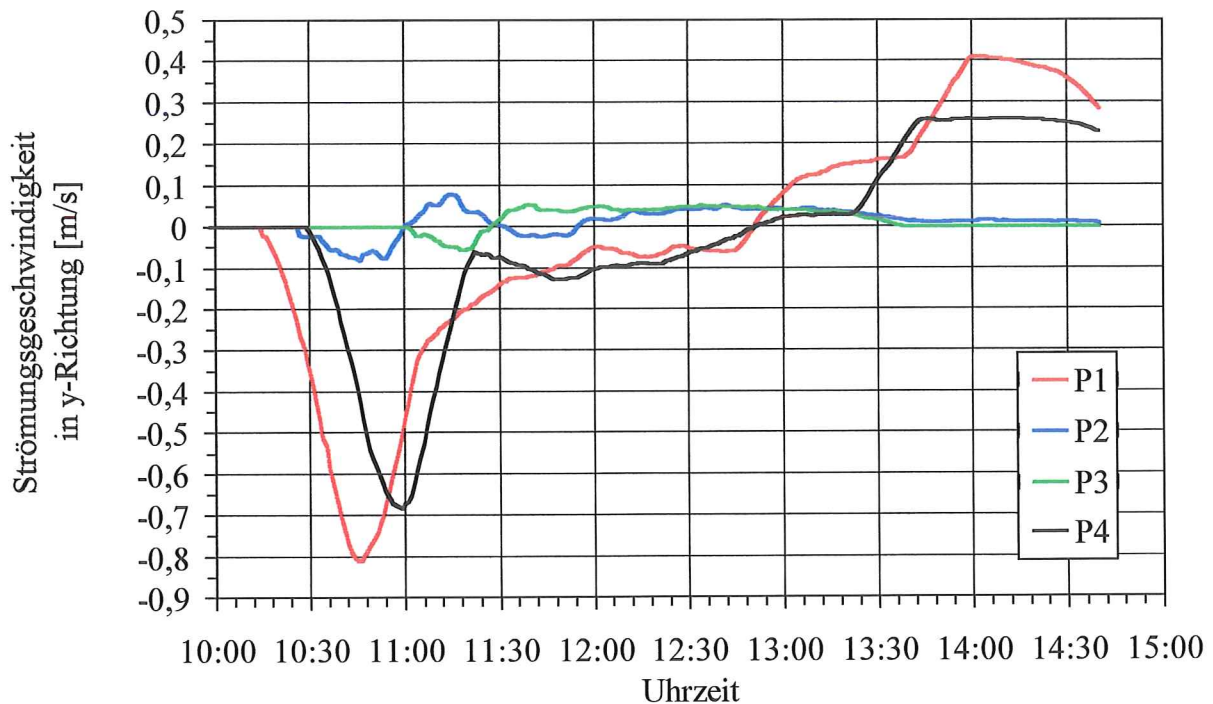
Anlage 8-98a2: Strömungsgeschwindigkeiten in y- und x-Richtung  
an den Referenzpunkten P5 bis P8 in der Variante m\_33 (vgl. Taf. 8.6)



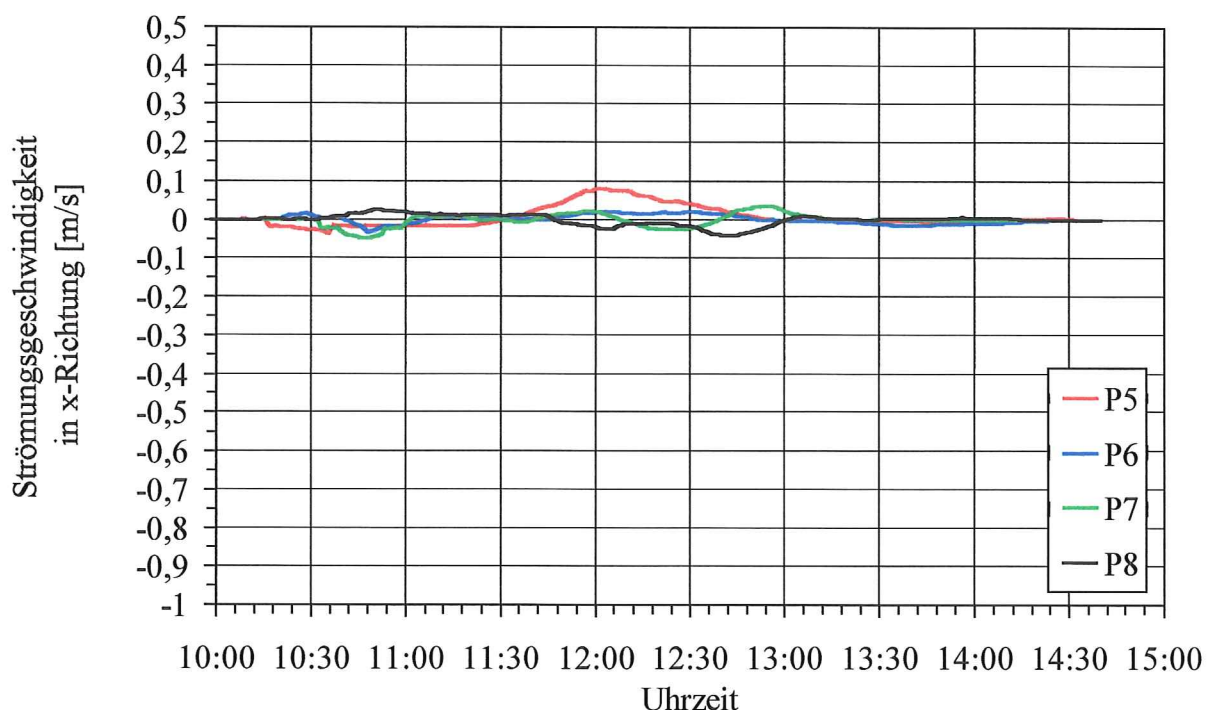
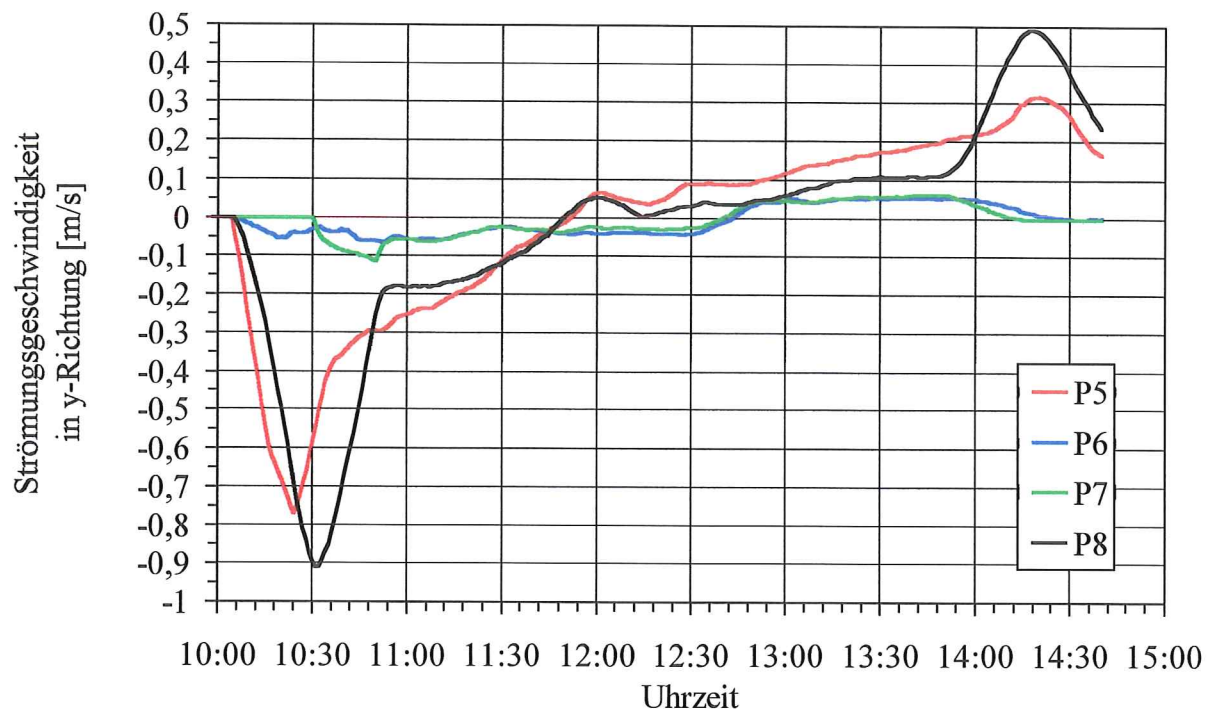
Anlage 8-98b: Sedimentationen und Erosionen im Verlaufe einer Tide  
an den Referenzpunkten P1 bis P4 und P5 bis P8 in der Variante m\_33 (vgl. Taf. 8.6)



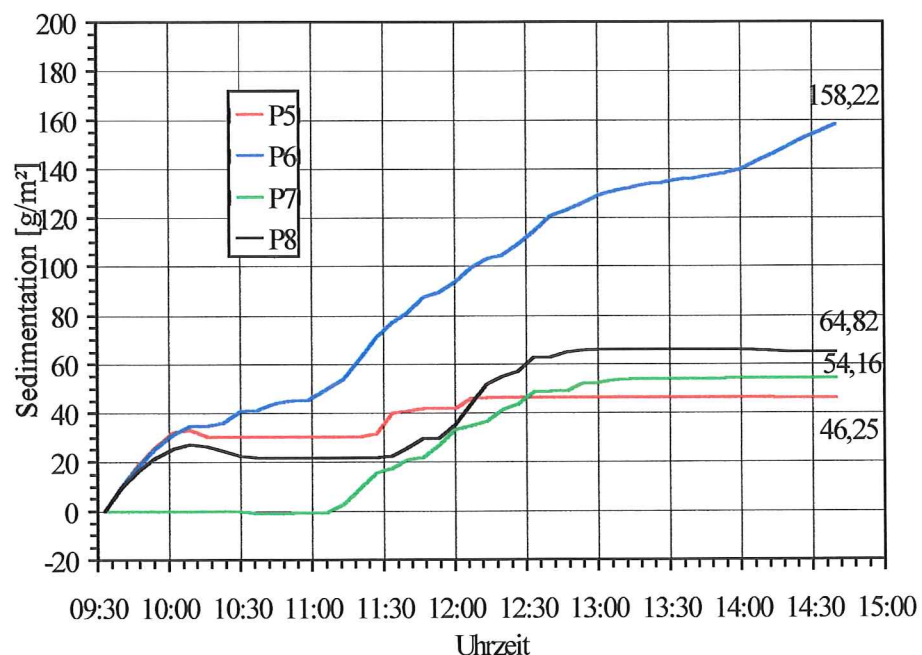
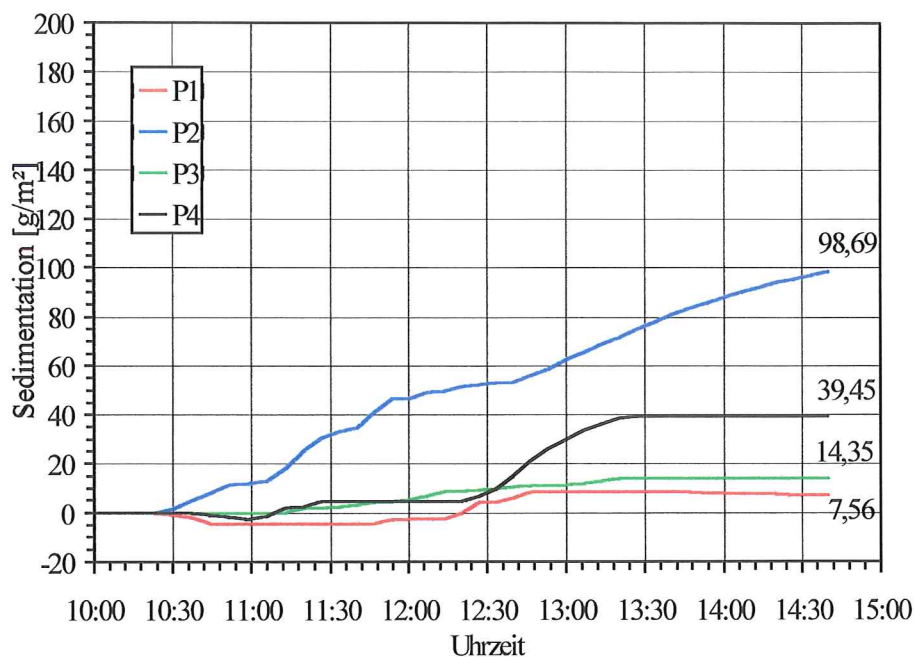
Anlage 8-98c: Sedimentation und Erosion nach Ablauf einer Tide  
im gesamten Simulationsbereich in der Variante m\_33 (vgl. Taf. 8.6)



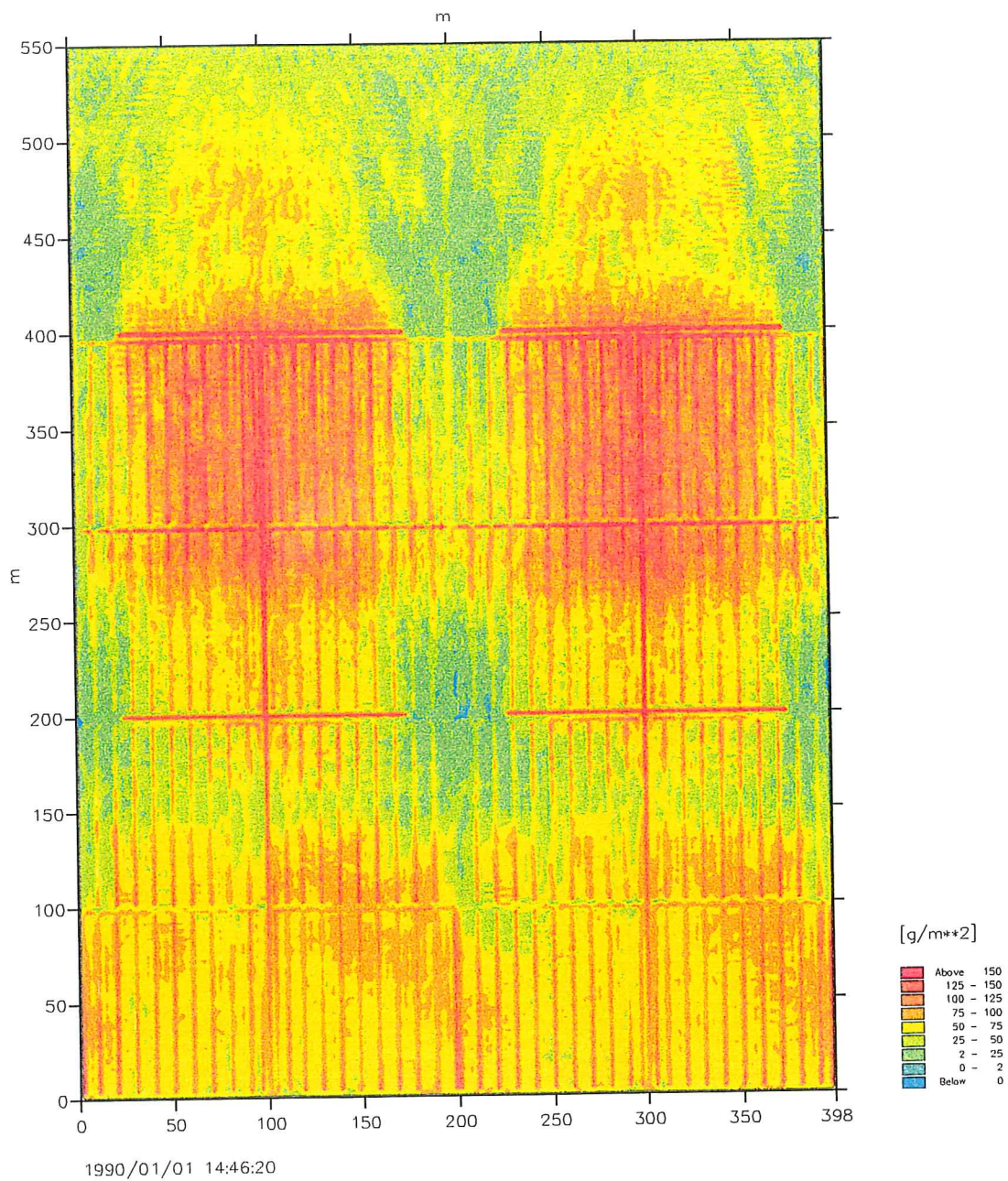
Anlage 8-99a1: Strömungsgeschwindigkeiten in y- und x-Richtung an den Referenzpunkten P1 bis P4 in der Variante m\_34 (vgl. Taf. 8.6)



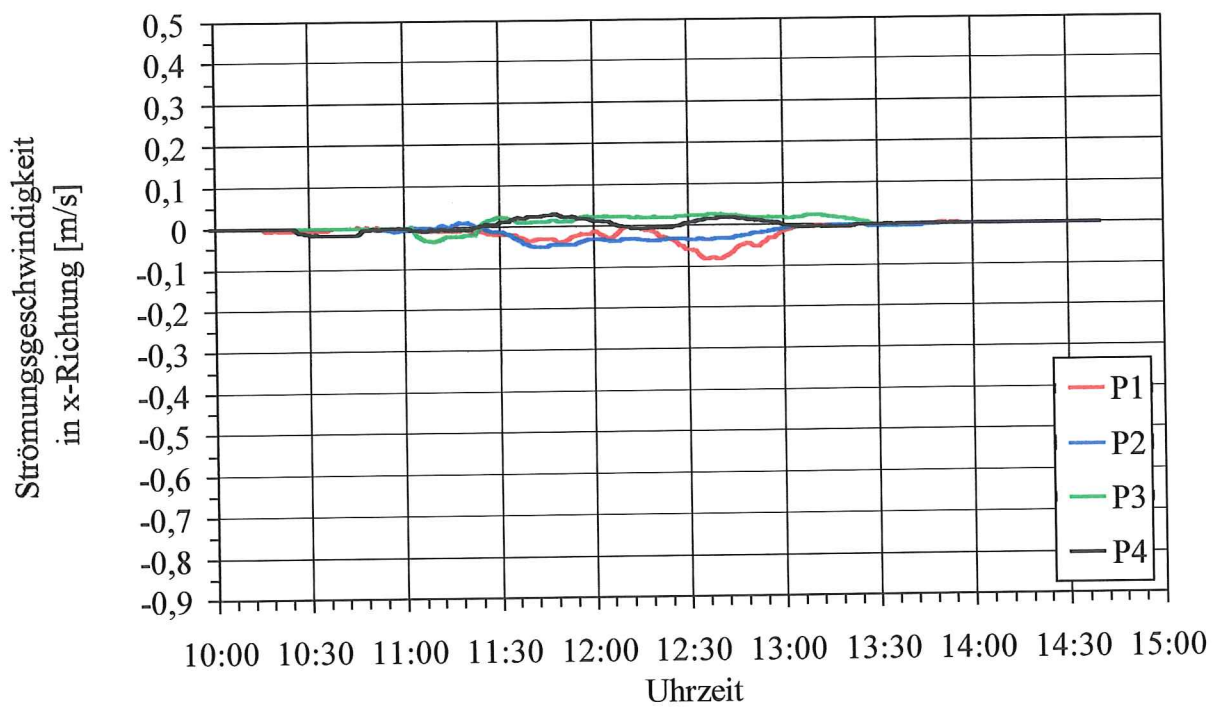
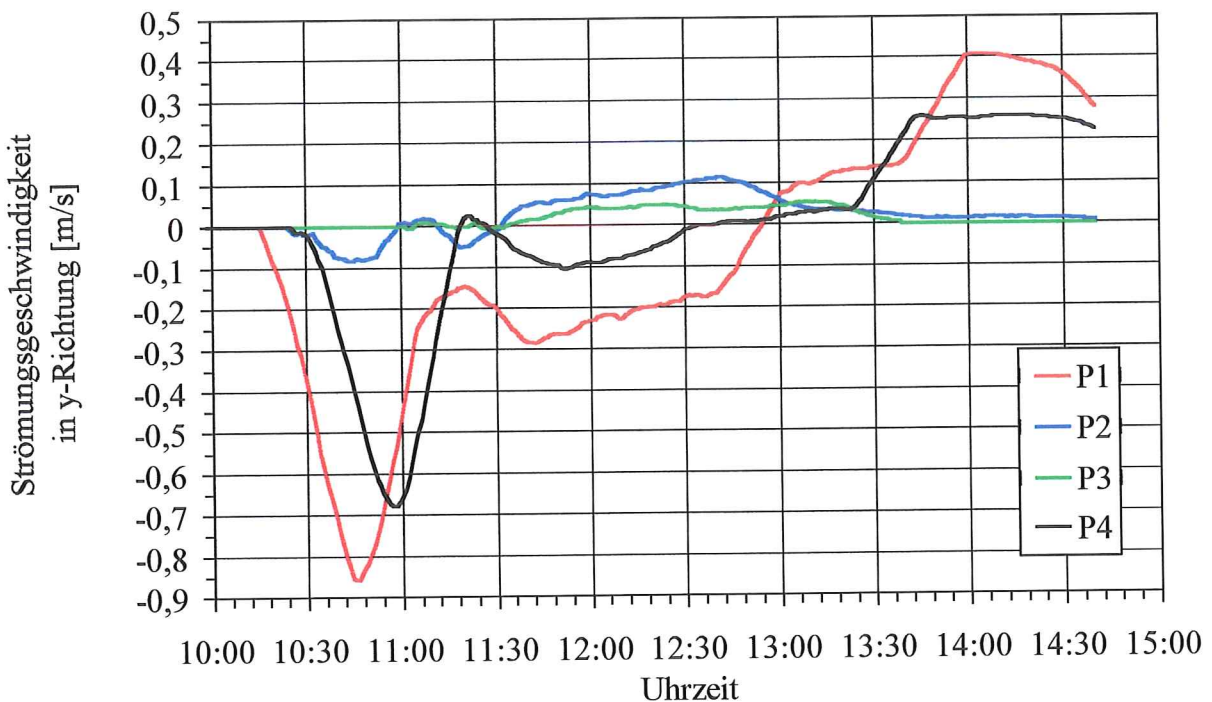
Anlage 8-99a2: Strömungsgeschwindigkeiten in y- und x-Richtung  
an den Referenzpunkten P5 bis P8 in der Variante m\_34 (vgl. Taf. 8.6)



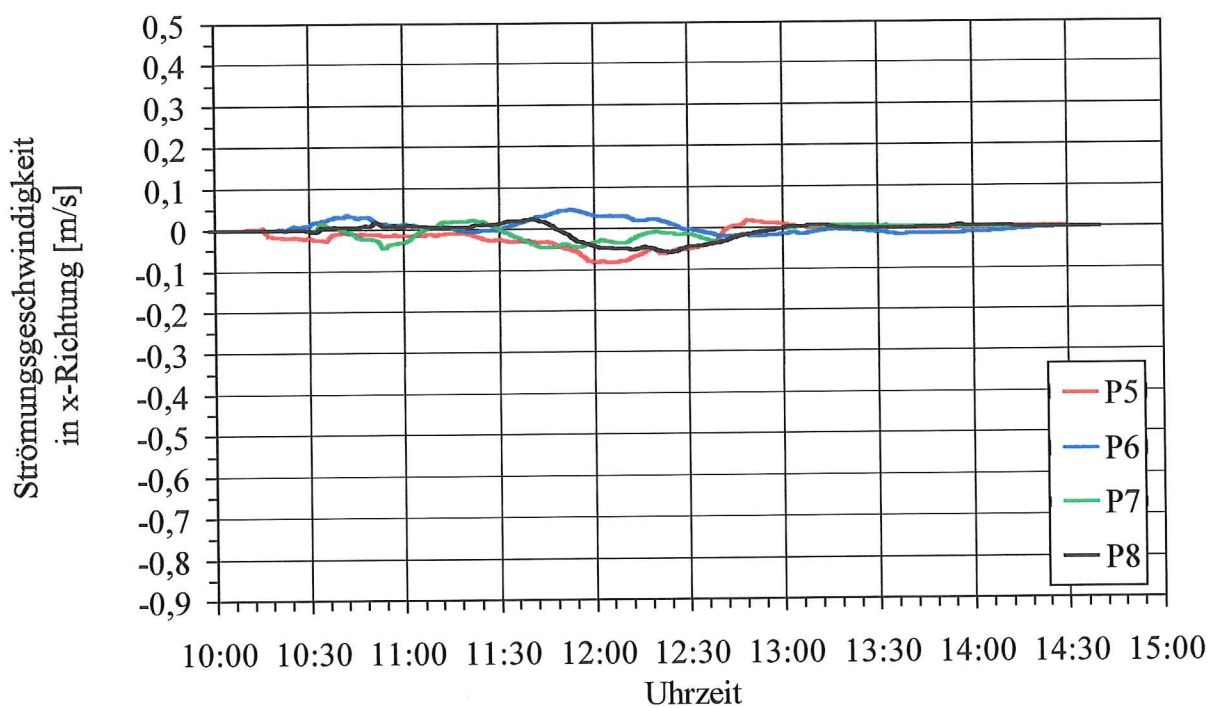
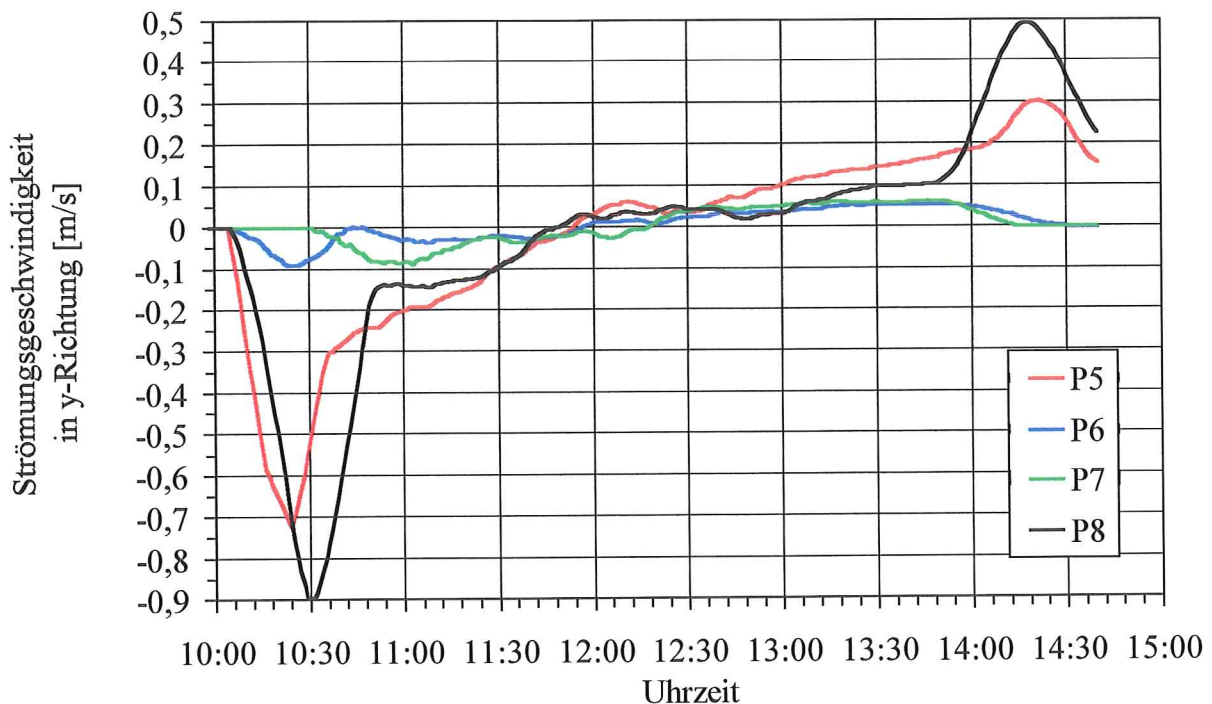
Anlage 8-99b: Sedimentationen und Erosionen im Verlaufe einer Tide  
an den Referenzpunkten P1 bis P4 und P5 bis P8 in der Variante m\_34 (vgl. Taf. 8.6)



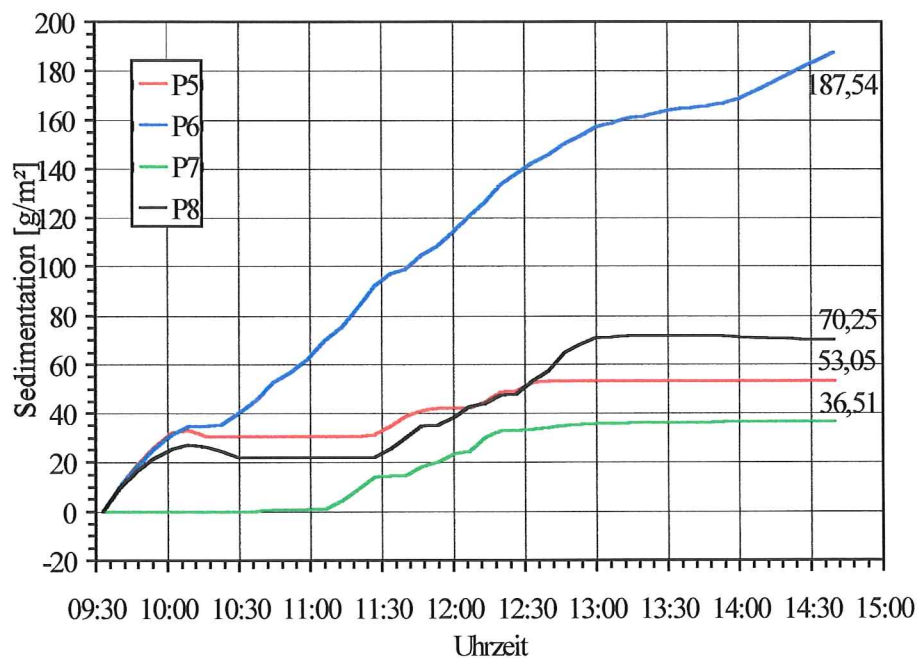
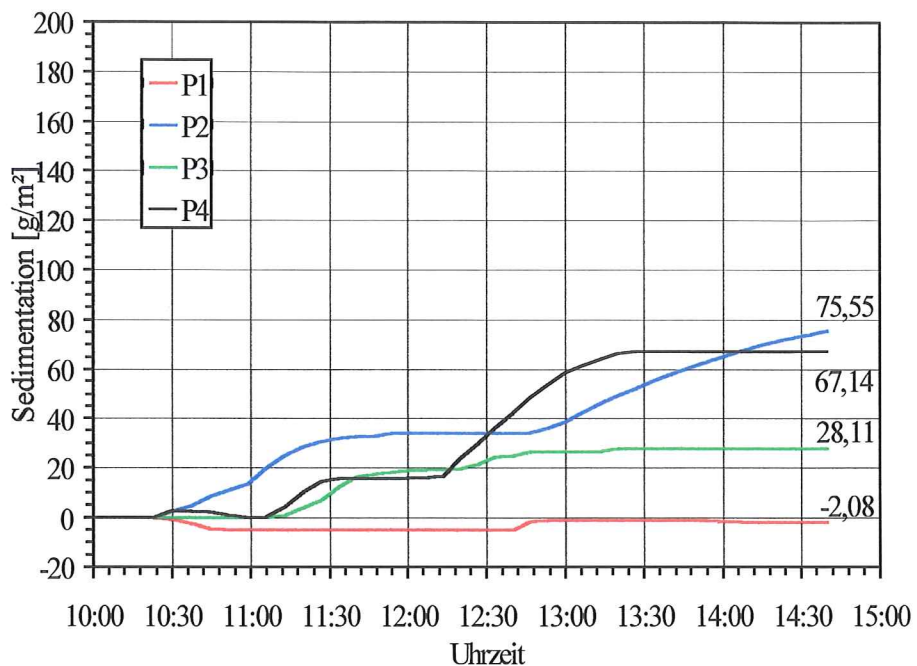
Anlage 8-99c: Sedimentation und Erosion nach Ablauf einer Tide  
im gesamten Simulationsbereich in der Variante m\_34 (vgl. Taf. 8.6)



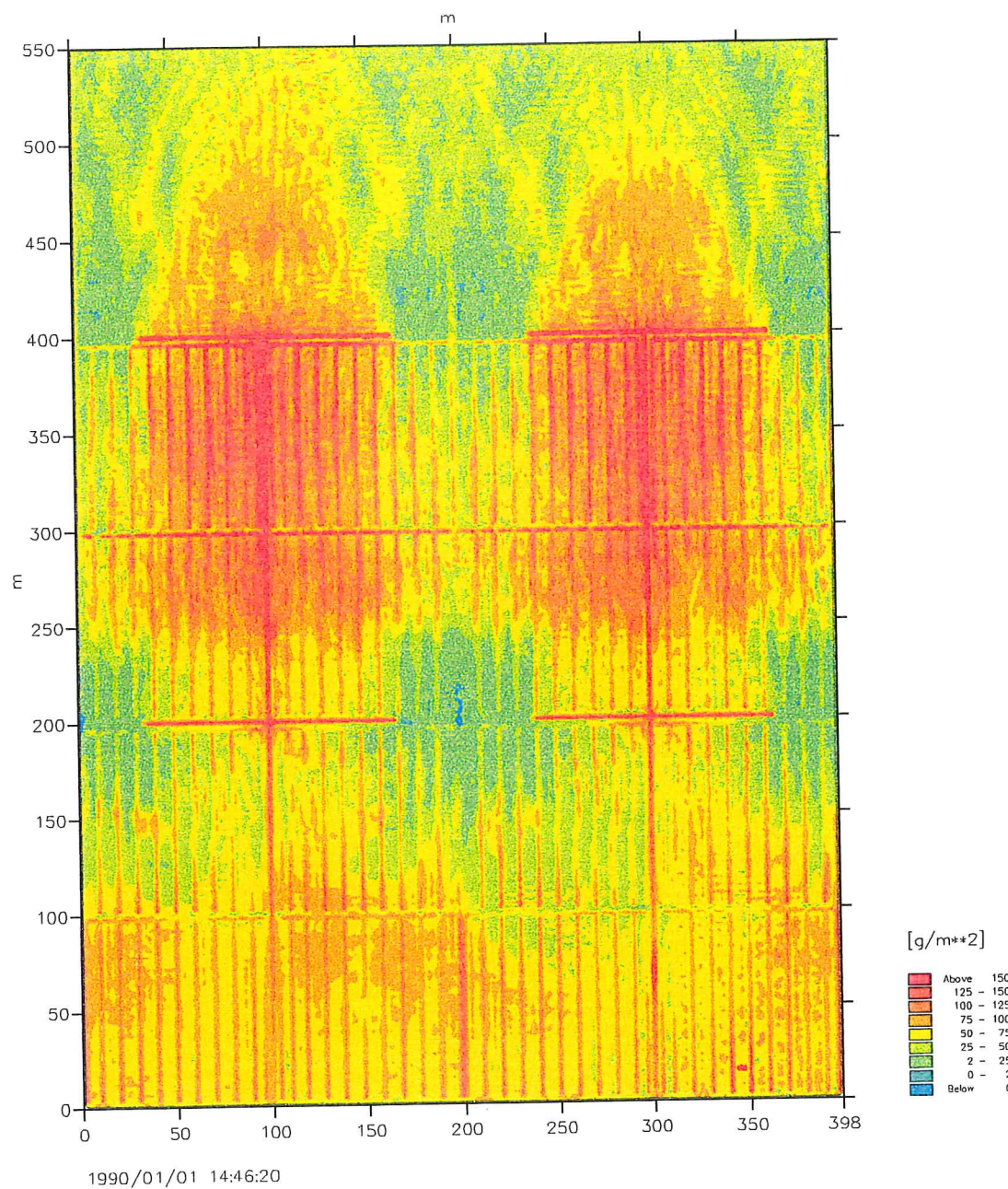
Anlage 8-100a1: Strömungsgeschwindigkeiten in y- und x-Richtung  
an den Referenzpunkten P1 bis P4 in der Variante m\_35 (vgl. Taf. 8.6)



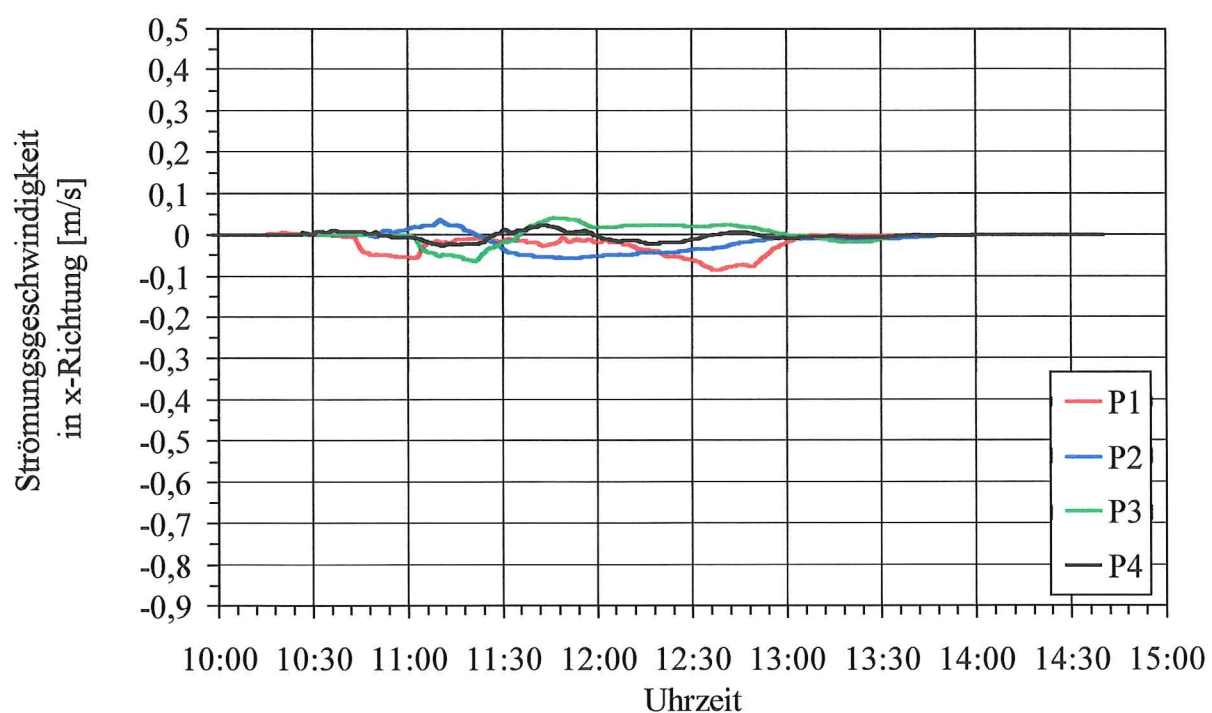
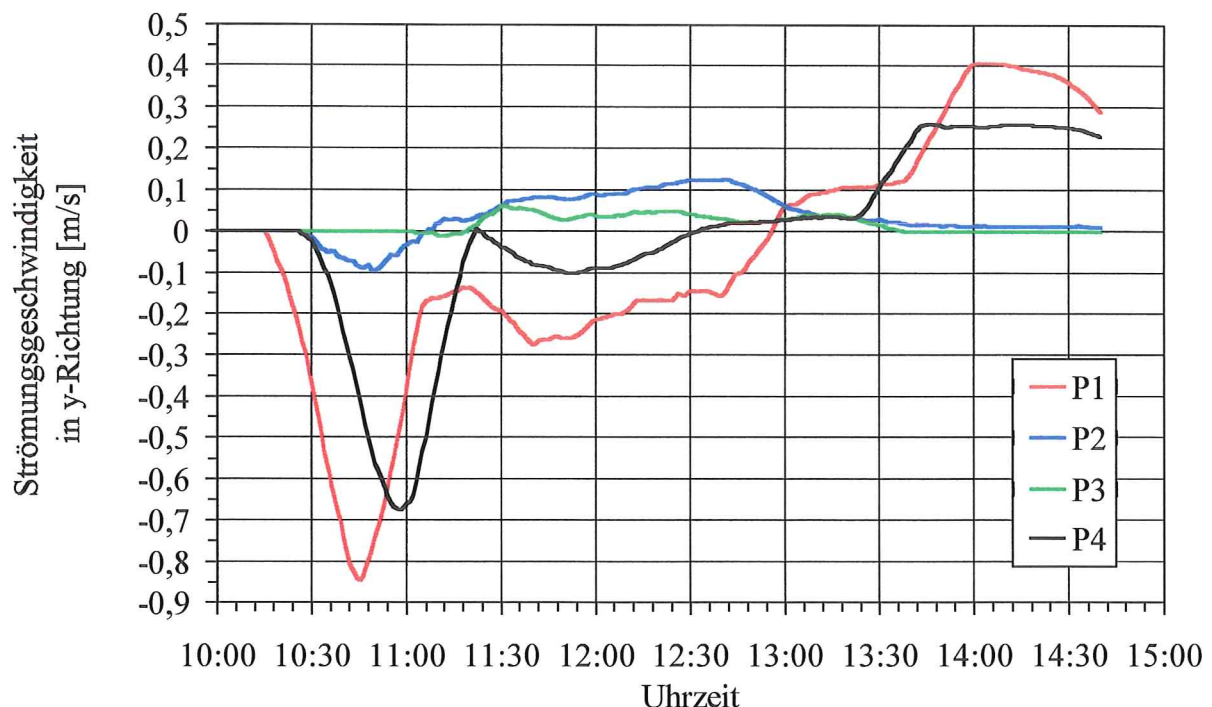
Anlage 8-100a2: Strömungsgeschwindigkeiten in y- und x-Richtung  
an den Referenzpunkten P5 bis P8 in der Variante m\_35 (vgl. Taf. 8.6)



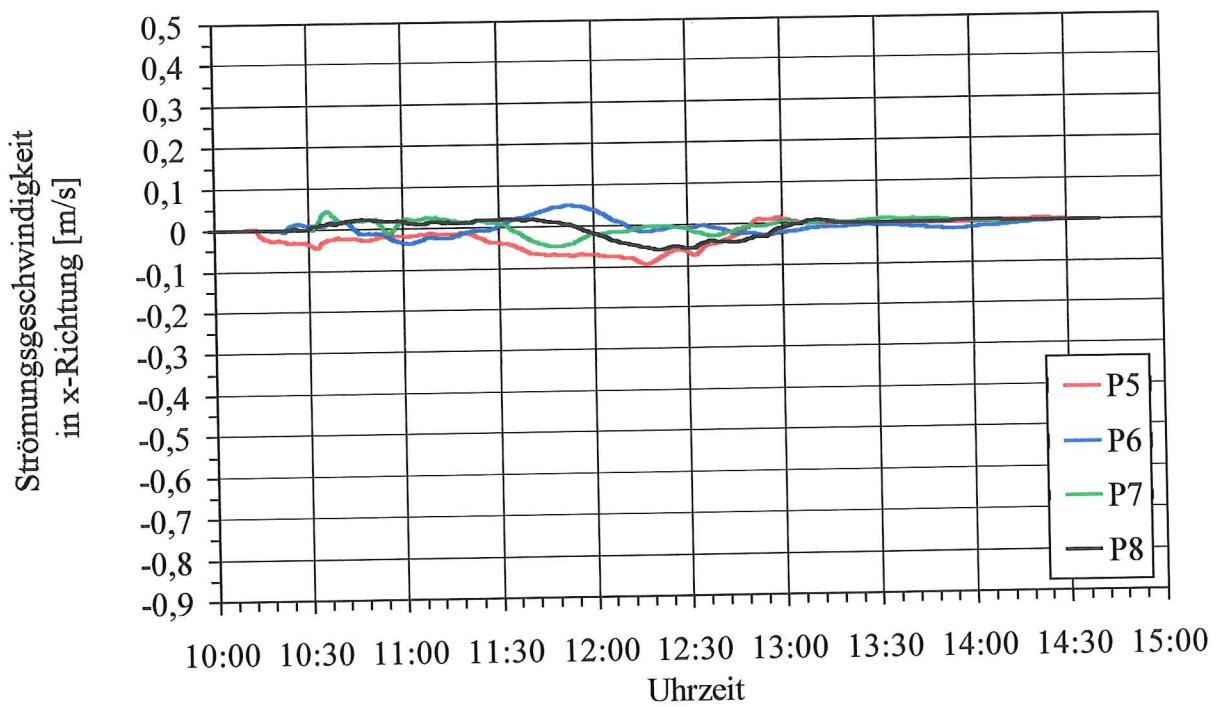
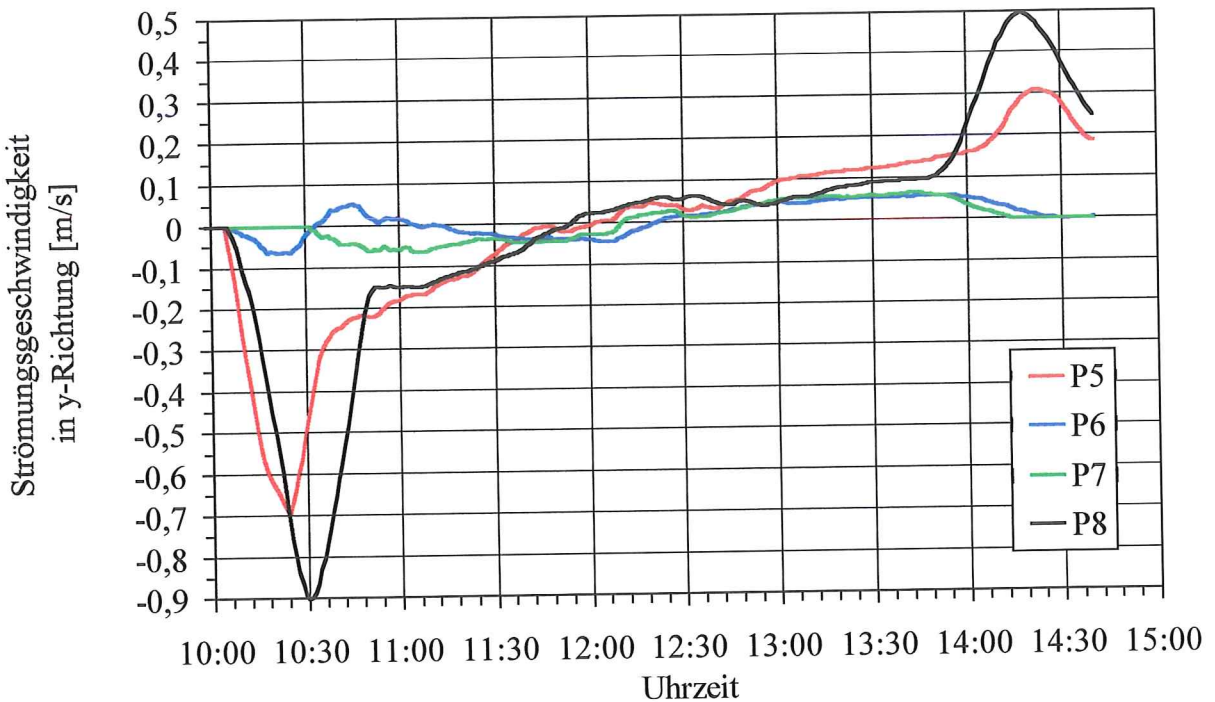
Anlage 8-100b: Sedimentationen und Erosionen im Verlaufe einer Tide  
an den Referenzpunkten P1 bis P4 und P5 bis P8 in der Variante m\_35 (vgl. Taf. 8.6)



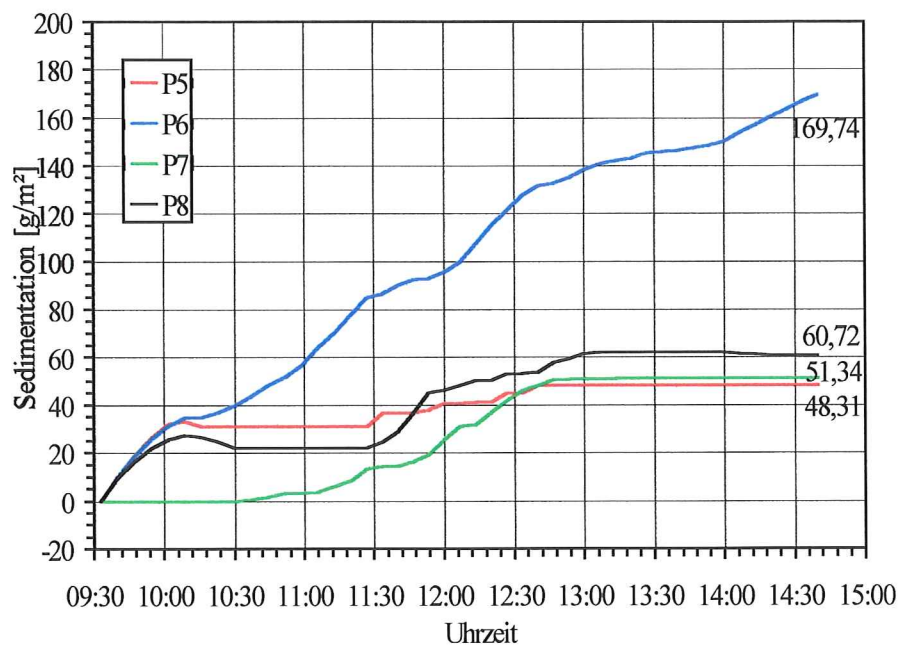
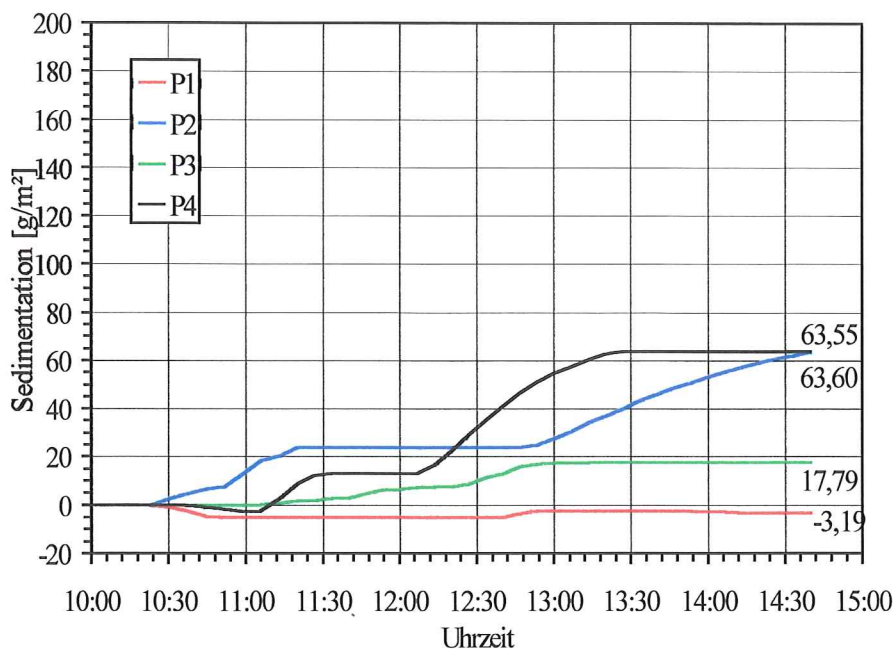
Anlage 8-100c: Sedimentation und Erosion nach Ablauf einer Tide  
im gesamten Simulationsbereich in der Variante m\_35 (vgl. Taf. 8.6)



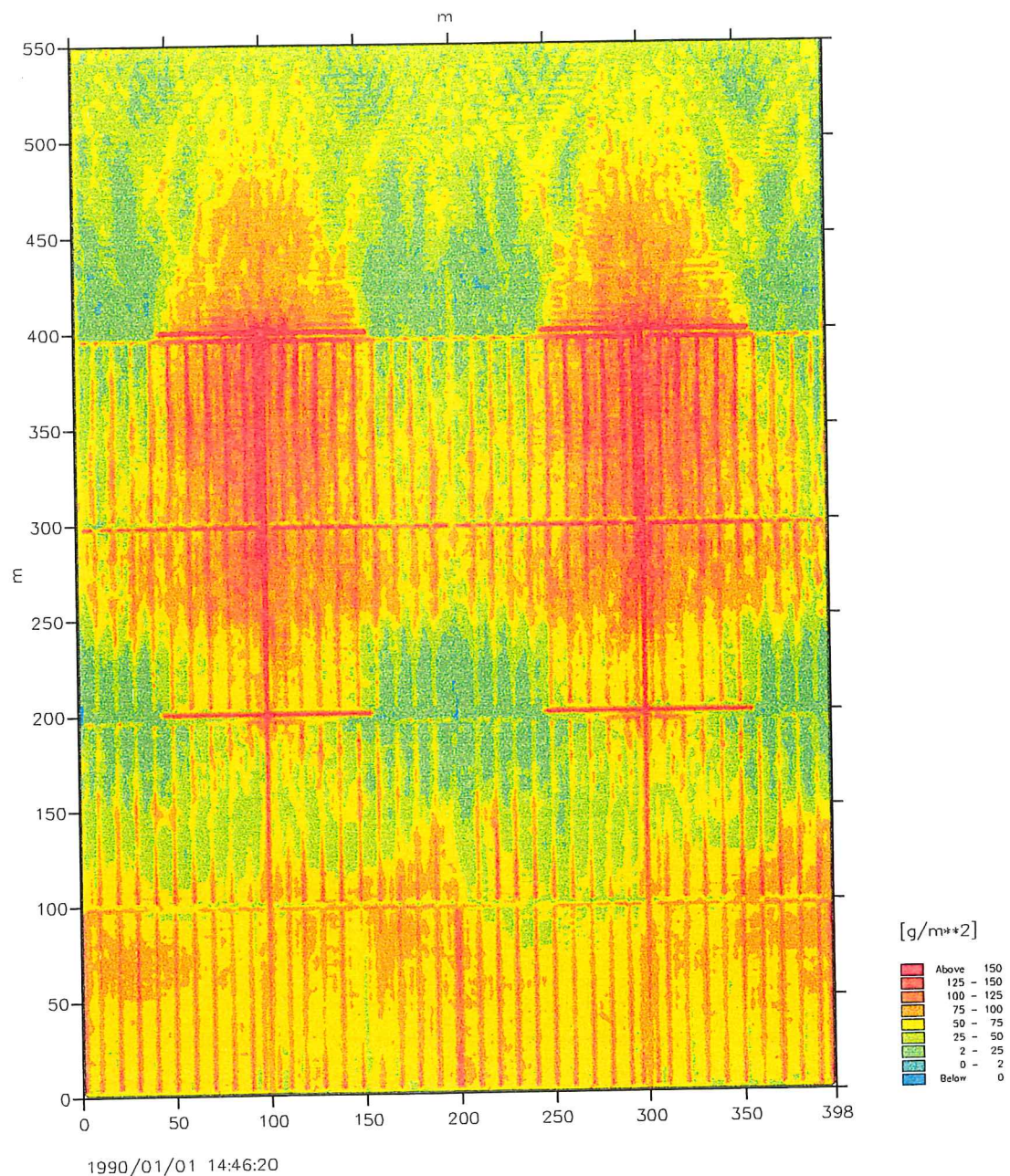
Anlage 8-101a1: Strömungsgeschwindigkeiten in y- und x-Richtung  
an den Referenzpunkten P1 bis P4 in der Variante m\_36 (vgl. Taf. 8.6)



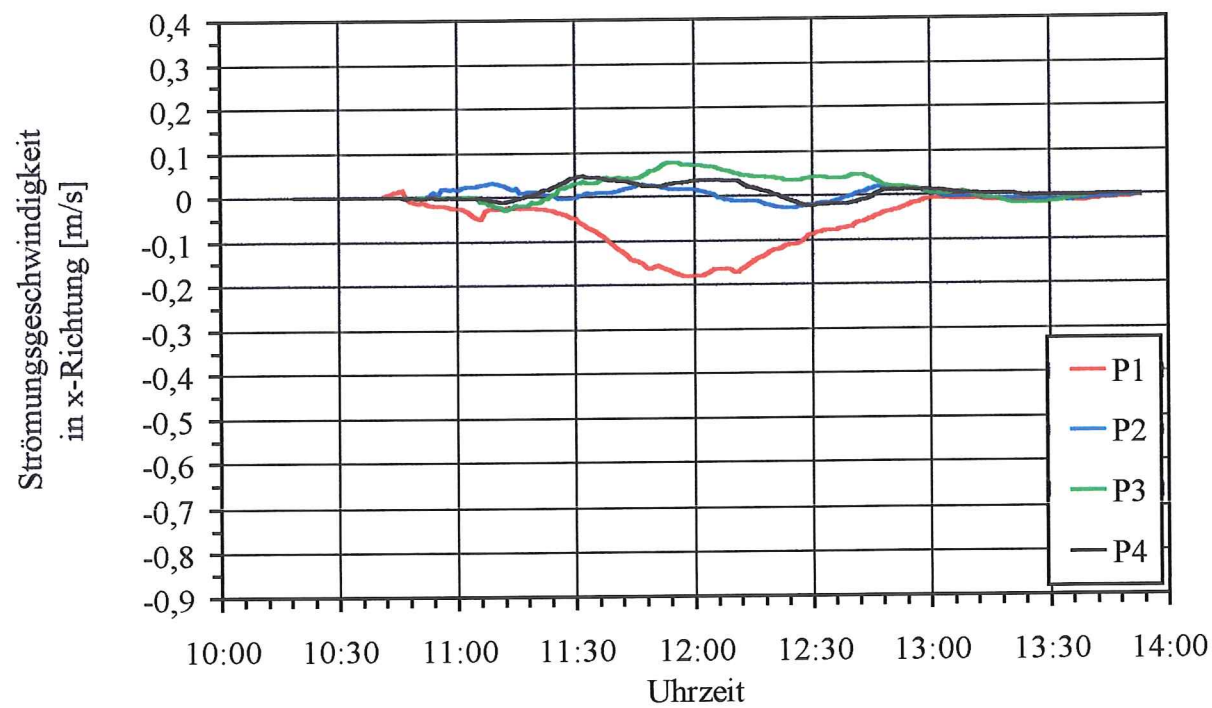
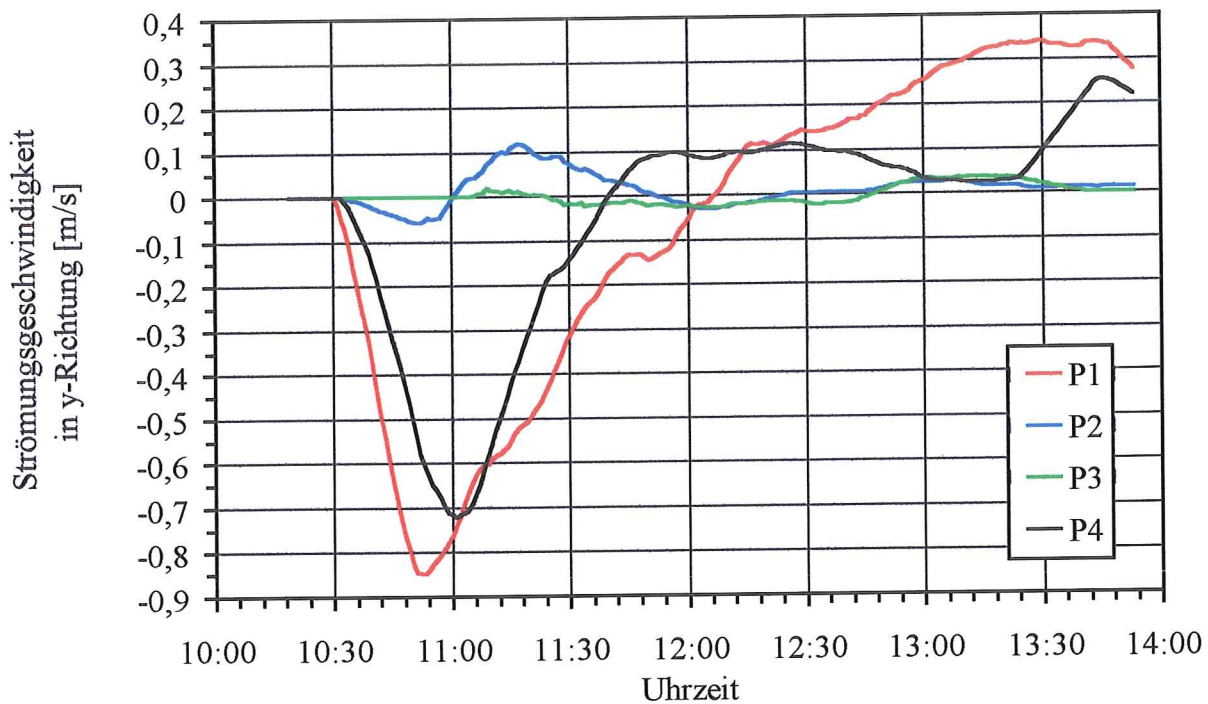
Anlage 8-101a2: Strömungsgeschwindigkeiten in y- und x-Richtung  
an den Referenzpunkten P5 bis P8 in der Variante m\_36 (vgl. Taf. 8.6)



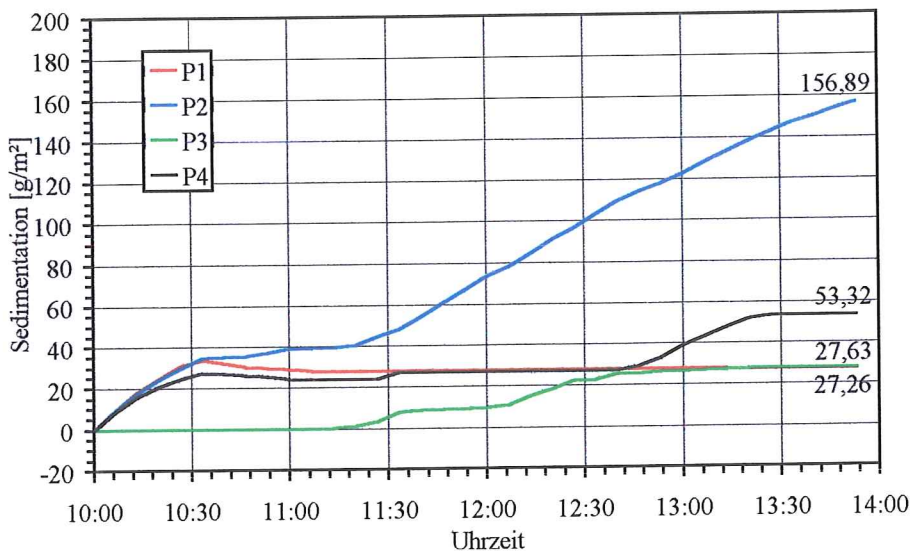
Anlage 8-101b: Sedimentationen und Erosionen im Verlaufe einer Tide  
an den Referenzpunkten P1 bis P4 und P5 bis P8 in der Variante m\_36 (vgl. Taf. 8.6)



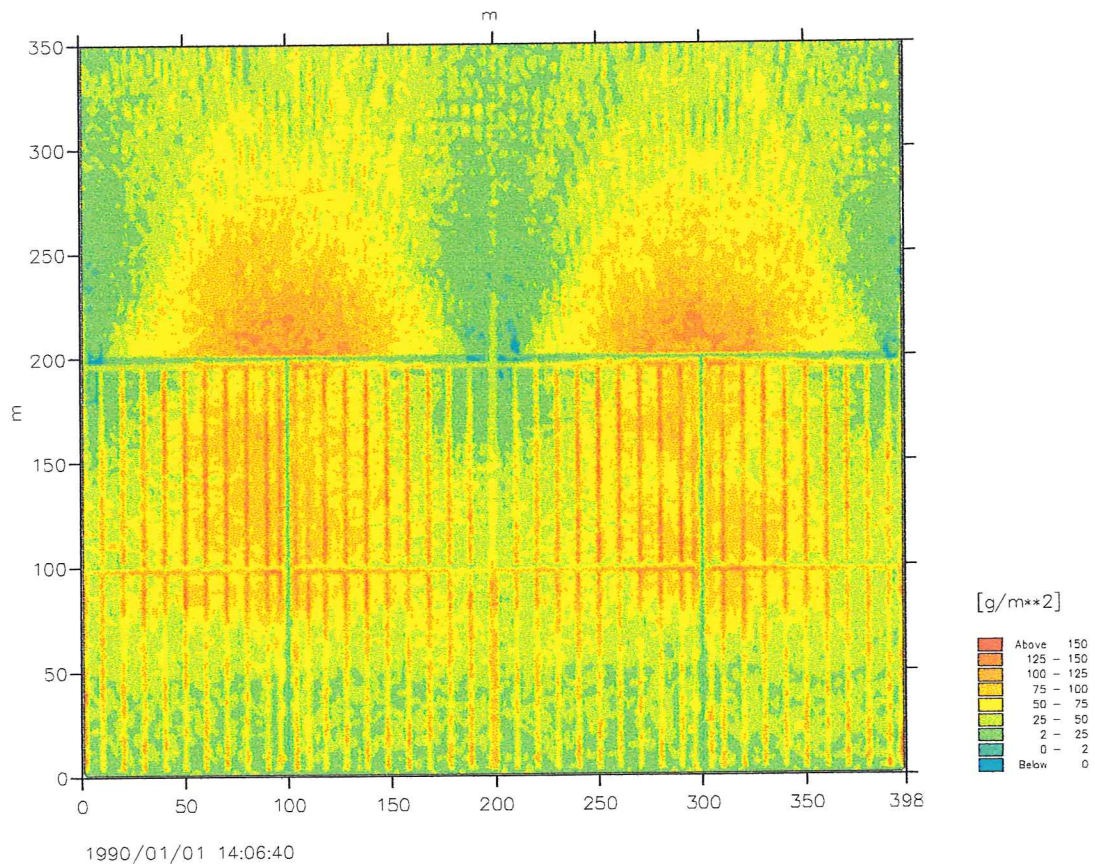
Anlage 8-101c: Sedimentation und Erosion nach Ablauf einer Tide  
im gesamten Simulationsbereich in der Variante m\_36 (vgl. Taf. 8.6)



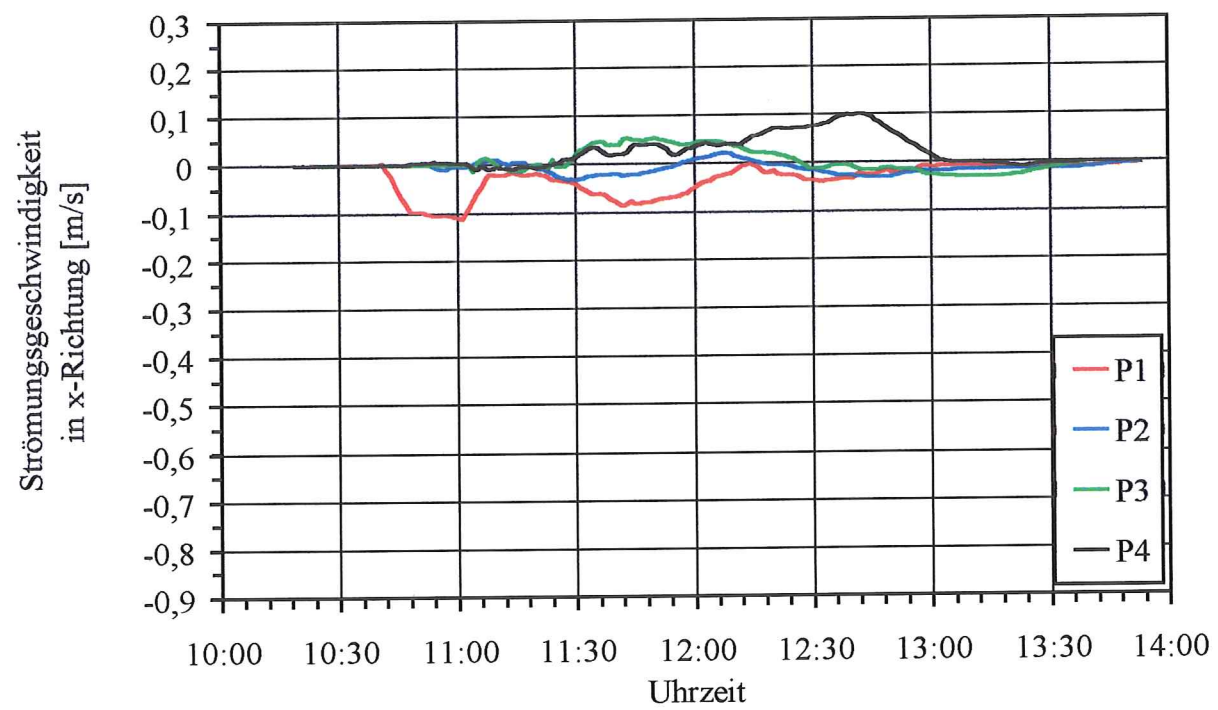
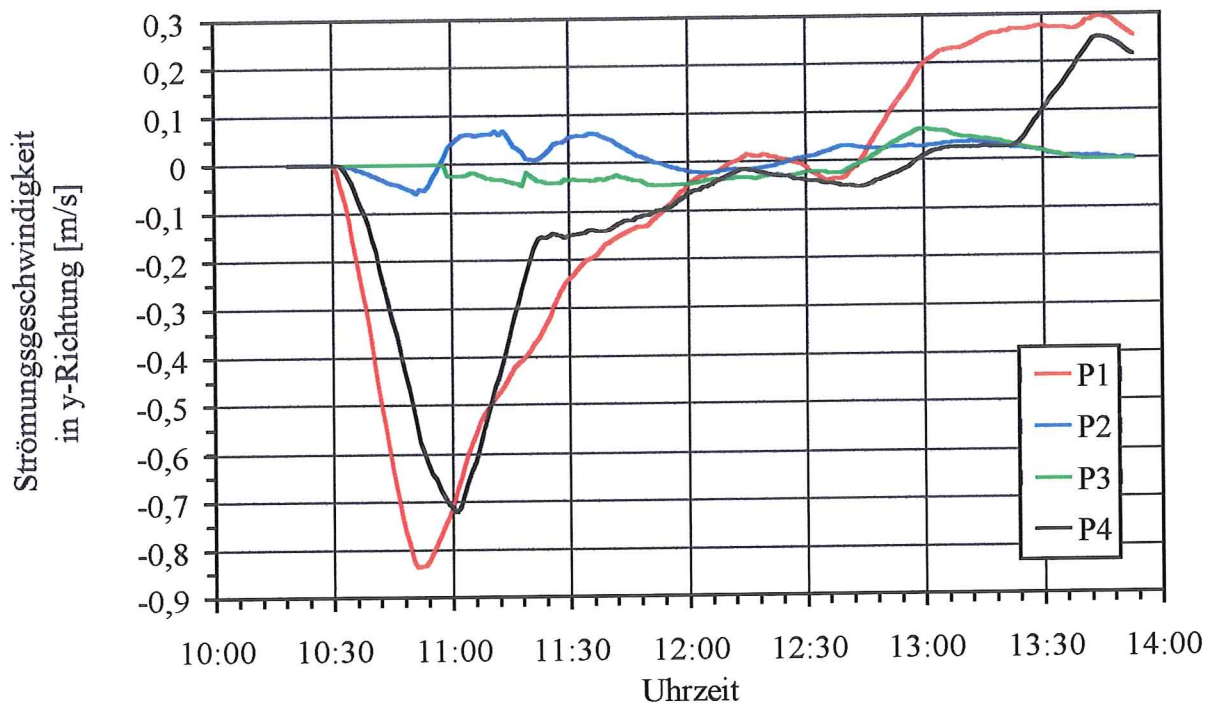
Anlage 8-102a: Strömungsgeschwindigkeiten in y- und x-Richtung  
an den Referenzpunkten P1 bis P4 in der Variante m\_37 (vgl. Taf. 8.6)



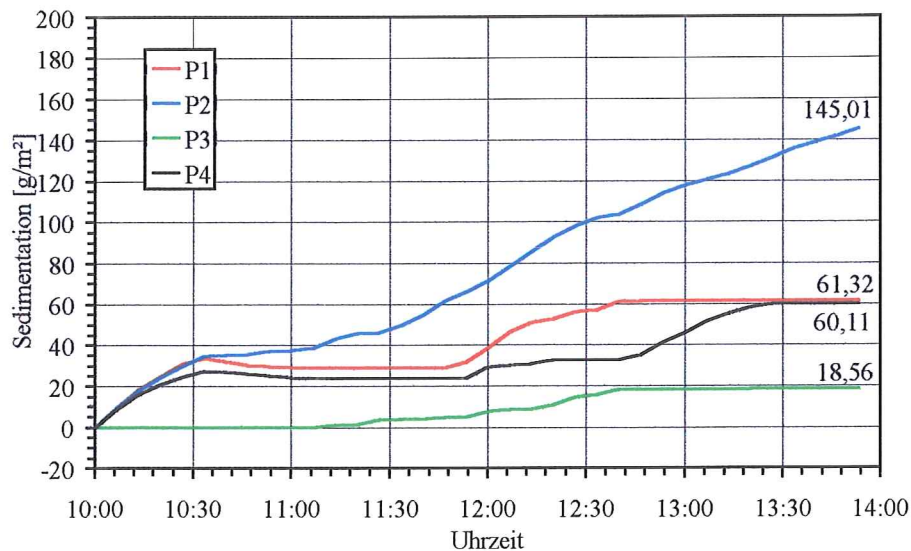
Anlage 8-102b: Sedimentationen und Erosionen im Verlaufe einer Tide an den Referenzpunkten P1 bis P4 in der Variante m\_37 (vgl. Taf. 8.6)



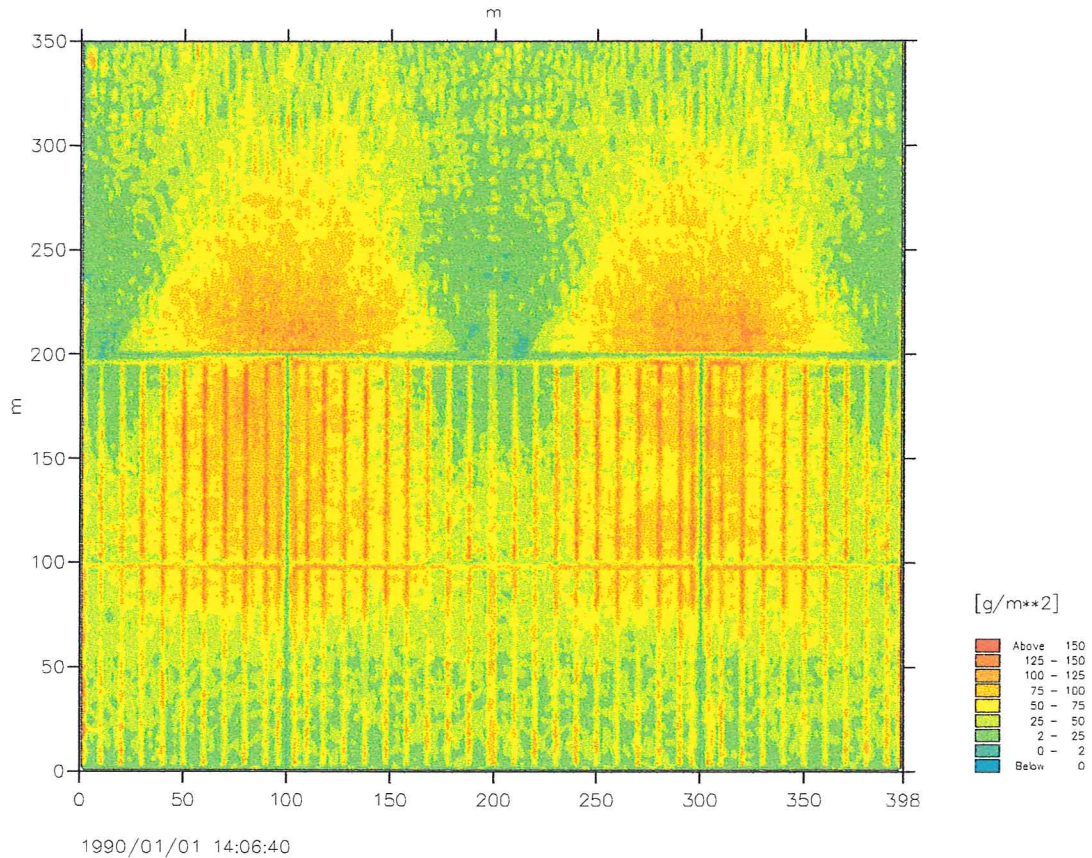
Anlage 8-102c: Sedimentation und Erosion nach Ablauf einer Tide im gesamten Simulationsbereich in der Variante m\_37 (vgl. Taf. 8.6)



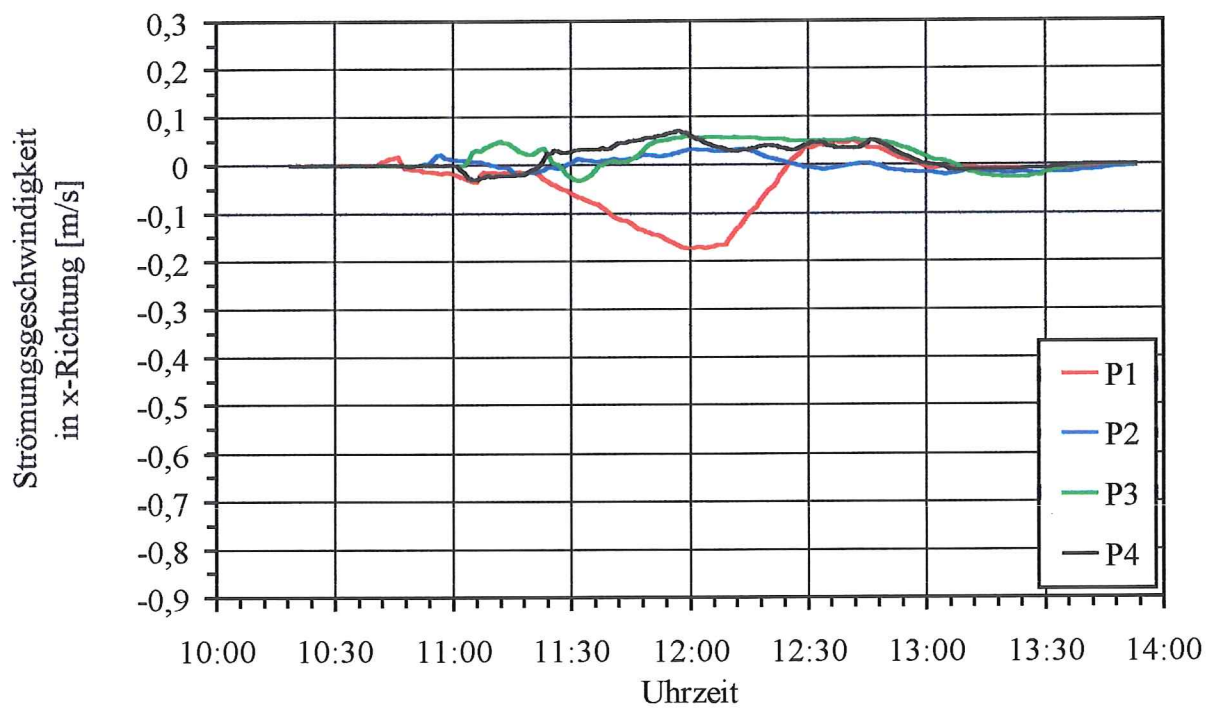
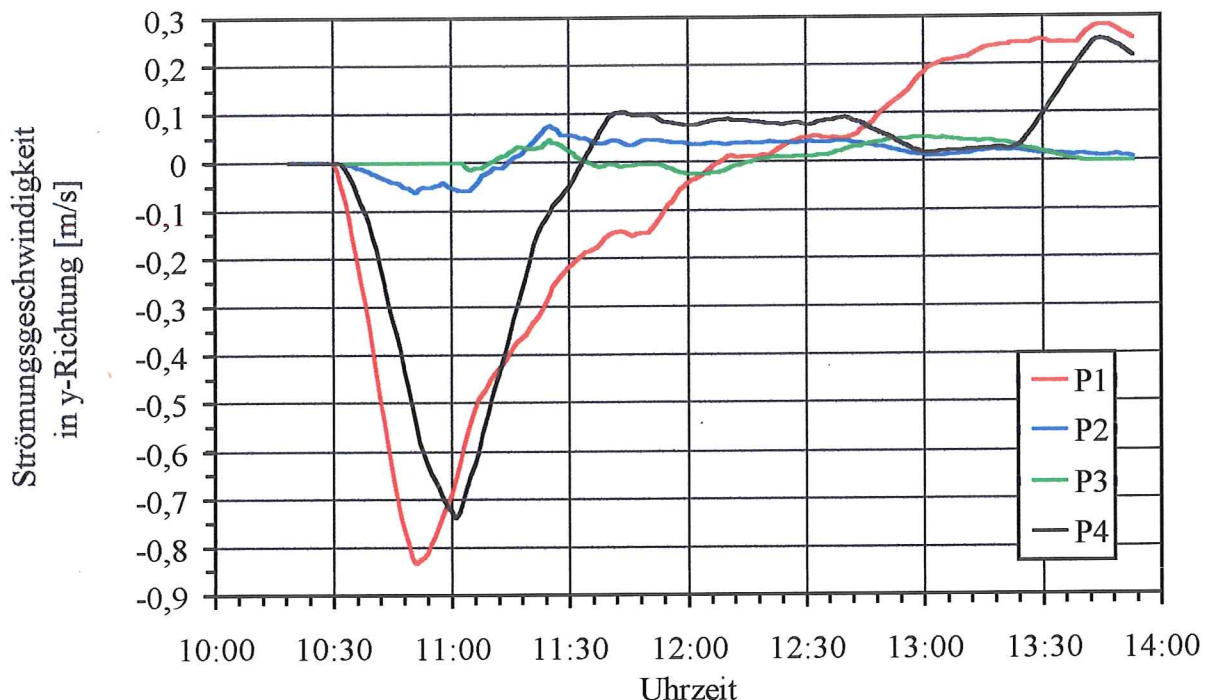
Anlage 8-103a: Strömungsgeschwindigkeiten in y- und x-Richtung  
an den Referenzpunkten P1 bis P4 in der Variante m\_38 (vgl. Taf. 8.6)



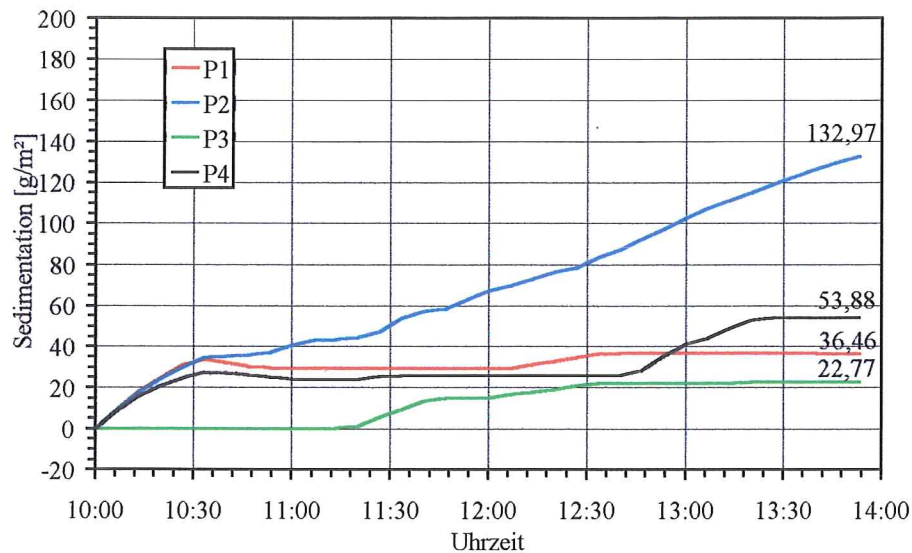
Anlage 8-103b: Sedimentationen und Erosionen im Verlaufe einer Tide an den Referenzpunkten P1 bis P4 in der Variante m\_38 (vgl. Taf. 8.6)



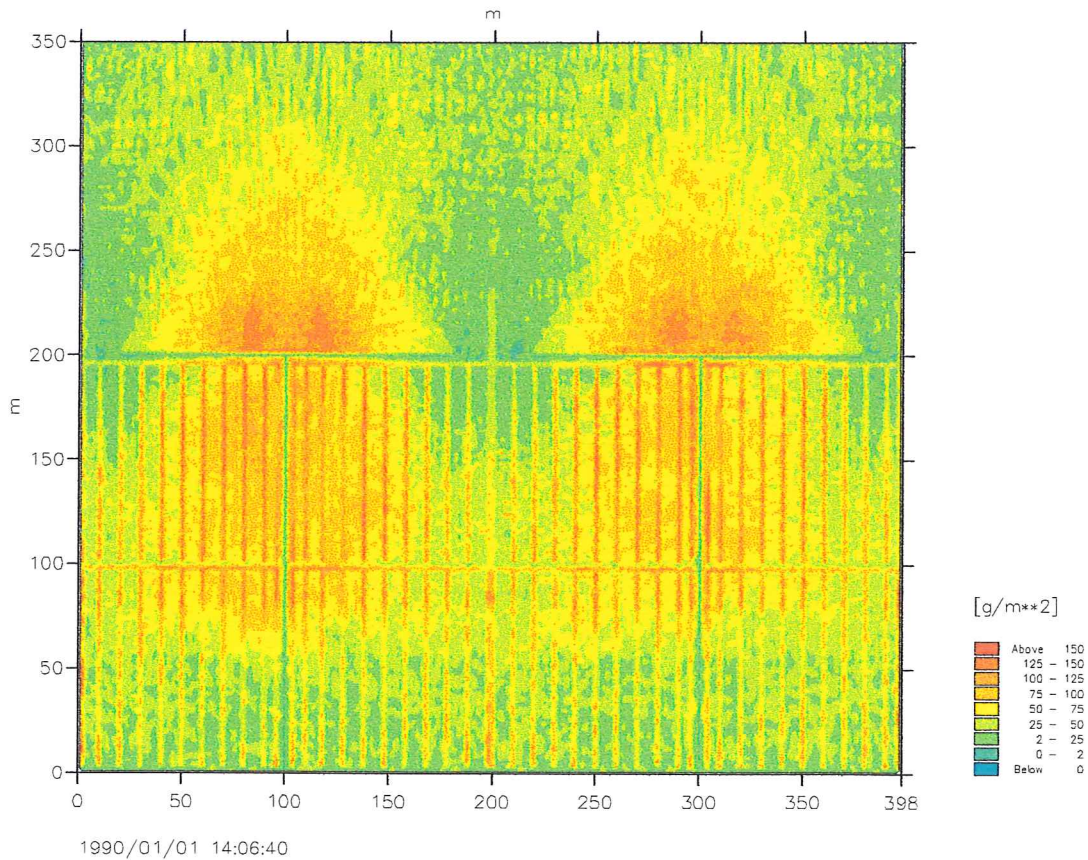
Anlage 8-103c: Sedimentation und Erosion nach Ablauf einer Tide im gesamten Simulationsbereich in der Variante m\_38 (vgl. Taf. 8.6)



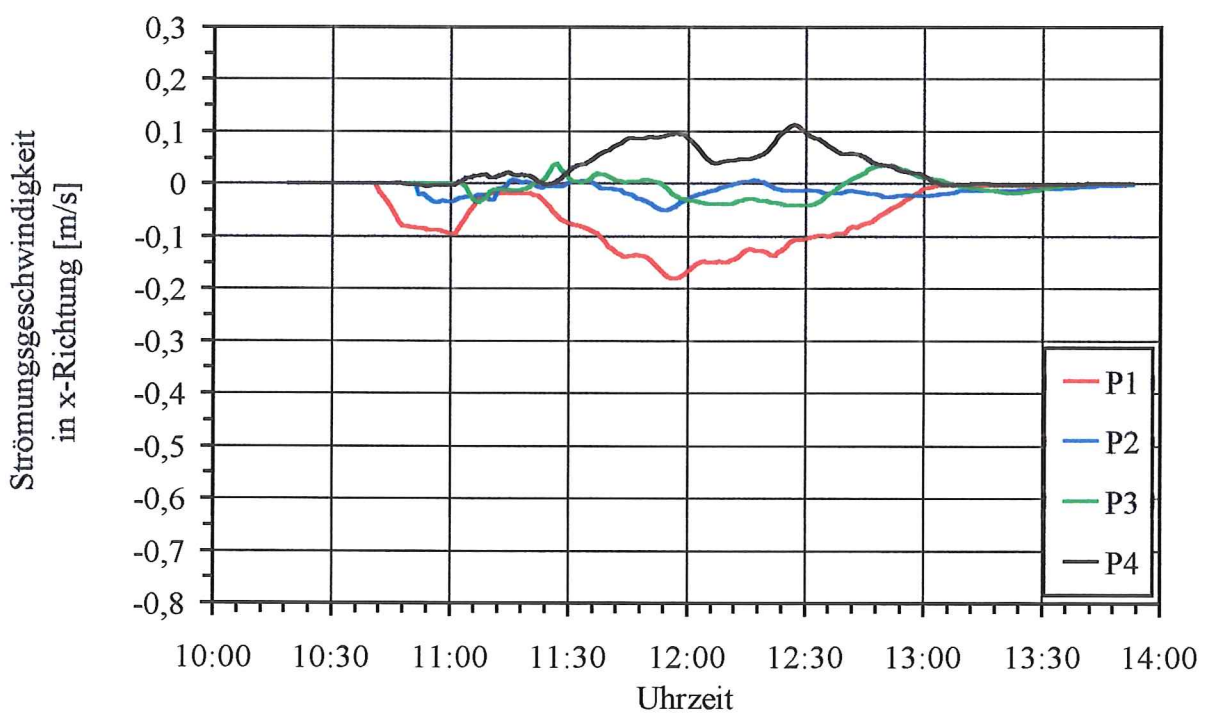
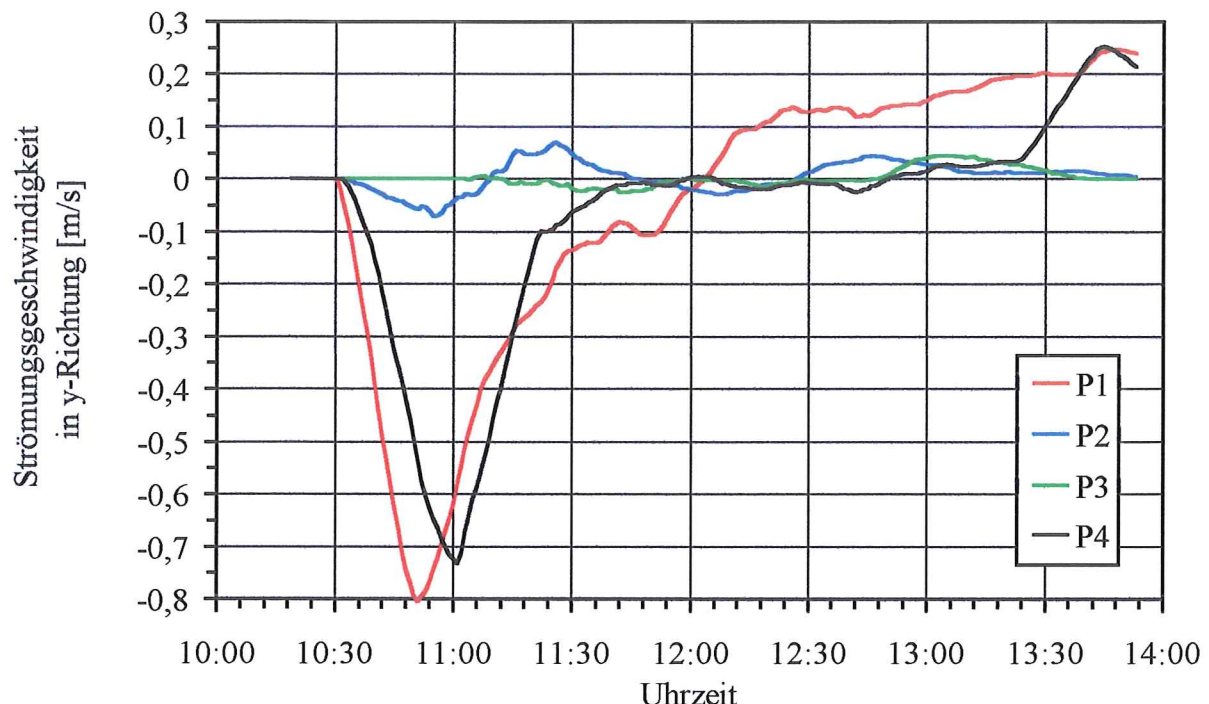
Anlage 8-104a: Strömungsgeschwindigkeiten in y- und x-Richtung  
an den Referenzpunkten P1 bis P4 in der Variante m\_39 (vgl. Taf. 8.6)



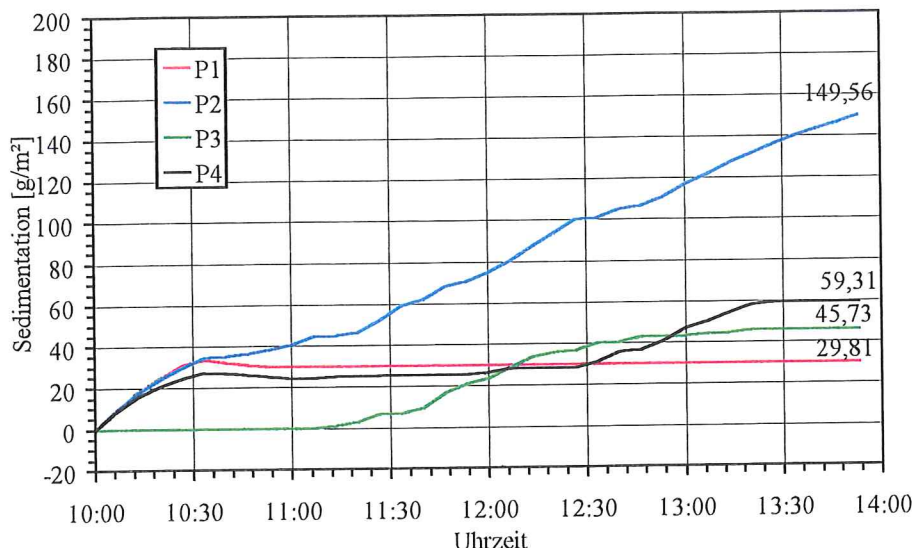
Anlage 8-104b: Sedimentationen und Erosionen im Verlaufe einer Tide an den Referenzpunkten P1 bis P4 in der Variante m\_39 (vgl. Taf. 8.6)



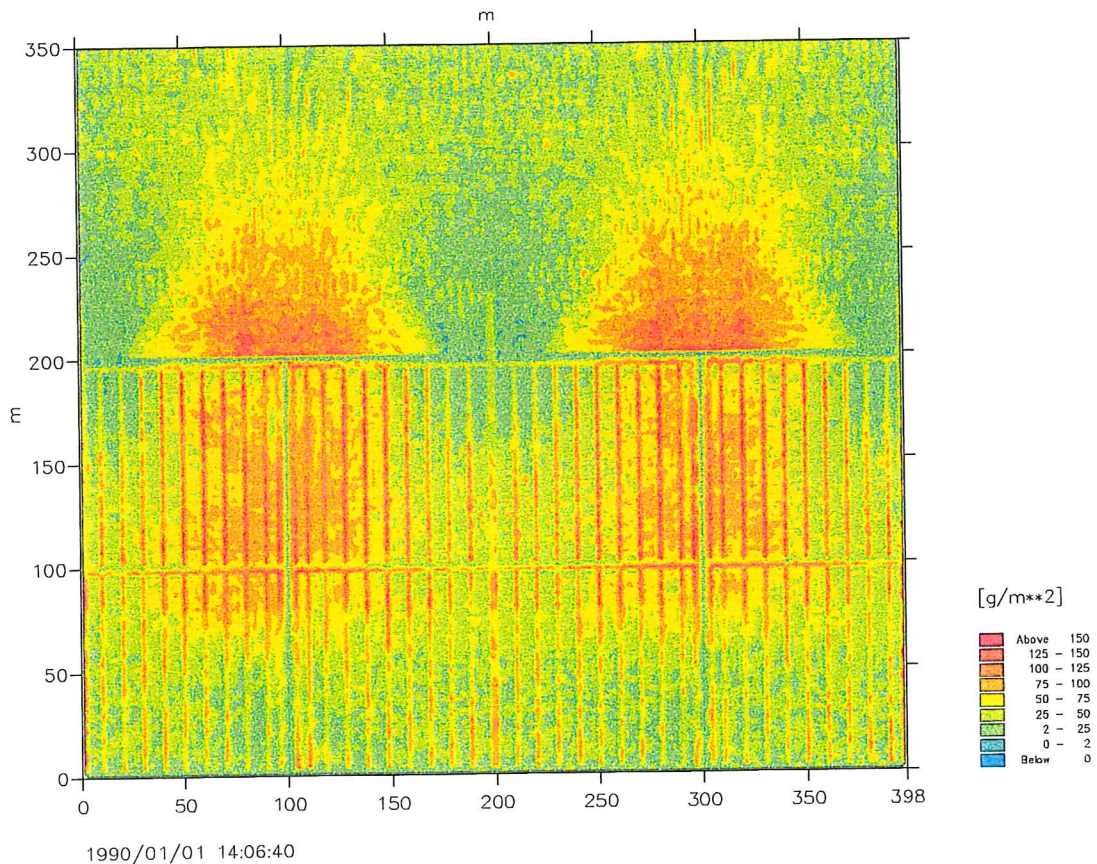
Anlage 8-104c: Sedimentation und Erosion nach Ablauf einer Tide im gesamten Simulationsbereich in der Variante m\_39 (vgl. Taf. 8.6)



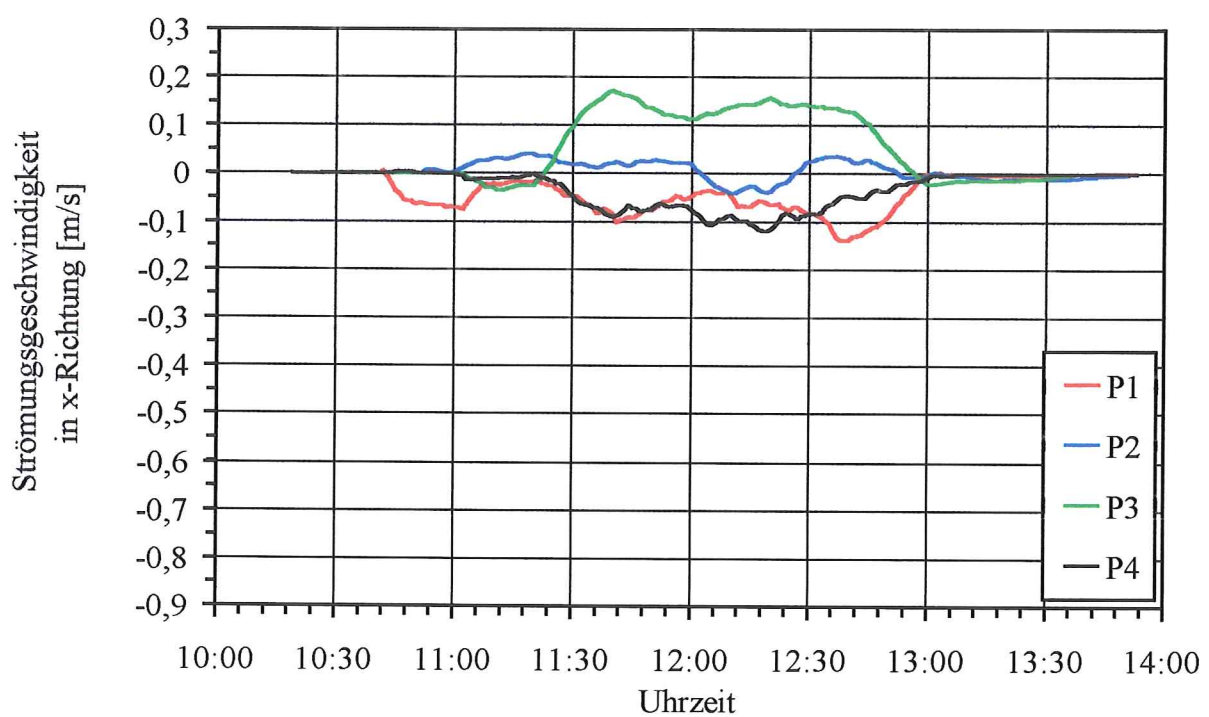
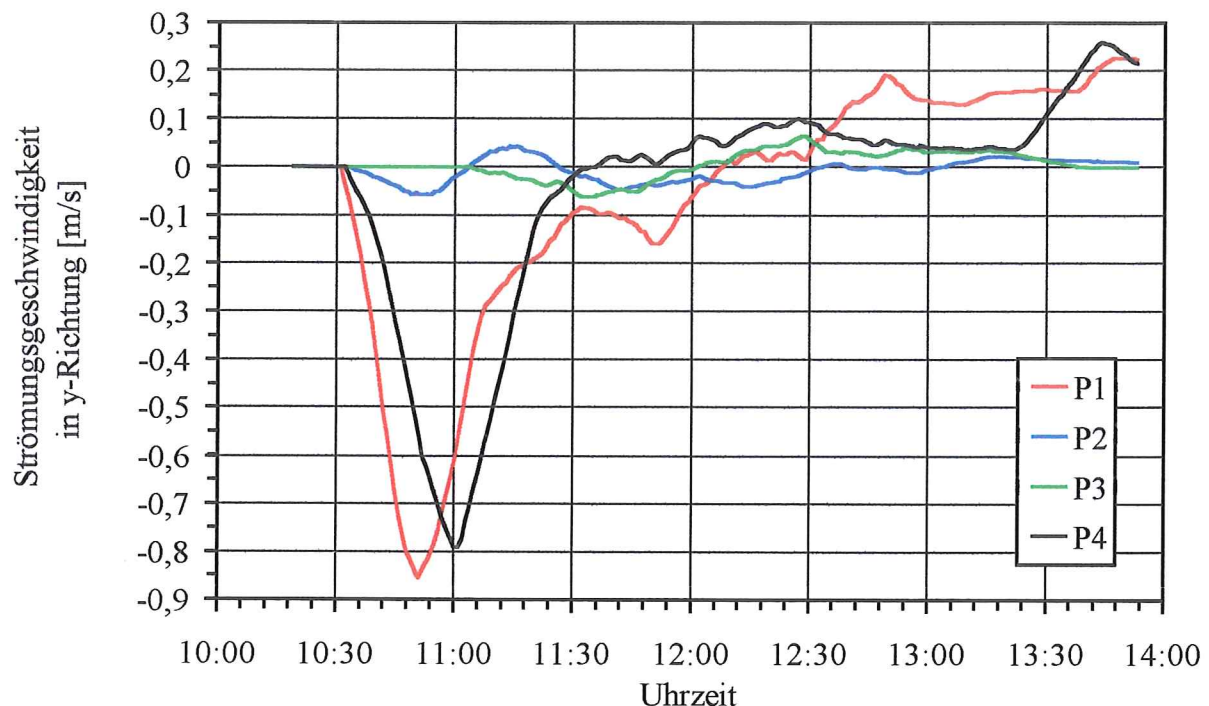
Anlage 8-105a: Strömungsgeschwindigkeiten in y- und x-Richtung  
an den Referenzpunkten P1 bis P4 in der Variante m\_40 (vgl. Taf. 8.6)



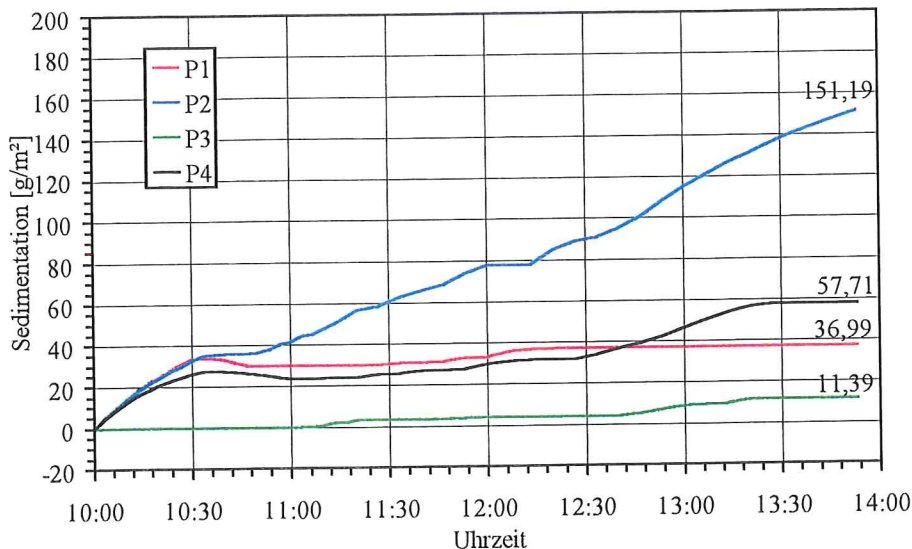
Anlage 8-105b: Sedimentationen und Erosionen im Verlaufe einer Tide an den Referenzpunkten P1 bis P4 in der Variante m\_40 (vgl. Taf. 8.6)



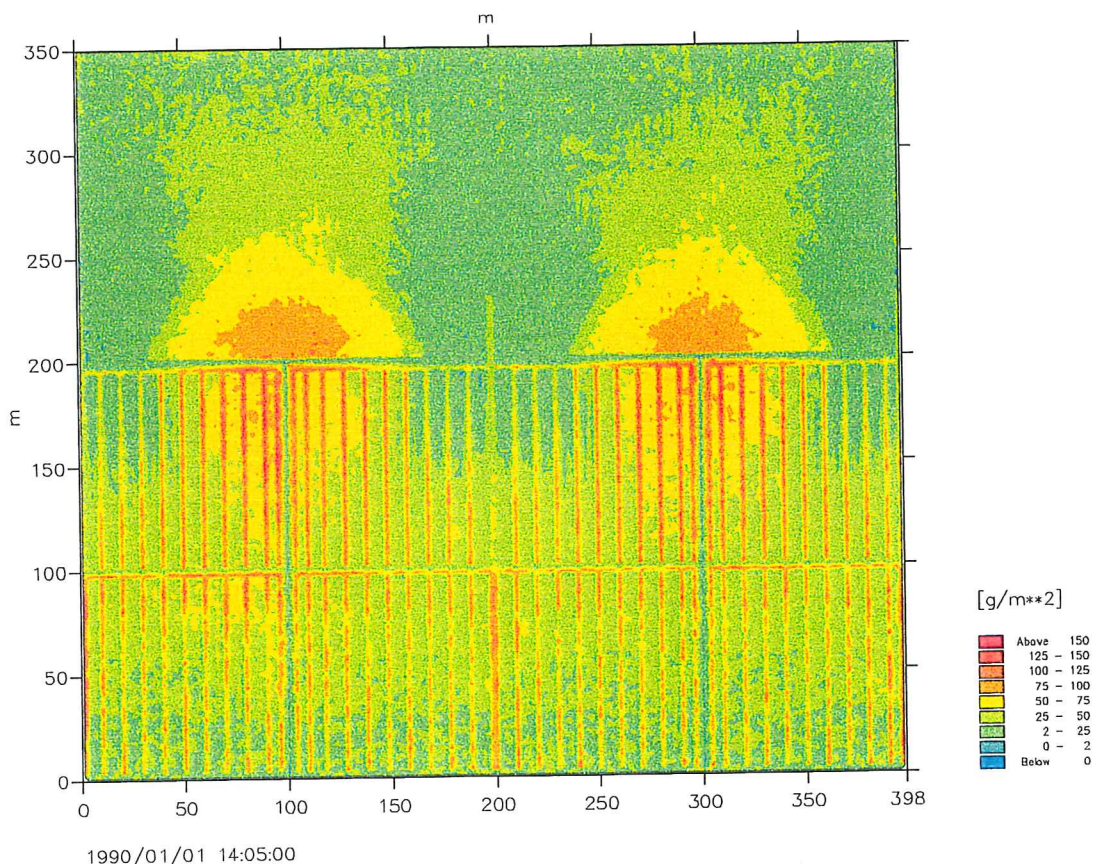
Anlage 8-105c: Sedimentation und Erosion nach Ablauf einer Tide im gesamten Simulationsbereich in der Variante m\_40 (vgl. Taf. 8.6)



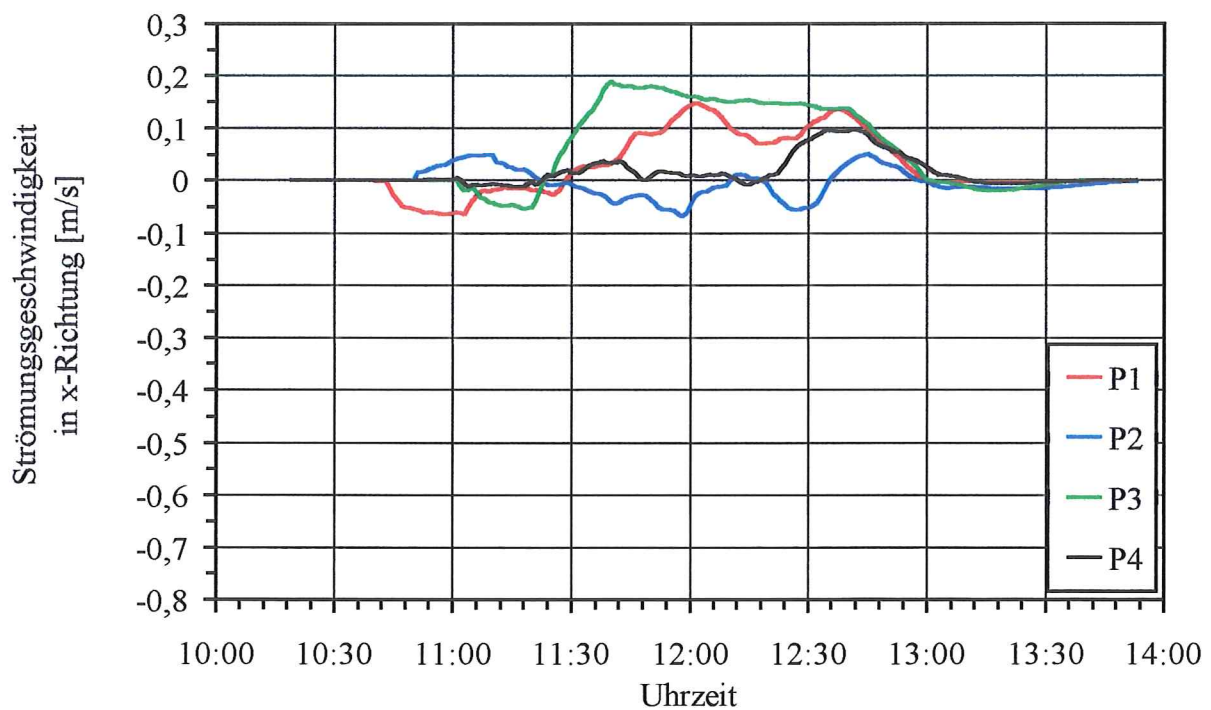
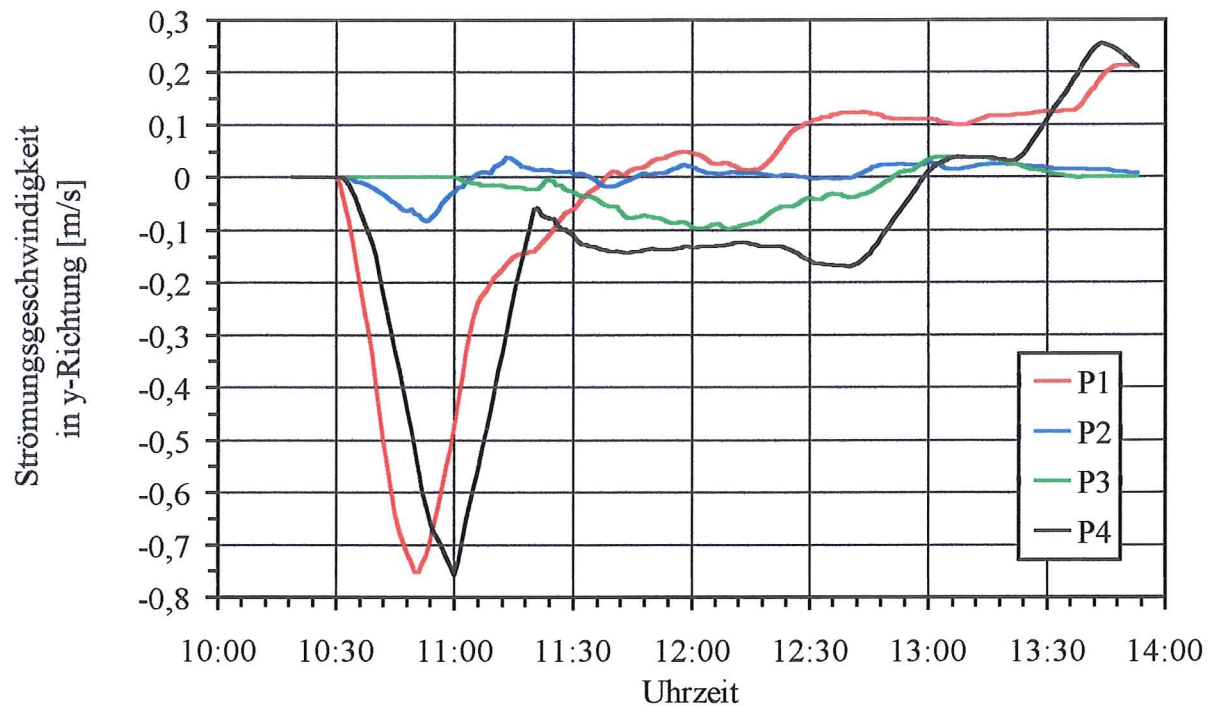
Anlage 8-106a: Strömungsgeschwindigkeiten in y- und x-Richtung  
an den Referenzpunkten P1 bis P4 in der Variante m\_41 (vgl. Taf. 8.6)



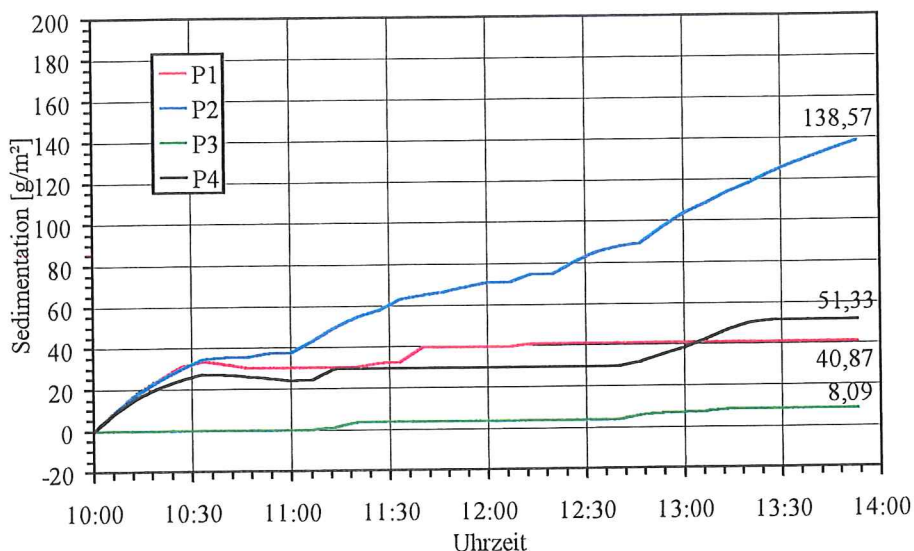
Anlage 8-106b: Sedimentationen und Erosionen im Verlaufe einer Tide an den Referenzpunkten P1 bis P4 in der Variante m\_41 (vgl. Taf. 8.6)



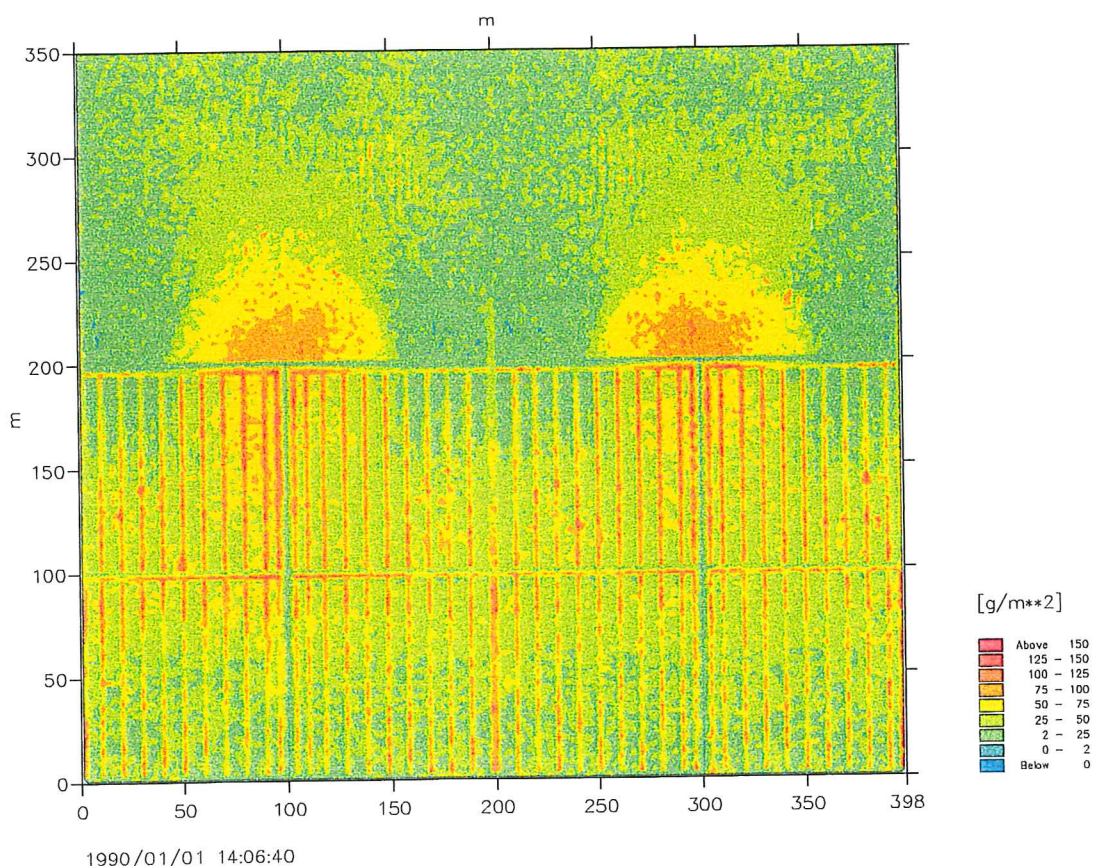
Anlage 8-106c: Sedimentation und Erosion nach Ablauf einer Tide im gesamten Simulationsbereich in der Variante m\_41 (vgl. Taf. 8.6)



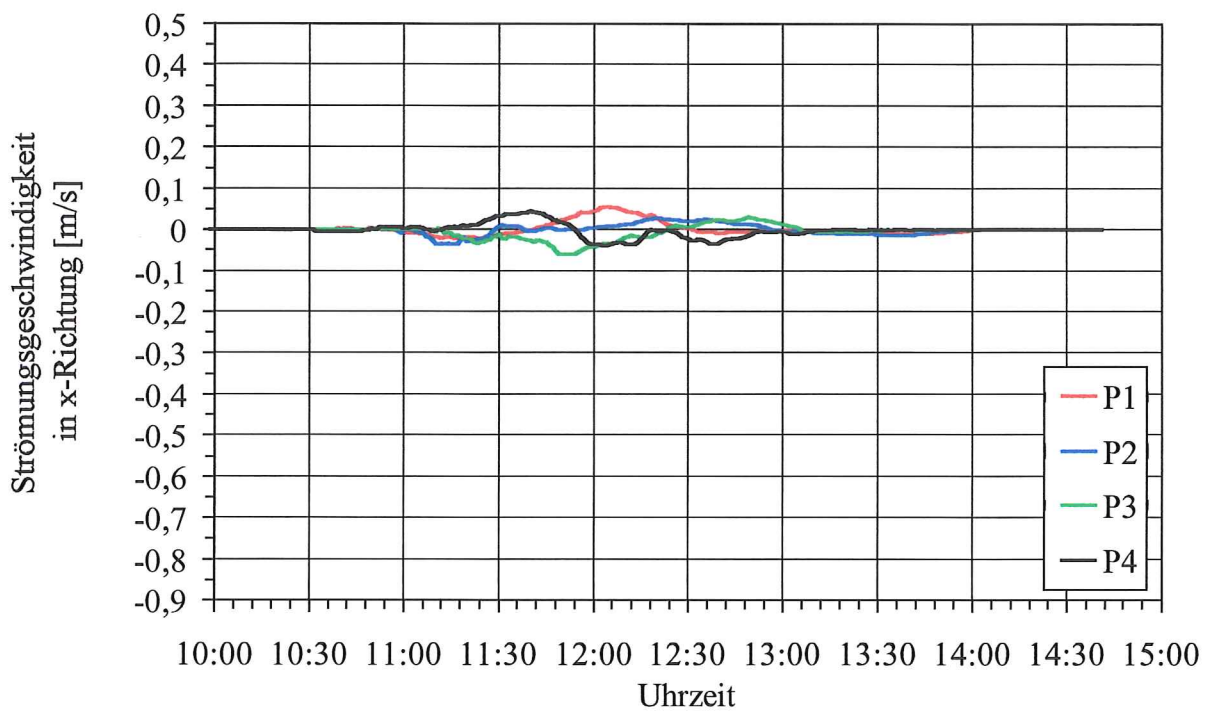
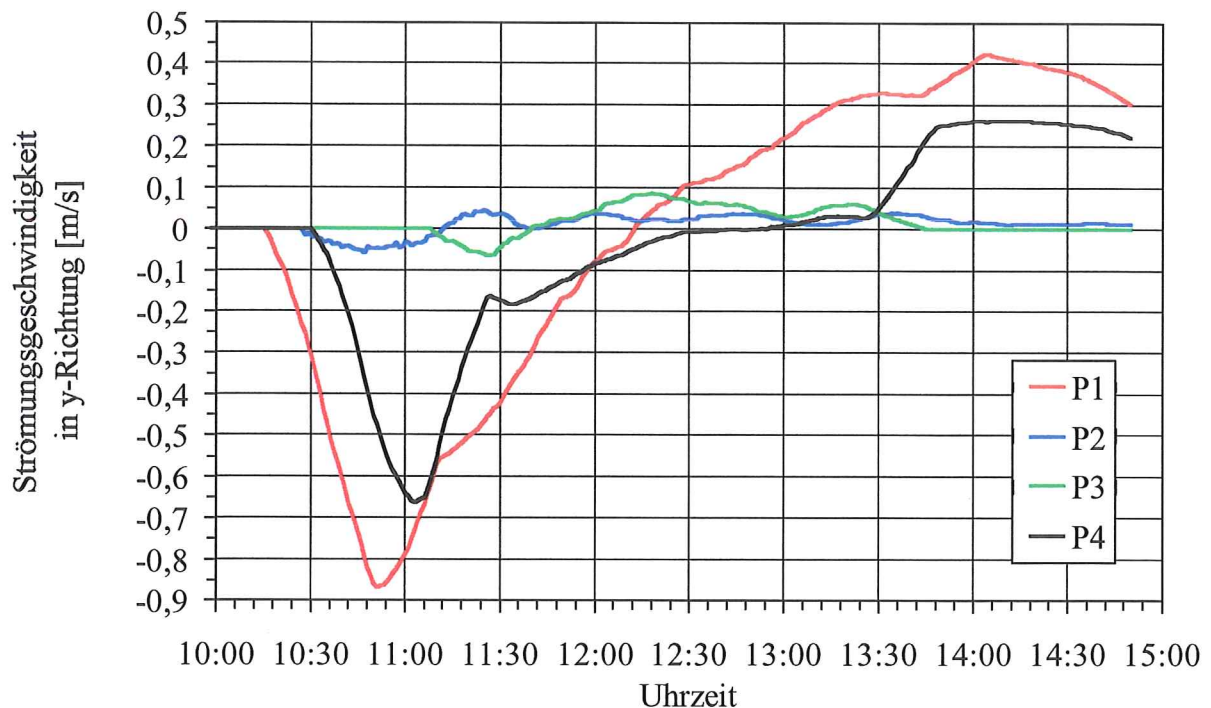
Anlage 8-107a: Strömungsgeschwindigkeiten in y- und x-Richtung  
an den Referenzpunkten P1 bis P4 in der Variante m\_42 (vgl. Taf. 8.6)



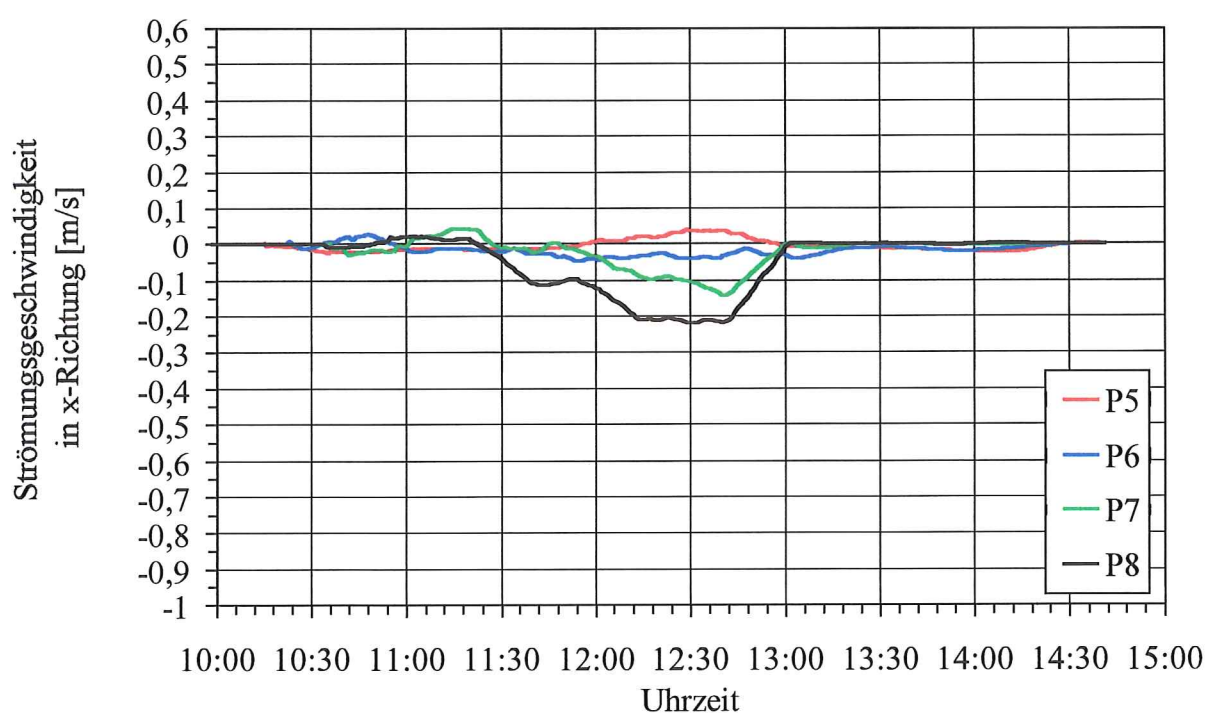
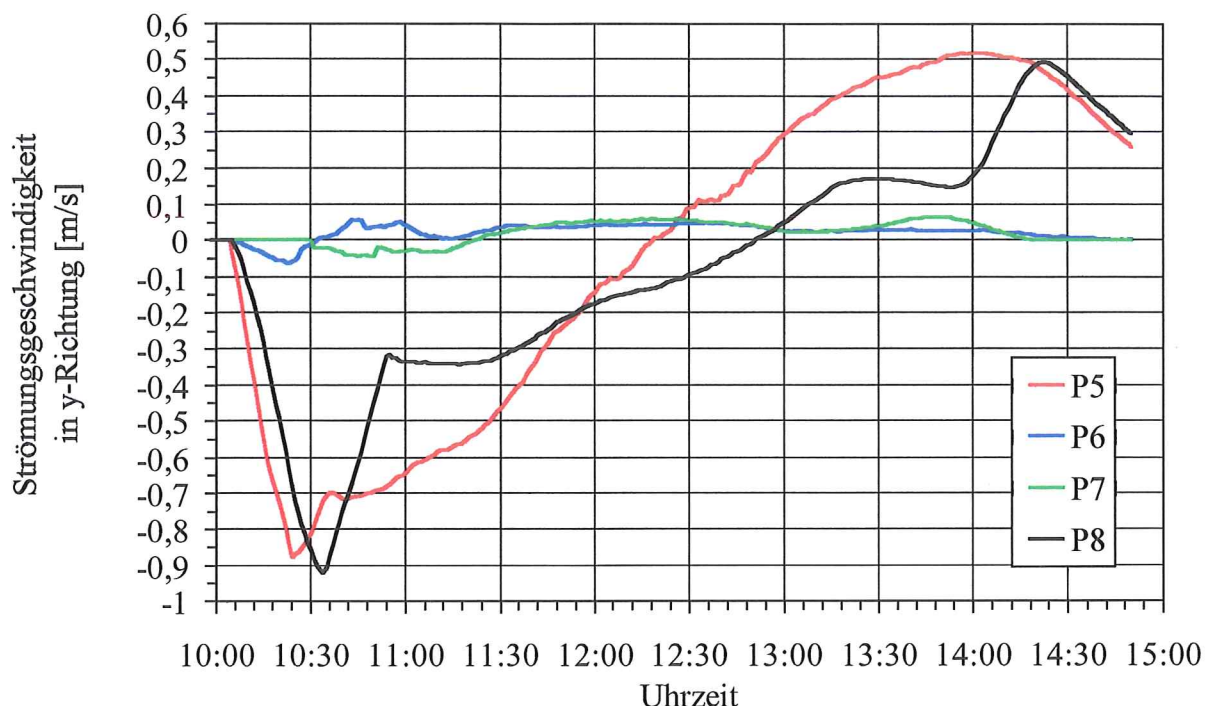
Anlage 8-107b: Sedimentationen und Erosionen im Verlaufe einer Tide an den Referenzpunkten P1 bis P4 in der Variante m\_42 (vgl. Taf. 8.6)



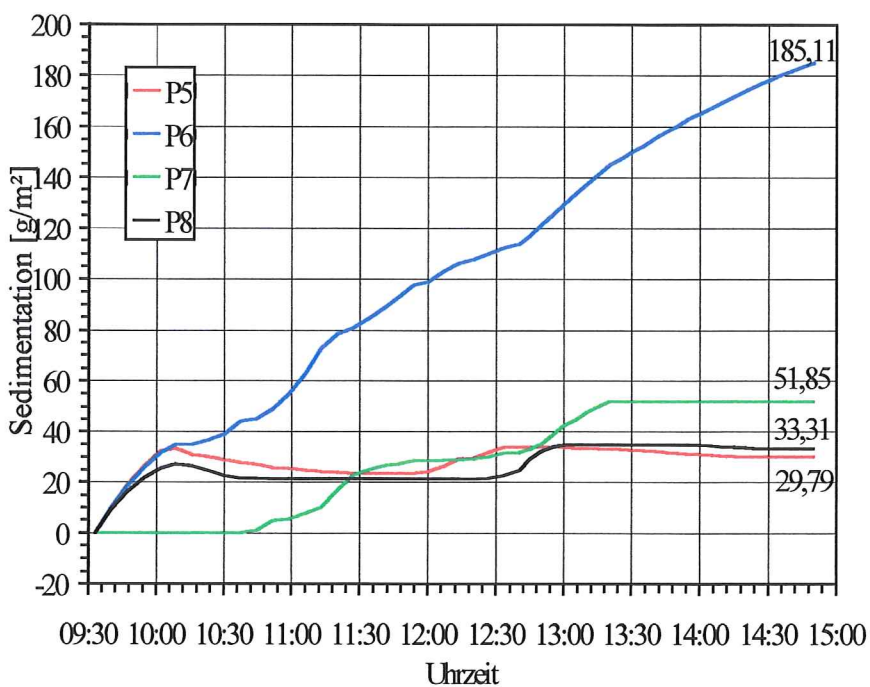
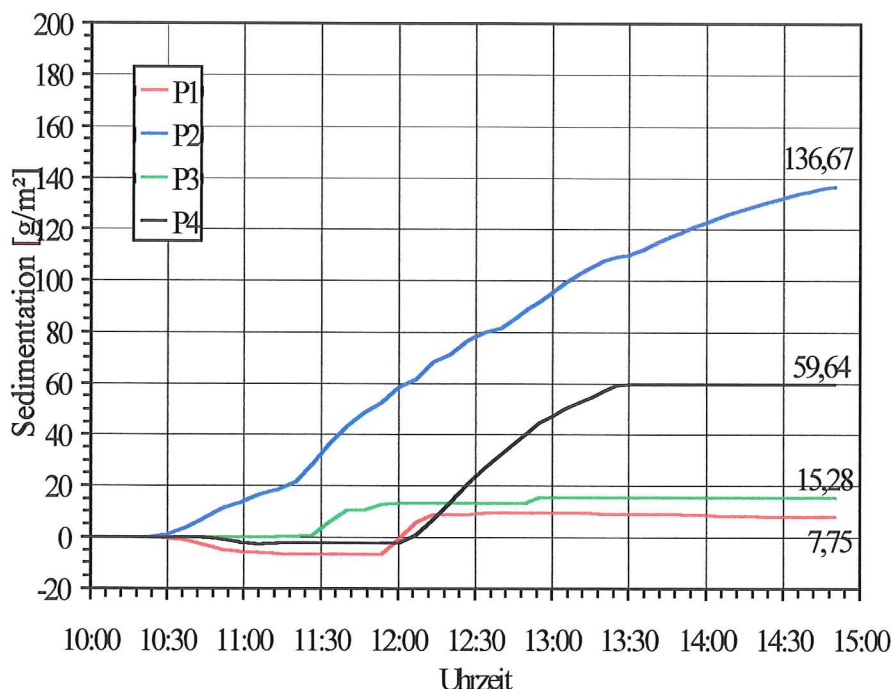
Anlage 8-107c: Sedimentation und Erosion nach Ablauf einer Tide im gesamten Simulationsbereich in der Variante m\_42 (vgl. Taf. 8.6)



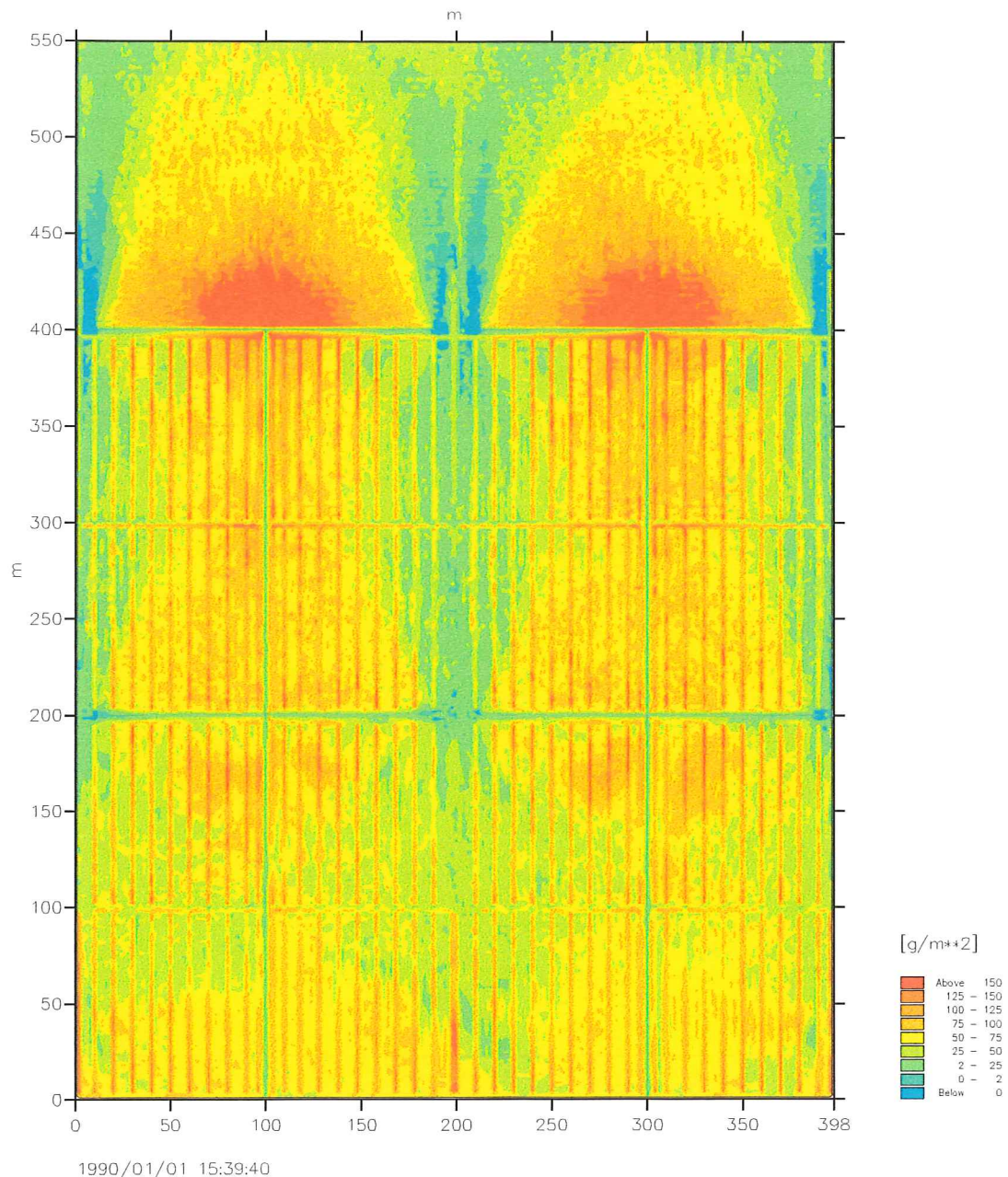
Anlage 8-108a1: Strömungsgeschwindigkeiten in y- und x-Richtung  
an den Referenzpunkten P1 bis P4 in der Variante m\_43 (vgl. Taf. 8.6)



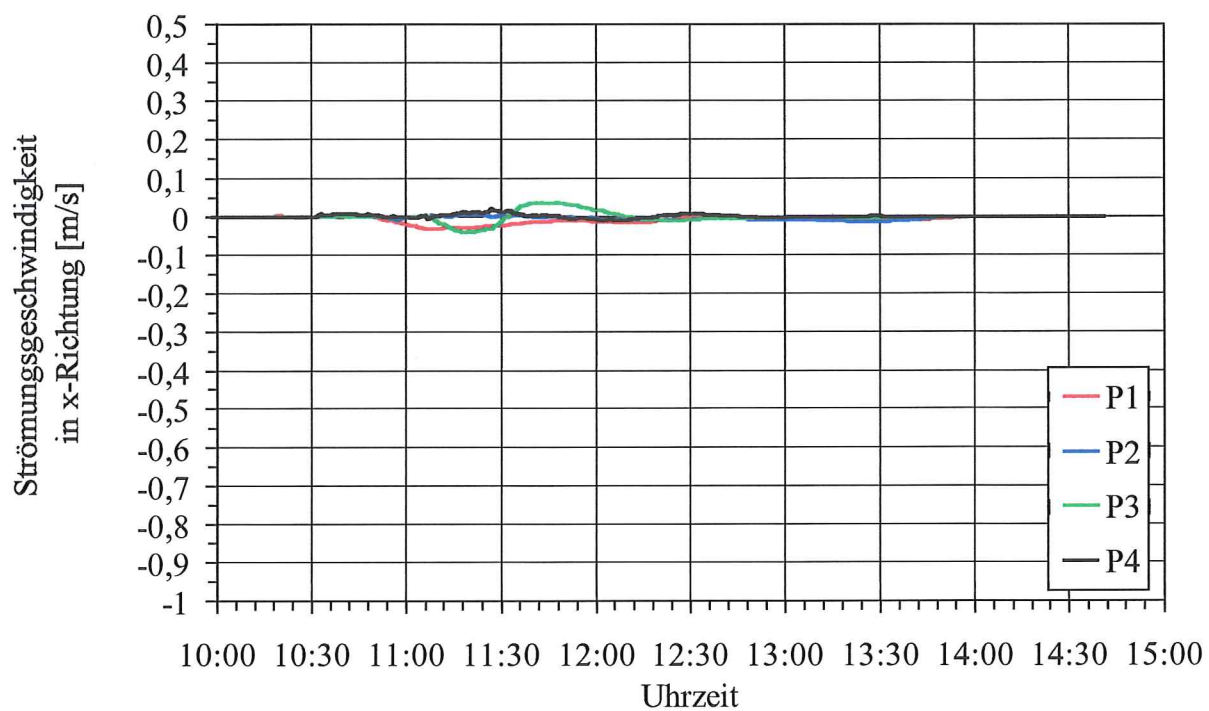
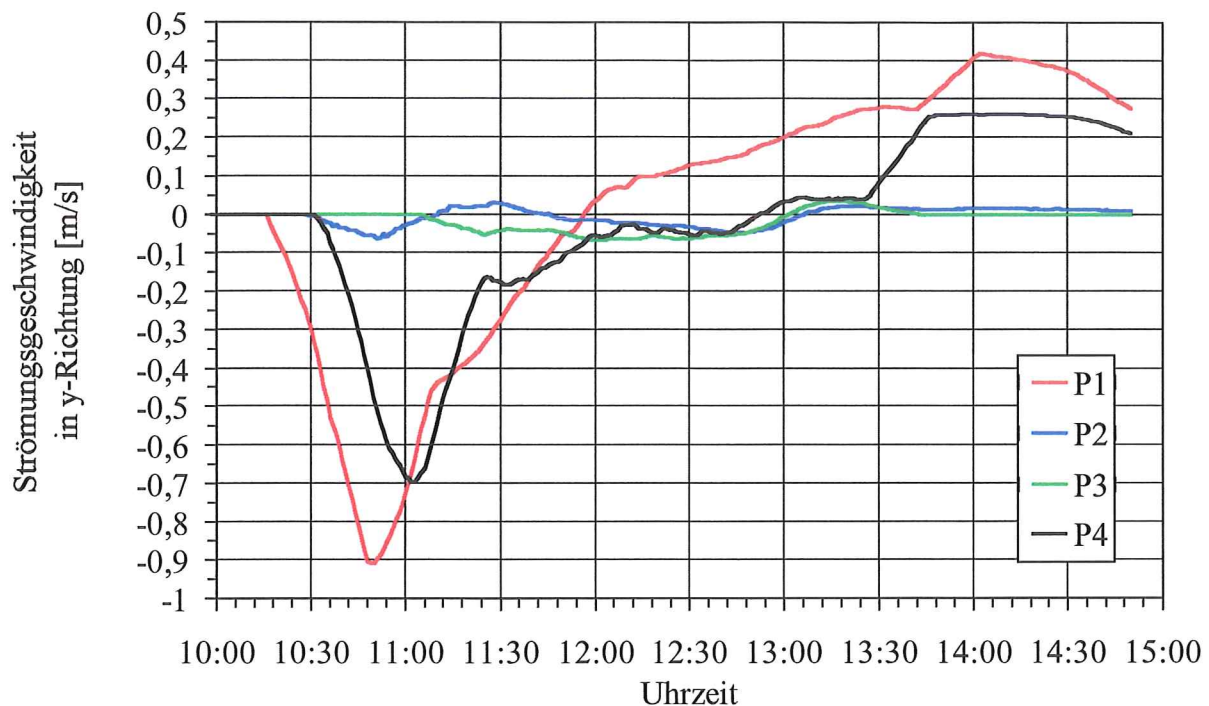
Anlage 8-108a2: Strömungsgeschwindigkeiten in y- und x-Richtung  
an den Referenzpunkten P5 bis P8 in der Variante m\_43 (vgl. Taf. 8.6)



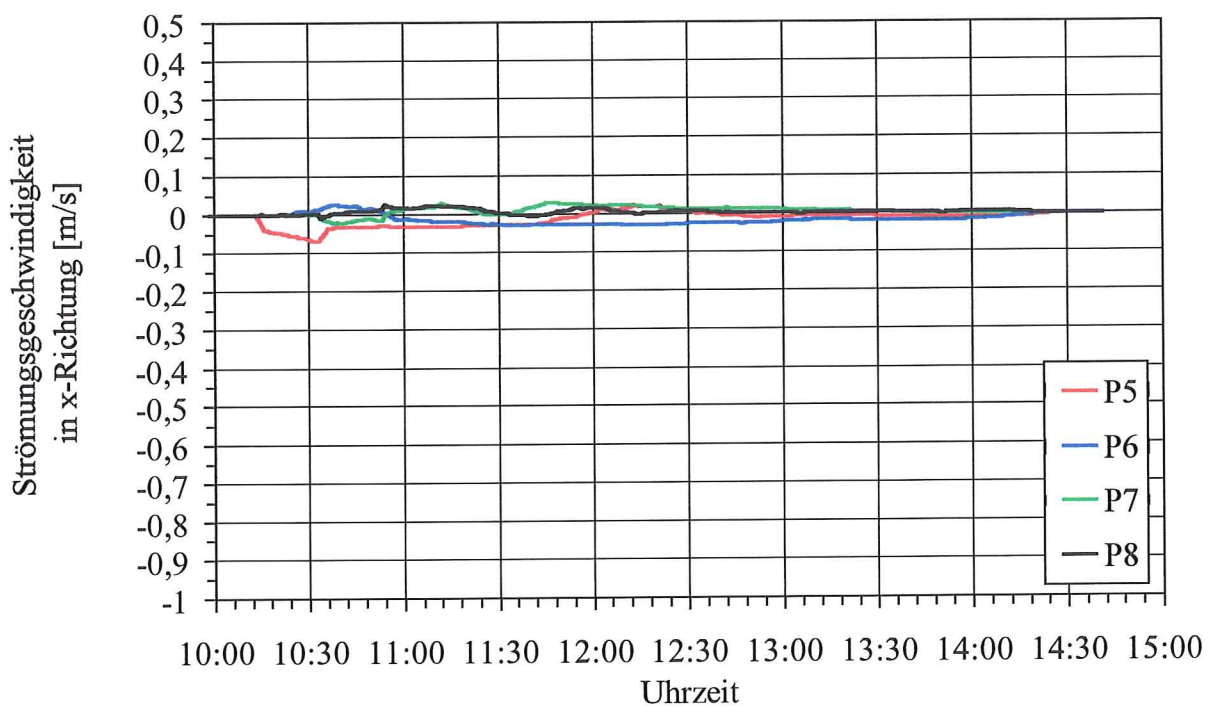
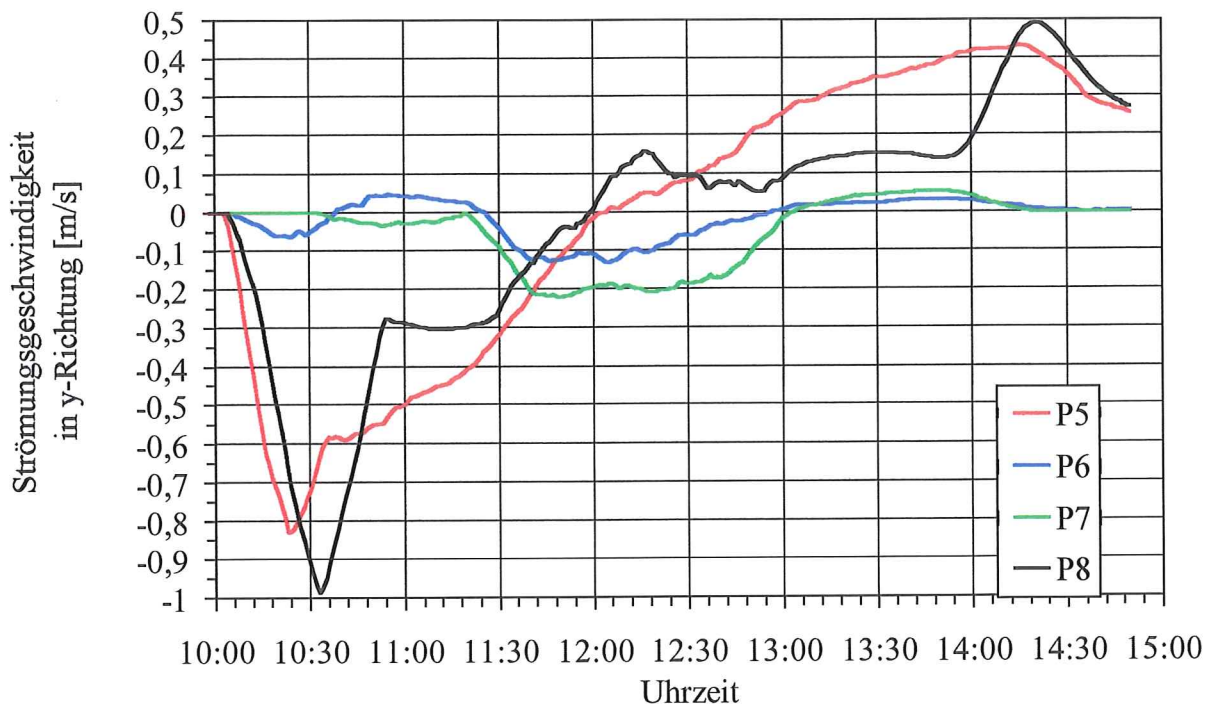
Anlage 8-108b: Sedimentationen und Erosionen im Verlaufe einer Tide  
an den Referenzpunkten P1 bis P4 und P5 bis P8 in der Variante m\_43 (vgl. Taf. 8.6)



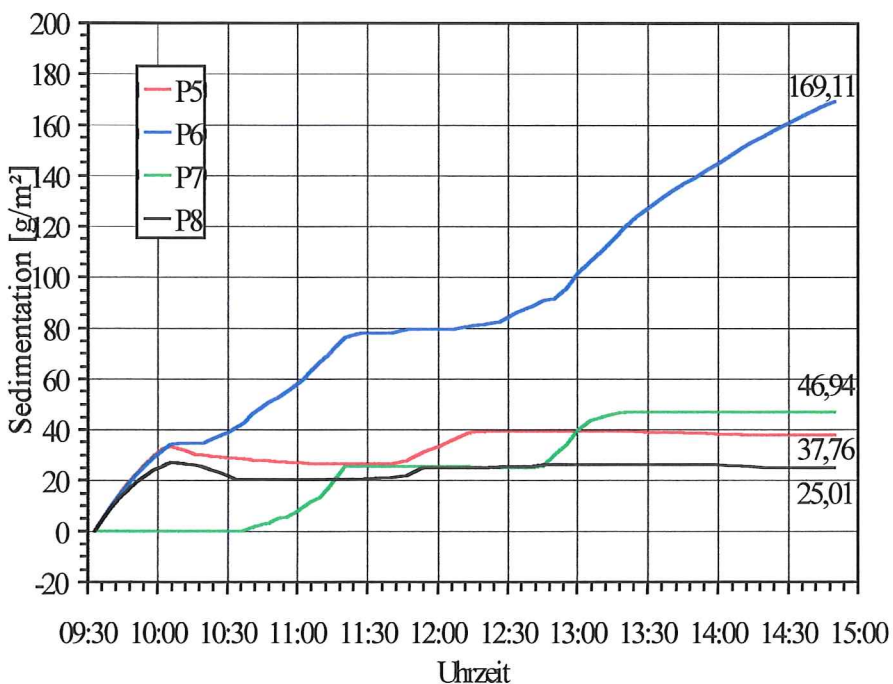
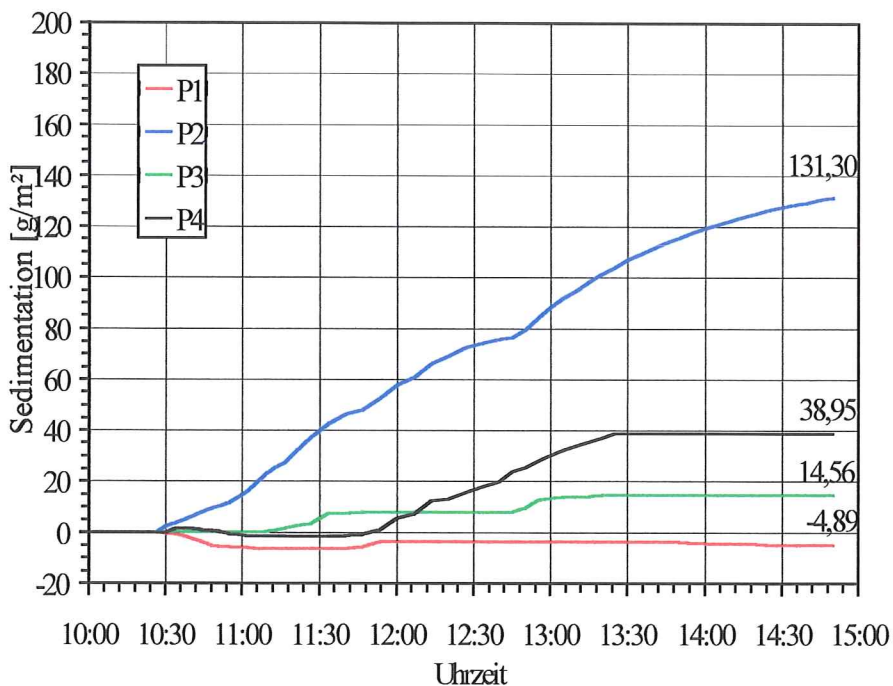
Anlage 8-108c: Sedimentation und Erosion nach Ablauf einer Tide  
im gesamten Simulationsbereich in der Variante m\_43 (vgl. Taf. 8.6)



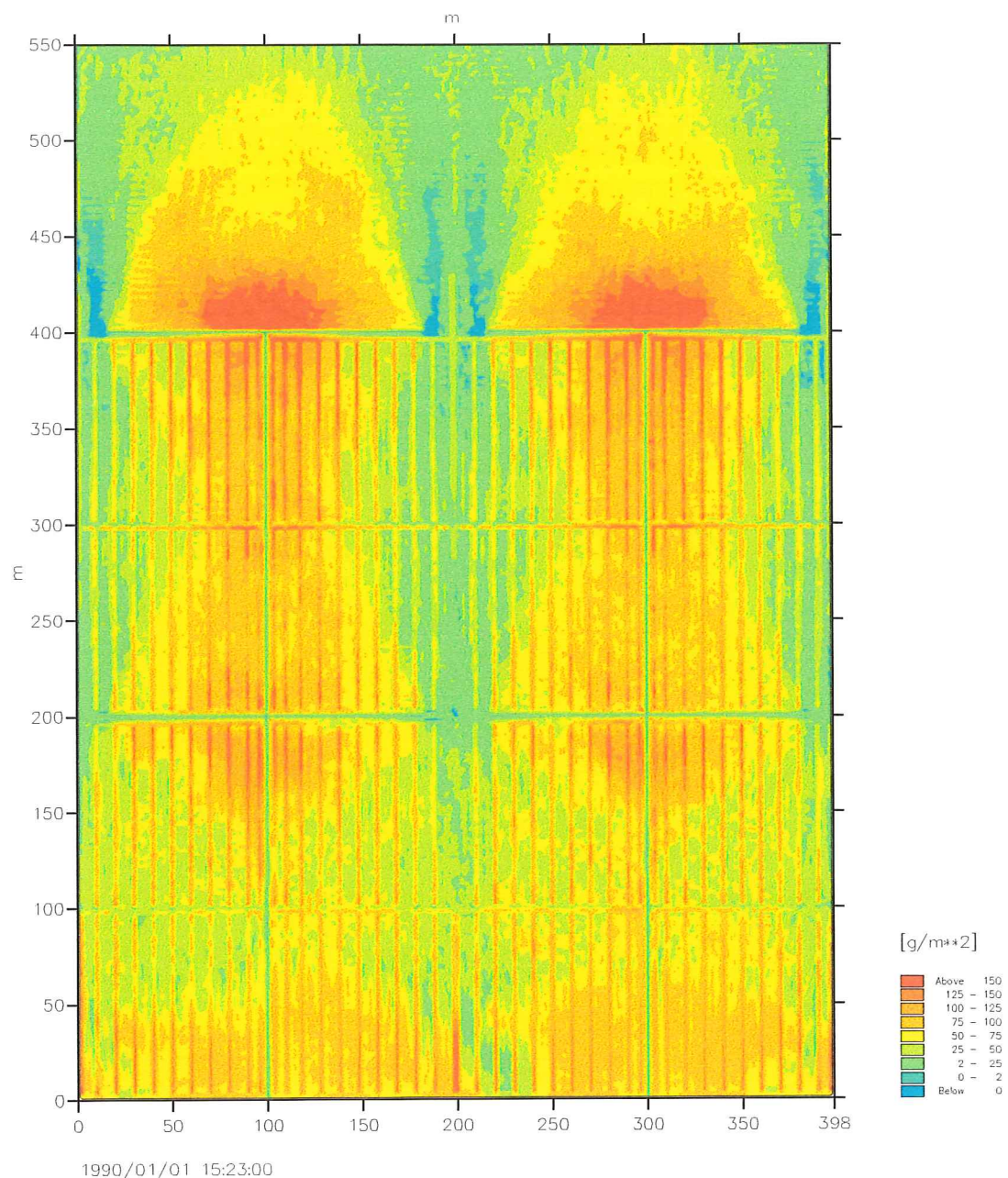
Anlage 8-109a1: Strömungsgeschwindigkeiten in y- und x-Richtung an den Referenzpunkten P1 bis P4 in der Variante m\_44 (vgl. Taf. 8.6)



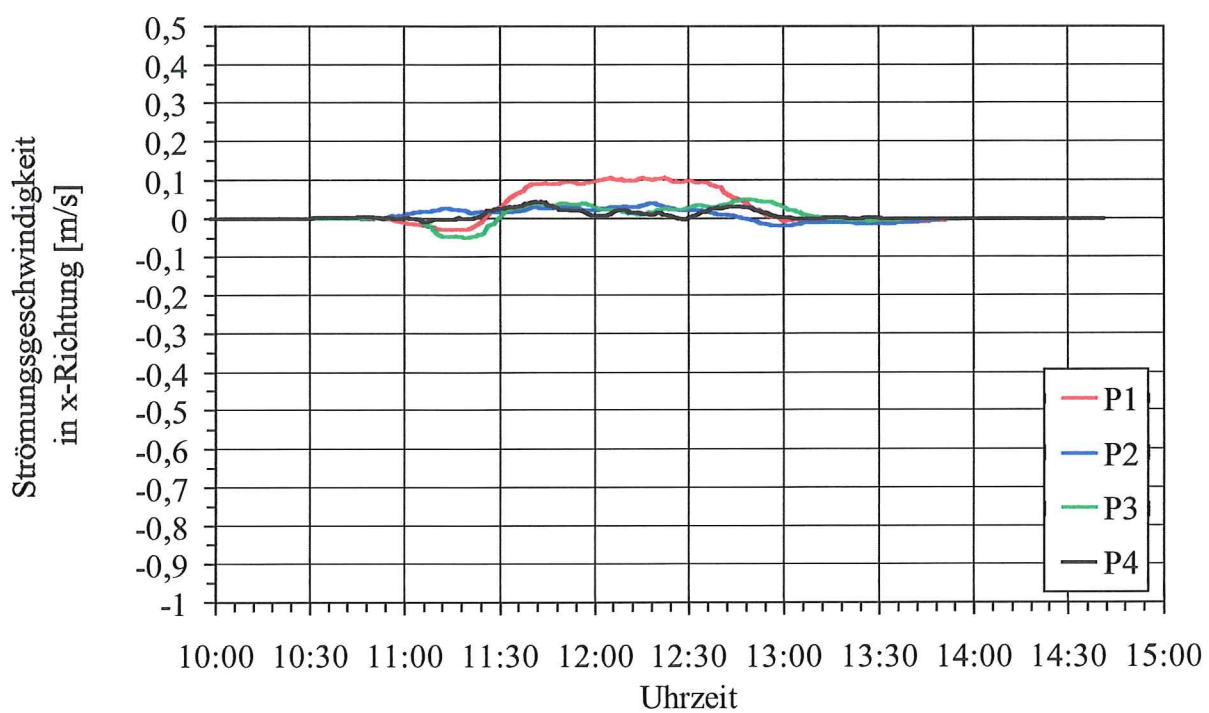
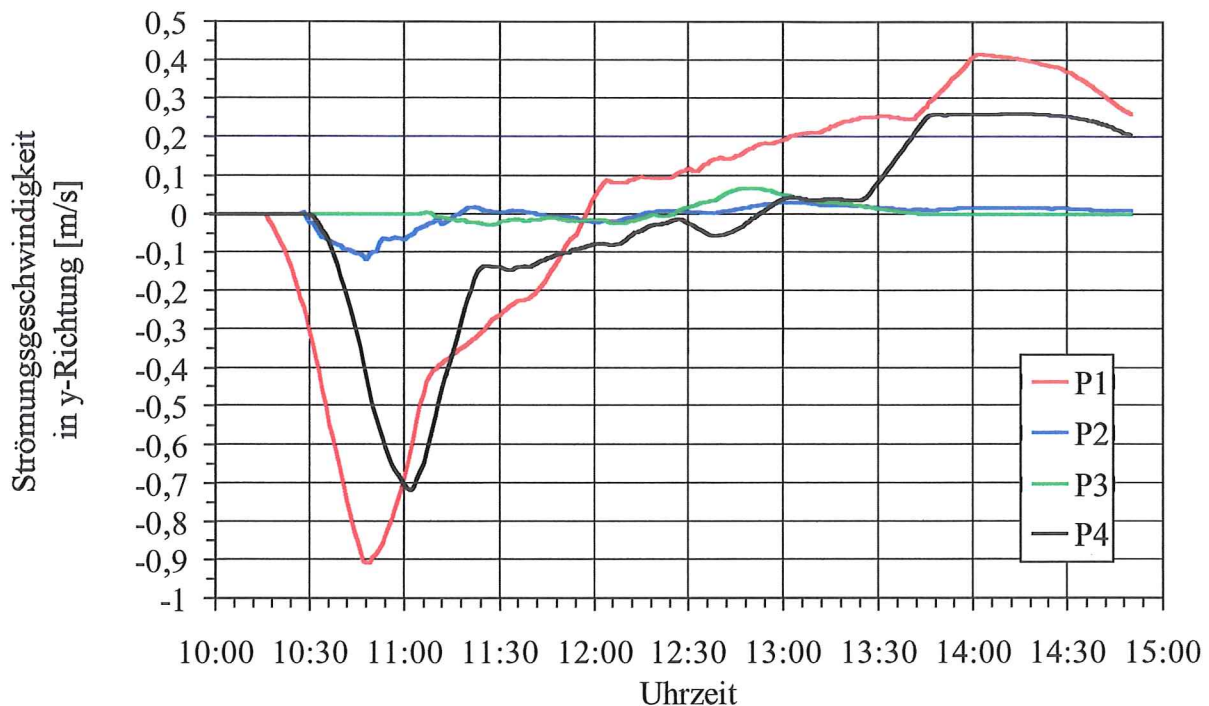
Anlage 8-109a2: Strömungsgeschwindigkeiten in y- und x-Richtung an den Referenzpunkten P5 bis P8 in der Variante m\_44 (vgl. Taf. 8.6)



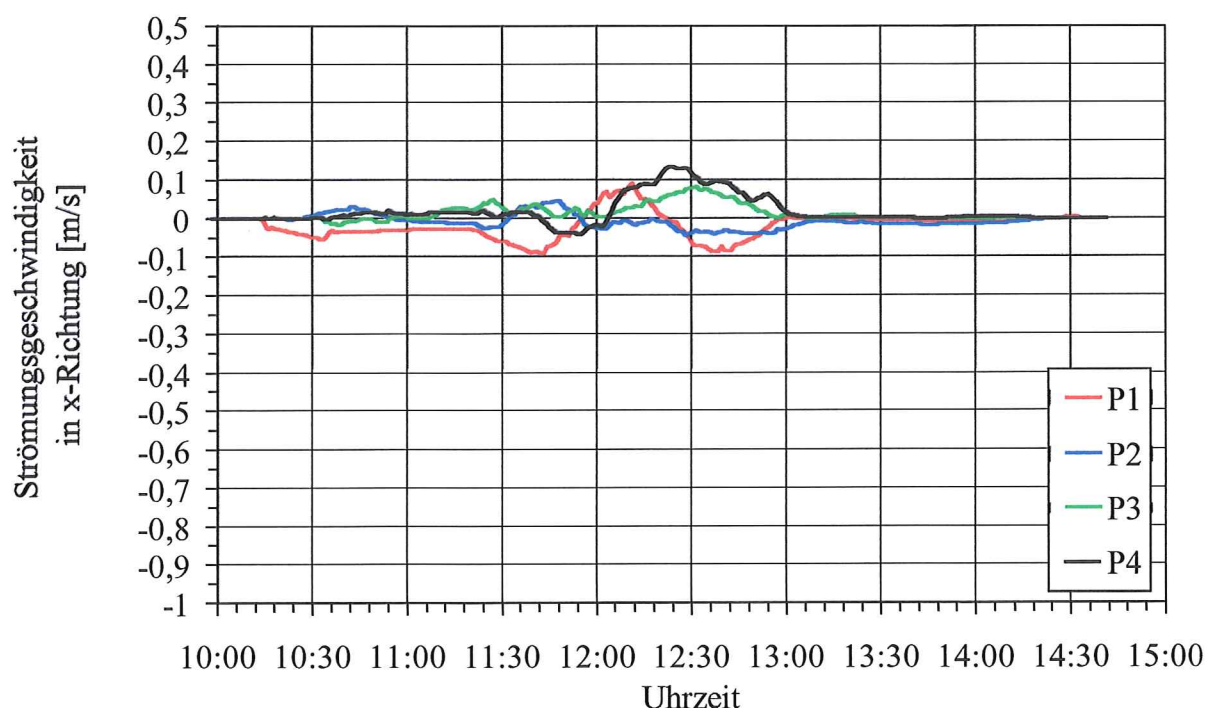
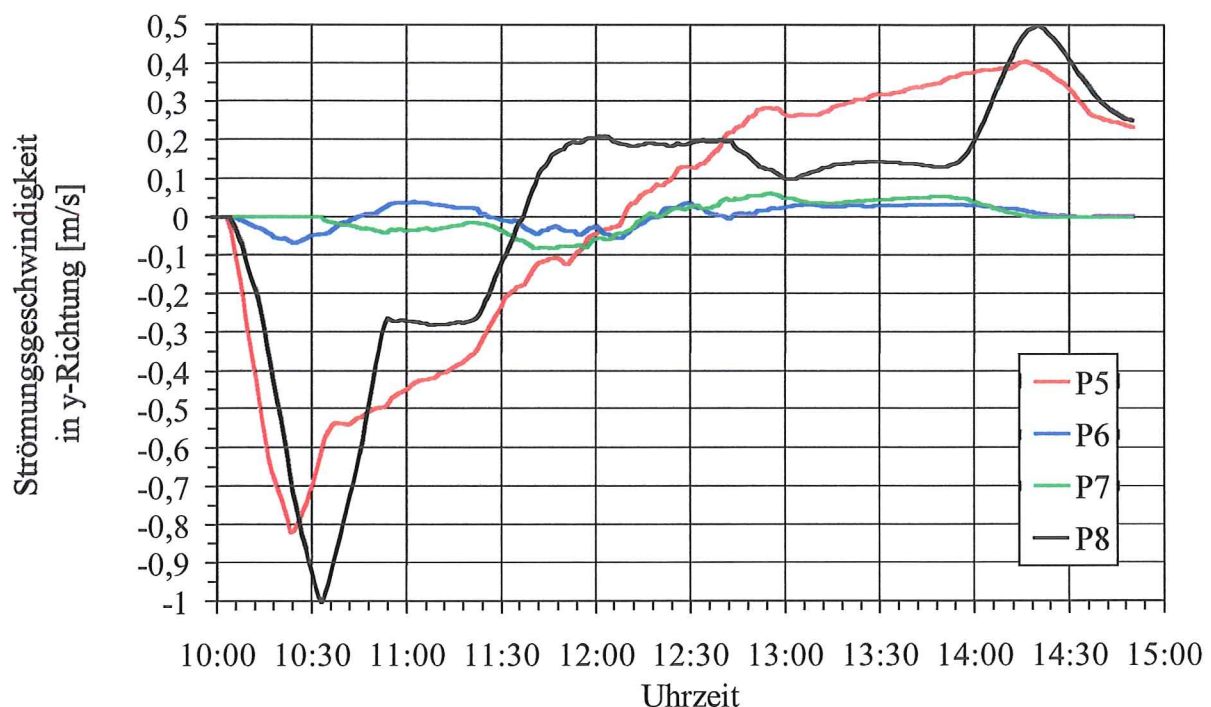
Anlage 8-109b: Sedimentationen und Erosionen im Verlaufe einer Tide  
an den Referenzpunkten P1 bis P4 und P5 bis P8 in der Variante m\_44 (vgl. Taf. 8.6)



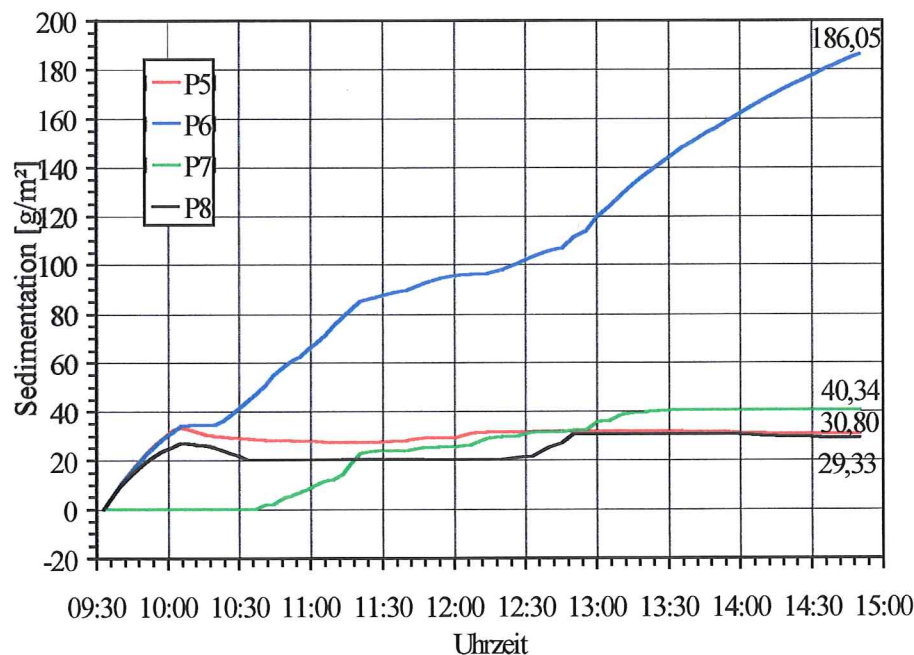
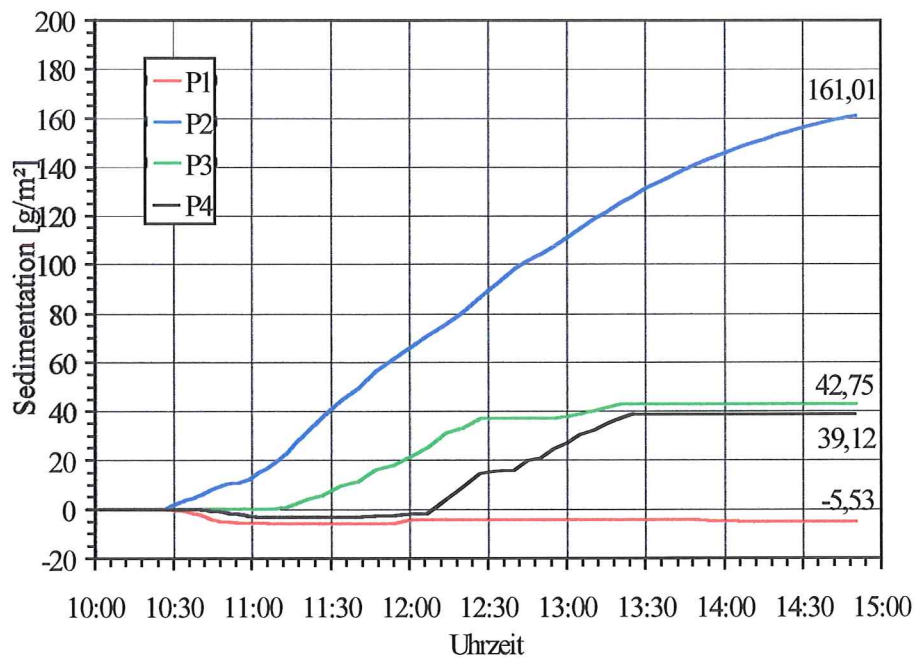
Anlage 8-109c: Sedimentation und Erosion nach Ablauf einer Tide  
im gesamten Simulationsbereich in der Variante m\_44 (vgl. Taf. 8.6)



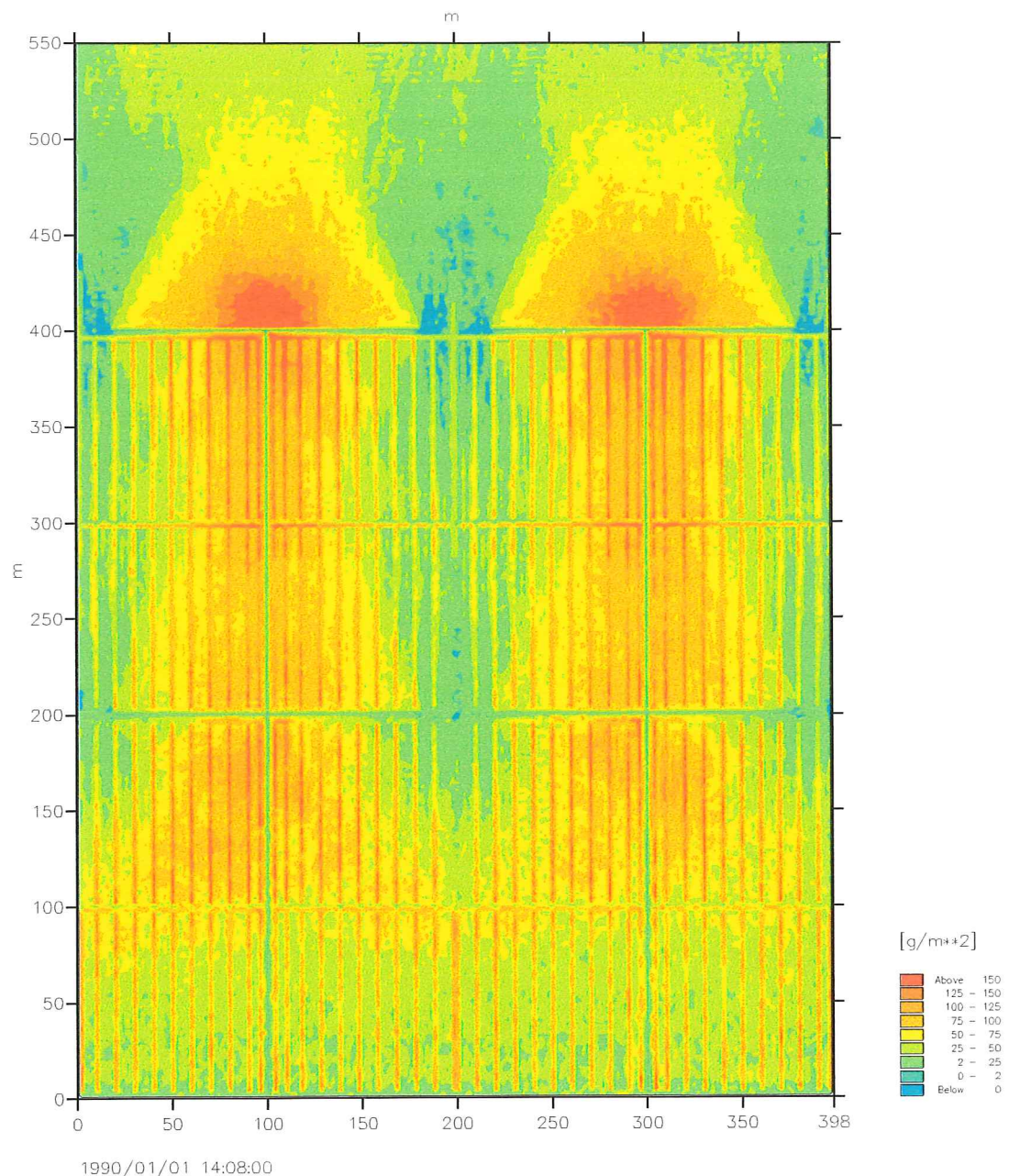
Anlage 8-110a1: Strömungsgeschwindigkeiten in y- und x-Richtung an den Referenzpunkten P1 bis P4 in der Variante m\_45 (vgl. Taf. 8.6)



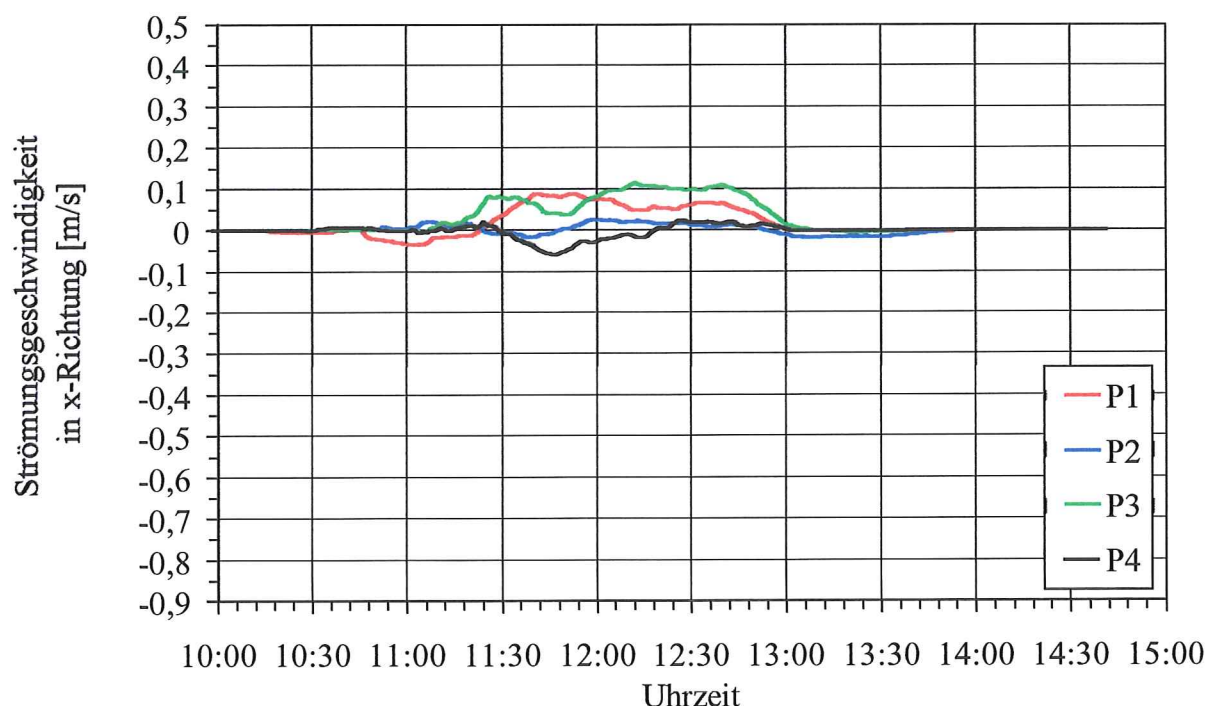
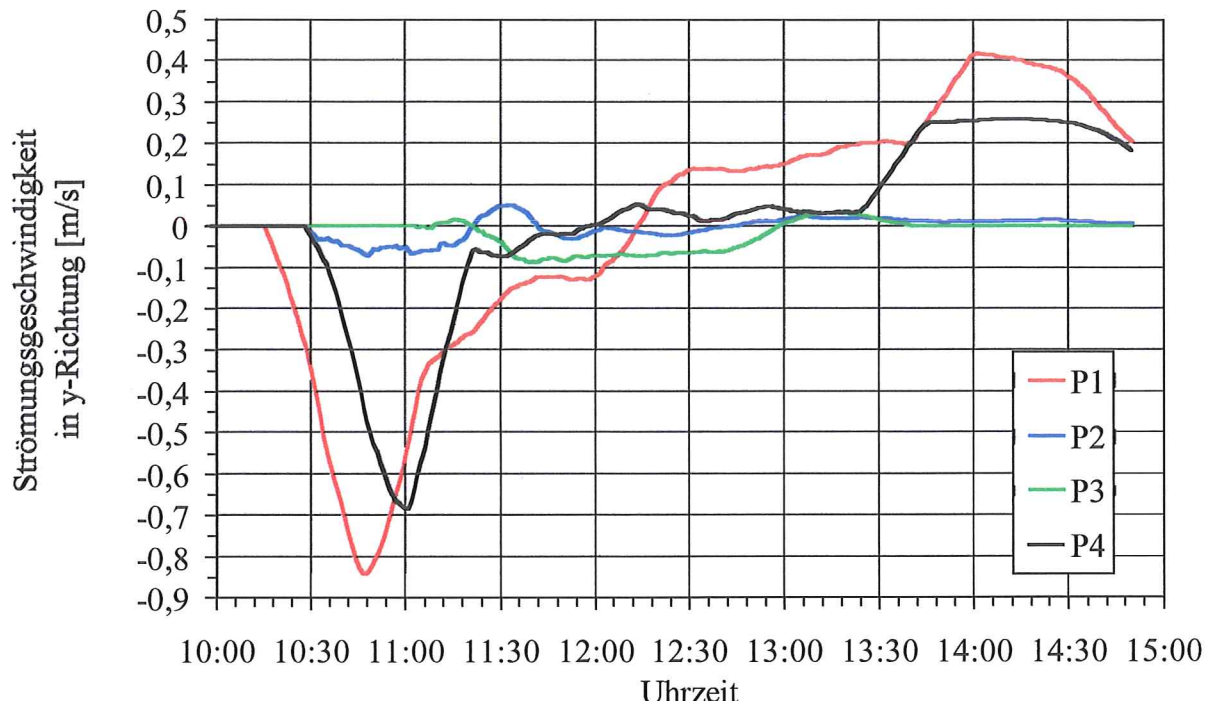
Anlage 8-110a2: Strömungsgeschwindigkeiten in y- und x-Richtung  
an den Referenzpunkten P5 bis P8 in der Variante m\_45 (vgl. Taf. 8.6)



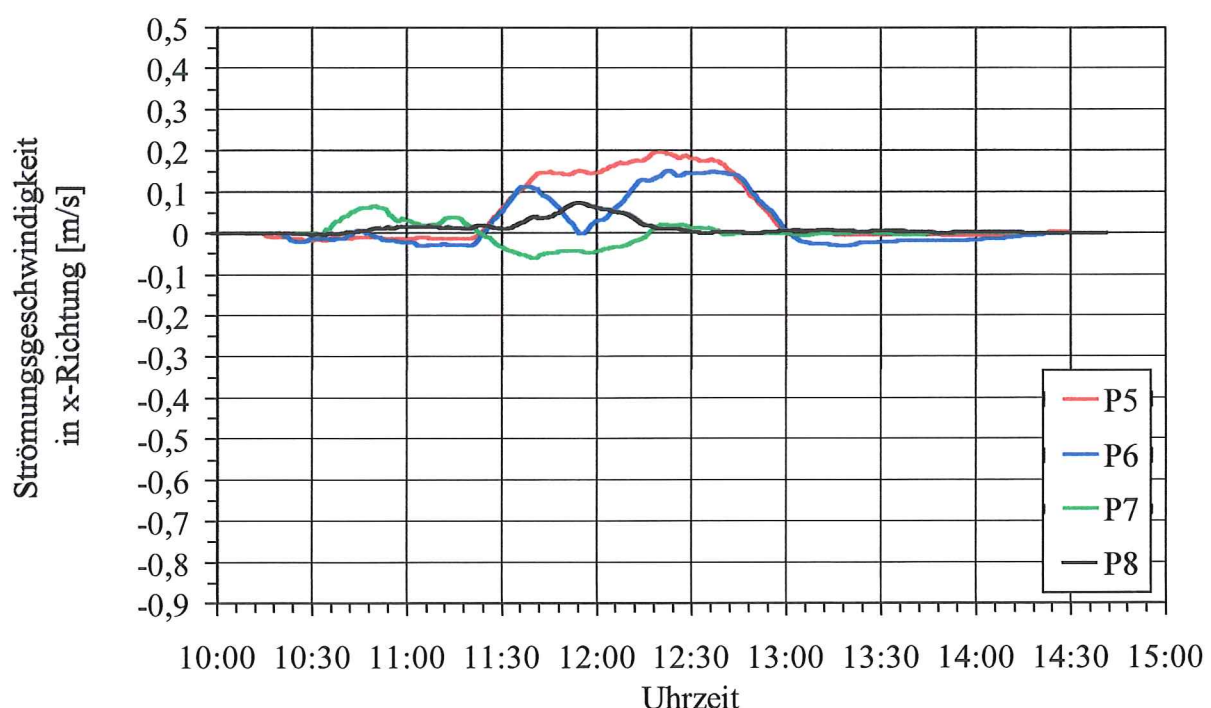
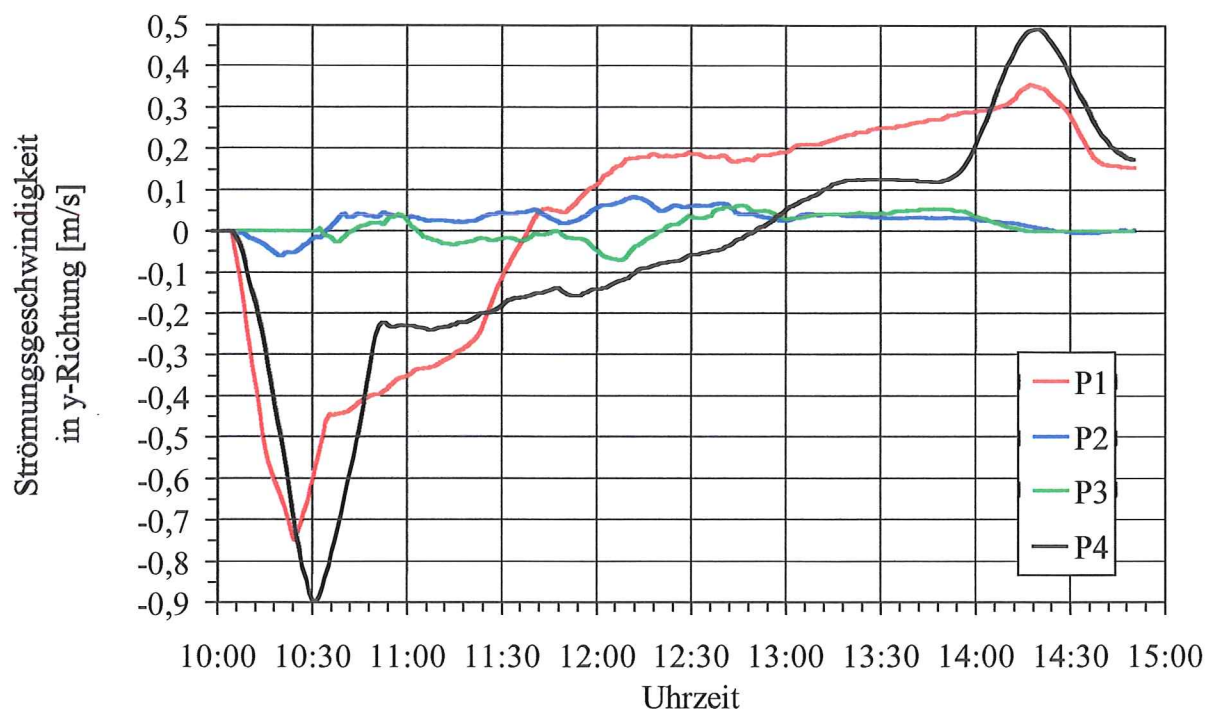
Anlage 8-110b: Sedimentationen und Erosionen im Verlaufe einer Tide  
an den Referenzpunkten P1 bis P4 und P5 bis P8 in der Variante m\_45 (vgl. Taf. 8.6)



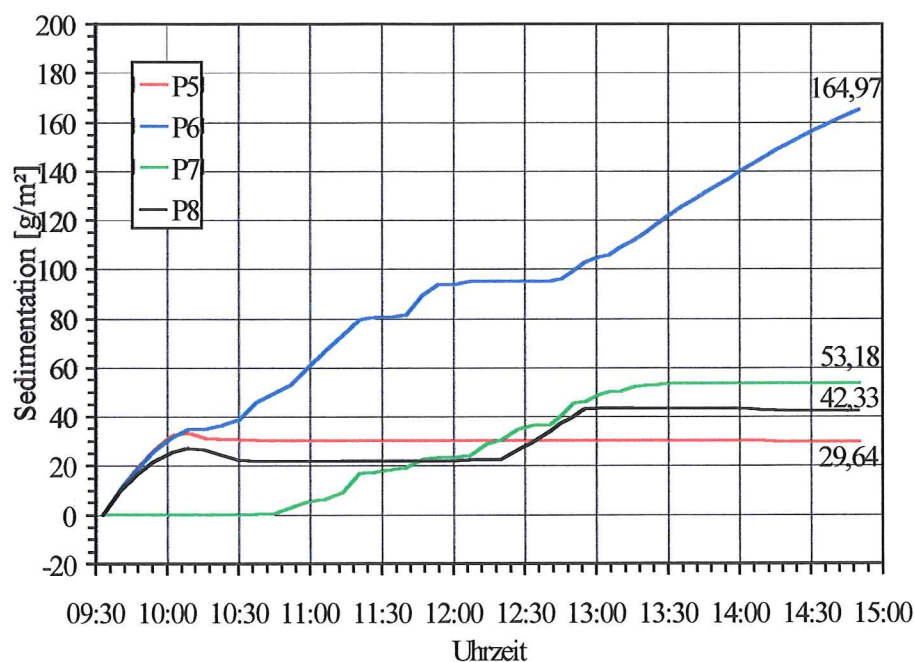
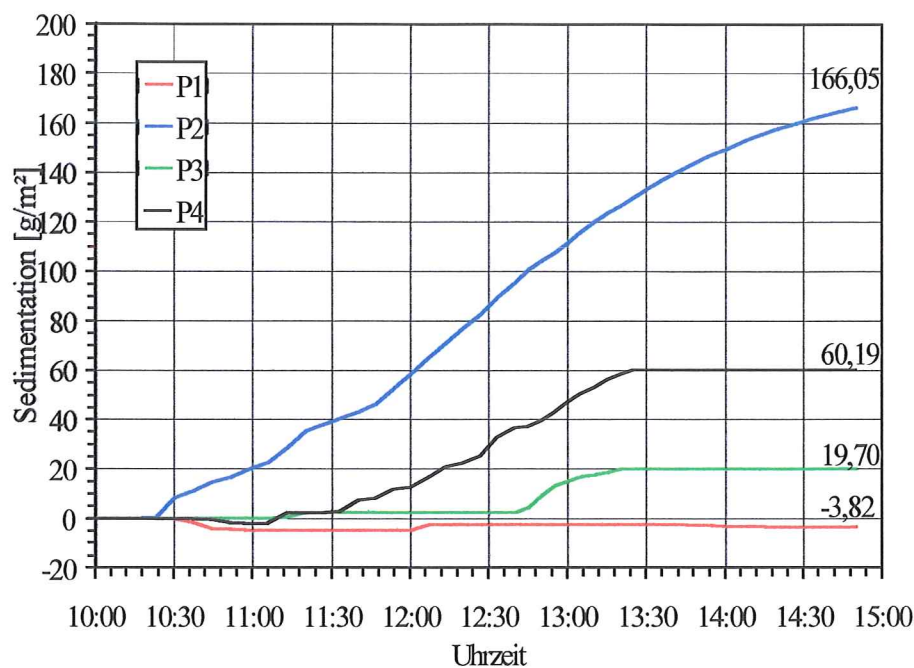
Anlage 8-110c: Sedimentation und Erosion nach Ablauf einer Tide  
im gesamten Simulationsbereich in der Variante m\_45 (vgl. Taf. 8.6)



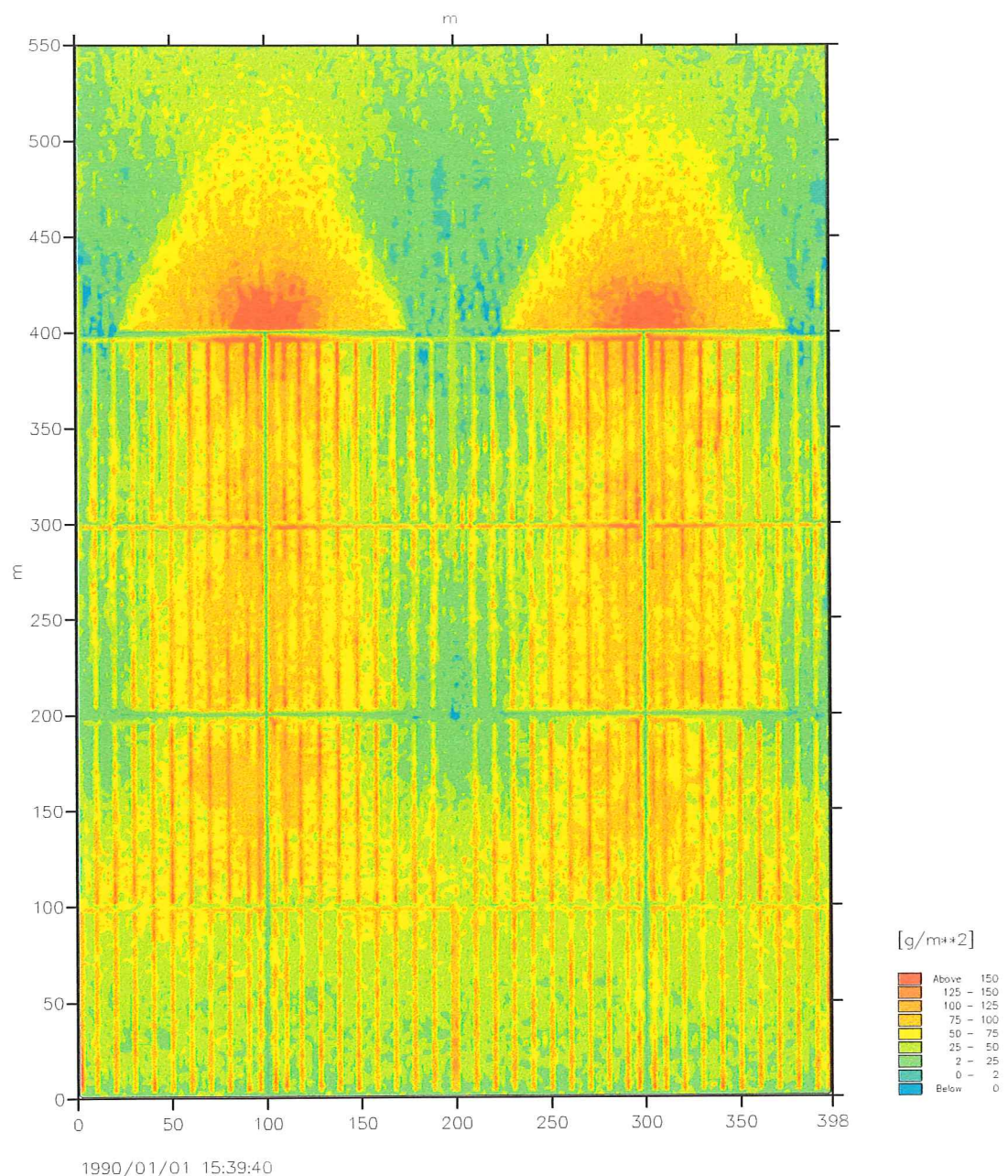
Anlage 8-111a1: Strömungsgeschwindigkeiten in y- und x-Richtung  
an den Referenzpunkten P1 bis P4 in der Variante m\_46 (vgl. Taf. 8.6)



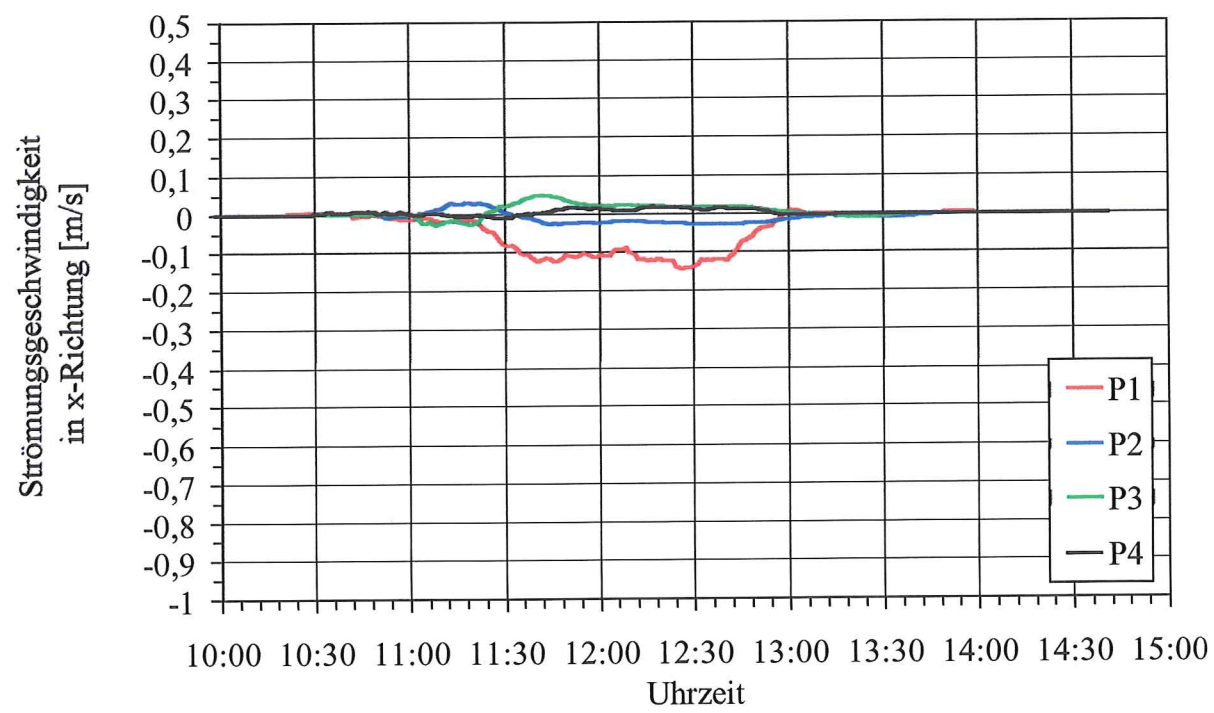
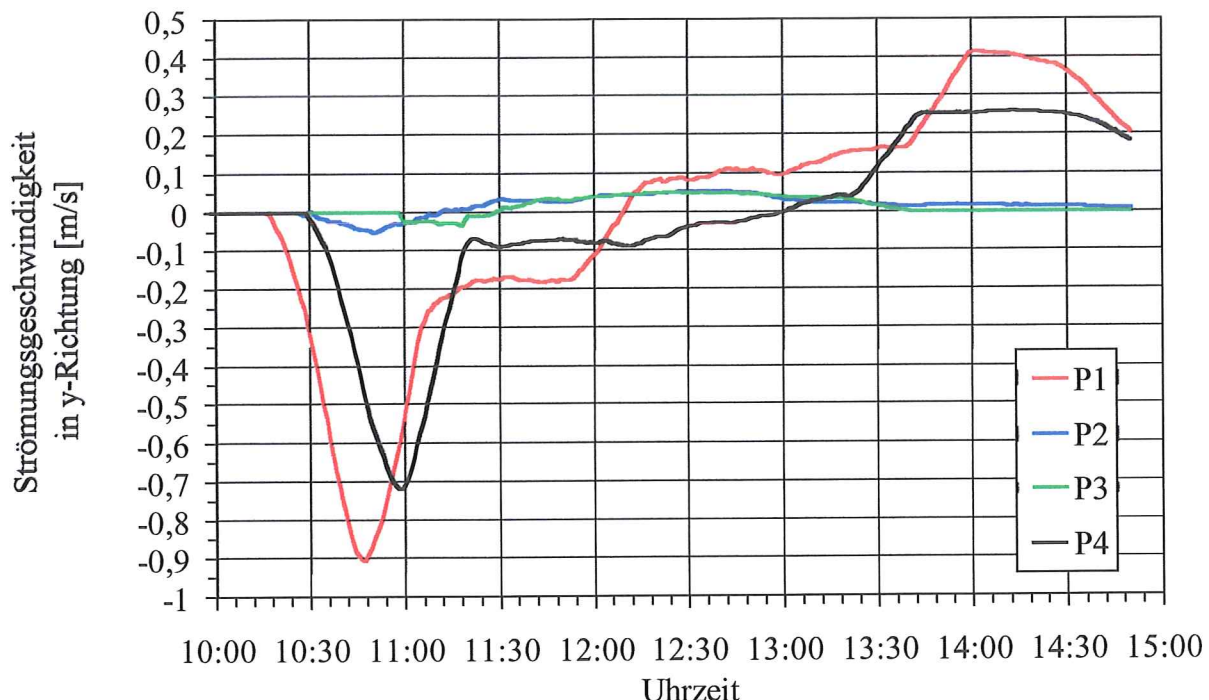
Anlage 8-111a2: Strömungsgeschwindigkeiten in y- und x-Richtung  
an den Referenzpunkten P5 bis P8 in der Variante m\_46 (vgl. Taf. 8.6)



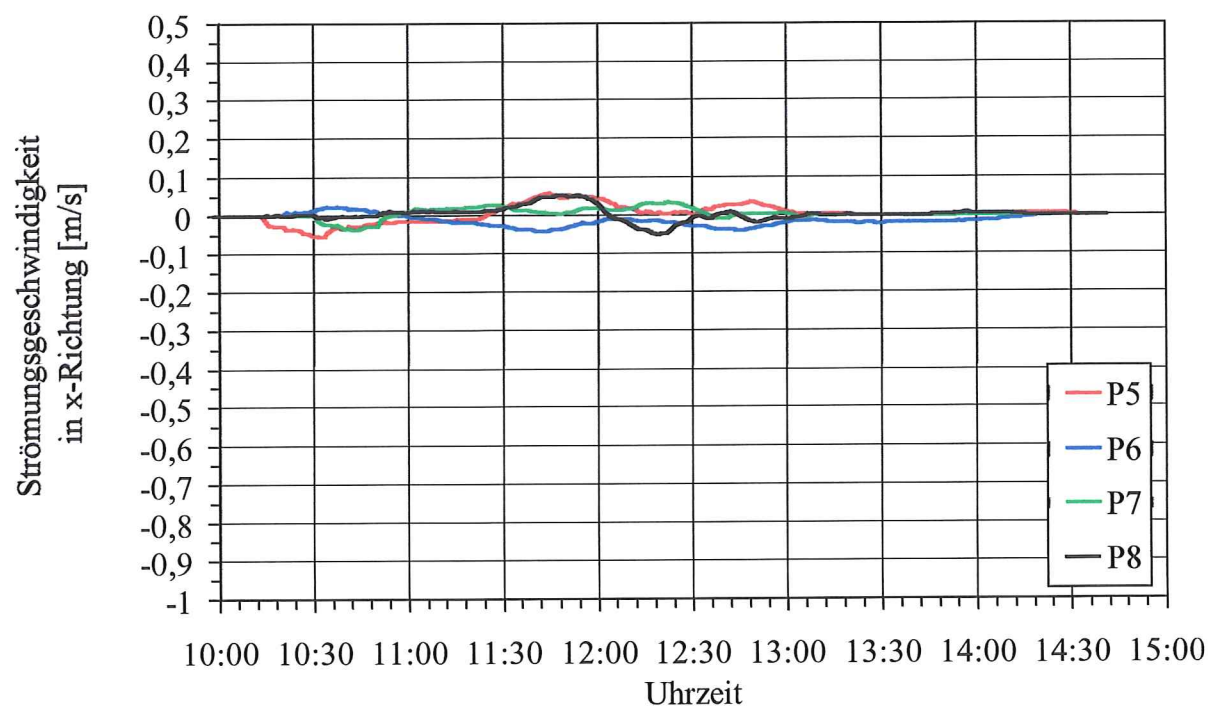
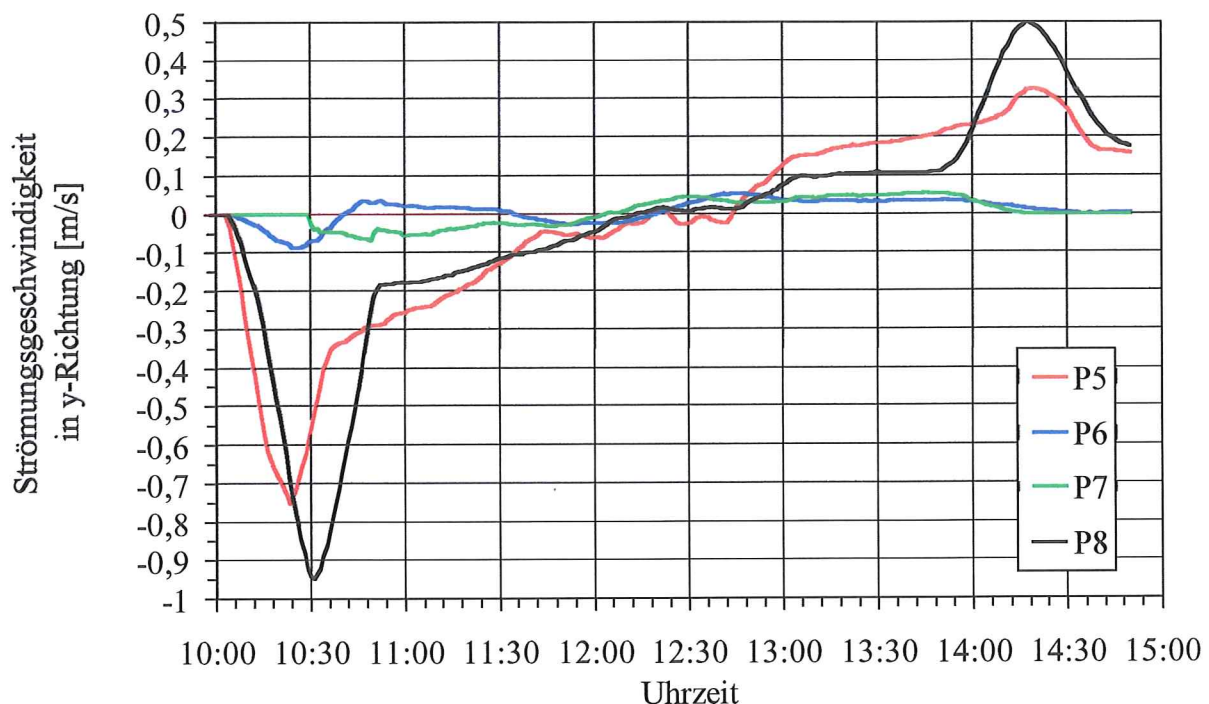
Anlage 8-111b: Sedimentationen und Erosionen im Verlaufe einer Tide  
an den Referenzpunkten P1 bis P4 und P5 bis P8 in der Variante m\_46 (vgl. Taf. 8.6)



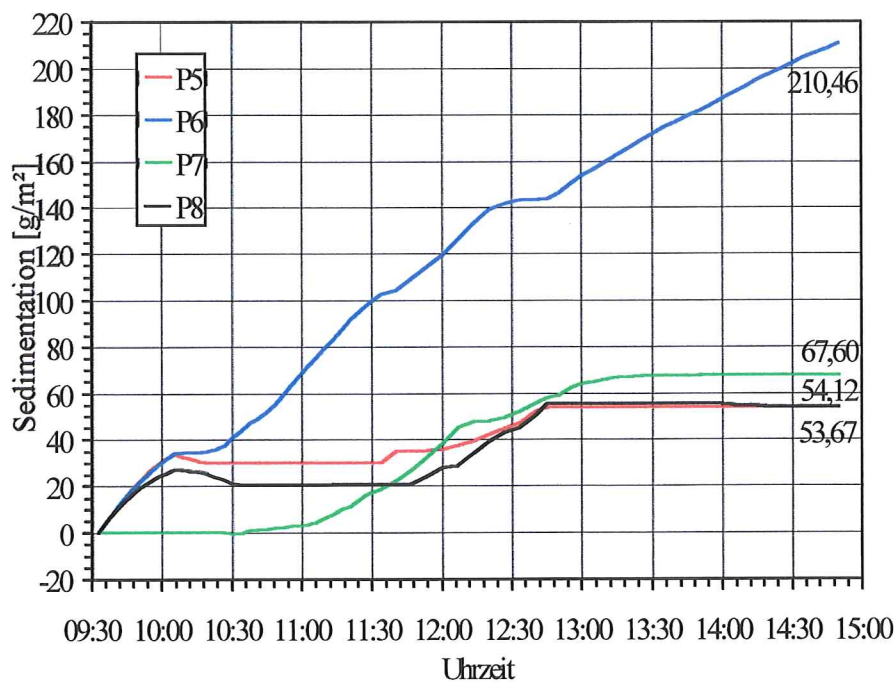
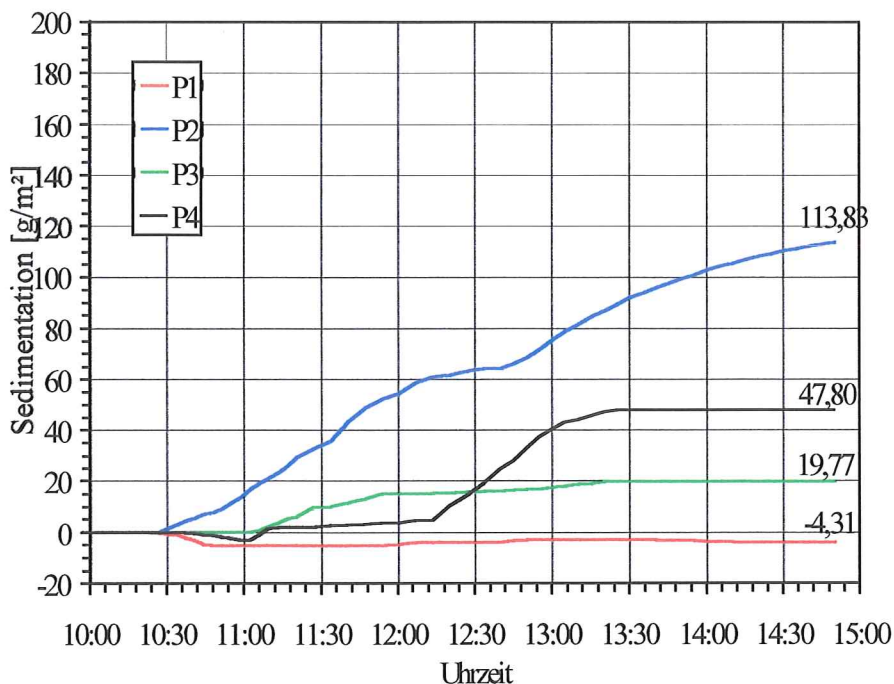
Anlage 8-111c: Sedimentation und Erosion nach Ablauf einer Tide  
im gesamten Simulationsbereich in der Variante m\_46 (vgl. Taf. 8.6)



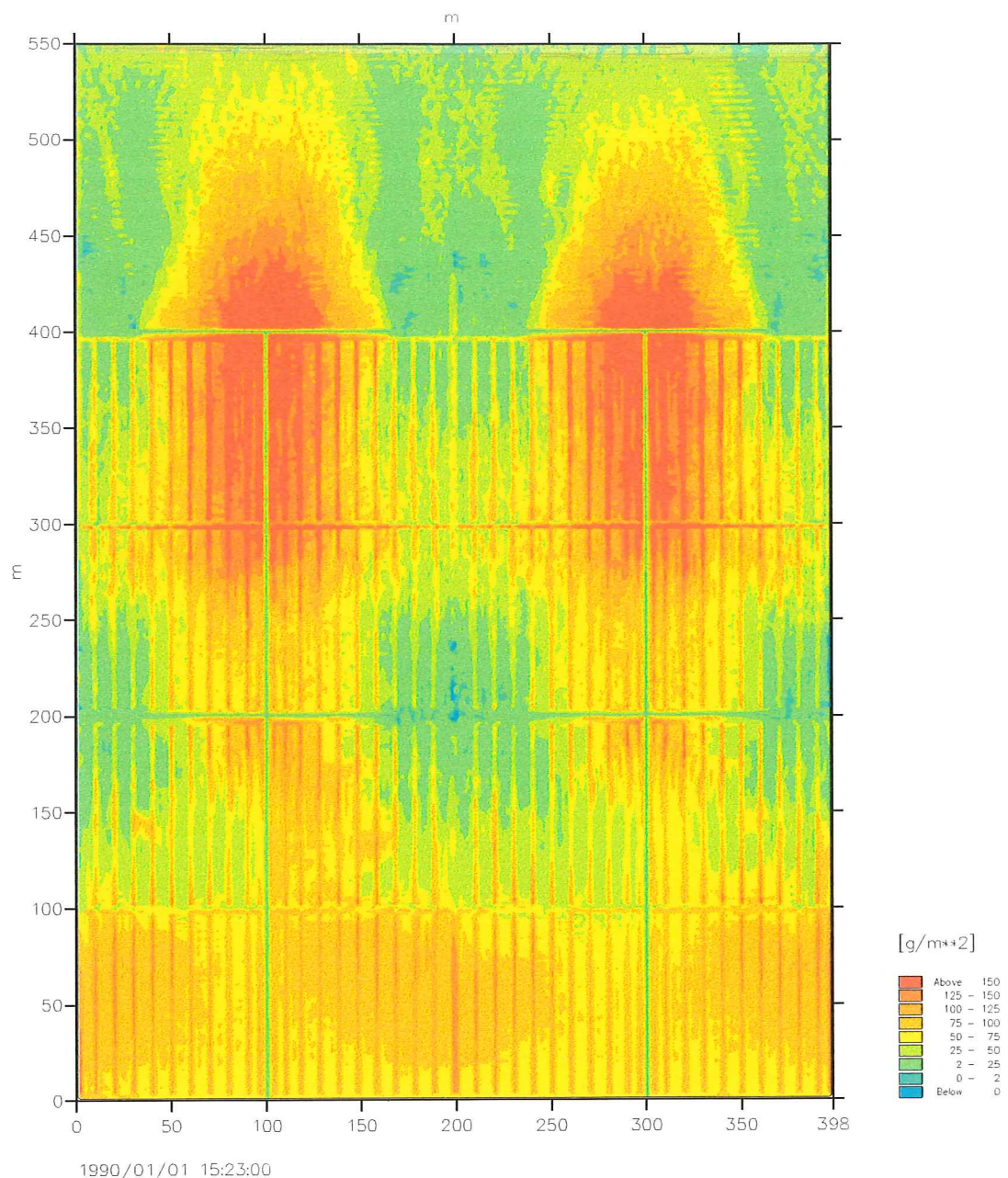
Anlage 8-112a1: Strömungsgeschwindigkeiten in y- und x-Richtung  
an den Referenzpunkten P1 bis P4 in der Variante m\_47 (vgl. Taf. 8.6)



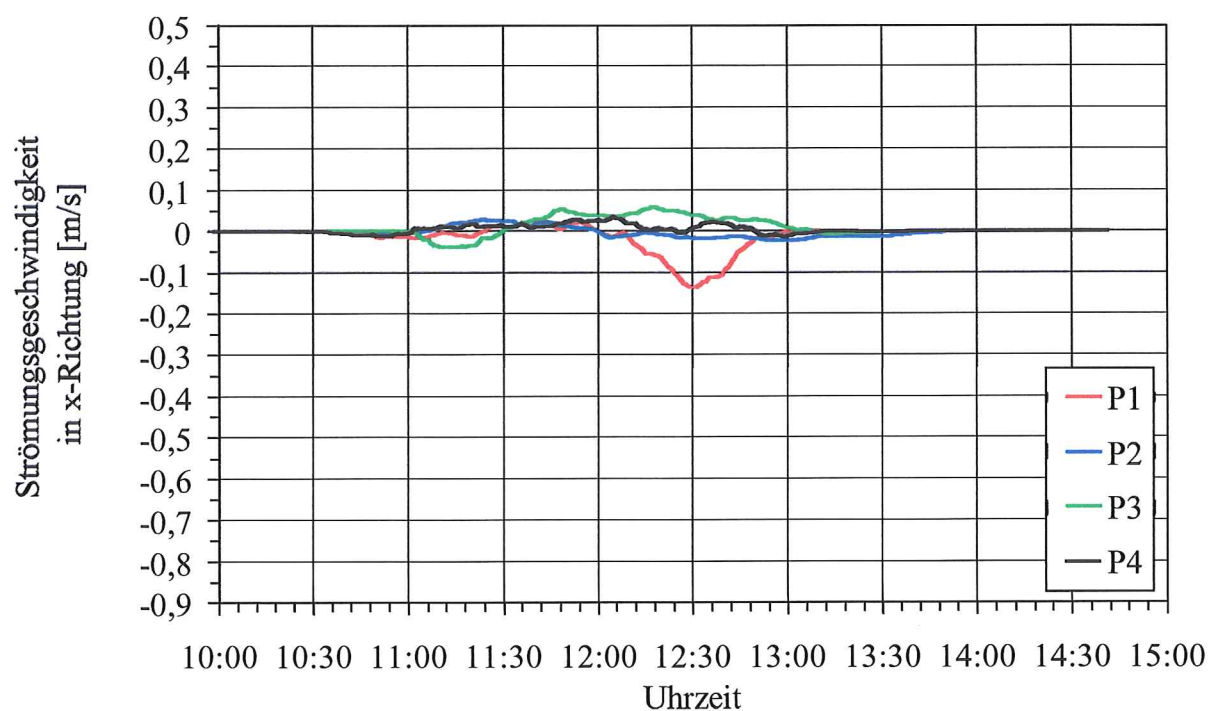
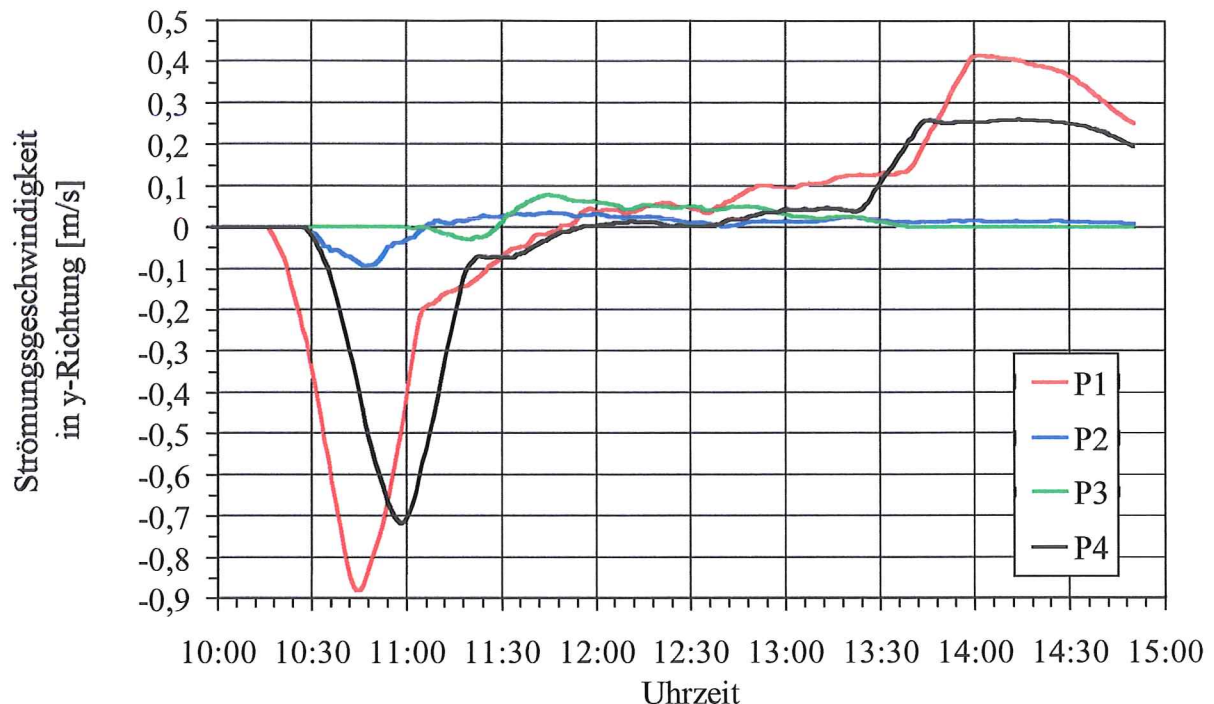
Anlage 8-112a2: Strömungsgeschwindigkeiten in y- und x-Richtung  
an den Referenzpunkten P5 bis P8 in der Variante m\_47 (vgl. Taf. 8.6)



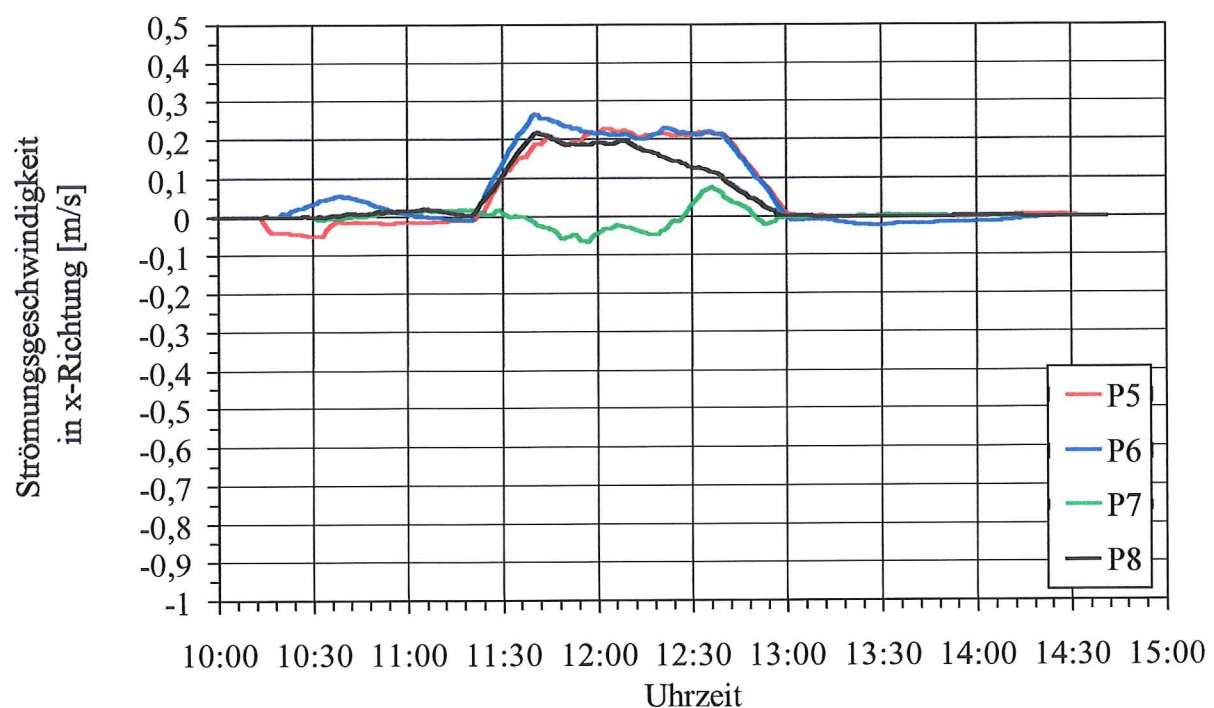
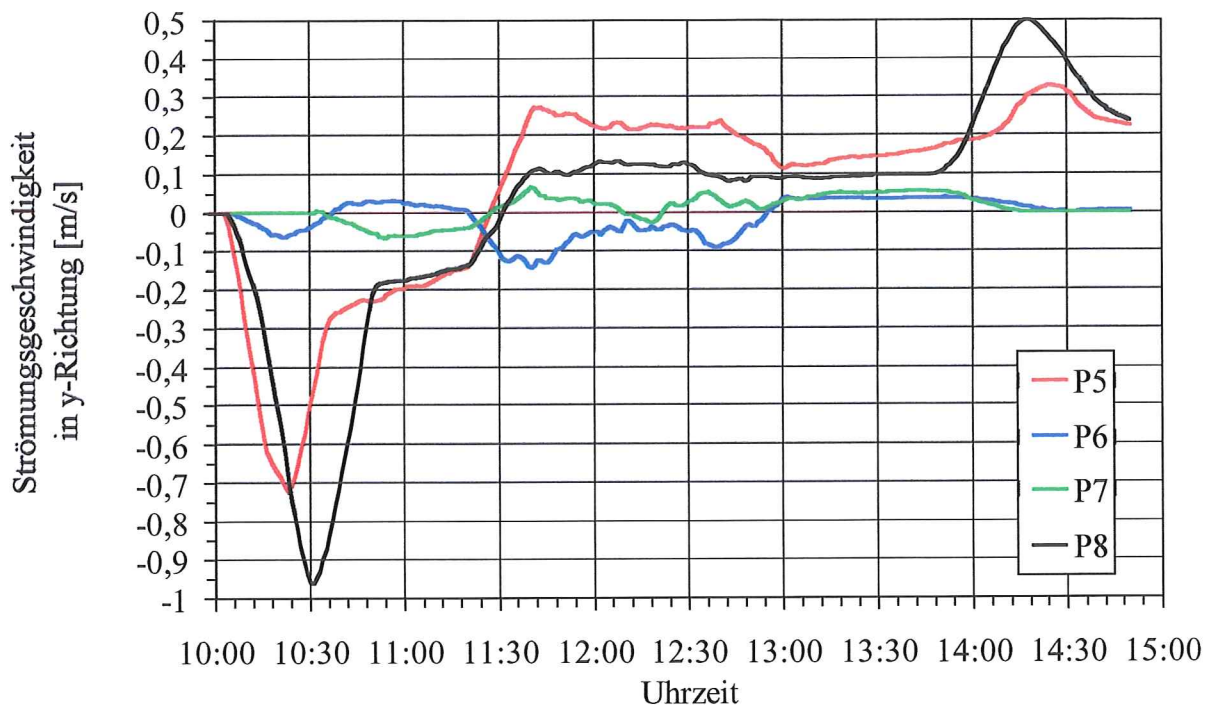
Anlage 8-112b: Sedimentationen und Erosionen im Verlaufe einer Tide  
an den Referenzpunkten P1 bis P4 und P5 bis P8 in der Variante m\_47 (vgl. Taf. 8.6)



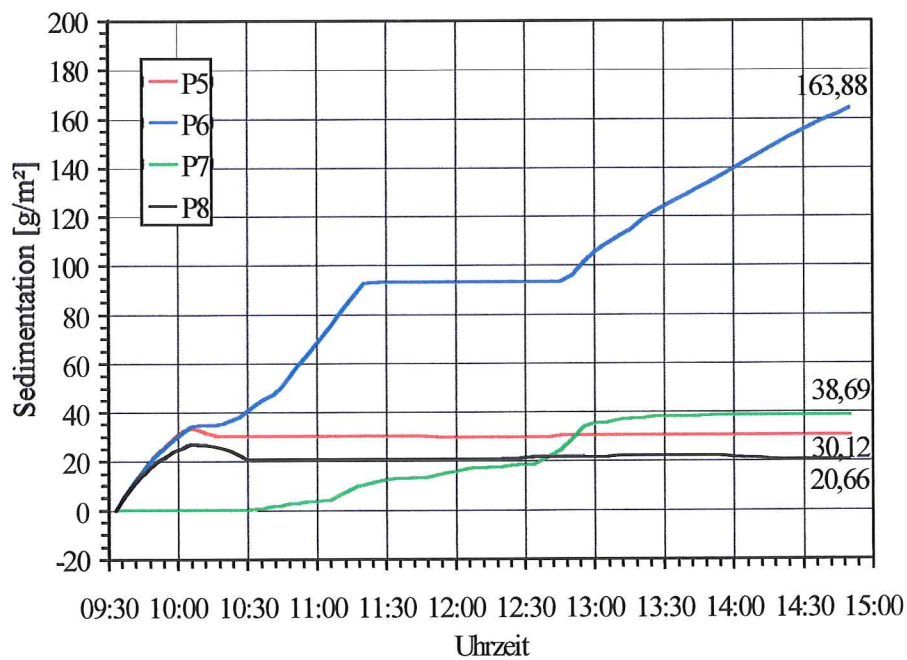
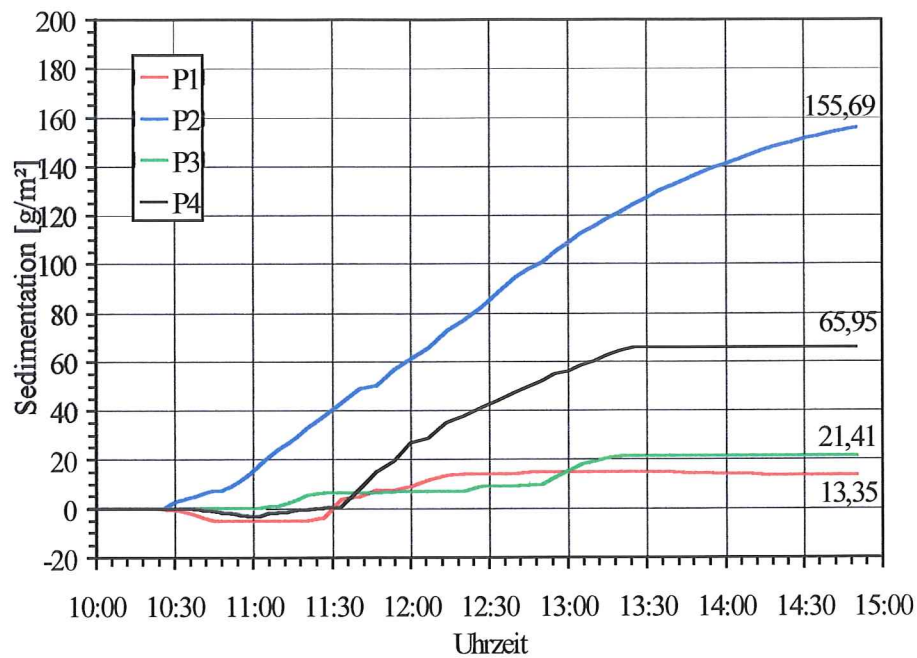
Anlage 8-112c: Sedimentation und Erosion nach Ablauf einer Tide  
im gesamten Simulationsbereich in der Variante m\_47 (vgl. Taf. 8.6)



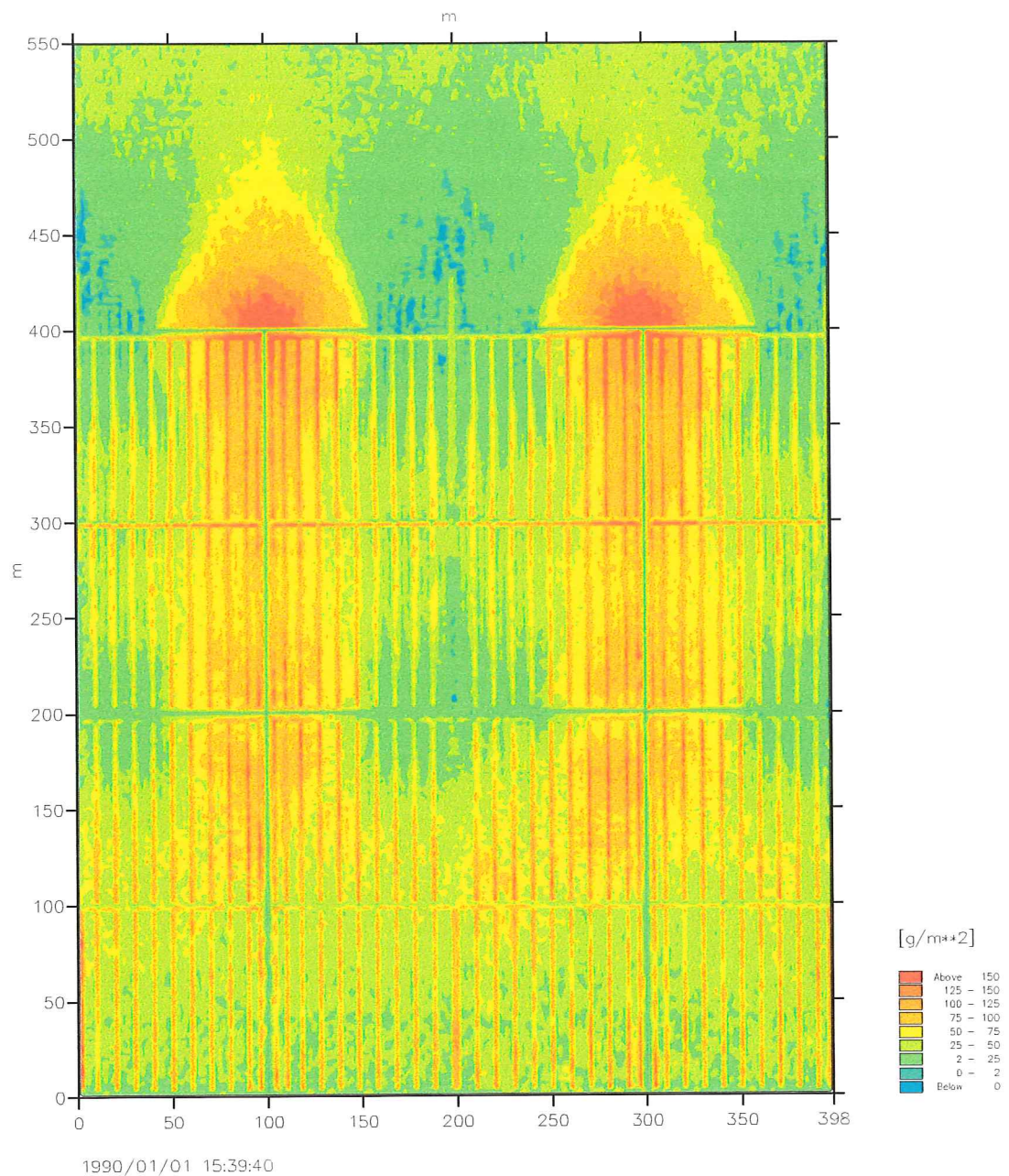
Anlage 8-113a1: Strömungsgeschwindigkeiten in y- und x-Richtung an den Referenzpunkten P1 bis P4 in der Variante m\_48 (vgl. Taf. 8.6)



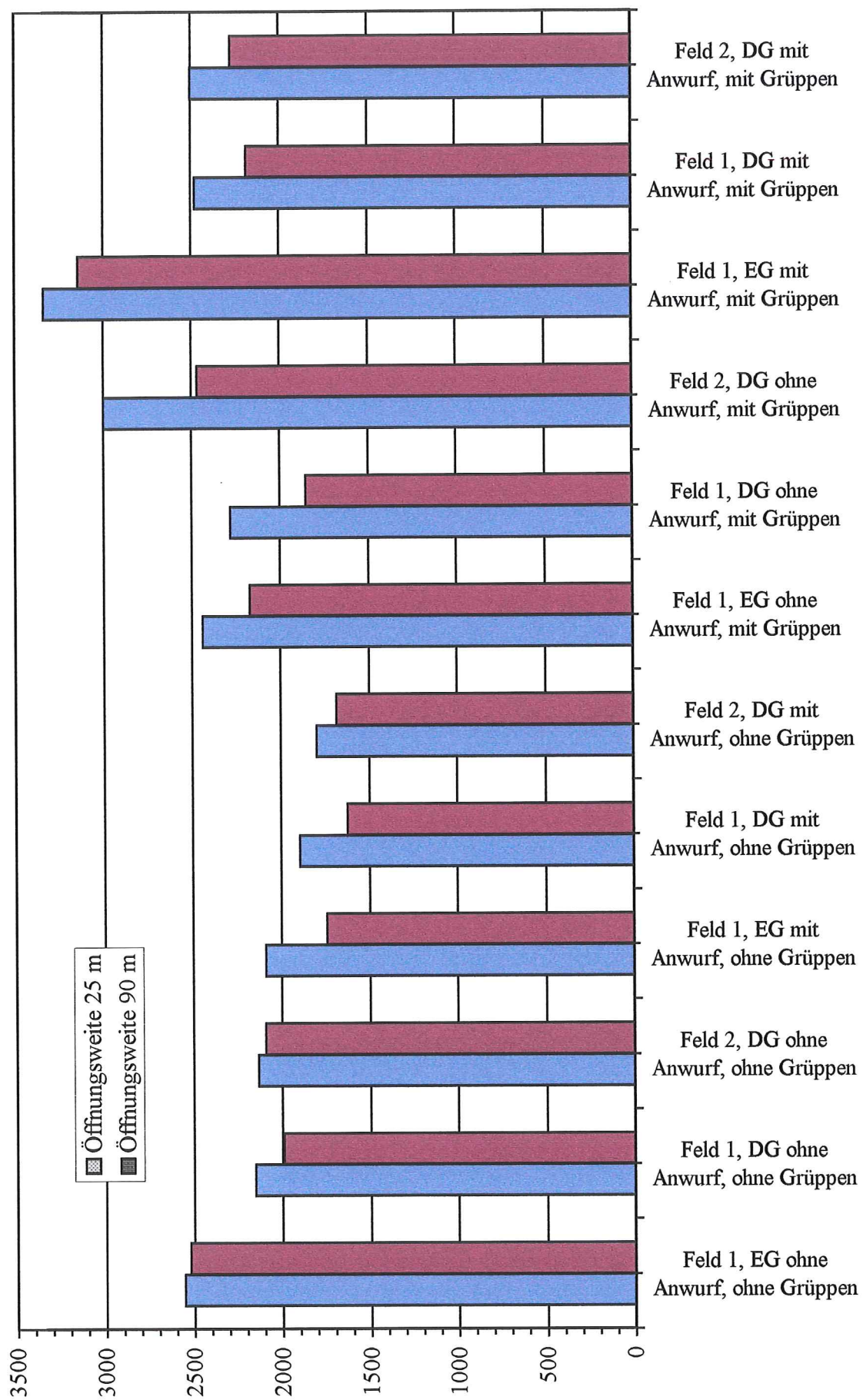
Anlage 8-113a2: Strömungsgeschwindigkeiten in y- und x-Richtung  
an den Referenzpunkten P5 bis P8 in der Variante m\_48 (vgl. Taf. 8.6)



Anlage 8-113b: Sedimentationen und Erosionen im Verlaufe einer Tide  
an den Referenzpunkten P1 bis P4 und P5 bis P8 in der Variante m\_48 (vgl. Taf. 8.6)



Anlage 8-113c: Sedimentation und Erosion nach Ablauf einer Tide  
im gesamten Simulationsbereich in der Variante m\_48 (vgl. Taf. 8.6)



Anlage 8-114: Sedimentiertes Material in einer Tide

